

**İSTANBUL TEKNİK ÜNİVERSİTESİ★ DEPREM MÜHENDİSLİĞİ VE AFET
YÖNETİMİ ENSTİTÜSÜ**

**TÜRKİYE’DE OLASILIKSAL DEPREM TEHLİKE HARİTALARININ
BETONARME YAPILARDA
DEPREM DAVRANIŞININ TESPİTİNE ETKİLERİ**

DOKTORA TEZİ

Sarper SEVİNÇ

Deprem Mühendisliği Anabilim Dalı

Deprem Mühendisliği Programı

EKİM 2018

**İSTANBUL TEKNİK ÜNİVERSİTESİ ★ DEPREM MÜHENDİSLİĞİ VE AFET
YÖNETİMİ BİLİMLERİ ENSTİTÜSÜ**

**TÜRKİYE’DE OLASILIKSAL DEPREM TEHLİKE HARİTALARININ
BETONARME YAPILARDA
DEPREM DAVRANIŞININ TESPİTİNE ETKİLERİ**

DOKTORA TEZİ

**Sarper SEVİNÇ
(501022101)**

Deprem Mühendisliği Anabilim Dalı

Deprem Mühendisliği Programı

Tez Danışmanı: Dr. Öğr. Üyesi İhsan Engin BAL

EKİM 2018

İTÜ, Deprem Bilimleri Enstitüsü'nün 501022101 numaralı Doktora Öğrencisi Sarper SEVİNÇ, ilgili yönetmeliklerin belirlediği gerekli tüm şartları yerine getirdikten sonra hazırladığı “TÜRKİYE’DE OLASILIKSAL DEPREM TEHLİKE HARİTALARININ BETONARME YAPILARDA DEPREM DAVRANIŞININ TESPİTİNE ETKİLERİ” başlıklı tezini aşağıda imzaları olan jüri önünde başarı ile sunmuştur.

Tez Danışmanı : **Dr. Öğr. Üyesi İhsan Engin BAL**
Hanze Uygulamalı Bilimler Üniversitesi, Hollanda

Jüri Üyeleri : **Prof. Dr. Gülten GÜLAY**
İstanbul Teknik Üniversitesi

Yrd. Doç. Dr. Serkan BEKİROĞLU
Yıldız Teknik Üniversitesi

Prof. Dr. Alper İLKI
İstanbul Teknik Üniversitesi

Dr. Öğr. Üyesi Ahmet Anıl DİNDAR
Gebze Teknik Üniversitesi

Teslim Tarihi : 30 .06. 2018
Savunma Tarihi : 12.10 .2018





Üzerimde emeđi olan herkese,



ÖNSÖZ

Yüksek Lisansa başladığım dönemden itibaren bilgi birikimini, deneyimlerini benimle paylaşan, her türlü yardımını esirgemeyen Sayın Prof. Dr. Gülten GÜLAY ve doktora tez danışmanlığımı üstlenen ve çalışmanın her aşamasında bilgi ve deneyimleriyle bana yol göstererek tez çalışmamı bitirmemde en büyük katkısı olan Sayın Prof. Dr. İhsan Engin BAL'a sonsuz teşekkür ederim.

Eğitim hayatım boyunca desteklerini esirgemeyen ailem ve arkadaşlarıma, karşılığını hiçbir zaman ödeyemeyeceğim emekleri için teşekkür ederim.

Haziran 2018

Sarper Sevinç
Yüksek İnşaat Mühendisi



İÇİNDEKİLER

Sayfa

ÖNSÖZ.....	vii
İÇİNDEKİLER	ix
KISALTMALAR	xi
SEMBOLLER	xiii
ÇİZELGE LİSTESİ.....	xv
ŞEKİL LİSTESİ.....	xvii
ÖZET.....	xxviii
SUMMARY	xxvii
1. GİRİŞ	1
1.1 Tezin Amacı	2
1.2 Tez Organizasyonu.....	3
2. LİTERATÜR ÖZETİ	5
3. KARŞILAŞTIRMALARDA KULLANILAN SİSTEMLERİN TANITILMASI VE DEĞERLENDİRME AMACIYLA NUMERİK MODELLEME	9
3.1 Betonarme Çerçeve Özellikleri ve Bunların Modellenmesinde Dikkate Alınan Hususlar	9
3.2 Boşluklu Perde Bağ Kirişlerinin Modellenmesinde Dikkate Alınan Hususlar	23
3.3 Sismik İzolatörlü Yapı Örneği ve Modellemede Dikkate Alınan Hususlar	27
3.4 Analizlerde Kullanılan Beton ve Donatı Çeliği Modelleri.....	31
3.5 Yapı Sistemlerinin Modellenmesi	33
4.MODELLEME PARAMETRELERİ VE İLGİLİ BELİRSİZLİKLERE DUYARLILIK	35
4.1 Betonarme Yapıların Modellenmesi	35
4.2 Yapısal Kapasite Tahmininde Eleman Formülasyonu, Entegrasyon Nokta Sayısı ve Elemanların Bölünmesi	37
4.3 Zaman Tanım Alanında Hesap Yöntemleri	41
4.4 Görelî Kat Ötelenme Analizleri	43
4.5 Sünek Davranış, Eksenel Dönme	44
5. SİSMİK TEHLİKEYE BAĞLI TASARIM SPEKTRUMLARI VE ÖRNEK YAPI SİSTEMLERİ İÇİN KAYIT SEÇİLMESİ	49
5.1 Türkiye’de Sismik Tehlike Haritaları.....	49
5.1.1 UDAP – Ç13-06 Projesi kapsamında gerçekleştirilen çalışmalar	50
5.2 2016 Tarihli Taslak Deprem Yönetmeliği’ne Göre Yer Hareketi Spektrumlarının Oluşturulması.....	58
5.3 Tez Çalışmasında Kullanılan Deprem Merkezleri	62
5.4 Örnek Yapı Sistemleri İçin Kayıt Seçilmesi	65
6. ÖRNEK YAPI SİSTEMLERİNİN ANALİZLERİNDEN ELDE EDİLEN SONUÇLAR.....	71
6.1 Yapılan Analizler Hakkında Ön Bilgi	73

6.2 Sonuçların Örnek Yapı Sistemleri Bazında İncelenmesi	73
6.2.1 20_Katlı_3D modelinin sonuçlarının karşılaştırılması	87
6.2.2 24_Katlı_CBSW modelinin sonuçlarının karşılaştırılması	91
6.2.3 Aydın Binası modelinin sonuçlarının karşılaştırılması	95
6.2.4 Gedikbulak 3D modelinin sonuçlarının karşılaştırılması	99
6.2.5 PFN_4_1 modelinin sonuçlarının karşılaştırılması	103
6.2.6 PFN_5_1 modelinin sonuçlarının karşılaştırılması	107
6.2.7 PFN_6_1 modelinin sonuçlarının karşılaştırılması	111
6.2.8 PFN_8_2 modelinin sonuçlarının karşılaştırılması	115
6.2.9 Prefabrik_Yapı modelinin sonuçlarının karşılaştırılması	119
6.3 Sonuçların Deprem Bölgeleri Bazında İncelenmesi	123
6.4 Sonuçların Ülke Geneline İncelenmesi	135
7. SONUÇLAR	145
7.1 Sonuçların Örnek Yapı Sistemleri Bazında İncelenmesi	146
7.2 Gelecekte Yapılacak Çalışmalar İçin Öneriler	148
KAYNAKLAR	149
EKLER	155
ÖZGEÇMİŞ	250

KISALTMALAR

AFAD	: Bakanlık Afet ve Acil Durum Yönetimi Başkanlığı
DBE	: Tasarım tabanlı deprem seviyesi
DBYBHY	: Deprem Bölgelerinde Yapılacak Binalar Hakkında Yönetmelik
DD-1	: 50 yılda aşılma olasılığı %2 (tekrarlanma periyodu 2475 yıl) olan deprem yer hareketi düzeyi
DD-2	: 50 yılda aşılma olasılığı %10 (tekrarlanma periyodu 475 yıl) olan deprem yer hareketi düzeyi
DD-3	: 50 yılda aşılma olasılığı %50 (tekrarlanma periyodu 72 yıl) olan deprem yer hareketi düzeyi
DD-4	: 50 yılda aşılma olasılığı %68 (tekrarlanma periyodu 43 yıl) olan deprem yer hareketi düzeyi
EMSC	: Avrupa-Akdeniz Bölgesi Sismoloji Merkezi
ISC	: Uluslararası Sismoloji Merkezi
GÇ	: Kesit göçme sınırı
GV	: Kesit güvenlik sınırı
MCE	: Yapıların maruz kalabileceği en şiddetli depremler
MN	: Kesit minimum hasar sınırı
MTA	: Maden Tetkik Arama
PGA	: Maksimum yer ivmesi
PGV	: Maksimum yer hızı
PSHA	: Olasılıksal sismik tehlike analizleri
PEER	: Pasifik Deprem Mühendisliği Araştırma Merkezi
SLE	: Servis seviyesi depremleri
UDAP	: Türkiye Sismik Tehlike Haritasının Güncellenmesi Projesi



SEMBOLLER

A_{cw}	: Boşluklu perde bağ kirişi bürüt kesit alanı
A_{vd}	: Diyagonal donatı demeti beton kesit alanı
C_y	: Kuşatılmış diyagonal donatı beton kesitinin aksenal basınç kuvveti kapasitesi
eps_c0	: Maksimum dayanımdaki birim yerdeğiştirme
eps_U	: Göçme dayanımındaki birim yer değıştirme
E_{ts}	: Çekme dayanımı azalma rijitliğı
$f_{pc}U$: Göçme dayanımı
F_S	: Kısa period bölgesi için yerel zemin etki katsayısı
F_1	: 1.0 saniye periyod için yerel zemin etki katsayısı
f_c	: Beton karakteristik basınç dayanımı
f_y	: Donatı çeliğı akma dayanımı
g	: Yerçekimi ivmesi [$g = 9.81 \text{ m/s}^2$]
L_F	: Fay düzlemine olan mesafe [km]
$S_{ae}(T)$: Yatay elastik tasarım spektral ivmesi [g]
$S_{aeD}(T)$: Düşey elastik tasarım spektral ivmesi [g]
$S_{de}(T)$: Yatay elastik tasarım spektral yerdeğiştirmesi [m]
S_{DS}	: Kısa periyod bölgesi için tasarım spektral ivme katsayısı [boyutsuz]
S_{D1}	: 1.0 saniye periyod için tasarım spektral ivme katsayısı [boyutsuz]
S_S	: Kısa periyod bölgesi için harita spektral ivme katsayısı [boyutsuz]
S_1	: 1.0 saniye periyod için harita spektral ivme katsayısı [boyutsuz]
T	: Doğal titreşim periyodu [s]
T_A	: Yatay elastik tasarım ivme spektrumu köşe periyodu [s]
T_{AD}	: Düşey elastik tasarım ivme spektrumu köşe periyodu [s]
T_B	: Yatay elastik tasarım ivme spektrumu köşe periyodu [s]
T_{BD}	: Düşey elastik tasarım ivme spektrumu köşe periyodu [s]
T_L	: Yatay elastik tasarım spektrumunda sabit yerdeğiştirme bölgesine geçiş periyodu [s]
T_{LD}	: Düşey elastik tasarım spektrumunda sabit yerdeğiştirme bölgesine geçiş periyodu [s]
T_P	: Binanın hakim doğal titreşim periyodu [s]
T_y	: Diyagonal çekme gerilmesi
γ_F	: Faya yakınlık katsayısı
V_u	: Tasarım taban kesme kuvveti
V_n	: Kiriş kesme dayanımı
W_t	: Yapının toplam ağırlığı
Δ_i	: Azaltılmış görel kat ötelemesi
δ_i	: Etkin görel kat ötelemesi
θ	: Aksenal Dönme



ÇİZELGE LİSTESİ

Sayfa

Çizelge 3.1 : 6 Katlı PFN_6_1 Modeli kolonlarının boyutları ve donatı detayları. ..	12
Çizelge 3.2 : 8 Katlı PFN_8_2 Modeli kolonlarının boyutları ve donatı detayları. ..	13
Çizelge 3.3 : 24_Katlı_CBSW modeli için kuşatılmış beton malzeme özellikleri....	22
Çizelge 3.4 : Efektif rijitlik için önerilen katsayılar.	26
Çizelge 3.5 : 24 katlı boşluklu perde modeliningeometrik özellikleri.....	26
Çizelge 4.1 : Modelleme kabulleri ile ilgili parametreler.....	41
Çizelge 5.1 : Kısa periyod bölgesi için Yerel Zemin Etki Katsayıları.	60
Çizelge 5.2 : 1.0 saniye periyod için Yerel Zemin Etki Katsayıları.....	60
Çizelge 5.3 : Tez çalışması için seçilen 1. ve 2. derece deprem merkezlerinin koordinatları ve spektral katsayıları	64
Çizelge 5.4 : Seçilen örnek yapıların hakim periyotları.	66
Çizelge 6.1 : 1. Derece deprem bölgesi, deprem düzeyi 1 için örnek modellerin seçilen deprem merkezlerine göre hesaplanan taban kesme kuvvetleri değerleri ve 2007 Yönetmeliği'ne göre değişim yüzdeleri.....	83
Çizelge 6.2 : 1. Derece deprem bölgesi, deprem düzeyi 2 için örnek modellerin seçilen deprem merkezlerine göre hesaplanan taban kesme kuvvetleri değerleri ve 2007 Yönetmeliği'ne göre değişim yüzdeleri.....	84
Çizelge 6.3 : 2. Derece deprem bölgesi, deprem düzeyi 1 için örnek modellerin seçilen deprem merkezlerine göre hesaplanan taban kesme kuvvetleri değerleri ve 2007 Yönetmeliği'ne göre değişim yüzdeleri.....	85
Çizelge 6.4 : 2. Derece deprem bölgesi, deprem düzeyi 2 için örnek modellerin seçilen deprem merkezlerine göre hesaplanan taban kesme kuvvetleri değerleri ve 2007 Yönetmeliği'ne göre değişim yüzdeleri.....	86
Çizelge 7.1 : Kat ötelenme oranlarının en büyük ve en küçük değerlerinin yüzdesel değişiminin yapı sistemleri bazında karşılaştırılması.....	147
Çizelge 7.2 : Eksenel dönme miktarlarının en büyük ve en küçük değerlerinin yüzdesel değişiminin yapı sistemleri bazında karşılaştırılması	148
Çizelge A.1 : Analizlerde kullanılan depremlerin isimleri ve ölçek katsayıları listesi	156



ŞEKİL LİSTESİ

Sayfa

Şekil 3.1 : 4 katlı PFN_4_1 modeli.	9
Şekil 3.2 : 4 katlı PFN_4_1 modeli için giriş boyutları ve donatı detayları.	10
Şekil 3.3 : 5 katlı PFN_5_1 modeli.	11
Şekil 3.4 : 5 katlı PFN_5_1 modeli için giriş donatı detayları ve boyutları.	11
Şekil 3.5 : 6 katlı PFN_6_1 modeli.	12
Şekil 3.6 : 6 katlı PFN_6_1 modeli için giriş donatı detayları ve boyutları.	13
Şekil 3.7 : 8 katlı PFN_8_2 modeli.	14
Şekil 3.8 : 8 katlı PFN_8_2 modeli için giriş boyutları ve donatı detayları.	14
Şekil 3.9 : 4 katlı Aydın Binası modeli.	15
Şekil 3.10 : Aydın Bina modelinin taban izolatörü kuvvet deformasyon grafiği.	16
Şekil 3.11 : Prefabrik yapı modeli (yarısı).	16
Şekil 3.12 : Prefabrik yapı bilgileri.	17
Şekil 3.13 : Gedikbulak modeli +3,20 kotu.	18
Şekil 3.14 : Gedikbulak modeli +6,40 kotu.	18
Şekil 3.15 : Gedikbulak modeli +9,60 kotu.	19
Şekil 3.16 : Gedikbulak Yapısı 3 Boyutlu SeismoStruct modeli.	19
Şekil 3.17 : Gedikbulak Yapısı giriş boyutları ve donatı detayları.	20
Şekil 3.18 : Gedikbulak Yapısı kolon boyutları ve donatı detayları.	20
Şekil 3.19 : 20 Katlı Yapının Planı.	21
Şekil 3.20 : 20 Katlı Yapının 3 Boyutlu SeismoStruct modeli.	21
Şekil 3.21 : Örnek modelin tipik kat planı.	22
Şekil 3.22 : Seçilen modelin bağ giriş için verilen diyagonal donatı planı.	23
Şekil 3.23 : Seçilen modelin perde için verilen donatı planı.	23
Şekil 3.24 : Diyagonal donatılı bağ girişleri için önerilen model.	26
Şekil 3.25 : İncelenen boşluklu perde sisteminin doğrusal olmayan analizlerde kullanılan modeli.	27
Şekil 3.26 : OpenSees Concrete02 modeli (Kent ve Park, 1971).	31
Şekil 3.27: OpenSees çelik donatı modeli.	33
Şekil 3.28 : OpenSees analiz metodu.	33
Şekil 4.1 : Hassaslık analizi sonuçlarının karşılaştırmalı grafiği.	40
Şekil 4.2 : Kesme Açıklığı Tanımı.	44
Şekil 4.3 : Kolonlar için eksenel dönme istemi.	45
Şekil 4.4 : Düşey yüklerin katkısı ihmal edildiği durumdaki girişler için eksenel dönme istemi.	46
Şekil 4.5 : Girişler için toplam eksenel dönme istemi.	47
Şekil 5.1 : Alansal kaynak modeli kullanılarak elde edilmiş $T_R = 475$ için PGA dağılımı.	56
Şekil 5.2 : Çizgisel ve mekânsal düzleştirilmiş sismik kaynak modeli kullanılarak elde edilmiş $T_R = 475$ için PGA dağılımı.	57

Şekil 5.3 : $T_R = 475$ yıl için “%50 alansal kaynak ve %50 çizgisel ve mekânsal düzleştirilmiş sismik kaynak” ağırlıklarıyla birleştirilmiş PGA dağılımı.	57
Şekil 5.4 : Yönetmelik yatay elastik tasarım spektrumu	61
Şekil 5.5 : Yönetmelik yatay elastik spektral yer değiştirmeleri.	61
Şekil 5.6 : Türkiye deprem bölgeleri haritası..	62
Şekil 5.7 : Türkiye diri fay haritası ve seçilen 20 adet merkez.....	63
Şekil 5.8 : Spektrumlara uygun kayıtların seçilmesi ve ölçek katsayısının belirlenmesi	66
Şekil 5.9 : 24_Katlı_CBSW Modeli için 1.derece DB, DD 1 ve ZC zemin sınıfı için Bartın Merkez’de seçilen deprem kayıtlarının ivme ve deplasman spektrumları	67
Şekil 5.10 : 24_Katlı_CBSW Modeli için 1.derece DB, DD 1 ve ZC zemin sınıfı için Burdur Merkez’de seçilen deprem kayıtlarının ivme ve deplasman spektrumları.....	67
Şekil 5.11 : 24_Katlı_CBSW Modeli için 1.derece DB, DD 1 ve ZC zemin sınıfı için Erzincan Merkez’de seçilen deprem kayıtlarının ivme ve deplasman spektrumları.....	67
Şekil 5.12 : 24_Katlı_CBSW Modeli için 1.derece DB, DD 1 ve ZC zemin sınıfı için Hatay Merkez’de seçilen deprem kayıtlarının ivme ve deplasman spektrumları.....	68
Şekil 5.13 : 24_Katlı_CBSW Modeli için 1.derece DB, DD 1 ve ZC zemin sınıfı için İstanbul Kadıköy’de seçilen deprem kayıtlarının ivme ve deplasman spektrumları.....	68
Şekil 5.14 : 24_Katlı_CBSW Modeli için 1.derece DB, DD 1 ve ZC zemin sınıfı için İzmir Merkez’de seçilen deprem kayıtlarının ivme ve deplasman spektrumları.....	68
Şekil 5.15 : 24_Katlı_CBSW Modeli için 1.derece DB, DD 1 ve ZC zemin sınıfı için Kırşehir Merkez’de seçilen deprem kayıtlarının ivme ve deplasman spektrumları.....	68
Şekil 5.16 : 24_Katlı_CBSW Modeli için 1.derece DB, DD 1 ve ZC zemin sınıfı için Muğla Merkez’de seçilen deprem kayıtlarının ivme ve deplasman spektrumları.....	69
Şekil 5.17 : 24_Katlı_CBSW Modeli için 1.derece DB, DD 1 ve ZC zemin sınıfı için Sakarya Merkez’de seçilen deprem kayıtlarının ivme ve deplasman spektrumları.....	69
Şekil 5.18 : 24_Katlı_CBSW Modeli için 1.derece DB, DD 1 ve ZC zemin sınıfı için Van Erciş’de seçilen deprem kayıtlarının ivme ve deplasman spektrumları	69
Şekil 6.1 : 24_Katlı_CBSW Modelinin (1.DDB, $I=1,0$, Z3 zemin sınıfı) 2007 Yönetmeliği için kat ötelenme oranı (drift) ve eksenel dönme değerleri..	73
Şekil 6.2 : 24_Katlı_CBSW Modelinin Bartın Merkez (1.DDB, DD-2, ZC zemin sınıfı) 2019 Yönetmeliği için kat ötelenme oranı (drift) ve eksenel dönme değerleri.....	74
Şekil 6.3 : 24_Katlı_CBSW Modelinin Burdur Merkez (1.DDB, DD-2, ZC zemin sınıfı) 2019 Yönetmeliği için kat ötelenme oranı (drift) ve eksenel dönme değerleri.....	74

Şekil 6.4 : 24_Katlı_CBSW Modelinin Erzincan Merkez (1.DDB, DD-2, ZC zemin sınıfı) 2019 Yönetmeliği için kat ötelenme oranı (drift) ve eksenel dönme değerleri.....	74
Şekil 6.5 : 24_Katlı_CBSW Modelinin Hatay Merkez (1.DDB, DD-2, ZC zemin sınıfı) 2019 Yönetmeliği için kat ötelenme oranı (drift) ve eksenel dönme değerleri.....	75
Şekil 6.6 : 24_Katlı_CBSW Modelinin İstanbul Kadıköy (1.DDB, DD-2, ZC zemin sınıfı) 2019 Yönetmeliği için kat ötelenme oranı (drift) ve eksenel dönme değerleri.....	75
Şekil 6.7 : 24_Katlı_CBSW Modelinin İzmir Merkez (1.DDB, DD-2, ZC zemin sınıfı) 2019 Yönetmeliği için kat ötelenme oranı (drift) ve eksenel dönme değerleri.....	75
Şekil 6.8 : 24_Katlı_CBSW Modelinin Kırşehir Merkez (1.DDB, DD-2, ZC zemin sınıfı) 2019 Yönetmeliği için kat ötelenme oranı (drift) ve eksenel dönme değerleri.....	76
Şekil 6.9 : 24_Katlı_CBSW Modelinin Muğla Merkez (1.DDB, DD-2, ZC zemin sınıfı) 2019 Yönetmeliği için kat ötelenme oranı (drift) ve eksenel dönme değerleri.....	76
Şekil 6.10 : 24_Katlı_CBSW Modelinin Sakarya Merkez (1.DDB, DD-2, ZC zemin sınıfı) 2019 Yönetmeliği için kat ötelenme oranı (drift) ve eksenel dönme değerleri.....	76
Şekil 6.11 : 24_Katlı_CBSW Modelinin Van Erciş (1.DDB, DD-2, ZC zemin sınıfı) 2019 Yönetmeliği için kat ötelenme oranı (drift) ve eksenel dönme değerleri.....	77
Şekil 6.12 : 20_Katlı_3D Modelinin 1. Derece deprem bölgesi DD-1 için kat ötelenmesi (drift) oranı değerlerinin deprem merkezlerine göre karşılaştırılması.....	87
Şekil 6.13 : 20_Katlı_3D Modelinin 1. Derece deprem bölgesi DD-1 için eksenel dönme değerlerinin deprem merkezlerine göre karşılaştırılması.....	87
Şekil 6.14 : 20_Katlı_3D Modelinin 1. Derece deprem bölgesi DD-2 için kat ötelenmesi (drift) oranı değerlerinin deprem merkezlerine göre karşılaştırılması.....	88
Şekil 6.15 : 20_Katlı_3D Modelinin 1. Derece deprem bölgesi DD-2 için eksenel dönme değerlerinin deprem merkezlerine göre karşılaştırılması.....	88
Şekil 6.16 : 20_Katlı_3D Modelinin 2. Derece deprem bölgesi DD-1 için kat ötelenmesi (drift) oranı değerlerinin deprem merkezlerine göre karşılaştırılması.....	89
Şekil 6.17 : 20_Katlı_3D Modelinin 2. Derece deprem bölgesi DD-1 için eksenel dönme değerlerinin deprem merkezlerine göre karşılaştırılması.....	89
Şekil 6.18 : 20_Katlı_3D Modelinin 2. Derece deprem bölgesi DD-2 için kat ötelenmesi (drift) oranı değerlerinin deprem merkezlerine göre karşılaştırılması.....	90
Şekil 6.19 : 20_Katlı_3D Modelinin 2. Derece deprem bölgesi DD-2 için eksenel dönme değerlerinin deprem merkezlerine göre karşılaştırılması.....	90
Şekil 6.20 : 24_Katlı_CBSW Modelinin 1. Derece deprem bölgesi DD-1 için kat ötelenmesi (drift) oranı değerlerinin deprem merkezlerine göre karşılaştırılması.....	91
Şekil 6.21 : 24_Katlı_CBSW Modelinin 1. Derece deprem bölgesi DD-1 için eksenel dönme değerlerinin deprem merkezlerine göre karşılaştırılması.....	91

- Şekil 6.22** : 24_Katlı_CBSW Modelinin 1. Derece deprem bölgesi DD-2 için kat ötelenmesi (drift) oranı değerlerinin deprem merkezlerine göre karşılaştırılması... 92
- Şekil 6.23** : 24_Katlı_CBSW Modelinin 1. Derece deprem bölgesi DD-2 için eksenel dönme değerlerinin deprem merkezlerine göre karşılaştırılması. 92
- Şekil 6.24** : 24_Katlı_CBSW Modelinin 2. Derece deprem bölgesi DD-1 için kat ötelenmesi (drift) oranı değerlerinin deprem merkezlerine göre karşılaştırılması... 93
- Şekil 6.25** : 24_Katlı_CBSW Modelinin 2. Derece deprem bölgesi DD-1 için eksenel dönme değerlerinin deprem merkezlerine göre karşılaştırılması. 93
- Şekil 6.26** : 24_Katlı_CBSW Modelinin 2. Derece deprem bölgesi DD-2 için kat ötelenmesi (drift) oranı değerlerinin deprem merkezlerine göre karşılaştırılması... 94
- Şekil 6.27** : 24_Katlı_CBSW Modelinin 2. Derece deprem bölgesi DD-2 için eksenel dönme değerlerinin deprem merkezlerine göre karşılaştırılması... 94
- Şekil 6.28** : Aydın_Üniv. Modelinin 1. Derece deprem bölgesi DD-1 için kat ötelenmesi (drift) oranı değerlerinin deprem merkezlerine göre karşılaştırılması... 95
- Şekil 6.29** : Aydın_Üniv. Modelinin 1. Derece deprem bölgesi DD-1 için eksenel dönme değerlerinin deprem merkezlerine göre karşılaştırılması..... 95
- Şekil 6.30** : Aydın_Üniv. Modelinin 1. Derece deprem bölgesi DD-2 için kat ötelenmesi (drift) oranı değerlerinin deprem merkezlerine göre karşılaştırılması... 96
- Şekil 6.31** : Aydın_Üniv. Modelinin 1. Derece deprem bölgesi DD-2 için eksenel dönme değerlerinin deprem merkezlerine göre karşılaştırılması..... 96
- Şekil 6.32** : Aydın_Üniv. Modelinin 2. Derece deprem bölgesi DD-1 için kat ötelenmesi (drift) oranı değerlerinin deprem merkezlerine göre karşılaştırılması... 97
- Şekil 6.33** : Aydın_Üniv. Modelinin 2. Derece deprem bölgesi DD-1 için eksenel dönme değerlerinin deprem merkezlerine göre karşılaştırılması..... 97
- Şekil 6.34** : Aydın_Üniv. Modelinin 2. Derece deprem bölgesi DD-2 için kat ötelenmesi (drift) oranı değerlerinin deprem merkezlerine göre karşılaştırılması. 98
- Şekil 6.35** : Aydın_Üniv. Modelinin 2. Derece deprem bölgesi DD-2 için eksenel dönme değerlerinin deprem merkezlerine göre karşılaştırılması..... 98
- Şekil 6.36** : Gedikbulak_3D Modelinin 1. Derece deprem bölgesi DD-1 için kat ötelenmesi (drift) oranı değerlerinin deprem merkezlerine göre karşılaştırılması... 99
- Şekil 6.37** : Gedikbulak_3D Modelinin 1. Derece deprem bölgesi DD-1 için eksenel dönme değerlerinin deprem merkezlerine göre karşılaştırılması... 99
- Şekil 6.38** : Gedikbulak_3D Modelinin 1. Derece deprem bölgesi DD-2 için kat ötelenmesi (drift) oranı değerlerinin deprem merkezlerine göre karşılaştırılması... 100
- Şekil 6.39** : Gedikbulak_3D Modelinin 1. Derece deprem bölgesi DD-2 için eksenel dönme değerlerinin deprem merkezlerine göre karşılaştırılması. 100
- Şekil 6.40** : Gedikbulak_3D Modelinin 2. Derece deprem bölgesi DD-1 için kat ötelenmesi (drift) oranı değerlerinin deprem merkezlerine göre karşılaştırılması... 101
- Şekil 6.41** : Gedikbulak_3D Modelinin 2. Derece deprem bölgesi DD-1 için eksenel dönme değerlerinin deprem merkezlerine göre karşılaştırılması..... 101

- Şekil 6.66** : PFN_6_1 Modelinin 2. Derece deprem bölgesi DD-2 için kat ötelenmesi (drift) oranı değerlerinin deprem merkezlerine göre karşılaştırılması. . **114**
- Şekil 6.67** : PFN_6_1 Modelinin 2. Derece deprem bölgesi DD-2 için eksenel dönme değerlerinin deprem merkezlerine göre karşılaştırılması... .. **114**
- Şekil 6.68** : PFN_8_2 Modelinin 1. Derece deprem bölgesi DD-1 için kat ötelenmesi (drift) oranı değerlerinin deprem merkezlerine göre karşılaştırılması... **115**
- Şekil 6.69**: PFN_8_2 Modelinin 1. Derece deprem bölgesi DD-1 için eksenel dönme değerlerinin deprem merkezlerine göre karşılaştırılması... .. **115**
- Şekil 6.70** : PFN_8_2 Modelinin 1. Derece deprem bölgesi DD-2 için kat ötelenmesi (drift) oranı değerlerinin deprem merkezlerine göre karşılaştırılması... **116**
- Şekil 6.71** : PFN_8_2 Modelinin 1. Derece deprem bölgesi DD-2 için eksenel dönme değerlerinin deprem merkezlerine göre karşılaştırılması. **116**
- Şekil 6.72** : PFN_8_2 Modelinin 2. Derece deprem bölgesi DD-1 için kat ötelenmesi (drift) oranı değerlerinin deprem merkezlerine göre karşılaştırılması... **117**
- Şekil 6.73** : PFN_8_2 Modelinin 2. Derece deprem bölgesi DD-1 için eksenel dönme değerlerinin deprem merkezlerine göre karşılaştırılması. **117**
- Şekil 6.74** : PFN_8_2 Modelinin 2. Derece deprem bölgesi DD-2 için kat ötelenmesi (drift) oranı değerlerinin deprem merkezlerine göre karşılaştırılması. . **118**
- Şekil 6.75** : PFN_8_2 Modelinin 2. Derece deprem bölgesi DD-2 için eksenel dönme değerlerinin deprem merkezlerine göre karşılaştırılması... .. **118**
- Şekil 6.76** : Prefabrik_Yapı Modelinin 1. Derece deprem bölgesi DD-1 için kat ötelenmesi (drift) oranı değerlerinin deprem merkezlerine göre karşılaştırılması... .. **119**
- Şekil 6.77** : Prefabrik_Yapı Modelinin 1. Derece deprem bölgesi DD-1 için eksenel dönme değerlerinin deprem merkezlerine göre karşılaştırılması... .. **119**
- Şekil 6.78** : Prefabrik_Yapı Modelinin 1. Derece deprem bölgesi DD-2 için kat ötelenmesi (drift) oranı değerlerinin deprem merkezlerine göre karşılaştırılması... .. **120**
- Şekil 6.79** : Prefabrik_Yapı Modelinin 1. Derece deprem bölgesi DD-2 için eksenel dönme değerlerinin deprem merkezlerine göre karşılaştırılması. **120**
- Şekil 6.80** : Prefabrik_Yapı Modelinin 2. Derece deprem bölgesi DD-1 için kat ötelenmesi (drift) oranı değerlerinin deprem merkezlerine göre karşılaştırılması... .. **121**
- Şekil 6.81** : Prefabrik_Yapı Modelinin 2. Derece deprem bölgesi DD-1 için eksenel dönme değerlerinin deprem merkezlerine göre karşılaştırılması. **121**
- Şekil 6.82** : Prefabrik_Yapı Modelinin 2. Derece deprem bölgesi DD-2 için kat ötelenmesi (drift) oranı değerlerinin deprem merkezlerine göre karşılaştırılması. **122**
- Şekil 6.83** : Prefabrik_Yapı Modelinin 2. Derece deprem bölgesi DD-2 için eksenel dönme değerlerinin deprem merkezlerine göre karşılaştırılması... .. **122**
- Şekil 6.84** : Bartın Merkez’de, örnek yapı sistemleri için hesaplanan spektral ivme ve maks. kat ötelenme oranlarının 2018 Haritası/2019 Yönetmeliği ve 1996 Haritası/2007 Yönetmeliği’ne göre karşılaştırılması... .. **125**
- Şekil 6.85** : Burdur Merkez’de, örnek yapı sistemleri için hesaplanan spektral ivme ve maks. kat ötelenme oranlarının 2018 Haritası/2019 Yönetmeliği ve 1996 Haritası/2007 Yönetmeliği’ne göre karşılaştırılması **125**
- Şekil 6.86** : Erzincan Merkez’de, örnek yapı sistemleri için hesaplanan spektral ivme ve maks. kat ötelenme oranlarının 2018 Haritası/2019 Yönetmeliği ve 1996 Haritası/2007 Yönetmeliği’ne göre karşılaştırılması... .. **126**

- Şekil 6.87** : Hatay Merkez’de, örnek yapı sistemleri için hesaplanan spektral ivme ve maks. kat ötelenme oranlarının 2018 Haritası/2019 Yönetmeliği ve 1996 Haritası/2007 Yönetmeliği’ne göre karşılaştırılması... **126**
- Şekil 6.88** : İstanbul Kadıköy’de, örnek yapı sistemleri için hesaplanan spektral ivme ve maks. kat ötelenme oranlarının 2018 Haritası/2019 Yönetmeliği ve 1996 Haritası/2007 Yönetmeliği’ne göre karşılaştırılması **127**
- Şekil 6.89** : İzmir Merkez’de, örnek yapı sistemleri için hesaplanan spektral ivme ve maks. kat ötelenme oranlarının 2018 Haritası/2019 Yönetmeliği ve 1996 Haritası/2007 Yönetmeliği’ne göre karşılaştırılması... **127**
- Şekil 6.90** : Kırşehir Merkez’de, örnek yapı sistemleri için hesaplanan spektral ivme ve maks. kat ötelenme oranlarının 2018 Haritası/2019 Yönetmeliği ve 1996 Haritası/2007 Yönetmeliği’ne göre karşılaştırılması... **128**
- Şekil 6.91** : Muğla Merkez’de, örnek yapı sistemleri için hesaplanan spektral ivme ve maks. kat ötelenme oranlarının 2018 Haritası/2019 Yönetmeliği ve 1996 Haritası/2007 Yönetmeliği’ne göre karşılaştırılması **128**
- Şekil 6.92** : Sakarya Merkez’de, örnek yapı sistemleri için hesaplanan spektral ivme ve maks. kat ötelenme oranlarının 2018 Haritası/2019 Yönetmeliği ve 1996 Haritası/2007 Yönetmeliği’ne göre karşılaştırılması... **129**
- Şekil 6.93** : Van Erciş’de, örnek yapı sistemleri için hesaplanan spektral ivme ve maks. kat ötelenme oranlarının 2018 Haritası/2019 Yönetmeliği ve 1996 Haritası/2007 Yönetmeliği’ne göre karşılaştırılması **129**
- Şekil 6.94** : Afyon Merkez’de, örnek yapı sistemleri için hesaplanan spektral ivme ve maks. kat ötelenme oranlarının 2018 Haritası/2019 Yönetmeliği ve 1996 Haritası/2007 Yönetmeliği’ne göre karşılaştırılması... **130**
- Şekil 6.95** : Ağrı Merkez’de, örnek yapı sistemleri için hesaplanan spektral ivme ve maks. kat ötelenme oranlarının 2018 Haritası/2019 Yönetmeliği ve 1996 Haritası/2007 Yönetmeliği’ne göre karşılaştırılması **130**
- Şekil 6.96** : Antalya Merkez’de, örnek yapı sistemleri için hesaplanan spektral ivme ve maks. kat ötelenme oranlarının 2018 Haritası/2019 Yönetmeliği ve 1996 Haritası/2007 Yönetmeliği’ne göre karşılaştırılması... **131**
- Şekil 6.97** : Diyarbakır Merkez’de, örnek yapı sistemleri için hesaplanan spektral ivme ve maks. kat ötelenme oranlarının 2018 Haritası/2019 Yönetmeliği ve 1996 Haritası/2007 Yönetmeliği’ne göre karşılaştırılması... **131**
- Şekil 6.98** : Erzurum Merkez’de, örnek yapı sistemleri için hesaplanan spektral ivme ve maks. kat ötelenme oranlarının 2018 Haritası/2019 Yönetmeliği ve 1996 Haritası/2007 Yönetmeliği’ne göre karşılaştırılması **132**
- Şekil 6.99** : Eskişehir Merkez’de, örnek yapı sistemleri için hesaplanan spektral ivme ve maks. kat ötelenme oranlarının 2018 Haritası/2019 Yönetmeliği ve 1996 Haritası/2007 Yönetmeliği’ne göre karşılaştırılması... **132**
- Şekil 6.100** : İstanbul Levent’de, örnek yapı sistemleri için hesaplanan spektral ivme ve maks. kat ötelenme oranlarının 2018 Haritası/2019 Yönetmeliği ve 1996 Haritası/2007 Yönetmeliği’ne göre karşılaştırılması..... **133**
- Şekil 6.101** : Kars Merkez’de, örnek yapı sistemleri için hesaplanan spektral ivme ve maks. kat ötelenme oranlarının 2018 Haritası/2019 Yönetmeliği ve 1996 Haritası/2007 Yönetmeliği’ne göre karşılaştırılması..... **133**
- Şekil 6.102** : Kütahya Merkez’de, örnek yapı sistemleri için hesaplanan spektral ivme ve maks. kat ötelenme oranlarının 2018 Haritası/2019 Yönetmeliği ve 1996 Haritası/2007 Yönetmeliği’ne göre karşılaştırılması..... **134**

Şekil 6.103 : Van Merkez’de, örnek yapı sistemleri için hesaplanan spektral ivme ve maks. kat ötelenme oranlarının 2018 Haritası/2019 Yönetmeliği ve 1996 Haritası/2007 Yönetmeliği’ne göre karşılaştırılması	134
Şekil 6.104 : 2019 Deprem Yönetmeliği Taleplerinin Doğurduğu En Büyük Kat Arası Görelî Ötemelerin 2007 Yönetmelik Değerlerine Oranı (Bina Grubu: Betonarme Çerçeve, Deprem Düzeyi 1)	136
Şekil 6.105 : 2019 Deprem Yönetmeliği Taleplerinin Doğurduğu En Büyük Kat Arası Görelî Ötemelerin 2007 Yönetmelik Değerlerine Oranı (Bina Grubu: Betonarme Çerçeve, Deprem Düzeyi 2)	137
Şekil 6.106 : 2019 Deprem Yönetmeliği Taleplerinin Doğurduğu En Büyük Kat Arası Görelî Ötemelerin 2007 Yönetmelik Değerlerine Oranı (Bina Grubu: Prefabrik Yapı, Deprem Düzeyi 1)	138
Şekil 6.107 : 2019 Deprem Yönetmeliği Taleplerinin Doğurduğu En Büyük Kat Arası Görelî Ötemelerin 2007 Yönetmelik Değerlerine Oranı (Bina Grubu: Prefabrik Yapı, Deprem Düzeyi 2)	139
Şekil 6.108 : 2019 Deprem Yönetmeliği Taleplerinin Doğurduğu En Büyük Kat Arası Görelî Ötemelerin 2007 Yönetmelik Değerlerine Oranı (Bina Grubu: Taban İzolatörlü Yapı, Deprem Düzeyi 1).....	140
Şekil 6.109 : 2019 Deprem Yönetmeliği Taleplerinin Doğurduğu En Büyük Kat Arası Görelî Ötemelerin 2007 Yönetmelik Değerlerine Oranı (Bina Grubu: Taban İzolatörlü Yapı, Deprem Düzeyi 2).....	141
Şekil 6.110 : 2019 Deprem Yönetmeliği Taleplerinin Doğurduğu En Büyük Kat Arası Görelî Ötemelerin 2007 Yönetmelik Değerlerine Oranı (Bina Grubu: Yüksek Yapılar, Deprem Düzeyi 1).....	142
Şekil 6.111 : 2019 Deprem Yönetmeliği Taleplerinin Doğurduğu En Büyük Kat Arası Görelî Ötemelerin 2007 Yönetmelik Değerlerine Oranı (Bina Grubu: Yüksek Yapılar, Deprem Düzeyi 2).....	143
Şekil B.1 : Analizlerde kullanılan depremlerin spektral ivme (Sa) grafikleri.....	201

TÜRKİYE’DE OLASILIKSAL DEPREM TEHLİKE HARİTALARININ BETONARME YAPILARDA DEPREM DAVRANIŞININ TESPİTİNE ETKİLERİ

ÖZET

Depreme karşı yapı tasarımında dünyadaki yönetmelikler, ilk olarak can güvenliğini sağlamak üzerine yoğunlaşmıştır. Bunun için yönetmeliklerde tarif edilen deprem yükleri ve bu yüklerin yapıya uygulanmasının ardından kontrolü sağlanacak limitler, yönetmeliklerin yazıldığı dönemlere, ülkelere ve bilimin o anki geldiği noktaya bağlı olarak farklılıklar göstermiştir. Özellikle 1994 Northridge (ABD) Depremi’nden sonra, daha önce yapıldığı gibi can güvenliğini hedefleyen tek bir performans düzeyi değil, farklı performans düzeylerinin de yönetmeliklerde bulunması gerektiği kabul görmüş, ABD’den başlamak üzere farklı ülkelerdeki yönetmelikler peşi sıra değişime uğramıştır. Ayrıca, sağlanması istenen performans limitlerinin de yine farklı deprem yük durumlarına göre farklılık göstermesi de bu değişimin bir parçası olarak yönetmeliklerde yerini almıştır. Bu yaklaşımın tamamına birden kısaca Performansa Dayalı Tasarım ismi verilmektedir. Bu nispeten yeni tasarım yaklaşımının temel ayaklarından biri, farklı deprem tasarım seviyeleri ve bunlara ait farklı deprem yük seviyeleridir. Bu deprem yük seviyeleri, deprem haritaları ile bölgelete göre değişken olarak verilmektedir. Genel olarak 50 yılda belirli bir aşılma olasılığı ile tarif edilen bu deprem seviyelerinden en bilinenleri İngilizce’deki kısaltmaları ile DBE (Design Basis Earthquake - Tasarım Depremi) ve MCE (Maximum Credible Earthquake - En Büyük Deprem) deprem seviyeleridir. Bunların 50 yıldaki aşılma olasılıkları sırası ile %10 ve %2’dir. 50 yılda aşılma olasılığı %2 olan deprem seviyesinin kullanılacağı yapılar genelde önemli yapılar olmakta, 50 yılda aşılma olasılığının %10 olduğu deprem seviyesi ise normal yapılarda tasarım seviyesi olarak kullanılmaktadır. Bu doktora tezinde, performans tabanlı değerlendirme ve tasarım yöntemlerini kullanarak betonarme yapıların deprem davranışının tespitinde deprem tehlike haritasının etkileri araştırılmıştır. Bunun için 1996 yılında yürürlüğe giren Türkiye Deprem Bölgeleri Haritası ve 2018 yılında yayınlanan ve 1 Ocak 2019’da yürürlüğe girecek olan Deprem Tehlike Haritası karşılaştırılmıştır.

Bu tez çalışmasında, yapıların inşa edildikleri bölgelerin yönetmeliklerde belirtilen ve zaman içerisinde değiştirilen deprem tehlike seviyesinin önemi ve yapılar üzerindeki etkileri irdelenmektedir. Bir bölgenin depremselliğinin, insan kaynaklı depremlerin olduğu bölgeler haricinde, birkaç yüzyıl içerisinde önemli miktarda değişmediği düşünüldüğünde, yapı tasarımına doğrudan etki eden deprem haritalarının bir bölgedeki yapı stoğunu şekillendirmedeki etkisi daha net ortaya çıkar.

Bu tezde yapılan karşılaştırmalar, yapı davranışı üzerinden yapılmıştır. Bunun için 9 adet 2 boyutlu çerçeve ve 3 boyutlu yapı olmak üzere çeşitli yapı sistemleri seçilmiştir. Bu yapılardan 5 tanesi ülkemizde çoğunlukla inşa edilen 3 ile 8 katlı yapılardır, bir tanesi taban izolatörlü, 2 tanesi yüksek yapı (20 ve 24 katlı) ve 1 tanesi de sanayi bölgelerinde inşa edilen prefabrik bir yapıdır.

Yapılan hassaslık analizleri neticesinde örnek yapı sistemlerinin modellenmesinde kullanılan, eleman formülasyonu, entegrasyon nokta sayısı ve eleman sayısının optimum ne olması gerektiği araştırılmış, bu sayede analiz sonuçlarının kabul edilebilir seviyede olması ve analiz zamanlarının kısaltılarak hata paylarının azalması sağlanmıştır.

Türkiye’de bulunan toplam 20 adet deprem bölgesi seçilmiştir. Bunlardan 10 tanesi 1996 Deprem Bölgeleri Haritası’na göre 1. derece deprem bölgesinde, diğer 10 tanesi ise 2. derece deprem bölgesinde bulunmaktadır. 2007 deprem yönetmeliğindeki ivme spektrumu kullanılarak seçilen deprem kayıtları yapılar üzerine etkilmiş ve sonuçlar yeni deprem yönetmeliğinin 2016 yılı taslağı kullanılarak seçilen bölgelere göre bulunan sonuçlar ile karşılaştırılmıştır. 2016 yılı taslağı, bu tezde kullanılan kısımları değişikliğe uğramadan 1 Ocak 2019 itibari ile resmi Yönetmelik olacağından, bu tez çalışmasındaki bulgular 2019 Deprem Yönetmeliği’ni direk olarak ilgilendirmektedir.

Seçilen 9 adet örnek yapı modeli üzerinde kullanılan 20’şer adet deprem kayıtları, deprem düzeyi 1 (DD1 - 50 yılda aşılma olasılığı %2 ve dönüş periyodu 2475 yıl) ve deprem düzeyi 2 (DD2 - 50 yılda aşılma olasılığı %10 ve dönüş periyodu 475 yıl) olarak seçilmiştir. Böylece toplamda 7920 adet zaman tanım alanında analiz yapılmıştır. Bu analizler neticesinde yapıların taban kesme kuvvetleri, kat bazında görelî kat öteleme oranları ve eksenel dönme miktarları hesaplanarak sonuçlar karşılaştırılmıştır.

Ülkemizin depremselliğini 1996 Deprem Bölgeleri Haritası’nda verildiğı şekli ile genellemenin, bazı bölgelerdeki yapılarda gereksiz büyük boyutlarda taşıyıcı sistem seçimini gerektirdiğı, bazı bölgelerde ise hasarların meydana gelebileceğinden dolayı yetersiz olduğı görülmüştür. Bu farklılıkların bölgelere göre ve farklı yapı tiplerine göre dağılımları tez akışı içerisinde verilmiştir.

THE EFFECT OF PROBABILISTIC SEISMIC HAZARD MAPS ON SEISMIC ASSESSMENT OF RC STRUCTURES IN TURKEY

SUMMARY

Seismic design codes in the world were initially aimed to assure life safety for occupants. The level of seismic loads as well as the structural response limits to be verified under such loads had a certain level of variety depending on countries, level of state-of-the-art and the know-how. The design approach drastically changed however after the 1994 Northridge Earthquake in the USA, where a new concept was introduced, that allows the use of varying levels of seismic hazard and thus seismic loads. Furthermore, structural design limits were also re-defined depending on different seismic design levels. The approach basically defined different performances for varying levels of seismic hazard, thus it was called performance-based design. One of the main aspects of this approach was the use of varying seismic hazard levels. These hazard levels were defined as percentage of probability of exceedance in, typically, 50 years. The seismic hazard levels have taken various names depending on the code, but the most used names are DBE (design basis earthquake) and MCE (maximum considered earthquake), which correspond to 10 and 2% probability of exceedance in 50 years, respectively.

In this thesis, the effect of seismic hazard maps, which are subject to changes in time, on the seismic assessment of RC structures in Turkey have been investigated. Structures designed to resist earthquake intensities corresponding to 2% probability of exceedance in 50 years are important structures. 10% probability of exceedance in 50 years corresponds to regular structures. In this thesis, the effects of seismic hazard maps both for 2% and 10% probabilities of exceedance have been investigated. In order to achieve this, the Turkish Seismic Zonation Map of 1996 and the Turkish Seismic Hazard Map published in 2018 (in effect as of 1s of January 2019) have been compared.

This study consists of 7 chapters in total. In the first chapter, the aim and scope of the thesis are given. Then in the second chapter, the theoretical, experimental and numerical studies and the recommendations related to the previous probabilistic seismic hazard analysis, shear walls with coupled beams and the base isolator systems in the literature are summarized.

Selected 9 building models are introduced in Chapter 3. These model stocks consist of 2D sample frames and 3D buildings. Five of these structures are 3 to 8-storey buildings which are mostly built in our country, one of them is a base isolator model, 2 of them are high-rise buildings (20 and 24 storeys) and one is a prefabricated building which is mostly constructed in industrial areas. Modelling details of the structures, shear walls with coupled beams and base isolator design parameters are also given in this section.

The sensitivity analysis are conducted in Chapter 4. In order to have more accurate results, the number of the element subdivision and the integration points in one member have to be increased accordingly. Unfortunately increased numbers of the elements and the integration points cause longer analysis times. It is really important to have reasonable results with the minimum numbers of the subdivision and the integration points to shorten the analysis times. The aim of this chapter is to carry out non linear push over analysis on a RC frame model to find out the optimum conditions of the number of the integration points, subdivision number and use forced based or displacement based formulation to achieve the reasonable results with the shortest analysis time.

Nine different analyses have been run on the case study frame to examine the effect of element formulation, as well as the number of subdivisions and integration points. A simple load-controlled conventional pushover analysis has been run with an inverted triangular loading pattern. According to the results, the optimum modelling is chosen and applied for all models during the calculations of this thesis.

In Chapter 5, the basics and the fundamentals of the 2019 seismic hazard map are summarized, the selected 20 regions are introduced and the procedures to select earthquake records according to the acceleration spectra are explained. A set of criteria and a comprehensive algorithm have been prepared so that an in-house developed Matlab script could be devised for selecting a suit of accelerograms for the demand level of relevance. The record selection has been done by using the PEER NGA database where 7025 recorded motions were available. An in-house developed software was used to list and download the record automatically and plot the spectra for acceleration at 5% damping, velocity and displacement. In terms of the selection algorithm, first the acceleration spectrum of the original record is compared to that of the target, in the period window of $0.2T$ to $1.5T$ sec. The scale factor needed is calculated by equating the area below and above the target spectrum. The scale factor is applied to the ordinates, so only to the acceleration of the original record. Then the near field vs far field comparison is made where the distances above 15km are assumed as far field. Finally a comparison is made in terms of the soil type where the records taken on soil with V_{s30} higher than 300m/sec are assumed to be recorded on firm soil while records taken on soils with V_{s30} lower than 700m/sec are assumed to be recorded on soft soil.

In Chapter 6, the results of the time history analysis of the systems introduced in Chapter 3, that are made in the OpenSees program, are given in this section. 20 earthquake regions were selected in Turkey. Ten of them are in the first degree earthquake zone and the other ten are in the second degree earthquake zone. The names of the selected regions are given in Chapter 5. 20 earthquake records, that are used on 9 selected sample structures, were chosen as earthquake level 1 (2% chance of exceeding in 50 years and return period of 2475 years) and earthquake level 2 (10% chance of exceeding in 50 years and return period of 475 years). Thus, a total of 7920 time history analysis were performed and the results were compared in this section. A program, that integrates with the Opensees structural analysis program, was developed in Matlab. So that the analyzes can be done in an accurate, systematic and controlled manner, the results can be editable and the data can be prepared for the Opensees program.

For each building, 20 earthquake records were selected using the acceleration spectrum in the 2007 Seismic Code, based on the 1996 Map, with the building importance coefficient 1.0 and 1.5. Then, acceleration spectra were created with the coefficients in the draft earthquake code and 20 earthquake records per each spectra were selected. Time history analysis of the models were conducted using the selected earthquake records. Comparative graphs of maximum chord rotations and floor drift ratios in columns, which are calculated as the result of applying these earthquake records to building systems, are plotted. In these graphs, the average and standard deviations of the analysis results are shown, and the value ranges were determined by adding and subtracting a standard deviation values to the average.

As a conclusion in Chapter 7, when the base shear values are taken into consideration, it was observed that the values calculated according to the 2019 seismic code (seismic hazard map of 2018) for the 1st degree earthquake region in Turkey, and for the earthquake level 1 (2% in 50 years), base shear can be 65% smaller than the one calculated based on the 1996 map. Similarly, for the 1st degree earthquake region and earthquake level 2 (10% in 50 years), it was observed that the base shear values calculated according to the 2019 seismic code (based on the seismic hazard map of 2018) could be almost 70% smaller than the existing 1996 seismic map.

The seismic resistance of the buildings in in province centers of Bartın, Burdur, Kırşehir, Van Erciş, Antalya, Diyarbakir, Kars and Van as well as in Levent in Istanbul are under-estimated when the existing 2007 seismic code and the 1996 seismic hazard map are used. The base shear demand on buildings in Sakarya and Erzurum, two provinces used in this study, is found to be considerably larger in the 2018 seismic hazard map.



1. GİRİŞ

AFAD Deprem Kataloğu'na göre 1900'den günümüze ülkemiz ve yakın çevresinde 25 adet $M_w \geq 7$, 108 adet $6 \leq M_w < 7$, 968 adet de $5 \leq M_w < 6$ büyüklüğünde deprem meydana gelmiş olup; yılda ortalama 1 adet yıkım yaratma potansiyeline sahip deprem olması mümkündür. Bu sebeple, depreme dayanıklı yapı tasarımı konusu ülkemizde yapı tasarımında önemli bir konudur. İlki 1940 yılında olmak üzere, sırasıyla 1944, 1949, 1953, 1962, 1968, 1975 ve 1998'de hazırlanan deprem yönetmeliklerini, 2007 yönetmeliği (Deprem Bölgelerinde Yapılacak Binalar Hakkında Yönetmelik – DBYBHY) izlemiştir.

İlki 1945 yılında yürürlüğe girmekle beraber deprem bölgeleri haritaları güncellenmeye devam etmekte olup, 1996 yılında yürürlüğe giren harita 2018'de yeni bir harita ile güncellenmiştir. Bahse konu 1996 haritası, 1881-1980 yılları arasında meydana gelen depremleri içeren katalogla hazırlanan Deprem Kaynak Bölgeleri esas alınarak yapılan olasılıksal tehlike analizi yöntemiyle ortaya çıkmıştır. 2018 yılında yürürlüğe giren harita ise daha kapsamlı bir çalışma ile ve Deprem Bölgeleri yaklaşımını terkederek hazırlanmıştır. Bu tez çalışmasında, olasılıksal olarak hazırlanan ve öncekilerinden bu sebeple ayrılan 1996 ve 2018 haritaları kullanılmıştır.

Dünya çapında tasarım yönetmelikleri, yapıların servis ömürleri boyunca meydana gelme olasılığı fazla olan servis seviyesi depremler (Service Level Earthquake - SLE) ve yapıların maruz kalabileceği en şiddetli depremlerin (Maximum Credible Earthquake - MCE) büyüklüğünü kullanarak tasarım tabanlı deprem (Design Basis Earthquake - DBE) seviyesini belirlemek için tasarım spektrumlarını tanımlamışlardır. Genellikle, tasarım depremleri 0.5 katsayısı ile çarpılarak servis depremleri, 1.5 katsayısı ile çarpılarak da oluşabilecek en şiddetli depremleri oluşturulur.

Bu doktora tezinde, yapıların inşa edildikleri bölgelerin depremselliğinin önemi ve yapılar üzerindeki etkileri irdelenmektedir. Performans tabanlı değerlendirme ve tasarım yöntemlerini kullanarak sıradan yapıların tasarımında, depremlerin büyüklüklerinde bölgelere göre yapılan kabullerin etkileri araştırılmıştır.

1.1 Tezin Amacı

Bu doktora tezi, Türkiye’de 1996 ve 2018 yıllarında yayınlanan iki farklı deprem haritasına bağılı farklı deprem seviyelerinin yapı davranışlarında ortaya çıkarttığı farklıları incelemek üzere hazırlanmıştır. 1996 yılında yürürlüğe giren haritanın, Türkiye’de son 22 yılda birçok yapının tasarımı, inşası ve güçlendirilmesinde kullanıldığı, 2018 yılında yayınlanan ve 1 Ocak 2019’da yürürlüğe girecek haritanın ise önümüzdeki onyıllar boyunca farklı birçok yapının tasarım ve güçlendirilmesinde kullanılacağı düşünüldüğünde, bu tezin Türkiye genelinde deprem yüklerinin tasarıma etkileri anlamında önemli ve geniş bir spektrumu kapsadığı söylenebilir. Bu tez

Deprem yükleri güncel yönetmeliklerde bir deprem haritası ve bununla birlikte kullanılacak boyutsuz tipik spektrum formu ile birlikte, yapıya bağılı deprem yüklerini tarif etmektedirler. Yapıya bağılı bu yükler için, depremlerin oluşumundaki belirsizlikler nedeni ile, farklı tehlike seviyeleri (hazard levels) için hesaplar yapılabilmektedir. Bu tehlike seviyeleri tipik olarak 50 yılda aşılma olasılığı şeklinde verilmektedir. Örneğin MCE (Maximum Considered Earthquake) seviyesi 50 yılda aşılma olasılığı %2 olan deprem tehlikesine, DBE (Design Basis Earthquake) ise tasarım depremi olarak kabul edilen 50 yılda aşılma olasılığı %10 olan deprem tehlike seviyesine denk gelmektedir. Bu yaklaşım bir basitleştirme gibi görülse de, esasen MCE deprem seviyesinin kullanılacağı yapılar genelde önemli yapılar olmakta, bu durumda da bu basit kabul bazen güvensiz tarafta kalabilmektedir. Bu güvensizlik, tamamen yapının bulunduğu bölge ve bu bölgenin deprem tehlikesi ile ilgilidir.

Bu tez çalışmasında, yönetmeliklerde verilen ve tasarım mühendislerince sıkça kullanılan, ancak literatürde farklı sismik tehlike seviyelerinin yapı tasarımı üzerindeki doğrudan etkilerinin araştırıldığı pek az ve kısıtlı çalışma bulunan bu husus, Türkiye şartları ve Türkiye’nin depremselliği göz önüne alınarak irdelenmiştir. Bu çalışmalar, 1996 Deprem Bölgeleri Haritası, 2007 Deprem Bölgelerinde Yapılacak Yapılar Hakkında Yönetmelik’te kullanılan spektrum ve tezin yazımı sırasında yeni yayınlanan ve 1 Ocak 2019’da yürürlüğe girecek olan 2019 Deprem Yönetmeliği ile 2018 Deprem Tehlike Haritası arasında, farklı yapı tipleri ve farklı bölgeler kullanarak bir karşılaştırma yapma fırsatı sunmuştur.

Tez konusunun en önemli sonucu, 2007 Deprem Bölgelerinde Yapılacak Binalar Hakkında Yönetmelik’te tasarım için kullanılan spektrum şekli ve en önemlisi de 1996

Deprem Bölgeleri Haritası'nın, 2018 Deprem Tehlike Haritası ve 2019 Yönetmeliği'ndeki tasarım spektrumu ile, yapısal davranış açısından, tüm ülkedeki yeter sayıda çalışma alanında ve mevcut yapı stokunu temsil edecek yeter sayıda bina test edilerek karşılaştırılmasıdır. Bu karşılaştırma, tüm ülkedeki depreme dayanıklı yapı tasarımı anlamında bilgiler verdiği için, yaygın etki alanı içerisindedir.

Bu tez çalışmasında farklı yönetmelikler, farklı tarihlerde hazırlanan, yayınlanan veya resmileşen haritalar kullanıldığından, okuyucu açısından konuyu basitleştirmek adına, bu harita ve yönetmelikler tezde bundan sonra aşağıdaki şekilde adlandırılacaktır:

- 1996 Haritası: 1996 yılında yürürlüğe giren ve 1 Ocak 2019 tarihine kadar yürürlükte olacak olan Türkiye Deprem Bölgeleri Haritası
- 2019 Haritası: 2018 yılında AFAD web sitesi üzerinden yayınlanan ve 2019'da çıkacak yeni yönetmeliğe altlık teşkil edecek olan Türkiye Deprem Tehlike Haritası
- 2007 Yönetmeliği: 1 Ocak 2007'de yürürlüğe giren ve 1 Ocak 2019'a kadar geçerli olacak olan, Deprem Bölgelerinde Yapılacak Yapılar Hakkında Yönetmelik
- 2019 Yönetmeliği: 1 Ocak 2019'da yürürlüğe girecek olan Türkiye Bina Deprem Yönetmeliği

1.2 Tez Organizasyonu

Bu kapsamda, çalışmanın ikinci bölümünde literatür çalışması yapılarak şimdiye kadar konuyla ilgili yapılmış çalışmalar sunulmuştur. Üçüncü bölümde seçilen yapı türleri (6 adet sıradan betonarme çerçeve, 1 adet taban izolatörlü çerçeve, 2 adet yüksek yapıları temsil etmek için bir çerçeve modeli ve bir 3 boyutlu sistem) tanıtılmıştır. Dördüncü bölümde, modelleme parametreleri hakkında bilgiler verilerek, örnek bir yapı modeli üzerinde, elemanların entegrasyon nokta sayısı ve küçük elemanlara bölünmesi konusunda hassaslık analizleri yapılmış ve tezde kullanılan optimum çözümler sunulmuştur. Beşinci bölümde, bütün tasarım ofislerinde olduğu gibi yönetmelikte tanımlanan 50 yılda aşılma olasılığı %10 (dönüş periyodu 475 yıl) ve 50 yılda aşılma olasılığı %2 (dönüş periyodu 2475 yıl) olan 20x2 adet deprem ivme kayıtları seçilme yöntemleri ve yararlanılan kaynaklar anlatılmıştır. Örnek yapılar üzerinde Bölüm 5'te seçilen deprem ivme kayıtları kullanılarak zaman tanım alanında

analizler yapılmış, yapı bazında ve bölge bazında olmak üzere sonuçlar karşılaştırmalı olarak 6. Bölüm’de incelenmiş ve irdelenmiştir. Son bölümde ise sonuçlar üzerinde yorumlar yapılarak, öneriler ortaya konulmuştur.



2. LİTERATÜR ÖZETİ

Tez konusunun ilk aşaması, 1996 ve 2019 haritalarındaki sismik tehlikenin karşılaştırılmasıdır. Bu haritaların hazırlanmasında kullanılan olasılıksal sismik tehlike analizi, yapıların güvenliği için depremlerin doğal etki seviyelerinin değerlendirilmesi ile ilgilidir. Sismik tehlikenin tanımlanabilmesi için kullanılan bazı parametreler şu şekilde sıralanabilir; maksimum yer ivmesi (Cornell, 1968), Fourier ve tepki spektrumu genlikleri (McGuire, 1976; Anderson ve Trifunac, 1977, 1978; Lee ve Trifunac, 1985), kuvvetli yer hareketi süresi (Papazachos ve ark., 1992), maksimum kesit zorları (Todorovska ve Trifunac, 1996) yüzey fayları (Todorovska ve ark., 2005; Stepp ve ark., 2001), sıvılaşma (Todorovska ve Trifunac, 1999), ve toprak kaymaları (Del Gaudio ve Wasowski, 2004), bunların dışında tepki spektrumu en çok kullanılan ve üzerinde çalışılan güçlü yer hareketi tanımıdır. Tepki spektrumu kavramı 1930'ların başında ilk olarak gündeme geldi (Biot, 1932, 1933, 1934). Basit olması ve yapının tepkisi ile yer hareketi arasında direk bir bağlantı olması nedeniyle 1970 ten beri depreme dayanıklı yapı tasarımı temel bir araç haline gelmiştir. Özellikle nükleer santraller için Newmark tarafından yapısal tasarım anlamında sunulmasından beri (Newmark v.d., 1973) tüm dünyada kabul edilmiş bir yaklaşım haline gelmiştir. Newmark'ın yaklaşımı daha sonra farklı zemin tiplerinin deprem davranışına etkisini saha çalışmaları ile gösteren yayınlar ile (örneğin, Tezcan v.d., 1977) daha da genişletilmiş ve bugün bildiğimiz manada tasarım spektrumları yönetmeliklerdeki yerini almıştır.

Türkiye'de 2007 yönetmeliğinde (DBYBHY, 2007) deprem kuvvetleri için tanımlanan spektrumlar zemin sınıfına ve etkin yer ivmesine (deprem bölgelerine) göre değişiklik göstermektedir. Ülkemizin depremselliği göz önüne alındığında, bu spektrumun yeterli gelmediği, bunun içinde bölge bazlı spektrumların oluşturulması gerekliliği aşikardır. Yeni deprem yönetmeliğinde (2016 taslağı) ise koordinatlara göre spektrum katsayıları belirlenebilmekte ve o bölgenin deprem profili daha kesin çıkartılabilmektedir. Bu katsayıların hesaplanmasında sismik tehlike analizleri kullanılmıştır. 2007 Deprem Yönetmeliği spektrumu PGA (Peak Ground

Acceleration) değerine ankre edilmiş ve tüm spektrumlar bu değerden başlayarak üst üste çakışırken, yeni deprem yönetmeliğinde (2016 taslağı) NEHRP 2007 (NEHRP, 2007) yaklaşımı uygulanmıştır. Buna göre, sismik tehlike çalışması Ss ve S1 olmak üzere, tasarım spektrumunun bir kısa ($T=0.2s$) bir de uzun ($T=1.0s$) değerlerindeki ivmelerini vermekte, bu ivmeler daha sonra Üniform Tehlike Spektrumu (UHS: Uniform Hazard Spcetrum) şekline dönüştürülmektedir. Bu yeni spektrum tarifi aslında son 10 yılda dünyadaki birçok modern yönetmelikte yerini almış olan yaklaşımdır.

Deprem sismik tehlike değerlerinin, yani Ss ve S1 değerlerinin bölgesel olarak tespit edildiği sismik tehlike analizinde, deterministik ve olasıksal olmak üzere yaygın olarak kullanılan iki yaklaşım mevcuttur. Deterministik yaklaşımda, ilgilenilen bir tehlike parametresinin değeri, sabit bir deprem kaynağı-saha mesafesinde olduğu kabul edilen belirli bir deprem büyüklüğü için tahmin edilir (örneğin Reiter, 1990; Anderson, 1997; Krinitzsky, 2002). Ancak, tek senaryolu deprem, bir sahadaki sismik tehlikenin doğru resmini sağlamaya yetmez, çünkü büyüklüğün ve mesafenin değişik kombinasyonları, farklı frekans bantlarında daha fazla ölçüde katkıda bulunur. Öte yandan, probabilistik sismik tehlike analizi (PSHA) yaklaşımı, depremlerin rastgele büyüklüğünü, tekrar meydana gelme sıklığını, odak yerini ve ilgilenilen tehlike parametrelerinin genliğini göz önünde bulundurarak tüm depremlerin etkisini dikkate alır. Verilen tekrarlama periyodunda oluşması beklenen herhangi bir deprem için istenilen güvenlik seviyesinin aşılması, tehlike parametrelerinin PSHA yaklaşımı ile tahmin edilmesi durumunda beklenmemektedir.

Maksimum yer ivmesi için PSHA formülasyonu ilk olarak Cornell (1968) tarafından sunulmuştur. Deprem şiddetindeki rastgeleliği Gutenberg-Richter'in (Gutenberg ve Richter, 1944) frekans-büyükük ilişkisini kullanarak modellemiştir. Burada depremin tekrarlanma zamanını Poisson olasılık dağılımıyla, yeri ise odağın nokta kaynağına olan uzaklığıyla ya da düz bir çizgi fayı üzerine uniform olarak dağılmasıyla veya yer etrafında ki dairesel alan olarak göz önünde bulundurmuştur. Fakat Cornell'in fomülasyonu (1968) ortalama azalma ilişkisi etrafındaki tehlike parametre genliklerinin rastgele dağılımlarını dikkate almıyordu. (Milne ve Davenport, 1969; Douglas ve Ryall, 1975) gibi birçok eski çalışmada ve Kijko ve Graham, 1999 gibi bazı çalışmalarda da tehlike parametrelerindeki rastgelelik dikkate alınmamıştır. Der

Kiureghian (1977), bu rastgeleliğin tehlike analizlerinin sonuçlarında önemli bir bilinmezlik kaynağı olabileceğini göstermiştir.

Bütün frekanslarda tehlikenin üniform bir şekilde tahmin edilebilmesi için, McGuire (1974, 1977) tepki spektrumu genliklerinde çok sayıda değişik frekanslarda, logaritmik dağılımların göz önüne alındığı spektral genliklerdeki rastgelelik ile PSHA uygulamıştır. Anderson ve Trifunac (1997, 1998), sismik aktiviteleri daha gerçekçi modellemek ve Fourier genlik spektrumu hesaplamak için PSHA formülasyonunu genelleştirmişlerdir. Depremselliği tanımlamak adına beş farklı deprem kaynağı tipini ele almışlardır, bunlar sırasıyla noktasal kaynak, çizgisel kaynak (düz olmayabilir), geliş güzel sınırları olan alansal kaynak, geliş güzel batan fay yüzeyi ve geliş güzel bir şeklin hacmidir. Kullandıkları formüller fay kırılma boyutlarının etkilerini de içermektedir.

PSHA yaklaşımındaki yeni gelişmelerin birçoğu belirli pratik uygulamalar için daha gerçekçi tanımlar elde edebilmek adına, deprem büyüklüğündeki rastgeleliği, yeniden oluşma sıklığı ve deprem merkez üssü yerini tanımlamak için değişik olasılıksal modeller kullanılır. Mevcut verilerin yetersizliği ve yer hareketinin tam olarak anlaşılabilmesi nedeniyle, belirsizlikler olmadan çeşitli veri giriş modellerinin nitelendirilmesi oldukça zordur. Mevcut PSHA yaklaşımı, çoğunlukla epistemik belirsizlikleri olarak adlandırılan bu ek belirsizliklerin sayısal karşılıklarını tanımlamak için mantık ağacı (Kulkarni ve ark., 1984) metodundan yararlanmaktadır. Öte yandan, temel PSHA yaklaşımı sadece rastgele (şansa bağlı) belirsizlikleri ele almaktadır. Mantık ağacı metodu, veri modelleri ve onların parametrelerinin tüm olası kümelerini belirlemek için gerekli olan sistemli bir grafik yöntemi sağlar. PSHA için hazırlanan veri setlerinin her biri için tanımlanan uygun bir ağırlık, elemanların veri girişi için çeşitli mantık ağacı dallarına atanır. Temel PSHA her bir veri giriş setine, tehlike tahmininde epistemik belirsizliklerin etkileri hakkında resmin bize bütünü göstermesi için uygulanır.

PSHA'nın sonuçları, basitleştirilmiş elastik analizle (örneğin, DBYBHY, 2007; BSSC, 1997; UBC, 1997), daha zor olan performans tabanlı analiz (örn., FEMA, 2000; Ellingwood, 2001; Bertero ve Bertero, 2004) yöntemlerinin her ikisinin de kullanıldığı depreme dayanıklı tasarım için bir temel oluşturabilir. PSHA yaklaşımının diğer bir pratik uygulaması ise sismik bölge haritalarının hazırlanmasıdır. Bu bölgeleme, makro boyutta olabileceği gibi, bölgesel ve yerel saha etkilerini daha detaylı bir şekilde

bünyesinde barındıran mikro ölçekte de olabilir. Mikro bölgeleme haritaları sadece seçilmiş frekanslardaki maksimum ivme ve spektral genlikler ile sınırlandırılmış olmaları gerekmemektedir. Yeni gelişmeler, normalize edilmiş maksimum şekil deęiřtirmeler (Todovska ve Trifunac, 1996), yüzey faylanması (Todorovska ve ark., 2005) ve sıvılařma potansiyeli (Todovska ve Trifunac, 1996) gibi etkilerin de dikkate alındığı mikro ölçekli haritaların hazırlanmasına olanak saęlamıřtır.

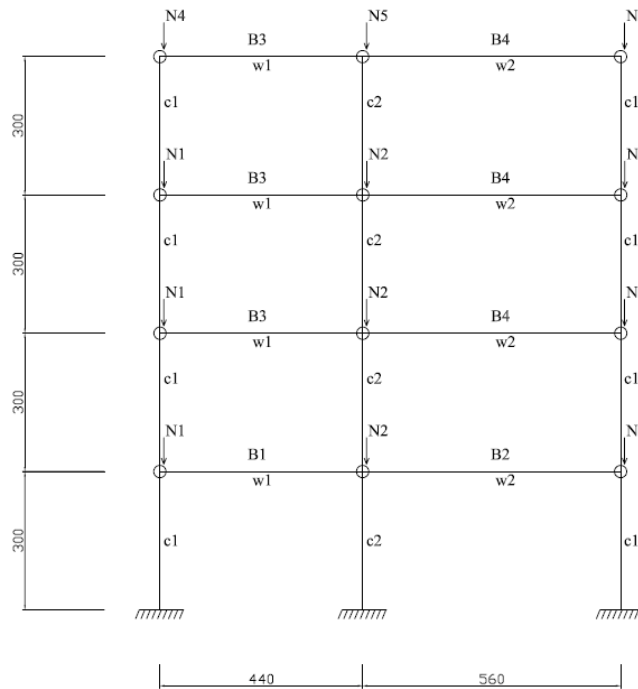
Nispeten karmařık bir altyapısı olan olasılıksal tehlike analizinin sonucunda elde edilen deprem kuvvetlerinin yapı tasarımına etkileri, kısıtlı da olsa, gemiřte bazı arařtırmacılar tarafından da irdelenmiřtir. Bunların bařlıcalarından olan Gupta ve Krawinkler (2000) alıřmasında, sünek ve moment aktaran birleřimlere sahip elik erevelerin, farklı sismik tehlike seviyelerinden kaynaklanan farklı yükler altındaki davranıřları incelenmiřtir. Bu alıřma sonucunda, makale kapsamında incelenen ve doęrusal olmayan analizleri yapılan ereve yapılarının, beklenen davranıřları sergilediđi, ancak beklenmeyen hasar riskinin de, yine alıřma sonuçlarına göre, azımsanmayacak bir seviyede olduđu tespit edilmiřtir. Bommer v.d. (2000), farklı sismik tehlike seviyeleri için, hem kuvvet ve hem de deplasman tabanlı tasarım yaklařımlarına uyan spektrumlar vermiř ve bunları etkileyen faktörleri sıralamıřtır. Ancak alıřmada bu farklı spektrum yaklařımlarının yapı tasarımına etkileri, sadece ok basit temsili yapı davranıř parametreleri üzerinden incelenmiřtir. Cornell (1996), farklı sismik tehlike seviyelerinin yapılar üzerindeki farklarını, basit tek serbestlik dereceli doęrusal olmayan sistemler üzerinde göstermiřse de bu yayın, yapısal tasarım anlamında nispeten basit ıkarımlar içermektedir.

3. KARŞILAŞTIRMALARDA KULLANILAN SİSTEMLERİN TANITILMASI VE DEĞERLENDİRME AMACIYLA NUMERİK MODELLEME

3.1 Betonarme Çerçeve Özellikleri ve Bunların Modellenmesinde Dikkate Alınan Hususlar

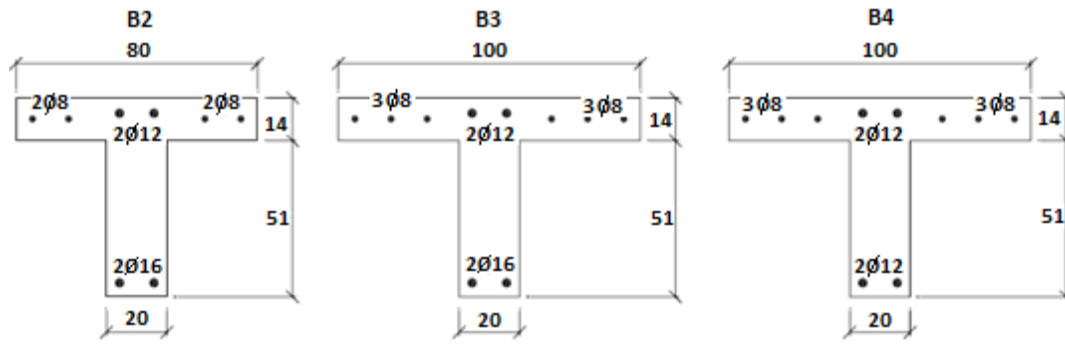
Burada kullanılan yapı sistemleri çoğunlukla Türkiye'deki gerçek veya tasarlanmış binalardan veya Türkiye'deki yapılarla benzerlikler gösteren ve yurtdışından alınan, Türkiye'ye de uyarlanabilecek birkaç örnekten oluşmaktadır. Betonarme çerçeveleri temsil etmek için, değişik kat sayısı ve yükseklikte olan 9 adet betonarme çerçeve seçilmiştir. Her bir çerçevenin detaylı anlatımı ve çizimleri aşağıda verilmiştir.

4 Katlı Çerçeve (PFN_4_1). Düzenli kat yüksekliklerinden oluşmuş 4 katlı bir çerçeve elemanıdır. 1980'lerin sonu yapı stoğunu temsil eder [Bal ve ark., 2008] (Şekil 3.1). Beton basınç dayanımı 16 MPa, sarılmış beton katsayısı K 1.10, çelik çekme dayanımı 400MPa ve beton pas payı 3 cm olarak alınmıştır. Binanın toplam kütlesi ise 177 tondur. Bu modelin donatı detayları ve kirişlerin enkesitleri Şekil 3.2' de verilmiştir.



Şekil 3.1 : 4 katlı PFN_4_1 modeli.

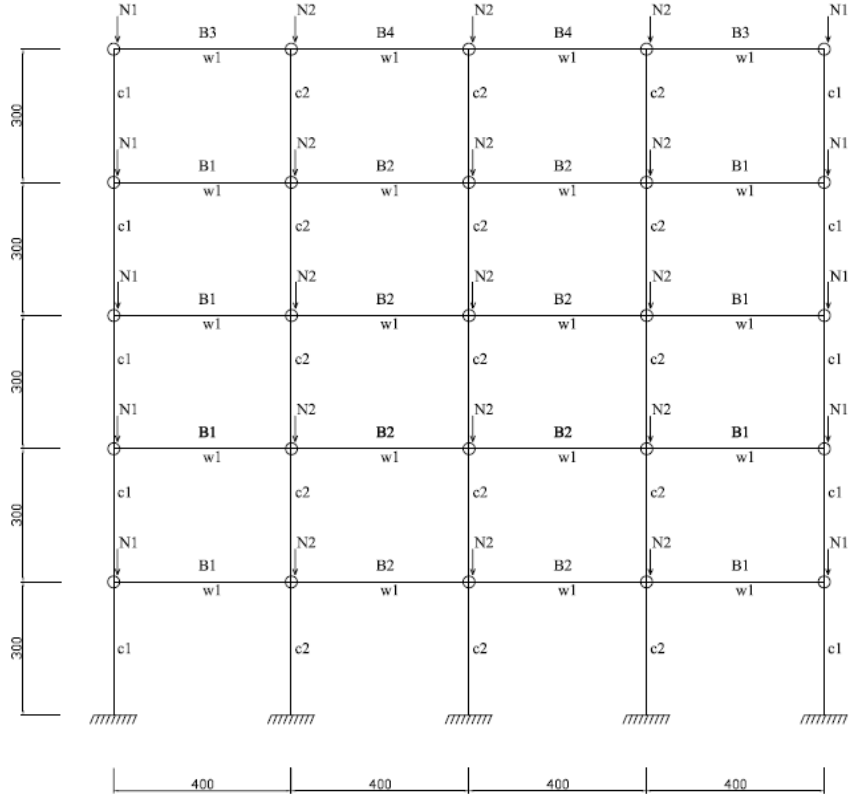
Şekil 3.1’de gösterilen düğüm noktalarına etkililmiş normal kuvvetler, çerçevelere dik yönde bağlanan kiriş ve döşemelerden gelen yükleri temsil etmektedir. C1 Kolonunun 30 cm eni ve 55 cm derinliği vardır. Bu kolonda 10 ϕ 16 boyuna donatı kullanılmıştır. C2 perdesi ise zayıf eksenini doğrultusunda yerleştirilmiştir. C2 perdesinin eni 20 cm boyu ise 140 cm’dir. Bu perdede başlık bölgeleri 20cm olarak teşkil edilmiştir ve 4 ϕ 20 boyuna donatısı vardır. Perdenin gövde boy donatıları ise 8 ϕ 16’dır. B1 kirişi dikdörtgen kesitli olup, genişliği 55cm, yüksekliğide 35 cm’dir. Kiriş üst donatısı 2 ϕ 12, alt boy donatısı ise 3 ϕ 12’dir, donatı detayları kirişlerin açıklık ve mesnetlerinde aynıdır.



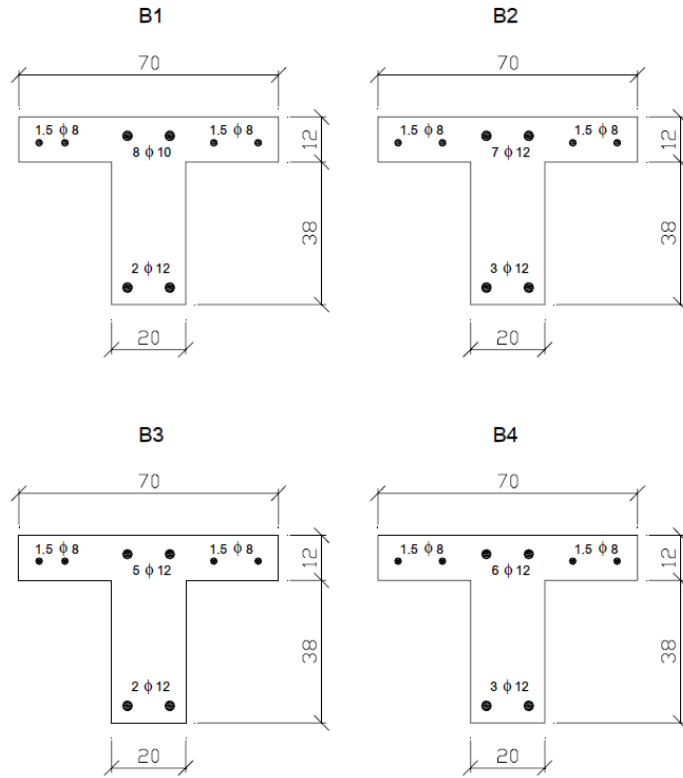
Şekil 3.2 : 4 katlı PFN_4_1 modeli için kiriş boyutları ve donatı detayları.

5 Katlı Çerçeve (PFN_5_1). Bu 5 katlı çerçeve sadece ağırlık yükleri altında tasarlanmıştır ve Türkiye’deki ağırlık yükleri altında tasarlanmış binaları temsil etmektedir [Başaran, 2006]. Eşit kat yüksekliklerine sahip düzenli bir yapıdır (Şekil 3.3). Beton basınç dayanımı 16.8MPa [Bal ve ark., 2007 ve 2008b], sarılmış beton katsayısı K 1.10, Çelik çekme dayanımının Türk bina sistemlerindeki ortalama değer olan 371 MPa olduğu farz edilmiştir [Bal ve ark., 2007 ve 2008b]. Beton pas payı kalınlığı 3cm ve çerçevenin toplam kütlesi ise 210,8 tondur.

C1 kolonları 30x30 cm boyutundadır ve 8 ϕ 14 boyun donatısı mevcuttur, C2 kolonları ise 40x40 cm boyutlarındadır ve 8 ϕ 16 donatısı vardır. Bu modelin kirişlerinin donatı detayları ve boyutları Şekil 3.4’ de verilmiştir (donatı detayları kirişlerin açıklık ve mesnetlerinde aynıdır). Ayrıca Şekil 3.3’de gösterilen düğüm noktalarına etkililmiş normal kuvvetler, çerçevelere dik yönde bağlanan kiriş ve döşemelerden gelen yükleri temsil etmektedir.



Şekil 3.3 : 5 katlı PFN_5_1 modeli.

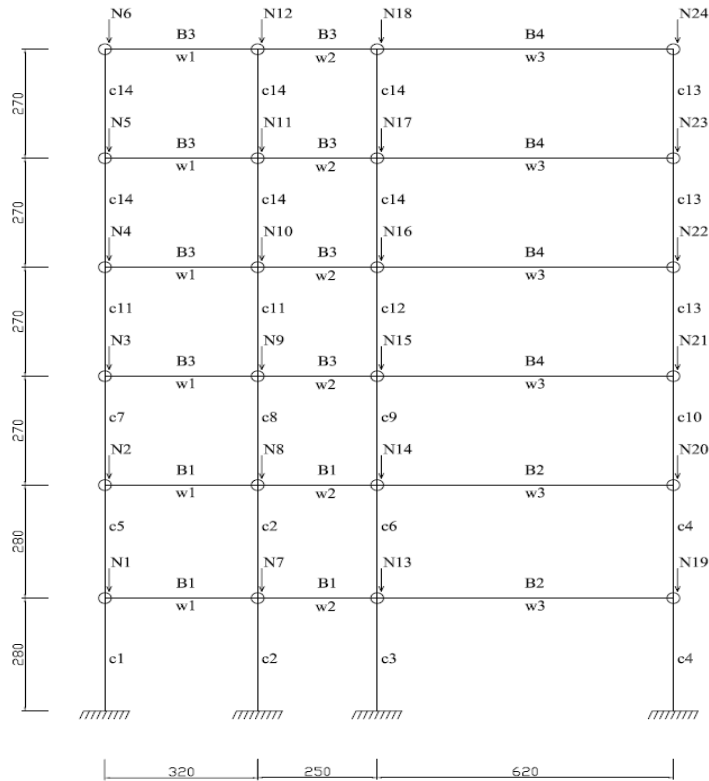


Şekil 3.4 : 5 katlı PFN_5_1 modeli için kiriş donatı detayları ve boyutları.

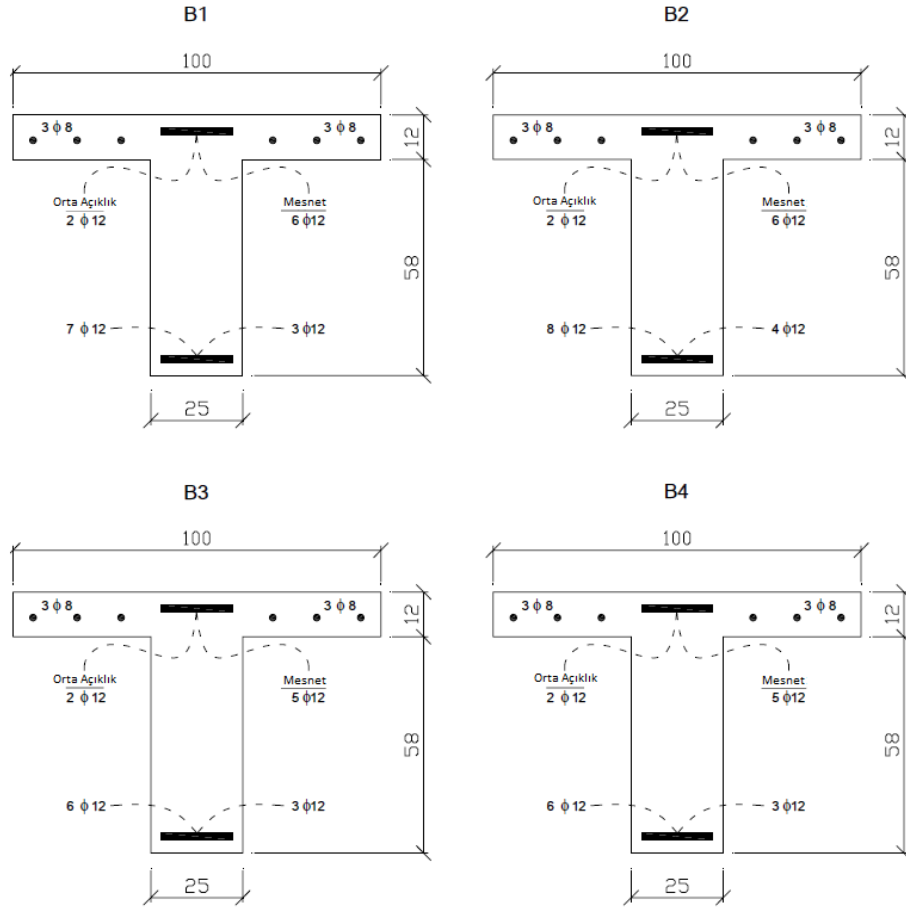
6 Katlı Çerçeve (PFN_6_1). Bu 6 katlı çerçeveyi oluşturmak için Kadıköy, İstanbul'da bulunan gerçek bir yapıdan yararlanılmıştır [Gülay ve ark., 2008]. Bina 1970'lerin sonlarına doğru inşa edilmiştir. İlk iki katı kısmi olarak ticaret amacıyla kullanıldığı için giriş kat yüksekliği diğer katlardan daha uzun değildir (Şekil 3.5). Ortalama beton basınç dayanımı 21 MPa'dır. Çelik çekme dayanımı Bal ve ark. [2007 ve 2008b] tarafından önerildiği üzere 371 MPa olarak alınmıştır. Yapının toplam ağırlığı ise 314 tondur. Kiriş ve kolonların boyut ve donatı detayları Çizelge 3.1 ve Şekil 3.6'da verilmiştir.

Çizelge 3.1 : 6 Katlı PFN_6_1 Modeli kolonlarının boyutları ve donatı detayları.

Kolon No	Boyutlar (cm) (en x boy)	Donatı	Kolon No	Boyutlar (cm) (en x boy)	Donatı
C1	70x50	18 ϕ 16	C8	80x30	18 ϕ 16
C2	90x40	16 ϕ 16	C9	50x30	8 ϕ 16
C3	70x30	12 ϕ 16	C10	50x40	10 ϕ 16
C4	50x50	14 ϕ 16	C11	50x25	8 ϕ 16
C5	60x50	16 ϕ 16	C12	40x30	6 ϕ 16
C6	60x30	10 ϕ 16	C13	50x25	8 ϕ 16
C7	60x40	12 ϕ 16	C14	40x25	6 ϕ 16



Şekil 3.5 : 6 katlı PFN_6_1 modeli.

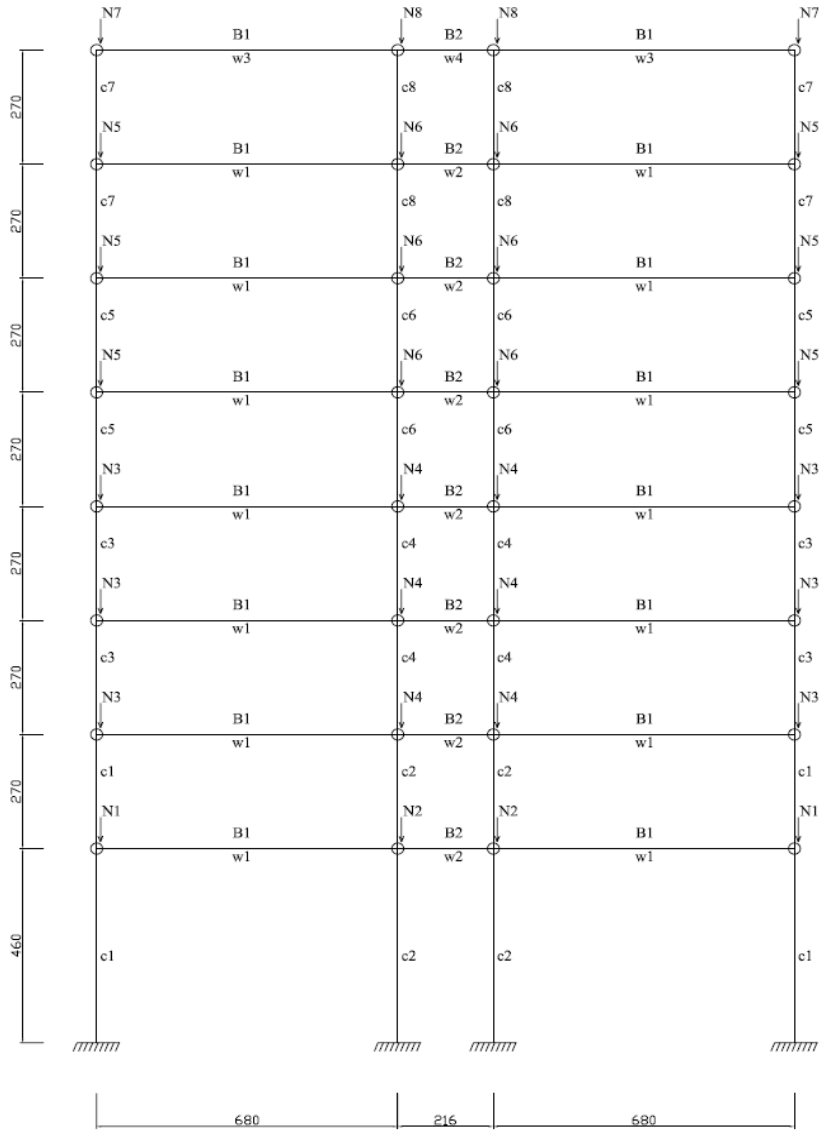


Şekil 3.6 : 6 katlı PFN_6_1 modeli için kiriş donatı detayları ve boyutları.

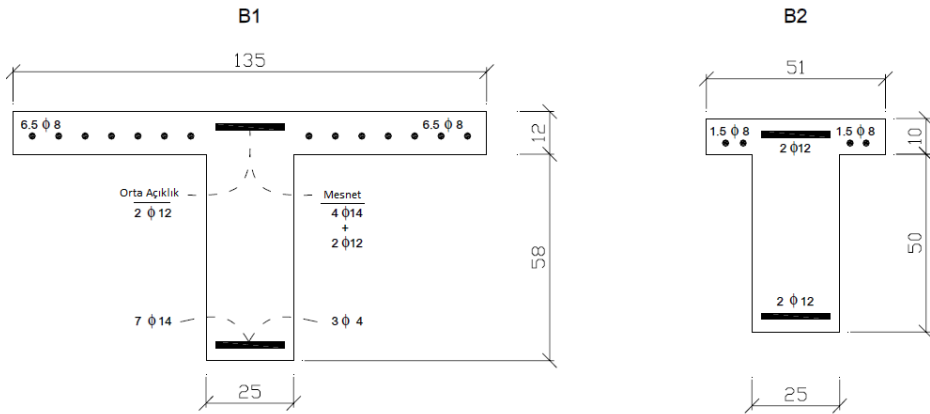
8 Katlı Çerçeve (PFN_8_2). Bu 8 katlı çerçeveyi oluşturmak için Saraybahçe, Kocaeli’nde bulunan gerçek bir yapıdan yararlanılmıştır [Bal, 2005]. Bina 1999 Kocaeli depreminde tamamen yıkılmıştır ve 36 kişinin ölümüne sebep olmuştur. Bina giriş yüksekliği 4,6 m’dir ki bu da binanın yıkılma sebeplerinden biri olarak gösterilebilir (Şekil 3.7). Bal ve arkadaşlarının [2007 ve 2008b] önerisi ile beton ve çelik dayanımları sırasıyla 16.7 MPa ve 371 MPa olarak kabul edilmiştir. Yapının toplam kütlesi ise 387,4 tondur. Kiriş ve kolonların boyut ve donatı detayları Çizelge 3.2 ve Şekil 3.8’de verilmiştir.

Çizelge 3.2 : 8 Katlı PFN_8_2 Modeli kolonlarının boyutları ve donatı detayları.

Kolon No	Boyutlar (cm) (en x boy)	Donatı	Kolon No	Boyutlar (cm) (en x boy)	Donatı
C1	60x30	8φ16	C5	50x25	6φ16
C2	30x75	12φ16	C6	30x50	12φ16
C3	50x30	8φ16	C7	40x25	6φ16
C4	30x65	12φ16	C8	25x50	10φ16+2φ14



Şekil 3.7 : 8 katlı PFN-8-2 modeli.

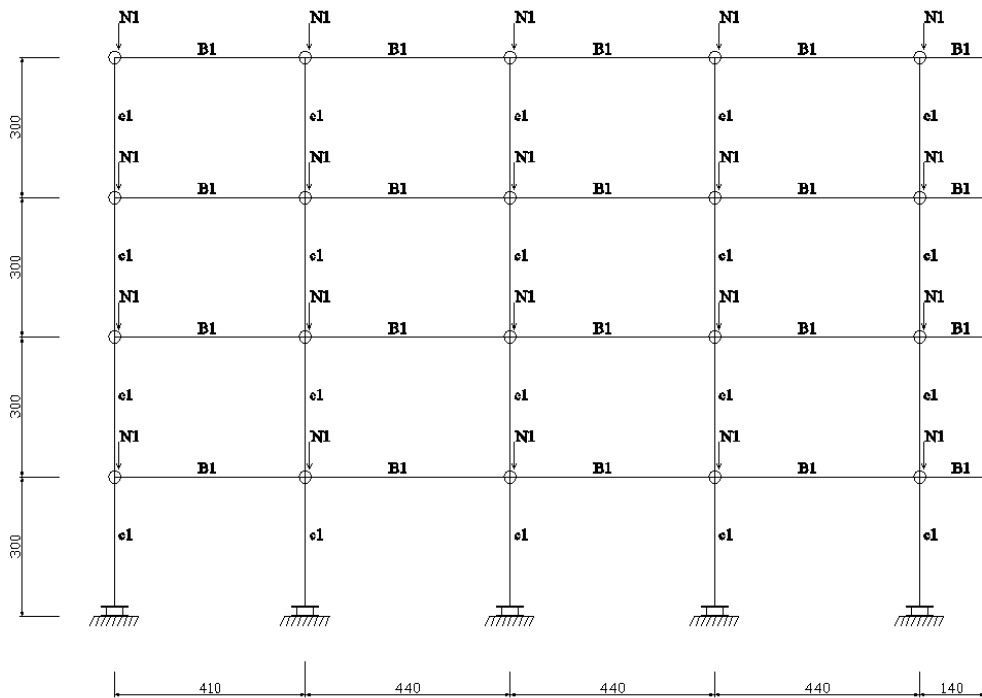


Şekil 3.8 : 8 katlı PFN-8-2 modeli için kiriş donatı detayları ve boyutları.

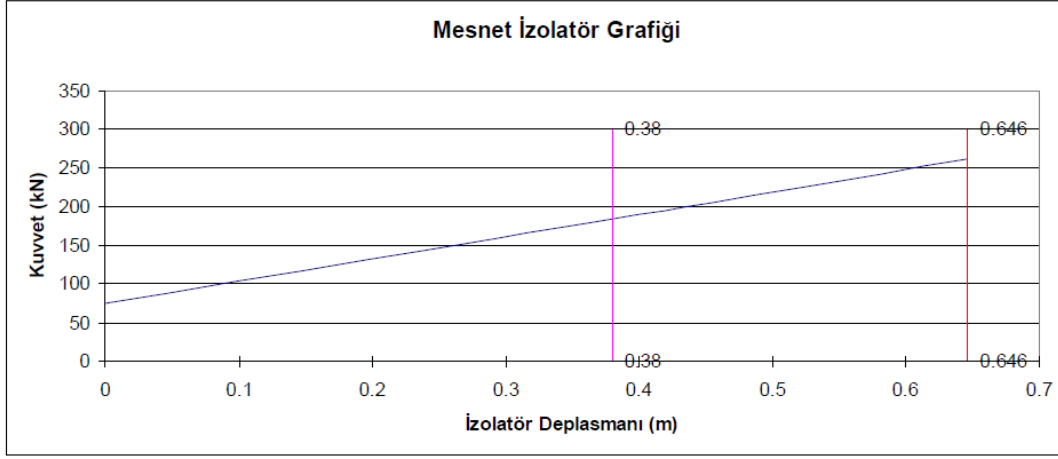
Şekil 3.7’de gösterilen düğüm noktalarına etkililmiş normal kuvvetler, çerçevelere dik yönde bağlanan kiriş ve döşemelerden gelen yükleri temsil etmektedir.

4 Katlı Çerçeve (Aydın Binası). Örnek olarak alınan iki boyutlu çerçevesi Şekil 3.9’da verilen, 1980’lerde inşa edilmiş orta katlı tipik bir betonarme bina özellikleri taşıyan dikdörtgen plana sahip, düzenli aralıklı çerçevelerden oluşan bir binadır. Yapı ofis olarak inşa edilmiş, ancak ilerleyen zamanlarda eğitim amaçlı kullanılmasına karar verilmiş, bu yüzden de izolatör alternatifi kullanılmıştır. Şekil 3.10’da gösterildiği gibi tanımlanmış taban izolatörleri bulunmaktadır. Binada tek sürtünme yüzeyli sürtülmeli sarkaç izolatörler kullanılmıştır. Kat yükseklikleri her katta aynı ve 3.0m’dir, beton ve çelik için kullanılan malzeme ise sırasıyla C14 ve S220’dir. Yapıda düşey yükler $G + 0.3Q$ kombinasyonuna göre hesaplanmıştır.

Aydın binasının tabana ankastre bağlı halinin 1. mod periyodu 0.5 s’dir. Toplam ağırlığı 5944.7 kN olan yapının davranış grafiği Şekil 3.10’da verilen tasarım depremindeki deplasman seviyesi 0.38 m. olan izolatör tanımlandıktan sonra ise özdeğer vektörü analizi sonucu yapının tasarım depremindeki periyodu deprem düzeyi 1 (50 yılda aşılma olasılığı %2) için 3.41 sn, deprem düzeyi 2 (50 yılda aşılma olasılığı %10 olan depremler) için 3.02 sn olarak hesaplanmıştır. C1 kolonları 60x60 cm boyutundadır ve 4 ϕ 34 boyun donatısı mevcuttur, B1 kirişleri ise 35x85cm (en x yükseklik) boyutlarındadır ve 3 ϕ 24 üst donatısı, 3 ϕ 16 alt donatısı vardır. Şekil 3.9’de gösterilen düğüm noktalarına etkilmiş normal kuvvetler, çerçevelere dik yönde bağlanan kiriş ve döşemelerden gelen yükleri temsil etmektedir.

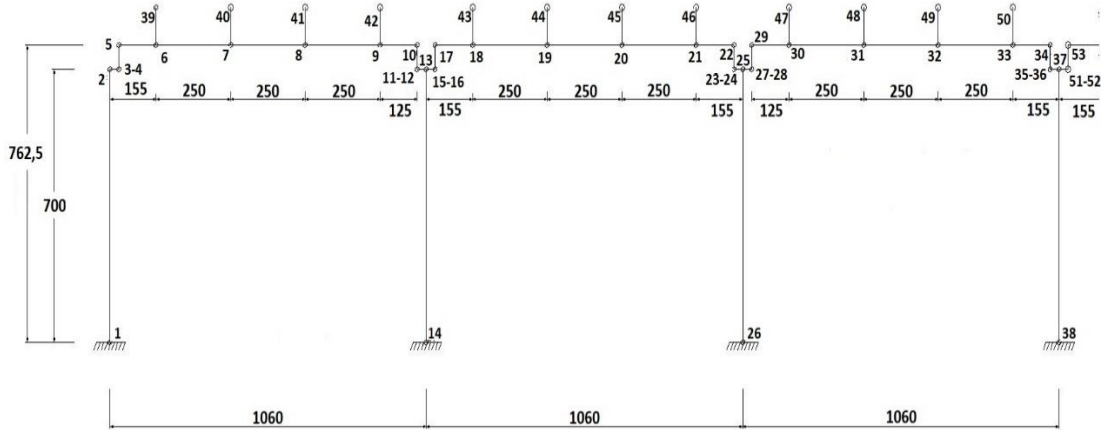


Şekil 3.9 : 4 katlı Aydın Binası modeli.

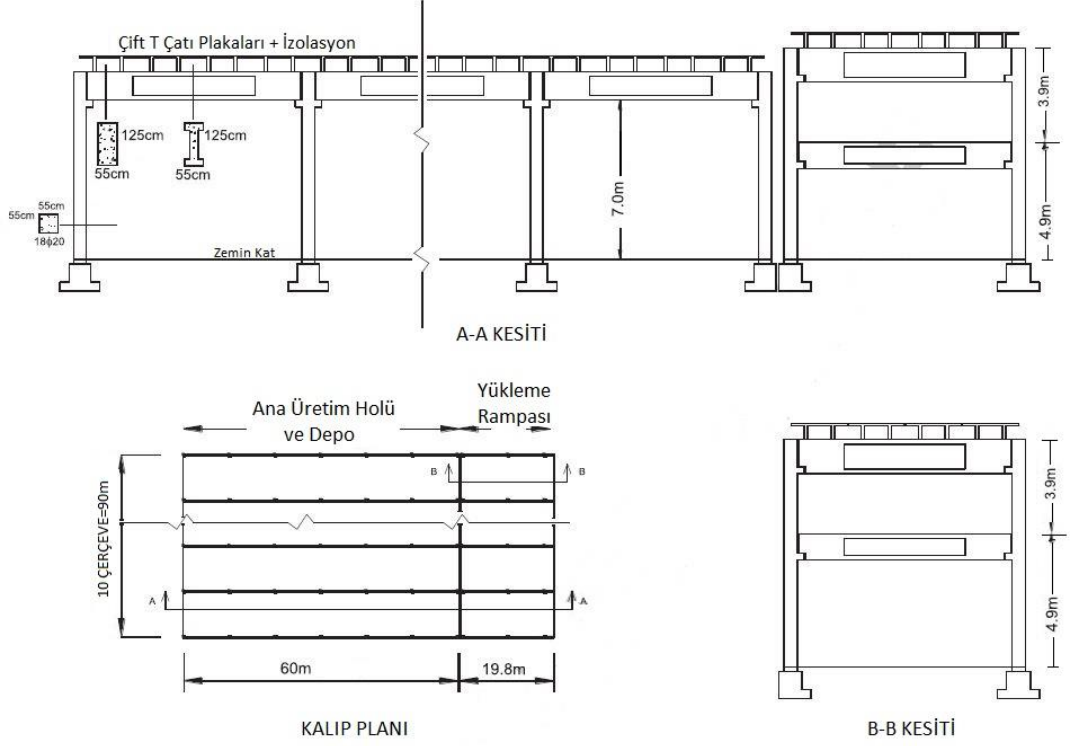


Şekil 3.10 : Aydın Bina modelinin taban izolatörü kuvvet deformasyon grafiği.

Tek Katlı Çerçeve (Prefabrik Yapı). Türkiye’deki bir sanayi tesisinden alınan ve burada kullanılan prefabrik yapı örneği, 6 açıklıklı çerçeveden ve bu çerçevelerin diğer yönde her 10m’de bir teşkil edilmesiyle oluşmuştur. (Smyrou ve ark., 2015). Çerçevenin eksenine dik yönde çerçeveleri birbirine bağlayan kirişler bulunmamaktadır. Çatı, kirişlere rijit bağlanan çift T prefabrik döşeme elemanından oluşmaktadır ve bu da yapıda rijid diyafram etkisi oluşmasına katkı sağlar. Tasarımda beton ve çelik için sırasıyla C35 ve S220 malzemeleri kullanıldığı için modellemede bu değerler dikkate alınmıştır. Çerçevede kirişler kolonlara oturtulmuştur ve sadece iki çubuk ile yatay hareketini engellemek için sabitlenmiştir. Bu nedenle kiriş kolon birleşimi moment aktarmayan sabit bağlantı olarak modellenmiştir. Şekil 3.11’de sistemin modeli, Şekil 3.12’de ise yapı bilgileri verilmiştir. Yapıda kullanılan kolonlar 55x55 cm boyutlarındadır ve 18φ20 donatısı mevcuttur. Hesaplanan çerçeveye çatıdan etkileyen toplam yük ise 5174.34 kN’dur.



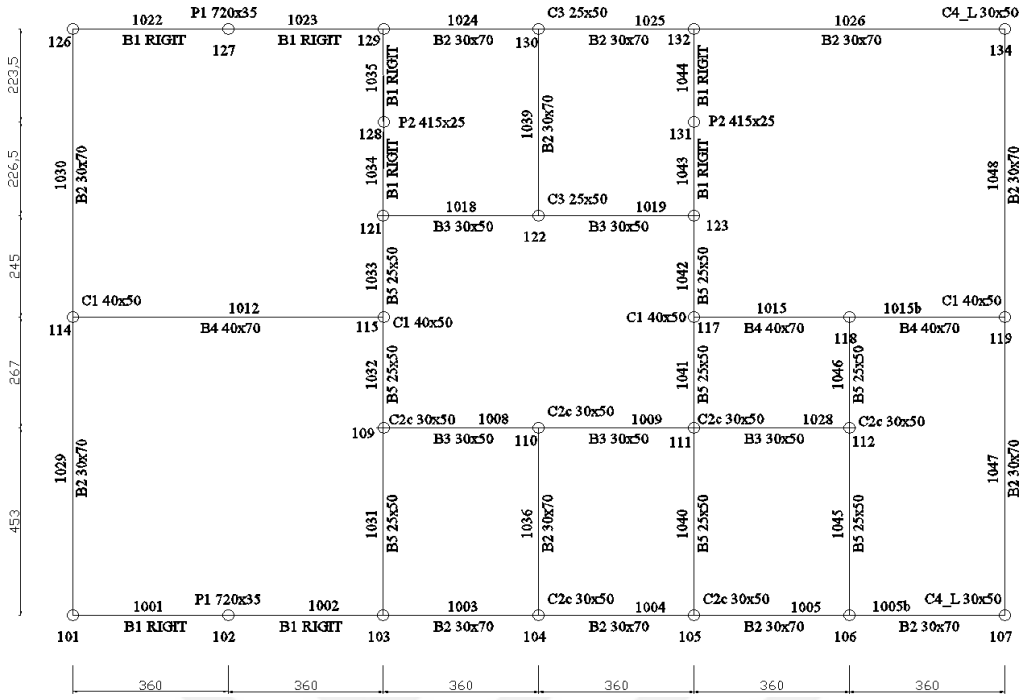
Şekil 3.11 : Prefabrik yapı modeli (yarısı).



Şekil 3.12 : Prefabrik yapı bilgileri.

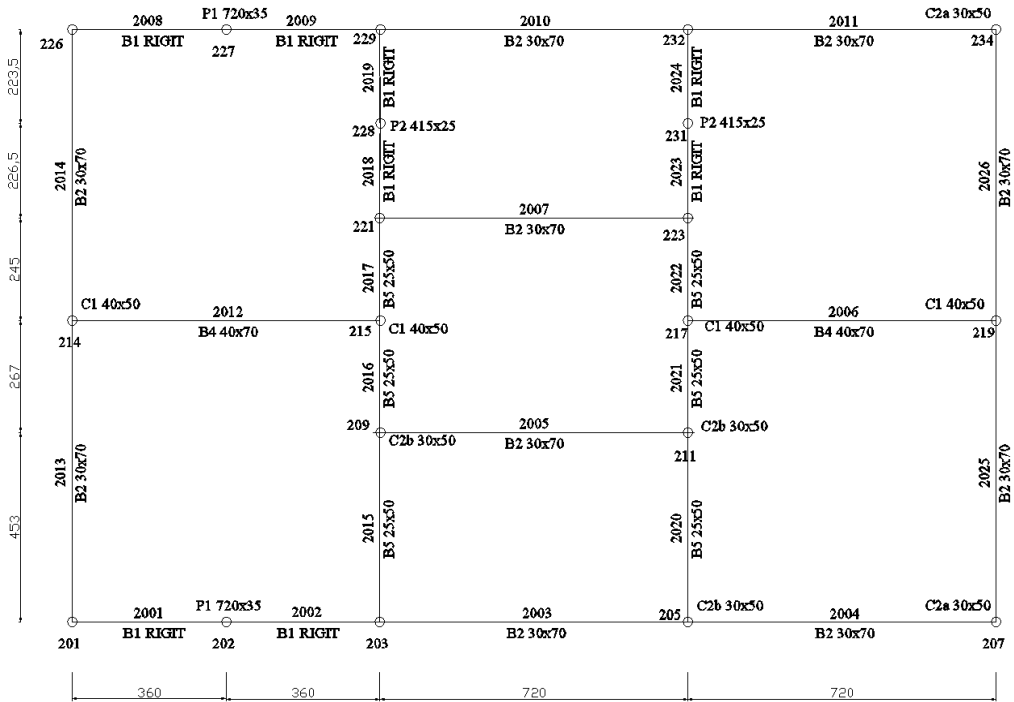
Üç Katlı Üç boyutlu Yapı (Gedikbulak). Van'da inşa edilmiş olan bu yapı, perdelerinin yerleşiminden dolayı düzensizdir (Bal ve Smyrou, 2016). Tip okul projesi olarak tasarlanan yapı Türkiye'nin değişik bölgelerinde de inşa edilmiştir, bu nedenle de inşa edildiği bölgelerin depremselliği altındaki bina davranışlarını karşılaştırmak için önemli bir örnek teşkil etmektedir. Zemin katta 14 adet kolon ve 4 adet perde, üst 2 katta 9 adet kolon ve 4 adet perde olarak devam etmektedir. Bu yapıda beton basınç dayanımı $f_c = 12$ MPa, kullanılan çeliğin akma dayanımı ise $f_y=395$ MPa'dır. Şekil 3.13, Şekil 3.16 arasındaki şekillerde, sırasıyla yapının kat planları ve Seismostruct yapısal analiz programında hazırlanmış 3 boyutlu modeli görülmektedir.

+3,20 Kotu Kiris planı

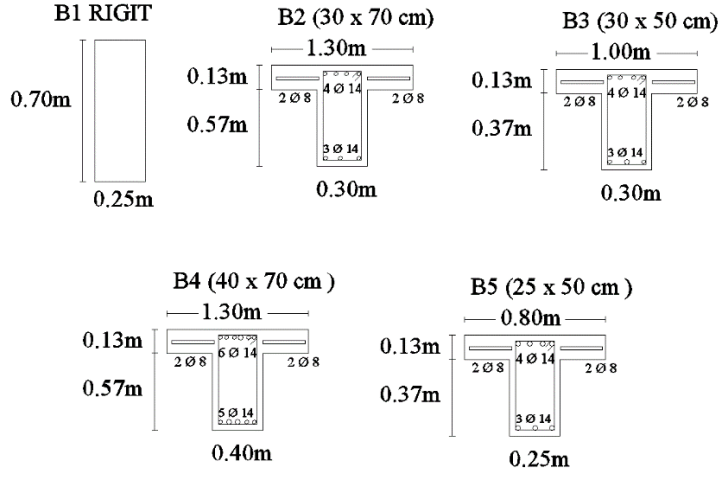


Şekil 3.13 : Gedikbulak modeli +3,20 kotu.

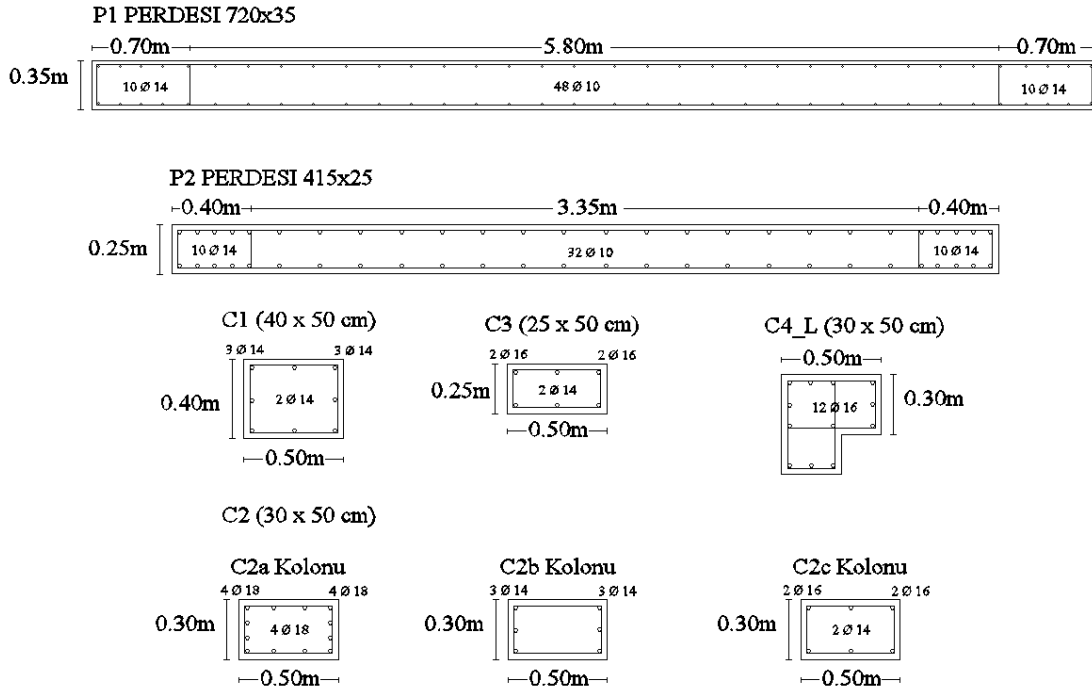
+6,40 Kotu Kiris planı



Şekil 3.14 : Gedikbulak modeli +6,40 kotu.



Şekil 3.17 : Gedikbulak Yapısı kiriş boyutları ve donatı detayları.

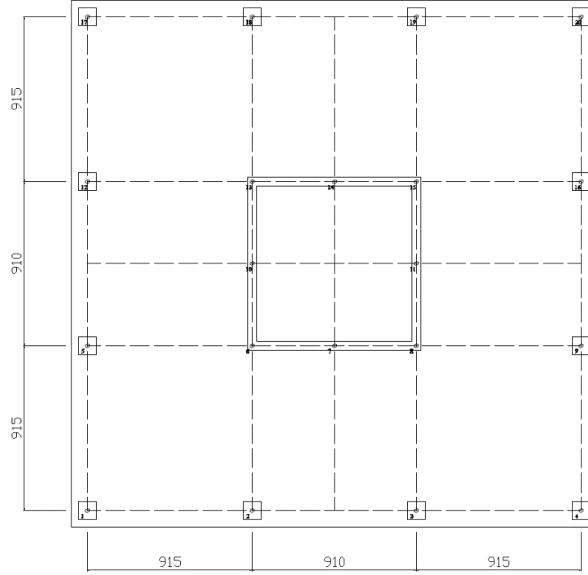


Şekil 3.18 : Gedikbulak Yapısı kolon boyutları ve donatı detayları.

20 Katlı Üç Boyutlu Yapı. Yüksekliği 50m'yi aşan ve Hayward Fayı'na 2 km uzaklıkta olan Berkeley, Kaliforniya'da inşa edilmek üzere tasarlanmış bir yapıdır (Calugaru ve ark., 2013). Yapının literatürde incelenmiş, çalışma amaçları için uygun düzenli bir yapı olması ve Türkiye'de Amerikan yönetmelik ve standartlarının hali hazırda birçok yüksek yapının tasarımında kullanılmış olması sebebi ile, bu örnek yapının bu tezde kullanılabilir uygun bir örnek olduğuna karar verilmiştir.

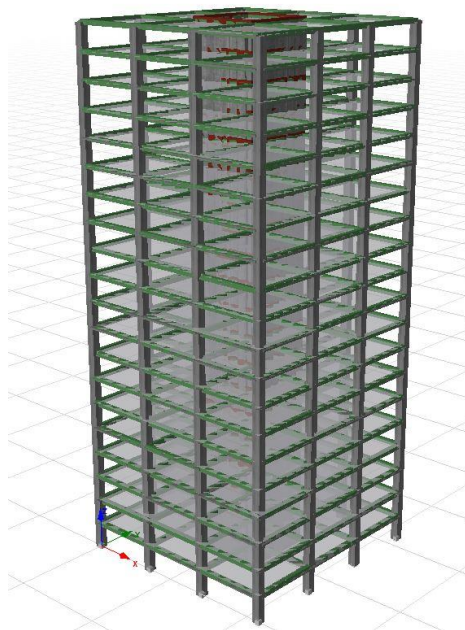
Modellerde beton basınç dayanımı $f'_c = 48 \text{ MPa}$, donatı akma dayanımı $f_y = 414 \text{ MPa}$ olarak alınmıştır. Yapı donatı porsantajı % 1,0 olan 1m x 1m kolonlardan ve merkezde yer alan 9.10m x 0.51m boyutlarında dört adet perdenin meydana getirdiği

kutu kesitli çekirdekten oluşmuştur. Döşeme donatısı ise her 30 cm’de bir yerleştirilen her iki yönde $\phi 5$ çapındadır ve alt ile üst donatı aynıdır. Tasarım taban kesme kuvveti $V_u = 0.093W_t$ dir (W_t : Yapının toplam sismik ağırlığı).



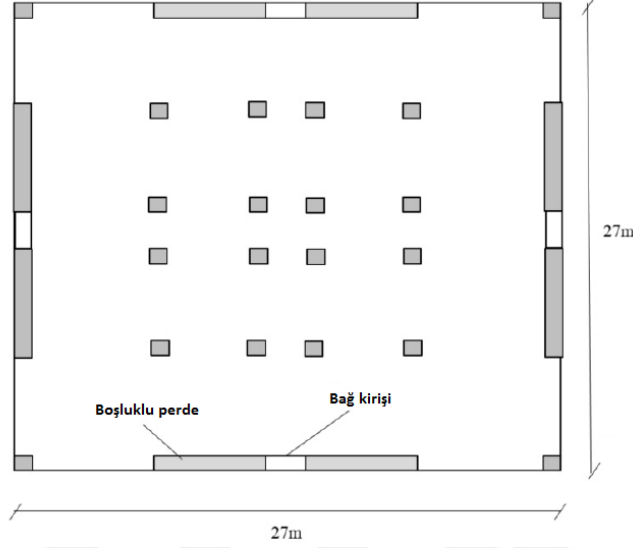
Şekil 3.19 : 20 Katlı Yapının Planı.

Yapıdaki tüm kolonlar 100x100 cm boyutundadır ve bu kolonlarda 12 $\phi 32$ boyuna donatı kullanılmıştır. Binanın ortasında bulunan ve çekirdeği oluşturan perdelerden her birinin eni 51 cm boyu ise 910 cm’dir. Bu perdede başlık bölgeleri 180 cm olarak teşkil edilmiştir ve 36 $\phi 24$ boyuna donatısı vardır. Perdenin gövde boy donatıları ise 2x28 $\phi 18$ ’dir. Binanın toplam ağırlığı ise 154013.2 kN’dur.



Şekil 3.20 : 20 Katlı Yapının 3 Boyutlu SeismoStruct modeli.

24 Katlı İki Boyutlu Boşluklu Perdeli Yapı. Bu örnek binanın plan boyutları 27m x 27m'dir.. Her katın yüksekliği sabit olup 3.5m'dir ve seçilen örnek yapının toplam yüksekliği 84m'dir (24 katlı). Kat döşemeleri 20 cm kalınlığındadır ve her katta sabittir. Karakteristik beton basınç dayanımı ve donatı akma dayanımı sırası ile 40MPa ve 420 MPa'dır (Toprak, 2015).

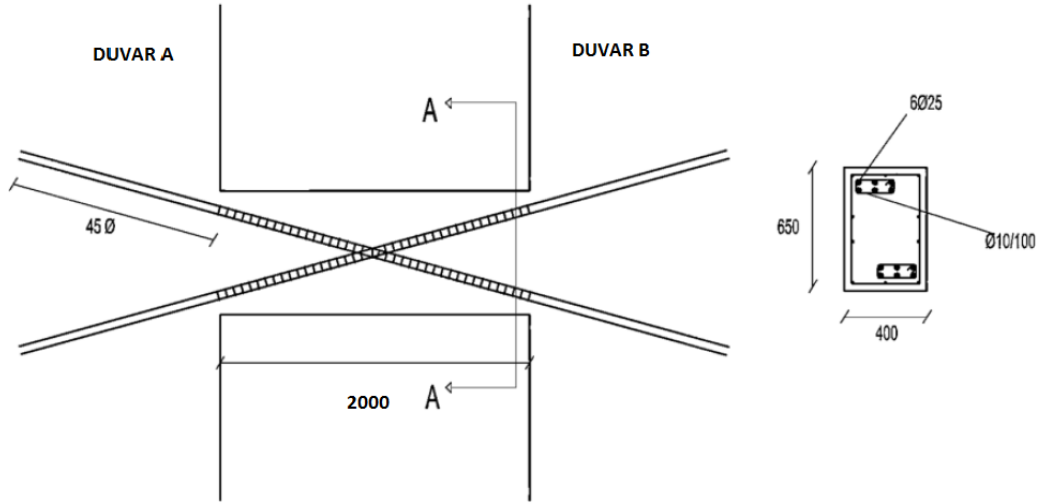


Şekil 3.21 : Örnek modelin tipik kat planı.

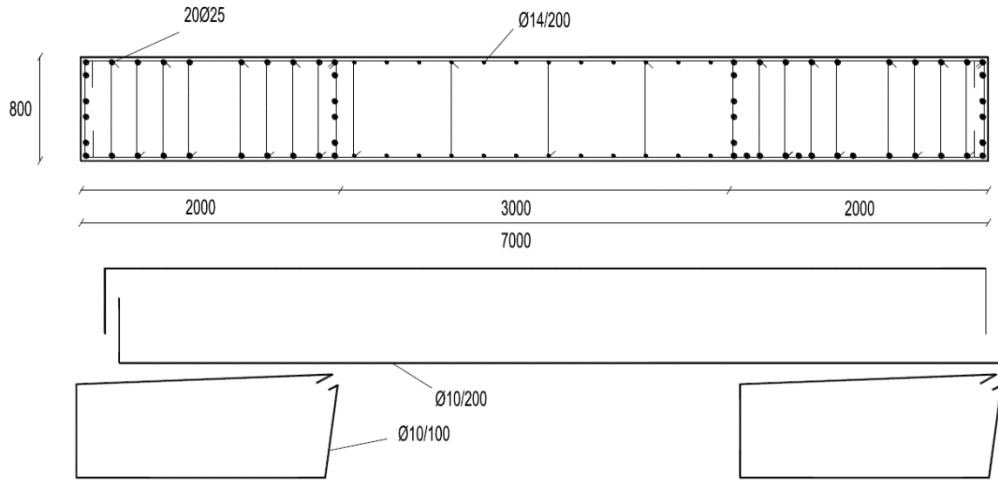
Çizelge 3.3 : 24_Katlı_CBSW modeli için kuşatılmış beton malzeme özellikleri.

Açıklama	Parametre	Değeri
Basınç dayanımı	f_{pc}	-65000 kN/m ²
Maksimum dayanımdaki birim yerdeğiştirme	$epsc0$	-0.005
Göçme dayanımı	f_{pcU}	-45300 kN/m ²
Göçme dayanımındaki birim yerdeğiştirme	$epsU$	-0.014
Yük boşaltma eğim katsayısı	$lambda$	0.5
Çekme dayanımı	f_t	6500 kN/m ²
Çekme dayanımı azalma rijitliği	E_{ts}	3252 kN/m ²

Yapının üzerine etkileyen ölü yükler TS498'e göre belirlenmiştir. 20cm kalınlığındaki döşemelerin 25 kN/m³ birim ağırlığı ile her kat için 5 kN/m² lik yayılı yük oluşturmaktadır. Beton elemanların kendi ağırlığına ilave olarak, kaplama, bölmeler, mekanik yükler gibi yükler için ilave 1.5 kN/m² yük alınmıştır. Hareketli yükler ise TS 498'e göre belirlenmiştir. Modelin ofis olarak kullanılacağı kabulü ile 2 kN/m² hareketli yük yapının ofis kısımları için 5 kN/m² lik yük ise binanın orta kısmında bulunan ortak mahaller (koridorlar) için kabul edilmiştir. Şekil 3.22 ve 3.23'de sırasıyla bağ kirişi ve boşluklu perdenin bir tarafının donatı yerleşimleri verilmiştir.



Şekil 3.22 : Seçilen modelin bağ kiriş için verilen diyagonal donatı planı.



Şekil 3.23 : Seçilen modelin perde için verilen donatı planı.

3.2 Boşluklu Perde Bağ Kirişlerinin Modellenmesinde Dikkate Alınan Hususlar

Bu tez çalışmasında kullanılan örnek yapı tiplerinden biri, boşluklu perdeli yüksek yapılardır. Boşluklu perdeli sistemlerin nümerik analizleri için, boşluklu perde bağ kirişleri gerilme-şekil değiştirme ilişkisine dayanan bölgesel davranışların kapsamlı verileri ile oluşturulan küçük sonlu elemanlar ile ifade edilirler (Zhoa ve ark., 2004; Bower ve Rassati, 2008; Brena ve ark., 2009). Sonlu elemanlar ile oluşturulmuş modeller çok fazla hassas sonuçlar vermesine rağmen analizleri çok uzun zaman almaktadır. Diğer bir yandan makro modelleme teknikleri pratikte daha basittir ve yeteri derecede hassas sonuçlar vermektedir. Naish ve ark. (2013) diyagonal donatılı bağ kirişlerinin modellenmesinde, eğilme rijitliği için plastik dönme yayları,

donatıların kayma / uzama deformasyonlarını da simule etmek için iki uçta da doğrusal dönme yaylarının kullanıldığı elastik çerçeve elemanları önermişlerdir. Lu ve Chen (2005), betonarme elemanlar için üç alt elemandan oluşan doğrusal olmayan bir model önermişlerdir. Bunlar, uzunluk boyunca dağıtılmış plastik mafsallardan oluşmuş elastik eleman, kayma – uzama arayüz elemanı, kesme kuvveti elemanıdır. Alternatif olarak, Barbacyn ve ark. (2012) beton ve donatıların temsil edildiği dokuz noktalı çubuk elemanı yaklaşımını sunmuşlardır. Bu tez çalışmasında, Toprak v.d. (2015) çalışmasında önerilen modelleme yöntemi kullanılarak modeller oluşturulmuştur. Buna göre, öncelikle Paulay ve Binney (1974) çalışmalarına dayanan kiriş kesme dayanımı V_n , ACI 318 (2011) yönetmeliğinde Denklem 3.1'deki gibi verilmiştir.

$$V_n = 2A_{vd}f_y \sin\alpha \leq 0.83A_{cw}\sqrt{f'_c} [MPa] \quad (3.1)$$

Burada A_{vd} ve A_{cw} sırasıyla diyagonal donatı demeti beton kesit alanı ve boşluklu perde bağ kirişi bürüt kesit alanıdır. α ise kiriş yatay eksenine ile diyagonal donatıların yaptığı açıyı temsil etmektedir. f_y ve f'_c sembolleri ise donatı akma dayanımı ve beton basınç dayanımıdır.

Paulay ve Binney (1974), diyagonal donatılı bağ kirişlerinin teorik dayanımı için, basit bir model öngörmüşlerdir. Bu modelde bütün yüklerin diyagonal basınç ile taşındığı ve çekme gerilmenin de diyagonal donatılar ile karşılandığı belirtilmiştir. Fakat bu kabul, sismik yönetmeliklerde kuşatılmış beton olarak tarif edildiği gibi, beton etriyelerle sarılı olduğu için fazla güvenli tarafta kalmaktadır. Ayrıca Hindi ve Hassan (2007), bağ kiriş dayanımlarının göz ardı edilmesinin, plastik mafsalların bağ kirişlerinden önce perde duvarlarda oluşan tasarımlara neden olacağı hususuna dikkati çekmişlerdir. Bu nedenle, betonun katkısı da ilave edildiğinde Denklem 3.2, 3.3 ve 3.4'te gösterildiği gibi, kesme dayanımını iki birleşenin toplamı olarak tarif etmişlerdir.

$$V_n = T_y \sin\alpha + C_y \sin\alpha \quad (3.2)$$

$$T_y = A_{vd}f_y \quad (3.3)$$

$$C_y = A_{vd}f_y + A_c f'_{cc} \quad (3.4)$$

Burada T_y ve C_y sırasıyla, diyagonal çekme gerilmesi ile kuşatılmış diyagonal donatı beton kesitinin aksenal basınç kuvveti kapasitesidir. f'_{cc} ise kuşatılmış betonun basınç dayanımıdır. Kuşatılmış diyagonal donatı beton kesitinin malzeme ve geometrik

özelliklerine göre, basınç ögesi boşluklu perde bağ kirişinin dayanımını kayda değer oranda artırabilir.

Yapılmış deneysel çalışmalarda, düzeltilmiş modelin, dayanımın azalmaya başladığı bölgelerde dahi, kesme kapasitesini daha iyi yansıttığı görülmüştür. Kümülatif enerji eğrileri %5-6 dönmelere kadar iyi sonuçlar vermektedir. Diğer yandan, düzeltilmiş model test sonuçlarına daha yakın olmasına rağmen, daha büyük kesit dönmelerinde enerjideki fark daha belirgin hale gelmektedir. Düzeltilmiş model ile plastik mafsalların bağ kirişlerinde oluşmak yerine perdede oluşması sorununun önüne geçilmiştir.

Naish ve ark. (2013) tarafından önerilen doğrusal olmayan boşluklu perde bağ kirişi modeli üç kısımdan oluşmaktadır: doğrusal çubuk eleman, eğilme davranışı için plastik mafsallar ve donatı kayma/uzama davranışı için de dönme mafsalı. Ancak, bu bileşenlerin her biri için gerekli parametreleri hesaplamak oldukça uzun zaman almaktadır.

Bu yüzden, diyagonal donatılı bağ kirişleri için daha basit bir model Toprak E. (2015) tarafından sunulmuştur. Bu modelde, donatı kayma / uzama yay davranışının doğrusal kısmı kirişin elastik kısmında hesaba katılmıştır. $EI_{ef} = 0.5EI_{brüt}$ kabulünü donatı kayma / uzama yay davranışı ile birlikte kullanmak, efektif eğilme rijitliğini $0.15EI_{brüt}$ değerine getirir (Wallace, 2010). Toprak E. tarafından, donatı kayma / uzama davranışı dikkate alındığında etkili rijitlikteki değişimi belirlemek adına, çeşitli boy-yükseklik ve donatı oranları kullanılarak, parametrik bir çalışma yapılmıştır.

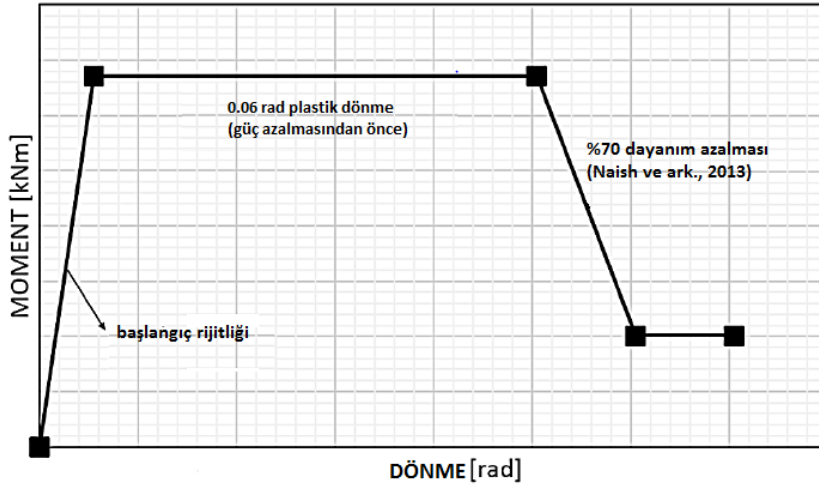
Bu çalışmalar sonunda, bağ kirişlerindeki etkili rijitlik katsayısının sırasıyla 1.5 ve 3.5 boy-yükseklik oranları için, 0.04 ve 0.14 arasında doğrusal olarak değiştiğini gözlemlemiştir. Bu nedenle Denklem 3.5, diyagonal donatılı boşluklu perde bağ kirişlerinin donatı kayma / uzama davranışının da dikkate alındığı etkili rijitlik hesabında kullanılmasını önermiştir (Toprak E. 2015).

$$EI_{ef}/EI_{brüt} = a + \frac{b V_n}{A_c \sqrt{f'_c [MPa]}} \quad (3.5)$$

Burada kullanılan a ve b değerleri Çizelge 3.2'de verilmiştir.

Çizelge 3.4 : Efektif rijitlik için önerilen katsayılar.

Boy-Yükseklik Oranı	a	b
1.50	0.035	0.033
2.00	0.050	0.037
3.00	0.055	0.057
3.50	0.065	0.064



Şekil 3.24 : Diyagonal donatılı bağ kirişleri için önerilen model.

Seçilen modelin ofis olarak kullanıldığı kabul edilmiştir. Şekil 3.21’de kat planı görülmektedir. Binanın taşıyıcı sistemi 4 köşesinde bulunan boşluklu perdelerden ve kolonlardan oluşmaktadır. 2 kenardaki boşluklu perdelerin yatay yükleri taşıdığı kabul edilerek model sadeleştirilmiştir (Toprak, 2015).

Çizelge 3.5 : 24 katlı boşluklu perde modelinin geometrik özellikleri.

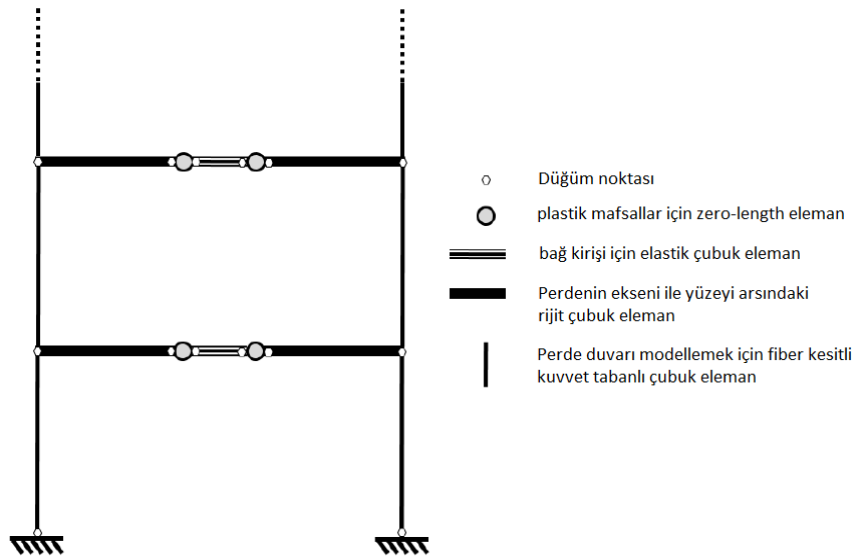
Kat sayısı	24
Perde duvar uzunluğu (m)	7
Perde duvar kalınlığı (m)	0.8
Bağ kiriş genişliği (m)	0.4
Bağ kiriş yüksekliği (m)	0.65
Bağ kiriş uzunluğu (m)	2
Bağ kiriş uzunluk-yükseklik oranı	3.08

Modellemenin basit olabilmesi için aşağıdaki kabuller yapılmıştır.

- Yükseklik boyunca yayılı kat kütlesi sabittir.
- Yükseklik boyunca yapının duvar rijitliği sabittir.
- Her iki boşluklu perde de aynı ölçü ve donatılara sahiptir.
- Yükseklik boyunca boşluklu perde bağ kirişinin dayanımı sabittir.

- Boşluklu perde bağ kirişleri için diyagonal donatılı kesitler uygulanmıştır.
- Boşluklu perdelerin kesme dayanımları, ani göçmeyi engellemek için, her zaman eğilme dayanımından yüksektir.

24 katlı modelin analizleri OpenSees programı kullanılarak yapılmıştır. Perde duvarlar, programda mevcut olan kuvvet tabanlı, fiber kesitli kiriş-kolon elemanları ile modellenmiştir. Bağ kirişleri ise her iki uçta bulunan duvar bağ kirişi birleşim yüzeyinde eğilme mafsalları olan elastik kiriş elemanı olarak modellenmiştir. Bağ kirişi doğrusal olmayan mafsal ve elastik çubuk özellikleri de Bölüm 3.1.2’de açıklandığı gibi donatı kayma / uzama ve eğilme davranışını içinde barındıracak şekilde oluşturulmuştur. Perde elemanlar ile bağ kirişler birbirine rijit elemanlar ile bağlanmıştır. Şekil 3.25’de yapı sisteminin modellenmesi temsili olarak gösterilmiştir (Toprak, 2010).



Şekil 3.25 : İncelenen boşluklu perde sisteminin doğrusal olmayan analizlerde kullanılan modeli.

3.3 Sismik İzolatörlü Yapı Örneği ve Modellemede Dikkate Alınan Hususlar

Depreme dayanıklı klasik yapı tasarımı sadece orta şiddetteki depremlerde yapılardaki aşırı hasarı önleme amacını taşıyan bir yaklaşımdır. Çok şiddetli depremler için, depremden hemen sonra yapının göçmesine bakılmaksızın amaç; yapısal göçme ve sonucunda gelen yaralanmalardan kaçınmaktır. Buna, depremin yapıya verdiği sismik enerjiyi, yapının taşıyıcı sistemi üzerinde belirli yerlerde yoğunlaştırarak, elemanların inelastik deformasyona izin verecek şekilde sönmülendirmek ve taşıyıcı sistem

elemanlarının göçmesini önleyecek uygun dayanımı sağlayarak ulaşılabilir. Yapısal elemanların ve birleşim noktalarının dikkatli tasarımı ile yönetmeliklere uygun bir şekilde tasarlanan yapısal sistemin, hayat kurtarıcı niteliği olmasına rağmen, gerçekte taşıyıcı sistem bir bütün olarak korunamaz.

Sismik izolasyon sistemi yapı ile temeli arasına düşük yatay rijitliği olan izolatörleri monte ederek yapıyı, deprem hareketinin yatay bileşenlerinden ayırmaktadır. Bu yöntem, uygulandığı yapıya; hem ankastre mesnetli sistemin frekansından hem de yer hareketinin hâkim frekanslarından çok daha küçük olan bir asal frekans vermektedir.

Sismik izolasyonlu yapının birinci dinamik modu sırasında yer değiştirme sadece izolasyon sisteminde olur. Üst yapı nerede ise tamamen rijit davranış gösterir. Yapılan deneylerden elde edilmiş olan sonuçlar çerçevesinde, sismik izolasyon kullanılan yapılarda katlar arası yer değiştirme oranının minimum seviyelere düştüğü gözlenmiştir. Bu davranışın sonucu olarak, yapısal olan ve yapısal olmayan elemanlardaki deformasyonların minimum seviyede kaldığı ve dolayısıyla yapı elemanlarının depremin yatay kuvvetinden ve ivmelenmeden minimum seviyede etkilendikleri tespit edilmiştir. Sonuç olarak sistemin periyodundaki artmadan dolayı, yüksek titreşim periyotlarında yapıya etkiyen ivmelerin azaldığı görülmüştür. Böylelikle, esneklik kazanmış olan sistem daha fazla yer değiştirme yapabilmektedir, bu da sistemin enerji yutma kapasitesini arttırmaktadır (Celep ve Kumbasar, 2004).

Sismik bir etki süresince yapıya bir miktar enerji girişi olmaktadır. Bu enerji kısmen ısı enerjisine dönüşerek yapı içinde sönmölenmekte veya potansiyel enerji ve kinetik enerji olarak iki farklı enerjiye dönüştürölmektedir. Fakat enerji kayıplarından dolayı elde edilen sönmö sınırlıdır. Hareket sona erene kadar titreşim şiddeti gittikçe azalmaktadır. Bu nedenle sismik taban izolasyon sistemleri gibi, yapıya ilave edilen bazı araçlar ile yapı sistemine giren enerjinin bir kısmı sönmölenerek, yapının enerji yutma kapasitesi arttırılır. Sistemde titreşim şiddeti sona erene kadar enerji kayıplarının minimuma indirilmesi hedeflenir ve bu sayede yapıda meydana gelen şiddetli deformasyonlar önlenmiş olur (Soong ve Constantinou, 1994).

Taban yalıtımında kullanılan izolatör tipleri, şekil ve büyüklük itibarı ile ve yapıldıkları malzemeler bakımından farklılık göstermektedirler. İzolatörlerin büyük çoğunluğu elastomer malzemedden üretilmektedirler. Elastomer malzeme kalıba kolayca yerleştirilebildiğinden istenilen şeklin verilebilmesi bakımından avantajlıdır.

Metal malzeme ile aderansı güçlüdür, bu özelliğinden dolayı üretimi kolaydır. Uygulamada maruz kalacakları kuvvete göre şekillendirilebilirler. İzolatör sönümü, rijit kütle rezonansında büyük yer değiştirmeleri engelleyecek, yüksek frekansta dalga hareketinden koruyacak düzeyde seçilmelidir. İzolatörler düşey doğrultuda çok rijit fakat aksine yatay doğrultuda ise esnekler. Deprem hareketinin düşey bileşenine karşı koruyuculuğu yoktur, yani depremin düşey bileşeni yapı tarafından karşılanır. Taban izolasyonu yapıların titreşim periyotlarını arttırdığı için, kısa periyotlu yapılarda kullanımı daha uygundur. Sönüm gibi kauçuk malzeme özellikleri frekans ve sıcaklığa bağlıdır. Bu nedenle izolatörler en uygun sönüm ve rijitliğe göre uygulanmalıdırlar. İzolatörler zamanla yıpranabilirler. Bu nedenle izolatör kullanımında uzun süreli basınç ve düşük sıcaklıktaki etkileri düşünülmelidir. Yaygın olarak kullanılan izolatör tipi elastomer malzemeden oluşan, tabakalı kauçuk mesnetlerdir. Kauçuklar arasındaki tabakalaşma izolatörün basınç altındaki mukavemetini artırır. Basınç altında diğer yönlerde genişlemeye olanak sağlar ve uniform yük dağılımını sağlar. Tabakalı kauçuk sistemlerinin düşey rijitliğinin belirlenmesinde, izolatör şekli önem taşımaktadır. Şekil faktörü, izolatörde yükün etkidiği alanın, serbest genişleme alanına oranı olarak tanımlanır. Yatay rijitlikte izolatör şeklinin önemi yoktur.

Helezon yaylardan oluşan izolasyon sistemleri, kuvvet sistemlerindeki aletlerin titreşimlerini önlemek için kullanılmaktadır. Bu tip sistemlerde, yaylar düşey harekette yatay harekete göre çok fazla rijit değildirler. Oysa tabakalı kauçuk mesnetlerin düşey rijitlikleri, yatay rijitliğin birkaç yüz katı olabilmektedir.

Kayıcı sistemler, kesme kuvvetinin indirgenmesi prensibine dayandırılmaktadır. Genelde çelik mesnetlerden oluşmuş sistemlerdir. Deprem hareketi esnasında yanal rijitlik ve her bir yatakta oluşan sürtünme kuvveti yatak üzerine mesnetlenen ağırlıkla direk olarak bağlantılıdır. Burada yapı ağırlık mesnedi ile yatakların rijitlik merkezleri çakışmalıdır.

Yalıtım sistemleri üç ana başlık altında incelenecektir. Bu sistemler;

- Pasif Yalıtım Sistemleri
- Aktif Kontrol Sistemleri
- Yarı Aktif Kontrol Sistemleri'dir

Pasif kontrol sistemleri sabit özelliklere sahiptir, dışsal bir enerji kaynağı gerektirmezler. Yapıya bir kez kurulduktan sonra modifikasyona ihtiyaç duymazlar.

Dolayısıyla, etkili olabilmeleri için güvenilir bir tasarım yükü tahminini ve herhangi bir pasif kontrol taslağı için fiziksel sistemin sayısal modelinin doğru olmasını gerektirirler. Beklenmeyen bir yükleme değişikliği durumunda sistemde sonradan bir değişiklik veya telafi mümkün olmayacaktır. Pasif kontrolde karşımıza çıkan bu sınırlamalar, aktif kontrol sistemlerinin gelişmesini sağlamıştır.

Aktif kontrol sistemlerinde sistem özelliklerinin ve yüklemenin dinamik olarak değiştirilebilmesi, performansı iyileştirme durumunu sağlamaktadır. Bir aktif yapı kontrol sisteminde, yapının mevcut durumunu belirleyebilme yeteneğı vardır ve bu durumu arzu edilen duruma dönüştürebilmek için sistem, gerekli durumları kısa bir zaman içinde oluşturabilir. Bu tür kontrol sistemleri, teorik olarak, beklenmeyen çevresel değişikliklere uyum sağlayabilir, performans gereksinimlerini tam olarak karşılar ve sınırlı sayıdaki taşıyıcı sistem elemanlarındaki hataları telafi edebilir. Teknolojik gelişmelere paralel olarak sistemin değiştirilmesi mümkündür. Hem ekonomik hem de teknik olarak geniş bir uygulama aralığında daha verimli çözümler sunar.

Yarı aktif kontrol sistemleri ise aktif ve pasif sistemlerin bir birleşimi olarak ön plana çıkmaktadır. Bu sistemler kontrol edilebilen pasif sistemler ya da enerji gereksinimi aktif sistemlerden daha az olan yalıtım sistemleri olarak tanımlanabilir. Tamamen kontrol edilebilen bu sistemler, deprem esnasında oluşabilecek bir enerji kesintisinde akü gibi küçük enerji kaynakları ile koruma işlevine devam eder. Genelde sistemlerin çoğu elektrik ve manyetik alana duyarlı sıvılar içerir.

Aydın Binası modelinde tek sürtünme yüzeyli sürtünmeli sarkaç izolatörler kullanılmıştır. Bu izolatör tipi, başlangıç anındaki statik sürtünme kuvveti aşıldığı kadar üst yapının tabana ankastre bağı gibi davranmasına neden olur. Sürtünme katsayısının izolatöre etkiyen düşey yükü çarpılması, izolatörün akma kuvvetini verir. İzolatör grafiğinin akma kuvvetinin aşıldığı andan sonraki eğimi ise, izolatöre etkiyen düşey yükün eğrilik yarıçapına oranıyla elde edilir. Etkin sönüm oranı histerezis eğrisinin alanının $2\pi K_{eff} D^2$ değerine bölümünden bulunur (Naeim ve Kelly, 1999).

$$\beta_{eff} = \frac{4fWd}{2\pi K_{eff} D^2} \quad (3.6)$$

$$\beta_{eff} = \frac{2f}{\pi(\frac{D}{R} + f)} \quad (3.7)$$

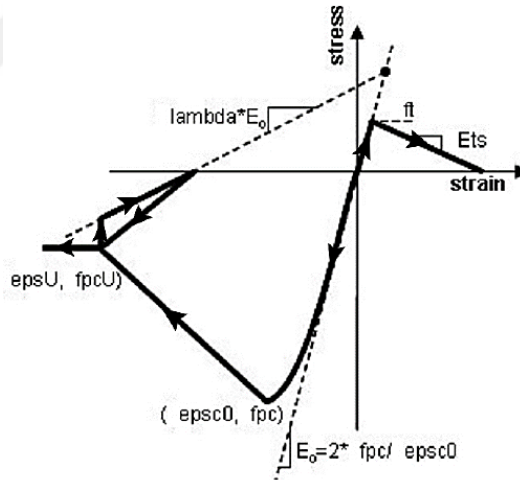
Burada D izolatörün yaptığı yer değiştirme, f izolatörün sürtünme katsayısı, R izolatörün eğrilik yarıçapıdır. Sürtünme katsayısı 0.065, eğrilik yarıçapı 2.94 m olan izolatörlerin sönümü Denklem 3.7 ile %24.6 hesaplanmıştır. Bu sönüme karşılık spektral ivme azaltma katsayısı B, Denklem 3.8’de verilmiştir (Naeim ve Kelly, 1999).

$$B = \sqrt{\frac{7}{2+\beta_{eff}}} \quad (3.8)$$

Buna göre, B değeri 0.513 olan izolatörlü yapının S değeri 0.254g, toplam taban kesme kuvveti ise 845.6 kN olarak hesaplanmıştır.

3.4 Analizlerde Kullanılan Beton ve Donatı Çeliği Modelleri

OpenSees programında, çok çeşitli tek eksenli beton malzemeleri bulunmaktadır. Bu çalışmada, beton fiber elemanlar için değiştirilmiş Kent-Park (concrete02) kullanılmıştır (Kent ve Park, 1971). Bu değiştirilmiş Kent Park beton modeli, parabolik artan kısımdan ve en büyük gerilmeye karşılık gelen boy değiştirmeden daha büyük değerler için ise doğrusal azalan kısımdan oluşmaktadır (Şekil 3.26).



Şekil 3.26 : OpenSees Concrete02 modeli (Kent ve Park, 1971).

Burada, f_{pc} betonun 28 günlük dayanımı; $epsC0$ maksimum dayanımda betonun şekil değiştirmesi; $f_{pc}U$ betonun göçme dayanımı; $epsU$ betonun göçme dayanımındaki şekil değiştirmesi; $lambda$, $epsC0$ daki yük boşaltma eğimi ile başlangıç eğimi arasındaki oran; f_t çekme gerilmesi ve E_{ts} çekme gerilmesinin azalma rijitliğidir. Bu modelde kullanılan malzeme özellikleri aşağıda verilmiştir.

Donatı çeliği için kullanılan malzeme modeli, Menegotto ve Pinto (1973) tarafından geliştirilmiştir. Model numerik analizler için fazlasıyla pratiktir ve daha önce yapılmış test sonuçları (Yassin, 2014) ile karşılaştırıldığında çok hassas sonuçlar vermektedir. Menegotto ve Pinto'nun (1973) çelik donatı modelinin gerilme şekil değiştirme ilişkisi aşağıda tarif edilmiştir.

$$\sigma^* = b\varepsilon^* + \frac{(1-b)\varepsilon^*}{(1+\varepsilon^*R)^{1/R}} \quad (3.9)$$

$$\varepsilon^* = \frac{\varepsilon_s - \varepsilon_r}{\varepsilon_0 - \varepsilon_r} \quad (3.10)$$

$$\sigma^* = \frac{\sigma_s - \sigma_r}{\sigma_0 - \sigma_r} \quad (3.11)$$

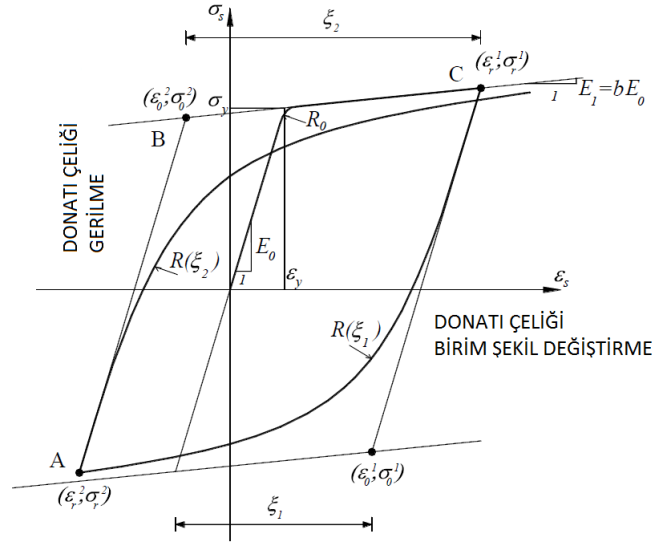
Burada σ_r ve ε_r sırasıyla aynı işaretteki gerilme değeri ile terse dönüşün gerçekleştiği son birim şekil değiştirme noktasındaki gerilme ve birim şekil değiştirme değerleridir (Şekil 3.27 A noktası). σ_0 ve ε_0 iki asimptot kolun birleştiği düşünülen noktadaki gerilme ve birim şekil değiştirme değerleridir (Şekil 3.27 B noktası). b , E_1 ve E_0 arasındaki oran olan pekleşme oranıdır. Modeli basitleştirmek için pekleşme ihmal edilmiştir.

R , geçiş eğrisine etki eden ve Bauschinger etkisinin katkısını dikkate almak için kullanılan değişkendir. Menegotto ve Pinto (1973), R değişkeninin aşağıdaki denklem ile hesaplanmasını önermiştir.

$$R = R_0 + \frac{a_1\xi}{a_2 + \xi} \quad (3.12)$$

Burada ξ , birim yer değiştirmenin terse dönmesinde yapılan güncellemedir (Şekil 3.27). R_0 ise ilk yüklemdeki R değişkeninin değeri, a_1 ve a_2 değerleri ise R_0 değişkeni ile beraber deneysel olarak belirlenen parametrelerdir.

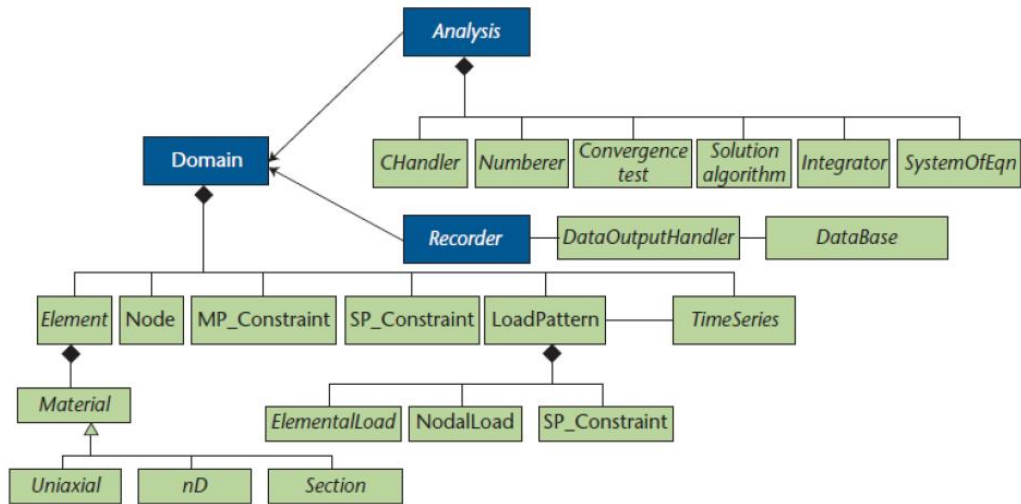
OpenSees (2013) programında yer alan Steel01 modeli, donatı çeliğinin malzemesinde kullanılmıştır. Gerilme şekil değiştirme eğrisi iki doğrulu olarak idealize edilmiştir. S420 donatı çeliği malzemesinin akma gerilmesi 491400 kN/m² dir (karakteristik akma gerilmesinin %117) ve modeli basitleştirmek için pekleşme ihmal edilmiştir.



Şekil 3.27 : OpenSees çelik donatı modeli.

3.5 Yapı Sistemlerinin Modellenmesi

Analizlerde kullanılan OpenSees 2013 (Open System for Earthquake Engineering Simulation) programı, Pasifik Deprem Mühendisliği Merkezi'nin (PEER) sponsorluğunda, National Science Foundation tarafından oluşturulmuş nesne tabanlı ve açık kodlu bir yazılımdır.



Şekil 3.28 : OpenSees analiz metodu.

Etkili ve verimli hesaplar yapmasının yanında, OpenSees programı esnek, eklenebilir ve taşınabilir bir programdır. Kullanıcılarına, deprem yüklerine maruz kalan yapısal ve geoteknik sistemlerin simülasyonu için, sonlu eleman uygulamaları oluşturmalarına olanak sağlar. OpenSees programı temel olarak C++ (Stroustrup, 2010) programlama dilini kullanır ve buna ilave olarak doğrusal denklem çözümlenmeleri için birçok

Fortran nümerik kütüphanelerini kullanır. OpenSees kullanıcıları, uygulamaları Tcl programlama dilinde yazarak oluştururlar.

Tcl, John Ousterhout tarafından 1994 yılında geliştirilen kısa ve öz olan bir program yazma dilidir. OpenSees programını geliştirmenin hedefi, deprem mühendisliğindeki hesaplama ve modelleme simülasyonlarını iyileştirmek içindir.

OpenSees programının avantajları aşağıda listelenmiştir.

1. Açık kaynaklı koddur.
2. Ücretsizdir
3. Özelleştirilmiş eleman ve malzeme modelleri (Fiber kolon – kiriş elemanı vb.)
4. Kütüphaneye yeni elemanlar ve malzemeler tanıtmak kolaydır
5. C++ Nesne tabanlı tasarım
6. Güvenilir analiz yapabilme
7. 3. Parti yazılımlar ile hibrid analiz özelliği (örneğin Matlab)

4. MODELLEME PARAMETRELERİ VE İLGİLİ BELİRSİZLİKLERE DUYARLILIK

Duyarlılık analizleri bu çalışmanın amacı için gerekli olduğu kabulü ile probalistik yaklaşımlar için sonuçların olası çeşitliliğini bilmek önemli bir konudur. Bu bölümde anlatılan duyarlılık analizleri için, yapı modellerinin oluşturulduğu iki farklı yazılım kullanılmıştır. Kullanılan modeller ve yazılımlar aşağıdaki gibidir.

1. *SeismoStruct modelleri:* Örnek yapı sistemlerinin, yerdeğiştirme kapasiteleri, şekil değiştirmiş halleri ve mevcut özelliklerinin limit durum periyotları Antonio ve Pinho (2004b) ve Pinho (2005) tarafından önerilen yerdeğiştirme tabanlı adaptif itme analizleri kullanılarak gerçekleştirilmiştir. Lineer olmayan statik analizlerle de (geleneksel itme analizi, düzgün dağılmış yük altında itme analizi veya kuvvet tabanlı adaptif itme analizi) gerekli yerlerde karşılaştırmalar yapılmıştır.
2. *OpenSees modelleri:* Örnek yapıların, Mühendislik Talep Parametresi ile tahmin edilen şiddet ölçümlerini karşılaştırmak için zaman tanım analizleri yapılmıştır.

Yukarıdaki yazılımlar ile ilgili olarak, kullanıcının uygulayabileceği çeşitli olasılıklar ve seçenekler mevcuttur. Parametrelerdeki çeşitlilik, eleman tipinden başlayarak, analiz tiplerine göre formülasyona kadar çok geniş bir çerçeveye yayılmıştır. Bazı kesin olan kuralların yanında, mevcut birçok seçenek için belirgin ve kesin kabuller yoktur. Deney sonuçları ile kalibrasyon yapmanın mümkün olmadığı durumlarda, her parametre seti için, önemli ölçüde farklı analiz sonuçları elde edilebilir.

4.1 Betonarme Yapıların Modellenmesi

Olası depremlerde meydana gelebilecek hasarları belirleme uygulamaların da mevcut betonarme yapıların davranışını incelemek için iki adet basit modelleme seçeneği bulunmaktadır. Bu seçeneklerden birincisi elastik olmayan özelliklerin belli bölgelerde toplanmış olduğu kabulüdür, ikincisi ise hesapları karmaşık ve zorlu olan fiber tabanlı elemanlar kullanmayı gerektirir. Elastik olmayan özelliklerin belli

bölgelerde toplanmış olduğu yöntemin dezavantajı, elastik olmayan deformasyonların elemanların daha önceden tanımlanmış bölgelerinde meydana gelmesidir. Bu olgu doğrultusunda, alt katlar için makul bir kabul olmasına rağmen, üst katlarda ki elemanlar boyunca plastik mafsalların oluşumları hala bir soru işaretidir. Mevcut yapıların değerlendirilmesindeki diğer önemli bir kısıtlama ise, elastik olmayan özellikleri belirli bölgelerde toplanan elemanların histerik parametrelerinin, ideal yükleme koşulları altında gerçek ya da ideal bir çerçeve elemanının davranışına göre kalibre edilmesini gerektirmesidir. Bu, mevcut yapıların değerlendirmesinde pratik olarak uygulanabilir değildir ve önemli miktarda deneyim gerektirir.

Elastik olmayan özelliklerin belirli bölgelerde toplandığı modellerin yukarıda açıklanan kısıtlamaları nedeniyle, bu çalışmada betonarme yapıları modellemek için fiber tabanlı sonlu elemanlar kullanılmıştır. Fiber tabanlı modellerin seçilmesinde iki neden vardır. Bunlardan birincisi hassaslık ve ikincisi ise kesit birim şekil değiştirme değerlerine doğrudan ulaşabilmektir. Hasar tanımlarının, birim şekil değiştirme değerlerinin daha önceden belirlenmiş limit durumlarını aşım aşmamasına göre belirlenmesinden dolayı, birim şekil değiştirme değerleri mekanik hasar belirleme çalışmalarında büyük bir öneme sahiptir. Fiber tabanlı modeller kullanıcıların, analiz sonrası ekstra işlem yapmadan direk olarak birim şekil değiştirme değerlerine ulaşmasını sağlarlar. SeismoStruct' da (2012) belirli bir birim şekil değiştirme limit durumunun aşılmasının tanımlanması, Opensees (2013) programına göre çok daha kolaydır.

Bu bölümde 3 farklı hassaslık analizi yapılmıştır. Birinci analiz grubu ile kullanılan eleman tipinin (kuvvet veya deplasman tabanlı) etkisi ve entegrasyon nokta sayısı (İN) ve/veya bununla ilişkili olarak elemanların parçalara bölünmesi incelenmek istenmiştir. Bu konuda, entegrasyon nokta sayısının ve elemanların daha küçük parçalara bölünmesinin çok önemli bir yeri vardır. İncelenen ikinci parametre ise lineer olmayan statik analizin tipidir. Bu, özellikle düzenli olmayan ve 3B yapılar için metotlar geliştirmek için yoğun bir literatür çalışmasının devam ettiği açık bir konudur. Mevcut metotlar, düzenli ve 2B çerçeveler için yerleşmiş ve tutarlıdır. Konuyla ilgili kısa bilgilere aşağıdaki bölümlerde yer verilmiştir. Son analiz setinde ise eleman kesitlerinin oluşturulmasında kullanılan fiber boyutlarının etkisi araştırılmıştır.

Kesit kapasitesini oluştururken kullanılan içeriklerden biri de kesitin temel malzeme modelidir. Tek eksenli malzeme modelleri, birçok deprem mühendisliği uygulaması

için yeterlidir. Bu tez çalışması kapsamında SeismoStruct ve OpenSees programlarında kullanılan tek eksenli malzeme modelleri Çizelge 4.1'de gösterilmiştir. Malzeme modellerinin uygulanmasında ve etkilerindeki farklılıklar, tekrarlı ve rasgele yükler altında daha belirgin görülürler. Bunun nedeni ise kabul edilen modellerin yüklemeye boşaltma eğrilerindeki değişimlerden oluşan yığılmalardır. Bugün mühendislerin fiber tabanlı programlarda kullandığı çeşitli malzeme modelleri mevcuttur. Her malzeme modeli değişik yaklaşımlar ile farklı amaçlar için oluşturulduğundan ve bu nedenle direk olarak birbirleriyle karşılaştırılmayacağından, bu tür malzeme modellerinin kullanılmasından kaynaklanan değişimler bu bölümde incelenmemiştir.

4.2 Yapısal Kapasite Tahmininde Eleman Formülasyonu, Entegrasyon Nokta Sayısı ve Elemanların Bölünmesi

Bugüne kadar çok çeşitli doğrusal olmayan kiriş modelleri sunulmuştur. Bu modelleri iki grupta toplamak mümkündür; elastik olmayan özelliklerin belli bölgede toplandığı veya eleman boyunca dağıldığı modeller. Elastik olmayan özelliklerin belirli noktalarda toplandığı modellerde, doğrusal olmayan davranış tipik olarak elemanın uç noktalarında oluşturulan noktasal mafsallarda toplanır. Bu mafsallara, kuvvet bileşenleri için olgusal kurallara ve klasik plastisite teorisine dayanan histerik davranış atanması gerekmektedir. Özellikle ilk modellerde moment ve eksenel kuvvet arasındaki etkileşim ihmal edilmiştir, ayrıca, mafsallardaki histerik davranışın parametrelerini tutarlı ve doğru bir şekilde seçmek imkansız olmasa bile oldukça zordur. Bilgisayarların hızlanmasıyla, kesit davranışını modellemek için tek eksenli malzeme modeli ile fiberlerin kullanımı, klasik plastik mafsal histerik modeline geçerli bir alternatif olarak ortaya çıkmıştır.

Son yirmi yılda bilgisayar donanımlarının işlem gücünün artması, eleman boyunca dağılmış elastik olmayan özellik yaklaşımlarının kesitlerde fiber elemanlar kullanılarak modellenmesine olanak sağlamıştır. Elemanların yükler altındaki davranışı böylece Gauss-Legendre veya Gauss-Lobatto gibi geleneksel entegrasyon yöntemleriyle hesaplanmaya başlanmıştır.

Opensees ve SeismoStruct programlarında deplasman tabanlı ve kuvvet tabanlı eleman formülasyonunu kullanmaktadırlar ve ikisi de düzlem kesitlerin eleman boyunca uzanan aksa normal olacak şekilde düzlem kaldığı kabulünü kullanırlar. Doğrusal

olmayan histerik davranış, her bir kesiti oluşturan kuşatılmış beton, kabuk betonu ve çelik donatı fiberlerinin temel ilişkilerinden türemiştir. Düzlem kesitler düzlem kalırlar varsayımı narin kolon kesitleri için dahi geçerliyken, T veya U şeklindeki gibi dikdörtgen olmayan duvar elemanlar için uygulanması oldukça zordur (Beyer ve ark., 2008).

90 yılların sonuna kadar deplasman tabanlı formülasyon veya rijitlik metodu, doğrusal olmayan çerçeve elemanların formülasyonunda kullanılan bir yaklaşımdı. Deplasman tabanlı formülasyon, elemanların aksenal ve enine deplasmanları için uygun enterpolasyon fonksiyonlarının kabul edildiği uygunluk koşullarına dayanmaktadır. Geleneksek çerçeve elemanlar, yüklerin düğüm noktalarına uygulandığı doğrusal elastik prizmatik kirişler için kesin sonuçları gösteren enine deplasman alanları ve aksenal deplasman için doğrusal Lagrangian şekil fonksiyonları için kübik Hermitian polinomlarına dayanmaktadır. Bu formülasyon elastik bölgede makul bir sonuç sergilerken, eğer elemanlar doğru bölümlere ayrılmamışsa, elastik olmayan bölümde hatalar oluşabilir.

Yapısal çerçeve elemanların hassas modellenmesinde, her elemanın 3 veya 4 alt elemana bölünmesi gerekmektedir. Adapte edilmiş kübik formülasyonda, sabit genelleştirilmiş aksenal şekil değiştirme fonksiyonu kabul edilmiştir ve kısa kısa elemanların doğrusal olmayan davranışının modellenmesinde tam anlamıyla geçerlidir (Izzuddin, 1991).

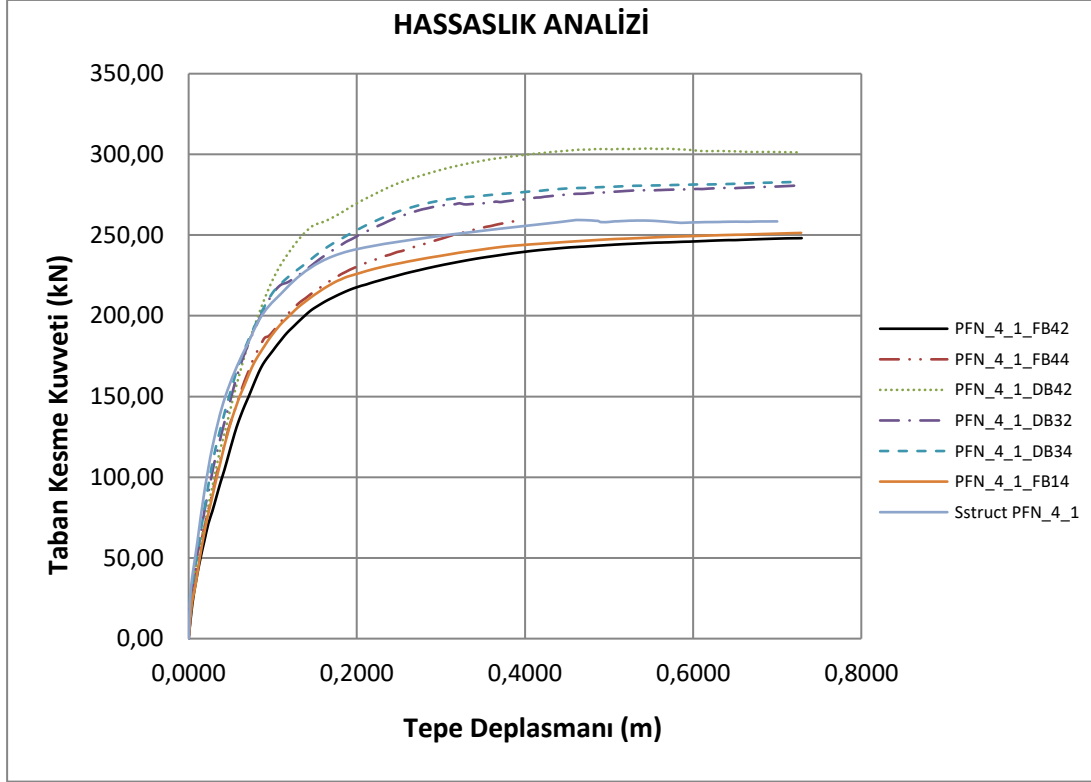
Kuvvet tabanlı elemanların formülasyonu, iç kuvvetlerin enterpolasyon fonksiyonlarına dayanmaktadır. Eleman yükleri olmadığı durumlarda, sabit aksenal kuvvet ve doğrusal olarak değişen eğilme momenti gibi elemanın denge durumunu sağlayan polinomları seçmek oldukça basittir (Neuenhofer ve Flippou, 1997; Zeris ve Mahin, 1988 ve 1991). Kiriş elemanın geometrisinden ve temel kurallardan bağımsız olarak, enterpolasyon fonksiyonları gerçek çözümleri temsil ederler ve bu nedenle, özellikle deprem mühendisliği analizleri için uygundur.

Kesitsel davranışta yumuşamanın, birim şekil değiştirmenin belli bölgelerde toplanmasına neden olması haricinde (Coleman ve Spacone, 2001), rijitlik formüllerinde görülen bölümlenme hatası oluşmaz (Neuenhofer ve Flippou, 1997). Rijitlik tabanlı direk metotlar kullanan analiz programlarında, bu tip elemanların kullanılmasında zorluklar vardır.

Tez çalışmasının bu bölümünde, çeşitli kullanıcıların takip edebilecekleri değişik modelleme seçeneklerinin etkilerinin incelenebilmesi için hassaslık analizleri yapılmıştır. Değişik modelleme yaklaşımlarını test etmek için 2 açıklıklı 4 katlı bir çerçeve modeli seçilmiştir. Bu çerçevede 30x 55cm boyutlarında 10φ16 donatısı olan 8 adet kolon ile 20x100 cm boyutunda 8φ20 başlık, 16φ16 gövde donatısı olan 4 adet kolon bulunmaktadır. Kirişler ise 30x45 cm dikdörtgen kesit, 25x65 ve 25x50 boyutlarında tablalı kesit olarak teşkil olunmuştur. Kirişlerin boyutları ve donatı düzeni PFN_4_1 çerçevesinde verilmiştir (Şekil 3.1). Kat yükseklikleri bütün katlarda aynı ve 3.00m'dir. Açıklıklardan biri 4.40 m diğeri ise 5.60 m genişliğindedir. Yapı *OpenSees* programında değişik modelleme alternatifleri kullanılarak oluşturulmuştur. Ayrıca sonuçların doğruluğunun takibi amacıyla çerçeveler *SeismoStruct* programında da modellenmiştir. İki farklı programda kullanılan modelleme kabulleri ile ilgili parametreler Çizelge 4.1'de listelenmiştir. İki programda da kullanılan parametrelerin olabildiğince birbirine yakın olabilmesi için özel bir çaba sarf edilmiştir.

Örnek çerçeve üzerinde 6 adet değişik analiz türü uygulanarak, elemanların formüle edilmesi, bir elemanın bölünme sayısı ve her elemanın üzerinde bulunan entegrasyon nokta sayısının etkileri incelenmeye çalışılmıştır. Ters üçgen yayılımındaki yatay kuvvetler altında, kuvvet kontrollü basit bir ivme analizi yapılmıştır. Uygulanan analiz alternatifleri aşağıda sıralanmıştır.

- Her eleman dört eşit parçaya bölünerek ve her elemanda 2 entegrasyon noktası kullanılarak oluşturulan yer değiştirme tabanlı elemanlar
- Kolon ve kiriş uç bölgelerini kesit yüksekliği uzunluğunda elemanlara bölerek ve her elemanda 2 entegrasyon noktası kullanılarak oluşturulan yer değiştirme tabanlı elemanlar
- Kolon ve kiriş uç bölgelerini kesit yüksekliği uzunluğunda elemanlara bölerek ve her elemanda 4 entegrasyon noktası kullanılarak oluşturulan yer değiştirme tabanlı elemanlar
- Her eleman dört eşit parçaya bölünerek ve her elemanda 2 entegrasyon noktası kullanılarak oluşturulan kuvvet tabanlı elemanlar
- Her eleman dört eşit parçaya bölünerek ve her elemanda 4 entegrasyon noktası kullanılarak oluşturulan kuvvet tabanlı elemanlar
- Her eleman tek parça olarak modellenerek ve her elemanda 4 adet entegrasyon noktası kullanılarak oluşturulan kuvvet tabanlı elemanlar



Şekil 4.1 : Hassaslık analizi sonuçlarının karşılaştırmalı grafiği.

Burada PFN_4_1 modelin ismini, sonra gelen DB veya FB ise sırayla deplasman tabanlı veya kuvvet tabanlı eleman seçildiğini, sondaki iki basamaklı sayıdan birincisi elemanın kaç parçaya bölüldüğünü, diğeri ise entegrasyon nokta sayısını temsil etmektedir. Bu eğriler ayrıca aşağıda tanımlanan yönetmelik göçme seviyesi kriterlerine göre incelenmiştir. Şekil 4.1’de verilen hassaslık analizlerinin sonucunda elde edilen grafikte gösterildiği gibi, öncelikle farklı modeller arasındaki en yüksek dayanım farkı, % 20 mertebesindedir. Yani, yapılan modellerde hepsi mantıklı modelleme seçeneklerini içeren tüm alternatiflerden en az dayanım değerini (250kN) veren model ile en yüksek dayanım değerini (300kN) veren model arasında %20 mertebesinde bir fark oluşmaktadır. Bu fark, yapının deplasmanları açısından incelendiğinde ise, yapıda kolonlarında ilk donatı akmasının meydana geldiği tepe deplasmanı değeri, en küçük ve en büyük değer meydana geldiği iki analiz arasında, %22 mertebesinde değişmektedir.

Çizelge 4.1 : Modelleme kabulleri ile ilgili parametreler.

Parametre	SeismoStruct	OpenSees
Beton basınç dayanımı (MPa)		16,80
Tek eksenli beton modeli	Mander ve ark. (1988)	Eğrinin yükselen kısmı için Hognestad parabolü, doğrusal olarak azalan dalı için ise Scott ve ark. (1982) tarafından geliştirilen Kent-Park modeli
Betonun tekrarlı yükler altındaki davranışı	M.-Rueda & Elnashai (1997)	Yassin (1994)
Beton çekme dayanımı (MPa)		1,68
Kuşatılmış beton katsayısı, K		1,10
Kuşatılmış betonda maks. Gerilme için şekil değiştirme değeri		$\epsilon_{co} = 0.002[1 + 5(K - 1)]$
Çelik çekme dayanımı (MPa)		400
Çelik elastisite modülü (MPa)		200.000
Çelik malzeme modeli	Menegotto ve Pinto (1973)*	Giuffrè ve Pinto (1970)*
Pekleşme parametresi		0.002
Çelik için geçiş eğrisi başlangıç şekli parametresi		20
Ortalama fiber parça boyutları		1,5x1,5cm

(*) Opensees programının kullandığı Giuffrè ve Pinto (1970) modeli, burkulmanın hesaba katılmadığı durumlarda Menegotto ve Pinto (1973) modeliyle benzerdir.

4.3 Zaman Tanım Alanında Hesap Yöntemleri

Bina ve bina türü yapıların zaman tanım alanında doğrusal elastik ya da doğrusal elastik olmayan deprem hesabı için, yapay yollarla üretilen, daha önce kaydedilmiş veya benzeştirilmiş deprem yer hareketleri kullanılabilir. Yapay yer hareketlerinin kullanılması durumunda, aşağıdaki özellikleri taşıyan en az üç deprem yer hareketi üretilecektir.

- (a) Kuvvetli yer hareketi kısmının süresi, binanın birinci doğal titreşim periyodunun 5 katından ve 15 saniyeden daha kısa olmayacaktır.
- (b) Üretilen deprem yer hareketinin sıfır periyoda karşı gelen spektral ivme değerlerinin ortalaması A_{og} 'den daha küçük olmayacaktır.
- (c) Yapay olarak üretilen her bir ivme kaydına göre %5 sönüm oranı için yeniden bulunacak spektral ivme değerlerinin ortalaması, göz önüne alınan deprem doğrultusundaki birinci (hâkim) periyod $T1$ 'e göre $0.2T1$ ile $2T1$ arasındaki periyodlar için, $S_{ae}(T)$ elastik spektral ivmelerinin %90'ından daha az olmayacaktır. Zaman tanım alanında *doğrusal elastik analiz* yapılması durumunda, azaltılmış deprem yer hareketinin elde edilmesi için esas alınacak spektral ivme değerleri hesaplanmalıdır.

Zaman tanım alanında yapılacak deprem hesabı için kaydedilmiş depremler veya kaynak ve dalga yayılımı özellikleri fiziksel olarak benzeştirilmiş yer hareketleri kullanılabilir. Bu tür yer hareketleri üretilirken yerel zemin koşulları da uygun biçimde göz önüne alınmalıdır. Kaydedilmiş veya benzeştirilmiş yer hareketlerinin kullanılması durumunda yukarıdaki özellikleri sağlayan en az üç deprem yer hareketi üretilmelidir.

Zaman tanım alanında doğrusal elastik olmayan hesap yapılması durumunda, taşıyıcı sistem elemanlarının tekrarlı yükler altındaki dinamik davranışını temsil eden iç kuvvet-şekil değiştirme bağıntıları, teorik ve deneysel geçerlilikleri kanıtlanmış olmak kaydı ile ilgili literatürden yararlanılarak tanımlanacaktır. Doğrusal veya doğrusal olmayan hesapta, üç yer hareketi kullanılması durumunda sonuçların maksimumu, en az yedi yer hareketi kullanılması durumunda ise sonuçların ortalaması tasarım için esas alınacaktır.

Zaman Tanım Alanında Doğrusal Olmayan Hesap Yöntemi'nin amacı, taşıyıcı sistemdeki doğrusal olmayan davranış gözönüne alınarak sistemin hareket denkleminin adım adım entegre edilmesidir. Analiz sırasında her bir zaman artımında sistemde meydana gelen yer değiştirme, plastik şekil değiştirme ve iç kuvvetler ile bu büyüklüklerin deprem istemine karşı gelen maksimum değerleri hesaplanır.

Beton ve donatı çeliğinin birim şekil değiştirmeleri cinsinden elde edilen deprem istemleri, aşağıda tanımlanan birim şekil değiştirme kapasiteleri ile karşılaştırılarak, kesit düzeyinde taşıyıcı sistem performansı belirlenmelidir. Plastik şekil

değişikliklerin meydana geldiği betonarme sünek taşıyıcı sistem elemanlarında, çeşitli kesit hasar sınırlarına göre izin verilen şekil değiştirme üst sınırları (kapasiteleri) aşağıda tanımlanmıştır:

(a) Kesit *Minimum Hasar Sınırı (MN)* için kesitin en dış lifindeki beton basınç birim şekil değiştirmesi ile donatı çeliği birim şekil değiştirmesi üst sınırları:

$$(\varepsilon_{cu})_{MN} = 0.0035 ; (\varepsilon_s)_{MN} = 0.010 \quad (4.1)$$

(b) Kesit *Güvenlik Sınırı (GV)* için etriye içindeki bölgenin en dış lifindeki beton basınç birim şekil değiştirmesi ile donatı çeliği birim şekil değiştirmesi üst sınırları:

$$(\varepsilon_{cg})_{GV} = 0.0035 + 0.01 (\rho_s / \rho_{sm}) \leq 0.0135 ; (\varepsilon_s)_{GV} = 0.040 \quad (4.2)$$

(c) Kesit *Göçme Sınırı (GÇ)* için etriye içindeki bölgenin en dış lifindeki beton basınç birim şekil değiştirmesi ile donatı çeliği birim şekil değiştirmesi üst sınırları:

$$(\varepsilon_{cg})_{GC} = 0.004 + 0.014 (\rho_s / \rho_{sm}) \leq 0.018 ; (\varepsilon_s)_{GC} = 0.060 \quad (4.3)$$

4.4 Göreli Kat Ötelenme Analizleri

Herhangi bir kolon veya perde için, ardışık iki kat arasındaki yerdeğiştirme farkını ifade eden *azaltılmış göreli kat ötelenmesi*, Δ_i aşağıdaki denklem ile elde edilecektir.

$$\Delta_i = d_i - d_{i-1} \quad (4.4)$$

Yukarıdaki ifade de belirtilen d_i ve d_{i-1} , her bir deprem doğrultusu için binanın i 'inci ve $(i-1)$ 'inci katlarında herhangi bir kolon veya perdenin uçlarında azaltılmış deprem yüklerine göre hesaplanan yatay yerdeğiştirmeleri göstermektedir. Her bir deprem doğrultusu için, binanın i 'inci katındaki kolon veya perdeler için *etkin göreli kat ötelenmesi*, δ_i aşağıdaki denklem ile verilmiştir.

$$\delta_i = R \Delta_i \quad (4.5)$$

Her bir deprem doğrultusu için, binanın herhangi bir i 'inci katındaki kolon veya perdelerde, yukarıdaki denklem ile hesaplanan δ_i etkin göreli kat ötelemelerinin kat içindeki en büyük değeri $(\delta_i)_{max}$, aşağıda verilen koşulu sağlayacaktır:

$$\frac{(\delta_i)_{max}}{h_i} \leq 0.02 \quad (4.6)$$

Yukarıda verilen koşulun binanın herhangi bir katında sağlanamaması durumunda, taşıyıcı sistemin rijitliği arttırılarak deprem hesabı tekrarlanacaktır. Ancak verilen

koşul sağlansa bile, yapısal olmayan gevrek elemanların (cephe elemanları vb) etkin görelî kat ötelemeleri altında kullanılabilirliđi hesapla dođrulanmalıdır.

4.5 Sünek Davranış, Eksenel Dönme

Her bir yapısal elemanın (kolonlar ve kirişler) uç noktalarında oluşan eksenel dönme ve buna karşılık gelen kapasitesini bulmak için eleman seviyesinde sünek davranış değerlendirilir. Ortalama beton dayanımı, f_{cm} , boyuna donatı akma dayanımı, f_{ylm} , ve enine donatı akma dayanımı, f_{ywm} ile uyumlu olarak bu talep bulunur. Malzeme özelliklerinin ortalama değerlerinin (f_{cm} , f_{ylm} ve f_{ywm}) belirlenmiş bir katsayı ile azaltılmış hali dikkate alınarak kapasite hesaplanır.

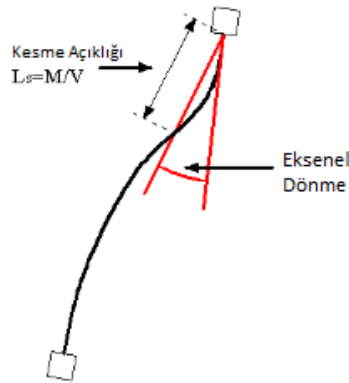
Eksenel dönme aşağıda sıralananların arasındaki açı olarak tanımlanır.

- Elemanın uç bölümünün ağırlık merkezi ile $M = 0$ olan bölümünün ağırlık merkezlerini birleştiren eksen.
- Uç bölümünün eleman eksenine tanjantı

M , eğrilik Φ ile orantılı olduğundan, $M = 0$ olduğu bölüm, elemanın eğilmemiş kısmına denk gelir. Bu nedenle, herbir yapısal elemanın bir ucundan sabitlenmiş iki adet konsol elemandan oluştuđu dikkate alınarak, kesme bölgesi uzunluđu L_s 'e (Şekil 4.2) eşit uzunluk ile karakterize edilir.

$$L_s = \frac{M}{V} \quad (4.7)$$

burada M ve V sırasıyla dikkate alınan elemanın uç noktalarındaki eğilme momenti ve kesme kuvveti istemidir.



Şekil 4.2 : Kesme Açıklığı Tanımı.

Eleman uç noktalarındaki eksenel dönmeler, beton elemanlar için en önemli ve uygun ölçümlerdir, Çünkü;

- Deneysel olarak ölçülmesi çok zor olan eğriliğin aksine, kesme açıklığının uç noktalarında ki deplasmanlar güvenilir bir şekilde ölçülebilir.
- Yayınlanmış deneysel yayınların çoğu basit veya çift konsol örneklerdeki uç noktası deplasmanlarından elde edilmiştir.

Eğer dikkate alınan elemanın uç noktasındaki düğüm noktası dönmesi, eşdeğer konsol elemanın kat ötelenmesine göre düşükse, eksenel dönme, Θ , aşağıdaki gibi tanımlanır.

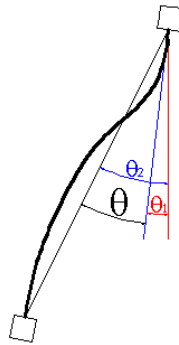
$$\theta = \frac{\Delta}{L_s} \quad (4.8)$$

Burada Δ kesme açıklığı sonundaki uç deplasmanıdır.

Eğer uç deplasmanı, dikkate alınan son kesitin düğüm noktası dönmesine göre düşük ise, Θ dikkate alınan elemanın uç noktasındaki düğüm noktası dönmesi olarak basitçe tanımlanabilir. Genel olarak, bina zemin hareketi ile yatay deplasman yaptığında, kesme açıklığı sonundaki yatay kat ötelemeleri, kolon uç noktalarındaki dönmelerden çok daha büyüktür. Kolonların uç düğüm noktası dönmelerinin ihmal edilmesi ile elde edilen değerler, kirişlerin eğilme rijitliğinin kolonlarınkinden çok büyük olması durumunda kesin olacaktır. Bu kapasite tasarım prosedürleri takip edilmeden sadece düşey yüklere göre tasarlanmış yapılar için tipiktir.

θ_1 ve θ_2 , sırasıyla düğüm noktası dönmesi ve kesme açıklığı ucundaki kat ötelemesidir (Şekil 4.3).

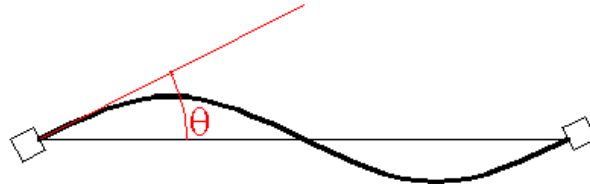
$$\theta = \theta_2 - \theta_1 \cong \theta_2 \quad (4.9)$$



Şekil 4.3 : Kolonlar için eksenel dönme istemi.

θ_1 'in işareti θ_2 'nin işaretinin zıttı olduğundan, $\theta = \theta_2$ kabulü aksenal dönme istemini biraz fazla hesaplanmasına neden olur ve güvenli tarafta kalınır. Eğer kirişlerin eğilme rijitliği kolonlarınkinden daha büyük ise (eski betonarme yapılarda bayağı yaygındır), her bir kolonun iki ucundaki eğilme momentleri benzer değerlerle ve farklı işaretli olarak hesaplanır. Eğer kolonların rijitliği kirişlerden büyük ise, her bir kolonun iki ucunda oluşan eğilme momenti birbirinden fazlasıyla farklı olabilir ve ayrıca aynı işaretli olması ve kat hizalarında yönünün değişmemesi de mümkündür. Bu nedenle, kolon rijitliğine göre kirişlerin rijitliğini arttırmak, kolonun iki uç noktasındaki eğilme moment değerlerini birbirine daha çok yaklaştırır. Kirişlerin kolonlardan daha güçlü olması durumunda, ayrıca kolonların her bir ucunda bulunan kesme açıklığı uzunluğu, kolon uzunluğunun yarısına eşit olacak şekilde dikkate alınabilir. Bu ifade, eğer model kayma tipi çerçevelerden oluşuyor ise (kirişler, kolonlara göre sonsuz rijit) doğru olacaktır. Mevcut örneklerde genel olarak test sırasında kesme açıklığı oranı, yayılı yük olmadığı için, sabit olarak kalması sağlanır. Kolonlar dikkate alındığında, deneysel sonuçlar hassas bir şekilde gerçek durumu yansıtmaktadır. Kirişler dikkate alındığında, aksenal dönme basitçe dikkate alınan eleman uçlarındaki düğüm noktaları dönmesi olarak tanımlanabilir. Bu kabul düşey yüklerin ihmal edildiği durumda kesin olacaktır. Eleman uçlarını birleştiren eksen yaklaşık olarak yatay olacaktır ve sadece düğüm noktası dönmesi aksenal dönmeye katkı sağlayacaktır. Eğer çerçeveler eşit kirişlerden ve kolonlardan oluşturulduysa, kirişlerin her iki ucundaki eğilme momentleri aynı değerleri fakat farklı işaretleri alacaktır. Bu durumda (Şekil 4.4):

- Eleman uç noktalarını birleştiren eksen yatay olacaktır.
- Kirişlerin her bir ucunda bulunan düğüm noktası dönmeleri aynı değerde fakat farklı işaretle olacaktır. Sonuç olarak her iki uçta hesaplanan aksenal dönme miktarları birbirine eşit olacaktır.
- Kesme açıklığı uzunluğu, kirişin yarısına eşit olacaktır.



Şekil 4.4 : Düşey yüklerin katkısı ihmal edildiği durumdaki kirişler için aksenal dönme istemi.

Maalesef, düşey yüklerde kirişlere etki ettiği zamanki gerçek durum çok daha karmaşıktır. Aşağıda verilen iki sistemin süperpozitesi yapılarak kirişin mevcut durumu dikkate alınır:

- (i) Kiriş üzerindeki yükler kaldırılmış ve uç noktalarında sismik hesaplara göre düğüm noktası dönmeleri oluşması
- (ii) Kirişler iki ucundan sabit mesnetli olarak düşey yüklerin etkilmesi

Nihai eksenel dönme, düğüm noktası dönmesi (sistem 1) ile düşey yükler nedeniyle eğilmenin oluşmadığı noktadaki kat ötelenmesinin (sistem 2) toplamı olarak gösterilebilir. θ_1 ve θ_2 sırasıyla sistem 1 ve 2'ye karşılık gelen eksenel dönmeleri göstermektedir (Şekil 4.5).

$$\theta = \theta_1 + \theta_2 \quad (4.10)$$

The diagram consists of three parts. The top part shows a beam with a rotation angle θ_1 at the left end. The middle part shows a beam with a rotation angle θ_2 at the left end. The bottom part shows the resulting beam with a total rotation angle θ at the left end, which is the sum of θ_1 and θ_2 . The equation $\theta = \theta_1 + \theta_2$ is written above the diagram.

Şekil 4.5 : Kirişler için toplam eksenel dönme istemi (Sistem 1, 2 ve toplamı).

Sismik hareket terse döndüğünde θ_1 işaret değiştirir, θ_2 aynı kalır. Bu nedenle, nihai eksenel dönme ve kesme açıklık uzunluğu sismik hareketin yönüne bağlıdır. Yatay yüklerden oluşan moment ve kesme kuvvetlerinin her ikisi de, düşey yüklerden oluşan moment ve kesme kuvveti ile aynı işaret ile tanımlandığında kesme açıklık uzunluğu ve minimum eksenel dönme istemi maksimum olur. Sonuç olarak düşey yüklerde simetrik olmayan davranışın bir kaynağıdır. Eğer kesme açıklık uzunluğu minimumsa (üst başlık çekmede), kiriş altının çekmede olduğu durum ile karşılaştırıldığında, kesme kuvvetinin etkisi daha belirleyici olur.. Düşey yükler, kirişlerin sünek davranışını etkilemesine rağmen, unutulmaması gerekir ki genel olarak, yatay yüklerden oluşan düğüm noktası dönmeleri, düşey yüklerden oluşan kat

ötelenmesinden daha büyüktür. Zemin hareketinin şiddetini arttırdığımızda, eksenel dönme istemine düşey yüklerin katkısı azalacaktır. θ_2 ihmal edildiğinde ve eksenel dönme isteminin θ_1 'e (incelenen kiriş uçlarındaki düğüm noktası dönmesi) eşit olduğu kabulü ile hassaslıkta kayda değer bir azalma olmayacaktır. Mevcut örneklerin birçoğunda, test boyunca kesme açıklığı sabitlendiği için, deney sonuçları kirişin gerçek davranışını hassaslıkla karşılamamaktadır.



5. SİSMİK TEHLİKEYE BAĞLI TASARIM SPEKTRUMLARI VE ÖRNEK YAPI SİSTEMLERİ İÇİN KAYIT SEÇİLMESİ

5.1 Türkiye’de Sismik Tehlike Haritaları

Türkiye’de halen yürürlükte olan deprem bölgeleri haritasının esasını oluşturan olasılıksal sismik tehlike haritası çalışması yaklaşık 20 yıl önce gerçekleştirilmiştir. Bu süreç içinde sismik tehlike hesapları ile ilgili yöntemler, yer hareketi ve sismik kaynak modellemesindeki belirsizliklerin ele alınış şekilleri doğal olarak daha da gelişmiştir. Dünyada deprem etkileri altında tasarım yüklerinin hesaplanmasında kullanılan tasarım spektrumu da kavramsal değişikliklere uğramıştır. Ulusal Deprem Araştırma Programı, ülkemizde ve dünyada olasılıksal sismik tehlike hesap yöntemlerindeki son gelişmeleri ve sismik tehlike hesaplarında kullanılan temel bileşenlerle ilgili Türkiye’de ve uluslararası alanda gerçekleştirilen son çalışmalarını dikkate alarak belli yıllık aşılma seviyeleri için jenerik kaya zemin koşullarına uygun ($V_{S30} = 760$ m/s) maksimum yer ivmesi (PGA), maksimum yer hızı (PGV) ile 0.2s ve 1.0s periyotlarında %5 sönüme sahip spektral ivme değerlerinin ülke kara sınırları içindeki değişimini gösteren sismik tehlike haritaları üretmiştir (Akar ve diğ.,2014).

Bu haritaların oluşturulabilmesi için Türkiye Sismik Tehlike Haritasının Güncellenmesi (UDAP – Ç13-06) projesi oluşturulmuş ve ulusal düzeyde bir katılımı çalışmalar gerçekleştirilmiştir. UDSEP-2023 kapsamında çalışmaları tamamlanmış olan “Türkiye Diri Fay Haritası” ve çalışmaları devam etmekte olan “Türkiye Sismotektonik Haritası” projelerinde üretilen bilgiler deprem tehlike değerlendirmeleri için temel altlık bilgilerini oluşturmaktadır. Sismik tehlike hesap yöntemlerinin birden fazla uzmanlık disiplinini içermesi nedeniyle proje araştırma grubu geniş bir kadrodan oluşturulmuştur. Bu bağlamda Boğaziçi Üniversitesi (BÜ), Çukurova Üniversitesi (ÇÜ), Orta Doğu Teknik Üniversitesi (ODTÜ) ve Sakarya Üniversitesi (SÜ) öğretim üyeleri ile beraber Maden Tetkik Arama Genel Müdürlüğü (MTA) ve Başbakanlık Afet ve Acil Durum Yönetimi Başkanlığı (AFAD) personeli projenin ana araştırma kadrosunu oluşturmuştur. Bunun yanı sıra Akdeniz

Üniversitesi, BÜ, ÇÜ ve ODTÜ'den yüksek lisans ve doktora seviyesinde bursiyer araştırmacılar projenin her safhasına aktif katkıda bulunmuşlardır.

5.1.1 UDAP – Ç13-06 Projesi kapsamında gerçekleştirilen çalışmalar

İlk olarak sismik kaynakların temel özelliklerini belirlemeye esas çalışmalar gerçekleştirmiştir. Bu anlamda, araştırmacılar aletsel deprem kataloğu ve sismik kaynakların belirlenmesi konularını proje kapsamında çalışmışlardır. Projede diri fay kaynakların belirlenmesi, Türkiye kara sınırlarının içinde kalan ve Türkiye kara sınırlarını çevreleyen 200 km'lik kuşak içindeki faylar olmak üzere iki ayrı kapsamda değerlendirilmiştir. Bu değerlendirmeler sırasında tüm literatür, özellikle basılı haritalar, Türkiye'nin de içinde yer aldığı ve çok yakın zamanda tamamlanmış uluslararası SHARE (Seismic Hazard Harmonization in Europe; www.share-eu.org) ve EMME (Earthquake Model of the Middle East; www.emme-gem.org) projelerinin diri fay veri tabanları ve yenilenmiş Türkiye Diri Fay Haritası veri tabanı ayrıntılı olarak incelenmiştir. Bu incelemeler sonucunda, Türkiye kara sınır alanları için diri fay kaynakları olarak MTA tarafından yenilenen 1:25000 ölçek hassasiyetindeki aktif Türkiye Diri Fay Haritası (Emre vd., 2013) veri tabanının kullanılması kararlaştırılmıştır. Bu veri tabanı son dönem içinde elde edilen bulguların ışığında belirlenen 553 fay segmenti ve bunların deprem tehlike değerlendirmelerinde gerekli olan parametrik bilgilerini içerir. Parametrik bilgiler her bir fay segmenti için tip, geometrik konum, yaratabileceği en büyük deprem, kayma hızı ve sismojenik derinlik bilgilerinden oluşur. Bunlardan kayma hızlarıyla ilgili bilgiler sınırlı sayıdaki paleosismolojik verilerden ve literatüre bağlı GPS hız verilerinin proje sürecinde yapılan atölye çalışmaları sırasında değerlendirilmeleriyle elde edilmiştir. Diri faylara ait sismojenik derinlik bilgileri ise, derlenen aletsel deprem kataloğu ile beraber literatür bilgisi değerlendirilerek elde edilmiştir. Diri fay kaynaklarının yaratabileceği en büyük deprem büyüklükleri moment büyüklüğü (M_w) cinsinden projede kullanılan deprem kataloğu ve ampirik M_w – fay uzunluğu, M_w – fay kırığı alanı bağıntıları (Wells ve Coppersmith, 1996) kullanılarak elde edilmiştir.

Türkiye sınırları dışındaki diri fay kaynakları için bölgesel ölçekte hazırlanmış diri fay haritalarını (İran diri fay haritaları, Suriye tektonik haritası, Irak ve Gürcistan neotektonik haritaları) ve bölgesel haritaların temin edilemediği durumlarda (Ege Denizi, Akdeniz, Karadeniz ve Trakya) literatür bilgileriyle beraber EMME ve

SHARE projelerinin diri fay veri tabanlarını kullanmıştır. Farklı kaynaklardan toparlanan bu bilgiler, sınır içi aktif fay bilgileriyle tekrar değerlendirilmiş, sınır içi ve sınır dışı diri fay kaynaklarının birbirini tamamlar şekilde eksiklikleri giderilerek süreklilikleri sağlanmıştır.

Alan kaynakların belirlenmesi çalışmaları, oluşturulan aktif fay veri tabanı bilgilerini ve deprem kataloğu dikkate almıştır. Aktif fay mekanizmaları, sismojenik derinlik, bölgesel tektonik yapılar, aletsel ve tarihsel deprem katalogları beraber değerlendirilerek Türkiye ve çevresindeki 200 km'lik kuşak içinde toplam 105 adet alan deprem kaynağı belirlenmiştir. Bu alan kaynaklarına ait en büyük deprem büyüklükleri aletsel ve tarihsel deprem kataloglarının istatistiki olarak incelenmesi sonrası belirlenmiştir.

UDAP – Ç13-06 Projesinde kullanılan deprem katalogları açısından detaylı çalışma aletsel deprem kataloğunun derlenmesi sırasında gerçekleştirilmiştir. Tarihsel katalog, GEM-Historical Catalogue (www.globalquakemodel.org/what/seismic-hazard/historical-catalogue), SHARE ve EMME proje çıktılarında yararlanılarak derlenmiştir. Aletsel deprem kataloğu (1900 ve sonrası), 23° - 48° Doğu boylamları ve 32° - 45° Kuzey enlemleri içinde kalan 12674 depremi içermektedir. Proje hedeflerine uygun şekilde en küçük aletsel büyüklük sınırı M=4.0 olarak belirlenmiştir. Aletsel deprem kataloğunun derlemesi sırasında ulusal ve uluslararası deprem katalogları incelenmiş, bu kataloglardan elde edilen bilgiler tek bir veri tabanı (taslak katalog) haline getirilmiş, daha sonra belli bir hiyerarşik yapıya göre derlenen katalog bilgilerinden öncelikler belirlenerek tek bir (bütünleştirilmiş) katalog elde edilmiştir. Derleme sırasında özellikle güvenilir deprem lokasyonunu farklı kaynaklardan seçmek için büyüklüğü (M) 5.0 ve üstü olan depremler Coğrafi Bilgi Sistemleri (CBS) ortamında aktif diri fay haritası ile beraber değerlendirilmiş, lokasyon açısından en doğru konumu veren katalog bütünleştirilmiş katalogda önceliğe sahip olmuştur. Lokasyon açısından öncelikli kataloğa ait büyüklük ve derinlik bilgileri de bütünleştirilmiş katalogda tercih edilmiştir. Bu işlemler sırasında özellikle deprem lokasyonları açısından Boğaziçi Üniversitesi Kandilli Rasathanesi ve Deprem Araştırma Enstitüsü (BÜ-KRDAE) ve AFAD Deprem Dairesi katalogları 2005 yılı Türkiye sınırları içinde oluşmuş depremler açısından öncelikli kabul edilmiştir (Kalafat vd., 2011). Bu kabulün sebebi söz konusu iki kurumun deprem izleme şebekelerinin 2005 yılı ve sonrası güvenilir deprem çözümleri açısından yeterli

düzeğe gelmeleri varsayımıdır. Türk kara sınırları içinde oluşan depremler için BÜ-KRDAE ve AFAD kataloglarının yetersiz kaldığı durumlarda belli zaman aralıklarına göre öncelik verilen ulusal ve uluslararası diğer katalog bilgileri dikkate alınmıştır. Türkiye sınırları dışında kalan depremler için özellikle ISC (International Seismological Centre) ve EMSC (Euro-Mediterranean Seismological Centre) katalogları bütünleştirilmiş aletsel deprem katalogu için öncelikli sayılmıştır. Bütünleştirilmiş aletsel katalog, büyüklük açısından özellikle 1900 – 1976 yılları arasında öncelikle yüzey dalgası büyüklüğünü (M_s) güvenilir olarak kabul etmiş, 1976 ve sonrası depremler için ise M_w tercih edilmiştir. Katalogda, bu öncelikleri sağlamayan depremler için yerel büyüklük M_L , cisim dalgası büyüklüğü M_b ve süreye bağılı büyüklük M_d dikkate alınmıştır. M_w değerleri için Harvard-CMT katalog bilgileri kullanılmıştır. Farklı büyüklük türlerini içeren bütünleştirilmiş katalogun M_w cinsinden homojen hale getirilmesi için ampirik büyüklük dönüşüm bağıntıları oluşturulmuştur. Bu amaçla bütünleştirilmiş katalogda M_w olarak verilen depremlerin taslak katalogdaki karşılıkları bulunmuş, daha sonra farklı regresyon yöntemleri kullanılarak M_w - M_s , M_w - M_L , M_w - M_b ve M_w - M_d ampirik bağıntıları hesaplanmıştır. Bu bağıntılar bütünleştirilmiş katalogun M_w cinsinden homojen hale gelmesi için kullanılmıştır.

Büyüklük cinsinden homojen hale getirilen aletsel deprem katalogu, deprem tekerrür modelleri çalışmaları için kümesizleştirme işlemine de tâbi tutulmuştur. Bu çalışma sırasında farklı kümesizleştirme yöntemleri detaylı bir şekilde incelenmiş ve hassaslık analizleri yapılmıştır. Hassaslık analizleri, çeşitli kümesizleştirme yöntemlerinin deprem kataloguna tatbiki sonrası çok farklı sonuçlar ortaya koyabileceklerini göstermiştir. Bununla beraber Türkiye sınırları içinde meydana gelmiş moment büyüklüğü $M_w \geq 6.5$ olan ve birçok istasyon tarafından kaydedilmiş 15 depremin farklı kümesizleştirme yöntemleri sonucu elde edilen kümeleri incelenmiş, Gardner ve Knopoff (1974) kümesizleştirme yönteminin en makul sonuçları verdiği gözlenmiştir. Bu kapsamda tüm deprem katalogu bu yöntemle kümesizleştirme işlemine tâbi tutulmuştur.

Sismik kaynak modelleri ile ilgili iki ayrı yaklaşım izlenmiştir. Bu yaklaşımlar sırasıyla alansal kaynak ile çizgisel ve mekânsal düzleştirilmiş kaynak modellerdir. UDAP – Ç13-06 Projesi çerçevesinde bu iki yaklaşımın kullanılmasının ana sebebi sismik kaynaklarla ilgili model (epistemik) belirsizliğin olabildiğince tutarlı bir şekilde

olasılıksal sismik tehlike hesaplarına yansıtılmasının amaçlanmasıdır. Alansal kaynak modelinde aktif sığ kabuk içi ve dalma-batma zonunu (arayüz ve dalan levha içi) temsil eden sismik kaynaklar dikkate alınmıştır. Dalma-batma zonu sismik kaynağı Girit ve Kıbrıs dalma-batma bölgelerindeki sismisitenin tehlike hesaplarına aksettirilmesini hedeflemiştir. Her bir alansal kaynak için hesaplanan deprem tekerrür modelinde en büyük deprem (M_{max}) tanımındaki model belirsizliğini dikkate almak için elde edilen sonuçlar değerlendirilerek üç farklı maksimum deprem büyüklük seviyesi belirlenmiştir. Bu büyüklük seviyeleri mantık ağacı uygulamasında farklı ağırlıklar ile tehlike hesaplarına dahil edilmiştir. Aynı şekilde hem aktif sığ kabuk içi, hem de dalma-batma zonu (arayüz ve dalan levha içi) bölgelerinde oluşan depremlerdeki derinliğe bağlı belirsizlik mantık ağacı uygulamasında üç ayrı derinlik seviyesi ile dikkate alınmıştır. Alan kaynak tekerrür modelleri Gutenberg-Richter modeli esas alınarak hesaplanmıştır.

Çizgisel ve mekânsal olarak düzleştirilmiş (arka plan) sismik kaynak modeline bağlı deprem tekerrür modelleri için birinci bölüm tarafından verilen diri fay parametreleri dikkate alınmıştır. Çizgisel (fay) kaynağın sismojenik derinlik ve eğim açısına göre hesaplanan 15 km'lik izdüşümü içinde $M_w \geq 6$ olan depremler doğrudan fay ile ilgili deprem tekerrür modelinde kullanılmıştır. Söz konusu sabit kuşak genişliğinin $M_w \geq 6$ olan depremlerin dış merkezlik lokasyonlarındaki belirsizliği dikkate aldığı varsayılmıştır. Fay ile ilgili tekerrür modeli olarak fay segmentinde toplam sismik momenti koruma prensibine dayalı üstel kesilmiş eksponansiyel model (Youngs ve Coppersmith; 1985) kullanılmıştır. Bu modelin tatbikinde en büyük deprem büyüklüğü fay segmentlerine atanan maksimum magnitüd değeri olarak kabul edilmiştir. Bu kabul ile fay kaynaklarda M_{max} için epistemik belirsizlik göz önüne alınmamaktadır. Bu depremlerin dışında kalan ve diri faylarla eşleştirilemeyen depremler ise mekânsal olarak düzleştirilmiş sismik kaynak modeline ait tekerrür modeli ile sismik tehlike hesabına dâhil edilmiştir.

Deprem tekerrür modelleriyle ilgili hesaplamalar sırasında aktiviteyi belirlemek üzere kümesizleştirme yöntemine tâbi tutulmuş deprem kataloğu Stepp (1972) tarafından önerilen tamamlılık analizleri ile değerlendirilmiştir. Tamamlılık analizleri proje kapsamında Dr. Tuba Eroğlu Azak tarafından geliştirilen bir yazılım yardımıyla yapılmıştır. Aktif sığ kabuk içi depremler için 10 adet, derin depremler için ise 1 adet tamamlılık üst bölgesi oluşturulmuştur. Tamamlılık üst bölgeleri Türkiye kara

sınırlarını ve bu sınırları çevreleyen 200 km'lik kuşağın tamamını kapsayacak şekilde bölgelerin sismojenik derinlikleri ve sismotektonik özellikleri dikkate alınarak oluşturulmuştur. Tamamlılık dönemlerine ait hesaplamalar, farklı deprem büyüklük aralıkları için zaman aralıklarına düşen deprem sayısına bağlı dağılımların gözlemsel değerlendirmeleri dikkate alınarak yapılmıştır. Geliştirilen yazılım, deprem tekerrür parametrelerinin hesaplanmasında farklı tamamlılık sürelerine sahip kataloglar için 2 adet yöntem sunmaktadır. Bu yöntemler Weichert (1980) ve Kijko ve Smit (2012) yöntemleridir. Projede deprem büyüklük tekerrür parametrelerinin hesaplanmasında Weichert (1980) yöntemi tercih edilmiştir. Tamamlılık üst bölgeleri için Weichert (1980) yöntemiyle hesaplanan b değerleri çizgisel kaynak ve mekânsal olarak düzleştirilmiş sismik kaynakların tekerrür modellerinin oluşturulmasında kullanılmıştır. Alansal kaynaklara ait tekerrür modelleri için gerekli olan a ve b parametreleri tamamlılık analizi sonucu elde edilen deprem kataloğu kullanılarak, her bir alansal kaynağa düşen depremler ile hesaplanmıştır. Çizgisel (fay) kaynaklar için aktiviteler ilk aşamada her fay segmenti için tanımlanmış kayma hızları kullanılarak hesaplanmıştır. $0.1^{\circ} \times 0.1^{\circ}$ hücreler ile tanımlanan mekânsal olarak düzleştirilmiş sismik kaynaklar için ise Weichert (1980) yöntemi kullanılarak elde edilen aktivite değerleri Frankel vd. (2000) izlenerek korelasyon mesafesi 50 km olan Gaussian dağılımı vasıtasıyla hücrelere dağıtılmıştır.

Sismik tehlike hesaplarında kullanılacak aktif sığ kabuk içi yer hareketi tahmin denklemlerinin belirlenmesi için üçüncü kısım araştırmacıları öncelikle benzer sismotektonik yapıya sahip Türkiye, Yunanistan, İtalya ve Kaliforniya yer hareketi veri tabanlarını derleyerek büyük bir kuvvetli yer hareketi veri tabanı oluşturmuştur. Bu veri tabanı kullanılarak proje için belirlenmiş aday yer hareketi tahmin denklemleri farklı istatistiki yöntemlerle değerlendirilmiştir. İstatistiki test yöntemlerinin yanı sıra aday yer hareketi tahmin denklemleri farklı deprem büyüklüğü, mesafe ve spektral periyot değerlerinden oluşan senaryolarla görsel olarak da değerlendirilmiştir. Bu aşamalar sonucunda derlenmiş kuvvetli yer hareketi veri tabanını en iyi temsil kabiliyetine sahip 5 yer hareketi tahmin denklemi hassaslık analizlerine tâbi tutularak içlerinden 4 tanesine (Akkar vd., 2014; Chiou ve Youngs, 2008; Akkar ve Çağnan, 2010; Zhao vd., 2006) mantık ağacı uygulamalarında farklı ağırlıklar verilmiş ve aktif sığ kabuk içi yer hareketi model belirsizliği tehlike hesaplarında dikkate alınmıştır. Dalma-batma (arayüz ve levha içi) bölgeleri için Türkiye'de kaydedilmiş kuvvetli yer

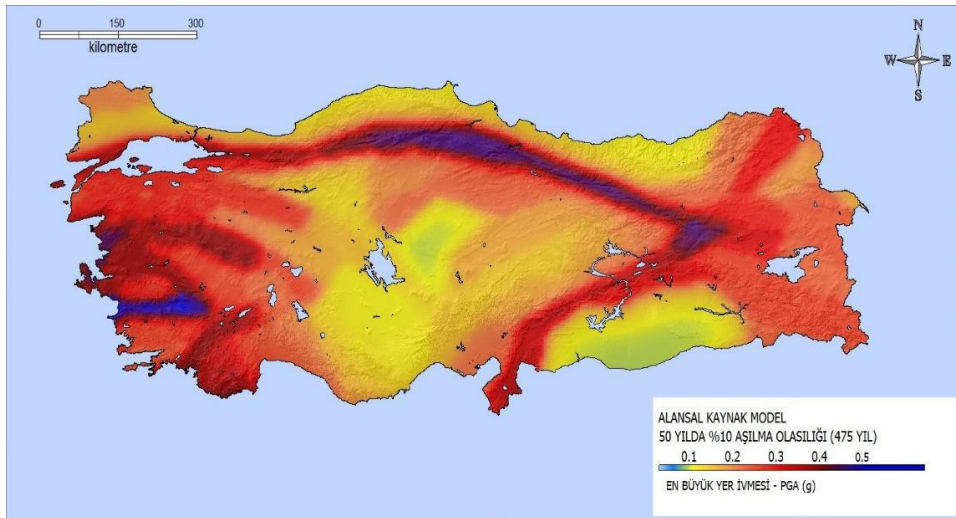
hareketi kayıtlarının çok yetersiz olması nedeniyle bu tip sismotektonik bölgeleri temsil eden yer hareketi denklemlerinin belirlenmesi doğrudan uluslararası çalışmaların (SHARE ve EMME projeleri) sonuçlarına dayandırılmıştır. Bunun sonucunda dalma-batma bölgeleri için yer hareketi karakterizasyonu Zhao vd. (2006), Atkinson ve Boore (2003), Lin ve Lee (2008) ve Youngs vd. (1997) yer hareketi tahmin denklemleri ile temsil edilmiştir. Bu denklemler mantık ağacı hesaplarında dikkate alınarak dalma-batma bölgeleri için yer hareketi model belirsizliği sismik tehlike hesaplarına yansıtılmıştır.

Bir önceki paragrafta belirtilen yer hareketi tahmin denklemleri PGA ve spektral ivmelere ait tehlike hesaplarında kullanılmıştır. PGV hesabında aktif sığ kabuk içi tektonik bölgeleri temsilen Akkar vd. (2014), Akkar ve Çağnan (2010) ile Chiou ve Youngs (2008) tahmin denklemleri eşit ağırlıklara hesaplamalar girmiştir. Dalma-batma bölgeleri için ise PGV tehlike hesabında Megawati ve Pan (2010) (dalma-batma arayüz) ve Garcia vd (2005) (levha içi) depremleri temsilen kullanılmıştır.

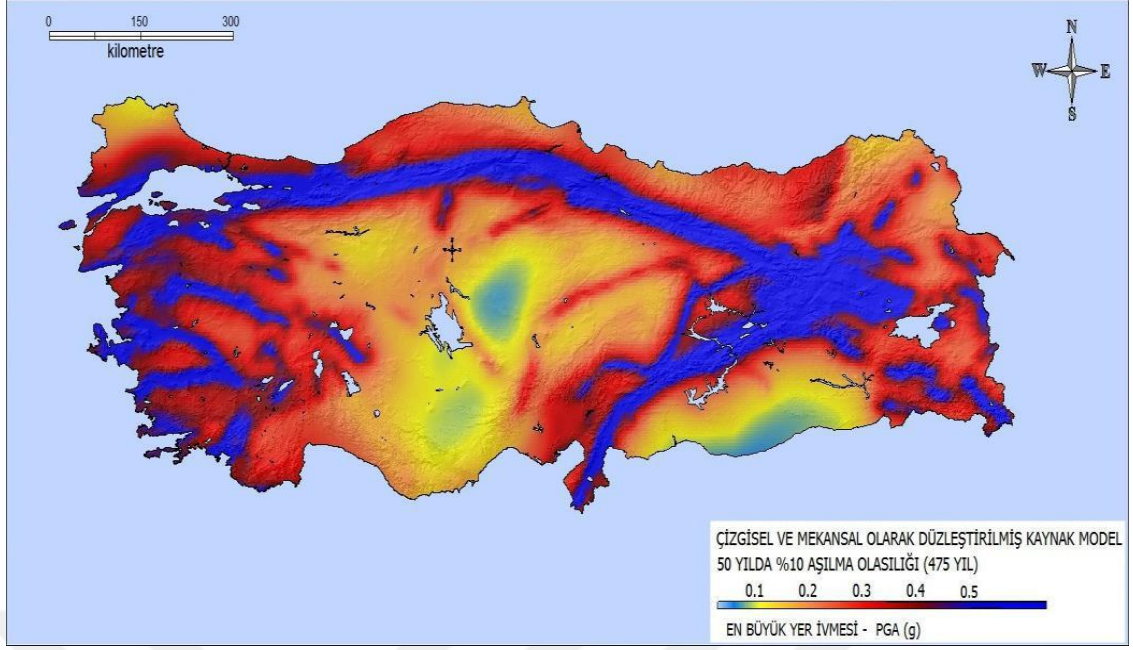
İlk üç çalışmanın çıktıları, mantık ağacı uygulamaları için önerilen ağırlıklarıyla beraber dört ve beşinci çalışma grubu tarafından olasılıksal sismik tehlike hesaplarında kullanılmıştır. Olasılıksal sismik tehlike hesapları, güncellenmekte olan Türk deprem yönetmeliği referans kaya zemin koşulları için ($V_{s30} = 760$ m/s), OpenQuake (openquake.org) yazılımı kullanılarak yapılmıştır. Sismik tehlike eğrileri alansal sismik kaynak ve çizgisel ve mekânsal olarak düzleştirilmiş sismik kaynak modelleri için mantık ağacında 64 dal kullanılarak $0.1^\circ \times 0.1^\circ$ hücreler bazında ayrı ayrı hesaplanmıştır. Sismik kaynaklarla ilgili derinlik, maksimum deprem büyüklüğü gibi belirsizlikler, detayları ikinci çalışma raporunda belirtildiği gibi, farklı ağırlıklarla OpenQuake programına tanımlanmış, ayrıca mantık ağacı uygulamasına sokulmamıştır. OpenQuake tarafından hesaplanan spektral ordinatlar, EZ-FRISK (<http://www.ez-frisk.com>) yazılımıyla Türkiye'nin belli bölgeleri seçilerek tekrarlanmış ve iki yazılım tarafından hesaplanan yer hareketi parametreleri karşılaştırılmıştır. EZ-FRISK yazılımına bir ve ikinci çalışma kısımları tarafından belirlenen sismik kaynak modelleri, deprem tekerrür modelleri olabildiğince OpenQuake programına sadık kalacak şekilde girilmiştir. Karşılaştırmalar EZ-FRISK sonuçlarının OpenQuake hesaplarına oranı şeklinde verilmiştir. Karşılaştırmalar $T_R = 475$ yıl için PGA, ve $T = 0.2s$ ile $T = 1.0s$ spektral ivme dağılımları için Ege Bölgesi dikkate alınarak yapılmıştır. Karşılaştırmalar için alansal kaynak ile çizgisel ve

mekânsal düzleştirilmiş kaynak sonuçları eşit ağırlıklarla hesaplanan spektral değerlerde kullanılmıştır. Bu şekilde OpenQuake ve EZ-FRISK hesap sonuçları arasındaki farklılıkların genelde \pm %10 mertebesinde olduğu gözlenmektedir. Sonuç olarak beşinci kısımda, sismik tehlike eğrilerinden %69, %50, %10 ve %2 aşılma olasılıklarına sahip PGA, $T = 0.2s$ ve $T = 1.0s$ spektral ivme dağılımları Türkiye kara sınırları için hesaplanmıştır. Söz konusu aşılma olasılıkları deprem ve yer hareketi parametrelerinin Poisson dağılımına uygun davranım gösterdikleri varsayımından hareketle 50 yıllık zaman dilimi içinde tekrar periyodu $T_R = 43$ yıl (50 yılda %69 aşılma ihtimali), $T_R = 72$ yıl (50 yılda %50 aşılma ihtimali), $T_R = 475$ yıl (50 yılda %10 aşılma ihtimali) ve $T_R = 2475$ yıl (50 yılda %2 aşılma ihtimali) olan spektral ivme ve PGA dağılımlarına karşılık gelir. Beşinci çalışma tarafından $T_R = 475$ yıla tekabül eden alansal kaynak ve çizgisel ve mekânsal düzleştirilmiş sismik kaynak için ayrı ayrı hesaplanmış PGA dağılımı yapılan çalışmaya örnek olması açısından Şekil 5.1 ve Şekil 5.2’de gösterilmiştir. Söz konusu yer hareketi parametrelerinin belirtilen aşılma olasılıklarına göre dağılımları altıncı kısım çalışmasında bahsedildiği şekilde Türk deprem yönetmeliği tasarım spektrumunun temelini oluşturacak ana bilgileri içermektedir.

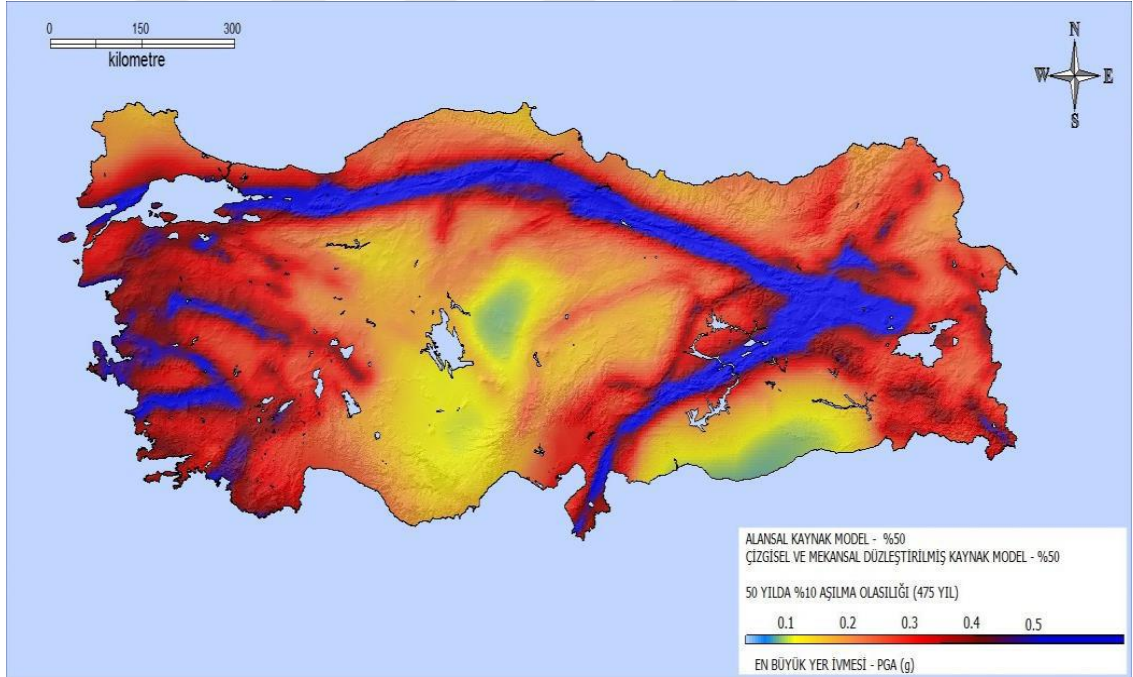
Beşinci çalışma kısmında, alansal kaynak ve çizgisel ve mekânsal olarak düzleştirilmiş sismik kaynak sismik tehlike sonuçlarını proje hedef ürününe dönüştürebilmek üzere %50 “alansal kaynak” ve %50 “çizgisel ve mekânsal düzleştirilmiş sismik kaynak” şeklinde birleştirmiştir. Şekil 5.3, söz konusu birleştirmeye örnek olarak $T_R = 475$ yıl için elde edilmiş PGA dağılımını göstermektedir.



Şekil 5.1 : Alansal kaynak modeli kullanılarak elde edilmiş $T_R = 475$ için PGA dağılımı.



Şekil 5.2 : Çizgisel ve mekânsal düzleştirilmiş sismik kaynak modeli kullanılarak elde edilmiş $T_R = 475$ için PGA dağılımı.



Şekil 5.3 : $T_R = 475$ yıl için “%50 alansal kaynak ve %50 çizgisel ve mekânsal düzleştirilmiş sismik kaynak” ağırlıklarıyla birleştirilmiş PGA dağılımı.

UDAP projesinde üretilen ve ihtimal teorisine bağlı olarak hesaplanan sismik tehlike haritaları aynı zamanda 2019 yılında yürürlüğe girecek yenilenmiş Türkiye deprem yönetmeliği tarafından tasarım ve performansa esas yer hareketinin tanımında kullanılacaktır. Bu bağlamda aktif fay kaynaklarına yakın noktalar için proje kapsamında elde edilen olasılıksal tehlike haritaları 2019 deprem yönetmeliğinde

kullanılan sismik tehlike haritaları için revize edilmiştir. 2475 yıl tekrarlar aralığı için aktif faylar üstünde $T = 0.2s$ spektral ivme değerlerinde $3g$ 'yi aşan noktalar belirlenmiştir. Belirlenen noktalarla aynı boylam üzerinde bulunan ve bu noktaların kuzeyine ve güneyine düşen $3g$ seviyesinin altında kalan noktalar dikkate alınarak lineer enterpolasyon vasıtasıyla fay üzerindeki (veya yakınındaki) yüksek ivme değerleri törpülenmiştir. Bu törpüleme işleminin gerçekleştirildiği $T = 0.2s$ spektral ivme noktaları $T = 1.0$ spektral ivme ve PGA değerleri için 2475 yıl ile 475 yıl tekrar periyotlarına sahip haritaların tamamında aynı işleme tabi tutulmuştur.

5.2 2016 Tarihli Taslak Deprem Yönetmeliği'ne Göre Yer Hareketi Spektrumlarının Oluşturulması

Bu tez çalışmasının analitik kısmı üzerinde çalışmalar devam ederken, Yönetmelik o zaman taslak halinde idi. 2019'da yürürlüğe girecek olan bu yeni yönetmeliğin taslağı aşağıda belirtilen dört farklı deprem yer hareketi düzeyi tanımlanmıştır. Bu kavramlar resmileşen Yönetmelik'te de aynen korunduğundan, buradaki bulgular 2019 Yönetmeliği için de aynen geçerlidir.

DD-1 Deprem Yer Hareketi, spektral büyüklüklerin 50 yılda aşılma olasılığının %2 ve buna karşı gelen tekrarlanma periyodunun 2475 yıl olduğu *çok seyrek* deprem yer hareketini nitelemektedir. Bu deprem yer hareketi, *gözönüne alınan en büyük deprem yer hareketi* olarak da adlandırılmaktadır.

DD-2 Deprem Yer Hareketi, spektral büyüklüklerin 50 yılda aşılma olasılığının %10 ve buna karşı gelen tekrarlanma periyodunun 475 yıl olduğu *seyrek* deprem yer hareketini nitelemektedir. Bu deprem yer hareketi, *standart tasarım deprem yer hareketi* olarak da adlandırılmaktadır.

DD-3 Deprem Yer Hareketi, spektral büyüklüklerin 50 yılda aşılma olasılığının %50 ve buna karşı gelen tekrarlanma periyodunun 72 yıl olduğu *sık* deprem yer hareketini nitelemektedir.

DD-4 Deprem Yer Hareketi, spektral büyüklüklerin 50 yılda aşılma olasılığının %68 (30 yılda aşılma olasılığı %50) ve buna karşı gelen tekrarlanma periyodunun 43 yıl olduğu *çok sık* deprem yer hareketini nitelemektedir. Bu deprem yer hareketi, *servis deprem yer hareketi* olarak da adlandırılmaktadır.

Deprem yer hareketi spektrumları, belirli bir deprem yer hareketi düzeyi için referans zemin koşulları esas alınarak %5 sönüm oranı için, harita spektral ivme katsayılarına, faya yakınlık katsayısına ve yerel zemin etki katsayılarına bağlı olarak standart biçimde veya sahaya özel deprem tehlikesi analizleri ile özel olarak tanımlanırlar.

Yukarıda tanımlanan dört farklı deprem yer hareketi düzeyi için Deprem Tehlike Haritaları, iki spektral ivme değerini tanımlayan Spektral İvme Haritaları olarak düzenlenmiştir. Boyutsuz olarak tanımlanan harita spektral ivme katsayıları aşağıda belirtilmiştir:

- Kısa periyod bölgesi için harita spektral ivme katsayısı S_s
- 1.0 saniye periyod için harita spektral ivme katsayısı S_l

Birbirine dik iki yatay doğrultudaki deprem etkilerinin geometrik ortalamasına karşı gelen harita spektral ivme katsayıları, belirli bir deprem yer hareketi düzeyi için referans zemin koşulu [$(V_s)_{30} = 760$ m/s] esas alınarak %5 sönüm oranı için Deprem Tehlike Haritalarında verilen harita spektral ivmelerinin yerçekimi ivmesine bölünmesi ile boyutsuz katsayılar olarak tanımlanmıştır. Harita spektral ivme katsayıları S_s ve S_l , aşağıdaki şekilde tasarım spektral ivme katsayıları S_{DS} ve S_{D1} 'e dönüştürülür:

$$S_{DS} = S_s F_s \quad (5.1)$$

$$S_{D1} = S_{s1} \gamma_F F_1 \quad (5.2)$$

Burada γ_F faya yakınlık katsayısını, F_s ve F_l ise yerel zemin etki katsayılarını göstermektedir. Sadece DD-1 ve DD-2 deprem yer hareketi düzeylerinde Denk.(15.2)'de S_{D1} 'e uygulanmak üzere, aktif fay düzlemlerine 25 km ve daha az mesafedeki konumlar için faya yakınlık katsayısı γ_F Denk.(4.3) ve Denk.(4.4) ile tanımlanmıştır:

$$\gamma_F = 1.2 \quad L_F \leq 15 \text{ km} \quad (5.3)$$

$$\gamma_F = 1.2 - (L_F - 15) \quad 15 \text{ km} < L_F \leq 25 \text{ km} \quad (5.4)$$

DD-3 ve DD-4 deprem yer hareketi düzeyleri için $\gamma_F = 1.0$ alınacaktır. Bu katsayı 2019 resmi versiyonunda denklemden kaldırılmış, tehlike haritasındaki değerlerin içerisine gömülmüştür, ancak sonuç olarak deprem talebi anlamında bir fark yaratmamaktadır Denk. (5.3) ve Denk. (5.4) 'de L_F fay düzlemine olan mesafeyi [km] göstermektedir. Yerel zemin sınıflarına bağlı olarak yerel zemin etki katsayıları F_s ve F_l , sırası ile

Çizelge 5.1 ve Çizelge 5.2’de verilmiştir. Tablolarda harita spektral ivme katsayılarının ara değerleri için doğrusal enterpolasyon yapılabilir.

Çizelge 5.1: Kısa periyod bölgesi için Yerel Zemin Etki Katsayıları.

Yerel Zemin Sınıfı	Kısa periyod bölgesi için yerel zemin etki katsayısı F_S					
	$S_S \leq 0.25$	$S_S = 0.50$	$S_S = 0.75$	$S_S = 1.00$	$S_S = 1.25$	$S_S \geq 1.50$
ZA	0.8	0.8	0.8	0.8	0.8	0.8
ZB	0.9	0.9	0.9	0.9	0.9	0.9
ZC	1.3	1.3	1.2	1.2	1.2	1.2
ZD	1.6	1.4	1.2	1.1	1.0	1.0
ZE	2.4	1.7	1.3	1.1	0.9	0.8
ZF	Sahaya özel zemin davranış analizi yapılacaktır.					

Çizelge 5.2: 1.0 saniye periyod için Yerel Zemin Etki Katsayıları.

Yerel Zemin Sınıfı	1.0 saniye periyod için Yerel Zemin Etki Katsayısı F_1					
	$S_1 \leq 0.10$	$S_1 = 0.20$	$S_1 = 0.30$	$S_1 = 0.40$	$S_1 = 0.50$	$S_1 \geq 0.60$
ZA	0.8	0.8	0.8	0.8	0.8	0.8
ZB	0.8	0.8	0.8	0.8	0.8	0.8
ZC	1.5	1.5	1.5	1.5	1.5	1.4
ZD	2.4	2.2	2.0	1.9	1.8	1.7
ZE	4.2	3.3	2.8	2.4	2.2	2.0
ZF	Sahaya özel zemin davranış analizi yapılacaktır					

Gözönüne alınan herhangi bir deprem yer hareketi düzeyi için yatay elastik tasarım ivme spektrumunun ordinatları olan yatay elastik tasarım spektral ivmeleri $S_{ae}(T)$, doğal titreşim periyoduna bağlı olarak yerçekimi ivmesi [g] cinsinden aşağıda tanımlanmıştır.

$$S_{ae}(T) = (0.4 + 0.6 \frac{T}{T_A}) S_{DS} \quad (0 \leq T \leq T_A) \quad (5.5)$$

$$S_{ae}(T) = S_{DS} \quad (T_A \leq T \leq T_B) \quad (5.6)$$

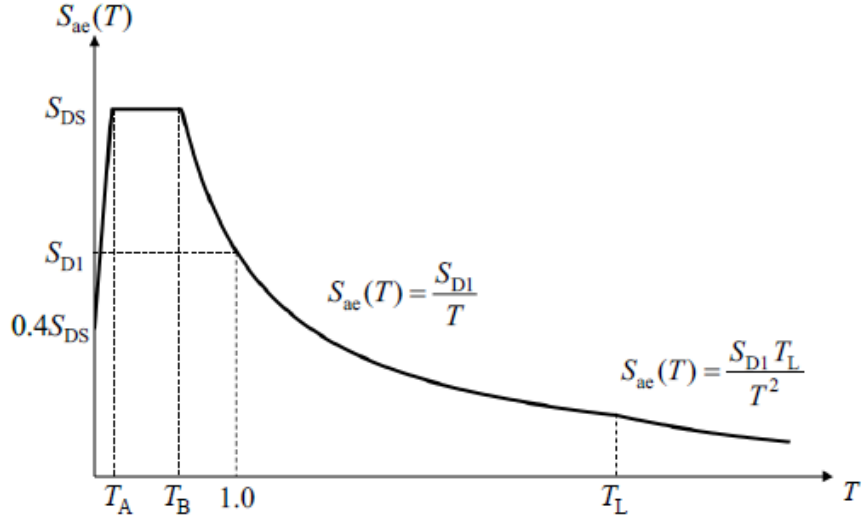
$$S_{ae}(T) = \frac{S_{D1}}{T} \quad (T_B \leq T \leq T_L) \quad (5.7)$$

$$S_{ae}(T) = \frac{S_{D1} T_L}{T^2} \quad (T_L \leq T) \quad (5.8)$$

Burada S_{DS} ve S_{D1} yukarıda tanımlanan tasarım spektral ivme katsayılarını, T ise doğal titreşim periyodunu göstermektedir. Yatay tasarım spektrumu köşe periyodları T_A ve T_B aşağıdaki Denk.(5.9) ile S_{DS} ve S_{D1} ’e bağlı olarak tanımlanır:

$$T_A = 0.2 \frac{S_{D1}}{S_{DS}} \quad ; \quad T_A = \frac{S_{D1}}{S_{DS}} \quad (5.9)$$

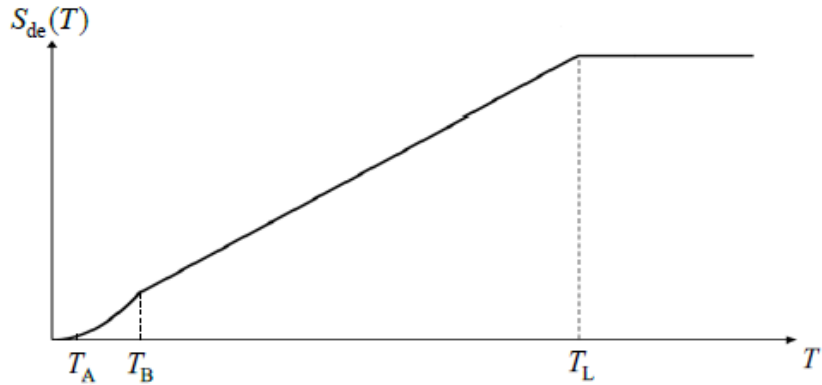
Sabit yer deęiřtirme bölgesine geçiř periyodu $T_L = 6$ s alınacaktır.



Şekil 5.4 : Yönetmelik yatay elastik tasarım spektrumu.

Göz önüne alınan herhangi bir deprem yer hareketi düzeyi için yatay elastik tasarım yerdeęiřtirme spektrumunun ordinatları olan yatay elastik tasarım spektral yerdeęiřtirmeleri $S_{de}(T)$, doğal titreşim periyoduna baęlı olarak metre [m] cinsinden Denk.(5.7) ile tanımlanır.

$$S_{de}(T) = \frac{T^2}{4\pi^2} g S_{ae}(T) \quad (5.7)$$

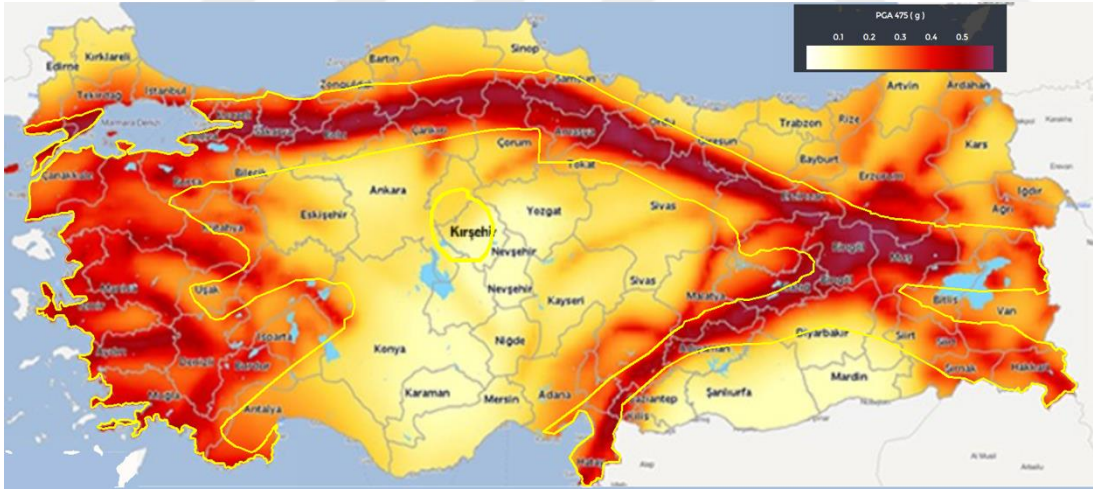


Şekil 5.5 : Yönetmelik yatay elastik spektral yer deęiřtirmeleri.

5.3 Tez Çalışmasında Kullanılan Deprem Merkezleri

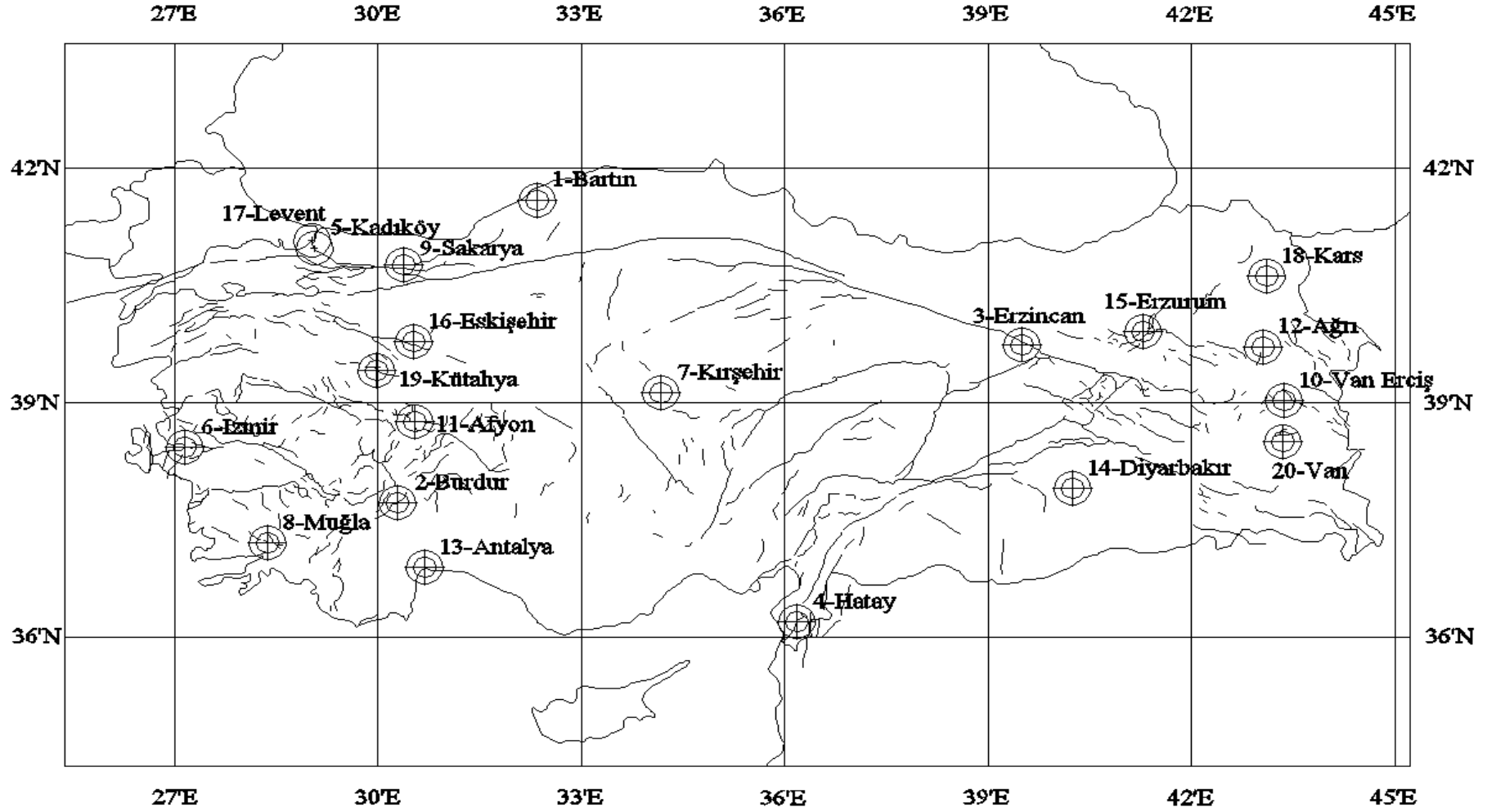
Bu tez çalışmasında kullanılmak amacıyla, Türkiye’de toplam 20 farklı lokasyon belirlenmiştir. Bu lokasyonlar seçilirken, cari deprem bölgeleri haritasındaki 1 ve 2. deprem bölgelerinden lokasyonlar seçilmesi, yine cari deprem bölgeleri haritasında tartışma konusu olan Bartın gibi bölgelerin dahil edilmesi, ayrıca deprem tehlikesinin olmadığı ancak ilgili haritada yine deprem bölgesi olarak gösterilen Kırşehir’in eklenmesi ile, toplamda 20 adet test lokasyonu elde edilmiştir (Çizelege 5.3). Bu merkezlerin depremselliği göz önünde bulundurularak oluşturulacak ivme spektrumlarına göre deprem kayıtları seçilmiş ve örnek yapı sistemleri üzerinde zaman tanım alanında deprem hesapları yapılmıştır. Yapılan hesaplar sonunda bulunan kat ötelenmeleri ve kolonlardaki eksenel dönme değerleri karşılaştırılarak mevcut deprem yönetmeliğinde verilen spektrum ile yerinde elde edilen verilerin örnek yapılar üzerindeki etkileri karşılaştırılarak değerlendirilmiştir.

2018 yılında çıkan yeni Türkiye Deprem Bölgeleri Haritası Şekil 5.6’da verilmiştir. Eski haritada yer alan 1. Derece deprem bölgesi, karşılaştırabilmek adına bu harita üzerinde gösterilmiştir.



Şekil 5.6 : Türkiye deprem bölgeleri haritası (2018).

Şeçilen 20 adet merkez Şekil 5.7’de gösterilmiştir. Bu harita da Türkiye’de bulunan diri faylarda çizilmiştir. Her bir merkezin çevresine 15 km ve 25 km episentral mesafe daireleri çizilerek, faya yakınlıkları belirlenmiştir. 2018 yılında çıkartılması planlanan taslak yönetmelikte, daha önceki bölümlerde de anlatıldığı üzere spektrumların çizilmesi için kullanılan formüllerde faya yakınlık katsayısı kullanılmaktadır. Bu katsayının belirlenmesi için Şekil 5.7’de ki harita kullanılmıştır.



Şekil 5.7 : Türkiye diri fay haritası ve seçilen 20 adet merkez (faya yakınlığı göstermek için merkezlerin çevresine 15km ve 25 km daireleri çizilmiştir).

Çizelge 5.3 : Bu tez çalışması için seçilen 1. ve 2. derece deprem merkezlerinin koordinatları ve spektral katsayıları.

No	İsim	Dep. Böl.	Koord. GPS (DMS)		Koord. (DMM)			Faya Yakınlık Katsayısı			Km	γs		
			Kuzey	Doğu	Kuzey	Doğu	SS_2475	S1_2475	PGA_2475	SS_475			S1_475	PGA_475
1	Bartın Merkez	1	41° 38' 29"	32° 20' 44"	41.641521	32.345581	1.074	0.272	0.445	0.529	0.149	0.225	48.00	1.00
2	Burdur Merkez	1	37° 43' 37"	30° 17' 20"	37.726910	30.288876	1.947	0.483	0.795	0.972	0.225	0.412	1.00	1.20
3	Erzincan Merkez	1	39° 45' 00"	39° 30' 00"	39.750000	39.500000	2.747	0.843	1.107	1.451	0.417	0.604	2.87	1.20
4	Hatay Merkez	1	36° 12' 00"	36° 10' 00"	36.200001	36.166668	2.140	0.587	0.877	1.056	0.276	0.448	0.62	1.20
5	İstanbul Kadıköy	1	40° 58' 54"	29° 03' 28"	40.981667	29.057778	1.693	0.470	0.683	0.973	0.266	0.398	18.11	1.14
6	İzmir Merkez	1	38° 26' 00"	27° 9' 00"	38.433333	27.150000	2.159	0.552	0.857	1.127	0.277	0.460	0.50	1.20
7	Kırşehir Merkez	1	39° 08' 00"	34° 10' 00"	39.133333	34.166667	0.428	0.130	0.183	0.197	0.067	0.086	31.00	1.00
8	Muğla Merkez	1	37° 12' 55"	28° 21' 48"	37.215280	28.363333	1.659	0.413	0.688	0.865	0.218	0.371	1.00	1.20
9	Sakarya Merkez	1	40° 46' 12"	30° 22' 48"	40.770000	30.380000	2.755	0.789	1.084	1.603	0.439	0.652	6.82	1.20
10	Van Erciş	1	39° 01' 52"	43° 21' 35"	39.031111	43.359722	1.373	0.342	0.565	0.694	0.179	0.296	8.41	1.20
11	Afyon Merkez	2	38° 45' 25"	30° 32' 19"	38.756667	30.538611	1.600	0.368	0.633	0.799	0.182	0.328	6.91	1.20
12	Ağrı Merkez	2	39° 43' 07"	43° 03' 03"	39.718611	43.050833	1.085	0.280	0.451	0.549	0.153	0.235	9.80	1.20
13	Antalya Merkez	2	36° 54' 00"	30° 41' 00"	36.900000	30.683333	1.112	0.290	0.512	0.563	0.150	0.263	80.00	1.00
14	Diyarbakır Merkez	2	37° 54' 36"	40° 14' 24"	37.910000	40.240000	0.564	0.220	0.244	0.305	0.129	0.136	37.00	1.00
15	Erzurum Merkez	2	39° 54' 31"	41° 16' 37"	39.908611	41.276944	2.095	0.543	0.841	1.096	0.286	0.460	1.00	1.20
16	Eskişehir Merkez	2	39° 47' 00"	30° 31' 00"	39.783333	30.516667	1.481	0.380	0.605	0.671	0.180	0.285	4.00	1.20
17	İstanbul Levent	2	41° 04' 54"	29° 01' 06"	41.081667	29.018333	1.340	0.373	0.545	0.755	0.216	0.313	26.00	1.00
18	Kars Merkez	2	40° 37' 00"	43° 06' 00"	40.616667	43.100000	0.897	0.239	0.380	0.451	0.130	0.196	34.00	1.00
19	Kütahya Merkez	2	39° 25' 00"	29° 59' 00"	39.416667	29.983333	1.914	0.483	0.770	0.873	0.221	0.367	1.00	1.20
20	Van Merkez	2	38° 29' 57"	43° 20' 55"	38.499167	43.348611	1.277	0.315	0.519	0.645	0.164	0.273	10.00	1.20

Çizelge 5.3'te seçilen deprem merkezleri gösterilmektedir. Burada ki deprem merkezlerinden ilk on tanesi birinci derece deprem bölgesinde diğerleri ise ikinci derece deprem bölgesinde yer almaktadır. Deprem bölgelerinin koordinatları hem DMS, hem de DMM olarak verilmiştir. *SS_2475*, *SI_2475* ve *PGA_2475* değerleri sırasıyla 50 yılda aşılma olasılığı %2 olan 2475 yıl dönüş periyotlu depremlerin kısa periyod bölgesi için harita spektral ivme katsayısı, 1.0 saniye periyod için harita spektral ivme katsayısı ve en büyük zemin ivmesi değerlerini göstermektedirler. *SS_475*, *SI_475* ve *PGA_475* değerleri ise sırasıyla 50 yılda aşılma olasılığı %10 olan 475 yıl dönüş periyotlu depremlerin kısa periyod bölgesi için harita spektral ivme katsayısı, 1.0 saniye periyod için harita spektral ivme katsayısı ve en büyük zemin ivmesi değerlerini göstermektedirler. Faya yakınlık katsayısı hesabında ise Şekil 5.7'de gösterilen Türkiye fay hatları haritası kullanılarak belirlenen uzaklıklar ve 5.3 ve 5.4 formülleri kullanılmıştır.

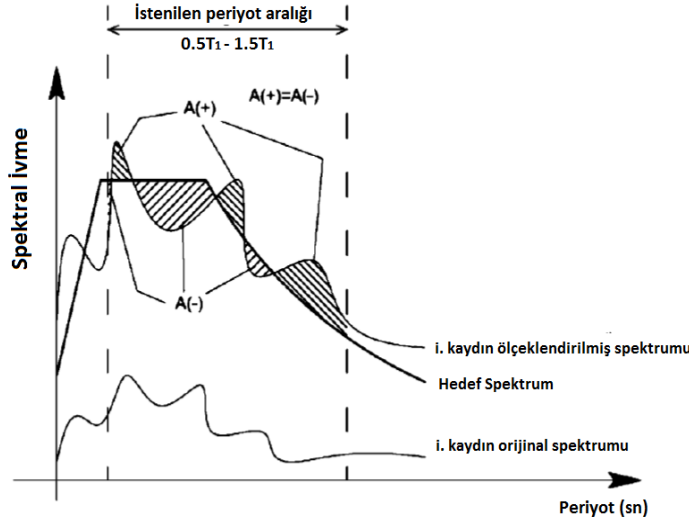
5.4 Örnek Yapı Sistemleri İçin Kayıt Seçilmesi

Örnek yapı sistemleri üzerinde yapılacak zaman tanım alanında hesaplar için kullanılacak kayıtların seçimleri 7025 adet deprem kaydı barındıran PEER NGA veritabanından yapılmıştır. Matlab' de geliştirilen program sayesinde veritabanından deprem kayıtları otomatik olarak indirilerek listelenir ve %5 sönüm oranı için ivme ve deplasman spektrumları çizilir. Spektrumlar bir dosya içine kaydedilir ve her defasında yeniden hesaplanmaları gerekmeden sadece filtrelenerek bulunurlar. Seçme algoritmasında, orijinal kaydın ivme spektrumu hedef spektrum ile 0,5T ve 1,5T periyot aralığında karşılaştırılır (ASCE-07-13). İhtiyaç duyulan kayıt katsayısı, hedef spektrumun altında ve üstünde kalan alanların eşitlenmesi ile hesaplanır (Şekil 5.8). Kayıt katsayısı seçilen kayıtların ivme değerlerine etkililir ve daha sonra 15 km'nin uzak mesafe olduğu kabulü ile faya yakınlık, uzaklık değerlendirilmesi yapılır. Bundan sonra ise yumuşak zemin - sert zemin karşılaştırılması yapılır.

Seçilen 20 adet kaydın, hedef spektrumdan belli bir yüzde altında olmayacak şekilde ölçek katsayıları belirlenir ve çoğu durumda seçilen kayıtların ortalaması ile çizilen ortalama spektrumunda hedef spektrumdan hiçbir bölgede aşağıda olmasına izin verilmez. Ayrıca ortalama spektrumun, istenilen periyot aralığında hedef spektrumdan %30 dan fazla olması da istenmez. Pozitif (hedef spektrumun üzerinde kalan alan) ve negatif (hedef spektrumun altında kalan alan) bölümlerin farklarının kontrol edilmesi

için, her bir kayıt diğer kriterler için de değerlendirilir. Buna göre, her bir tekil kaydın herhangi bir tepe noktası için hedef spektrumdan %50 aşağıda ve %200 yukarıda olmasına izin verilmez.

Ölçek Katsayısının Belirlenmesi



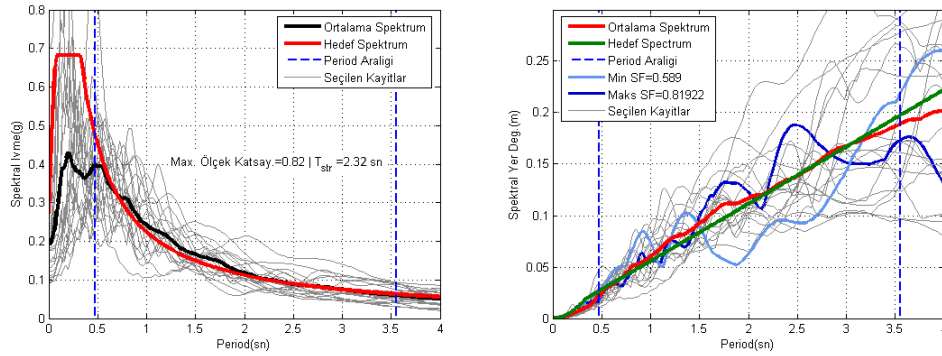
Şekil 5.8 : Spektrumlara uygun kayıtların seçilmesi ve ölçek katsayısının belirlenmesi.

Seçilen kayıtların enerji içeriğini kontrol etmek için iki kriter daha uygulanır. Bunlar PGV (pik zemin hızı) ve Arias şiddetidir. Bu kriterlerin eklenmesinin amacı, seçilen kayıtların dağınıklığını azaltmaktır. Bunun sağlanması için, hedef spektrumu en az hata ile temsil eden kayıt en iyi kayıt olarak atanır. Daha sonra, seçilen diğer kayıtların PGV ve Arias şiddetlerinin, en iyi kaydın belirli oranlarında altında ve üstünde olması sağlanır. Genellikle seçilen kayıtlara ölçek katsayısı uygulandıktan sonra, PGV ve Arias şiddetlerinin $1/0.6 - 1/0.7$ değerlerinin üzerinde ve $0.6 - 0.7$ değerlerinin altında olmasına izin verilmez.

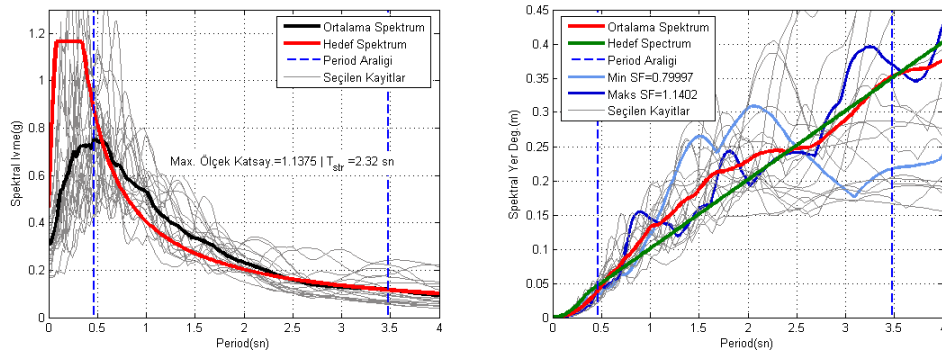
Çizelge 5.4 : Seçilen örnek yapıların hakim periyotları.

20 Katlı 3D Bina	1.46 sn
Aydın Yapısı	0.50 sn
Gedikbulak 3D	0.42 sn
PFN_4_1	0.77 sn
PFN_5_1	0.78 sn
PFN_6_1	0.75 sn
PFN_8_2	0.98 sn
Prefabrik Yapı	1.08 sn
24 Katlı CBSW	2.32 sn

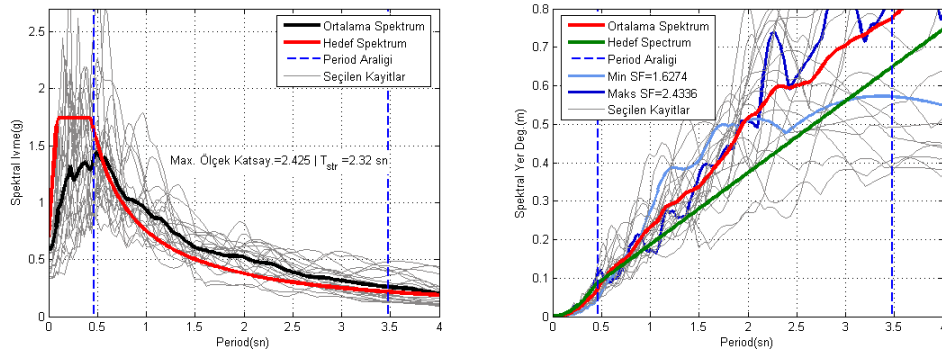
Matlab’de hazırlanan programın kullanılması ile her bir analiz için 20 şer deprem kaydı seçilmiş ve bunların karşılaştırılması ve kontrolü için ivme ve deplasman spektrumları çizilmiştir. Şekil 5.9’dan Şekil 5.18’e kadar olan şekillerde örnek olarak 1. derece deprem bölgesi, deprem seviyesi 2 (50 yılda aşılma olasılığı %10 olan ve dönüş periyode 475 yıl olan depremler) için 24 Katlı CBSW modelinin çizilen spektral ivme ve spektral deplasman grafikleri verilmiştir. Bütün modellerin hesaplanan spektral ivme grafikleri ise EK-B’de gösterilmiştir.



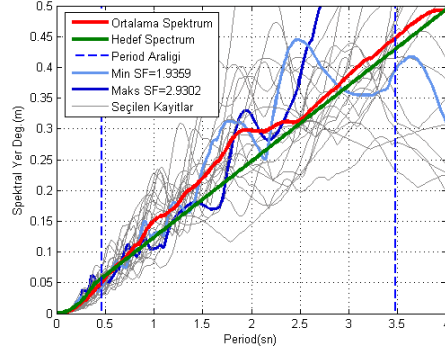
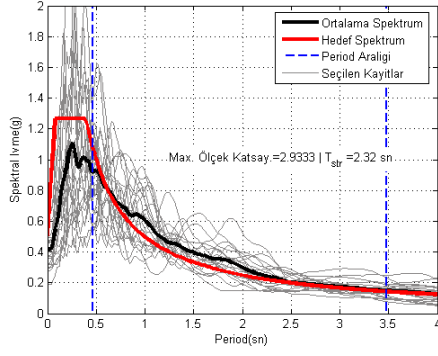
Şekil 5.9 : 24_ Katlı_ CBSW Modeli için 1.derece DB, DD 1 ve ZC zemin sınıfı için Bartın Merkez’de seçilen deprem kayıtlarının ivme ve deplasman spektrumları.



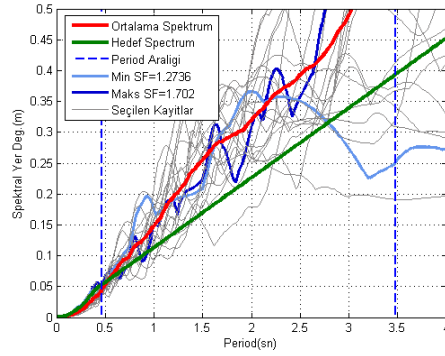
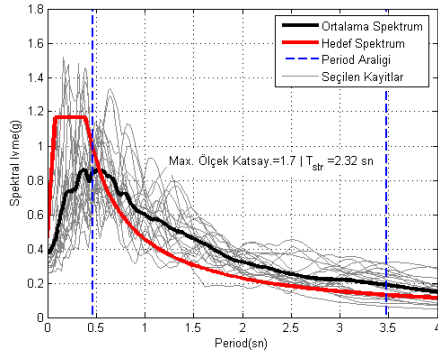
Şekil 5.10 : 24_ Katlı_ CBSW Modeli için 1.derece DB, DD 1 ve ZC zemin sınıfı için Burdur Merkez’de seçilen deprem kayıtlarının ivme ve deplasman spektrumları.



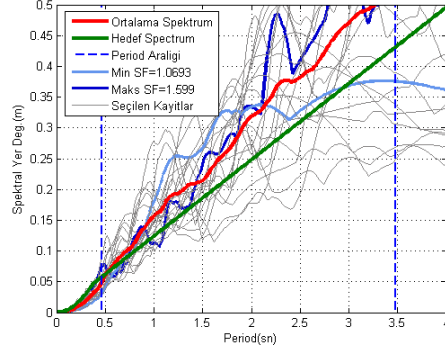
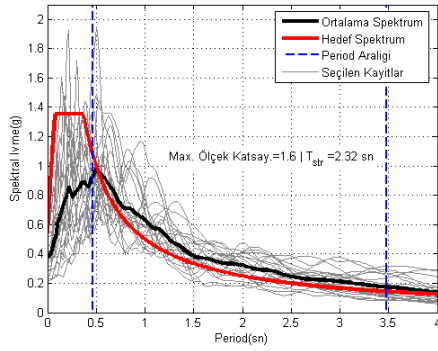
Şekil 5.11 : 24_ Katlı_ CBSW Modeli için 1.derece DB, DD 1 ve ZC zemin sınıfı için Erzurum Merkez’de seçilen deprem kayıtlarının ivme ve deplasman spektrumları.



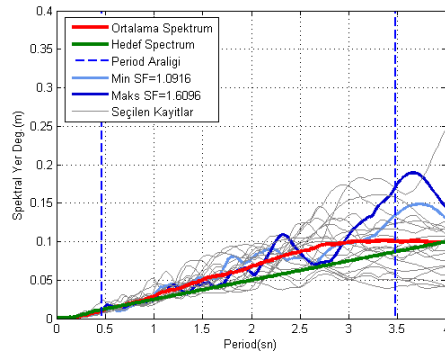
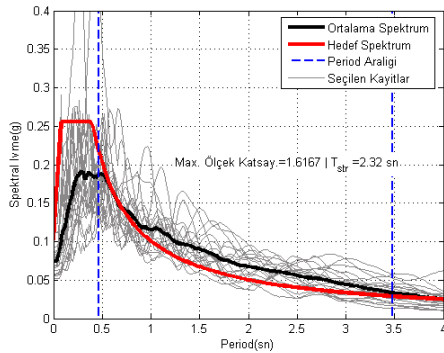
Şekil 5.12 : 24_Kath_CBSW Modeli için 1.derece DB, DD 1 ve ZC zemin sınıfı için Hatay Merkez'de seçilen deprem kayıtlarının ivme ve deplasman spektrumları.



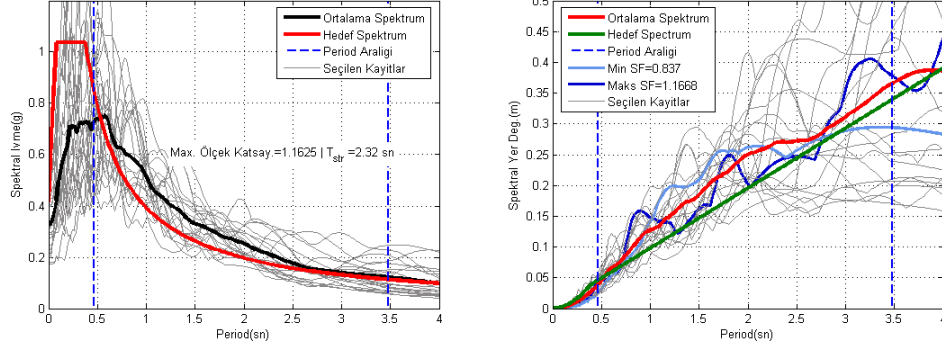
Şekil 5.13 : 24_Kath_CBSW Modeli için 1.derece DB, DD 1 ve ZC zemin sınıfı için İstanbul Kadıköy'de seçilen deprem kayıtlarının ivme ve deplasman spektrumları.



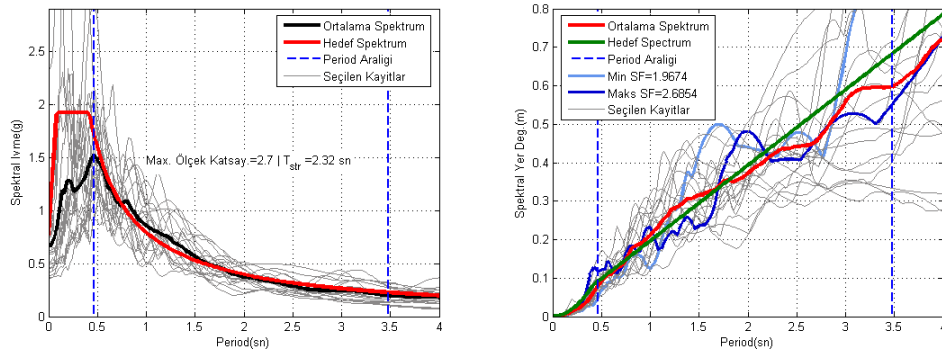
Şekil 5.14 : 24_Kath_CBSW Modeli için 1.derece DB, DD 1 ve ZC zemin sınıfı için İzmir Merkez'de seçilen deprem kayıtlarının ivme ve deplasman spektrumları.



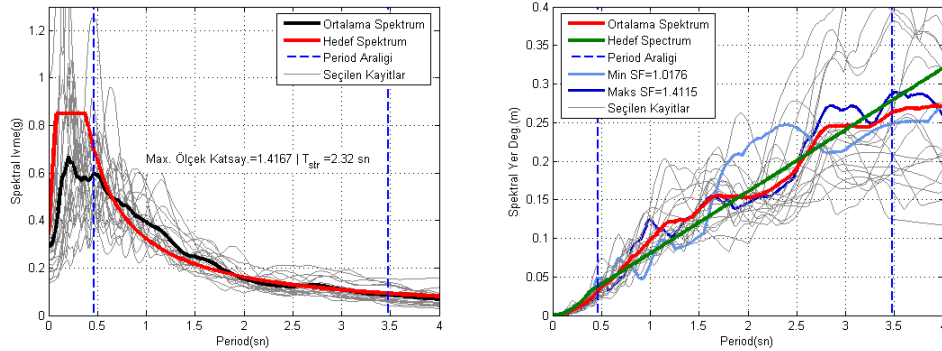
Şekil 5.15 : 24_Kath_CBSW Modeli için 1.derece DB, DD 1 ve ZC zemin sınıfı için Kırşehir Merkez'de seçilen deprem kayıtlarının ivme ve deplasman spektrumları.



Şekil 5.16 : 24_Katlı_CBSW Modeli için 1.derece DB, DD 1 ve ZC zemin sınıfı için Muğla Merkez’de seçilen deprem kayıtlarının ivme ve deplasman spektrumları.



Şekil 5.17 : 24_Katlı_CBSW Modeli için 1.derece DB, DD 1 ve ZC zemin sınıfı için Sakarya Merkez’de seçilen deprem kayıtlarının ivme ve deplasman spektrumları.



Şekil 5.18 : 24_Katlı_CBSW Modeli için 1.derece DB, DD 1 ve ZC zemin sınıfı için Van Erciş’de seçilen deprem kayıtlarının ivme ve deplasman spektrumları.

Yukarıda örnek grafikleri verilen deprem takımlarının tamamının listesi EK-A’da gösterilmiştir. Bu deprem kayıtlarının başında bulunan sayılar, o deprem kaydının istenen spektrum değerine uygun hale getirmek için uygulanan ölçek katsayılarını göstermektedir. Bu deprem kayıt takımları bir sonraki bölümde detaylı bir şekilde açıklanacak deprem analizlerinde kullanılmıştır.



6. ÖRNEK YAPI SİSTEMLERİNİN ANALİZLERİNDEN ELDE EDİLEN SONUÇLAR

6.1 Yapılan Analizler Hakkında Ön Bilgi

Bölüm 3'te tanıtılan sistemlerin OpenSees programında yapılan zaman tanım alanı hesaplarının sonuçları bu bölümde verilmiştir. Türkiye genelinde, 1996 Haritası'na göre 20 adet konum seçilmiştir. Bunlardan 10 tanesi 1. derece deprem bölgesinde, diğer 10 tanesi ise 2. derece deprem bölgesinde bulunmaktadır. Seçilen konumların isimleri Bölüm 5'te verilmiştir. Seçilen 9 adet örnek yapı modeli üzerinde kullanılan 20 şer adet deprem kaydı, deprem düzeyi 1 (DD1 - 50 yılda aşılma olasılığı %2 ve dönüş periyodu 2475 yıl) ve deprem düzeyi 2 (DD2 - 50 yılda aşılma olasılığı %10 ve dönüş periyodu 475 yıl) olarak seçilmiştir. Böylece toplamda 7920 adet zaman tanım alanında analiz yapılmış ve sonuçları karşılaştırmalı olarak bu bölümde incelenmiştir. Analizlerin doğru, sistematik ve kontrollü bir şekilde yapılarak, sonuçların düzenlenebilmesi ve Opensees programına veri hazırlanabilmesi için Matlab'da Opensees yapı analiz programı ile bütünleşmiş çalışan bir program geliştirilmiştir. Matlab'da yazılan bu program yardımı ile;

- Deprem verileri OpenSees programı için formatlanır,
- Analiz stabilitesini artırmak ve analiz süresini kısaltmak için deprem verileri düzenlenir
- Deprem kaydının %90 ve üzeri analiz edilirse, program kaydın analizini tamamlanmış kabul eder
- Yukarıdaki oran %90'nın altında ise analizi hızlandırmak için yapılmış düzenlemeleri eski haline getirerek tekrar çalıştırır.

Analizlerin yapılmasında 8 çekirdekli işlemciye sahip (hesaplamalar hep tek çekirdek üzerinden yapılmıştır), 16 GB Ram ve 2 GB ekran kartı bulunan bilgisayar kullanılmıştır. Bilgisayarda döner tip HDD (SDD değil) bulunmaktadır. Oluşturulan modellerden en küçüğü (PFN_4_1) 15 düğüm noktasına sahiptir ve en büyüğü olan 3 boyutlu 20 Katlı Bina da ise 420 adet düğüm noktası bulunmaktadır. Yapılan analizlerde bilgisayar her gün 24 saat ve haftanın 7 günü çalışmıştır. Analizler

toplamda 64 gün sürmüştür (1536 saat). Ayrıca her gün yaklaşık 2 saat veri hazırlamak ve 2 saat de analiz sonucunda çıkan verilerin düzenlenmesi için harcanmıştır (toplam 4 saat/gün). Analizlerin tamamında toplamda 256 adam x saatlik operatör iş gücü harcanmıştır.

Analiz edilen modellerin özelliklerine gelince,

- 20 Katlı Yapı : 420 düğüm noktası
- Gedikbulak modeli : 100 düğüm noktası
- 24 Katlı 2B yapı : 98 düğüm noktası
- Prefabrik Yapı : 86 düğüm noktası
- PFN_8_2 : 36 düğüm noktası
- PFN_5_1 : 30 düğüm noktası
- PFN_6_1 : 28 düğüm noktası
- PFN_4_1 : 15 düğüm noktası

şeklindedir.

Yapılan analizlerin çokluğu ve fazla zaman alması, bazı kolaylaştırmaların yapılması gerekliliğini ortaya koymuştur. Bu nedenle deprem verilerinde bazı değişiklikler yapılarak analizlerin hızlandırılması ve aynı zamanda yeteri kadar doğru sonuçların da elde edilmesi amaçlanmıştır. Bu bağlamda deprem kayıt verilerinde aşağıdaki düzenlemeler gerçekleştirilmiştir.

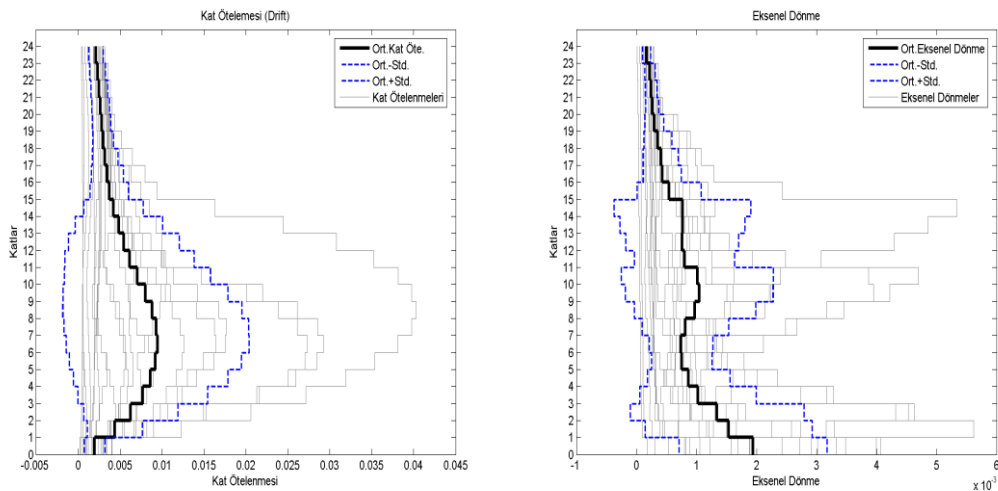
- Çok küçük zaman aralıklarında kaydedilmiş depremler ($T < 0.02$ sn), veri ölçüm zamanı 0.02 sn olacak şekilde yeniden düzenlenmiştir. Bunu yaparken, örneğin 0.005sn aralıklarla kaydedilmiş bir kayıta, orijinal kayıta PGA değerinin meydana geldiği an bulunarak 4'lü düzende (0.005 sn x 4) her 4 veriden biri seçilerek yeni kayıt oluşturulmuştur. Matlab'da yazılan programın algoritmasında, deprem kayıtlarının 0.02sn veri aralığından daha küçük değerlerde olması durumuna göre deprem verisi 0.02sn olacak şekilde tekrar düzenlenir ve analizler başlatılır. Eğer analiz sonucunda düzenlenen deprem verisi sonuna kadar uygulanamazsa ve yakınsama problemleri yaşanırsa, analiz adımını küçültmek en etkin yollardan biri olacağından, kayıt tekrar eski haline getirilerek analizler otomatik olarak tekrarlanır.
- Uzun deprem kayıtlarının başından ve sonundan belli kısımların çıkartılması işlemi de uygulanmıştır. Bunun için eşik ivme değeri olarak 0.03g belirlenmiş, bu değerin kayıt boyunca ilk defa ve son defa aşıldığı anlar arasında kalan kayıt parçası kullanılmıştır. Deprem kaydının 90 sn'den büyük olduğu durumlarda

0.03g'den küçük veriler, deprem kaydının 50 sn'den büyük olduğu durumlarda 0.02g'den küçük verilerin hepsi kaydın başından ve sonundan çıkartılmaktadır. Deprem kayıtlarında yapılan bu değişikliklerin sonuçlara etkisi görece kat ötelenmeleri anlamında en fazla %2 olarak saptanmıştır. Ancak kayıtlarda yapılan bu düzenlemeler, toplam analiz süresini 6'da 1'e indirmiştir.

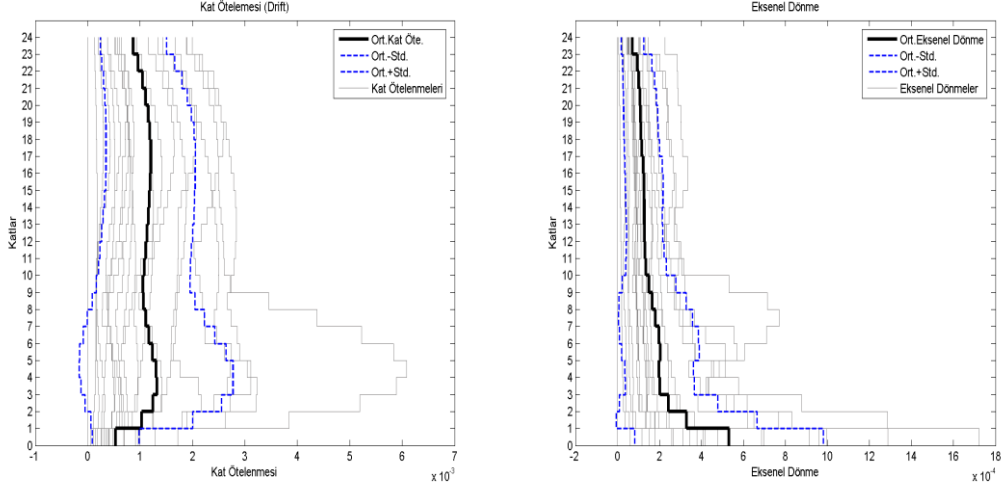
6.2 Sonuçların Örnek Yapı Sistemleri Bazında İncelenmesi

Her bir yapı sistemi için, periyoduna uygun, Z3 zemin sınıfı ve bina önem katsayısı 1.5 ve 1.0 olacak şekilde mevcut deprem yönetmeliğinde tanımlanan ivme spektrumu ile örtüşen 20 şer adet deprem kaydı ile seçilen merkezlerden hesaplanmış taslak yeni deprem yönetmeliğindeki spektral katsayılar kullanılarak oluşturulan spektrumların her biri ile örtüşen 20 şer kayıt grubu seçilmiştir. Bu deprem kayıtlarının yapı sistemlerine etkilmesi sonucu hesaplanan, kat bazında kolonlardaki maksimum aksel dönme miktarları ile kat ötelenme oranlarının karşılaştırmalı grafikleri çizilmiştir. Her bir grafikte gösterilen 20 adet deprem kaydının, ortalaması ve standart sapmaları hesaplanmış, ortalamaya bir standart sapma değerinin eklenmesi ve çıkartılması ile değer aralıkları belirlenmiştir.

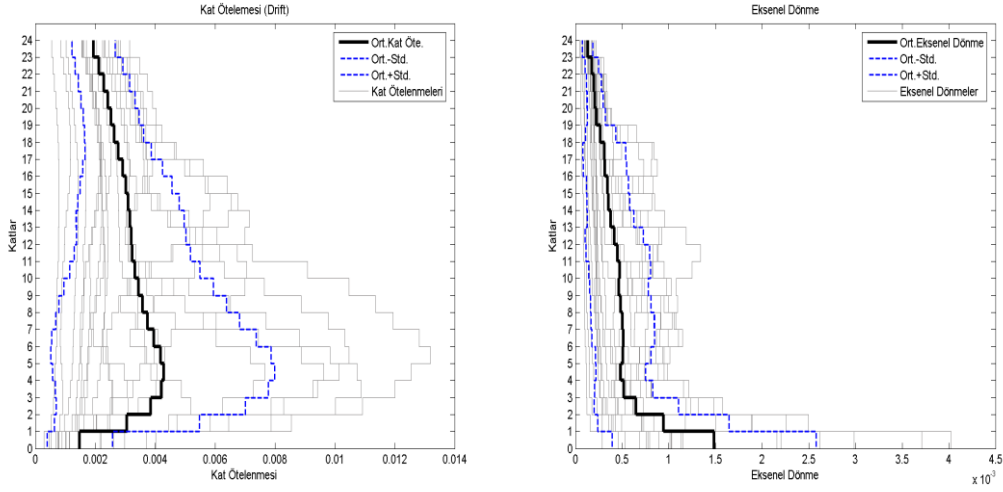
Şekil 6.1 ile Şekil 6.11 arasında gösterilen grafiklerde, 24 Katlı modelin 1. Derece deprem bölgelerinde seçilen 10 adet merkez ve Deprem Yönetmeliği'ne (2007) göre hesaplanan 20 adet deprem verisi takımının sonuçları ile elde edilen kat ötelenme oranları ile aksel dönme değerleri ve bunların ortalaması ve standard sapmaları karşılaştırmalı olarak sunulmuştur.



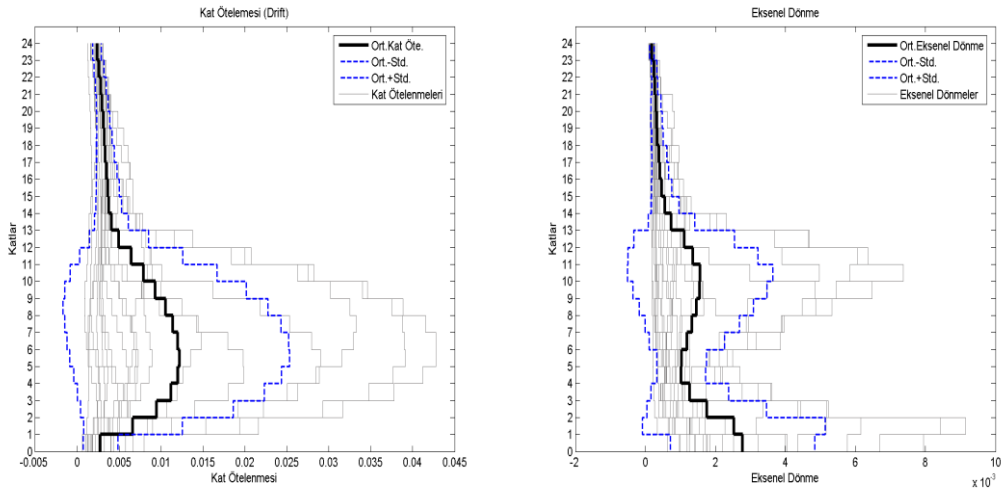
Şekil 6.1 : 24_Katlı_CBSW Modelinin (1.DDB, I=1,0, Z3 zemin sınıfı) 2007 Yönetmeliği için kat ötelenme oranı (drift) ve aksel dönme değerleri.



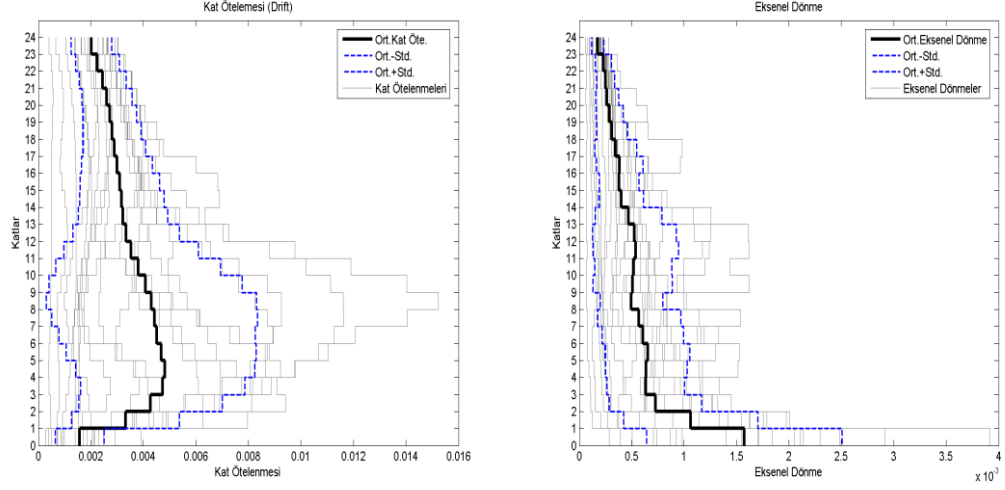
Şekil 6.2 : 24_Katlı_CBSW Modelinin Bartın Merkez (1.DDB, DD-2, ZC zemin sınıfı) 2019 Yönetmeliği için kat ötelenme oranı ve eksenel dönme değerleri.



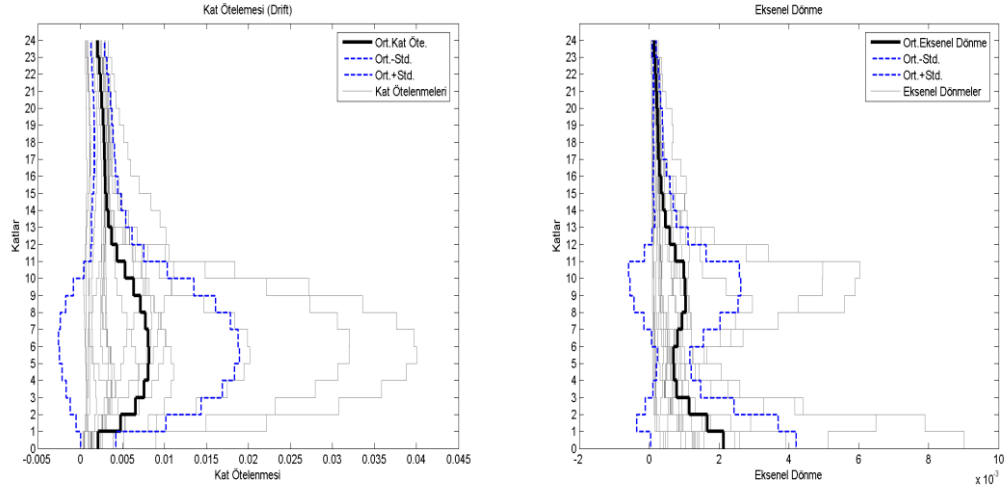
Şekil 6.3 : 24_Katlı_CBSW Modelinin Burdur Merkez (1.DDB, DD-2, ZC zemin sınıfı) 2019 Yönetmeliği için kat ötelenme oranı ve eksenel dönme değerleri.



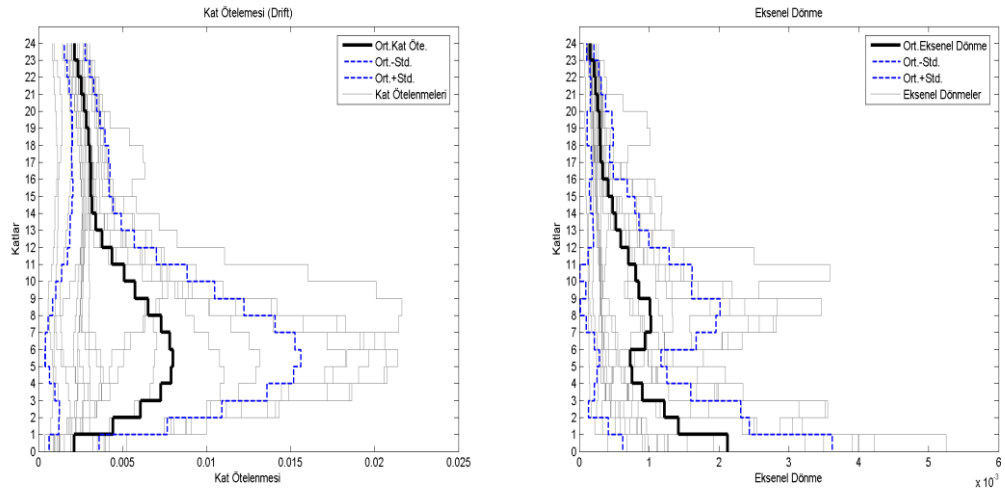
Şekil 6.4 : 24_Katlı_CBSW Modelinin Erzincan Merkez (1.DDB, DD-2, ZC zemin sınıfı) 2019 Yönetmeliği için kat ötelenme oranı ve eksenel dönme değerleri.



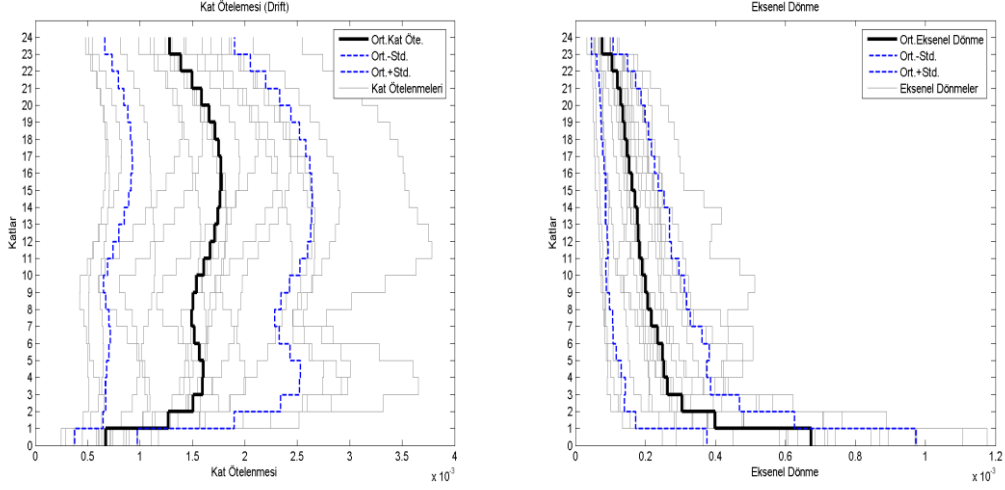
Şekil 6.5 : 24_Katlı_CBSW Modelinin Hatay Merkez (1.DDB, DD-2, ZC zemin sınıfı) 2019 Yönetmeliği için kat ötelenme oranı ve eksenel dönme değerleri.



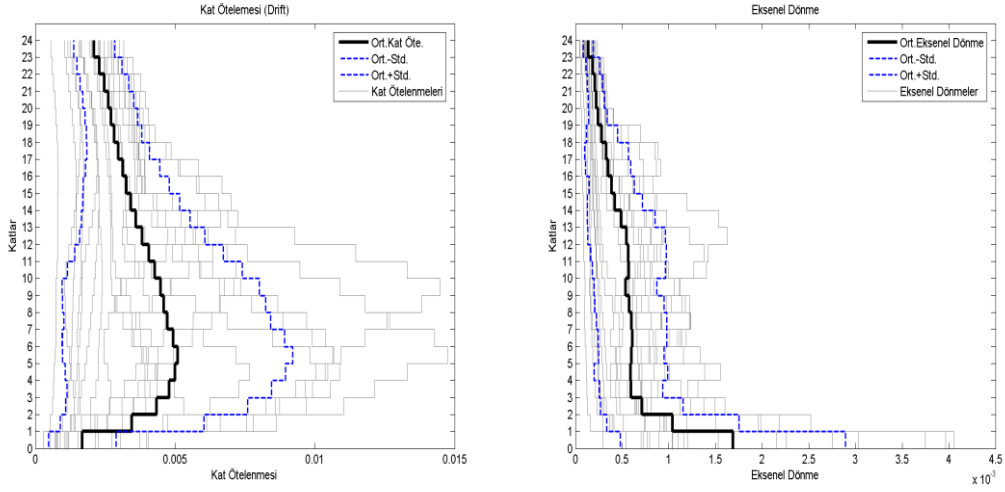
Şekil 6.6 : 24_Katlı_CBSW Modelinin İstanbul Kadıköy (1.DDB, DD-2, ZC zemin sınıfı) 2019 Yönetmeliği için kat ötelenme oranı ve eksenel dönme değerleri.



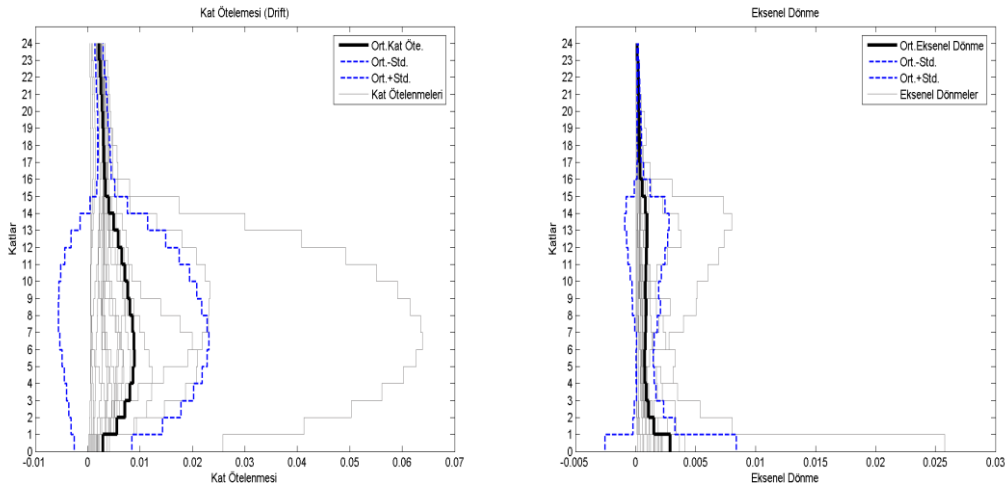
Şekil 6.7 : 24_Katlı_CBSW Modelinin İzmir Merkez (1.DDB, DD-2, ZC zemin sınıfı) 2019 Yönetmeliği için kat ötelenme oranı ve eksenel dönme değerleri.



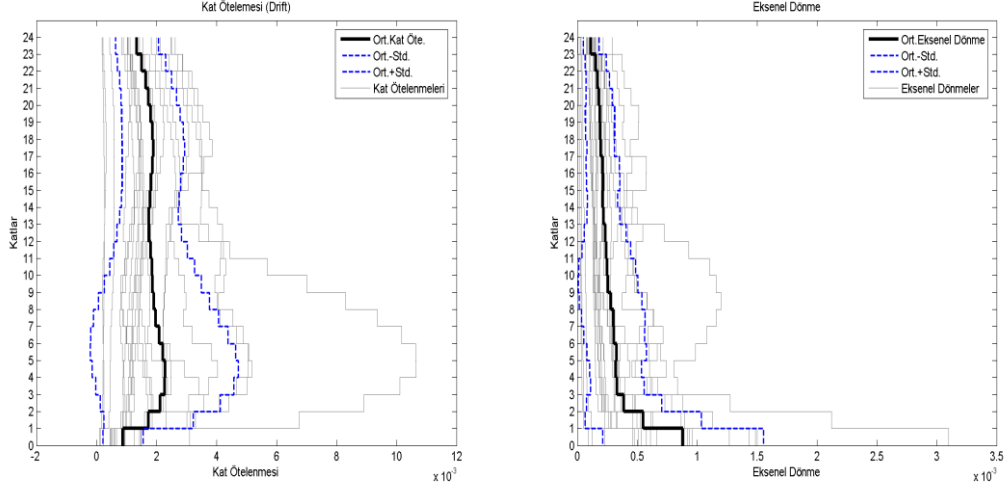
Şekil 6.8 : 24_Katlı_CBSW Modelinin Kırşehir Merkez (1.DDB, DD-2, ZC zemin sınıfı) 2019 Yönetmeliği için kat ötelenme oranı ve eksenel dönme değerleri.



Şekil 6.9 : 24_Katlı_CBSW Modelinin Muğla Merkez (1.DDB, DD-2, ZC zemin sınıfı) 2019 Yönetmeliği için kat ötelenme oranı ve eksenel dönme değerleri.



Şekil 6.10 : 24_Katlı_CBSW Modelinin Sakarya Merkez (1.DDB, DD-2, ZC zemin sınıfı) 2019 Yönetmeliği için kat ötelenme oranı ve eksenel dönme değerleri.



Şekil 6.11 : 24_Katlı_CBSW Modelinin Van Erciş (1.DDB, DD-2, ZC zemin sınıfı) 2019 Yönetmeliği için kat ötelenme oranı ve eksenel dönme değerleri.

Çizelge 6.1’ de 1. derece deprem bölgesi, deprem düzeyi 1 için örnek modellerin seçilen deprem merkezlerine göre hesaplanan taban kesme kuvvetleri değerleri ve 2007 Yönetmeliği’ne göre değişim yüzdeleri verilmiştir. Bu çizelgede ikinci sütunda 2007 Yönetmeliği’ne göre hesaplanan taban kesme kuvvetleri, diğer sütunlarda ise seçilen 10 adet bölgeye göre (2019 Yönetmeliği) hesaplanan taban kesme kuvvetleri model bazında sunulmuştur. 20 Katlı 3D modeli incelendiğinde Hatay, Sakarya ve İzmir’de bulunan taban kesme kuvvetlerinin 2007 Yönetmeliği’ne göre hesaplanandan sırasıyla %31.09, %20.08, %11.84 oranında daha yüksek olduğu görülmektedir, diğer bölgelerde ise 2007 Yönetmeliği’nin altında kalmaktadır. Bartın’da ise taban kesme kuvveti %45.81 oranında 2007 Yönetmeliği’ne göre hesaplanandan daha küçüktür. 24 Katlı CBSW modeli incelendiğinde Kırşehir ve Bartın’da bulunan taban kesme kuvvetlerinin 2007 Yönetmeliği’ne göre hesaplanandan sırasıyla %51.41 ve %13.20 oranında daha küçük olduğu görülmektedir, diğer bölgelerde ise 2007 Yönetmeliği’nin üstünde kalmaktadır. Sakarya’da ise taban kesme kuvveti %23.12 oranında 2007 Yönetmeliği’ne göre hesaplanandan daha büyüktür. Aydın Binası modeli incelendiğinde Sakarya’da hesaplanan taban kesme kuvvetlerinin 2007 Yönetmeliği’ne göre hesaplanandan %1.23 oranında daha büyük olduğu görülmektedir, diğer bölgelerde ise 2007 Yönetmeliği’nin altında kalmaktadır. Kırşehir’de ise taban kesme kuvveti %57.86 oranında 2007 Yönetmeliği’ne göre hesaplanandan daha küçüktür. Gedikbulak 3D modeli incelendiğinde Kırşehir, Bartın ve Van Erciş’de hesaplanan taban kesme kuvvetlerinin 2007 Yönetmeliği’ne göre hesaplanandan sırasıyla %52.68, %18.72, %11.90 oranında daha az olduğu

görülmektedir, diğer bölgelerde ise 2007 Yönetmeliği'nin üstünde kalmaktadır. Sakarya'da ise taban kesme kuvveti %37.36 oranında 2007 Yönetmeliği'ne göre hesaplanandan daha büyüktür. *PFN_4_1* modeli incelendiğinde Hatay ve İzmir'de hesaplanan taban kesme kuvvetlerinin 2007 Yönetmeliği'ne göre hesaplanandan sırasıyla %7.88 ve %5.61 oranında daha büyük olduğu görülmektedir, diğer bölgelerde ise 2007 Yönetmeliği'nin altında kalmaktadır. Kırşehir'de ise taban kesme kuvveti %57.14 oranında 2007 Yönetmeliği'ne göre hesaplanandan daha küçüktür. *PFN_5_1* modeli incelendiğinde sadece Erzincan'da hesaplanan taban kesme kuvvetlerinin 2007 Yönetmeliği'ne göre hesaplanandan %4.22 oranında daha büyük olduğu görülmektedir, diğer bölgelerde ise 2007 Yönetmeliği'nin altında kalmaktadır. Kırşehir'de ise taban kesme kuvveti %42.02 oranında 2007 Yönetmeliği'ne göre hesaplanandan daha küçüktür. *PFN_6_1* modeli incelendiğinde Hatay, Sakarya ve Erzincan'da hesaplanan taban kesme kuvvetlerinin 2007 Yönetmeliği'ne göre hesaplanandan sırasıyla %5.42, %5.34 ve %3.43 oranında daha büyük olduğu görülmektedir, diğer bölgelerde ise 2007 Yönetmeliği'nin altında kalmaktadır. Kırşehir'de ise taban kesme kuvveti %57.44 oranında 2007 Yönetmeliği'ne göre hesaplanandan daha küçüktür. *PFN_8_2* modeli incelendiğinde sadece Hatay'da hesaplanan taban kesme kuvvetlerinin 2007 Yönetmeliği'ne göre hesaplanandan %4.95 oranında daha büyük olduğu görülmektedir, diğer bölgelerde ise 2007 Yönetmeliği'nin altında kalmaktadır. Kırşehir'de ise taban kesme kuvveti %50.24 oranında 2007 Yönetmeliği'ne göre hesaplanandan daha küçüktür. *Prefabrik Yapı* modeli incelendiğinde İzmir, Hatay, Erzincan ve Muğla'da hesaplanan taban kesme kuvvetlerinin 2007 Yönetmeliği'ne göre hesaplanandan sırasıyla %16.71, %10.24, %9.80 ve %7.87 oranında daha büyük olduğu görülmektedir, diğer bölgelerde ise 2007 Yönetmeliği'nin altında kalmaktadır. Kırşehir'de ise taban kesme kuvveti %38.73 oranında 2007 Yönetmeliği'ne göre hesaplanandan daha küçüktür.

Çizelge 6.2' de 1. derece deprem bölgesi, deprem düzeyi 2 için örnek modellerin seçilen deprem merkezlerine göre hesaplanan taban kesme kuvvetleri değerleri (2016 taslağı) ve 2007 Yönetmeliği'ne göre değişim yüzdeleri verilmiştir. *20 Katlı 3D* modeli incelendiğinde Erzincan, Sakarya ve İzmir'de hesaplanan taban kesme kuvvetlerinin 2007 Yönetmeliği'ne göre hesaplanandan sırasıyla %52.31, %38.80, %22.51 oranında daha yüksek olduğu görülmektedir, diğer bölgelerde ise 2007 Yönetmeliği'nin altında kalmaktadır. Kırşehir'de ise taban kesme kuvveti %69.02

oranında 2007 Yönetmeliği'ne göre hesaplanandan daha küçüktür. *24 Katlı CBSW* modeli incelendiğinde Erzincan, İzmir ve Sakarya'da bulunan taban kesme kuvvetlerinin 2007 Yönetmeliği'ne göre hesaplanandan sırasıyla %15.79, %7.40 ve %5.78 oranında daha büyük olduğu görülmektedir, diğer bölgelerde ise 2007 Yönetmeliği'nin altında kalmaktadır. Bartın'da ise taban kesme kuvveti %47.23 oranında 2007 Yönetmeliği'nin göre hesaplanandan daha küçüktür. *Aydın Binası* modeli incelendiğinde Erzincan'da hesaplanan taban kesme kuvvetlerinin 2007 Yönetmeliği'ne göre hesaplanandan %19.78 oranında daha büyük olduğu görülmektedir, diğer bölgelerde ise 2007 Yönetmeliği'nin altında kalmaktadır. Kırşehir'de ise taban kesme kuvveti %36.34 oranında 2007 Yönetmeliği'ne göre hesaplanandan daha küçüktür. *Gedikbulak 3D* modeli incelendiğinde Kırşehir, Bartın, Van Erciş ve Burdur'da hesaplanan taban kesme kuvvetlerinin 2007 Yönetmeliği'ne göre hesaplanandan sırasıyla %55.82, %29.82, %12.57, %2.88 oranında daha az olduğu görülmektedir, diğer bölgelerde ise 2007 Yönetmeliği'nin üstünde kalmaktadır. Sakarya'da ise taban kesme kuvveti %37.98 oranında 2007 Yönetmeliği'ne göre hesaplanandan daha büyüktür. *PFN_4_1* modeli incelendiğinde Kırşehir, Van Erciş, Bartın ve Muğla'da hesaplanan taban kesme kuvvetlerinin 2007 Yönetmeliği'ne göre hesaplanandan sırasıyla %41.14, %26.02, %15.51, %2.31 oranında daha az olduğu görülmektedir, diğer bölgelerde ise 2007 Yönetmeliği'nin üstünde kalmaktadır. İzmir'de ise taban kesme kuvveti %22.34 oranında 2007 Yönetmeliği'ne göre hesaplanandan daha büyüktür. *PFN_5_1* modeli incelendiğinde Hatay, İstanbul Kadıköy ve İzmir'de hesaplanan taban kesme kuvvetlerinin 2007 Yönetmeliği'ne göre hesaplanandan sırasıyla %11.40, %11.32, %11.30 oranlarında daha büyük olduğu görülmektedir. Kırşehir'de ise taban kesme kuvveti %26.57 oranında 2007 Yönetmeliği'ne göre hesaplanandan daha küçüktür. *PFN_6_1* modeli incelendiğinde İstanbul Kadıköy, Hatay, İzmir ve Sakarya'da hesaplanan taban kesme kuvvetlerinin 2007 Yönetmeliği'ne göre hesaplanandan sırasıyla %20.08, %18.87, %15.00 ve %7.19 oranında daha büyük olduğu görülmektedir, diğer bölgelerde ise 2007 Yönetmeliği'nin altında kalmaktadır. Kırşehir'de ise taban kesme kuvveti %49.06 oranında 2007 Yönetmeliği'ne göre hesaplanandan daha küçüktür. *PFN_8_2* modeli incelendiğinde Hatay, Erzincan ve Muğla'da hesaplanan taban kesme kuvvetlerinin 2007 Yönetmeliği'ne göre hesaplanandan %11.50, %6.29, %4.43 oranında daha büyük olduğu görülmektedir, diğer bölgelerde ise 2007 Yönetmeliği'nin altında kalmaktadır. Kırşehir'de ise taban kesme kuvveti %42.12

oranında 2007 Yönetmeliği'ne göre hesaplanandan daha küçüktür. *Prefabrik Yapı* modeli incelendiğinde İzmir ve Sakarya'da hesaplanan taban kesme kuvvetlerinin 2007 Yönetmeliği'ne göre hesaplanandan sırasıyla %6.13 ve %4.76 oranında daha büyük olduğu görülmektedir, diğer bölgelerde ise 2007 Yönetmeliği'nin altında kalmaktadır. Van Erçiş'de ise taban kesme kuvveti %42.48 oranında 2007 Yönetmeliği'ne göre hesaplanandan daha küçüktür.

Çizelge 6.3' de 2. derece deprem bölgesi, deprem düzeyi 1 için örnek modellerin seçilen deprem merkezlerine göre hesaplanan taban kesme kuvvetleri değerleri 2019 Yönetmeliği ve 2007 Yönetmeliği'ne göre değişim yüzdeleri verilmiştir. *20 Katlı 3D* modeli incelendiğinde Erzurum, Kütahya, Eskişehir ve Afyon'da hesaplanan taban kesme kuvvetlerinin 2007 Yönetmeliği'ne göre hesaplanandan sırasıyla %46.86, %37.78, %17.11 ve %10.23 oranında daha yüksek olduğu görülmektedir, diğer bölgelerde ise 2007 Yönetmeliği'ne altında kalmaktadır. Diyarbakır'da ise taban kesme kuvveti %33.65 oranında 2007 Yönetmeliği'ne göre hesaplanandan daha küçüktür. *24 Katlı CBSW* modeli incelendiğinde Kütahya'da taban kesme kuvveti %19.11 oranında 2007 Yönetmeliği'ne göre hesaplanandan daha büyüktür. Diyarbakır'da ise taban kesme kuvveti %22.46 oranında 2007 Yönetmeliği'ne göre hesaplanandan daha küçüktür. *Aydın Binası* modeli incelendiğinde Erzurum ve Van Merkez'de hesaplanan taban kesme kuvvetlerinin 2007 Yönetmeliği'ne göre hesaplanandan sırasıyla %27.58 ve %7.59 oranında daha büyük olduğu görülmektedir, diğer bölgelerde ise 2007 Yönetmeliği'nin altında kalmaktadır. Diyarbakır'da ise taban kesme kuvveti %40.36 oranında 2007 Yönetmeliği'ne göre hesaplanandan daha küçüktür. *Gedikbulak 3D* modeli incelendiğinde Erzurum, Ağrı, Kütahya, Eskişehir, Van ve Afyon'da hesaplanan taban kesme kuvvetlerinin 2007 Yönetmeliği'ne göre hesaplanandan sırasıyla %69.80, %48.73, %19.54, %19.13, %10.21 ve %8.36 oranlarında daha yüksek olduğu görülmektedir, diğer bölgelerde ise 2007 Yönetmeliği'nin altında kalmaktadır. Kars'da ise taban kesme kuvveti %19.08 oranında 2007 Yönetmeliği'ne göre hesaplanandan daha küçüktür. *PFN_4_1* modeli incelendiğinde tüm bölgelerde hesaplanan taban kesme kuvvetlerinin 2007 Yönetmeliği'ne göre hesaplanandan az olduğu görülmektedir, Antalya'da taban kesme kuvveti %28.52 oranında 2007 Yönetmeliği'ne göre hesaplanandan daha küçüktür. *PFN_5_1* modeli incelendiğinde tüm bölgelerde hesaplanan taban kesme kuvvetlerinin 2007 Yönetmeliği'ne göre hesaplanandan az olduğu görülmektedir,

Antalya'da taban kesme kuvveti %16.15 oranında 2007 Yönetmeliği'ne göre hesaplanandan daha küçüktür. *PFN_6_1* modeli incelendiğinde Erzurum hariç tüm bölgelerde hesaplanan taban kesme kuvvetlerinin 2007 Yönetmeliği'ne göre hesaplanandan az olduğu görülmektedir, Kars'da taban kesme kuvveti %38.03 oranında 2007 Yönetmeliği'ne göre hesaplanandan daha küçük, Erzurum'da ise %24.60 oranında daha büyüktür. *PFN_8_2* modeli incelendiğinde Erzurum hariç tüm bölgelerde hesaplanan taban kesme kuvvetlerinin 2007 Yönetmeliği'ne göre hesaplanandan az olduğu görülmektedir, Antalya'da taban kesme kuvveti %25.80 oranında 2007 Yönetmeliği'ne göre hesaplanandan daha küçük, Erzurum'da ise %8.07 oranında daha büyüktür. *Prefabrik Yapı* modeli incelendiğinde Ağrı hariç tüm bölgelerde hesaplanan taban kesme kuvvetlerinin 2007 Yönetmeliği'ne göre hesaplanandan az olduğu görülmektedir, Antalya'da taban kesme kuvveti %19.43 oranında 2007 Yönetmeliği'ne göre hesaplanandan daha küçük, Ağrı'da ise %6.12 oranında daha büyüktür.

Çizelge 6.4' de 2. derece deprem bölgesi, deprem düzeyi 2 için örnek modellerin seçilen deprem merkezlerine göre hesaplanan taban kesme kuvvetleri değerleri 2019 Yönetmeliği ve 2007 Yönetmeliği'ne göre değişim yüzdeleri verilmiştir. *20 Katlı 3D* modeli incelendiğinde Erzurum ve Van'da hesaplanan taban kesme kuvvetlerinin 2007 Yönetmeliği'ne göre hesaplanandan sırasıyla %24.64, %20.61 oranında daha yüksek olduğu görülmektedir, diğer bölgelerde ise 2007 Yönetmeliği'nin altında kalmaktadır. Diyarbakır'da ise taban kesme kuvveti %56.05 oranında 2007 Yönetmeliği'ne göre hesaplanandan daha küçüktür. *24 Katlı CBSW* modeli incelendiğinde Kütahya'da taban kesme kuvveti %17.25 oranında 2007 Yönetmeliği'ne göre hesaplanandan daha büyüktür. Diyarbakır'da ise taban kesme kuvveti %31.43 oranında 2007 Yönetmeliği'ne göre hesaplanandan daha küçüktür. *Aydın Binası* modeli incelendiğinde tüm bölgelerde hesaplanan taban kesme kuvvetlerinin 2007 Yönetmeliği'ne göre hesaplanandan az olduğu görülmektedir, Kars'da taban kesme kuvveti %37.65 oranında 2007 Yönetmeliği'ne göre hesaplanandan daha küçüktür. *Gedikbulak_3D* modeli incelendiğinde Erzurum, Kütahya, Afyon, İstanbul Levent, Van ve Antalya'da hesaplanan taban kesme kuvvetlerinin 2007 Yönetmeliği'ne göre hesaplanandan sırasıyla %61.43, %48.66, %43.21, %31.17, %20.71 ve %10.69 oranlarında daha yüksek olduğu görülmektedir, diğer bölgelerde ise 2007 Yönetmeliği'ne altında kalmaktadır. Diyarbakır'da ise taban kesme kuvveti %23.85

oranında 2007 Yönetmeliği'ne göre hesaplanandan daha küçüktür. *PFN_4_1* incelendiğinde Erzurum, Afyon ve Kütahya'da hesaplanan taban kesme kuvvetlerinin 2007 Yönetmeliği'ne göre hesaplanandan sırasıyla %39.64, %22.25, %18.01 oranında daha büyük olduğu görülmektedir, diğer bölgelerde ise 2007 Yönetmeliği'nin altında kalmaktadır. Antalya'da ise taban kesme kuvveti %32.69 oranında 2007 Yönetmeliği'ne göre hesaplanandan daha küçüktür. *PFN_5_1* modeli incelendiğinde Erzurum ve Kütahya'da hesaplanan taban kesme kuvvetlerinin 2007 Yönetmeliği'ne göre hesaplanandan sırasıyla %13.65, %8.13, oranında daha büyük olduğu görülmektedir, diğer bölgelerde ise 2007 Yönetmeliği'nin altında kalmaktadır, Antalya'da taban kesme kuvveti %30.82 oranında 2007 Yönetmeliği'ne göre hesaplanandan daha küçüktür. *PFN_6_1* modeli incelendiğinde Erzurum ve Kütahya hariç tüm bölgelerde hesaplanan taban kesme kuvvetlerinin 2007 Yönetmeliği'ne göre hesaplanandan az olduğu görülmektedir, Van'da taban kesme kuvveti %29.63 oranında 2007 Yönetmeliği'ne göre hesaplanandan daha küçük, Erzurum'da ise %39.81 oranında daha büyüktür. *PFN_8_2* modeli incelendiğinde Antalya, Van, Kars ve Afyon'da hesaplanan taban kesme kuvvetlerinin 2007 Yönetmeliği'ne göre hesaplanandan sırasıyla %17.36, %13.08, %11.07, %2.17 oranlarında daha az olduğu görülmektedir, diğer bölgelerde ise yönetmeliğin üstünde kalmaktadır. Erzurum'da ise taban kesme kuvveti %29.47 oranında 2007 Yönetmeliği'ne göre hesaplanandan daha büyüktür. *Prefabrik Yapı* modeli incelendiğinde Antalya, Afyon, Kars ve Van'da hesaplanan taban kesme kuvvetlerinin 2007 Yönetmeliği'ne göre hesaplanandan sırasıyla %30.18, %16.91, %16.34, %15.93 oranlarında daha az olduğu görülmektedir, diğer bölgelerde ise 2007 Yönetmeliği'nin üstünde kalmaktadır. Kütahya'da ise taban kesme kuvveti %20.80 oranında 2007 Yönetmeliği'ne göre hesaplanandan daha büyüktür.

Çizelge 6.1 : 1. Derece deprem bölgesi, deprem düzeyi 1 için örnek modellerin seçilen deprem merkezlerine göre hesaplanan taban kesme kuvvetleri değerleri (2019 Yönetmeliği) ve 2007 Yönetmeliği'ne göre değişim yüzdeleri.

	2007 Yönetmelik	Bartın Merkez	Burdur Merkez	Erzincan Merkez	Hatay Merkez	İstanbul Kadıköy	İzmir Merkez	Kırşehir Merkez	Muğla Merkez	Sakarya Merkez	Van Erciş
20_Katlı_3D	34,013.25	18,430.96	26,165.74	29,322.22	44,588.39	30,147.48	38,040.94	11,787.69	32,087.52	40,844.35	27,656.23
		-45.81%	-23.07%	-13.79%	31.09%	-11.37%	11.84%	-65.34%	-5.66%	20.08%	-18.69%
24_Katlı_CBSW	7,558.62	6,873.37	8,556.54	9,083.48	8,305.93	8,773.98	7,971.52	3,672.52	7,914.30	9,306.35	7,842.12
		-9.07%	13.20%	20.17%	9.89%	16.08%	5.46%	-51.41%	4.71%	23.12%	3.75%
Aydın_Üniv	778.95	460.73	629.50	766.47	576.09	615.55	654.18	328.23	699.24	788.53	675.86
		-40.85%	-19.19%	-1.60%	-26.04%	-20.98%	-16.02%	-57.86%	-10.23%	1.23%	-13.23%
Gedikbulak_3D	5,082.96	4,131.35	5,704.49	6,673.13	6,429.73	5,219.27	6,375.49	2,405.50	5,789.97	6,982.07	4,478.02
		-18.72%	12.23%	31.28%	26.50%	2.68%	25.43%	-52.68%	13.91%	37.36%	-11.90%
PFN_4_1	271.00	212.84	246.94	269.02	292.35	259.38	286.21	116.15	204.71	269.85	182.02
		-21.46%	-8.88%	-0.73%	7.88%	-4.29%	5.61%	-57.14%	-24.46%	-0.42%	-32.83%
PFN_5_1	453.19	398.94	404.52	472.32	442.69	428.68	443.71	262.77	384.02	434.57	372.17
		-11.97%	-10.74%	4.22%	-2.32%	-5.41%	-2.09%	-42.02%	-15.26%	-4.11%	-17.88%
PFN_6_1	523.59	433.95	450.26	541.56	551.95	460.46	509.48	222.82	495.09	551.53	316.09
		-17.12%	-14.01%	3.43%	5.42%	-12.06%	-2.69%	-57.44%	-5.44%	5.34%	-39.63%
PFN_8_2	415.08	329.38	344.94	412.89	435.61	377.74	367.68	206.55	388.98	406.20	315.26
		-20.65%	-16.90%	-0.53%	4.95%	-9.00%	-11.42%	-50.24%	-6.29%	-2.14%	-24.05%
Prefabrik_Yapı	656.92	654.83	651.41	721.32	724.20	623.16	766.70	402.52	708.64	680.81	575.12
		-0.32%	-0.84%	9.80%	10.24%	-5.14%	16.71%	-38.73%	7.87%	3.64%	-12.45%

Çizelge 6.2 : 1. Derece deprem bölgesi, deprem düzeyi 2 için örnek modellerin seçilen deprem merkezlerine göre hesaplanan taban kesme kuvvetleri değerleri (2019 Yönetmeliği) ve 2007 Yönetmeliği'ne göre değişim yüzdeleri.

	2007 Yönetmelik	Bartın Merkez	Burdur Merkez	Erzincan Merkez	Hatay Merkez	İstanbul Kadıköy	İzmir Merkez	Kırşehir Merkez	Muğla Merkez	Sakarya Merkez	Van Erciş
20_Katlı_3D	26,608.85	15,292.41	23,280.93	40,528.68	24,257.62	25,438.20	32,599.05	8,243.82	21,950.16	36,934.15	18,220.49
		-42.53%	-12.51%	52.31%	-8.84%	-4.40%	22.51%	-69.02%	-17.51%	38.80%	-31.52%
24_Katlı_CBSW	6,788.00	3,581.93	6,334.61	7,859.68	6,712.06	6,749.46	7,290.10	4,762.60	6,705.13	7,180.35	5,023.05
		-47.23%	-6.68%	15.79%	-1.12%	-0.57%	7.40%	-29.84%	-1.22%	5.78%	-26.00%
Aydın_Üniv	611.73	453.17	469.80	732.73	558.48	491.60	562.04	389.45	469.85	611.93	451.63
		-25.92%	-23.20%	19.78%	-8.71%	-19.64%	-8.12%	-36.34%	-23.19%	0.03%	-26.17%
Gedikbulak_3D	4,100.15	2,877.63	3,981.87	5,243.77	4,866.49	4,874.07	5,533.56	1,811.54	4,737.30	5,657.44	3,584.62
		-29.82%	-2.88%	27.89%	18.69%	18.88%	34.96%	-55.82%	15.54%	37.98%	-12.57%
PFN_4_1	199.09	168.21	208.07	200.07	241.87	236.72	243.56	117.18	194.48	201.04	147.28
		-15.51%	4.51%	0.49%	21.49%	18.90%	22.34%	-41.14%	-2.31%	0.98%	-26.02%
PFN_5_1	386.29	356.77	413.25	377.52	430.33	430.04	429.95	283.64	391.26	366.81	320.38
		-7.64%	6.98%	-2.27%	11.40%	11.32%	11.30%	-26.57%	1.28%	-5.04%	-17.06%
PFN_6_1	375.87	298.24	370.96	346.55	446.80	451.36	432.26	191.46	312.46	402.91	358.94
		-20.65%	-1.31%	-7.80%	18.87%	20.08%	15.00%	-49.06%	-16.87%	7.19%	-4.50%
PFN_8_2	347.41	309.81	272.22	369.28	387.35	323.39	313.37	201.07	362.80	343.46	248.38
		-10.82%	-21.64%	6.29%	11.50%	-6.91%	-9.80%	-42.12%	4.43%	-1.14%	-28.50%
Prefabrik_Yapı	690.74	561.29	651.72	667.27	656.35	606.02	733.09	424.72	597.79	723.59	397.31
		-18.74%	-5.65%	-3.40%	-4.98%	-12.26%	6.13%	-38.51%	-13.46%	4.76%	-42.48%

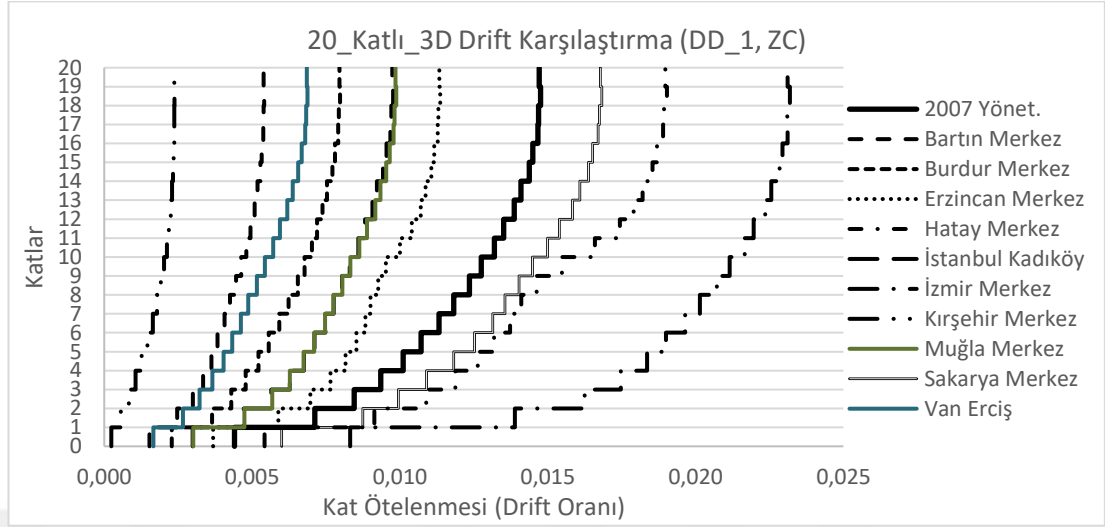
Çizelge 6.3 : 2. Derece deprem bölgesi, deprem düzeyi 1 için örnek modellerin seçilen deprem merkezlerine göre hesaplanan taban kesme kuvvetleri değerleri (2019 Yönetmeliği) ve 2007 Yönetmeliği'ne göre değişim yüzdeleri.

	2007 Yönetmelik	Afyon Merkez	Ağrı Merkez	Antalya Merkez	Diyarbakır Merkez	Erzurum Merkez	Eskişehir Merkez	İstanbul Levent	Kars Merkez	Kütahya Merkez	Van Merkez
20_Katlı_3D	28,757.65	31,699.85	24,325.25	27,368.60	19,081.58	42,234.31	33,678.29	27,196.87	21,992.25	38,759.63	26,939.36
		10.23%	-15.41%	-4.83%	-33.65%	46.86%	17.11%	-5.43%	-23.53%	34.78%	-6.32%
24_Katlı_CBSW	7,183.70	7,315.02	6,050.88	6,847.44	5,570.45	7,715.16	7,225.81	7,379.64	5,673.15	8,556.54	5,917.27
		1.83%	-15.77%	-4.68%	-22.46%	7.40%	0.59%	2.73%	-21.03%	19.11%	-17.63%
Aydın_Üniv	674.70	605.46	554.13	491.51	402.37	860.76	627.34	529.40	480.04	598.62	725.88
		-10.26%	-17.87%	-27.15%	-40.36%	27.58%	-7.02%	-21.53%	-28.85%	-11.28%	7.59%
Gedikbulak_3D	4,433.42	4,804.02	6,593.93	4,097.41	3,799.20	7,528.08	5,281.40	4,286.77	3,587.64	5,299.63	4,885.99
		8.36%	48.73%	-7.58%	-14.31%	69.80%	19.13%	-3.31%	-19.08%	19.54%	10.21%
PFN_4_1	222.66	206.74	178.56	159.15	166.13	200.76	204.65	163.20	170.76	219.23	159.99
		-7.15%	-19.81%	-28.52%	-25.39%	-9.84%	-8.09%	-26.70%	-23.31%	-1.54%	-28.15%
PFN_5_1	401.18	389.05	354.17	336.39	350.48	382.15	377.45	362.72	358.13	388.54	358.64
		-3.02%	-11.72%	-16.15%	-12.64%	-4.74%	-5.92%	-9.59%	-10.73%	-3.15%	-10.60%
PFN_6_1	444.51	408.90	339.50	277.88	335.36	553.84	353.72	292.97	275.47	426.99	281.54
		-8.01%	-23.62%	-37.49%	-24.55%	24.60%	-20.42%	-34.09%	-38.03%	-3.94%	-36.66%
PFN_8_2	368.99	358.34	287.54	273.80	315.61	398.76	345.07	297.96	278.60	364.14	310.37
		-2.89%	-22.07%	-25.80%	-14.47%	8.07%	-6.48%	-19.25%	-24.50%	-1.31%	-15.89%
Prefabrik_Yapı	688.26	615.95	730.37	554.56	563.07	627.91	588.92	572.40	660.34	623.26	584.90
		-10.51%	6.12%	-19.43%	-18.19%	-8.77%	-14.43%	-16.83%	-4.06%	-9.44%	-15.02%

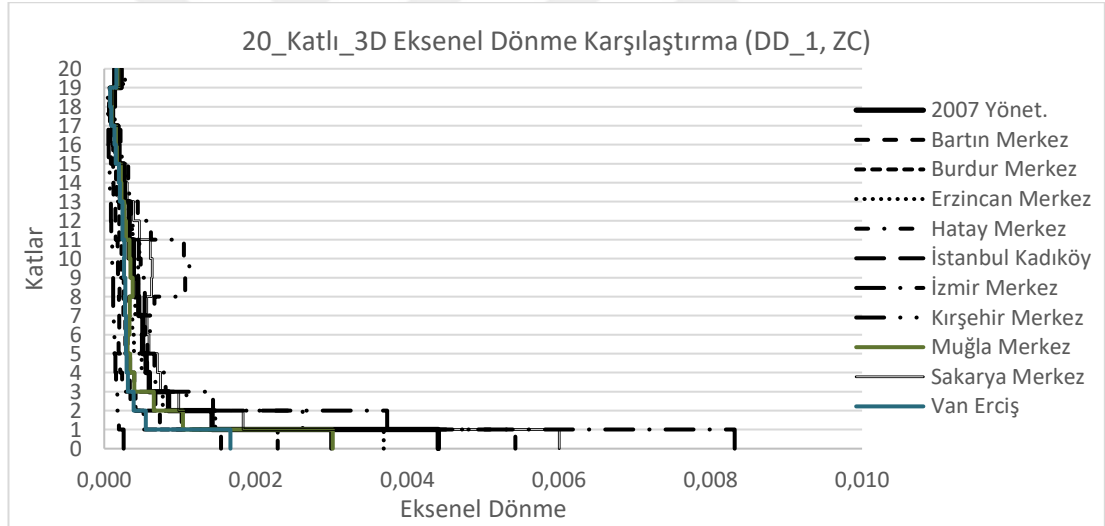
Çizelge 6.4 : 2. Derece deprem bölgesi, deprem düzeyi 2 için örnek modellerin seçilen deprem merkezlerine göre hesaplanan taban kesme kuvvetleri değerleri (2019 Yönetmeliği) ve 2007 Yönetmeliği'ne göre değişim yüzdeleri.

	2007 Yönetmelik	Afyon Merkez	Ağrı Merkez	Antalya Merkez	Diyarbakır Merkez	Erzurum Merkez	Eskişehir Merkez	İstanbul Levent	Kars Merkez	Kütahya Merkez	Van Merkez
20_Katlı_3D	21,796.51	18,247.78	14,578.61	13,230.01	9,579.20	27,166.70	17,585.11	16,230.97	19,249.10	17,599.63	26,288.71
		-16.28%	-33.11%	-39.30%	-56.05%	24.64%	-19.32%	-25.53%	-11.69%	-19.25%	20.61%
24_Katlı_CBSW	6,185.51	5,793.09	4,714.53	4,739.64	4,241.35	6,811.20	6,232.11	6,269.33	5,292.64	7,252.44	5,211.78
		-6.34%	-23.78%	-23.38%	-31.43%	10.12%	0.75%	1.36%	-14.43%	17.25%	-15.74%
Aydın_Üniv	562.70	423.91	420.86	418.93	416.85	530.12	436.11	513.28	350.82	449.05	440.70
		-24.67%	-25.21%	-25.55%	-25.92%	-5.79%	-22.50%	-8.78%	-37.65%	-20.20%	-21.68%
Gedikbulak_3D	3,067.12	4,392.37	3,021.42	3,395.06	2,335.63	4,951.19	2,979.28	4,023.04	2,847.68	4,559.50	3,702.20
		43.21%	-1.49%	10.69%	-23.85%	61.43%	-2.86%	31.17%	-7.15%	48.66%	20.71%
PFN_4_1	160.11	195.74	139.74	107.77	113.70	223.58	131.25	137.71	158.89	188.95	114.86
		22.25%	-12.72%	-32.69%	-28.99%	39.64%	-18.03%	-13.99%	-0.76%	18.01%	-28.26%
PFN_5_1	350.80	333.86	298.02	242.68	268.09	398.70	313.06	302.74	345.42	379.33	261.15
		-4.83%	-15.05%	-30.82%	-23.58%	13.65%	-10.76%	-13.70%	-1.53%	8.13%	-25.56%
PFN_6_1	292.99	266.06	256.67	218.05	260.48	409.62	251.62	245.23	277.58	370.42	206.18
		-9.19%	-12.40%	-25.58%	-11.10%	39.81%	-14.12%	-16.30%	-5.26%	26.43%	-29.63%
PFN_8_2	269.49	263.64	321.39	222.71	277.25	348.91	304.57	290.32	239.65	346.49	234.25
		-2.17%	19.26%	-17.36%	2.88%	29.47%	13.02%	7.73%	-11.07%	28.57%	-13.08%
Prefabrik_Yapı	544.05	452.04	589.86	379.87	561.58	650.83	570.66	590.18	455.16	657.23	457.39
		-16.91%	8.42%	-30.18%	3.22%	19.63%	4.89%	8.48%	-16.34%	20.80%	-15.93%

6.2.1 20_Katlı_3D modelinin sonuçlarının karşılaştırılması

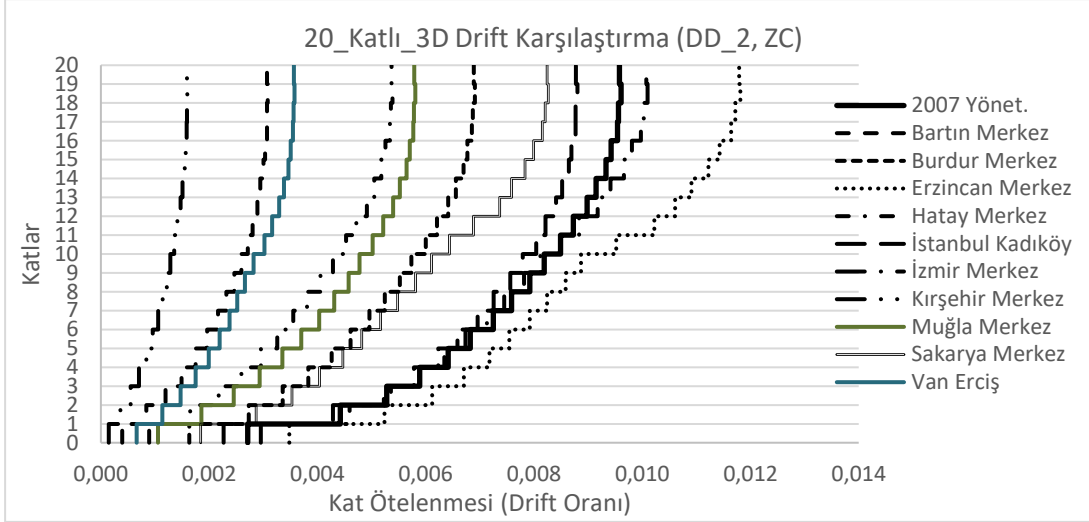


Şekil 6.12 : 20_Katlı_3D Modelinin 1. Derece deprem bölgesi DD-1 için kat ötelenmesi (drift) oranı değerlerinin deprem merkezlerine göre karşılaştırılması.

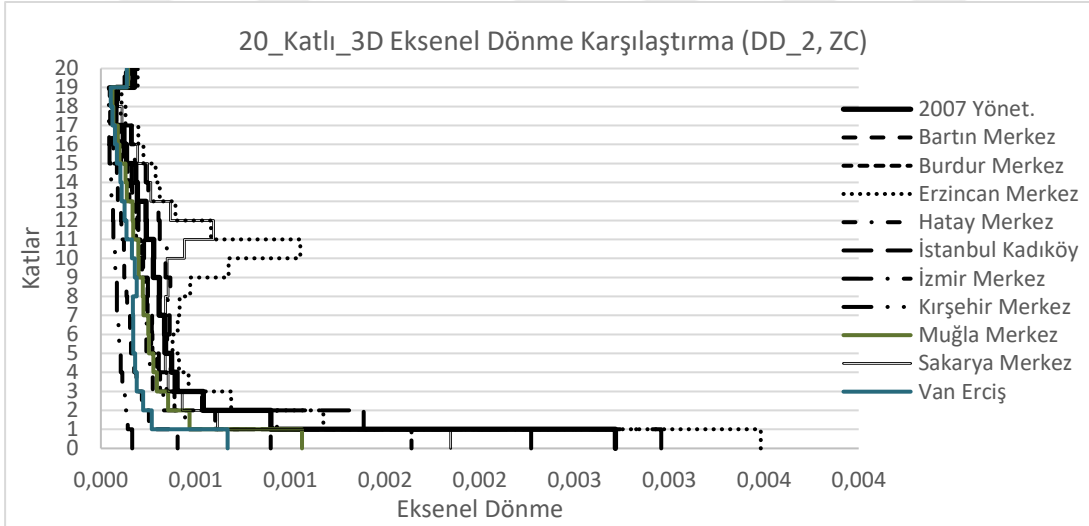


Şekil 6.13 : 20_Katlı_3D Modelinin 1. Derece deprem bölgesi DD-1 için eksenel dönme değerlerinin deprem merkezlerine göre karşılaştırılması.

20_Katlı_3D modelinin 1. Derece deprem bölgesi merkezleri için deprem düzeyi 1 dikkate alınarak yapılan hesaplar sonucunda bulunan kat ötelenme oranları ile eksenel dönme miktarları sırasıyla Şekil 6.12 ve Şekil 6.13’de karşılaştırmalı olarak gösterilmiştir. Kat ötelenme oranları dikkate alındığında İzmir (%57,14), Hatay (%28,96) ve Sakarya’da (%14,04) hesaplanan değerlerin 2007 Yönetmelik değerlerinin üstünde kaldığı görülmüştür. Kırşehir ise %83,90 2007 Yönetmelik değerinden küçüktür. Eksenel dönme miktarı, İzmir Merkez’de %88,72 daha fazladır, Kırşehir merkezde ise %94,20 daha küçüktür.

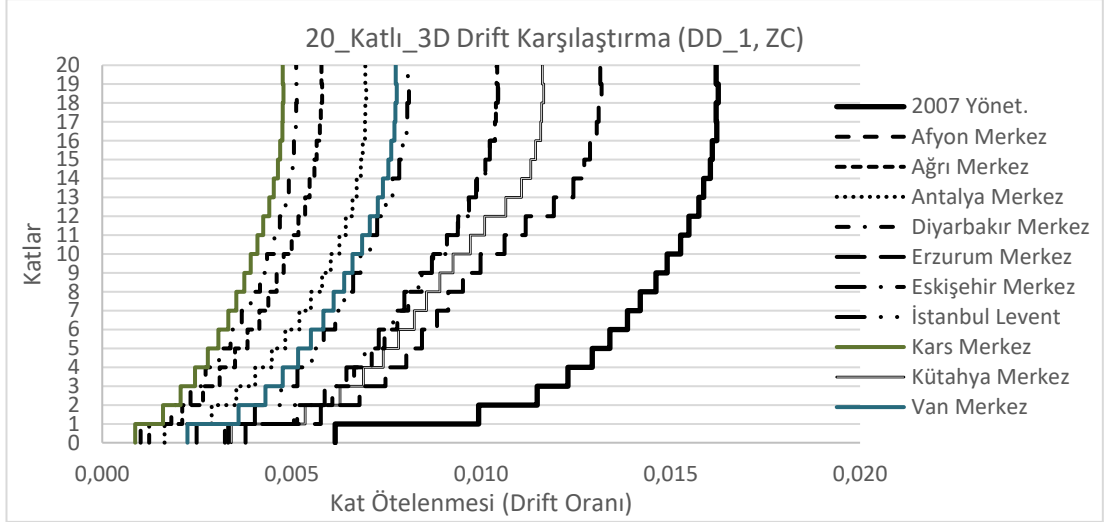


Şekil 6.14 : 20_Katlı_3D Modelinin 1. Derece deprem bölgesi DD-2 için kat ötelenmesi (drift) oranı değerlerinin deprem merkezlerine göre karşılaştırılması.

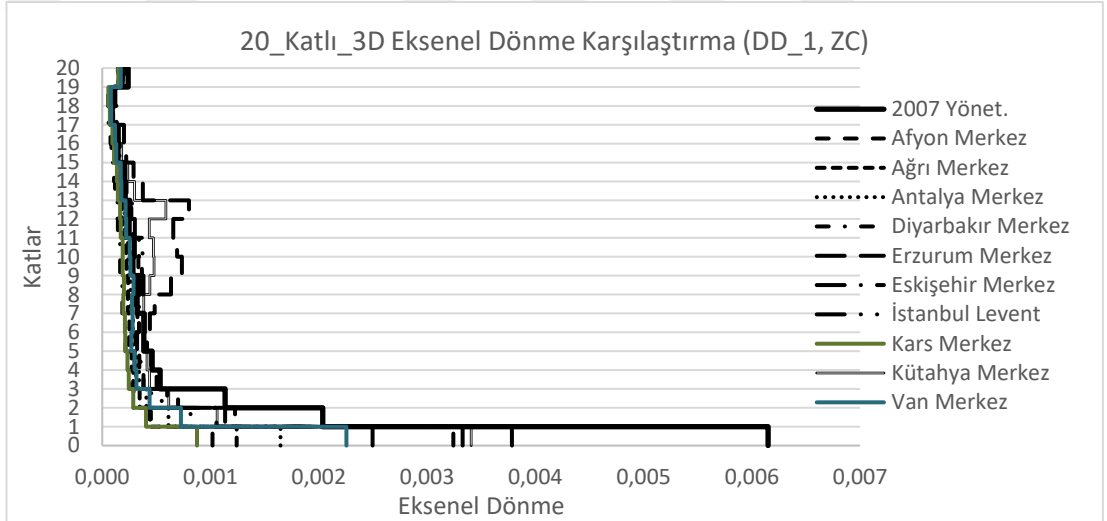


Şekil 6.15 : 20_Katlı_3D Modelinin 1. Derece deprem bölgesi DD-2 için eksenel dönme değerlerinin deprem merkezlerine göre karşılaştırılması.

20_Katlı_3D modelinin 1. Derece deprem bölgesi merkezleri için deprem düzeyi 2 dikkate alınarak yapılan hesaplar sonucunda bulunan kat ötelenme oranları ile eksenel dönme miktarları sırasıyla Şekil 6.14 ve Şekil 6.15’de karşılaştırmalı olarak gösterilmiştir. Kat ötelenme oranları dikkate alındığında Erzincan (%22.92) ve İzmir’de (%5.09) hesaplanan değerlerin 2007 Yönetmelik değerlerinin üstünde kaldığı görülmüştür. Kırşehir ise %83.39 2007 yönetmelik değerinden küçüktür. Eksenel dönme miktarı, Erzincan Merkez’de %28.25 daha fazladır, Kırşehir merkezde ise 2007 Yönetmeliği’ne göre kıyaslandığında %93.91 daha küçüktür. Diğer yapılar ise bu aralıkta kalmaktadır.

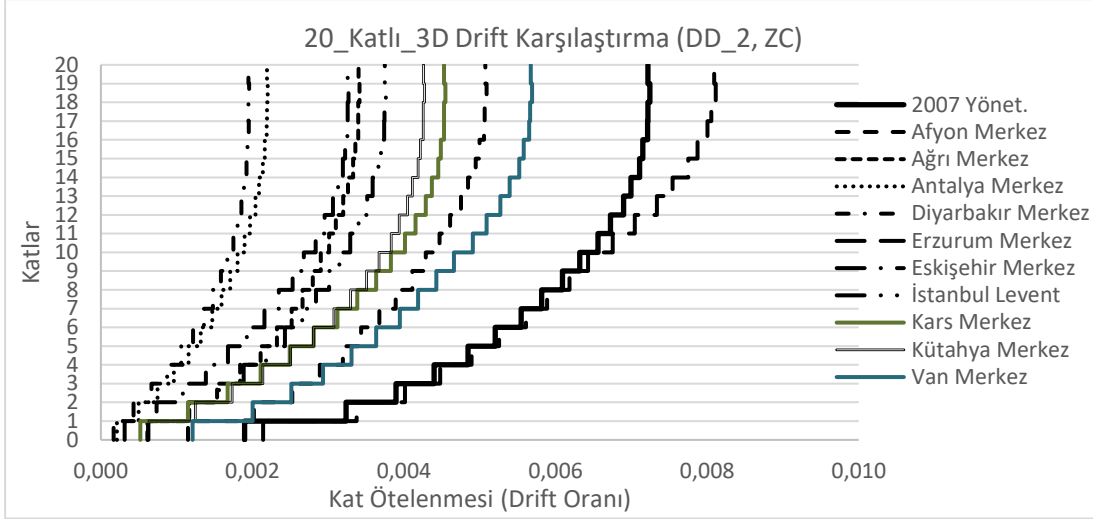


Şekil 6.16 : 20_Katlı_3D Modelinin 2. Derece deprem bölgesi DD-1 için kat ötelenmesi (drift) oranı değerlerinin deprem merkezlerine göre karşılaştırılması.

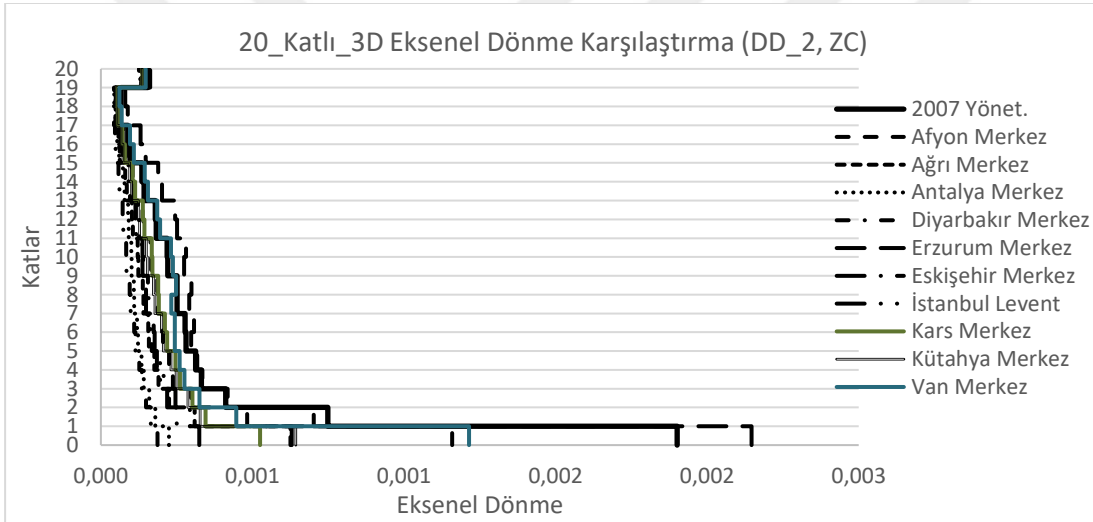


Şekil 6.17 : 20_Katlı_3D Modelinin 2. Derece deprem bölgesi DD-1 için eksenel dönme değerlerinin deprem merkezlerine göre karşılaştırılması.

20_Katlı_3D modelinin 2. Derece deprem bölgesi merkezleri için deprem düzeyi 1 dikkate alınarak yapılan hesaplar sonucunda bulunan kat ötelenme oranları ile eksenel dönme miktarları sırasıyla Şekil 6.16 ve Şekil 6.17'de karşılaştırmalı olarak gösterilmiştir. Kat ötelenme oranları ve eksenel dönmeler dikkate alındığında bütün merkezler için hesaplanan değerler 2007 Yönetmelik değerlerinin altında kalmaktadır. En küçük değerler Kars Merkez için hesaplanmıştır (2007 Yönetmeliği'ne göre kıyaslandığında %70.58 daha küçük). Diğer yapılar ise bu aralıkta kalmaktadır.



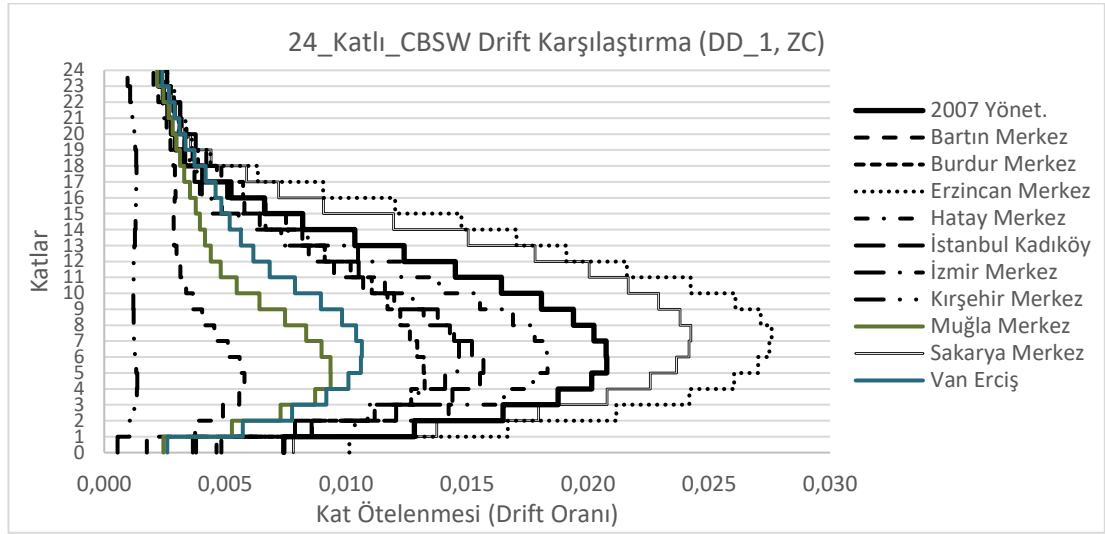
Şekil 6.18 : 20_Katlı_3D Modelinin 2. Derece deprem bölgesi DD-2 için kat ötelenmesi (drift) oranı değerlerinin deprem merkezlerine göre karşılaştırılması.



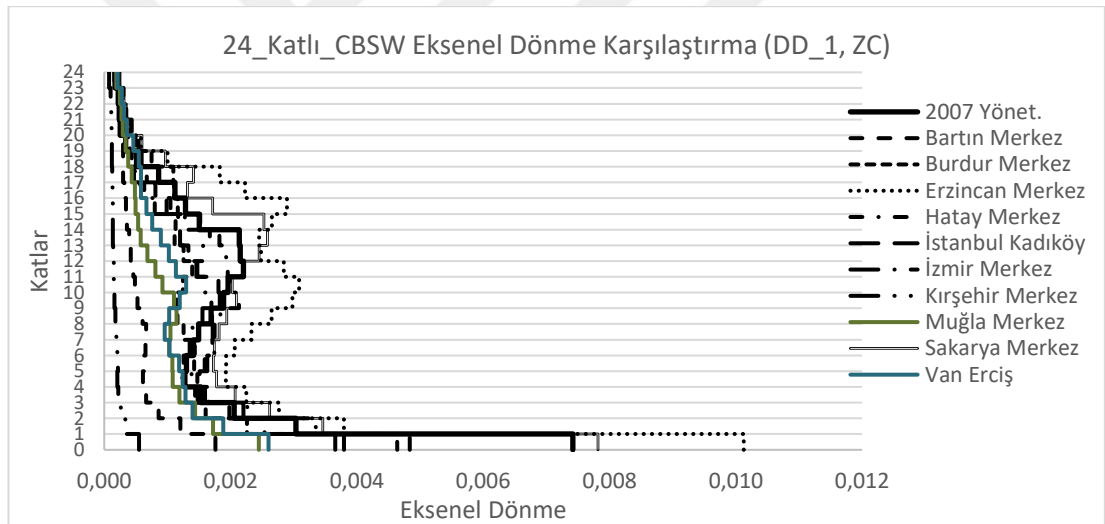
Şekil 6.19 : 20_Katlı_3D Modelinin 2. Derece deprem bölgesi DD-2 için eksenel dönme değerlerinin deprem merkezlerine göre karşılaştırılması.

20_Katlı_3D modelinin 2. Derece deprem bölgesi merkezleri için deprem düzeyi 2 dikkate alınarak yapılan hesaplar sonucunda bulunan kat ötelenme oranları ile eksenel dönme miktarları sırasıyla Şekil 6.18 ve Şekil 6.19'da karşılaştırmalı olarak gösterilmiştir. Kat ötelenme oranları dikkate alındığında Erzurum'da (%12.00) hesaplanan değerlerin 2007 Yönetmelik değerlerinin üstünde kaldığı görülmüştür. Diyarbakır'da ise %73.00 2007 Yönetmelik değerinden küçüktür. Eksenel dönme miktarı, Erzurum Merkez'de %12.91 daha fazladır, Diyarbakır merkezde ise 2007 Yönetmeliği'ne göre kıyaslandığında %90.17 daha küçüktür. Diğer yapılar ise bu aralıkta kalmaktadır.

6.2.2 24_Katlı_CBSW modelinin sonuçlarının karşılaştırılması



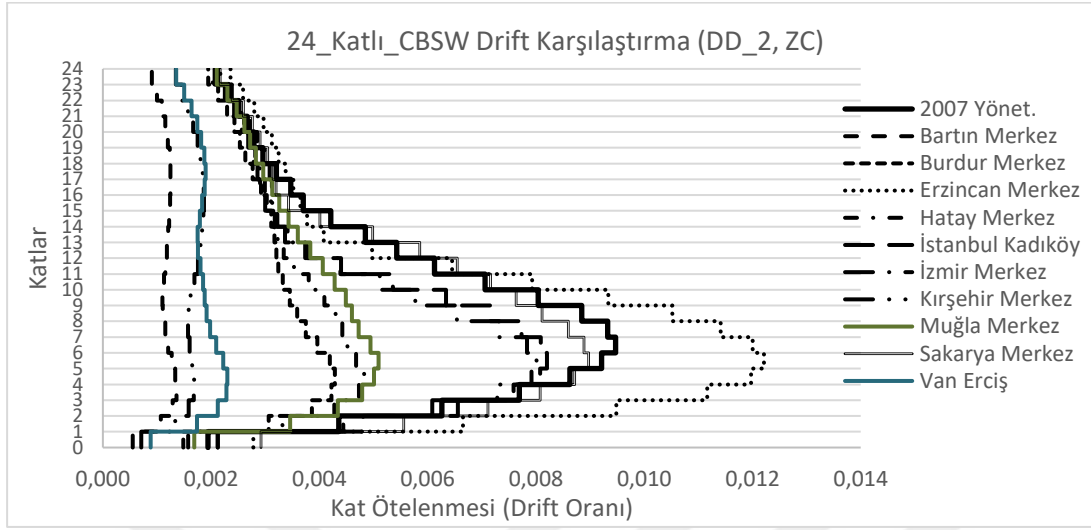
Şekil 6.20 : 24_Katlı_CBSW Modelinin 1. Derece deprem bölgesi DD-1 için kat ötelenmesi (drift) oranı değerlerinin deprem merkezlerine göre karşılaştırılması.



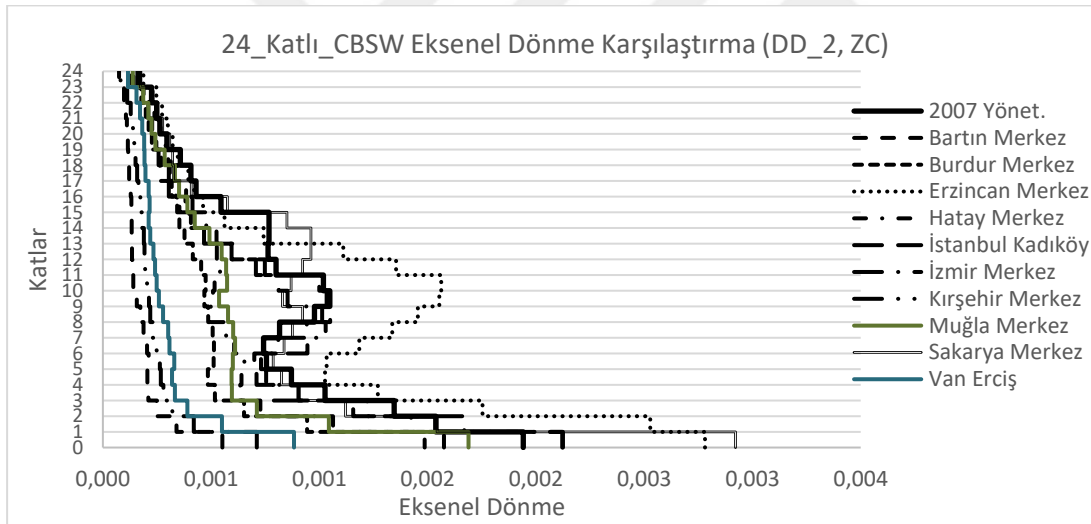
Şekil 6.21 : 24_Katlı_CBSW Modelinin 1. Derece deprem bölgesi DD-1 için eksenel dönme değerlerinin deprem merkezlerine göre karşılaştırılması.

24_Katlı_CBSW modelinin 1. Derece deprem bölgesi merkezleri için deprem düzeyi 1 dikkate alınarak yapılan hesaplar sonucunda bulunan kat ötelenme oranları ile eksenel dönme miktarları sırasıyla Şekil 6.20 ve Şekil 6.21’de karşılaştırmalı olarak gösterilmiştir. Kat ötelenme oranları dikkate alındığında Erzincan (%32.81) ve Sakarya’da (%16.73) hesaplanan değerlerin 2007 Yönetmelik değerlerinin üstünde kaldığı görülmüştür. Kırşehir ise %93.42 2007 Yönetmelik değerinden küçüktür. Eksenel dönme miktarı, Erzincan Merkez’de %36.48 daha fazladır, Kırşehir merkezde

ise 2007 Yönetmeliği'ne göre kıyaslandığında %92,58 daha küçüktür. Erzincan ve Sakarya'da 0.02 olan kat ötelenme oranı sınırı aşıldığı için yapılar hasar görmüştür.

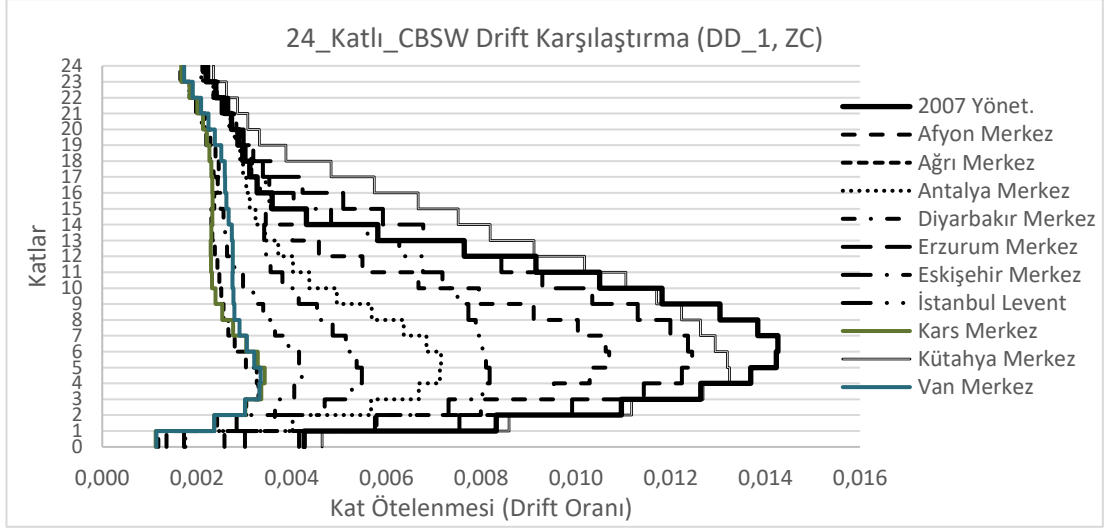


Şekil 6.22 : 24_Katlı_CBSW Modelinin 1. Derece deprem bölgesi DD-2 için kat ötelenmesi (drift) oranı değerlerinin deprem merkezlerine göre karşılaştırılması.

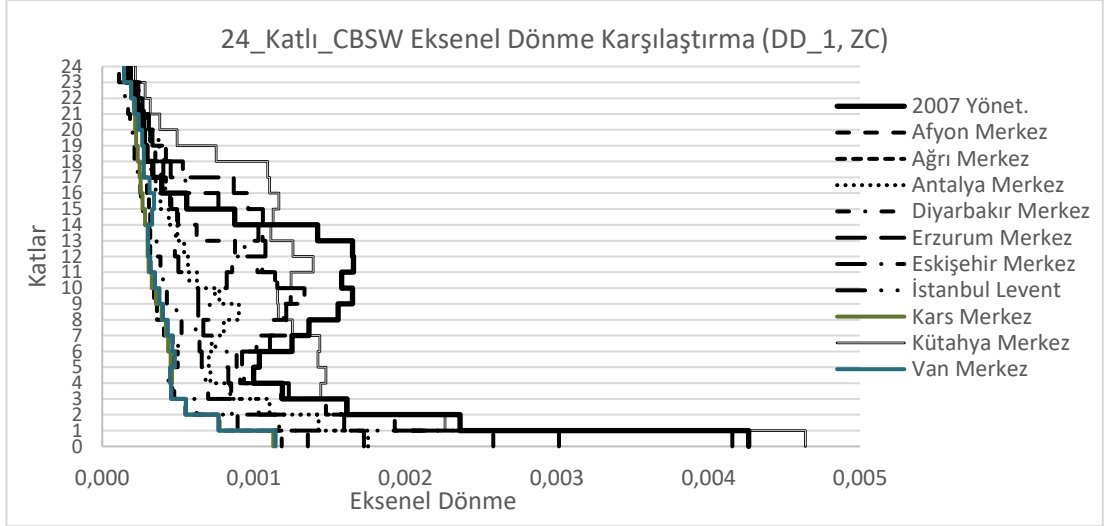


Şekil 6.23 : 24_Katlı_CBSW Modelinin 1. Derece deprem bölgesi DD-2 için eksenel dönme değerlerinin deprem merkezlerine göre karşılaştırılması.

24_Katlı_CBSW modelinin 1. Derece deprem bölgesi merkezleri için deprem düzeyi 2 dikkate alınarak yapılan hesaplar sonucunda bulunan kat ötelenme oranları ile eksenel dönme miktarları sırasıyla Şekil 6.22 ve Şekil 6.23'de karşılaştırmalı olarak gösterilmiştir. Kat ötelenme oranları dikkate alındığında sadece Erzincan'da (%28.94) hesaplanan değerlerin 2007 Yönetmelik değerlerinin üstünde kaldığı görülmüştür. Bartın ise %85.64 2007 Yönetmelik değerinden küçüktür. Eksenel dönme miktarı, Sakarya Merkez (%50.48) ve Erzincan Merkez'de (%43.23) daha fazladır, Bartın merkezde ise 2007 Yönetmeliği'ne göre kıyaslandığında %71.58 daha küçüktür.

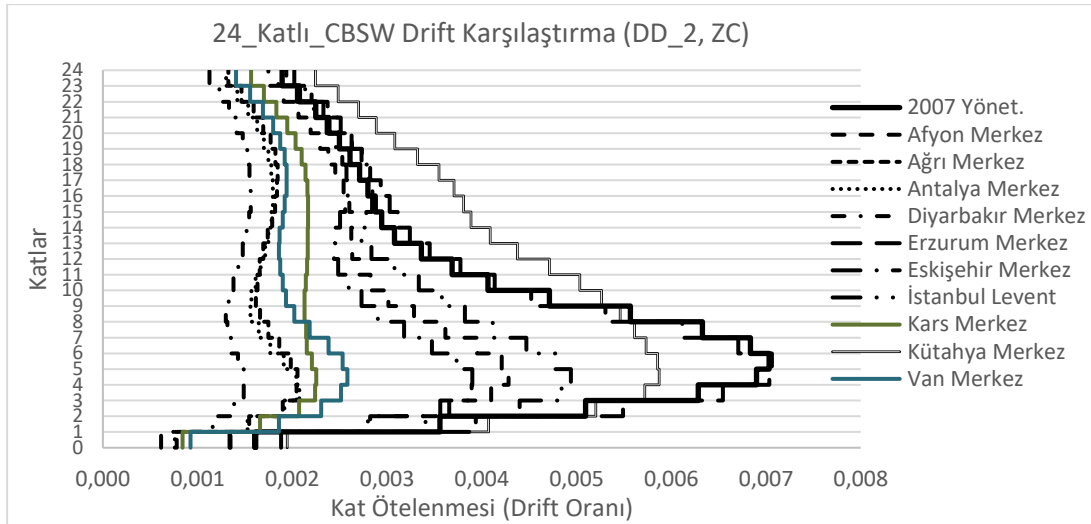


Şekil 6.24 : 24_Katlı_CBSW Modelinin 2. Derece deprem bölgesi DD-1 için kat ötelenmesi (drift) oranı değerlerinin deprem merkezlerine göre karşılaştırılması.

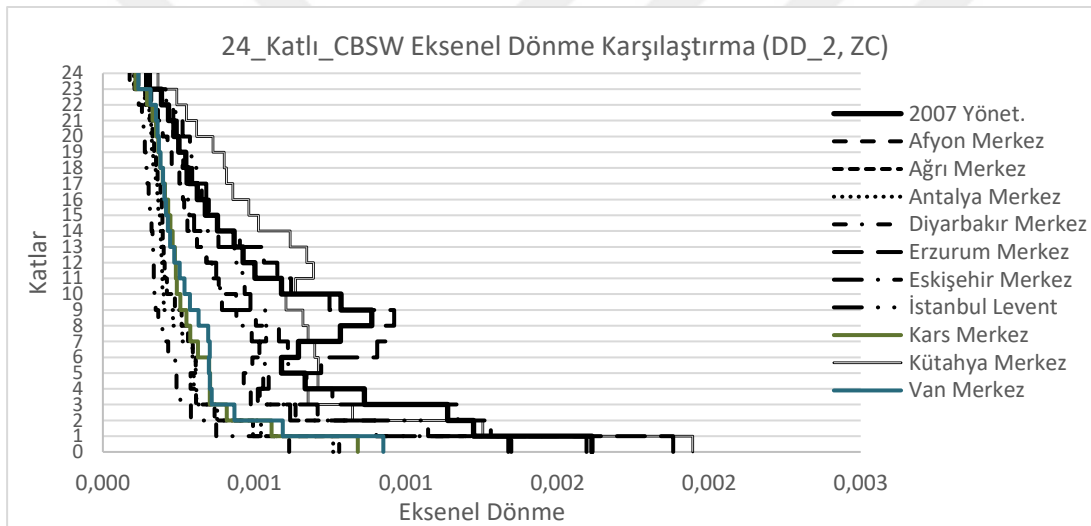


Şekil 6.25 : 24_Katlı_CBSW Modelinin 2. Derece deprem bölgesi DD-1 için eksenel dönme değerlerinin deprem merkezlerine göre karşılaştırılması.

24_Katlı_CBSW modelinin 2. Derece deprem bölgesi merkezleri için deprem düzeyi 1 dikkate alınarak yapılan hesaplar sonucunda bulunan kat ötelenme oranları ile eksenel dönme miktarları sırasıyla Şekil 6.24 ve Şekil 6.25'de karşılaştırmalı olarak gösterilmiştir. Kat ötelenme oranları dikkate alındığında en büyük değerler için bütün bölgelerin 2007 Yönetmelik değerlerinin altında kaldığı görülmüştür. Eksenel dönme miktarı, Kütahya Merkez'de (%8.78) daha fazladır, Van merkezde ise 2007 Yönetmeliği'ne göre kıyaslandığında %73.18 daha küçüktür.



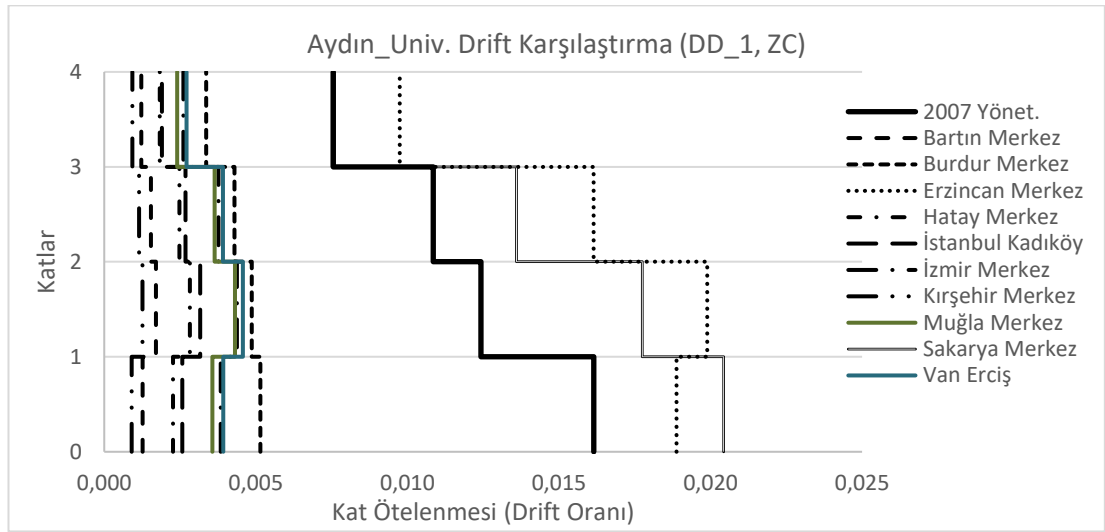
Şekil 6.26 : 24_Katlı_CBSW Modelinin 2. Derece deprem bölgesi DD-2 için kat ötelenmesi (drift) oranı değerlerinin deprem merkezlerine göre karşılaştırılması.



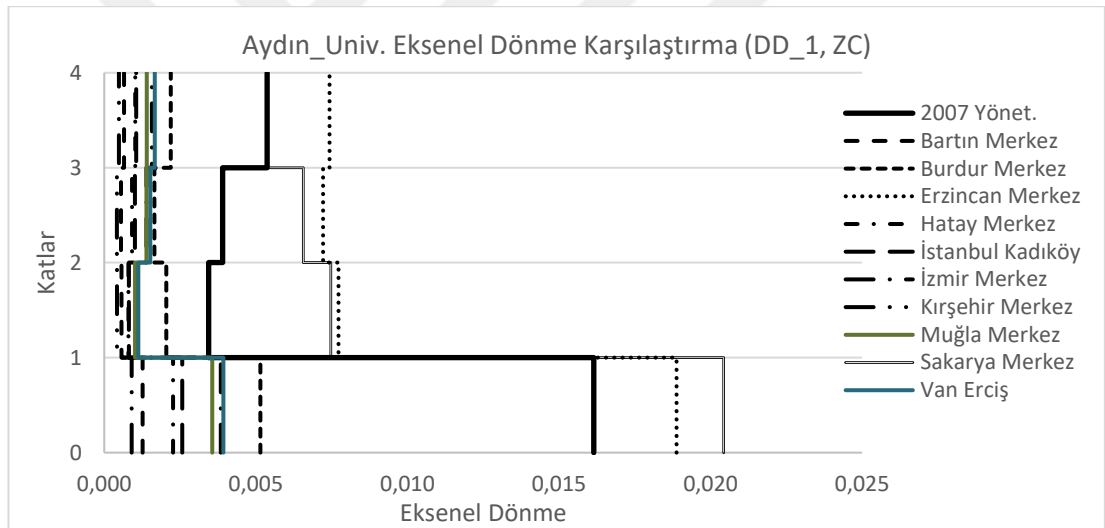
Şekil 6.27 : 24_Katlı_CBSW Modelinin 2. Derece deprem bölgesi DD-2 için eksenel dönme değerlerinin deprem merkezlerine göre karşılaştırılması.

24_Katlı_CBSW modelinin 2. Derece deprem bölgesi merkezleri için deprem düzeyi 2 dikkate alınarak yapılan hesaplar sonucunda bulunan kat ötelenme oranları ile eksenel dönme miktarları sırasıyla Şekil 6.26 ve Şekil 6.27'de karşılaştırmalı olarak gösterilmiştir. Kat ötelenme oranları dikkate alındığında sadece Erzurum'da (%0.42) hesaplanan değerlerin 2007 Yönetmelik değerlerinin üstünde kaldığı görülmüştür. Diyarbakır ise %77.81 2007 Yönetmelik değerinden küçüktür. Eksenel dönme miktarı, Kütahya Merkez (%20.62) ve Erzurum Merkez'de (%16.62) daha fazladır, Diyarbakır merkezde ise 2007 Yönetmeliği'ne göre kıyaslandığında %61.91 daha küçüktür.

6.2.3 Aydın Binası modelinin sonuçlarının karşılaştırılması

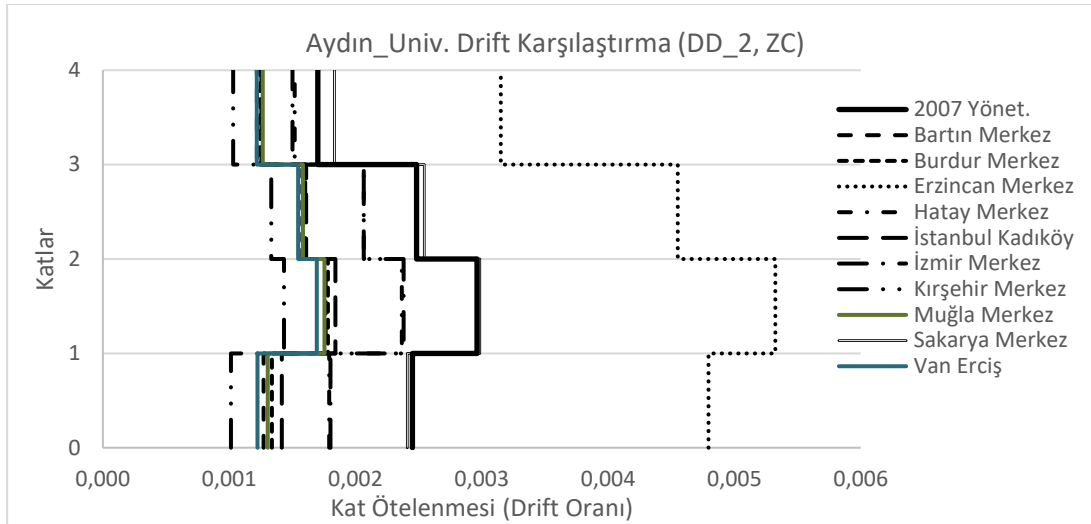


Şekil 6.28 : Aydın Binası Modelinin 1. Derece deprem bölgesi DD-1 için kat ötelenmesi (drift) oranı değerlerinin deprem merkezlerine göre karşılaştırılması.

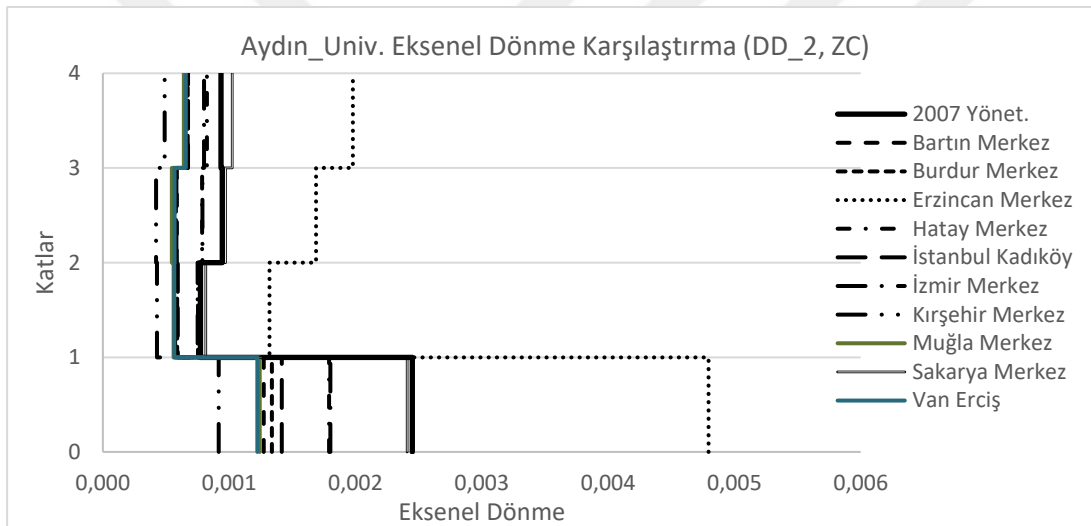


Şekil 6.29 : Aydın Binası Modelinin 1. Derece deprem bölgesi DD-1 için eksenel dönme değerlerinin deprem merkezlerine göre karşılaştırılması.

Aydın Binası modelinin 1. Derece deprem bölgesi merkezleri için deprem düzeyi 1 dikkate alınarak yapılan hesaplar sonucunda bulunan kat ötelenme oranları ile eksenel dönme miktarları sırasıyla Şekil 6.28 ve Şekil 6.29'da karşılaştırmalı olarak gösterilmiştir. Kat ötelenme oranları dikkate alındığında Sakarya (%26.53) ve Erzincan'da (%23.17) hesaplanan değerlerin 2007 Yönetmelik değerlerinin üstünde kaldığı görülmüştür. Kırşehir ise %92.19 2007 Yönetmelik değerinden küçüktür. Eksenel dönme miktarı, Erzincan Merkez'de %26.53 daha fazladır, Kırşehir merkezde ise 2007 Yönetmeliği'ne göre kıyaslandığında %94.40 daha küçüktür.

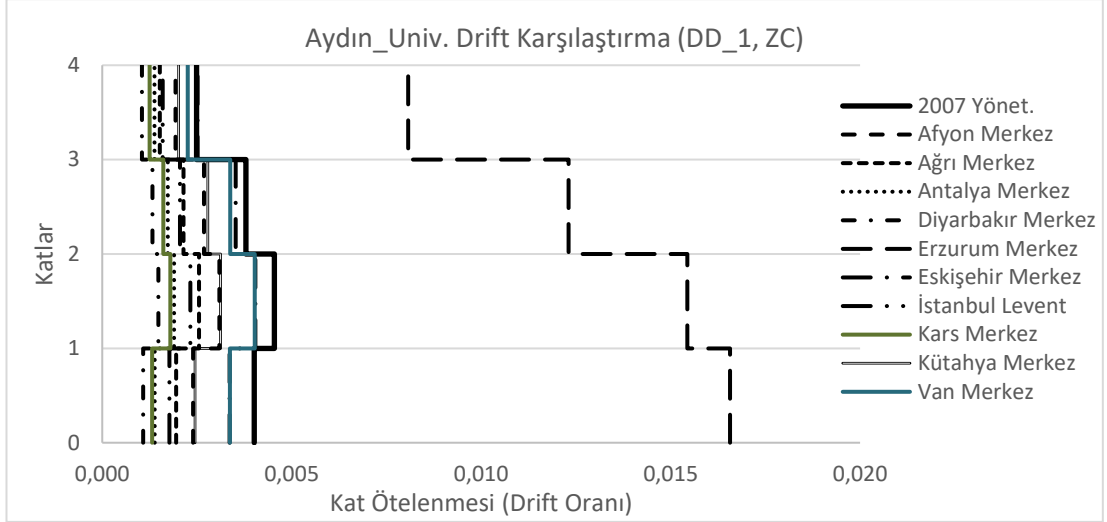


Şekil 6.30 : Aydın Binası Modelinin 1. Derece deprem bölgesi DD-2 için kat ötelenmesi (drift) oranı değerlerinin deprem merkezlerine göre karşılaştırılması.

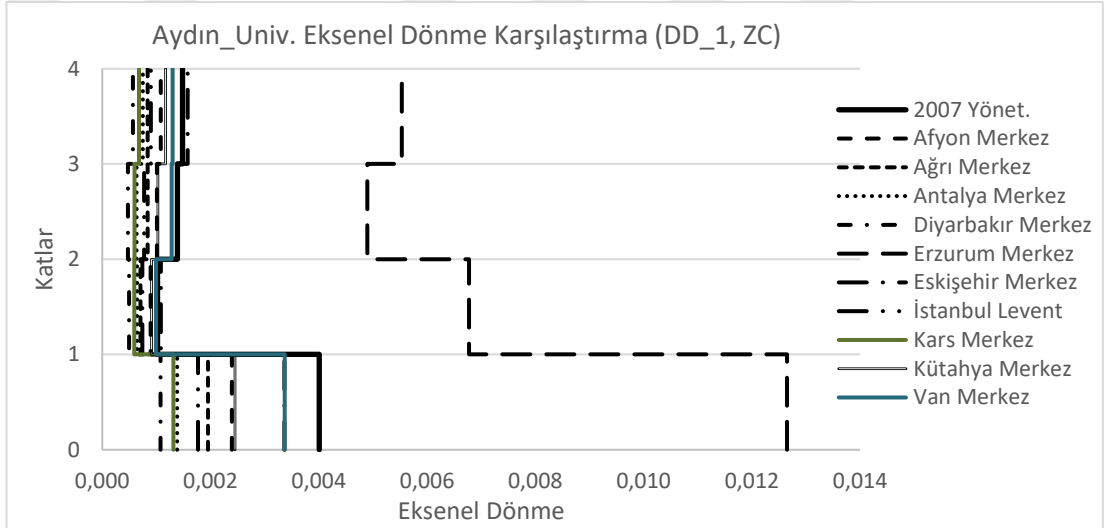


Şekil 6.31 : Aydın Binası Modelinin 1. Derece deprem bölgesi DD-2 için eksenel dönme değerlerinin deprem merkezlerine göre karşılaştırılması.

Aydın Binası modelinin 1. Derece deprem bölgesi merkezleri için deprem düzeyi 2 dikkate alınarak yapılan hesaplar sonucunda bulunan kat ötelenme oranları ile eksenel dönme miktarları sırasıyla Şekil 6.30 ve Şekil 6.31’de karşılaştırmalı olarak gösterilmiştir. Kat ötelenme oranları dikkate alındığında bir tek Erzincan’da hesaplanan değerlerin 2007 Yönetmelik değerlerinin çok üstünde (%79.72) kaldığı görülmüştür. Kırşehir ise %51,60 2007 Yönetmelik değerinden küçüktür. Eksenel dönme miktarı, Erzincan Merkez’de %95.73 daha fazladır, diğer bölgeler ise 2007 Yönetmelik değerlerinin altında hesaplanmıştır.

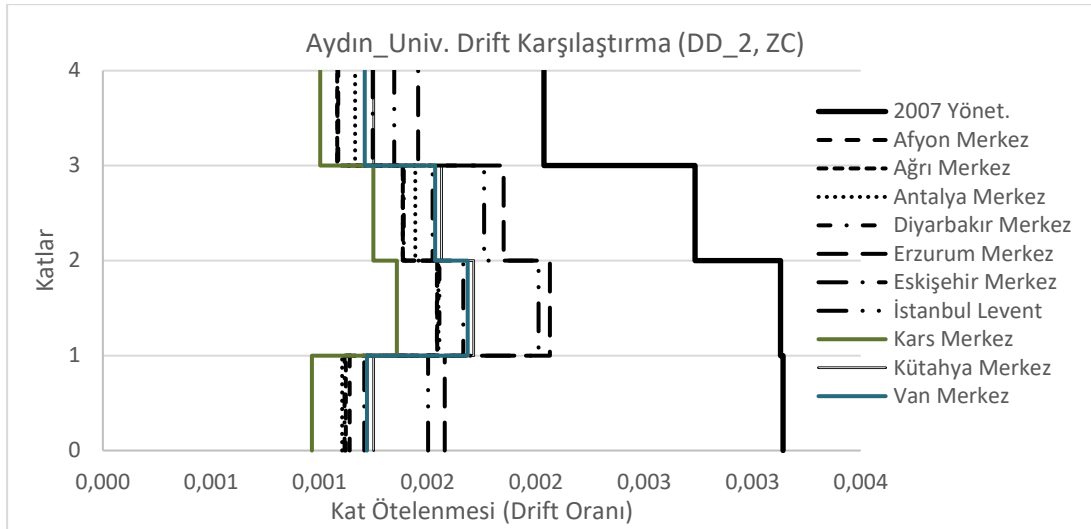


Şekil 6.32 : Aydın Binası Modelinin 2. Derece deprem bölgesi DD-1 için kat ötelenmesi (drift) oranı değerlerinin deprem merkezlerine göre karşılaştırılması.

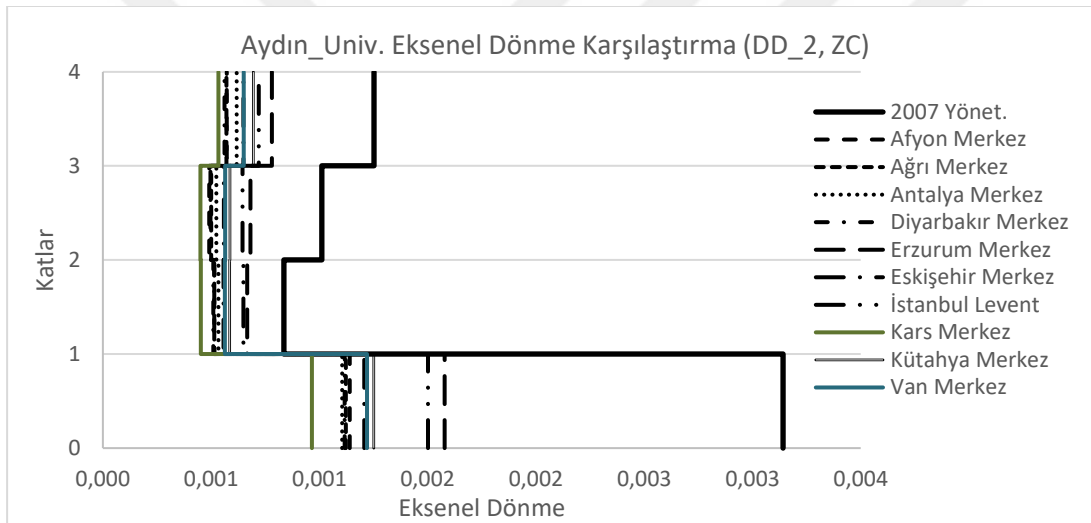


Şekil 6.33 : Aydın Binası Modelinin 2. Derece deprem bölgesi DD-1 için eksenel dönme değerlerinin deprem merkezlerine göre karşılaştırılması.

Aydın Binası modelinin 2. Derece deprem bölgesi merkezleri için deprem düzeyi 1 dikkate alınarak yapılan hesaplar sonucunda bulunan kat ötelenme oranları ile eksenel dönme miktarları sırasıyla Şekil 6.32 ve Şekil 6.33’de karşılaştırmalı olarak gösterilmiştir. Kat ötelenme oranları dikkate alındığında bir tek Erzurum’da hesaplanan değerlerin 2007 Yönetmelik değerlerinin çok üstünde (%264.72) kaldığı görülmüştür. Diyarbakır ise %67.39 2007 Yönetmelik değerinden küçüktür. Eksenel dönme miktarı, Erzurum Merkez’de %215.55 daha fazladır, diğer bölgeler ise 2007 Yönetmelik değerlerinin altında hesaplanmıştır.



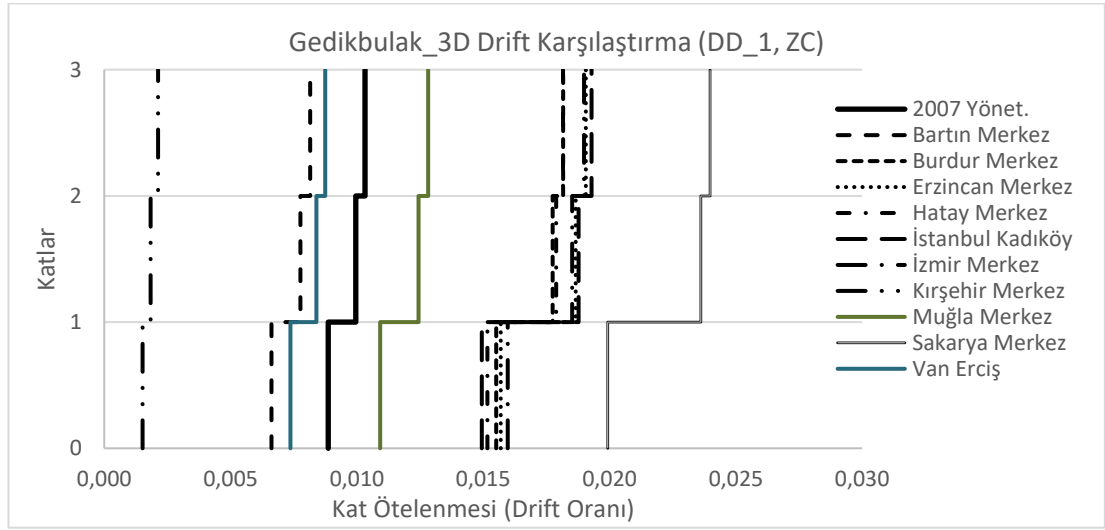
Şekil 6.34 : Aydın Binası Modelinin 2. Derece deprem bölgesi DD-2 için kat ötelenmesi (drift) oranı değerlerinin deprem merkezlerine göre karşılaştırılması.



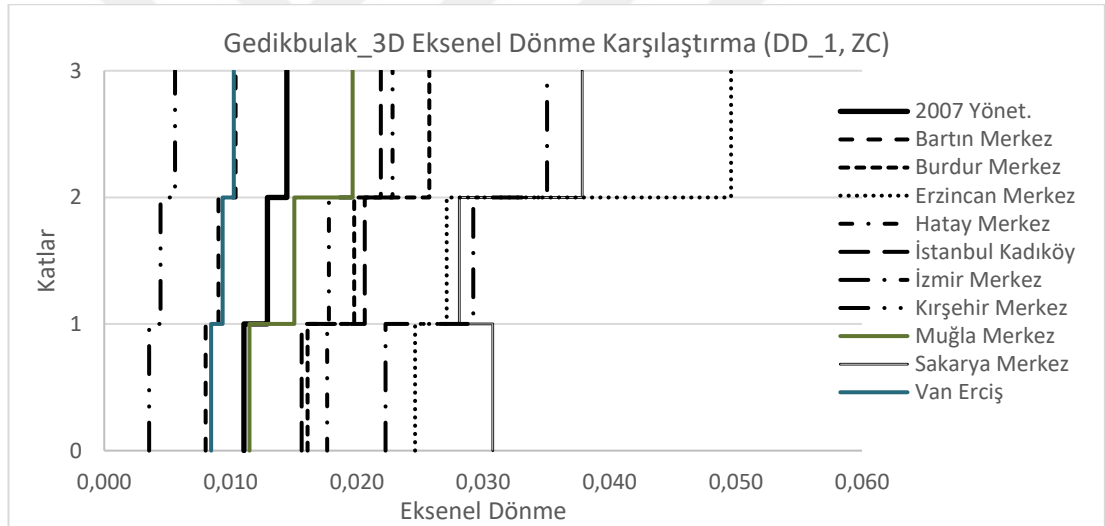
Şekil 6.35 : Aydın Binası Modelinin 2. Derece deprem bölgesi DD-2 için eksenel dönme değerlerinin deprem merkezlerine göre karşılaştırılması.

Aydın Binası modelinin 2. Derece deprem bölgesi merkezleri için deprem düzeyi 2 dikkate alınarak yapılan hesaplar sonucunda bulunan kat ötelenme oranları ile eksenel dönme miktarları sırasıyla Şekil 6.34 ve Şekil 6.35’de karşılaştırmalı olarak gösterilmiştir. Kat ötelenme oranları ve eksenel dönmeler dikkate alındığında 2007 Yönetmelik değerlerinin diğer merkezlerde hesaplanan değerlerden büyük olduğu görülmüştür. Kars merkez, kat ötelenme oranında %56.78, eksenel dönme miktarında ise %69.27 oranında 2007 Yönetmelik değerlerine göre daha küçüktür.

6.2.4 Gedikbulak 3D modelinin sonuçlarının karşılaştırılması

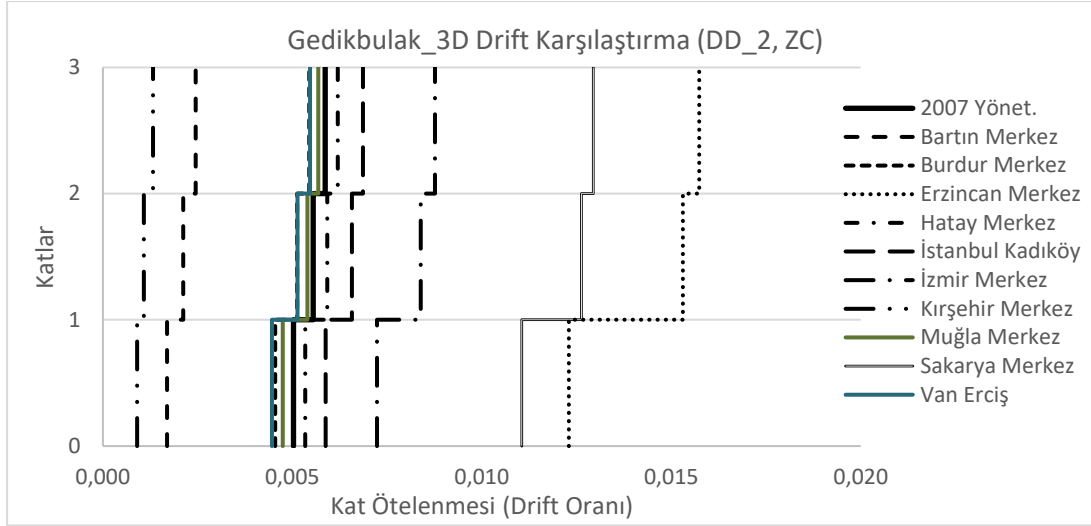


Şekil 6.36 : Gedikbulak_3D Modelinin 1. Derece deprem bölgesi DD-1 için kat ötelenmesi (drift) oranı değerlerinin deprem merkezlerine göre karşılaştırılması.

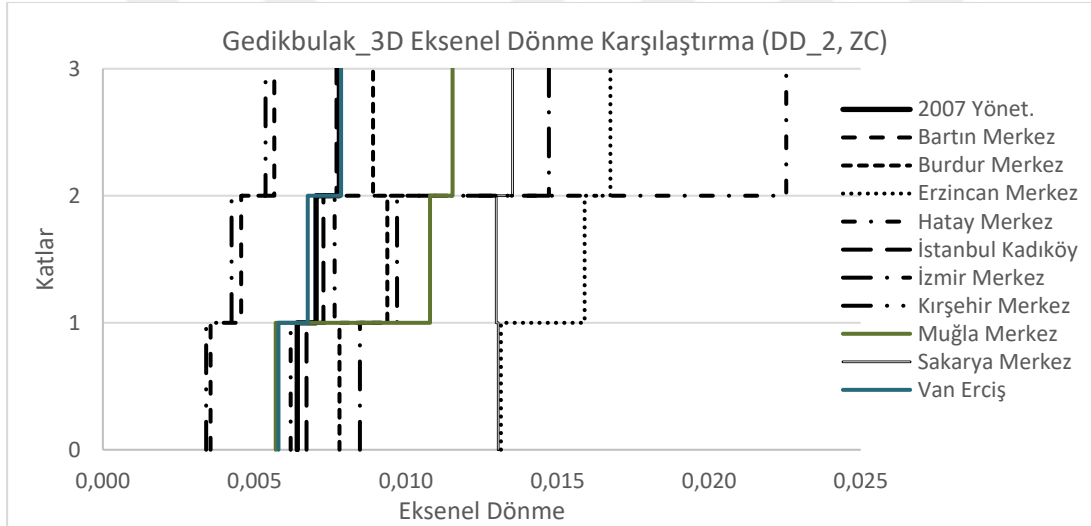


Şekil 6.37 : Gedikbulak_3D Modelinin 1. Derece deprem bölgesi DD-1 için eksenel dönme değerlerinin deprem merkezlerine göre karşılaştırılması.

Gedikbulak_3D modelinin 1. Derece deprem bölgesi merkezleri için deprem düzeyi 1 dikkate alınarak yapılan hesaplar sonucunda bulunan kat ötelenme oranları ile eksenel dönme miktarları sırasıyla Şekil 6.36 ve Şekil 6.37’de karşılaştırmalı olarak gösterilmiştir. Kat ötelenme oranları dikkate alındığında Bartın ve Kırşehir Merkezleri 2007 Yönetmelik değerlerinin altındadır, diğer merkezler ise 2007 Yönetmelik değerlerinden yüksektir. Eksenel dönme miktarında da tablo benzerdir, sadece 2007 Yönetmelik değerlerinin altında kalan gruba Van Erciş’de ilave olmuştur.

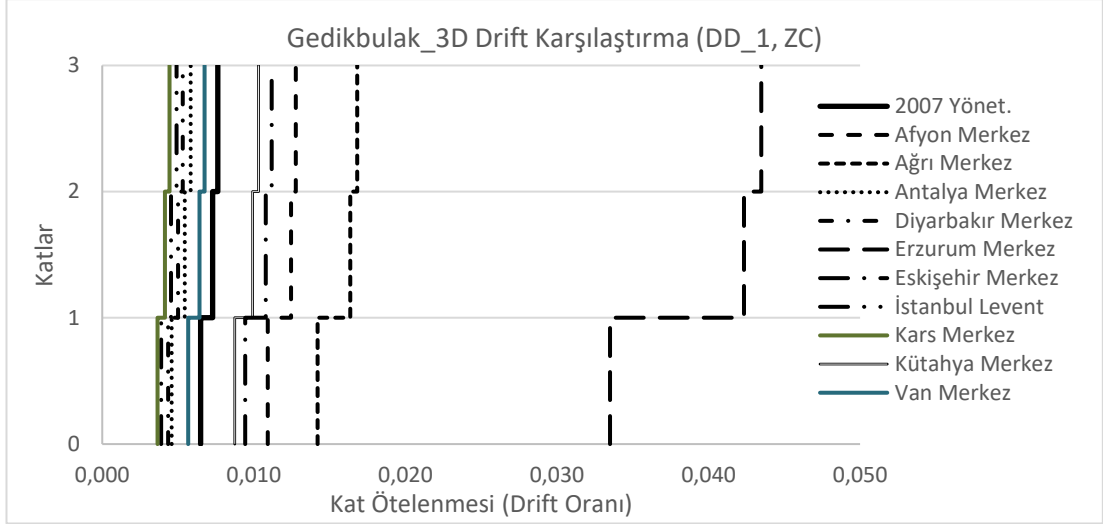


Şekil 6.38 : Gedikbulak_3D Modelinin 1. Derece deprem bölgesi DD-2 için kat ötelenmesi (drift) oranı değerlerinin deprem merkezlerine göre karşılaştırılması.

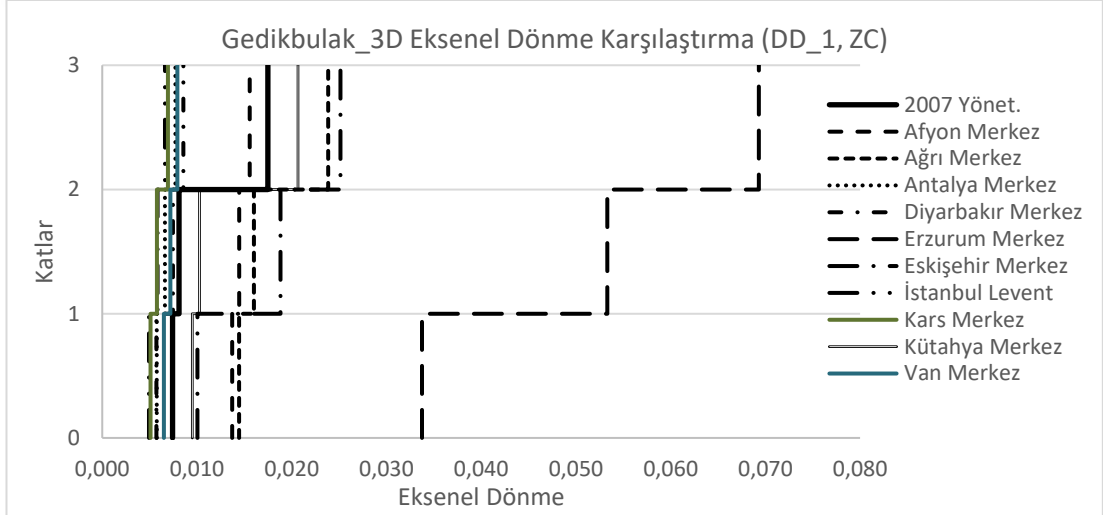


Şekil 6.39 : Gedikbulak_3D Modelinin 1. Derece deprem bölgesi DD-2 için eksenel dönme değerlerinin deprem merkezlerine göre karşılaştırılması.

Gedikbulak_3D modelinin 1. Derece deprem bölgesi merkezleri için deprem düzeyi 2 dikkate alınarak yapılan hesaplar sonucunda bulunan kat ötelenme oranları ile eksenel dönme miktarları sırasıyla Şekil 6.38 ve Şekil 6.39'da karşılaştırmalı olarak gösterilmiştir. Kat ötelenme oranları dikkate alındığında Bartın, Burdur, Muğla, Van Erciş ve Kırşehir Merkezleri 2007 Yönetmelik değerlerinin altındadır, diğer merkezler ise 2007 Yönetmelik değerlerinden yüksektir, Sakarya %120.59, Erzincan %168,24 oranında 2007 Yönetmelik değerlerinden yüksek hesaplanmıştır. Eksenel dönme miktarında ise Kırşehir, İstanbul Kadıköy ve Bartın 2007 Yönetmelik değerlerinin altındadır, Hatay merkezde hesaplanan en büyük eksenel dönme miktarı 2007 Yönetmeliği kullanılarak hesaplanan değerlerden %188.92 oranında büyüktür.

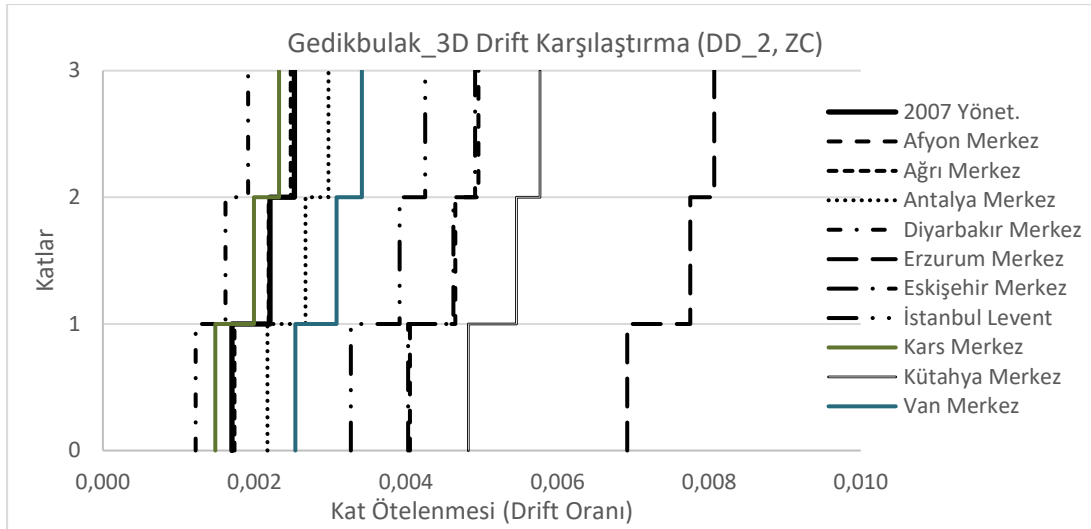


Şekil 6.40 : Gedikbulak_3D Modelinin 2. Derece deprem bölgesi DD-1 için kat ötelenmesi (drift) oranı değerlerinin deprem merkezlerine göre karşılaştırılması.

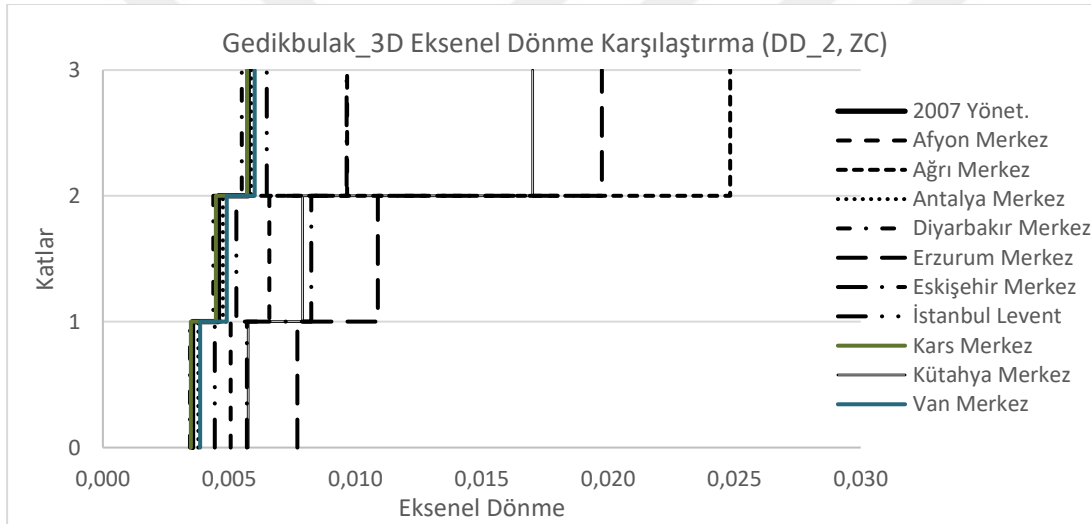


Şekil 6.41 : Gedikbulak_3D Modelinin 2. Derece deprem bölgesi DD-1 için eksenel dönme değerlerinin deprem merkezlerine göre karşılaştırılması.

Gedikbulak_3D modelinin 2. Derece deprem bölgesi merkezleri için deprem düzeyi 1 dikkate alınarak yapılan hesaplar sonucunda bulunan kat ötelenme oranları ile eksenel dönme miktarları sırasıyla Şekil 6.40 ve Şekil 6.41’de karşılaştırmalı olarak gösterilmiştir. Kat ötelenme oranları dikkate alındığında Erzurum, Ağrı, Afyon, Eskişehir ve Kütahya Merkezleri 2007 Yönetmelik değerlerinin üstündedir, diğer merkezler ise 2007 Yönetmelik değerlerinin altındadır, Erzurum %470.31, Ağrı %120.64 oranında 2007 Yönetmelik değerlerinden yüksek hesaplanmıştır. Eksenel dönme miktarında ise Erzurum, Eskişehir, Ağrı ve Kütahya 2007 Yön. değerlerinin üzerindedir, Erzurum merkezde hesaplanan en büyük eksenel dönme miktarı 2007 Yönetmeliği kullanılarak hesaplanan değerlerden %296.45 oranında büyüktür.



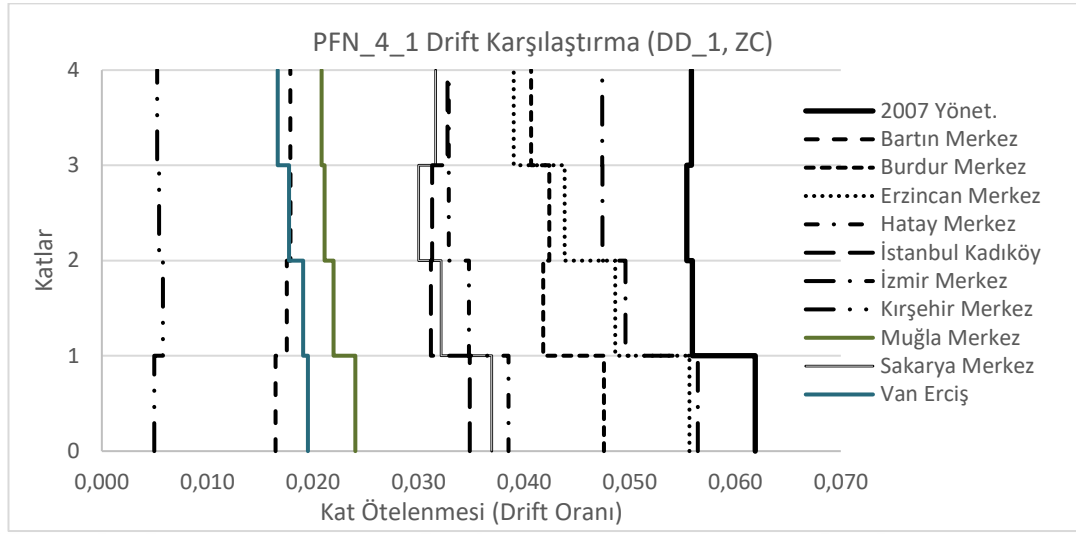
Şekil 6.42 : Gedikbulak_3D Modelinin 2. Derece deprem bölgesi DD-2 için kat ötelenmesi (drift) oranı değerlerinin deprem merkezlerine göre karşılaştırılması.



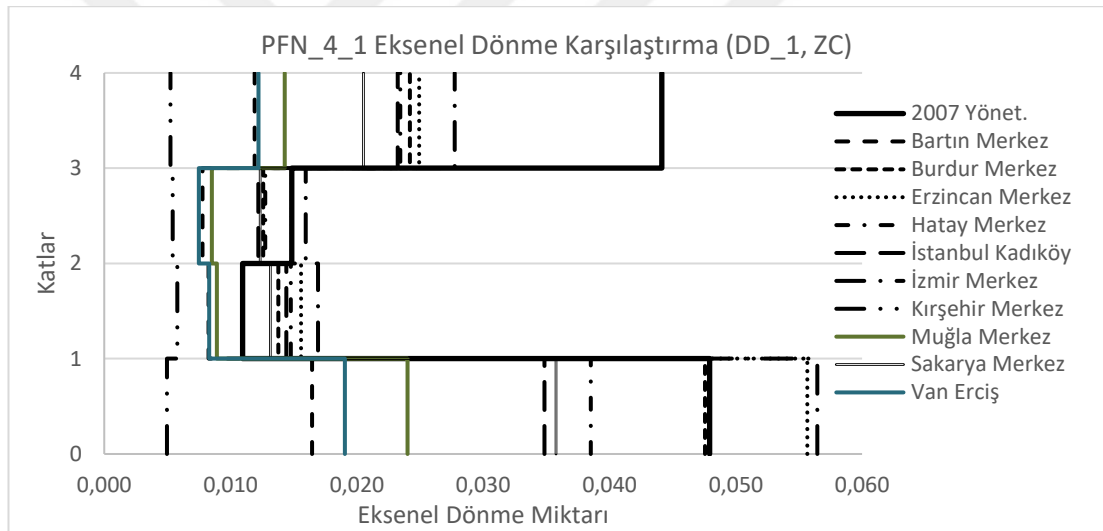
Şekil 6.43 : Gedikbulak_3D Modelinin 2. Derece deprem bölgesi DD-2 için eksenel dönme değerlerinin deprem merkezlerine göre karşılaştırılması.

Gedikbulak_3D modelinin 2. Derece deprem bölgesi merkezleri için deprem düzeyi 2 dikkate alınarak yapılan hesaplar sonucunda bulunan kat ötelenme oranları ile eksenel dönme miktarları sırasıyla Şekil 6.42 ve Şekil 6.43'de karşılaştırmalı olarak gösterilmiştir. Kat ötelenme oranları dikkate alındığında Ağrı, Kars ve Diyarbakır Merkezleri 2007 Yönetmelik değerlerinin altındadır, diğer merkezler ise 2007 Yönetmelik değerlerinden yüksektir, Erzurum %219.20, Kütahya %128.22 oranında 2007 Yönetmelik değerlerinden yüksek hesaplanmıştır. Eksenel dönme miktarında ise Kars ve Diyarbakır 2007 Yönetmelik değerlerinin altındadır, Ağrı merkezde hesaplanan en büyük eksenel dönme miktarı 2007 Yönetmeliği kullanılarak hesaplanan değerlerden %331.66 oranında büyüktür.

6.2.5 PFN_4_1 modelinin sonuçlarının karşılaştırılması

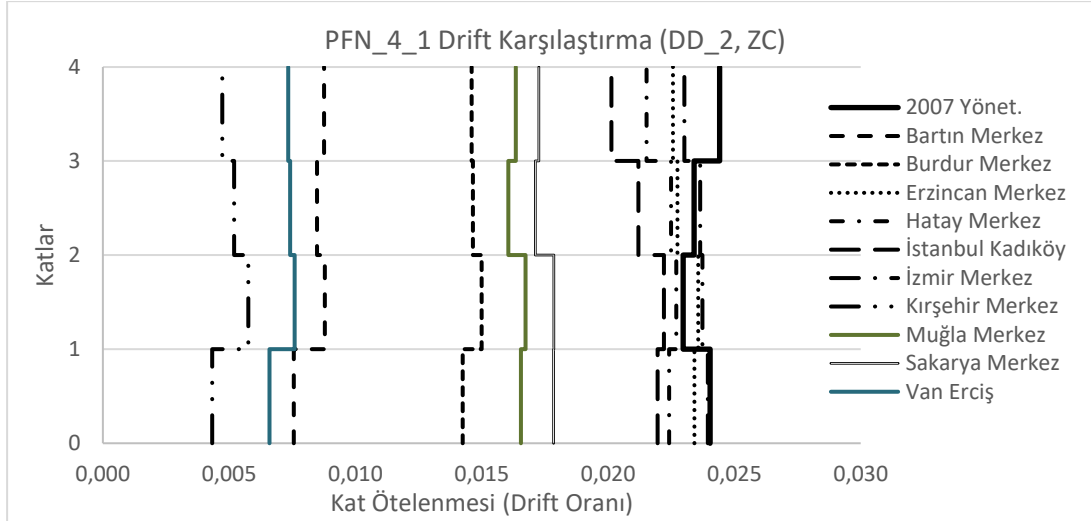


Şekil 6.44 : PFN_4_1 Modelinin 1. Derece deprem bölgesi DD-1 için kat ötelenmesi (drift) oranı değerlerinin deprem merkezlerine göre karşılaştırılması.

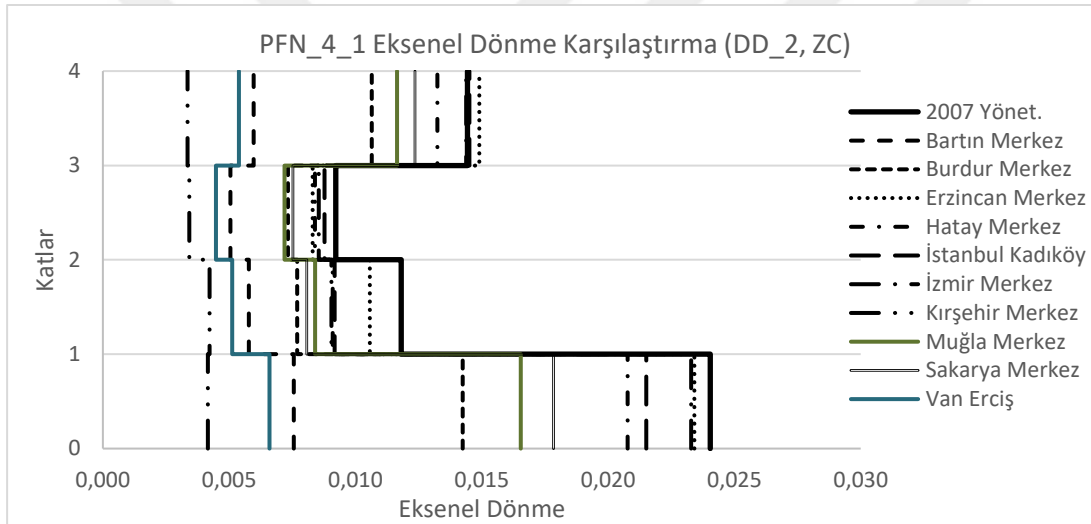


Şekil 6.45 : PFN_4_1 Modelinin 1. Derece deprem bölgesi DD-1 için eksenel dönme değerlerinin deprem merkezlerine göre karşılaştırılması.

PFN_4_1 modelinin 1. Derece deprem bölgesi merkezleri için deprem düzeyi 1 dikkate alınarak yapılan hesaplar sonucunda bulunan kat ötelenme oranları ile eksenel dönme miktarları sırasıyla Şekil 6.44 ve Şekil 6.45'de karşılaştırmalı olarak gösterilmiştir. Kat ötelenme oranları dikkate alındığında bütün merkezlerde hesaplanan değerlerin 2007 Yönetmelik değerlerinin altında kaldığı görülmüştür. Eksenel dönme miktarı, İzmir Merkez (%17.79) ve Erzincan Merkez'de (%16.13) daha fazladır, Kırşehir merkezde ise 2007 Yönetmeliği'ne göre kıyaslandığında %87.93 daha küçüktür. En üst katta eksenel dönme değerinin yüksek çıkmasının sebebi, rijitliği arttıran bir üst kat kolonun olmayışı ve kolonların narinliğidir.

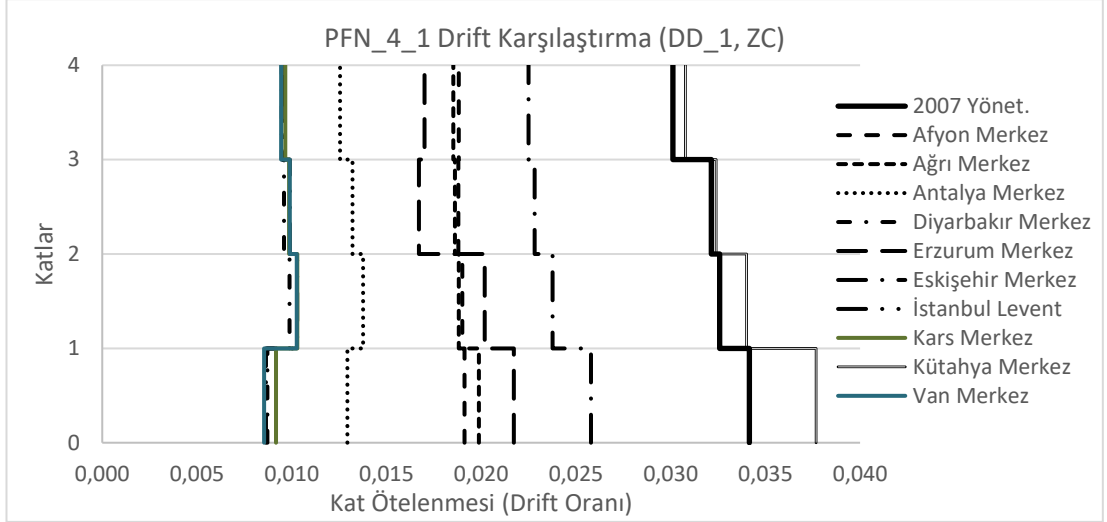


Şekil 6.46 : PFN_4_1 Modelinin 1. Derece deprem bölgesi DD-2 için kat ötelenmesi (drift) oranı değerlerinin deprem merkezlerine göre karşılaştırılması.

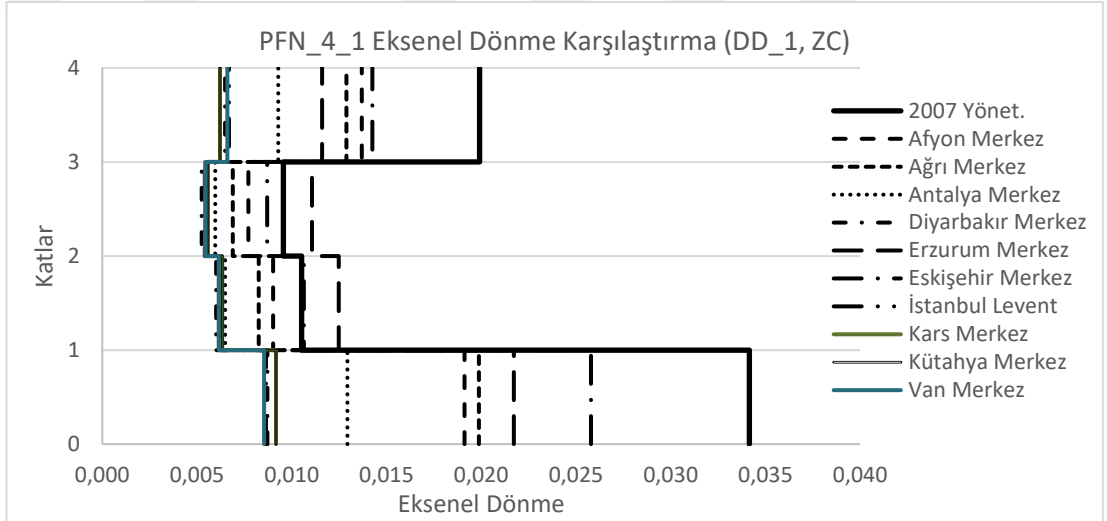


Şekil 6.47 : PFN_4_1 Modelinin 1. Derece deprem bölgesi DD-2 için eksenel dönme değerlerinin deprem merkezlerine göre karşılaştırılması.

PFN_4_1 modelinin 1. Derece deprem bölgesi merkezleri için deprem düzeyi 2 dikkate alınarak yapılan hesaplar sonucunda bulunan kat ötelenme oranları ile eksenel dönme miktarları sırasıyla Şekil 6.46 ve Şekil 6.47'de karşılaştırmalı olarak gösterilmiştir. Kat ötelenme oranları ve eksenel dönme miktarları dikkate alındığında bütün merkezlerde hesaplanan en büyük değerlerin 2007 Yönetmelik değerlerinin altında kaldığı görülmüştür. Kat ötelenme oranlarındaki 0.02 sınır değeri göz önünde bulundurulduğunda, bu yapının Sakarya, Muğla, Burdur, Bartın, Van Erciş ve Kırşehir'de inşaa edilmesi durumunda hasar görmeyeceği Şekil 6.46'dan anlaşılmaktadır.

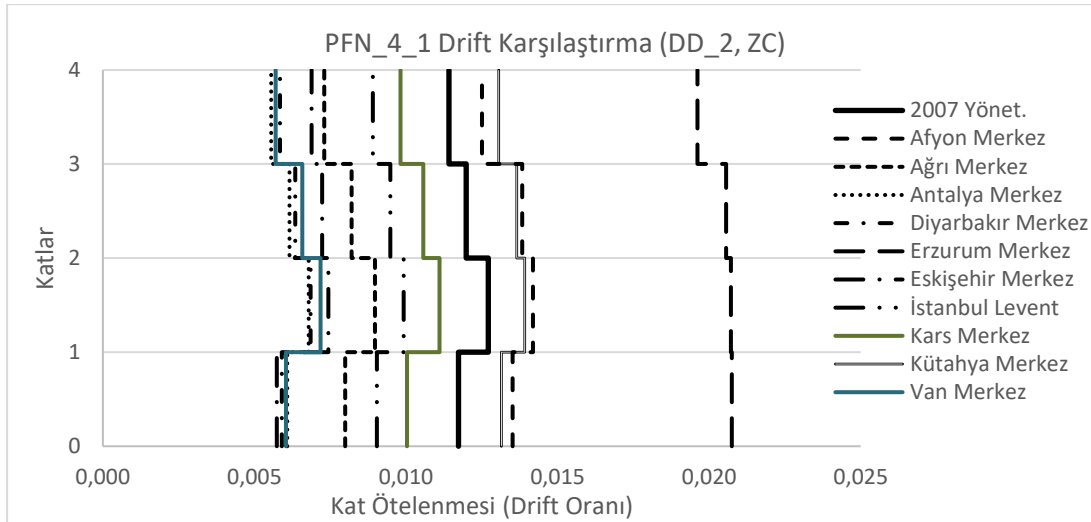


Şekil 6.48 : PFN_4_1 Modelinin 2. Derece deprem bölgesi DD-1 için kat ötelenmesi (drift) oranı değerlerinin deprem merkezlerine göre karşılaştırılması.

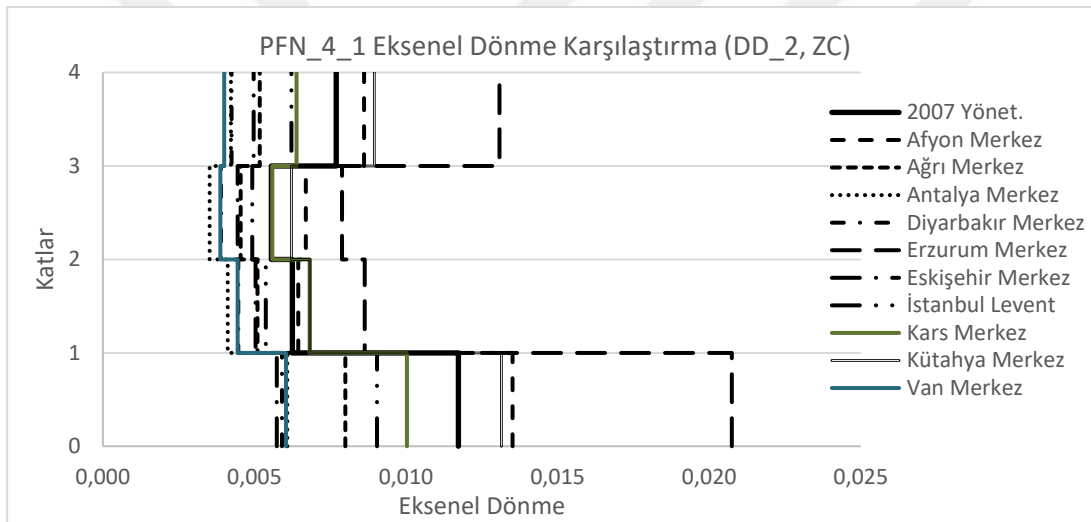


Şekil 6.49: PFN_4_1 Modelinin 2. Derece deprem bölgesi DD-1 için eksenel dönme değerlerinin deprem merkezlerine göre karşılaştırılması.

PFN_4_1 modelinin 2. Derece deprem bölgesi merkezleri için deprem düzeyi 1 dikkate alınarak yapılan hesaplar sonucunda bulunan kat ötelenme oranları ile eksenel dönme miktarları sırasıyla Şekil 6.48 ve Şekil 6.49'da karşılaştırmalı olarak gösterilmiştir. Kat ötelenme oranları dikkate alındığında sadece Kütahya dışında bütün merkezlerde hesaplanan değerlerin 2007 Yönetmelik değerlerinin altında kaldığı görülmüştür. Kütahya merkez'de ise hesaplanan değerler 2007 Yönetmelik değerlerinden %10.31 oranında daha fazladır. Eksenel dönme miktarında, ikinci katta Erzurum Merkez en büyük değeri almasına karşılık genel olarak 2007 Yönetmeliği'ne göre hesaplanan değerler en büyüktür. Van merkezde ise 2007 Yönetmeliği'ne göre kıyaslandığında %74.99 daha küçüktür.



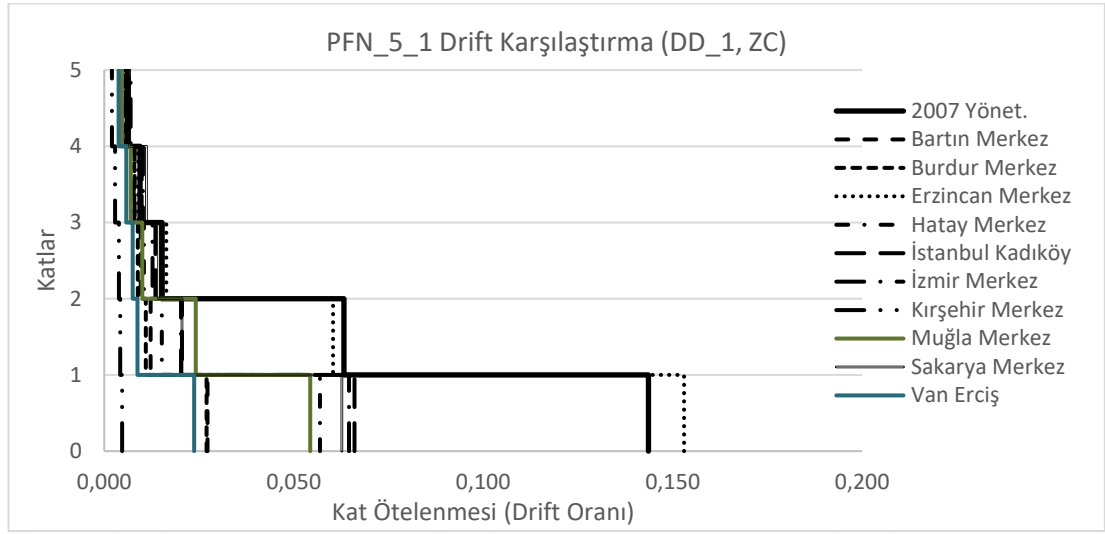
Şekil 6.50 : PFN_4_1 Modelinin 2. Derece deprem bölgesi DD-2 için kat ötelenmesi (drift) oranı değerlerinin deprem merkezlerine göre karşılaştırılması.



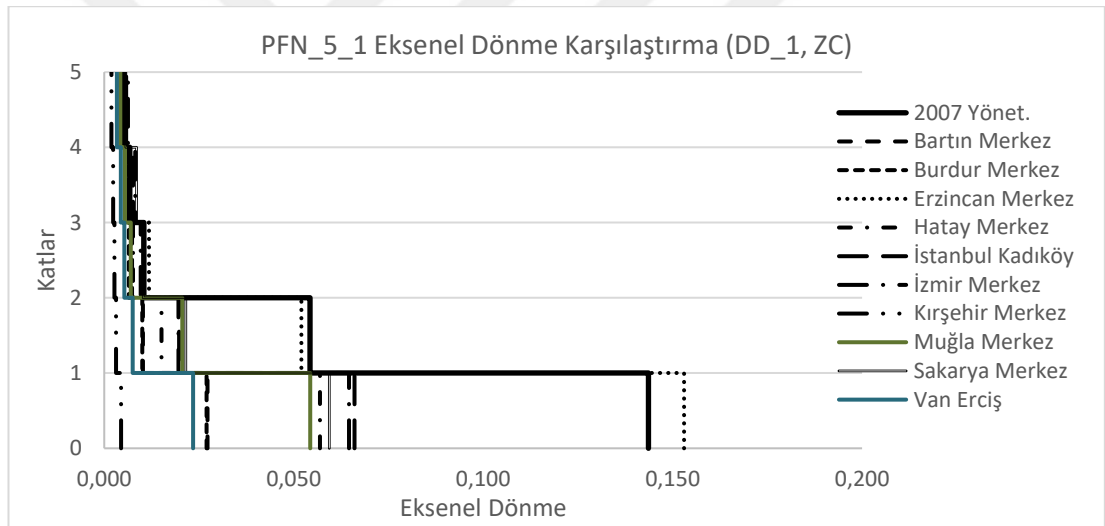
Şekil 6.51 : PFN_4_1 Modelinin 2. Derece deprem bölgesi DD-2 için eksenel dönme değerlerinin deprem merkezlerine göre karşılaştırılması.

PFN_4_1 modelinin 2. Derece deprem bölgesi merkezleri için deprem düzeyi 2 dikkate alınarak yapılan hesaplar sonucunda bulunan kat ötelenme oranları ile eksenel dönme miktarları sırasıyla Şekil 6.50 ve Şekil 6.51’de karşılaştırmalı olarak gösterilmiştir. Kat ötelenme oranları dikkate alındığında Erzurum, Afyon ve Kütahya Merkezleri 2007 Yönetmelik değerlerinin üzerindedir, diğer merkezler ise 2007 Yönetmelik değerlerinin altındadır, Erzurum %63.18, Afyon %11.58 oranında 2007 yönetmelik değerlerinden yüksek hesaplanmıştır. Eksenel dönme miktarında ise Erzurum, Afyon ve Kütahya 2007 Yönetmelik değerlerinin üstündedir, Erzurum merkezde hesaplanan en büyük eksenel dönme miktarı 2007 Yönetmeliği kullanılarak hesaplanan değerlerden %76.90 oranında büyüktür.

6.2.6 PFN_5_1 modelinin sonuçlarının karşılaştırılması

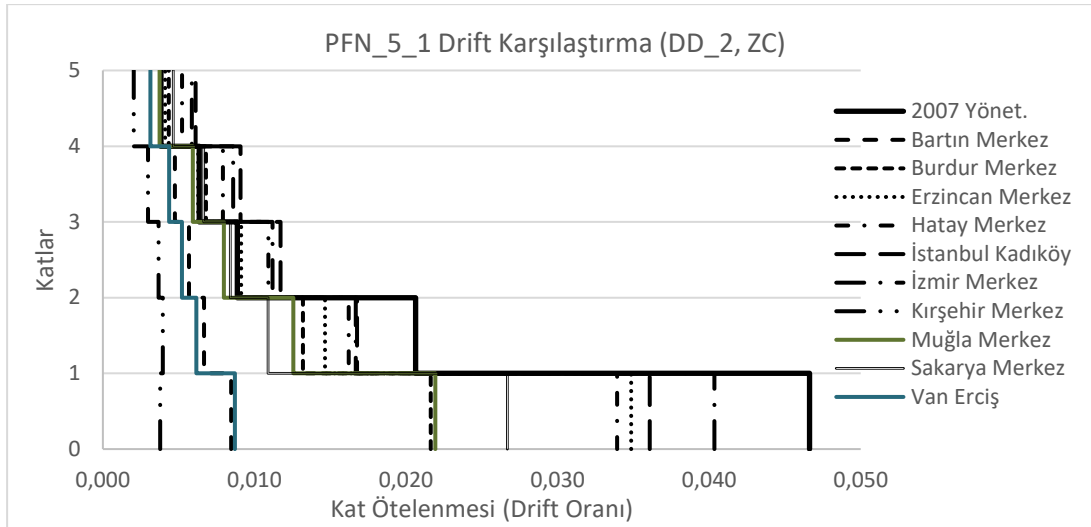


Şekil 6.52 : PFN_5_1 Modelinin 1. Derece deprem bölgesi DD-1 için kat ötelenmesi (drift) oranı değerlerinin deprem merkezlerine göre karşılaştırılması.

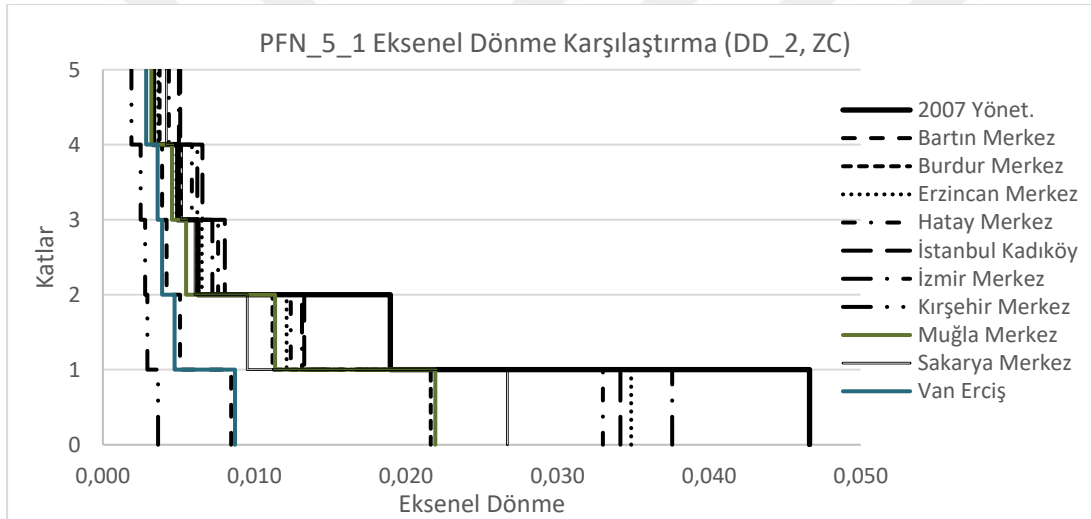


Şekil 6.53 : PFN_5_1 Modelinin 1. Derece deprem bölgesi DD-1 için eksenel dönme değerlerinin deprem merkezlerine göre karşılaştırılması.

PFN_5_1 modelinin 1. Derece deprem bölgesi merkezleri için deprem düzeyi 1 dikkate alınarak yapılan hesaplar sonucunda bulunan kat ötelenme oranları ile eksenel dönme miktarları sırasıyla Şekil 6.52 ve Şekil 6.53'de karşılaştırmalı olarak gösterilmiştir. Kat ötelenme oranları ve eksenel dönmelere bakıldığında Erzincan Merkez dışındakiler 2007 Yönetmelik değerlerinden küçüktür. Erzincan Merkez için ise %6,54 daha büyük kat ötelenme oranları ve eksenel dönmeler hesaplanmıştır. Kat ötelenme oranı limitinin %2 olduğu düşünüldüğünde yapı sadece Van Erciş ve Kırşehir'de hasar görmeyecektir.

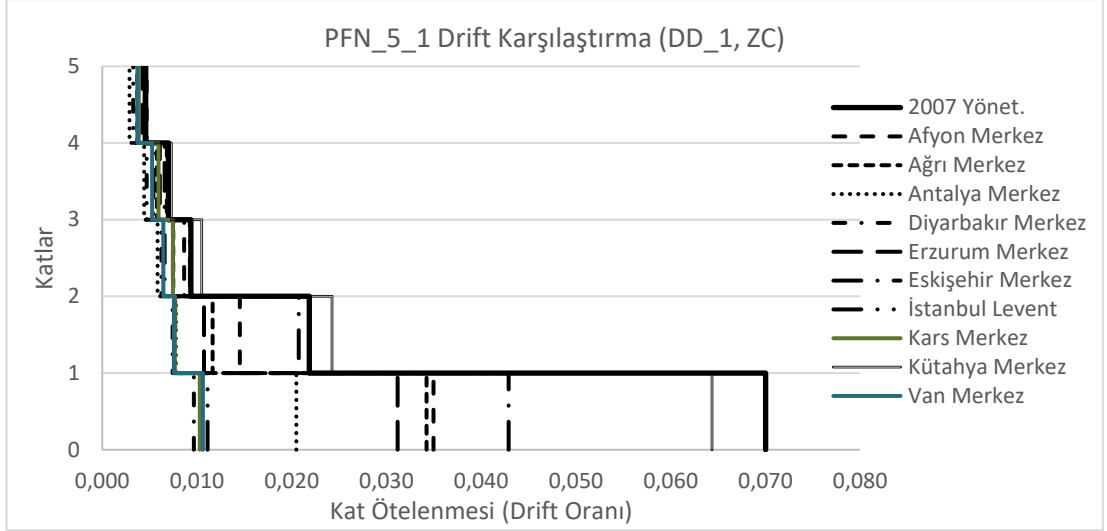


Şekil 6.54 : PFN_5_1 Modelinin 1. Derece deprem bölgesi DD-2 için kat ötelenmesi (drift) oranı değerlerinin deprem merkezlerine göre karşılaştırılması.

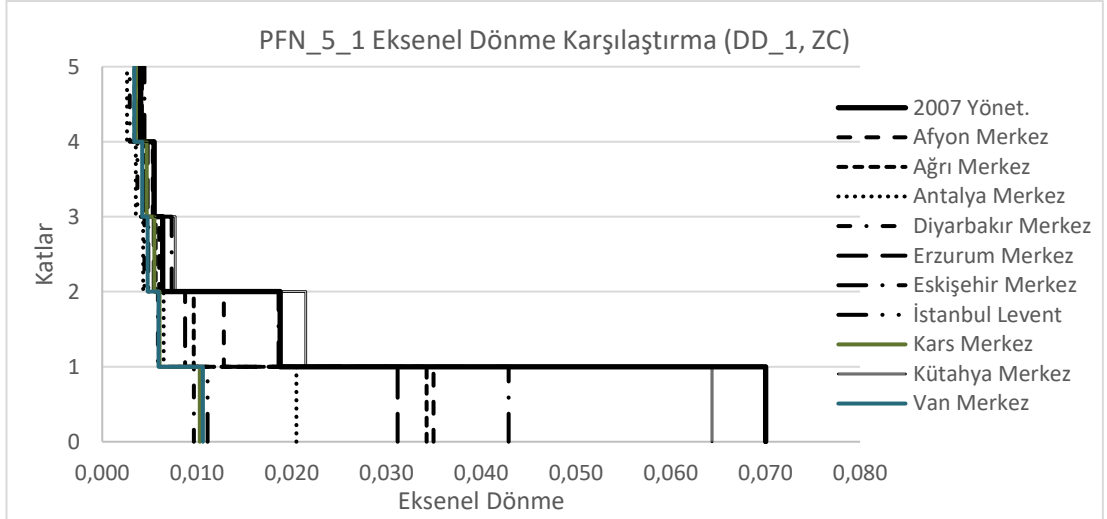


Şekil 6.55 : PFN_5_1 Modelinin 1. Derece deprem bölgesi DD-2 için eksenel dönme değerlerinin deprem merkezlerine göre karşılaştırılması.

PFN_5_1 modelinin 1. Derece deprem bölgesi merkezleri için deprem düzeyi 2 dikkate alınarak yapılan hesaplar sonucunda bulunan kat ötelenme oranları ile eksenel dönme miktarları sırasıyla Şekil 6.54 ve Şekil 6.55’de karşılaştırmalı olarak gösterilmiştir. Kat ötelenme oranları ve eksenel dönmelere bakıldığında deprem merkezlerinde hesaplanan değerler ilk iki katta 2007 Yönetmelik değerlerinden küçüktür. 2007 Yönetmeliği için hesaplanan en büyük değer ile Kırşehir merkez karşılaştırıldığında ise Kırşehir için hesaplanan değerlerin %91.52 oranında daha küçük olduğu görülmektedir. 2019 Yönetmeliği’ne göre tasarım spektrumları belirlenen Bartın, Van Erciş ve Kırşehir’de bu yapı zarar görmemektedir (kat öteleme oranında ki 0.02 sınır değerine göre).

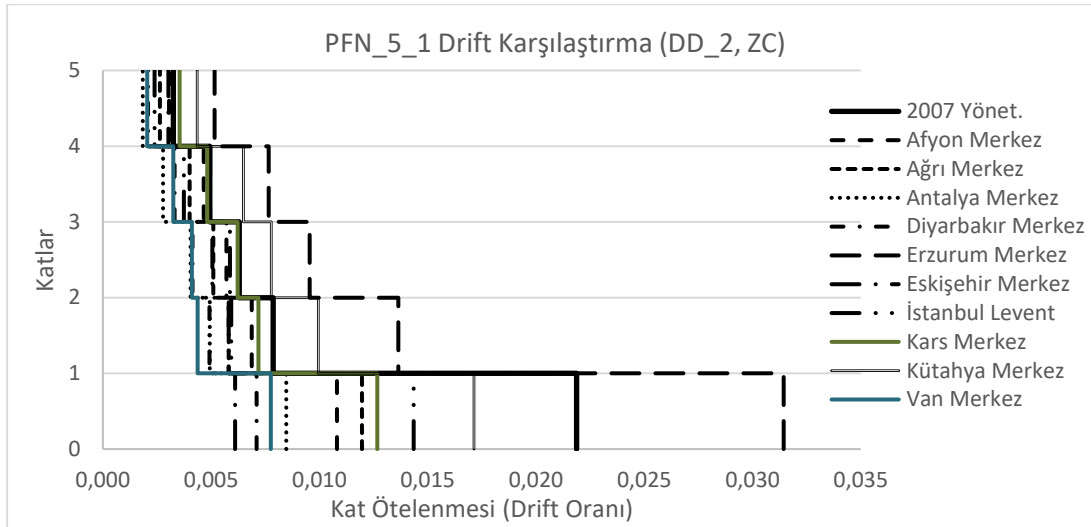


Şekil 6.56: PFN_5_1 Modelinin 2. Derece deprem bölgesi DD-1 için kat ötelenmesi (drift) oranı değerlerinin deprem merkezlerine göre karşılaştırılması.

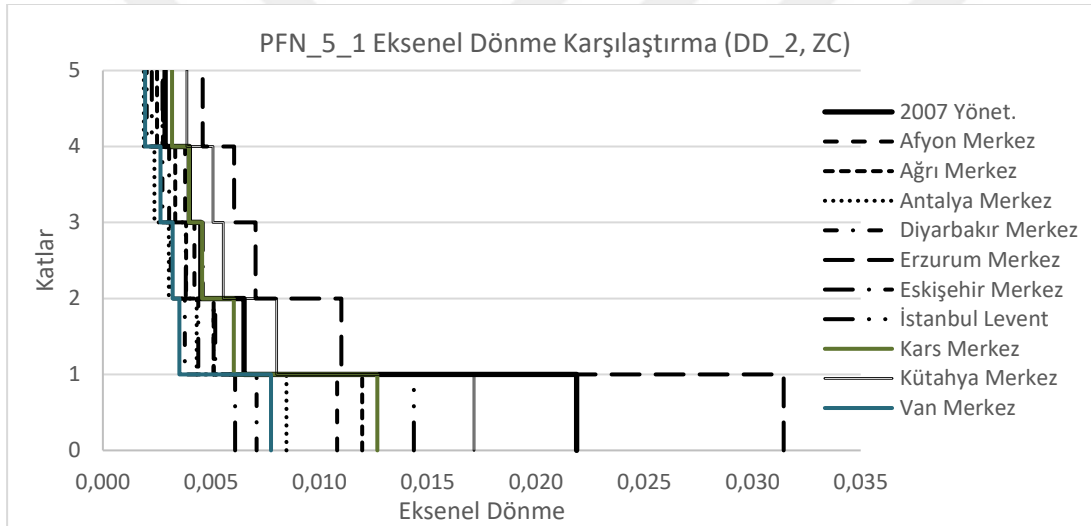


Şekil 6.57 : PFN_5_1 Modelinin 2. Derece deprem bölgesi DD-1 için eksenel dönme değerlerinin deprem merkezlerine göre karşılaştırılması.

PFN_5_1 modelinin 2. Derece deprem bölgesi merkezleri için deprem düzeyi 1 dikkate alınarak yapılan hesaplar sonucunda bulunan kat ötelenme oranları ile eksenel dönme miktarları sırasıyla Şekil 6.56 ve Şekil 6.57'de karşılaştırmalı olarak gösterilmiştir. Kat ötelenme oranları ve eksenel dönmelere bakıldığında bütün Merkezler 2007 Yönetmelik değerlerinden küçüktür. Diyarbakır Merkez için ise 2007 Yönetmelik değerlerinden %86.19 daha küçük kat ötelenme oranları ve eksenel dönmeler hesaplanmıştır. Kat ötelenme oranı limitinin 0.02 olduğu düşünüldüğünde yapı sadece Antalya, İstanbul Levent, Van ve Diyarbakır'da hasar görmeyecektir.



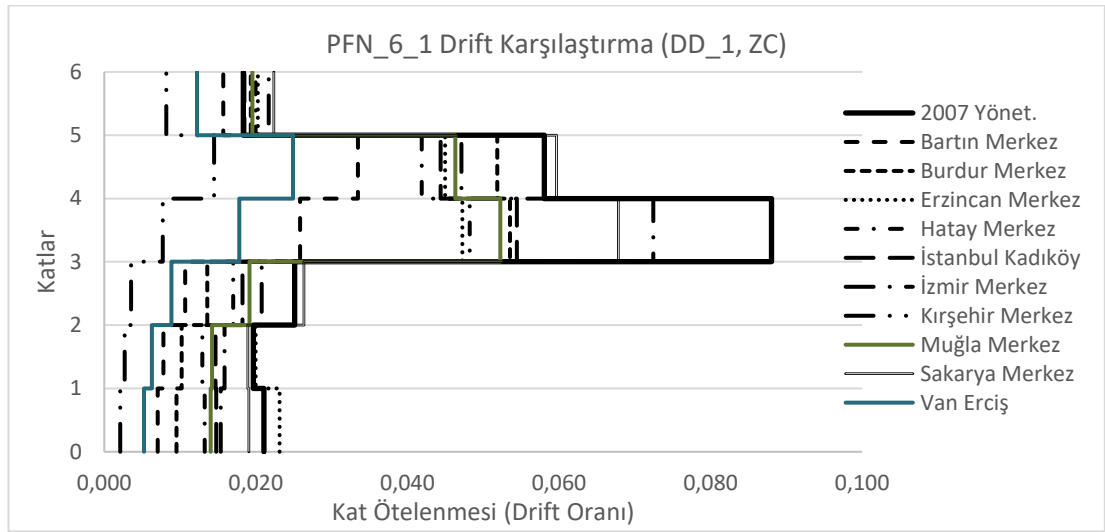
Şekil 6.58 : PFN_5_1 Modelinin 2. Derece deprem bölgesi DD-2 için kat ötelenmesi (drift) oranı değerlerinin deprem merkezlerine göre karşılaştırılması.



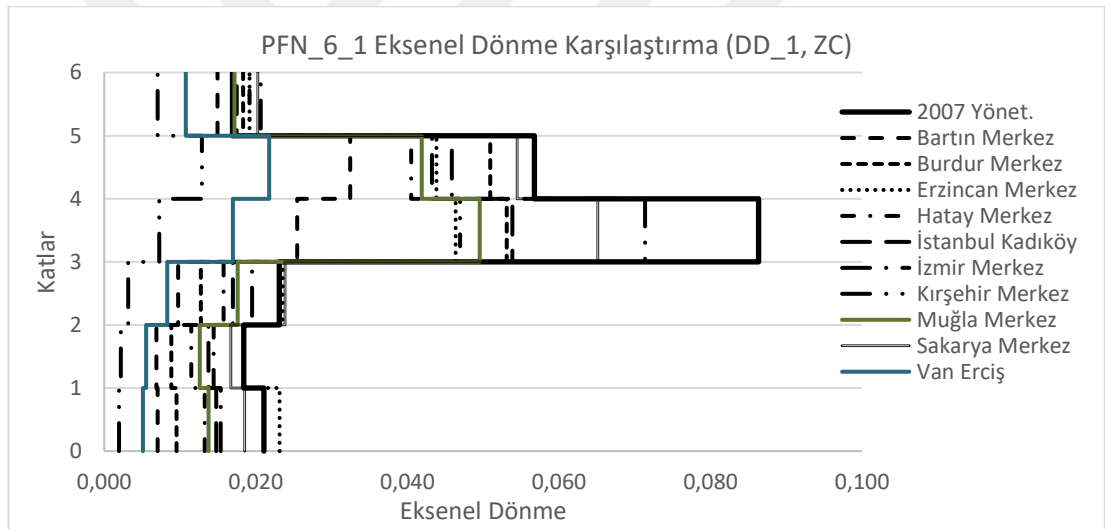
Şekil 6.59 : PFN_5_1 Modelinin 2. Derece deprem bölgesi DD-2 için eksenel dönme değerlerinin deprem merkezlerine göre karşılaştırılması.

PFN_5_1 modelinin 2. Derece deprem bölgesi merkezleri için deprem düzeyi 2 dikkate alınarak yapılan hesaplar sonucunda bulunan kat ötelenme oranları ile eksenel dönme miktarları sırasıyla Şekil 6.58 ve Şekil 6.59'da karşılaştırmalı olarak gösterilmiştir. Kat ötelenme oranları dikkate alındığında sadece Erzurum dışında bütün merkezlerde hesaplanan değerlerin 2007 Yönetmelik değerlerinin altında kaldığı görülmüştür. Erzurum merkez'de ise hesaplanan değerler 2007 Yönetmelik değerlerinden %43.71 oranında daha fazladır. Eksenel dönme miktarında da sadece Erzurum dışında bütün merkezlerde hesaplanan değerlerin 2007 Yönetmelik değerlerinin altında kaldığı görülmüştür. Eskişehir merkezde ise 2007 Yönetmeliği'ne göre kıyaslandığında %72.09 daha küçüktür.

6.2.7 PFN_6_1 modelinin sonuçlarının karşılaştırılması

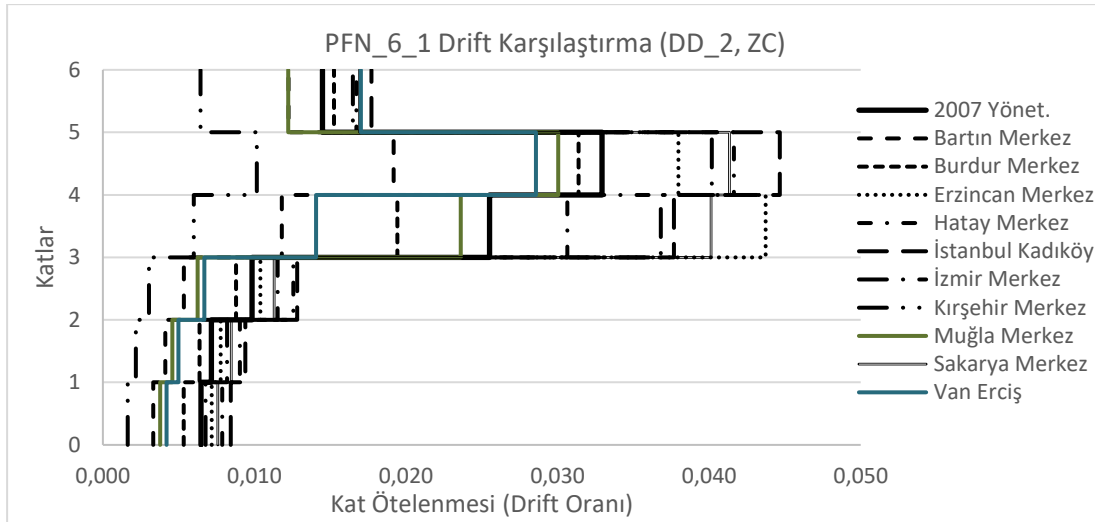


Şekil 6.60 : PFN_6_1 Modelinin 1. Derece deprem bölgesi DD-1 için kat ötelenmesi (drift) oranı değerlerinin deprem merkezlerine göre karşılaştırılması.

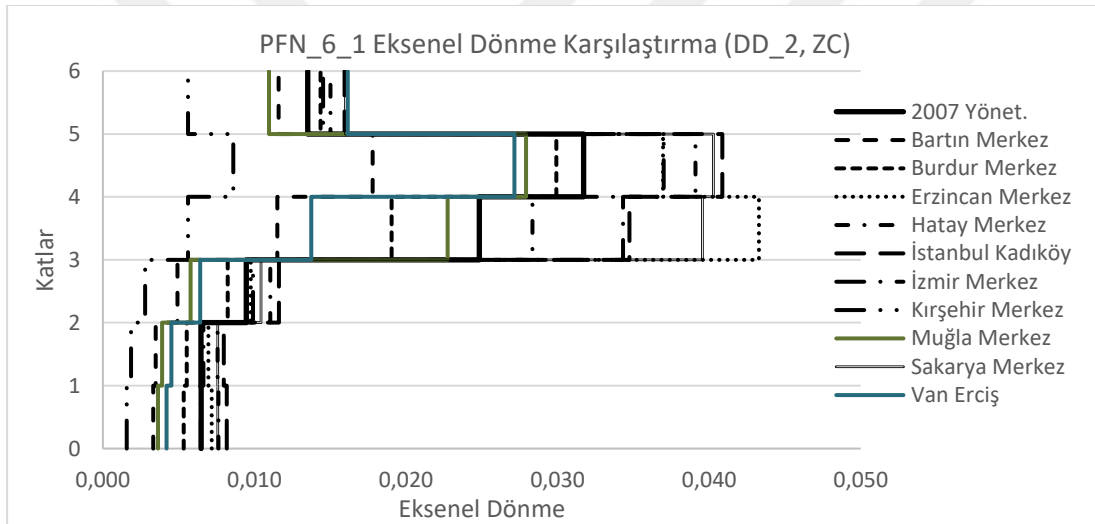


Şekil 6.61 : PFN_6_1 Modelinin 1. Derece deprem bölgesi DD-1 için eksenel dönme değerlerinin deprem merkezlerine göre karşılaştırılması.

PFN_6_1 modelinin 1. Derece deprem bölgesi merkezleri için deprem düzeyi 1 dikkate alınarak yapılan hesaplar sonucunda bulunan kat ötelenme oranları ile eksenel dönme miktarları sırasıyla Şekil 6.60 ve Şekil 6.61'de karşılaştırmalı olarak gösterilmiştir. 4. Katta oluşan yumuşak kat nedeniyle Kırşehir ve Van Erciş dışındaki bölgelerde yapı hasar görmüştür. 2007 Yönetmeliği için hesaplanan değerler nispeten diğer bölgeler için hesaplanan eksenel dönme ve kat ötelenme oranlarından büyüktür. 4. katta hesaplanan eksenel dönme ve kat ötelenme oranındaki ani artış, bu kattaki kolon kesitlerinin ve donatı oranlarının düşmesinden kaynaklanmaktadır.

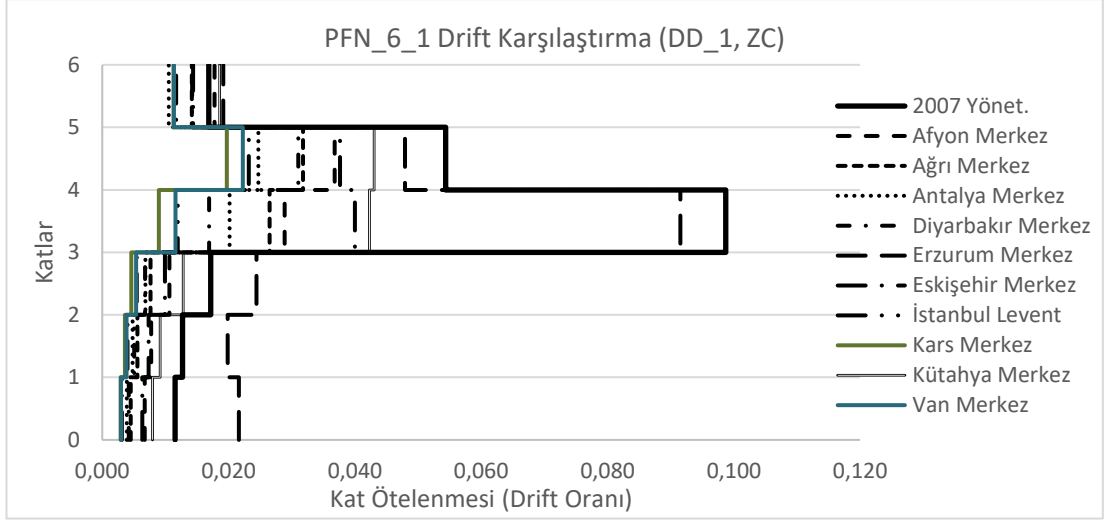


Şekil 6.62 : PFN_6_1 Modelinin 1. Derece deprem bölgesi DD-2 için kat ötelenmesi (drift) oranı değerlerinin deprem merkezlerine göre karşılaştırılması.

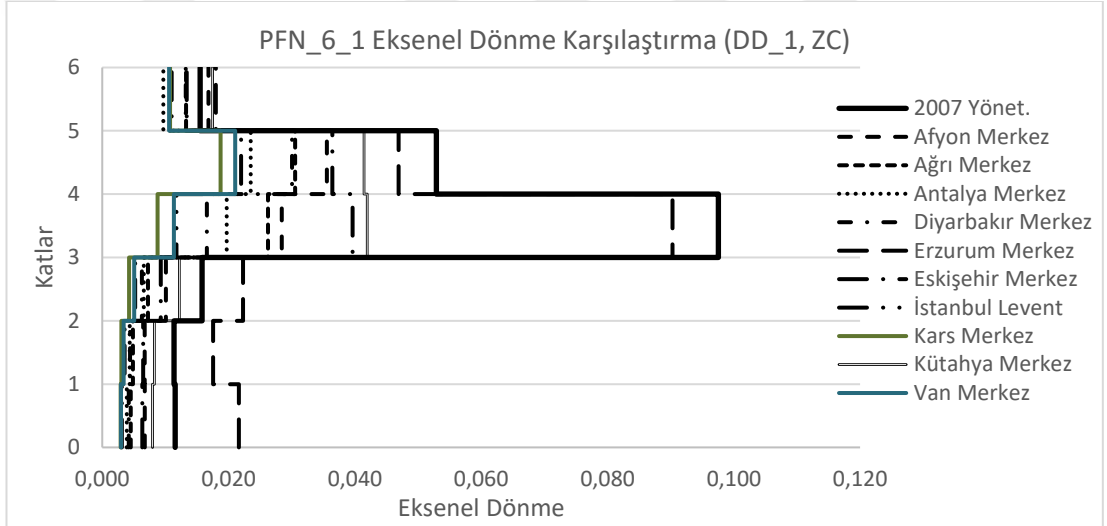


Şekil 6.63 : PFN_6_1 Modelinin 1. Derece deprem bölgesi DD-2 için eksenel dönme değerlerinin deprem merkezlerine göre karşılaştırılması.

PFN_6_1 modelinin 1. Derece deprem bölgesi merkezleri için deprem düzeyi 2 dikkate alınarak yapılan hesaplar sonucunda bulunan kat ötelenme oranları ile eksenel dönme miktarları sırasıyla Şekil 6.62 ve Şekil 6.63'de karşılaştırmalı olarak gösterilmiştir. 4. Katta oluşan yumuşak kat nedeniyle Kırşehir ve Bartın dışındaki bölgelerde yapı hasar görmüştür. Kat ötelenme oranları dikkate alındığında, en büyük değer İstanbul Kadıköy'de (2007 Yönetmelik değerlerine göre değişimi %35.62), en küçük değer ise Kırşehir'dedir (2007 yönetmelik değerlerine göre değişimi %-69.16). Eksenel dönmeler dikkate alındığında ise, en büyük değer Erzincan'da (2007 yönetmelik değerlerine göre değişimi %36.47), en küçük değer ise Kırşehir'dedir (2007 yönetmelik değerlerine göre değişimi %-72.87).

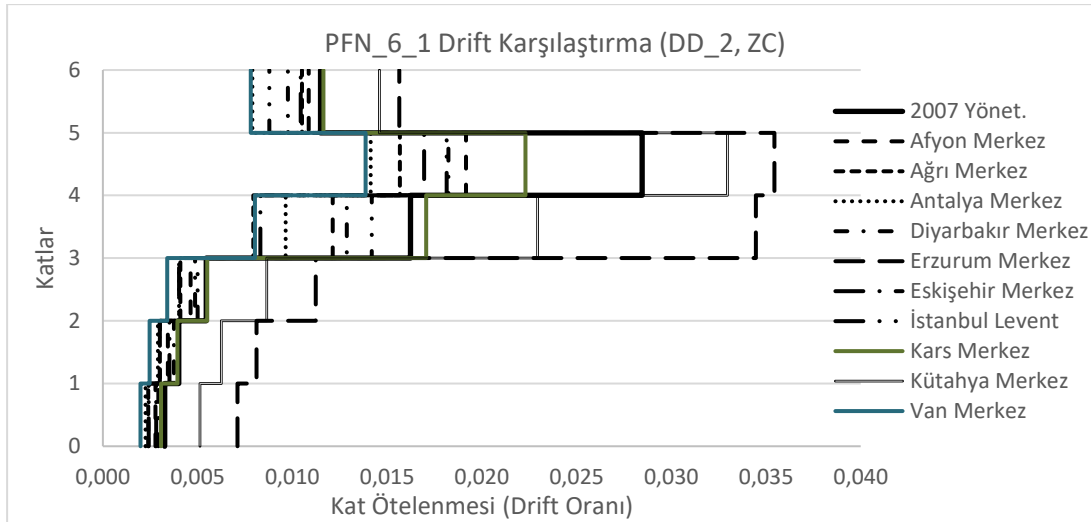


Şekil 6.64 : PFN_6_1 Modelinin 2. Derece deprem bölgesi DD-1 için kat ötelenmesi (drift) oranı değerlerinin deprem merkezlerine göre karşılaştırılması.

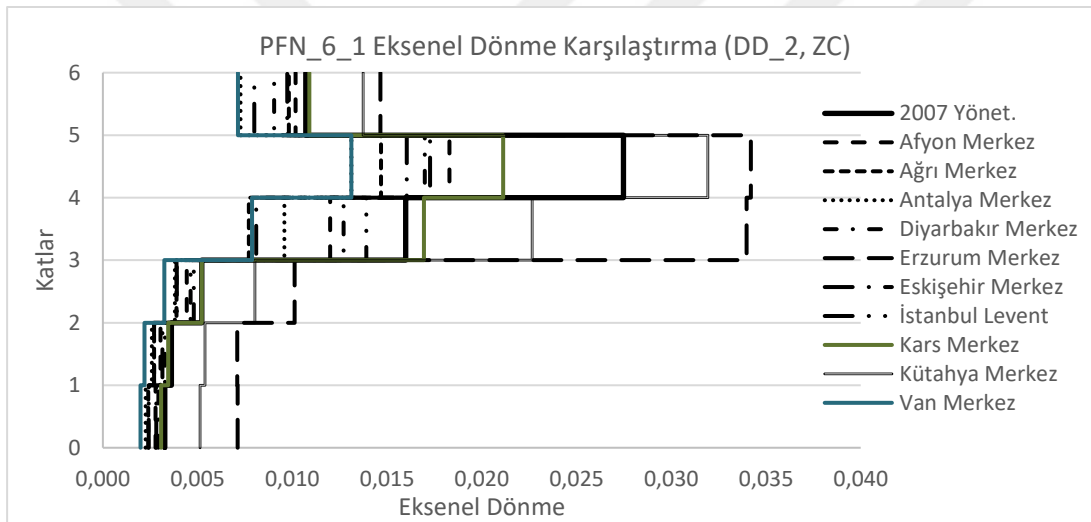


Şekil 6.65 : PFN_6_1 Modelinin 2. Derece deprem bölgesi DD-1 için eksenel dönme değerlerinin deprem merkezlerine göre karşılaştırılması.

PFN_6_1 modelinin 2. Derece deprem bölgesi merkezleri için deprem düzeyi 1 dikkate alınarak yapılan hesaplar sonucunda bulunan kat ötelenme oranları ile eksenel dönme miktarları sırasıyla Şekil 6.64 ve Şekil 6.65’de karşılaştırmalı olarak gösterilmiştir. Kat ötelenme oranlarının en büyükleri dikkate alındığında, 2007 Yönetmeliği için hesaplanan değerler diğer bölgelerden daha fazladır, en küçük değer ise Kars Merkez’dedir (2007 Yönetmelik değerlerine göre değişimi %-80.02). Eksenel dönmelerin en büyük değerleri dikkate alındığında ise, 2007 Yönetmeliği için hesaplanan değerler diğer bölgelerden daha fazladır, en küçük değer ise Kars’dadır (2007 Yönetmelik değerlerine göre değişimi %-80.79).



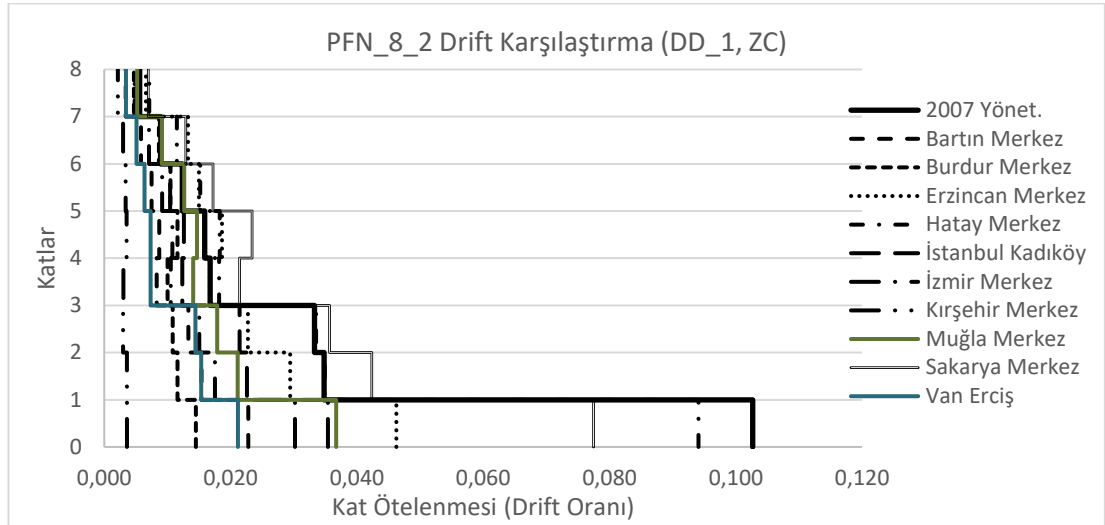
Şekil 6.66 : PFN_6_1 Modelinin 2. Derece deprem bölgesi DD-2 için kat ötelenmesi (drift) oranı değerlerinin deprem merkezlerine göre karşılaştırılması.



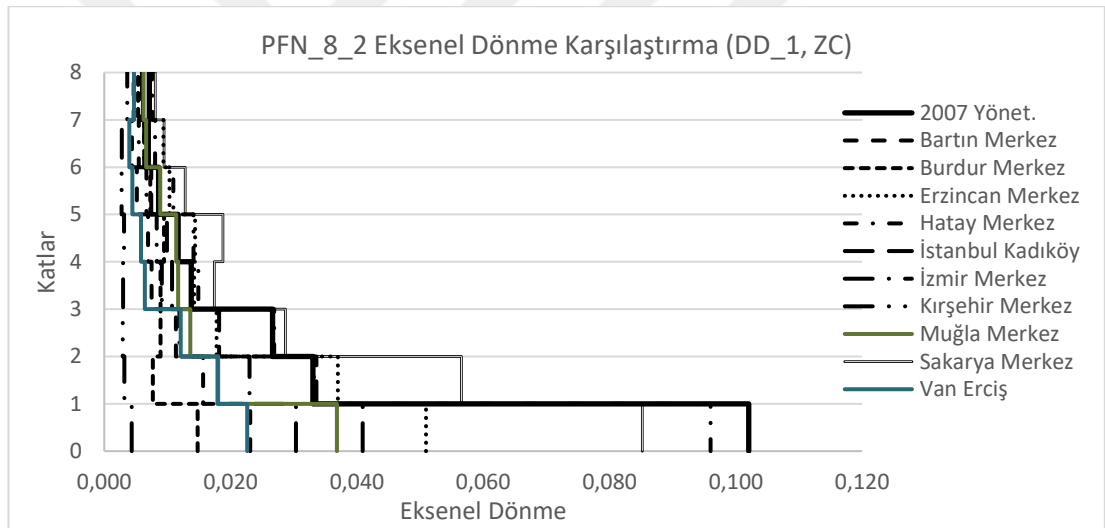
Şekil 6.67 : PFN_6_1 Modelinin 2. Derece deprem bölgesi DD-2 için eksenel dönme değerlerinin deprem merkezlerine göre karşılaştırılması.

PFN_6_1 modelinin 2. Derece deprem bölgesi merkezleri için deprem düzeyi 2 dikkate alınarak yapılan hesaplar sonucunda bulunan kat ötelenme oranları ile eksenel dönme miktarları sırasıyla Şekil 6.66 ve Şekil 6.67’de karşılaştırmalı olarak gösterilmiştir. 4. Katta oluşan yumuşak kat nedeniyle Kars, Kütahya ve Erzurum’da yapı hasar görmüştür. Kat ötelenme oranları dikkate alındığında, en büyük değer Erzurum Merkez’de (2007 Yönetmelik değerlerine göre değişimi %24.53), en küçük değer ise Van Merkez’dedir (2007 Yönetmelik değerlerine göre değişimi %-51.28). Eksenel dönmeler dikkate alındığında ise, en büyük değer Erzurum’da (2007 Yönetmelik değerlerine göre değişimi %24.47), en küçük değer ise Van Merkez’dedir (2007 Yönetmelik değerlerine göre değişimi %-52.27).

6.2.8 PFN_8_2 modelinin sonuçlarının karşılaştırılması

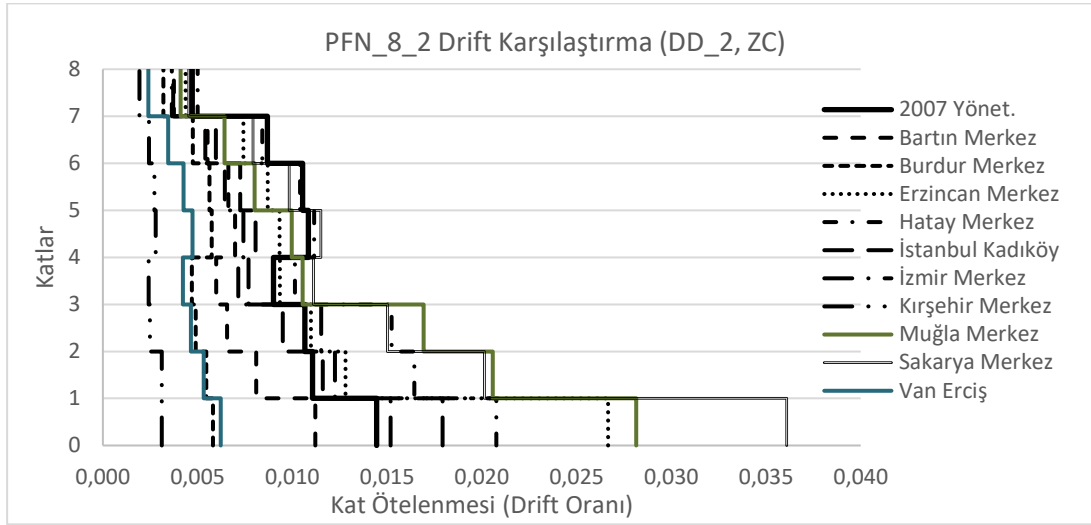


Şekil 6.68 : PFN_8_2 Modelinin 1. Derece deprem bölgesi DD-1 için kat ötelenmesi (drift) oranı değerlerinin deprem merkezlerine göre karşılaştırılması.

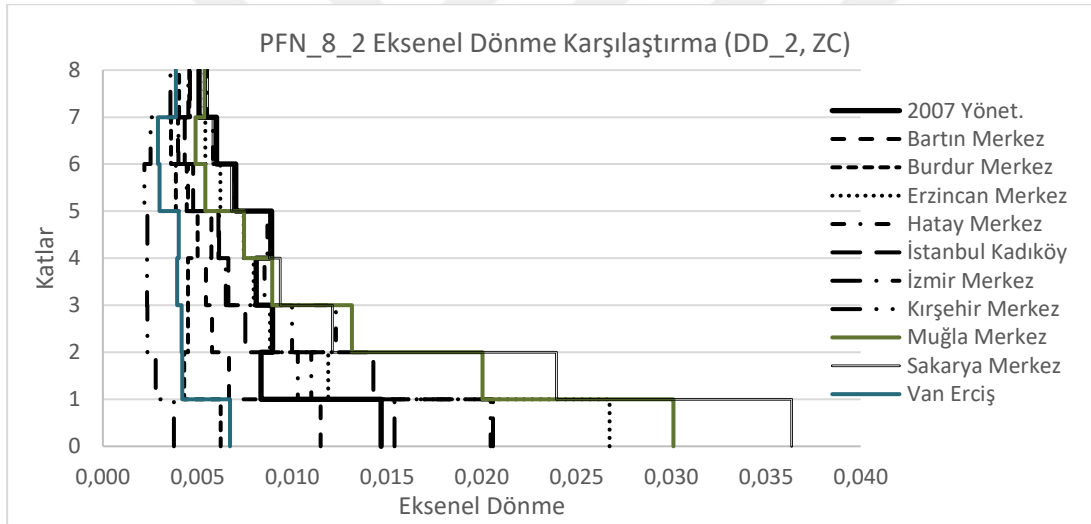


Şekil 6.69 : PFN_8_2 Modelinin 1. Derece deprem bölgesi DD-1 için eksenel dönme değerlerinin deprem merkezlerine göre karşılaştırılması.

PFN_8_2 modelinin 1. Derece deprem bölgesi merkezleri için deprem düzeyi 1 dikkate alınarak yapılan hesaplar sonucunda bulunan kat ötelenme oranları ile eksenel dönme miktarları sırasıyla Şekil 6.68 ve Şekil 6.69'da karşılaştırmalı olarak gösterilmiştir. Kat ötelenme oranları ve eksenel dönmeler beraber dikkate alındığında en alt katta 2007 Yönetmeliği için hesaplanan değerlerin en büyük olduğu ve üst katlarda ise sadece Sakarya Merkezinde ki değerlerin 2007 Yönetmeliği'nin üzerine çıktığı görülmektedir. Kat ötelenme oranına göre ise bu bina Bartın, Van Erciş, Burdur ve Kırşehirde zarar görmemiştir.

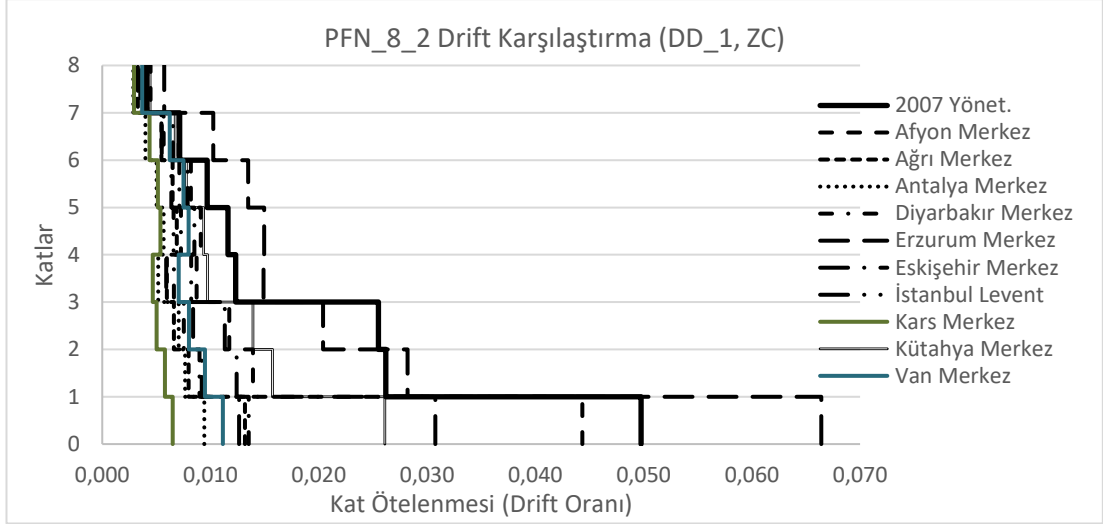


Şekil 6.70 : PFN_8_2 Modelinin 1. Derece deprem bölgesi DD-2 için kat ötelenmesi (drift) oranı değerlerinin deprem merkezlerine göre karşılaştırılması.

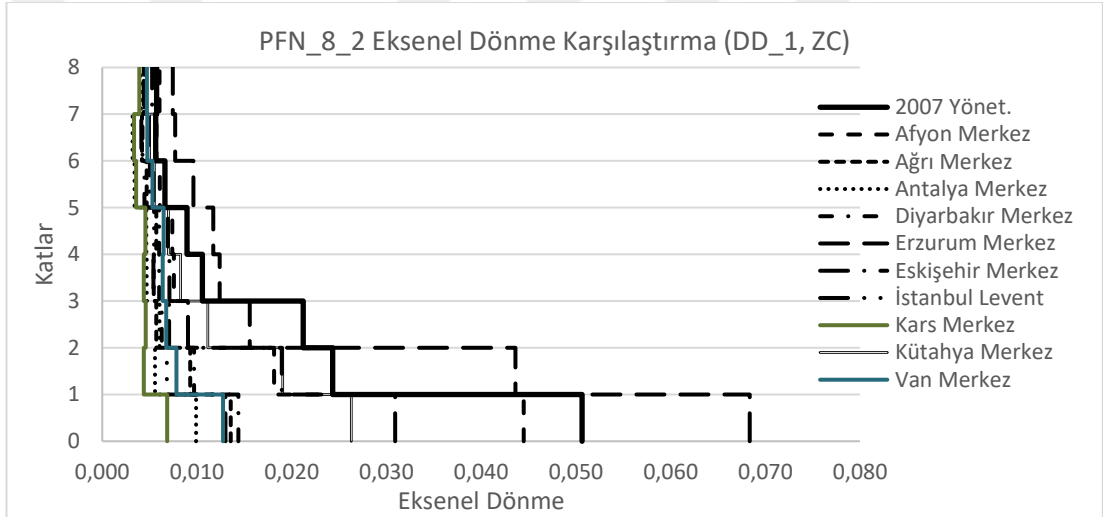


Şekil 6.71 : PFN_8_2 Modelinin 1. Derece deprem bölgesi DD-2 için eksenel dönme değerlerinin deprem merkezlerine göre karşılaştırılması.

PFN_8_2 modelinin 1. Derece deprem bölgesi merkezleri için deprem düzeyi 2 dikkate alınarak yapılan hesaplar sonucunda bulunan kat ötelenme oranları ile eksenel dönme miktarları sırasıyla Şekil 6.70 ve Şekil 6.71'de karşılaştırmalı olarak gösterilmiştir. Kat ötelenme oranları ve eksenel dönmeler beraber dikkate alındığında ilk üç katta Sakarya, Muğla, Erzincan, İstanbul Kadıköy, Hatay ve İzmir'de 2007 Yönetmeliği için hesaplanan değerlerden daha büyük olduğu görülmektedir. Kat ötelenme oranına göre ise bu bina Sakarya, Muğla ve Erzincan'da zarar görmüştür.

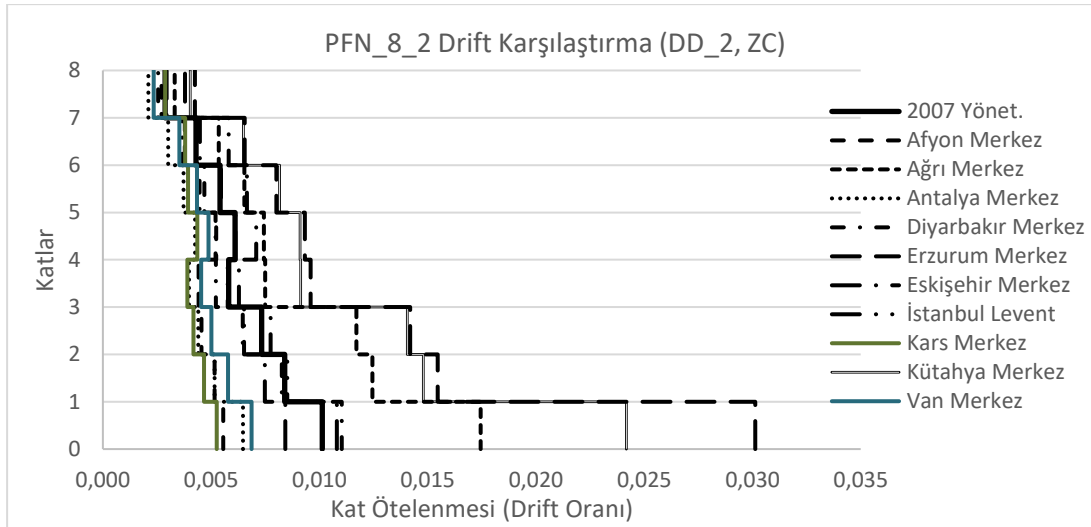


Şekil 6.72 : PFN_8_2 Modelinin 2. Derece deprem bölgesi DD-1 için kat ötelenmesi (drift) oranı değerlerinin deprem merkezlerine göre karşılaştırılması.

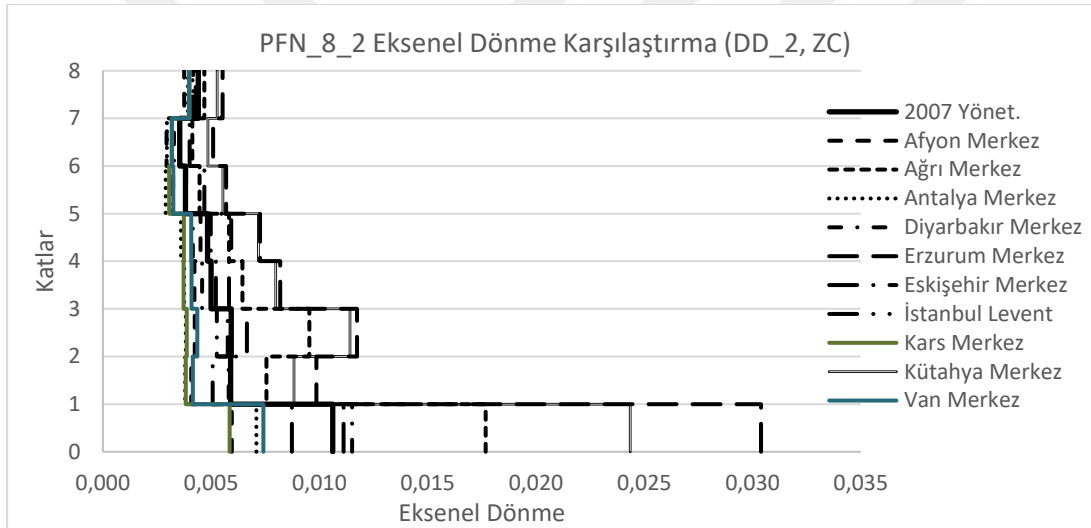


Şekil 6.73 : PFN_8_2 Modelinin 2. Derece deprem bölgesi DD-1 için eksenel dönme değerlerinin deprem merkezlerine göre karşılaştırılması.

PFN_8_2 modelinin 2. Derece deprem bölgesi merkezleri için deprem düzeyi 1 dikkate alınarak yapılan hesaplar sonucunda bulunan kat ötelenme oranları ile eksenel dönme miktarları sırasıyla Şekil 6.72 ve Şekil 6.73'de karşılaştırmalı olarak gösterilmiştir. Kat ötelenme oranları dikkate alındığında, en büyük değer Erzurum Merkez'de (2007 Yönetmelik değerlerine göre değişimi %33.45), en küçük değer ise Kars Merkez'dedir (2007 Yönetmelik değerlerine göre değişimi %-86.92). Eksenel dönmeler dikkate alındığında ise, en büyük değer Erzurum'da (2007 Yönetmelik değerlerine göre değişimi %34.94), en küçük değer ise Kars Merkez'dedir (2007 Yönetmelik değerlerine göre değişimi %-86.47).



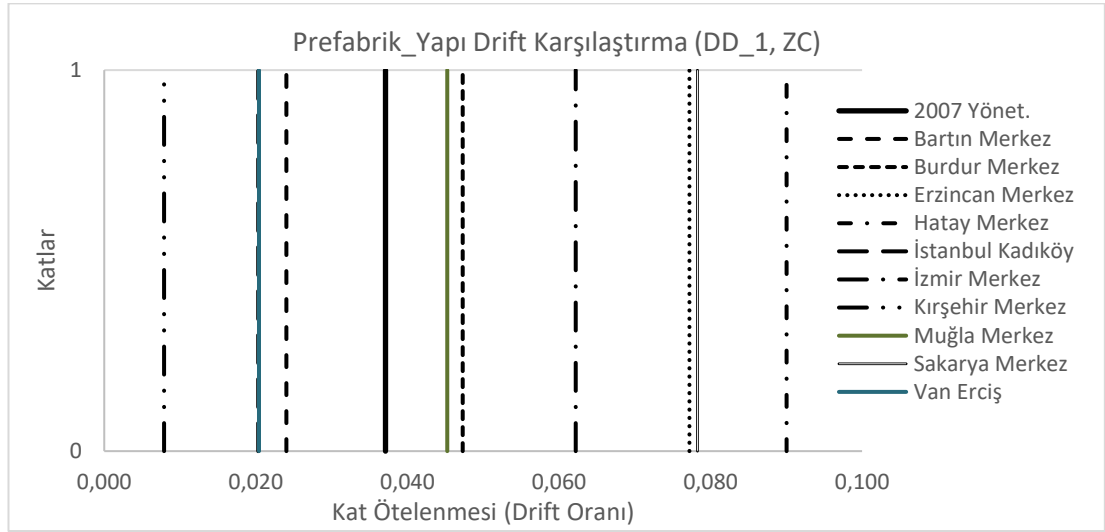
Şekil 6.74 : PFN_8_2 Modelinin 2. Derece deprem bölgesi DD-2 için kat ötelenmesi (drift) oranı değerlerinin deprem merkezlerine göre karşılaştırılması.



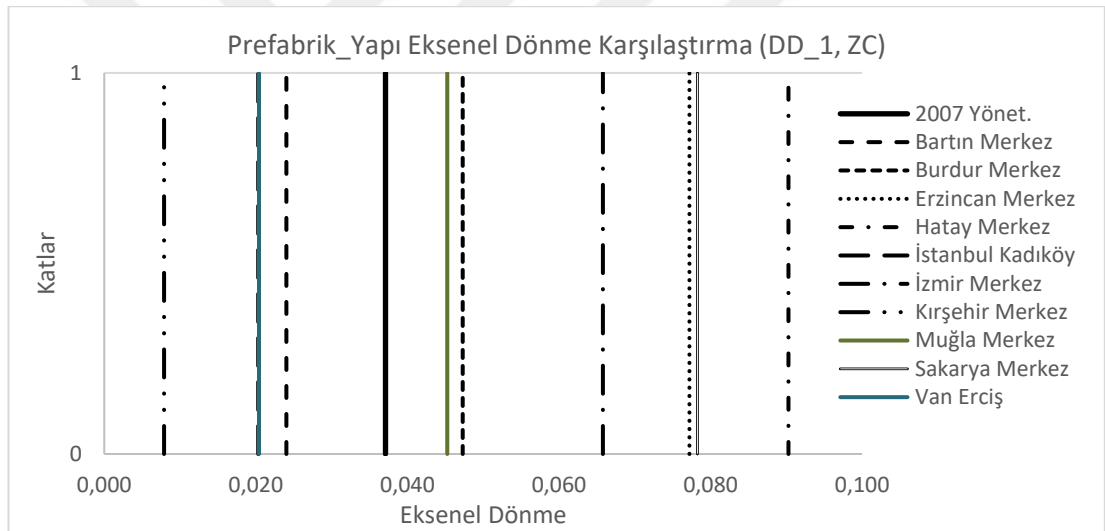
Şekil 6.75 : PFN_8_2 Modelinin 2. Derece deprem bölgesi DD-2 için eksenel dönme değerlerinin deprem merkezlerine göre karşılaştırılması.

PFN_8_2 modelinin 2. Derece deprem bölgesi merkezleri için deprem düzeyi 2 dikkate alınarak yapılan hesaplar sonucunda bulunan kat ötelenme oranları ile eksenel dönme miktarları sırasıyla Şekil 6.74 ve Şekil 6.75’de karşılaştırmalı olarak gösterilmiştir. Kat ötelenme oranları dikkate alındığında, en büyük değer Erzurum Merkez’de (2007 Yönetmelik değerlerine göre değişimi %197.35), en küçük değer ise Kars Merkez’dedir (2007 yönetmelik değerlerine göre değişimi %-48.10). Eksenel dönmeler dikkate alındığında ise, en büyük değer Erzurum’da (2007 Yönetmelik değerlerine göre değişimi %186.34), en küçük değer ise Kars Merkez’dedir (2007 Yönetmelik değerlerine göre değişimi %-44.86).

6.2.9 Prefabrik_Yapı modelinin sonuçlarının karşılaştırılması

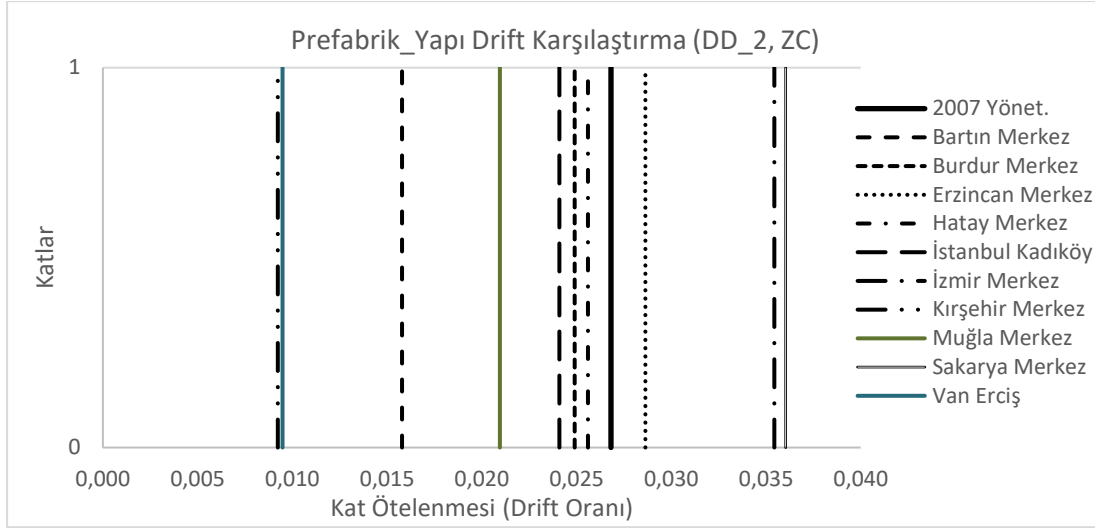


Şekil 6.76 : Prefabrik_Yapı Modelinin 1. Derece deprem bölgesi DD-1 için kat ötelenmesi (drift) oranı değerlerinin deprem merkezlerine göre karşılaştırılması.

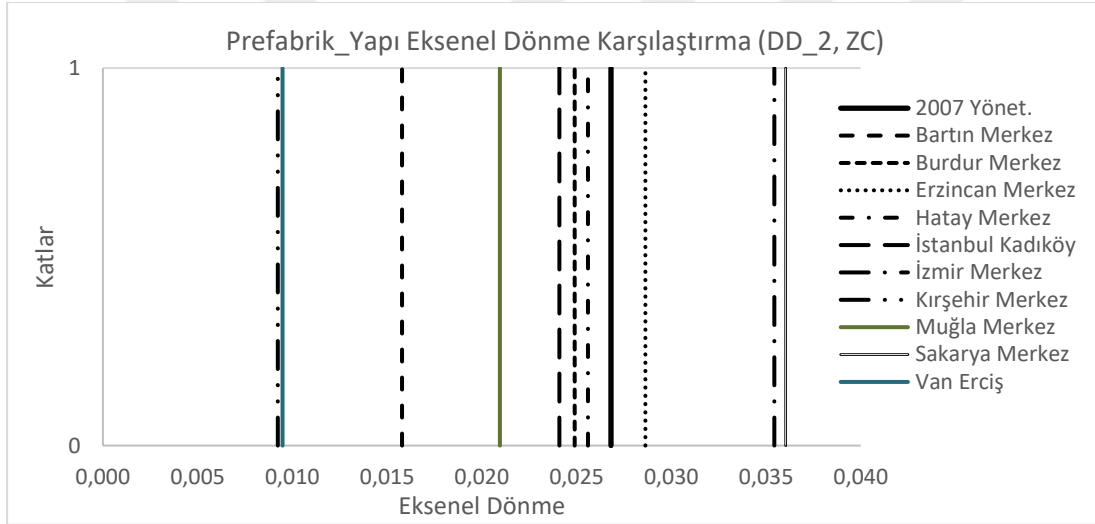


Şekil 6.77 : Prefabrik_Yapı Modelinin 1. Derece deprem bölgesi DD-1 için eksenel dönme değerlerinin deprem merkezlerine göre karşılaştırılması.

Prefabrik_Yapı modelinin 1. Derece deprem bölgesi merkezleri için deprem düzeyi 1 dikkate alınarak yapılan hesaplar sonucunda bulunan kat ötelenme oranları ile eksenel dönme miktarları sırasıyla Şekil 6.76 ve Şekil 6.77'de karşılaştırmalı olarak gösterilmiştir. Kat ötelenme oranları ve eksenel dönmeler bu yapıda birbirine eşittir. 2007 Yönetmeliği'ne göre hesaplanan değerler yapının bu depremlerin etkisinde hasar alacağını göstermesine karşın İstanbul Kadıköy, Van Erciş ve Kırşehir'de yapı hasar almamaktadır. Hatay Merkez için hesaplanan değerler 2007 Yönetmelik değerlerinin %142.61 üzerindedir.

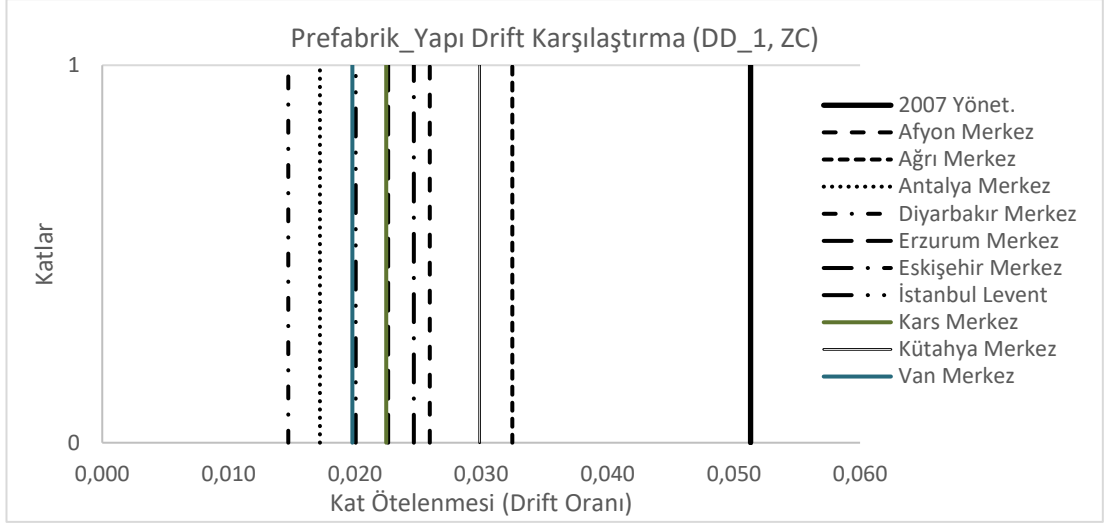


Şekil 6.78 : Prefabrik_Yapı Modelinin 1. Derece deprem bölgesi DD-2 için kat ötelenmesi (drift) oranı değerlerinin deprem merkezlerine göre karşılaştırılması.

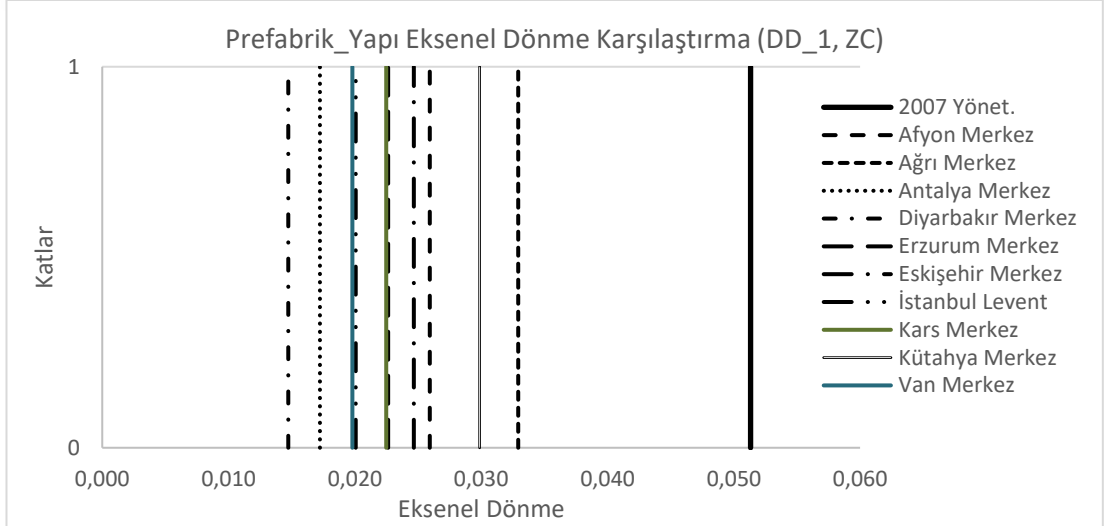


Şekil 6.79 : Prefabrik_Yapı Modelinin 1. Derece deprem bölgesi DD-2 için eksenel dönme değerlerinin deprem merkezlerine göre karşılaştırılması.

Prefabrik_Yapı modelinin 1. Derece deprem bölgesi merkezleri için deprem düzeyi 2 dikkate alınarak yapılan hesaplar sonucunda bulunan kat ötelenme oranları ile eksenel dönme miktarları sırasıyla Şekil 6.78 ve Şekil 6.79'da karşılaştırmalı olarak gösterilmiştir. Kat ötelenme oranları ve eksenel dönmeler bu yapıda birbirine eşittir. 2007 Yönetmeliği'ne göre hesaplanan değerler yapının bu depremlerin etkisinde hasar alacağını göstermesine karşın Bartın, Van Erciş ve Kırşehir'de yapı hasar almamaktadır. Sakarya Merkez için hesaplanan değerler 2007 Yönetmelik değerlerinin %34.38 üzerindedir.

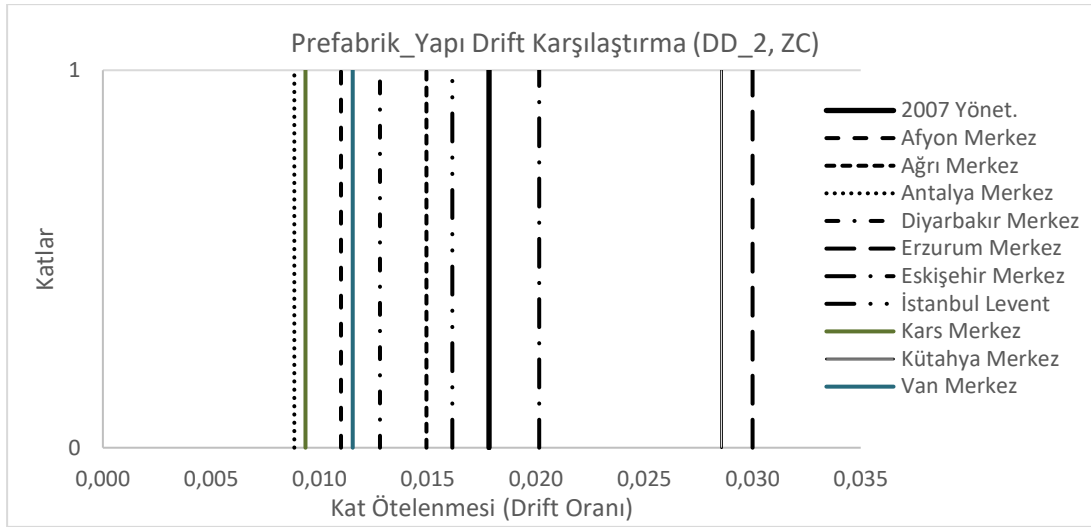


Şekil 6.80 : Prefabrik_Yapı Modelinin 2. Derece deprem bölgesi DD-1 için kat ötelenmesi (drift) oranı değerlerinin deprem merkezlerine göre karşılaştırılması.

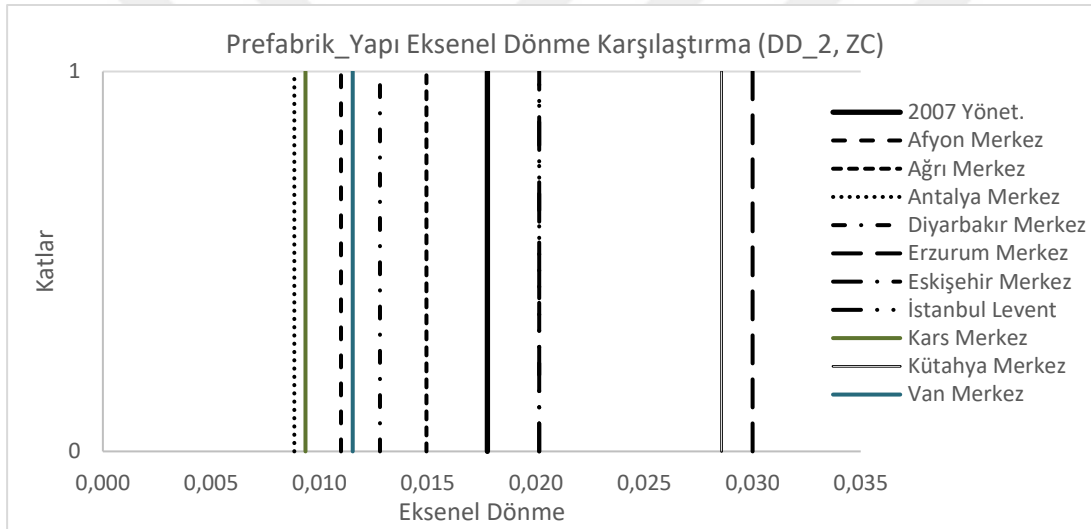


Şekil 6.81 : Prefabrik_Yapı Modelinin 2. Derece deprem bölgesi DD-1 için eksenel dönme değerlerinin deprem merkezlerine göre karşılaştırılması.

Prefabrik_Yapı modelinin 2. Derece deprem bölgesi merkezleri için deprem düzeyi 1 dikkate alınarak yapılan hesaplar sonucunda bulunan kat ötelenme oranları ile eksenel dönme miktarları sırasıyla Şekil 6.80 ve Şekil 6.81’de karşılaştırmalı olarak gösterilmiştir. Kat ötelenme oranları ve eksenel dönmeler bu yapıda birbirine eşittir. 2007 Yönetmeliği’ne göre hesaplanan değerler bütün merkezler için hesaplanan değerlerden büyüktür. Yapı, İstanbul Levent, Van Merkez, Antalya Merkez ve Diyarbakır Merkez’de hasar almamaktadır. Diyarbakır Merkez için hesaplanan değerler 2007 Yönetmeliği değerlerinin %71.30 altındadır.



Şekil 6.82 : Prefabrik_Yapı Modelinin 2. Derece deprem bölgesi DD-2 için kat ötelenmesi (drift) oranı değerlerinin deprem merkezlerine göre karşılaştırılması



Şekil 6.83 : Prefabrik_Yapı Modelinin 2. Derece deprem bölgesi DD-2 için eksenel dönme değerlerinin deprem merkezlerine göre karşılaştırılması.

Prefabrik_Yapı modelinin 2. Derece deprem bölgesi merkezleri için deprem düzeyi 2 dikkate alınarak yapılan hesaplar sonucunda bulunan kat ötelenme oranları ile eksenel dönme miktarları sırasıyla Şekil 6.82 ve Şekil 6.83’de karşılaştırmalı olarak gösterilmiştir. Kat ötelenme oranları ve eksenel dönmeler bu yapıda birbirine eşittir. 2007 Yönetmeliği’ne göre hesaplanan değerler yapının bu depremlerin etkisinde hasar almayacağını göstermesine karşın Erzurum ve Kütahya’da yapı hasar almaktadır. Erzurum Merkez için hesaplanan değerler 2007 Yönetmelik değerlerinin %68.25 üzerindedir. Antalya Merkez için hesaplanan değerler 2007 Yönetmelik değerlerinin %50.42 altındadır.

6.3 Sonuçların Deprem Bölgeleri Bazında İncelenmesi

Bu tez çalışmasında farklı yönetmelikler, farklı tarihlerde hazırlanan, yayınlanan veya resmileşen haritalar kullanıldığından, okuyucu açısından konuyu basitleştirmek adına, bu harita ve yönetmelikler tezde bundan sonra aşağıdaki şekilde adlandırılacaktır:

- 1996 Haritası: 1996 yılında yürürlüğe giren ve 1 Ocak 2019 tarihine kadar yürürlükte olacak olan Türkiye Deprem Bölgeleri Haritası
- 2019 Haritası: 2018 yılında AFAD web sitesi üzerinden yayınlanan ve 2019'da çıkacak yeni yönetmeliğe altlık teşkil edecek olan Türkiye Deprem Tehlike Haritası
- 2007 Yönetmeliği: 1 Ocak 2007'de yürürlüğe giren ve 1 Ocak 2019'a kadar geçerli olacak olan, Deprem Bölgelerinde Yapılacak Yapılar Hakkında Yönetmelik
- 2019 Yönetmeliği: 1 Ocak 2019'da yürürlüğe girecek olan Türkiye Bina Deprem Yönetmeliği

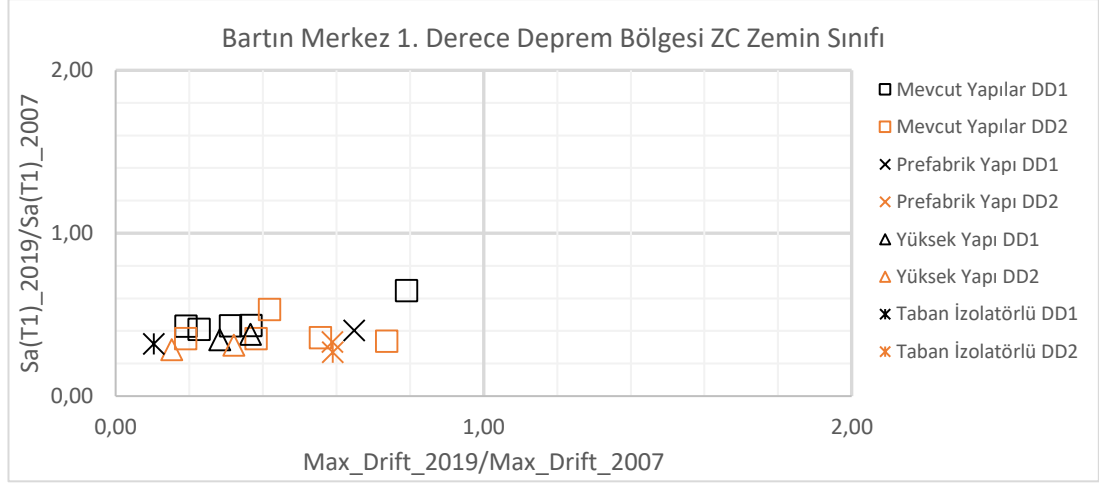
Tezin bu bölümünde analizler neticesinde elde edilen sonuçlar deprem bölgeleri bazında karşılaştırılmışlardır. 1996 Haritası'na göre birinci ve ikinci derece deprem bölgelerinde onar adet olmak üzere toplamda 20 adet konum ve her bir konum için deprem düzeyi 1 ve 2 (DD1 ve DD2) olmak üzere örnek modellerin sonuçları karşılatırmalı olarak irdelenmiştir. Seçilen bölgelerin depremselliği, 2007 Yönetmeliği'ne ve 2019 Deprem Yönetmeliği'nin 2016 taslağına göre hesaplanan spektral ivme katsayılarının ve bu ivme katsayıları kullanılarak bulunan kat ötelenme oranlarının karşılatırmalı olarak incelenmesi ile yorumlanmaya çalışılmıştır 2016 taslağı ile 2019 resmi versiyonu arasında, sonuç olarak hesaplanan spektral ivmeler anlamında bir fark olmadığını burada belirtmek gerekir. Böylece, seçilen çeşitli deprem merkezlerinde inşa edildiği düşünülen aynı yapıların, bölgeye özgü depremler altındaki davranışları irdelenerek, seçilen konumlara özgü iki harita (1996 ve 2018) ve iki spektral şekil (2007 ve 2019 yönetmelikleri) arasındaki farkların yapılar üzerinde analitik olarak ne gibi farklılara yol açtığı incelenmiştir.

Yapılan tüm analizlerden elde edilen sonuçlar, yapı, bölge, deprem düzeyi ve kayıt anlamında çok fazla sayıda grafiğe denk geldiğinden, Şekil 6.84 ile Şekil 6.103'te bu sonuçlar özetlenmiştir. Bu grafiklerde yatay eksen 2018 Haritası ve 2019 Yönetmeliği'ne göre oluşturulan spektrumlar kullanılarak elde edilen kat öteleme

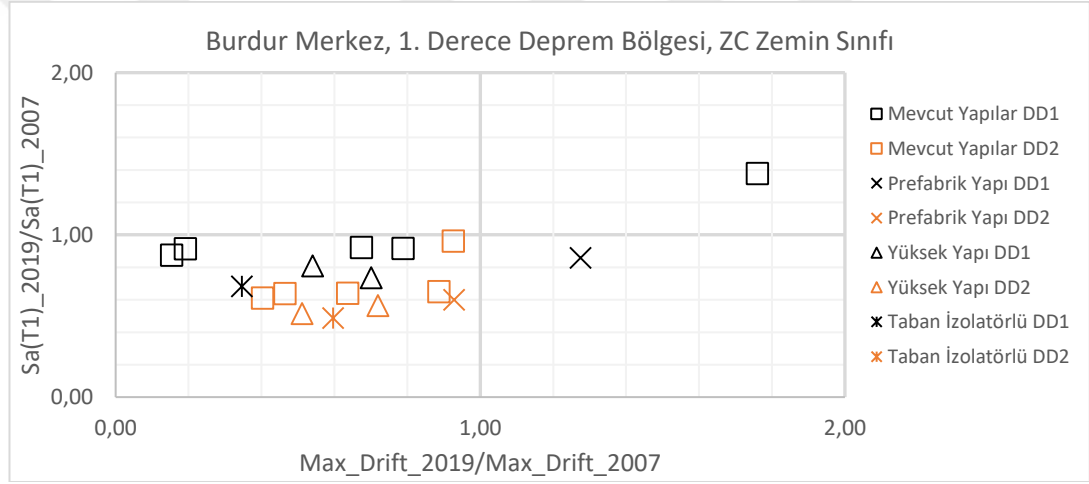
oranı deęerlerinin 1996 Haritası ve 2007 Yönetmelięi kullanılarak bulunan görelı kat ötelenme oranlarına oranını göstermektedir. Düşey eksen ise bu iki harita ve yönetmelięe göre spektral ivme deęerlerinin (SaT1) oranıdır. Eksenlerdeki deęerlerin 1 olması, harita ve yönetmeliklere göre hesaplanan deęerlerin aynı olduğunu göstermektedir. Bu nedenle grafikte, sağ ve yukarı gidildikçe 2018 Haritası ve 2019 Yönetmelięi'ne yeni deprem yönetmelięine (2016 taslaęı) göre hesaplanan spektral ivme ve maksimum kat ötelenme oranı deęerlerinin 2007 yönetmelięine göre büyüdüęü, sol ve alt tarafa ilerledikçe de bu deęerlerin küçüldüęü ifade edilmektedir.

Mevcut Yapılar grubu ülkemizde yaygın halde inşa edilmiş ve edilmekte olan üç ile sekiz katlı yapıları temsil etmektedir. Bu grubun içinde, *PFN_4_1*, *PFN_5_1*, *PFN_6_1*, *PFN_8_2* ve *Gedikbulak_3D* modelleri bulunmaktadır. Yüksek yapılar grubunda ise *20_Katlı_3D* ve *24_Katlı_CBSW* modelleri, taban izolatörlü grubunda *Aydın_Üniv* modeli, prefabrik yapılar grubunda ise *Prefabrik_Yapı* modeli bulunmaktadır.

Bu grafiklerde siyah ile gösterilen şekiller o gruba ait yapıların deprem düzeyi 1'e göre analiz edilmesi ile bulunan sonuçları göstermektedir. Kırmızı işaretçiler ile gösterilenler ise aynı yapı gruplarının deprem düzeyi 2'ye göre hesaplanan sonuçlarını temsil etmektedir.

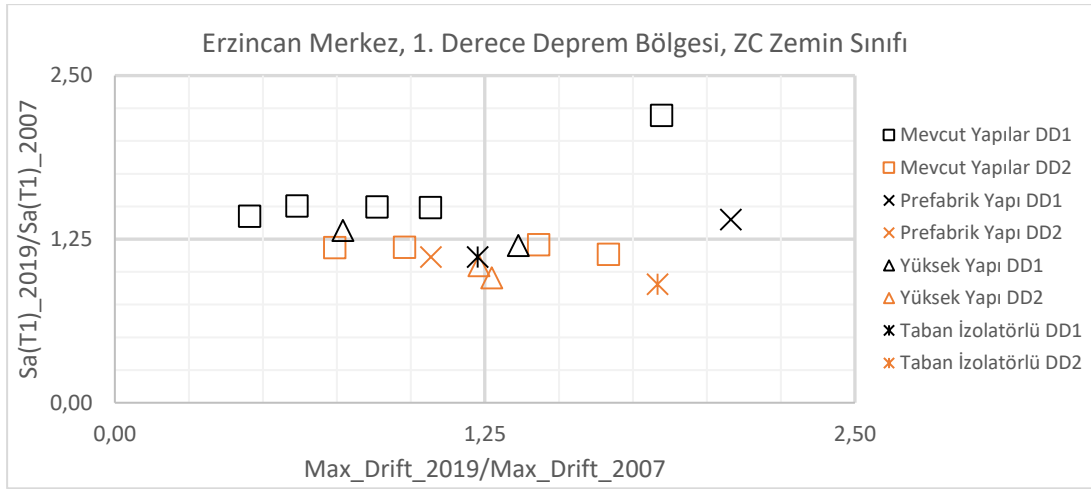


Şekil 6.84 : Bartın Merkez’de, örnek yapı sistemleri için hesaplanan spektral ivme ve maks. kat ötelenme oranlarının 2018 Haritası/2019 Yönetmeliği ve 1996 Haritası/2007 Yönetmeliği’ne göre karşılaştırılması.

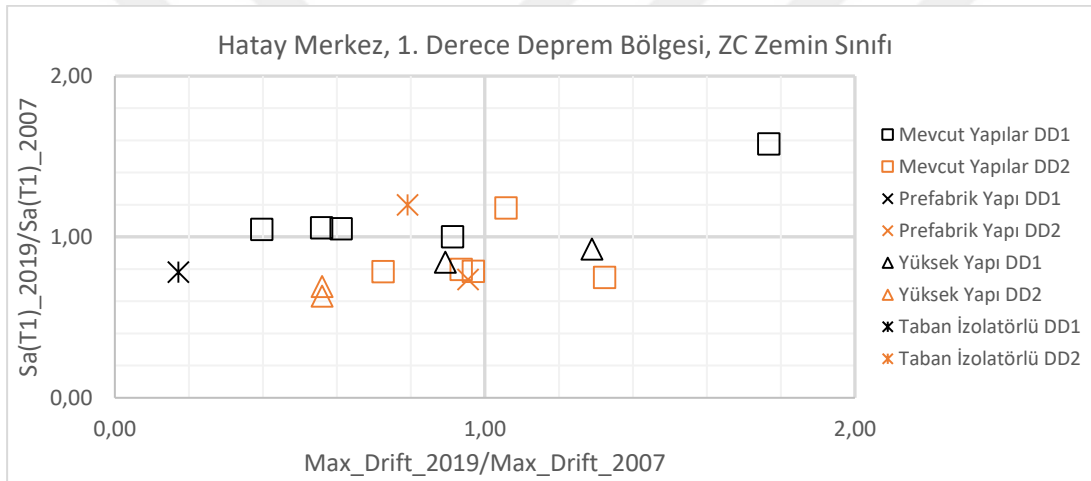


Şekil 6.85 : Burdur Merkez’de, örnek yapı sistemleri için hesaplanan spektral ivme ve maks. kat ötelenme oranlarının 2018 Haritası/2019 Yönetmeliği ve 1996 Haritası/2007 Yönetmeliği’ne göre karşılaştırılması.

Birinci derece deprem bölgesinde yer alan Bartın ve Burdur da bulunan yapı sistemleri için hesaplanan spektral ivme ve en büyük kat ötelenme oranlarının 2019 ve 2007 yönetmeliklerine göre karşılaştırılması sırasıyla Şekil 6.84 ve Şekil 6.85’te verilmiştir. Bartın Merkez’e bakıldığında, bütün yapıların hem spektral ivme olarak hem de kat ötelenme oranı değerleri için 2019 Yönetmeliği’ne göre hesaplanan değerlerin 2007 Yönetmeliği’nden küçük olduğu görülmektedir. Burdur’da ise prefabrik yapının DD_1’e göre spektral ivme katsayısının 1’den küçük olmasına karşın kat ötelenme oranı değeri 2007 Yönetmeliği’ne göre daha büyüktür. Mevcut yapılarda ise periyodu küçük olan *Gedikbulak_3D* modeli için DD_1’e göre hesaplanan spektral ivme ve kat ötelenme oranları değerleri 2007 Yönetmeliği’ne göre daha büyüktür.

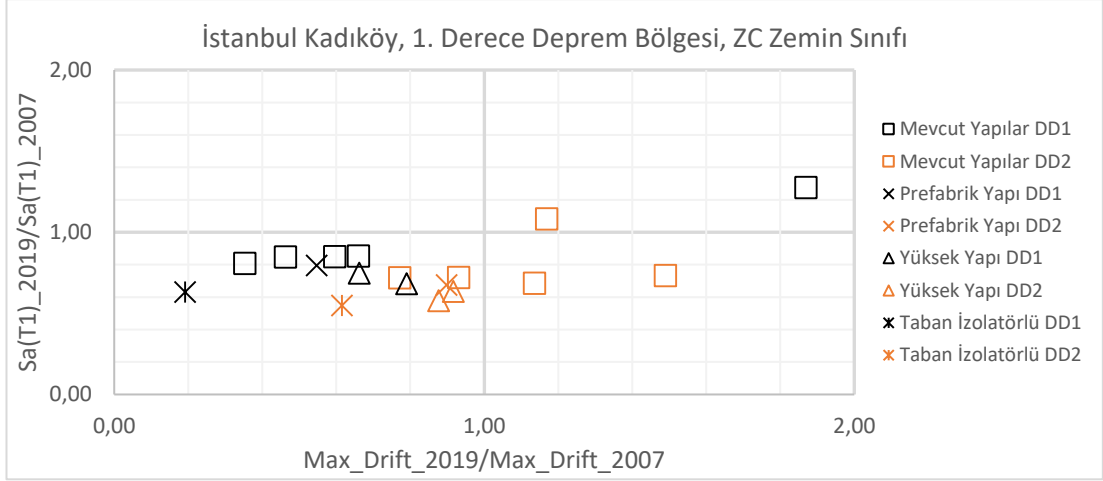


Şekil 6.86 : Erzincan Merkez’de, örnek yapı sistemleri için hesaplanan spektral ivme ve maks. kat ötelenme oranlarının 2018 Haritası/2019 Yönetmeliği ve 1996 Haritası/2007 Yönetmeliği’ne göre karşılaştırılması.

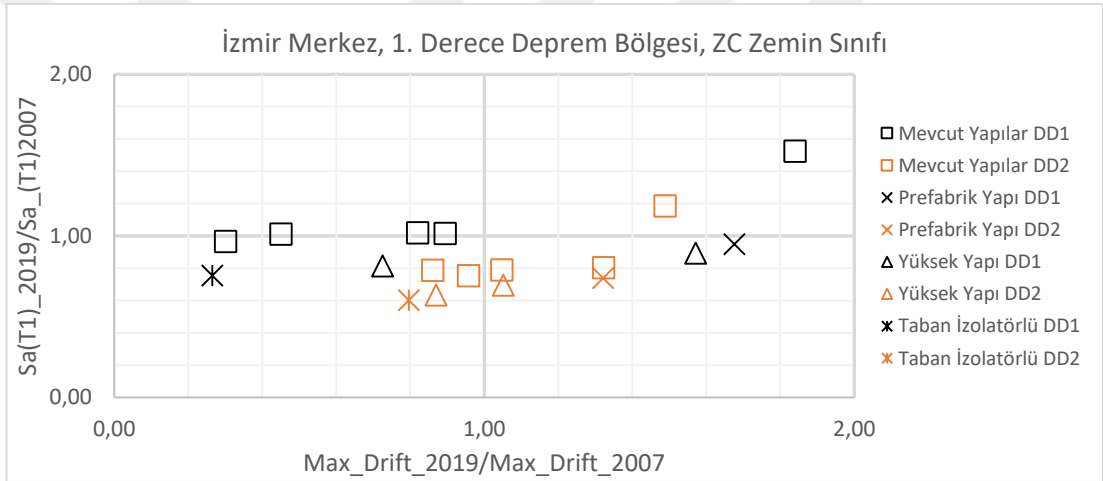


Şekil 6.87 : Hatay Merkez’de, örnek yapı sistemleri için hesaplanan spektral ivme ve maks. kat ötelenme oranlarının 2018 Haritası/2019 Yönetmeliği ve 1996 Haritası/2007 Yönetmeliği’ne göre karşılaştırılması.

Erzincan Merkez’e bakıldığında (Şekil 6.86), sadece DD_2’ye göre hesaplanan yüksek yapılar ve taban izolatörlü yapılar hariç, hepsinin spektral ivme katsayıları 2007 Yönetmelik değerlerinden büyüktür. *Gedikbulak_3D* modeli ve *Prefabrik_Yapı* modelleri için DD_1’e göre hesaplanan kat ötelenme oranları değerleri 2007 Yönetmeliği’ne göre daha büyüktür. Hatay’da ise (Şekil 6.87) taban izolatörlü yapının DD_1’e göre spektral ivme katsayısı oranı 0.78 olmasına karşın kat ötelenme oranı değeri 0.17’ dir. *Gedikbulak_3D* modeli için ise DD_1’e göre hesaplanan spektral ivme katsayısı oranı 1.58 ve kat ötelenme oranı değerleri ise 1.77’dir. Mevcut yapılarda ise spektral ivme değerleri 2007 Yönetmeliği’ne göre aynı olmasına karşın kat ötelenme oranları 2007 Yönetmeliği’nden daha küçük değerler almıştır.

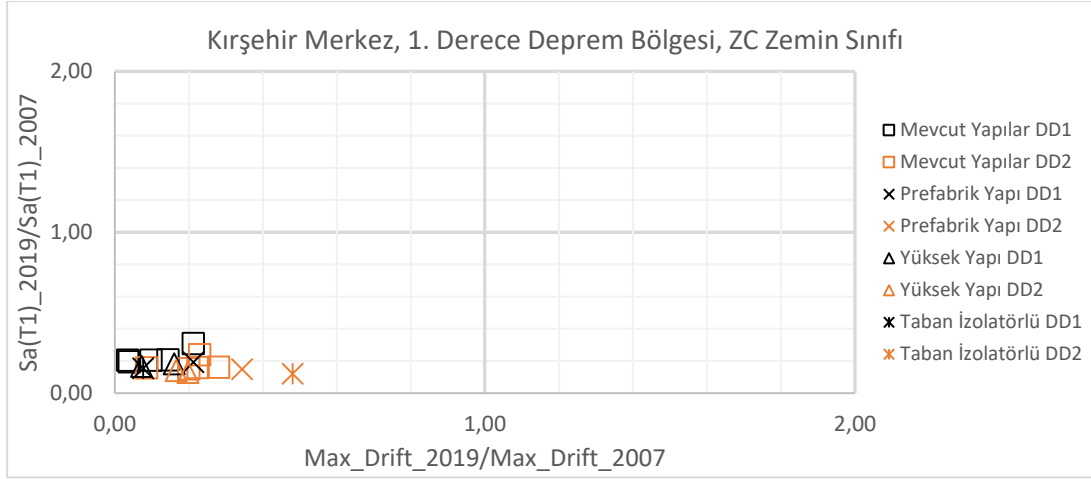


Şekil 6.88 : İstanbul Kadıköy’de, örnek yapı sistemleri için hesaplanan spektral ivme ve maks. kat ötelenme oranlarının 2018 Haritası/2019 Yönetmeliği ve 1996 Haritası/2007 Yönetmeliği’ne göre karşılaştırılması.

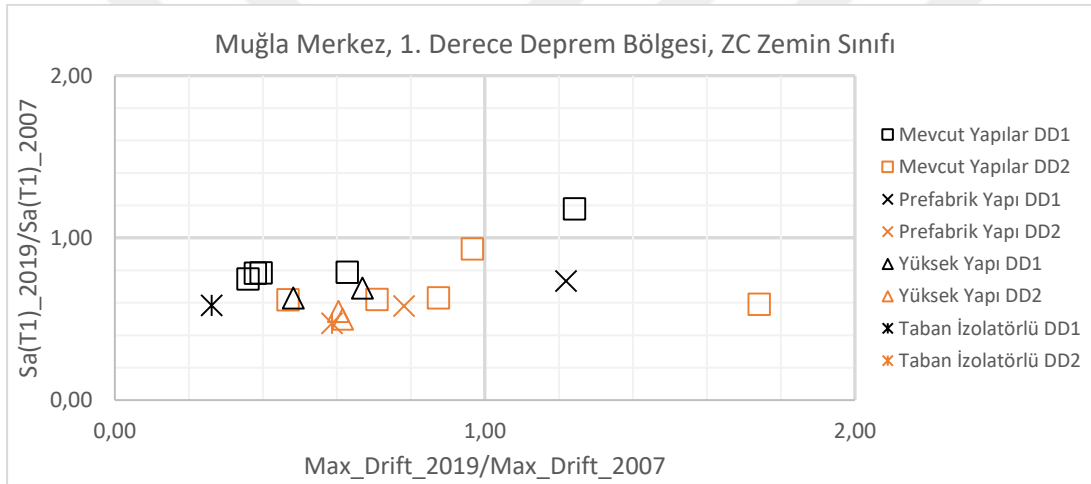


Şekil 6.89 : İzmir Merkez’de, örnek yapı sistemleri için hesaplanan spektral ivme ve maks. kat ötelenme oranlarının 2018 Haritası/2019 Yönetmeliği ve 1996 Haritası/2007 Yönetmeliği’ne göre karşılaştırılması.

İstanbul Kadıköy’e bakıldığında (Şekil 6.88), DD_1’e göre hesaplanan *Gedikbulak_3D* modeli yer değiştirme oranı ve spektral ivme oranlarında en büyük değerleri almıştır. Ayrıca *PFN_6_1* modeli için ise DD_2’ye göre hesaplanan spektral ivme katsayısı oranı 0.73 olmasına rağmen kat ötelenme oranı değerleri ise 1.49’dur. İzmir’de ise (Şekil 6.89) taban izolatörlü yapının DD_1’e göre spektral ivme katsayısı oranı 0.75 olmasına karşın kat ötelenme oranı değeri 0.27’ dir. *Gedikbulak_3D* modeli için ise DD_1’e göre hesaplanan spektral ivme katsayısı oranı 1.52 ve kat ötelenme oranı değerleri ise 1.84’tür.

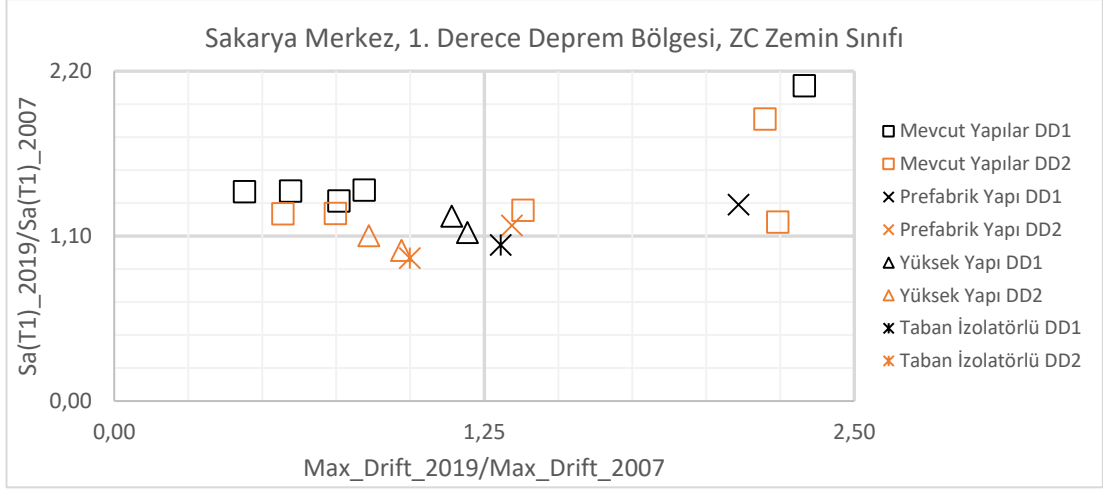


Şekil 6.90 : Kırşehir Merkez’de, örnek yapı sistemleri için hesaplanan spektral ivme ve maks. kat ötelenme oranlarının 2018 Haritası/2019 Yönetmeliği ve 1996 Haritası/2007 Yönetmeliği’ne göre karşılaştırılması.

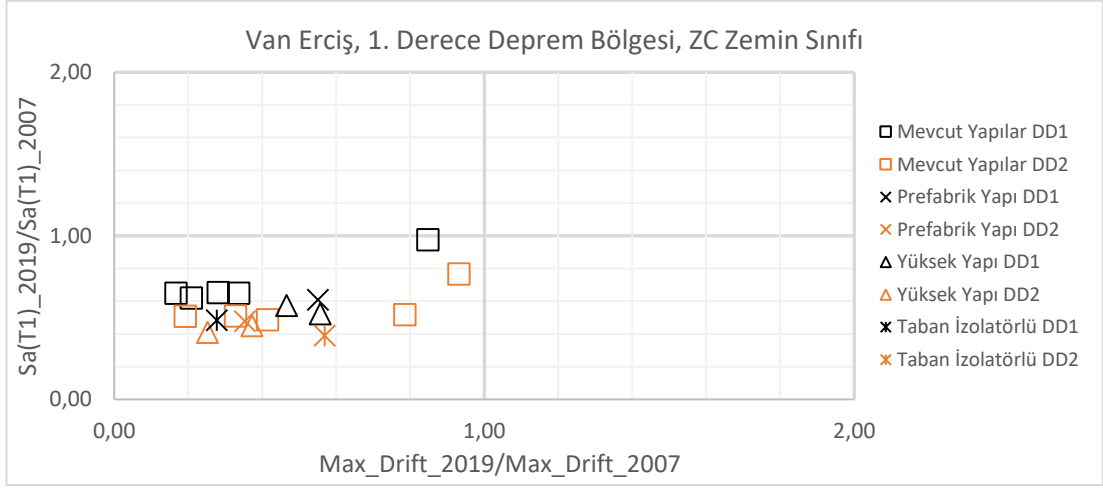


Şekil 6.91 : Muğla Merkez’de, örnek yapı sistemleri için hesaplanan spektral ivme ve maks. kat ötelenme oranlarının 2018 Haritası/2019 Yönetmeliği ve 1996 Haritası/2007 Yönetmeliği’ne göre karşılaştırılması.

Birinci derece deprem bölgesinde yer alan Kırşehir ve Muğla’da bulunan yapı sistemleri için hesaplanan spektral ivme ve en büyük kat ötelenme oranlarının 2019 ve 2007 Yönetmeliklerine göre karşılaştırılması sırasıyla Şekil 6.90 ve Şekil 6.91’de verilmiştir. Kırşehir Merkez’e bakıldığında, bütün yapıların hem spektral ivme olarak hem de kat ötelenme oranı değerleri için 2019 Yönetmeliği’ne göre hesaplanan değerlerin 2007 Deprem Yönetmeliği’nden çok küçük olduğu görülmektedir. Muğla’da ise *PFN_8_2* modelinin DD_2’ye göre spektral ivme katsayısının 1’den küçük olmasına karşın kat ötelenme oranı değeri 2007 Yönetmeliği’ne göre %74 daha büyüktür.

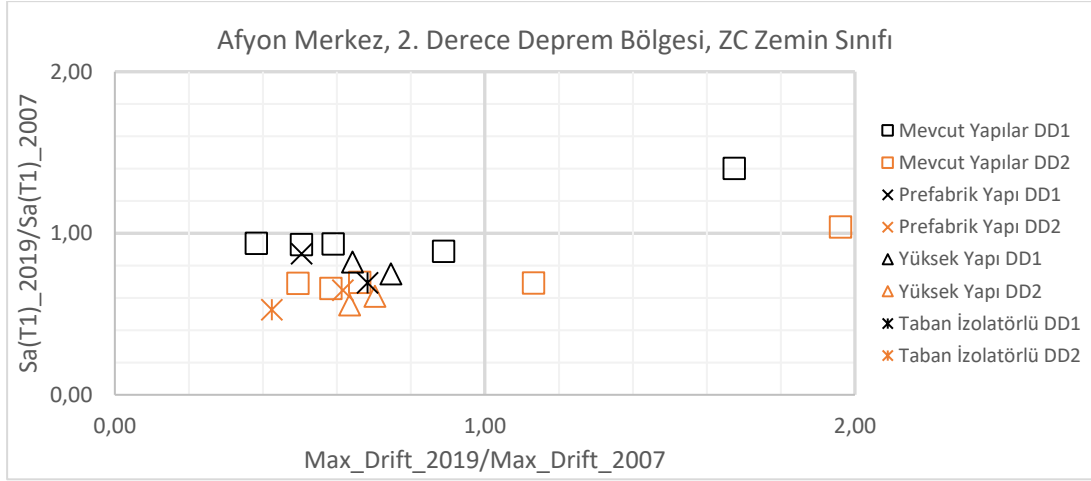


Şekil 6.92 : Sakarya Merkez’de, örnek yapı sistemleri için hesaplanan spektral ivme ve maks. kat ötelenme oranlarının 2018 Haritası/2019 Yönetmeliği ve 1996 Haritası/2007 Yönetmeliği’ne göre karşılaştırılması.

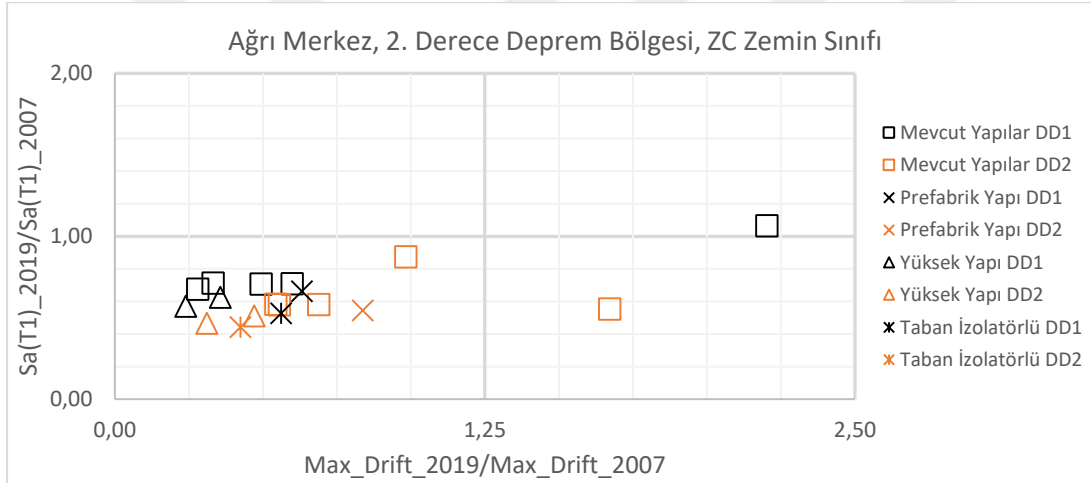


Şekil 6.93 : Van Erciş’de, örnek yapı sistemleri için hesaplanan spektral ivme ve maks. kat ötelenme oranlarının 2018 Haritası/2019 Yönetmeliği ve 1996 Haritası/2007 Yönetmeliği’ne göre karşılaştırılması.

Sakarya Merkez’e bakıldığında (Şekil 6.92) tüm yapıların spektral ivme katsayıları 2007 yönetmelik değerlerinden büyüktür. Mevcut yapıların geneli ile DD_2’ye göre hesaplanmış yüksek yapılar ve taban izolatörlü yapının yerdeğiştirme oranları 2007 Yönetmeliği’ne göre daha küçükken diğer yapılar için büyük değerler almaktadır. Van Erciş’e bakıldığında (Şekil 6.93), bütün yapıların hem spektral ivme olarak hem de kat ötelenme oranı değerleri için 2016 yönetmeliğine göre hesaplanan değerlerin 2007 Deprem Yönetmeliği’nden çok küçük olduğu görülmektedir. *Gedikbulak_3D* modelinin DD_1’e göre spektral ivme katsayısının 1 olmasına karşın, kat ötelenme oranı değeri 2007 Yönetmeliği’ne göre %15 daha küçüktür.

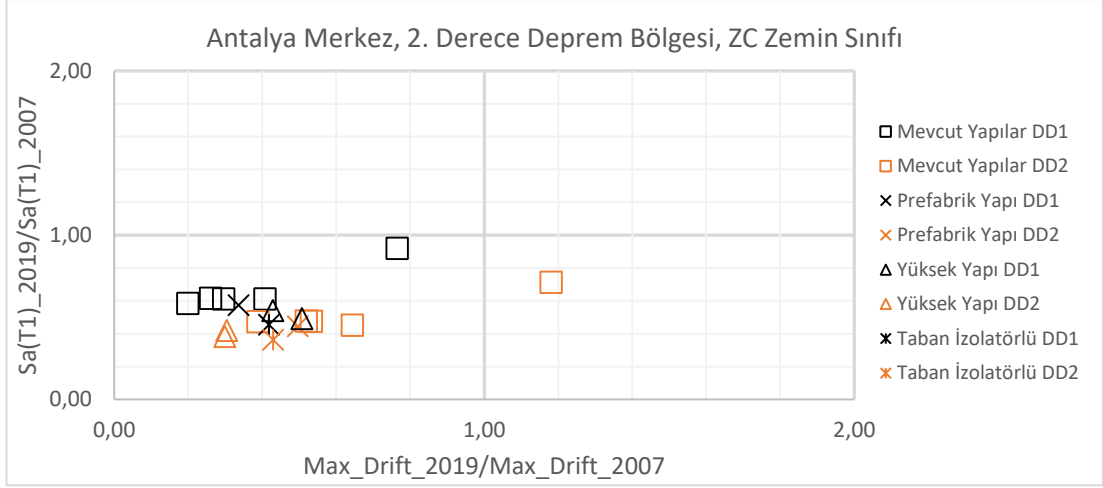


Şekil 6.94 : Afyon Merkez’de, örnek yapı sistemleri için hesaplanan spektral ivme ve maks. kat ötelenme oranlarının 2018 Haritası/2019 Yönetmeliği ve 1996 Haritası/2007 Yönetmeliği’ne göre karşılaştırılması.

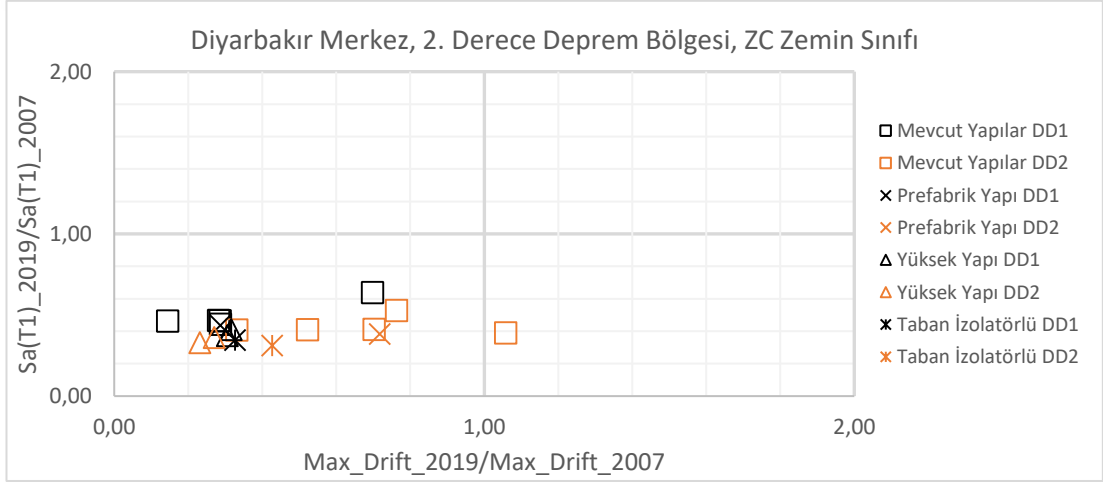


Şekil 6.95 : Ağrı Merkez’de, örnek yapı sistemleri için hesaplanan spektral ivme ve maks. kat ötelenme oranlarının 2018 Haritası/2019 Yönetmeliği ve 1996 Haritası/2007 Yönetmeliği’ne göre karşılaştırılması.

Afyon Merkez’e bakıldığında (Şekil 6.94) *Gedikbulak_3D* ve *PFN_4_1* modelleri haricindeki tüm yapıların hem spektral ivme olarak hem de kat ötelenme oranı değerleri için 2019 Yönetmeliği’ne göre hesaplanan değerlerin 2007 Deprem Yönetmeliği’nden küçük olduğu görülmektedir. *Gedikbulak_3D* modelinin DD_2’ye göre spektral ivme katsayısının yaklaşık 1 olmasına karşın, kat ötelenme oranı değeri 2007 Yönetmeliği’ne göre %96 daha büyüktür. Ağrı Merkez’e bakıldığında (Şekil 6.95), *Gedikbulak_3D* ve *PFN_8_2* modelleri haricindeki tüm yapıların hem spektral ivme olarak hem de kat ötelenme oranı değerleri için 2019 Yönetmeliği’ne göre hesaplanan değerlerin 2007 Deprem Yönetmeliği’nden küçük olduğu görülmektedir.

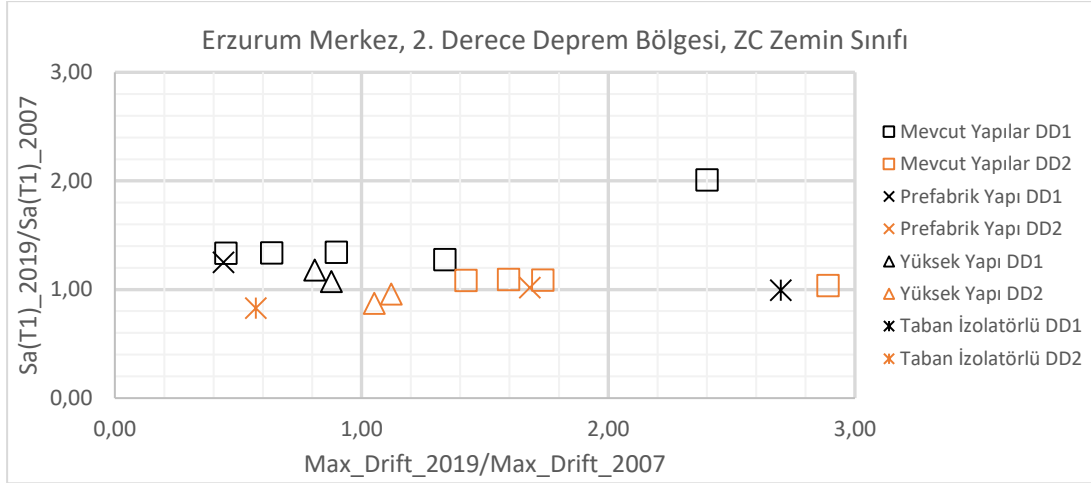


Şekil 6.96 : Antalya Merkez’de, örnek yapı sistemleri için hesaplanan spektral ivme ve maks. kat ötelenme oranlarının 2018 Haritası/2019 Yönetmeliği ve 1996 Haritası/2007 Yönetmeliği’ne göre karşılaştırılması.

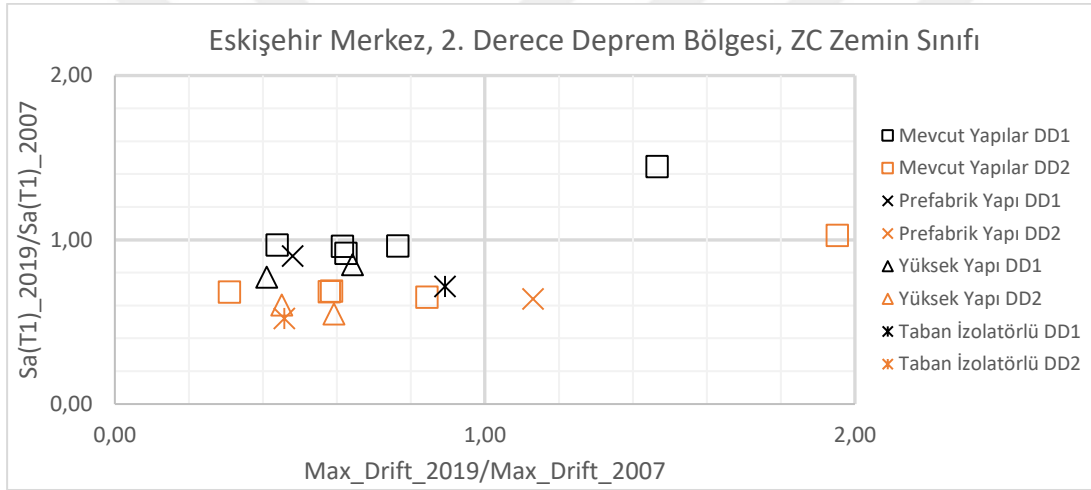


Şekil 6.97 : Diyarbakır Merkez’de, örnek yapı sistemleri için hesaplanan spektral ivme ve maks. kat ötelenme oranlarının 2018 Haritası/2019 Yönetmeliği ve 1996 Haritası/2007 Yönetmeliği’ne göre karşılaştırılması.

Antalya Merkez’e bakıldığında (Şekil 6.96) *Gedikbulak_3D* modeli (DD_2’ye göre) haricindeki tüm yapıların hem spektral ivme olarak hem de kat ötelenme oranı değerleri için 2019 Yönetmeliği’ne göre hesaplanan değerlerin 2007 Deprem Yönetmeliği’nden küçük olduğu görülmektedir. *Gedikbulak_3D* modelinin DD_2’ye göre spektral ivme katsayısının 0.71 olmasına karşın, kat ötelenme oranı değeri 1.18’dir. Diyarbakır Merkez’e bakıldığında (Şekil 6.97) *Gedikbulak_3D* modeli (DD_2’ye göre) haricindeki tüm yapıların hem spektral ivme olarak hem de kat ötelenme oranı değerleri için 2019 Yönetmeliği’ne göre hesaplanan değerlerin 2007 Deprem Yönetmeliği’nden küçük olduğu görülmektedir.

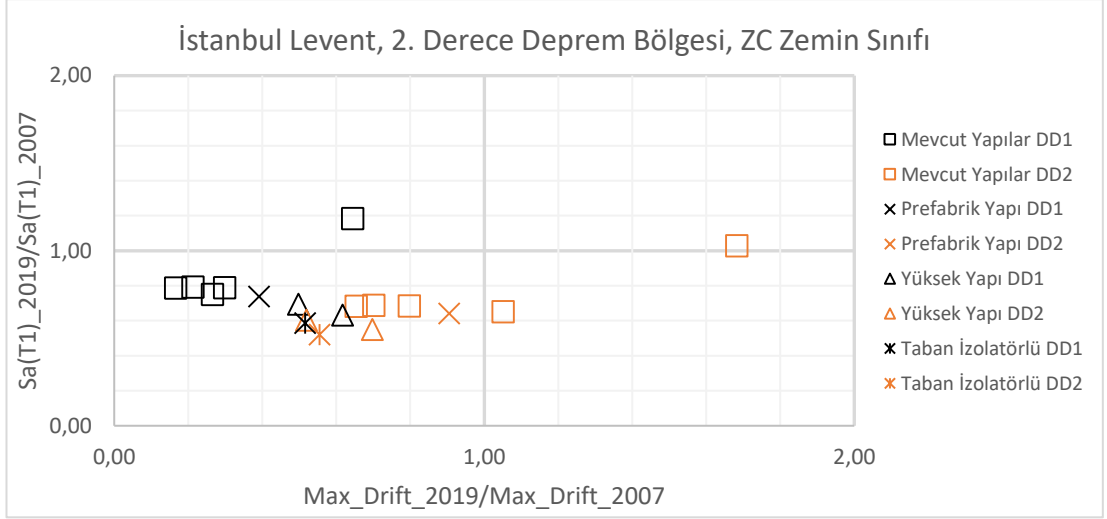


Şekil 6.98 : Erzurum Merkez’de, örnek yapı sistemleri için hesaplanan spektral ivme ve maks. kat ötelenme oranlarının 2018 Haritası/2019 Yönetmeliği ve 1996 Haritası/2007 Yönetmeliği’ne göre karşılaştırılması.

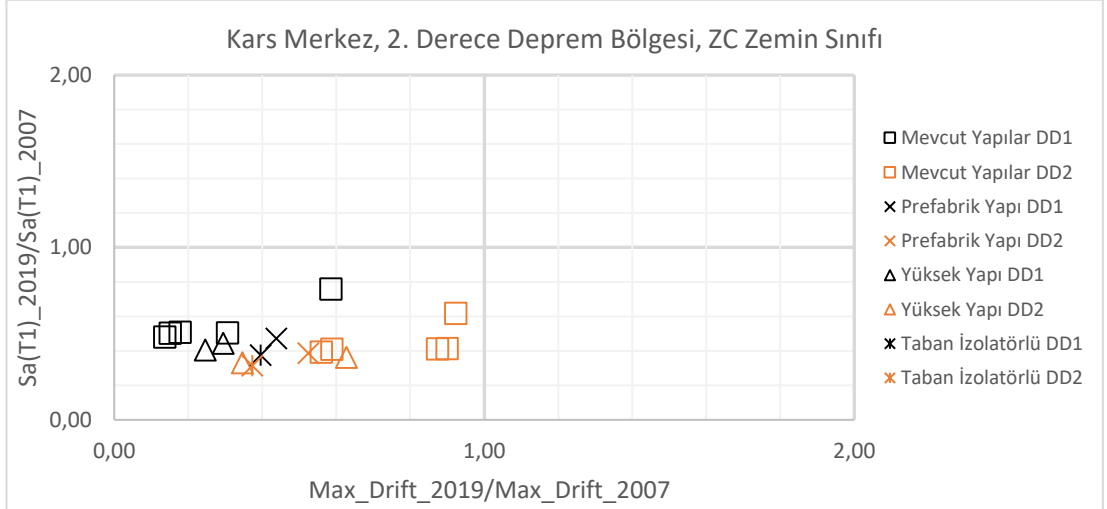


Şekil 6.99 : Eskişehir Merkez’de, örnek yapı sistemleri için hesaplanan spektral ivme ve maks. kat ötelenme oranlarının 2018 Haritası/2019 Yönetmeliği ve 1996 Haritası/2007 Yönetmeliği’ne göre karşılaştırılması.

Erzurum Merkez’e bakıldığında (Şekil 6.98) taban izolatörlü yapı (DD_2’ye göre) haricindeki tüm yapıların hem spektral ivme olarak hem de kat ötelenme oranı değerleri için 2019 Yönetmeliği’ne göre hesaplanan değerlerin 2007 Deprem Yönetmeliği’nden büyük olduğu görülmektedir. *Gedikbulak_3D* modeli dikkate alındığında DD_2 için spektral ivme katsayıları aynı olmasına rağmen kat ötelenme oranı 3.19’dur. Eskişehir Merkez’e bakıldığında (Şekil 6.99) ise, *Gedikbulak_3D* ve *Prefabrik_Yapı* modelleri haricindeki yapıların hem spektral ivme olarak hem de kat ötelenme oranı değerleri için 2019 Yönetmeliği’ne göre hesaplanan değerlerin 2007 Yönetmeliği’nden küçük olduğu görülmektedir.

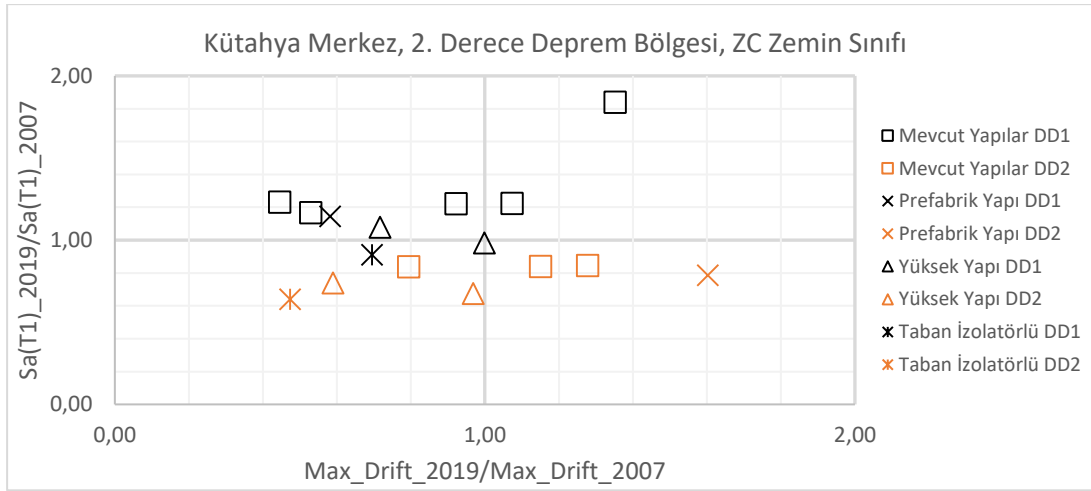


Şekil 6.100: İstanbul Levent'te, örnek yapı sistemleri için hesaplanan spektral ivme ve maks. kat ötelenme oranlarının 2018 Haritası/2019 Yönetmeliği ve 1996 Haritası/2007 Yönetmeliği'ne göre karşılaştırılması.

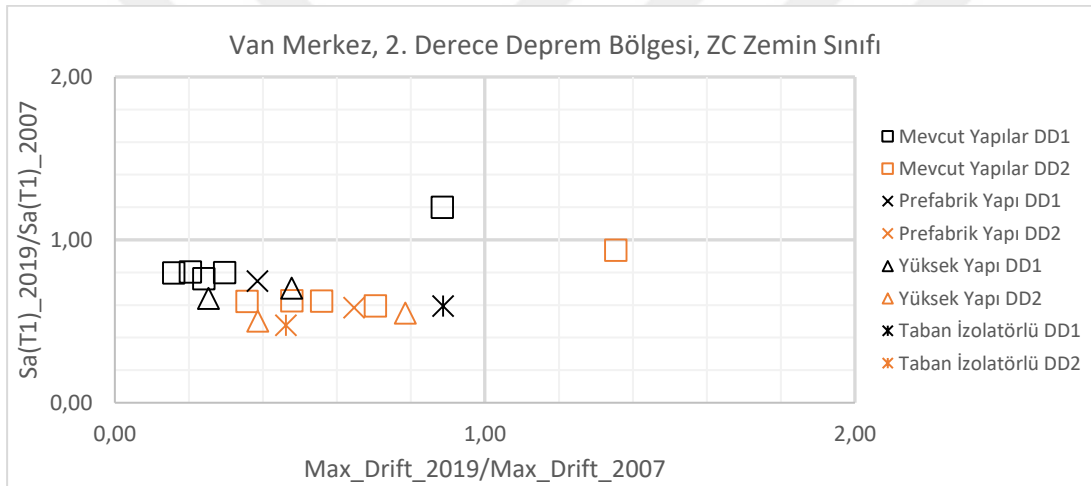


Şekil 6.101 : Kars Merkez'de, örnek yapı sistemleri için hesaplanan spektral ivme ve maks. kat ötelenme oranlarının 2018 Haritası/2019 Yönetmeliği ve 1996 Haritası/2007 Yönetmeliği'ne göre karşılaştırılması.

İstanbul Levent bölgesi incelendiğinde (Şekil 6.100), *Gedikbulak_3D* modeli dikkate alındığında DD_2 için spektral ivme katsayıları yaklaşık aynı olmasına rağmen kat ötelenme oranı 1.68'dur, DD_1 için ise daha büyük spektral ivme katsayı hesaplanmış olmasına karşın kat ötelenme oranı değeri 2007 Yönetmeliği'ne göre hesaplanan değerden daha düşüktür. Kars Merkez'de ise (Şekil 6.101), tüm yapıların hem spektral ivme olarak hem de kat ötelenme oranı değerleri için 2019 Yönetmeliği'ne göre hesaplanan değerlerin 2007 Yönetmeliği'nden küçük olduğu görülmektedir.



Şekil 6.102: Kütahya Merkez’de, örnek yapı sistemleri için hesaplanan spektral ivme ve maks. kat ötelenme oranlarının 2018 Haritası/2019 Yönetmeliği ve 1996 Haritası/2007 Yönetmeliği’ne göre karşılaştırılması.



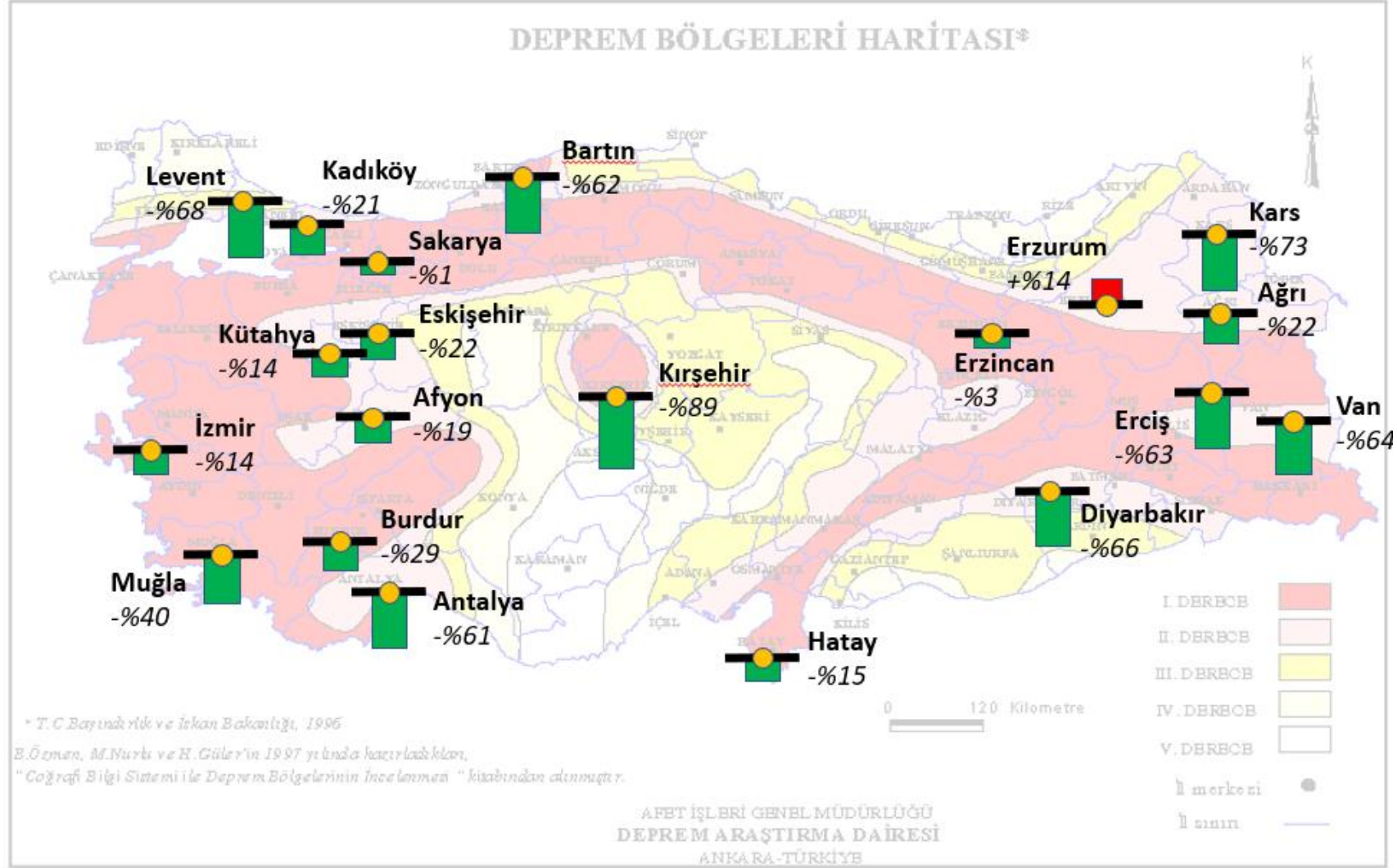
Şekil 6.103 : Van Merkez’de, örnek yapı sistemleri için hesaplanan spektral ivme ve maks. kat ötelenme oranlarının 2018 Haritası/2019 Yönetmeliği ve 1996 Haritası/2007 Yönetmeliği’ne göre karşılaştırılması.

Kütahya Merkez incelendiğinde (Şekil 6.102), DD_1’e göre hesaplanan mevcut yapıların hepsinin spektral ivme katsayıları, 2007 Yönetmeliği’ne göre hesaplanan değerlerden büyüktür. Yüksek yapılar ve taban izolatörlü yapılar içinde 2007 Yönetmeliği’ne kıyasla daha küçük kat ötelenme oranı değerleri hesaplanmaktadır. Van Merkez’e bakıldığında (Şekil 6.103) *Gedikbulak_3D modeli* haricindeki tüm yapıların hem spektral ivme olarak hem de kat ötelenme oranı değerleri için 2019 Yönetmeliği’ne göre hesaplanan değerlerin 2007 Deprem Yönetmeliği’nden küçük olduğu görülmektedir. *Gedikbulak_3D modeli* dikkate alındığında DD_2 için spektral ivme katsayıları aynı olmasına rağmen kat ötelenme oranı 1.35’tir. DD_1 için ise spektral ivme katsayısı oranı 1.20 iken, hesaplanan kat ötelenme oranı 0.88’dir.

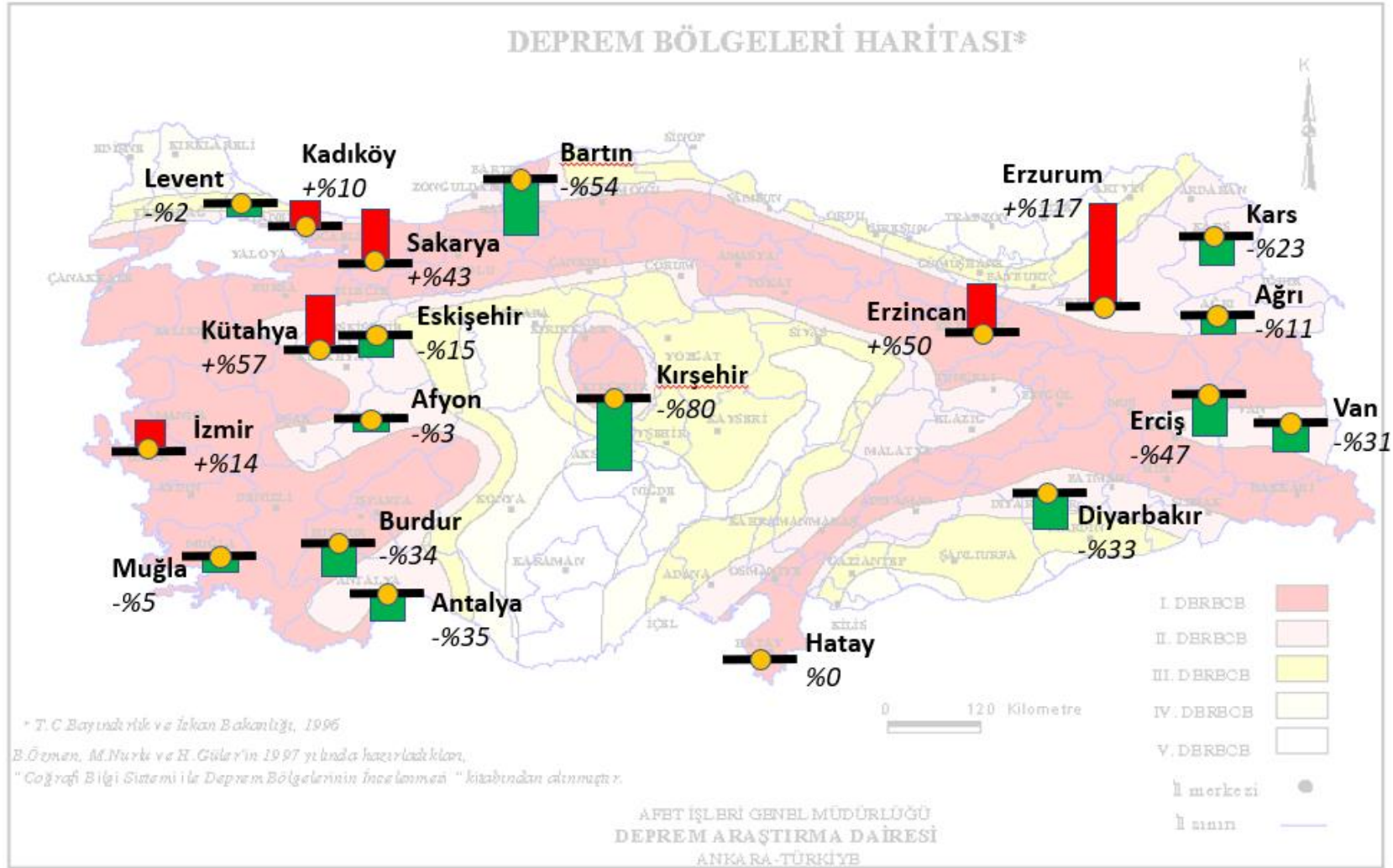
6.4 Sonuların ÜLke Genelinde İncelenmesi

Seilen deprem bölgelerine göre sonular karřılařtırıldıėında, Bartın, Burdur, Kırřehir, Van Erciř, Antalya, Diyarbakır, İstanbul Levent, Kars ve Van Merkezlerinde inřa edilen veya inřası planlanan yapılar 2007 Yönetmeliėi'ne göre analiz edildiėinde maliyeti yüksek tasarımların ıkacaėı görölmektedir. Sakarya ve Erzurum gibi merkezlerde ise Yeni Deprem Yönetmeliėi'ne göre (2019) analiz edilen binaların sonuları, 2007 Deprem Yönetmeliėi'nden büyüktür. Sınırdaki tasarımlı yapılmıř yapılarla hasar meydana gelebileceėi aşıkardır.

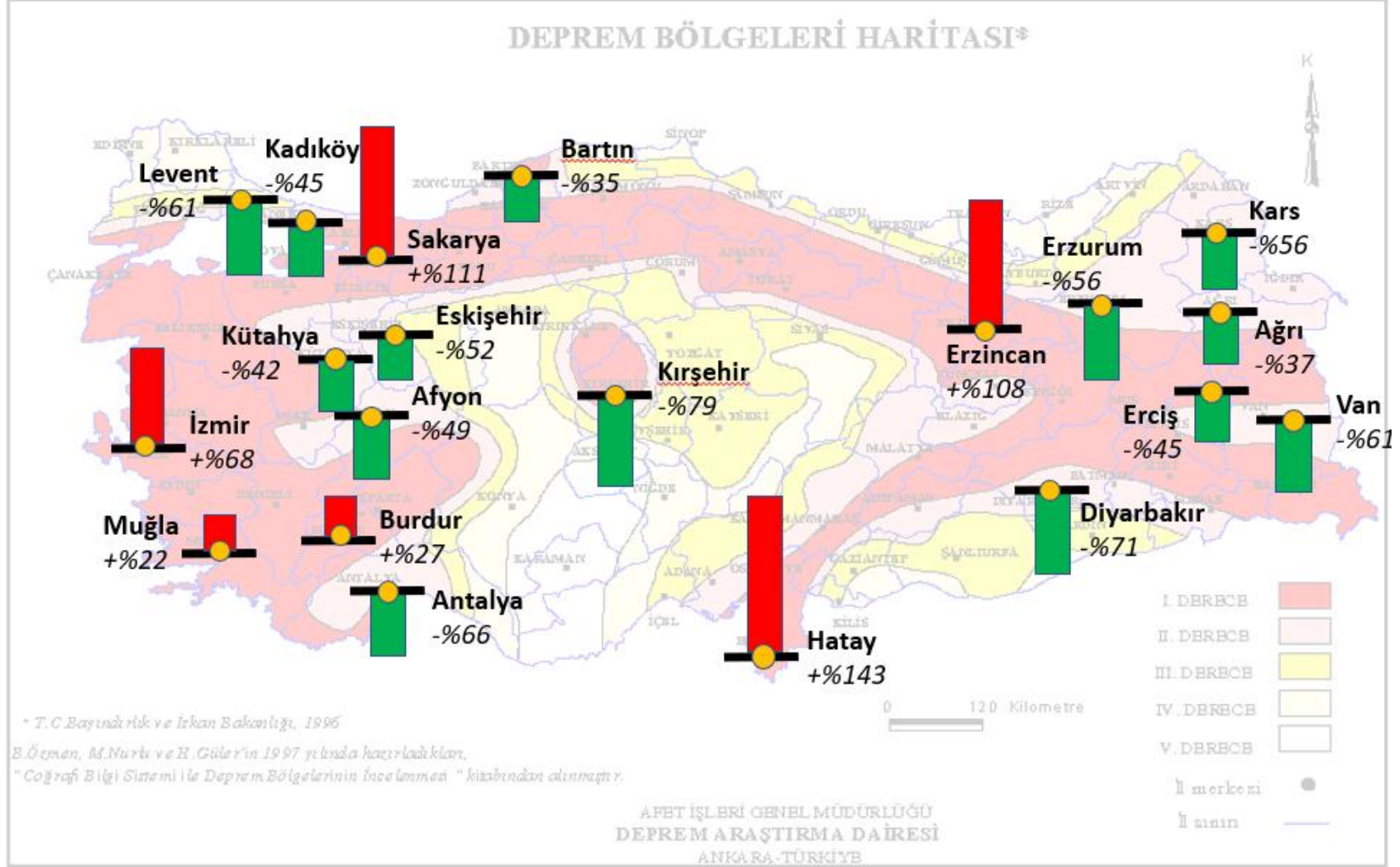
1996 tarihli haritada, farklı nedenlerle ve gereki olmayan řekilde sismik tehlikesi yüksek kabul edilen, örneėin Bartın veya Kırřehir gibi bölgelerde, yeni harita kullanıldıėında (2018) yapısal davranıřta farklar oluřmaktadır. Bunun yanısıra, 1996 haritasında 5 deprem bölgesi bulunduėundan ve bunların arasında bir interpolasyon söz konusu olmadıėından, örneėin 1nci derece deprem bölgesinde olup esasen 2'ye de sınır olan bölgelerde aşırı güvenli tasarım yapıldıėı görölmüřtür. Buna ait miktarlar yapıdan yapıya ve bölgeden bölgeye deėiřmektedir. Ayrıca řekil 6.104'den řekil 6.111'e kadar, yapı grupları ve deprem düzeylerine göre yeni yönetmelik (2019) deprem taleplerinin doėurduėu en büyük kat arası göreliler 2007 Deprem Yönetmeliėi deėerlerine oranı sırası ile gösterilmiřtir.



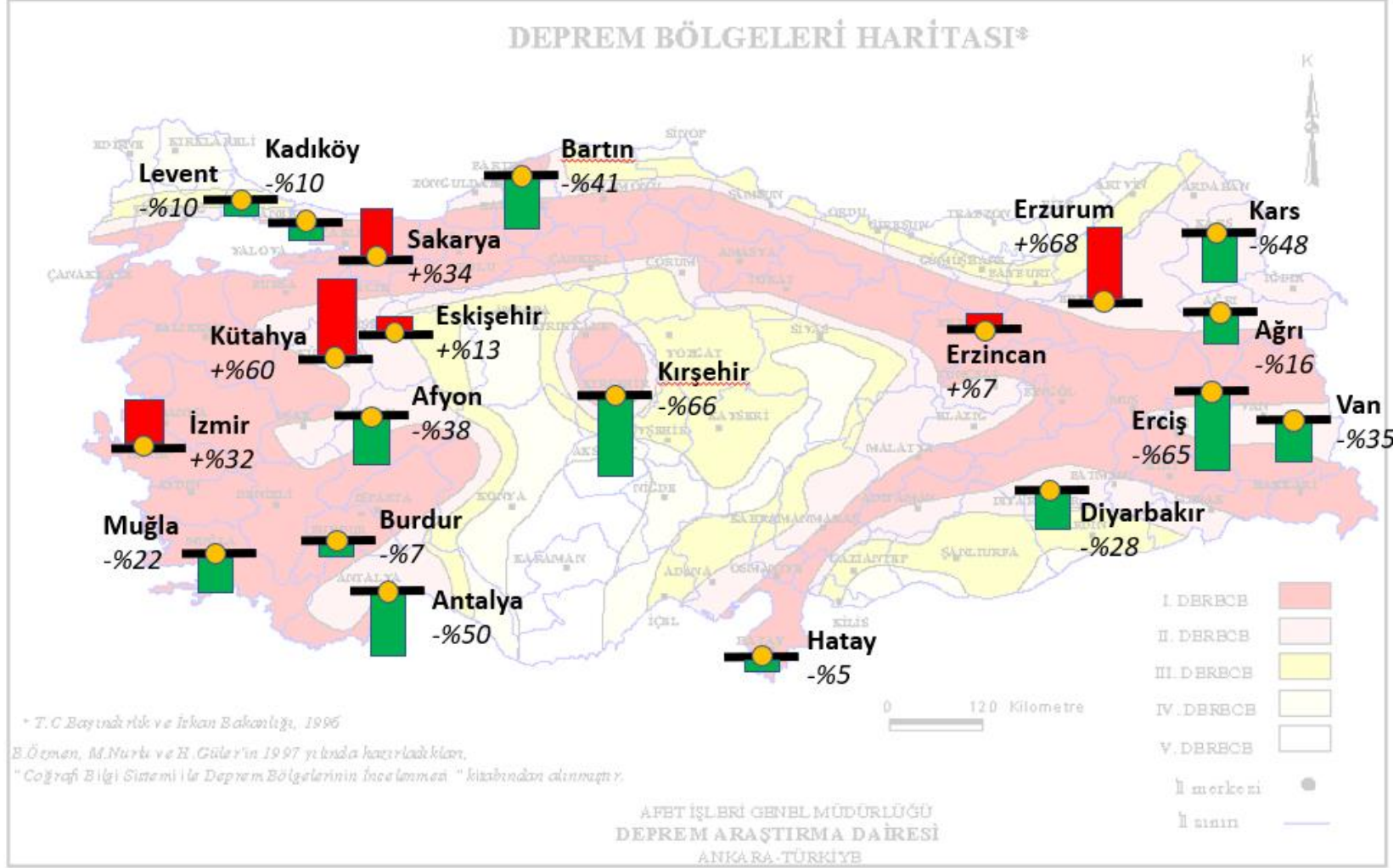
Şekil 6.104: 2019 Deprem Yönetmeliği Taleplerinin Doğurduğu En Büyük Kat Arası Görelü Ötelenmelerin 2007 Yönetmelik Değerlerine Oranı
 (Bina Grubu: Betonarme Çerçeve, Deprem Düzeyi 1).



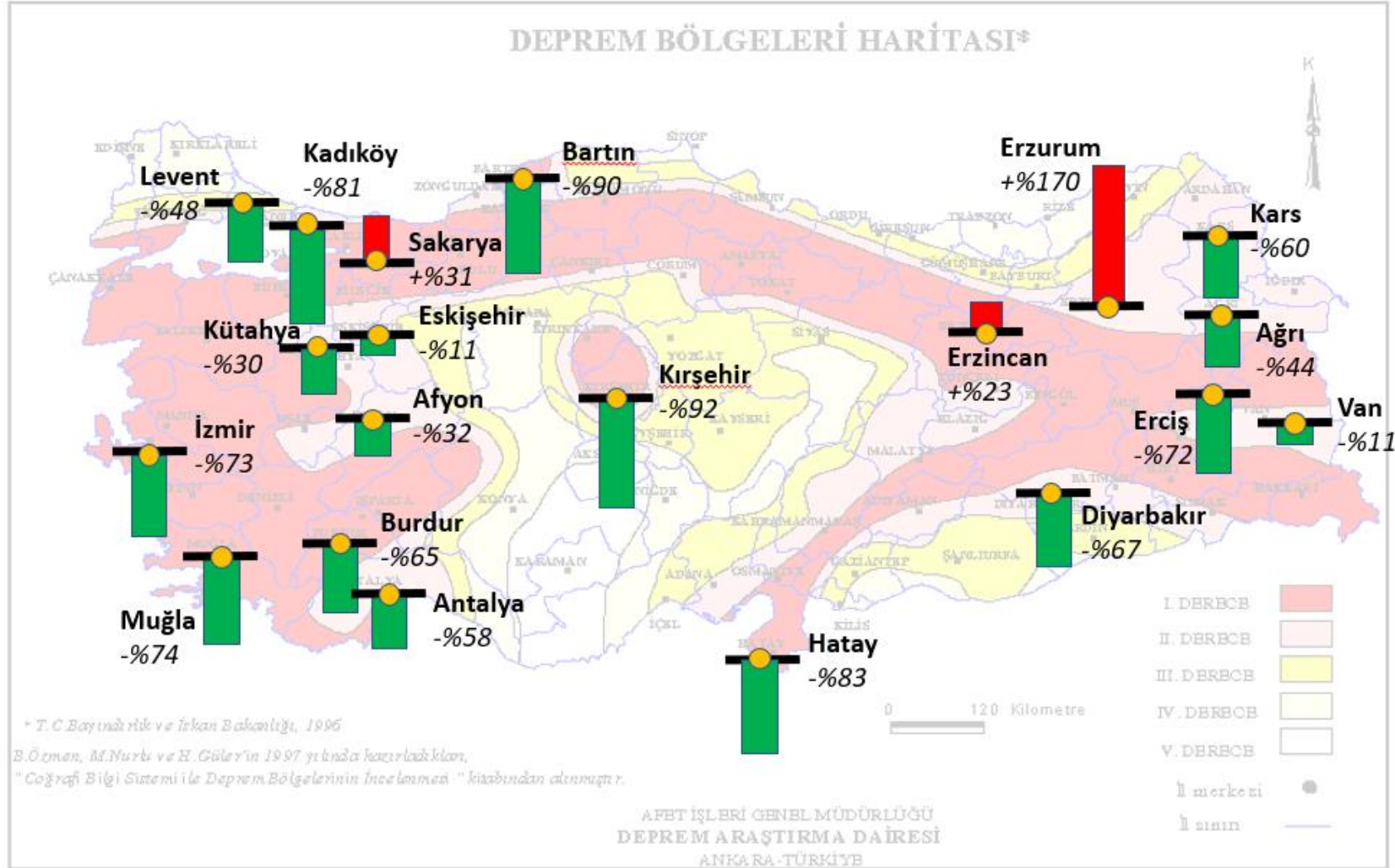
Şekil 6.105: 2019 Deprem Yönetmeliği Taleplerinin Doğurduğu En Büyük Kat Arası Görelî Ötelenmelerin 2007 Yönetmelik Değerlerine Oranı
 (Bina Grubu: Betonarme Çerçeve, Deprem Düzeyi 2).



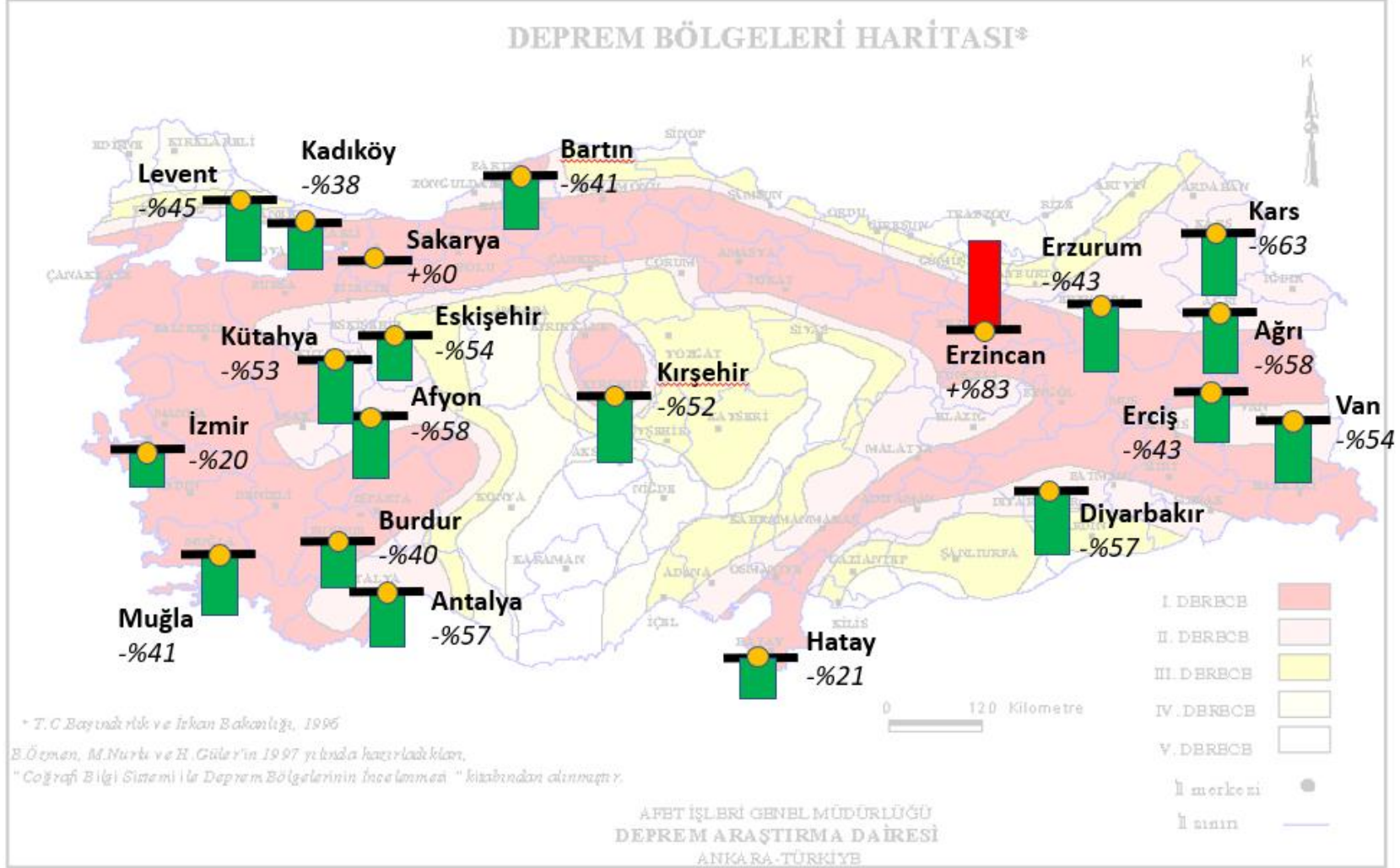
Şekil 6.106: 2019 Deprem Yönetmeliği Taleplerinin Doğurduğu En Büyük Kat Arası Görelî Ötelenmelerin 2007 Yönetmelik Değerlerine Oranı
 (Bina Grubu: Prefabrik Yapı, Deprem Düzeyi 1).



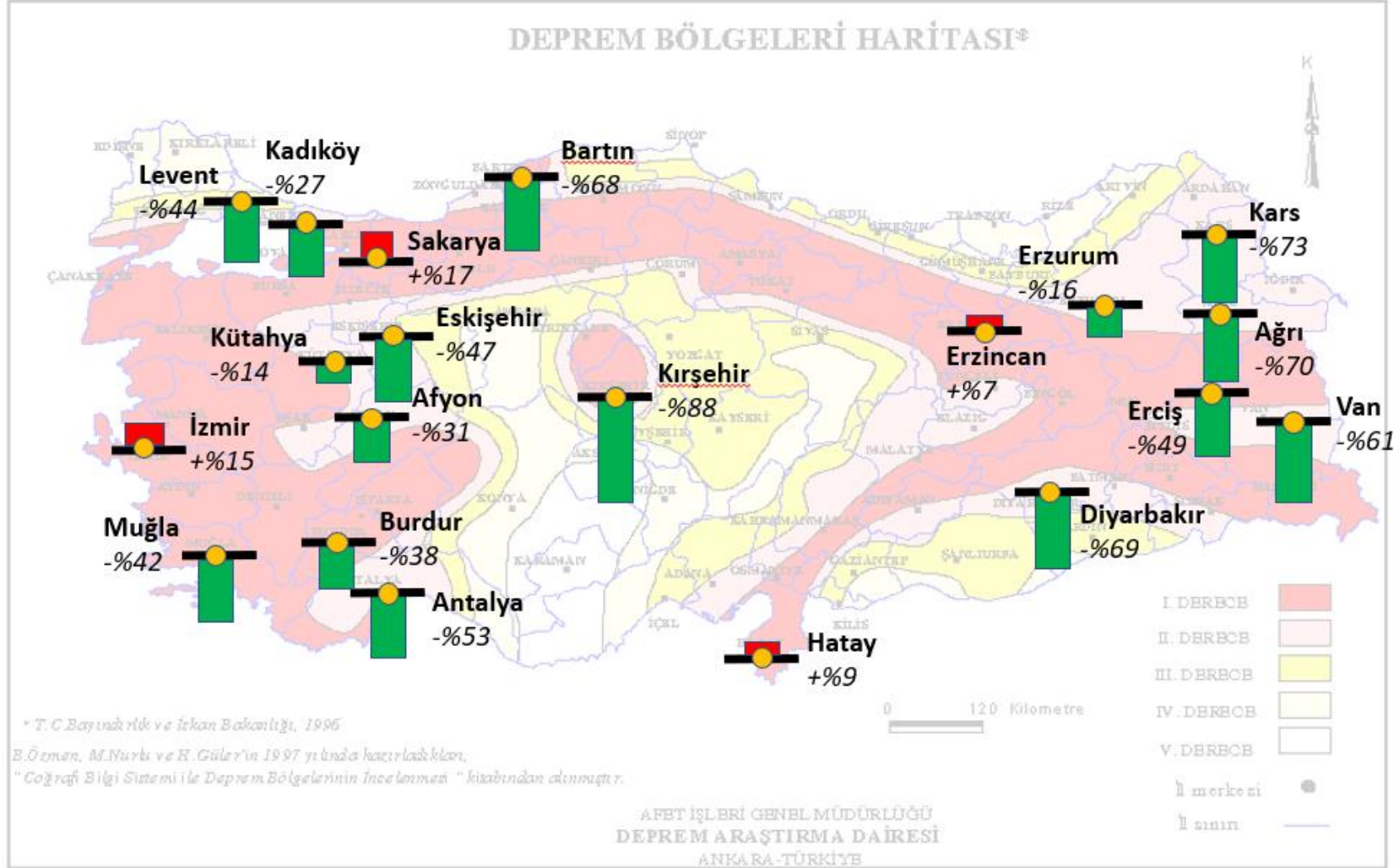
Şekil 6.107: 2019 Deprem Yönetmeliği Taleplerinin Doğurduğu En Büyük Kat Arası Görel Ötelenmelerin 2007 Yönetmelik Değerlerine Oranı
(Bina Grubu: Prefabrik Yapı, Deprem Düzeyi 2).



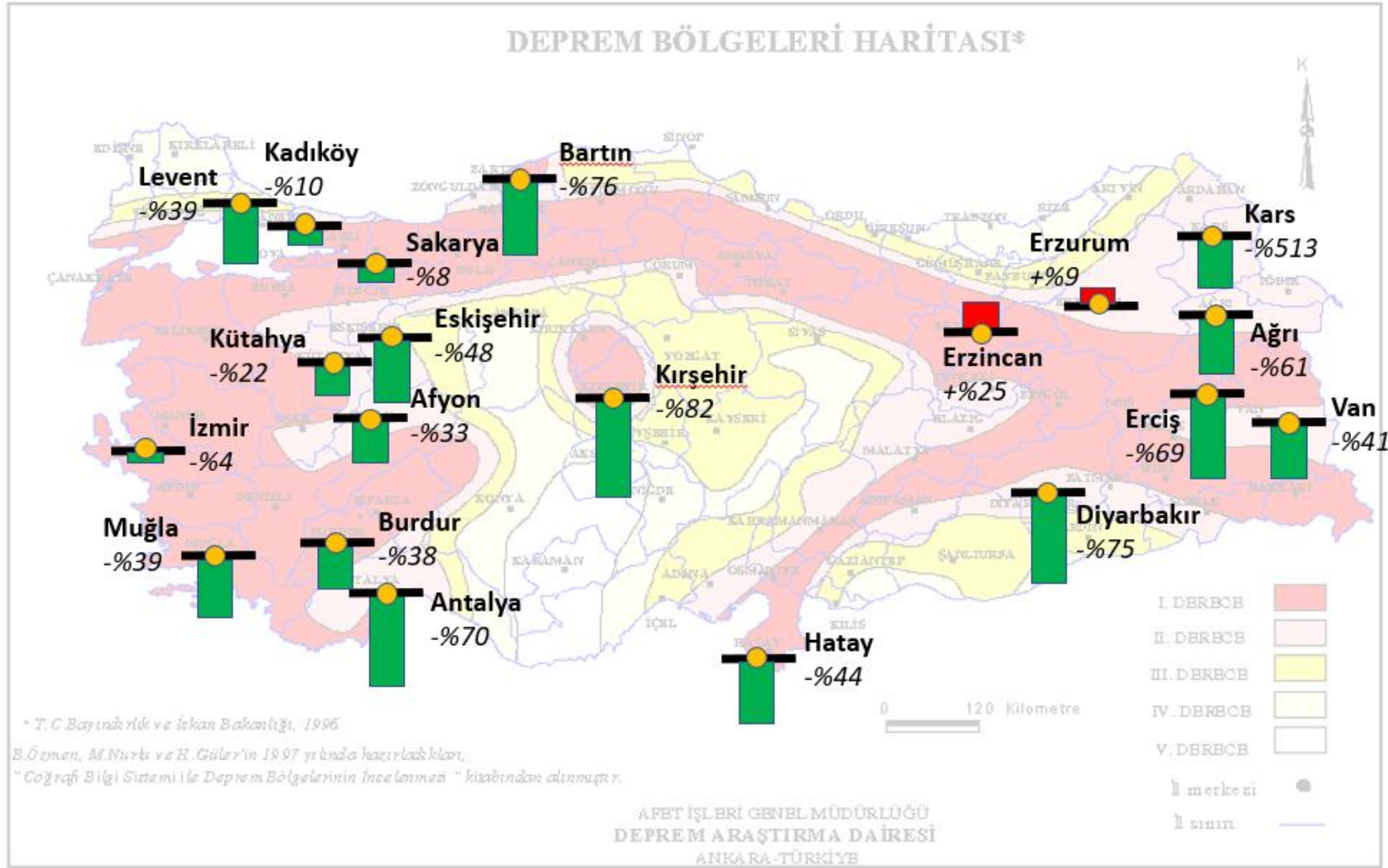
Şekil 6.108: 2019 Deprem Yönetmeliği Taleplerinin Doğurduğu En Büyük Kat Arası Görelî Ötelenmelerin 2007 Yönetmelik Değerlerine Oranı
(Bina Grubu: Taban İzolatörlü Yapı, Deprem Düzeyi 1).



Şekil 6.109: 2019 Deprem Yönetmeliği Taleplerinin Doğurduğu En Büyük Kat Arası Görelî Ötelenmelerin 2007 Yönetmelik Değerlerine Oranı
 (Bina Grubu: Taban İzolatörlü Yapı, Deprem Düzeyi 2).



Şekil 6.110: 2019 Deprem Yönetmeliği Taleplerinin Doğurduğu En Büyük Kat Arası Görelü Ötelenmelerin 2007 Yönetmelik Değerlerine Oranı
(Bina Grubu: Yüksek Yapılar, Deprem Düzeyi 1).



Şekil 6.111: 2019 Deprem Yönetmeliği Taleplerinin Doğurduğu En Büyük Kat Arası Görelü Ötelenmelerin 2007 Yönetmelik Değerlerine Oranı
 (Bina Grubu: Yüksek Yapılar, Deprem Düzeyi 2).



7. SONUÇLAR

Araştırma, deprem mühendisliğinde çeşitli yönetmeliklerde kullanılan ve MCE seviye (50 yılda aşılma olasılığı %2) depremin DBE tasarım deprem seviyesine (50 yılda aşılma olasılığı %10) oranının basit bir değer ile tarif edilmesi konusunu, bunun yanında sismik tehlike haritalarında yapılan değişikliklerin yapısal tasarım ve değerlendirmedeki etkisini irdelemektedir. Tezin hazırlanması, 2019 tarihli Yönetmelik ile paralel gittiğinden, zamanlama açısından Türkiye'deki belirli bir yapı portföyü için eski-yeni karşılaştırması yapmak da mümkün olmuştur.

Sismik tehlike haritalarında ve tasarım spektrumunun oluşturulmasında kullanılan MCE/DBE depremlerine ait spektrumlar arasında basit bir oran kullanma yaklaşımı bir basitleştirme gibi görülsede, esasen MCE deprem seviyesinin kullanılacağı yapılar genelde önemli yapılar olmakta, bu durumda da bu basit kabul bazen güvensiz tarafta kalabilmektedir. Bu güvensizlik, tamamen yapının bulunduğu bölge ve bu bölgenin deprem tehlikesi ile ilgilidir. Bu bölüm yapılan analizler sonucunda elde edilen verileri özetlemektedir. Ayrıca bu bölümün sonunda, konunun daha da derinleştirilip, ülkemizin deprem haritasını güncellenmesi için ileride yapılması gereken araştırmalar ile ilgili öneriler de verilmiştir.

Bu konu ile alakalı 9 adet 2 boyutlu çerçeve ve 3 boyutlu olmak üzere çeşitli yapı sistemleri seçilmiştir. Bu yapılardan 5 tanesi ülkemizde çoğunlukla inşa edilen 3 ile 8 katlı yapılardır, bir tanesi taban izolatörlü, 2 tanesi yüksek yapı (20 ve 24 katlı) ve 1 tanesi de sanayi bölgelerinde çokça inşa edilen prefabrik yapıdır.

Öncelikle, örnek yapı sistemlerinden bir tanesi seçilerek hassaslık analizleri yapılmıştır. Yapılan analizlerin doğru sonuca ulaşması için kullanılacak eleman sayıları ve her eleman için uygulanacak entegrasyon nokta sayısının giderek artması analiz sürelerini oldukça arttırmaktadır. Bu bağlamda, analizlerin hangi eleman ve entegrasyon nokta sayısı kullanarak yeteri kadar doğru sonuca yaklaşılmasının sağlandığı ve analizlerin süresini kısaltarak makul bir hale getirilmesi önem kazanmıştır. Bu çalışmada analiz süresinin kısaltılması için kabul edilebilir sonuçları

veren sistem tasarımını seçmek için bir dizi analiz yapılmıştır. Bu analizlerin neticesinde tez çalışmasında kullanılmak üzere en uygun sistem tasarımında eleman bölünme sayısı, entegrasyon nokta sayısı ve deplasman mı yoksa kuvvet tabanlı formülasyon kullanımının seçimi neticelendirilmiştir. Farklı modeller arasındaki en yüksek dayanım farkı, % 20 mertebesindedir. Yani, yapılan modellerde hepsi mantıklı modelleme seçeneklerini içeren tüm alternatiflerden en az dayanım değerini (250kN) veren model ile en yüksek dayanım değerini (300kN) veren model arasında %20 mertebesinde bir fark oluşmaktadır. Bu fark, yapının deplasmanları açısından incelendiğinde ise, yapıda kolonlarında ilk donatı akmasının meydana geldiği tepe deplasmanı değeri, en küçük ve en büyük değer meydana geldiği iki analiz arasında, %22 mertebesinde değişmektedir.

Yapılan hassaslık analizleri neticesinde örnek yapı sistemlerinin, kuvvet tabanlı formülasyon kullanılarak 4 entegrasyon noktasına sahip tek eleman olarak modellenmesi, analiz sonuçlarını kabul edilebilir seviyede olmasını ve analiz zamanlarının kısaltarak hata paylarının azalmasını sağlamıştır.

Türkiye genelinde olmak üzere 20 adet deprem bölgesi seçilmiştir. Bunlardan 10 tanesi 1. derece deprem bölgesinde, diğer 10 tanesi ise 2. derece deprem bölgesinde bulunmaktadır. Seçilen 9 adet örnek yapı modeli üzerinde kullanılan 20 şer adet deprem kayıtları, deprem düzeyi 1 (50 yılda aşılma olasılığı %2 ve dönüş periyodu 2475 yıl) ve deprem düzeyi 2 (50 yılda aşılma olasılığı %10 ve dönüş periyodu 475 yıl) olarak seçilmiştir. Böylece toplamda 7920 adet zaman tanım alanında analiz yapılmış. Bu analizler neticesinde yapıların taban kesme kuvvetleri, kat bazında kat öteleme oranları ve eksenel dönme miktarları hesaplanarak sonuçlar karşılaştırılmıştır.

7.1 Sonuçların Örnek Yapı Sistemleri Bazında İncelenmesi

Seçilen depremlere göre yapılan zaman tanım alanındaki analizler neticesinde, 2007 deprem yönetmeliği ile 2019 yılında yürürlüğe girecek yeni Deprem Yönetmeliği'nin 2016 taslağına göre bulunan sonuçlar karşılaştırılmıştır.

Taban Kesme kuvvetleri olarak bakıldığında, 1. Derece deprem bölgesi ve deprem seviyesi 1 için, 2019 Deprem Yönetmeliği'ne göre hesaplanan değerlerin 2007 Yönetmeliği'ne göre %65.34 küçük olabildiği ve maksimum %37.36 büyük değerler alabildiği görülmüştür. Aynı şekilde 1. Derece deprem bölgesi ve deprem seviyesi 2

için, 2019 Deprem Yönetmeliği'ne göre hesaplanan değerlerin 2007 Yönetmeliği'ne göre %69.02 küçük olabildiği ve maksimum %52.31 büyük değerler alabildiği görülmüştür. 2. Derece deprem bölgesi ve deprem seviyesi 1 için, 2019 Deprem Yönetmeliği'ne göre hesaplanan değerlerin 2007 Yönetmeliği'ne göre %40.36 küçük olabildiği ve maksimum %69.80 büyük değerler alabildiği görülmüştür. 2. Derece deprem bölgesi ve deprem seviyesi 2 için, 2019 Deprem Yönetmeliği'ne göre hesaplanan değerlerin 2007 Yönetmeliği'ne göre %56.05 küçük olabildiği ve maksimum %64.43 büyük değerler alabildiği görülmüştür.

Kat ötelenme oranları ve eksenel dönme miktarları incelenerek maksimum ve minimum değerlerin yapı sistemleri bazında karşılaştırılması Çizelge 7.1 ve Çizelge 7.2' de verilmiştir.

Çizelge 7.1: Kat ötelenme oranlarının en büyük ve en küçük değerlerinin yüzdesel değişiminin yapı sistemleri bazında karşılaştırılması.

<i>Yapı</i>	<i>1.Derece, DD-1</i>		<i>1.Derece, DD-2</i>		<i>2.Derece, DD-1</i>		<i>2.Derece, DD-2</i>	
	<i>Maks.</i>	<i>Min.</i>	<i>Maks.</i>	<i>Min.</i>	<i>Maks.</i>	<i>Min.</i>	<i>Maks.</i>	<i>Min.</i>
<i>20_Katlı_3D</i>	57.1%	-83.9%	22.9%	-83.4%	-	-70.6%	12.0%	-73.0%
<i>24_Katlı_2D</i>	32.8%	-93.4%	28.9%	-85.7%	-	-76.9%	0.4%	-77.8%
<i>Aydın_Üniv</i>	26.5%	-92.2%	79.7%	-51.6%	264.7%	-67.4%	-	-56.8%
<i>Gedikbulak_3D</i>	132.2%	-79.4%	168.2%	-77.4%	470.3%	-41.8%	219.2%	-24.2%
<i>PFN_4_1</i>	-	-90.7%	-	-76.4%	10.3%	-69.9%	63.2%	-46.6%
<i>PFN_5_1</i>	6.5%	-96.7%	-	-91.5%	-	-86.2%	43.7%	-72.1%
<i>PFN_6_1</i>	-	-83.5%	35.6%	-69.2%	-	-80.0%	24.5%	-51.3%
<i>PFN_8_2</i>	-	-96.5%	149.8%	-78.5%	33.5%	-86.9%	197.4%	-48.1%
<i>Prefabrik_Yapı</i>	142.6%	-78.7%	34.4%	-65.6%	-	-71.3%	68.3%	-50.4%

Bu tablolara bakıldığında, bölgelere bağlı değişimin çok büyük olduğu, bunun da 2007 Yönetmeliği'ne göre analizleri yapılan örnek yapıların kimi bölgelerde çok büyük taşıyıcı sistem boyutları seçilerek yapı maliyetini arttırdığı, kimi yerde ise bölgenin yüksek depremselliği nedeniyle seçilen taşıyıcı sistemin yetersiz kalarak beklenmeyen hasarlara yol açabileceği görülmektedir.

Çizelge 7.2: Eksenel dönme miktarlarının en büyük ve en küçük değerlerinin yüzdesel değişiminin yapı sistemleri bazında karşılaştırılması.

Yapı	1.Derece, DD-1		1.Derece, DD-2		2.Derece, DD-1		2.Derece, DD-2	
	Maks.	Min.	Maks.	Min.	Maks.	Min.	Maks.	Min.
20_Katlı_3D	88.7%	-94.2%	28.3%	-93.9%	-	-85.8%	12.9%	-90.2%
24_Katlı_2D	36.5%	-92.6%	50.5%	-71.6%	8.8%	-73.5%	20.6%	-61.9%
Aydın_Üniv	26.5%	-94.4%	95.7%	-62.6%	215.6%	73.1%	-	-69.3%
Gedikbulak_3D	243.3%	-61.2%	188.9%	-31.2%	296.5%	-62.1%	331.7%	-4.4%
PFN_4_1	17.8%	-87.9%	-	-82.4%	-	-75.0%	76.9%	-51.1%
PFN_5_1	6.5%	-96.9%	-	-92.2%	-	-96.2%	43.7%	-72.1%
PFN_6_1	-	-85.1%	36.5%	-72.9%	-	-80.8%	24.5%	-52.3%
PFN_8_2	-	-95.7%	147.6%	-74.5%	34.9%	-86.5%	186.3%	-44.9%
Prefabrik_Yapı	143.3%	-78.7%	34.4%	-65.6%	-	-71.3%	69.0%	-50.2%

7.2 Gelecekte Yapılacak Çalışmalar İçin Öneriler

Bu çalışma ile, 2007 Deprem Yönetmeliği'nin yapılara etkiyen deprem kuvvetlerini belirlemek için kullanılan spektrum değerlerinin ülkemizdeki çeşitli noktalarda inşa edilmiş veya inşa edilmesi planlanan yapılarda ki etkileri araştırılmıştır. Ülkemizin depremselliğini, 2007 Deprem Yönetmeliği'nde verilen değerler ile genellemenin, bu tezde kullanılan örnek yapıların analizlerine göre, bazı bölgelerdeki yapılarda gereksiz büyük boyutlarda taşıyıcı sistem seçimini gerektirdiği, bazı bölgelerde ise hasarların meydana gelebileceğinden dolayı yetersiz olduğu görülmüştür. Bu nedenle, bu çalışmayı genişletmek adına daha fazla örnek yapı sistemleri, daha çok bölgede incelenip ve bu bölgelerin sismik tehlike analizleri ile depremselliklerinin belirlenmesi ve yeni Deprem Yönetmeliği'ndeki (2019) Türkiye deprem haritasının kullanılması gerekmektedir.

KAYNAKLAR

- ACI Committee 318.** (2011). Building Code Requirements for Structural Concrete (ACI 318-11) and Commentary (318R-11R), *American Concrete Institute*, Farmington Hills, Mich.
- Akkar, S. ve Çağnan, Z.** (2010). A local ground-motion predictive model for Turkey and its comparison with other regional and global ground-motion models. *Bulletin of the Seismological Society of America*, 100 (6), 2978– 2995.
- Akkar, S., Sandıkkaya, M.A. ve Bommer, J.J.** (2014). Empirical Ground-Motion Models for Point- and Extended-Source Crustal Earthquake Scenarios in Europe and the Middle East, *Bulletin of Earthquake Engineering*, 12, 359-387.
- Akkar, S., Azak, T.E., Çan, T., Çeken U., Demircioğlu, M.B., Duman, T., Ergintav, S., Kadiroğlu, F.T., Kalafat, D., Kale, Ö., Kartal, R.F., Kılıç, T., Özalp, S., Şeşetyan, K., Tekin, S., Yakut, A., Yılmaz, M.T., Zülfiyar, Ö.,** (2014). Türkiye Sismik Haritasının Güncellenmesi (UDAP-Ç-13-06 Projesi), *Ulusal Deprem Araştırma Projesi*
- Anderson, J., and M. D. Trifunac** (1978). Uniform risk functionals for characterization of strong earthquake ground motion, *Bull. Seism. Soc. Am.* 68, no. 1, 205–218.
- Antoniou S. and Pinho R.** [2004b] Development and Verification of a Displacement based and Adaptive Pushover Procedure. *Journal of Earthquake Engineering*, Vol. 8, No. 5, pp. 643-661.
- Atkinson, G.M., ve Boore, G.M.** (2003). Empirical ground-motion relationships for subduction-zone earthquakes and their application to Cascadia and other regions. *Bulletin of Seismological Society of America*, 93, 1703-1729.
- Bal, İ. E., Crowley, H., Pinho, R. and Gülay, G.** (2007). Structural characteristics of Turkish building stock in Northern Marmara Region for loss assessment applications, *ROSE Research Report 2007/03*, IUSS Press, Pavia, Italy.
- Bal İ.E., Crowley, H., Pinho, R. and Gülay G.,** (2008b). Detailed assessment of structural characteristics of Turkish RC building stock for loss assessment models, *Soil Dynamics and Earthquake Engineering*, 28(10-11), 914-932.
- Bal, İ.E.** (2005). *Rapid assessment techniques for collapse vulnerability of reinforced concrete buildings*, (MSc Thesis), Istanbul Technical University, Civil Engineering Department, İstanbul.

- Barbachyn, S., Kurama, Y., and Novak, L. C.**, (2012). Analytical evaluation of diagonally reinforced concrete coupling beams under lateral loads, *ACI Structural Journal*, July-August 2012.
- Beyer, K., Dazio, A., and Priestley, M. J. N.** (2008) . Seismic design of torsionally eccentric buildings with U-shaped RC walls,. *IUSS Press*, Pavia, Italy.
- Bower, O. J., and Rassati, G. A.** (2008). Axial Restraint in Diagonally Reinforced Coupling Beams: An Analytical Investigation. *Structures 2008: Crossing Borders*, ASCE.
- Brena, S., Ruiz, M. F., Kostic, N., and Muttoni, A.** (2009). Modeling Techniques to Capture the Backbone Envelope Behavior of Coupling Beams Subjected to Seismic Loading. *Studies and Researches*, V.29, Graduate School in Concrete Structures – Fratelli Pesenti, Politecnico di Milano, Italy.
- Chiou, B.S.J. ve Youngs, R.R.** (2008). An NGA Model for the Average Horizontal Component of Peak Ground Motion and Response Spectra. *Earthquake Spectra*, 24 (1), 173-215.
- Coleman, J., and Spacone, E.** (2001) .Localization issues in force-based frame elements,. *Journal of Structural Engineering*, 127 (11), pp. 1257-1265.
- Cornell, C. A.** (1968). Engineering seismic risk analysis, *Bull. Seism. Soc. Am.* 58, no. 5, 1583–1606. *Erratum*: 59, no. 4, 1733.
- DBYBHY** (2007), *Deprem Bölgelerinde Yapılacak Binalar Hakkında Yönetmelik (TDY-07)*, Bayındırlık ve İskan Bakanlığı, Ankara.
- Emre, Ö., Duman, T.Y., Özalp, S., Elmacı, H., Olgun, Ş. ve Şaroğlu, F.** (2013). Açıklamalı Türkiye Diri Fay Haritası. Ölçek 1:1.250.000, VI+89s.+bir pafta, *Maden Tetkik ve Arama Genel Müdürlüğü, Özel Yayın Serisi-30*, Ankara, Türkiye.
- Frankel, A., C. Mueller, T. Barnhard, E. Leyendecker, R. Wesson, S. Harmsen, F. Klein, D. Perkins, N. Dickman, S. Hanson, ve M. Hopper,** (2000), USGS national seismic hazard maps, *Earthquake Spectra*, 16, pp:1-19.
- Gardner, J.K. ve Knopoff, L.** (1974). Is the sequence of earthquakes in Southern California, with aftershocks removed, Poissonian? *Bulletin of the Seismological Society of America* 64, 1363–1367.
- Giuffrè, A. and Pinto, P.E.** (1970) .Il comportamento del cemento armato per sollecitazioni cicliche di forte intensità. *Giornale del Génio Civile* (in Italian).
- Hindi R., and Hassan, M.** (2007). Simplified Trilinear Behavior of Diagonally Reinforced Coupling Beams. *ACI Structural Journal*, March-April 2007.
- Izzuddin B.A.** (1991).*Nonlinear Dynamic Analysis of Framed Structures*, (PhD Thesis) Imperial College, University of London, London, UK.
- Kalafat, D., Güneş, Y., Kekovalı, K., Kara, M., Deniz, P., Yilmazer, M.**, (2011), Bütünleştirilmiş Homojen Türkiye Deprem Kataloğu (1900-2010; $M \geq 4.0$), *Boğaziçi Üniversitesi, Kandilli Rasathanesi ve Deprem Araştırma Enstitüsü*

- Kandilli Rasathanesi ve Deprem Araştırma Enstitüsü**
<http://www.koeri.boun.edu.tr/sismo/2/deprem-bilgileri/genel-bilgiler/> .
- Kent, D. C., and Park, R.** (1971). Flexural Member with Confined Concrete. *Journal of Structural Division, Proceedings of the American Society for Civil Engineers* 97 (ST7), 1969-1990.
- Kijko, A. ve Smit, A.** (2012). Extension of the Aki-Utsu b-Value Estimator for Incomplete Catalogs. *Bulletin of the Seismological Society of America*, 102 (3), 1283–1287. doi:10.1785/0120110226
- Krinitzsky, E. L.** (2002). How to obtain earthquake ground motions for engineering design, *Eng. Geol.* 65, 1–16.
- Lin, P.S. ve Lee, C.T.** (2008). Ground-motion attenuation relationships for subduction zone earthquakes in Northeastern Taiwan, *Bulletin of the Seismological Society of America*, 98, 220-240.
- Lu, X., Chen, Y.,** (2005). Modeling of coupled shear walls and its experimental verification, *ASCE Journal of Structural Engineering*, January 2005.
- Manegotto, M., and Pinto, E.** (1973). Method of Analysis for Cyclically Loaded Reinforced Concrete Plane Frames Including Changes in Geometry and Non-elastic Behavior of Elements under Combined Normal Force and Bending, *IABSE Symposium*, Lisbon, Portugal.
- Mathworks,** (2010). Matlab v.2010a, MA, USA.
- McGuire, R. K.** (1976). FORTRAN computer program for seismic risk analysis, U.S. Geol. Surv. Open-File Rept. 76-67.
- Milne, W. G., and A. G. Davenport** (1969). Distribution of earthquake risk in Canada, *Bull. Seism. Soc. Am.* 59, no. 2, 729–754.
- Naish, D., Fry, A., Klemencic, R., Wallace, J.,** (2013). Reinforced Concrete Coupling Beams-Part I: Testing, *ACI Structural Journal*, November-December 2013
- Nacim, F., ve Kelly, J. M.** (1999). Design of seismic isolated structures: From theory to practice. *John Wiley & Sons* (s. 2-3). New York.
- Neuenhofer, A., and Filippou, F. C.** (1997). Evaluation of nonlinear frame finite element models. *ASCE Journal of Structural Engineering*, 123 (7), pp. 958-966.
- OpenSees,** (2013). Open System for Earthquake Engineering Simulation, *Pacific Earthquake Engineering Research Center*, University of California, Berkeley, California.
- Paulay, T., and Binney, J. R.** (1974). Diagonally Reinforced Coupling Beams of Shear Walls. *Shear in Reinforced Concrete*, SP-42, American Concrete Institute, Farmington Hills, Mich., 579-598.
- Paulay, T.** (1969). *Coupling Beams of Reinforced Concrete Shear Walls*. (PhD. Thesis), University of Canterbury.
- Paulay, T.** (1980). Earthquake Resisting Shearwalls. *New Zeland Design Trends. ACI Journal*, May-June, pp. 144-152.

- Paulay, T.** (2002). A Displacement-focused seismic design of mixed-building systems. *Earthquake Spectra*, Vol 18, No.4, pp. 689-718.
- Paulay, T., and Binney, J. R.** (1974). Diagonally Reinforced Coupling Beams of Shear Walls. *Shear in Reinforced Concrete*, SP-42, American Concrete Institute, Farmington Hills, Mich., 579-598.
- Paulay, T., Priestley, M.J.N.,** (1992). Seismic design of reinforced concrete and masonry buildings, *Wiley*, New York, 744pp.
- PEER/ATC 72-1** (2010). Modeling and Acceptance Criteria for Seismic Design and Analysis of Tall Buildings, *Applied Technology Council*, Redwood City, CA.
- PEER Ground Motion Database, NGA-West2 Shallow Crustal Earthquakes in Active Tectonic Regimes** <http://ngawest2.berkeley.edu>.
- Priestley M.J.N., Calvi G.M. ve Kowalsky M.J.,** (2007). Displacement-Based Seismic Design of Concrete Structures, *Proc. 3rd Congreso Nacional de Ingeniería Sísmica*, Girona, Spain.
- Reiter, L.** (1990). *Earthquake Hazard Analysis: Issues and Insight*, Columbia University Press, New York.
- Scott B.D., Park R. and Priestley M.J.N.** (1982) Stress-strain behaviour of concrete confined by overlapping hoops at low and high strain rates, *ACI Journal*, Vol. 79, No. 1, pp. 13-27.
- Seismosoft** (2016), SeismoStruct http://www.seismosoft.com/Public/EditorUpload/Documents/SeismoStruct_User_Manual_en.pdf.
- Stepp J.C.** (1972). Analysis of completeness of earthquake sample in the Puget Sound area and its effect on statistical estimates of earthquake hazard. *Proc. International Conference on Microzonation*, Seattle, Washington, v.2, p.897-910.
- Toprak, A. E.** (2015). *The effect of coupling ratio on nonlinear behavior of coupled shear walls*, (Doktora tezi). İstanbul Teknik Üniversitesi, Fen Bilimleri Enstitüsü, İstanbul.
- Toprak, A. E., Gulay F.G., Bal, I.E.** (2012). Coupling Ratio Verification of Direct Displacement based Design Procedure for RC Coupled Walls, *The 2012 International Conference on Advances in Coupled Systems Mechanics ASCM'12*, Seoul, Korea.
- Yassin, E. H. M.** (2014). *Nonlinear Analysis of Prestressed Concrete Structures under Monotonic and Cyclic Loads*. (Ph.D. Thesis), University of California, Berkeley.
- Youngs R.R.ve Coppersmith K.J.** (1985), Implications of Slip rates and earthquake recurrence models to probabilistic seismic hazard estimates, *Bulletin of the Seismological Society of Amerika*, Vol:75, No:4, pp:939-964.
- Youngs, R., Chiou, S., Silva, W. ve Humphrey, J.** (1997). Strong ground motion attenuation relationships for subduction zone earthquakes, *Seism. Res. Lett.* 68, 58-73.

- Zeris, C. and Mahin, S.A.** (1991). Behaviour of reinforced concrete structures subjected to biaxial excitation, *Journal of Structural Engineering*, ASCE, 117 (9), pp 2657-2673.
- Zeris, C. and Mahin, S.A.** (1988). Analysis of reinforced concrete beam column under uniaxial excitation, *Journal of Structural Engineering*, ASCE, 114 (4), pp 804-820.
- Zhao, Z. Z., Kwan, A. K. H., and He, X. G.** (2004). Nonlinear Finite Element Analysis of Deeper Reinforced Concrete Coupling Beams. *Engineering Structures*, V.26, No. 10, 822-826.
- Zhao, J.X., Zhang, J., Asano, A., Ohno, Y., Oouchi, T., Takahashi, T., Ogawa, H., Irikura, K. Thio, H.K., Somerville, P.G. ve Fukushima, Y.** (2006). Attenuation relations of strong ground motion in Japan using site classification based on predominant period. *Bulletin of the Seismological Society of America*, 96 (3), 898–913.
- Weichert, D H.** (1980). Estimation of the earthquake recurrence parameters for unequal observation periods for different magnitudes. *Bulletin of the Seismological Society of America*, Vol. 70, 1337-1346.
- Wells, D.L., and Coppersmith, K.J.,** (1994), New empirical relationships among magnitude, rupture length, rupture width, rupture area, and surface displacement: *Bulletin of the Seismological Society of America*, v. 84, p. 974–1,00



EKLER

EK A: Analizlerde Kullanılan depremlerin isimleri ve ölçek katsayıları listesi

EK B: Analizlerde Kullanılan depremlerin spectral ivme (S_a) grafikleri





EK A: Çizelge A.1 : Analizlerde Kullanılan depremlerin isimleri ve ölçek katsayıları listesi.

2007 Yönetmeliği, 1. Derece Deprem Bölgesi, ZC Zemin Sınıfı, DD_1

PFN_4_1		PFN_5_1		PFN_6_1		PFN_8_2		Prefabrik Yapı	
1	SF_1.1864_DUZCE_BOL000.AT2	SF_1.1864_DUZCE_BOL000.AT2	SF_1.1864_DUZCE_BOL000.AT2	SF_1.3427_NORTHR_SUN280.AT2	SF_1.4130_NORTHR_SUN280.AT2	SF_1.4130_NORTHR_SUN280.AT2	SF_1.4130_NORTHR_SUN280.AT2	SF_1.8369_IMPVAL H-E03140.AT2	
2	SF_1.2368_CHICHI_TCU071-N.AT2	SF_1.2368_CHICHI_TCU071-N.AT2	SF_1.2368_CHICHI_TCU071-N.AT2	SF_1.4112_SUPERST_B-PLS135.AT2	SF_1.4466_LOMAP_HDA165.AT2	SF_1.4466_LOMAP_HDA165.AT2	SF_1.4466_LOMAP_HDA165.AT2	SF_1.9513_CHICHI_TCU046-N.AT2	
3	SF_1.3498_NORTHR_OBR090.AT2	SF_1.3498_NORTHR_OBR090.AT2	SF_1.3498_NORTHR_OBR090.AT2	SF_1.4324_IMPVAL H-E06230.AT2	SF_1.4807_IMPVAL H-E06230.AT2	SF_1.4807_IMPVAL H-E06230.AT2	SF_1.4807_IMPVAL H-E06230.AT2	SF_1.9695_LOMAP_CHO7000.AT2	
4	SF_1.3843_CHICHI_TCU065-E.AT2	SF_1.3843_CHICHI_TCU065-E.AT2	SF_1.3843_CHICHI_TCU065-E.AT2	SF_1.4514_LOMAP_HDA165.AT2	SF_1.5284_NORTHR_WIL180.AT2	SF_1.5284_NORTHR_WIL180.AT2	SF_1.5284_NORTHR_WIL180.AT2	SF_2.0323_LOMAP_CLS090.AT2	
5	SF_1.4596_CHICHI_TCU072-E.AT2	SF_1.4596_CHICHI_TCU072-E.AT2	SF_1.4596_CHICHI_TCU072-E.AT2	SF_1.4872_CHICHI03_TCU076-E.AT2	SF_1.5669_CHICHI_WGK-E.AT2	SF_1.5669_CHICHI_WGK-E.AT2	SF_1.5669_CHICHI_WGK-E.AT2	SF_2.0499_NORTHR_PHP270.AT2	
6	SF_1.4747_PALMSPR_TFS090.AT2	SF_1.4747_PALMSPR_TFS090.AT2	SF_1.4747_PALMSPR_TFS090.AT2	SF_1.5145_CHICHI_CHY101-N.AT2	SF_1.5896_CHICHI03_TCU076-E.AT2	SF_1.5896_CHICHI03_TCU076-E.AT2	SF_1.5896_CHICHI03_TCU076-E.AT2	SF_2.1077_LOMAP_SSF115.AT2	
7	SF_1.4912_NORTHR_SUN280.AT2	SF_1.4912_NORTHR_SUN280.AT2	SF_1.4912_NORTHR_SUN280.AT2	SF_1.5635_LANDERS_CAS270.AT2	SF_1.5912_CHICHI_CHY101-N.AT2	SF_1.5912_CHICHI_CHY101-N.AT2	SF_1.5912_CHICHI_CHY101-N.AT2	SF_2.2429_CHICHI03_TCU129-E.AT2	
8	SF_1.4998_NORTHR_OAK170.AT2	SF_1.4998_NORTHR_OAK170.AT2	SF_1.4998_NORTHR_OAK170.AT2	SF_1.5957_NORTHR_PIC090.AT2	SF_1.6002_IMPVAL H-ECC092.AT2	SF_1.6002_IMPVAL H-ECC092.AT2	SF_1.6002_IMPVAL H-ECC092.AT2	SF_2.2546_LOMAP_WDS000.AT2	
9	SF_1.5244_SUPERST_B-PLS135.AT2	SF_1.5244_SUPERST_B-PLS135.AT2	SF_1.5244_SUPERST_B-PLS135.AT2	SF_1.6870_NORTHR_WIL180.AT2	SF_1.6499_LANDERS_CAS270.AT2	SF_1.6499_LANDERS_CAS270.AT2	SF_1.6499_LANDERS_CAS270.AT2	SF_2.2678_SUPERST_B-BRA315.AT2	
10	SF_1.5246_NORTHR_LOA092.AT2	SF_1.5246_NORTHR_LOA092.AT2	SF_1.5246_NORTHR_LOA092.AT2	SF_1.6913_NORTHR_LIT180.AT2	SF_1.6815_KOCAELI_DHM090.AT2	SF_1.6815_KOCAELI_DHM090.AT2	SF_1.6815_KOCAELI_DHM090.AT2	SF_2.2932_KOCAELI_DHM000.AT2	
11	SF_1.5795_IMPVAL H-E06230.AT2	SF_1.5795_IMPVAL H-E06230.AT2	SF_1.5795_IMPVAL H-E06230.AT2	SF_1.7056_CHICHI_CHY006-N.AT2	SF_1.7224_NORTHR_PIC090.AT2	SF_1.7224_NORTHR_PIC090.AT2	SF_1.7224_NORTHR_PIC090.AT2	SF_2.3051_NORTHR_WBA000.AT2	
12	SF_1.6147_CHICHI_WGK-E.AT2	SF_1.6147_CHICHI_WGK-E.AT2	SF_1.6147_CHICHI_WGK-E.AT2	SF_1.7141_UPLAND_UP90S-H2.AT2	SF_1.7280_CHICHI_CHY006-N.AT2	SF_1.7280_CHICHI_CHY006-N.AT2	SF_1.7280_CHICHI_CHY006-N.AT2	SF_2.3160_KOCAELI_USK090.AT2	
13	SF_1.6206_CHICHI_TCU065-N.AT2	SF_1.6206_CHICHI_TCU065-N.AT2	SF_1.6206_CHICHI_TCU065-N.AT2	SF_1.7290_IMPVAL H-E03140.AT2	SF_1.7761_COALINGA_H-Z11090.AT2	SF_1.7761_COALINGA_H-Z11090.AT2	SF_1.7761_COALINGA_H-Z11090.AT2	SF_2.3375_LANDERS_WST000.AT2	
14	SF_1.6440_CHICHI03_TCU076-E.AT2	SF_1.6440_CHICHI03_TCU076-E.AT2	SF_1.6440_CHICHI03_TCU076-E.AT2	SF_1.7757_KOCAELI_DHM090.AT2	SF_1.7796_UPLAND_UP90S-H2.AT2	SF_1.7796_UPLAND_UP90S-H2.AT2	SF_1.7796_UPLAND_UP90S-H2.AT2	SF_2.2546_LOMAP_WDS000.AT2	
15	SF_1.6651_CHICHI_CHY101-N.AT2	SF_1.6651_CHICHI_CHY101-N.AT2	SF_1.6651_CHICHI_CHY101-N.AT2	SF_1.7844_WHITTIER_A-BAD000.AT2	SF_1.7865_IMPVAL H-E04230.AT2	SF_1.7865_IMPVAL H-E04230.AT2	SF_1.7865_IMPVAL H-E04230.AT2	SF_2.3601_SUPERST_B-ICCC000.AT2	
16	SF_1.7069_CHICHI_TCU052-E.AT2	SF_1.7069_CHICHI_TCU052-E.AT2	SF_1.7069_CHICHI_TCU052-E.AT2	SF_1.8051_CHICHI03_TCU129-E.AT2	SF_1.8448_LIVERMOR_B-SRM340.AT2	SF_1.8448_LIVERMOR_B-SRM340.AT2	SF_1.8448_LIVERMOR_B-SRM340.AT2	SF_2.3771_CHICHI_CHY101-E.AT2	
17	SF_1.7436_IMPVAL H-ECC092.AT2	SF_1.7436_IMPVAL H-ECC092.AT2	SF_1.7436_IMPVAL H-ECC092.AT2	SF_1.8348_IMPVAL H-E04140.AT2	SF_1.8614_IMPVAL H-E03140.AT2	SF_1.8614_IMPVAL H-E03140.AT2	SF_1.8614_IMPVAL H-E03140.AT2	SF_2.4016_IMPVAL H-E13140.AT2	
18	SF_1.7621_NORTHR_PIC090.AT2	SF_1.7621_NORTHR_PIC090.AT2	SF_1.7621_NORTHR_PIC090.AT2	SF_1.8676_LOMAP_CLS090.AT2	SF_1.8970_LOMAP_WDS090.AT2	SF_1.8970_LOMAP_WDS090.AT2	SF_1.8970_LOMAP_WDS090.AT2	SF_2.4340_LIVERMOR_B-SRM070.AT2	
19	SF_1.8221_IMPVAL H-E04230.AT2	SF_1.8221_IMPVAL H-E04230.AT2	SF_1.8221_IMPVAL H-E04230.AT2	SF_2.0136_NORTHR_PAR--LAT2	SF_1.9962_LOMAP_G01090.AT2	SF_1.9962_LOMAP_G01090.AT2	SF_1.9962_LOMAP_G01090.AT2	SF_2.4502_CHICHI_TTN051-N.AT2	
20	SF_1.9105_IMPVAL H-E03140.AT2	SF_1.9105_IMPVAL H-E03140.AT2	SF_1.9105_IMPVAL H-E03140.AT2	SF_2.0656_IMPVAL H-E05230.AT2	SF_2.1193_IMPVAL H-E05230.AT2	SF_2.1193_IMPVAL H-E05230.AT2	SF_2.1193_IMPVAL H-E05230.AT2	SF_2.5270_CHICHI_CHY024-E.AT2	
								SF_2.7265_CHICHI_TCU119-N.AT2	
Aydın Üniv. Yapısı		Gedikbulak_3D		20_Katlı_3D_Yapı		24_Katlı_2D_CS			
1	SF_2.0526_MANJIL_190024.AT2	SF_0.9156_CHICHI_CHY080-E.AT2	SF_0.9156_CHICHI_CHY080-E.AT2	SF_2.8923_LOMAP_SJW160.AT2	SF_2.0114_CHICHI_CHY006-N.AT2	SF_2.0114_CHICHI_CHY006-N.AT2	SF_2.0114_CHICHI_CHY006-N.AT2	SF_2.0114_CHICHI_CHY006-N.AT2	
2	SF_2.1573_CHICHI_TCU122-N.AT2	SF_0.9353_CHICHI_CHY028-E.AT2	SF_0.9353_CHICHI_CHY028-E.AT2	SF_3.0528_WESTMORL_BRA315.AT2	SF_2.0328_KOCAELI_USK090.AT2	SF_2.0328_KOCAELI_USK090.AT2	SF_2.0328_KOCAELI_USK090.AT2	SF_2.0328_KOCAELI_USK090.AT2	
3	SF_2.1814_CHICHI_TCU076-E.AT2	SF_0.9404_DUZCE_ATS300.AT2	SF_0.9404_DUZCE_ATS300.AT2	SF_3.1146_CHICHI_HWA045-N.AT2	SF_2.093_NORTHR_OAK170.AT2	SF_2.093_NORTHR_OAK170.AT2	SF_2.093_NORTHR_OAK170.AT2	SF_2.093_NORTHR_OAK170.AT2	
4	SF_2.197_CHICHI_TCU119-N.AT2	SF_0.9429_CHICHI_CHY080-N.AT2	SF_0.9429_CHICHI_CHY080-N.AT2	SF_3.1200_CHICHI03_CHY035-E.AT2	SF_2.1074_SUPERST_B-ICCC000.AT2	SF_2.1074_SUPERST_B-ICCC000.AT2	SF_2.1074_SUPERST_B-ICCC000.AT2	SF_2.1074_SUPERST_B-ICCC000.AT2	
5	SF_2.2052_KOBE_ABN000.AT2	SF_0.9675_LOMAP_HWB220.AT2	SF_0.9675_LOMAP_HWB220.AT2	SF_3.1478_SMART1_33001NS.AT2	SF_2.1579_CHICHI_TCU119-N.AT2	SF_2.1579_CHICHI_TCU119-N.AT2	SF_2.1579_CHICHI_TCU119-N.AT2	SF_2.1579_CHICHI_TCU119-N.AT2	
6	SF_2.229_SUPERST_B-ICCC000.AT2	SF_0.9810_NORTHR_NEW180.AT2	SF_0.9810_NORTHR_NEW180.AT2	SF_3.1848_CHICHI_TAP003-E.AT2	SF_2.2598_KOBE_CHY000.AT2	SF_2.2598_KOBE_CHY000.AT2	SF_2.2598_KOBE_CHY000.AT2	SF_2.2598_KOBE_CHY000.AT2	
7	SF_2.2388_CHICHI_TCU136-W.AT2	SF_1.0372_MORGAN_CLS220.AT2	SF_1.0372_MORGAN_CLS220.AT2	SF_3.2681_KOCAELI_IST090.AT2	SF_2.2622_LOMAP_SSF115.AT2	SF_2.2622_LOMAP_SSF115.AT2	SF_2.2622_LOMAP_SSF115.AT2	SF_2.2622_LOMAP_SSF115.AT2	
8	SF_2.2603_CHICHI_CHY024-E.AT2	SF_1.0626_CHICHI_TCU070-N.AT2	SF_1.0626_CHICHI_TCU070-N.AT2	SF_3.2705_CHICHI06_TCU078-E.AT2	SF_2.3276_CHICHI_CHY024-E.AT2	SF_2.3276_CHICHI_CHY024-E.AT2	SF_2.3276_CHICHI_CHY024-E.AT2	SF_2.3276_CHICHI_CHY024-E.AT2	
9	SF_2.2651_DUZCE_ATS300.AT2	SF_1.0740_CAPEMEND_RIO360.AT2	SF_1.0740_CAPEMEND_RIO360.AT2	SF_3.3610_CHICHI03_TCU065-E.AT2	SF_2.3459_KOCAELI_DHM000.AT2	SF_2.3459_KOCAELI_DHM000.AT2	SF_2.3459_KOCAELI_DHM000.AT2	SF_2.3459_KOCAELI_DHM000.AT2	
10	SF_2.3513_KOCAELI_DHM000.AT2	SF_1.0839_CHICHI_CHY041-N.AT2	SF_1.0839_CHICHI_CHY041-N.AT2	SF_3.5176_MANJIL_188310.AT2	SF_2.3604_LOMAP_WDS000.AT2	SF_2.3604_LOMAP_WDS000.AT2	SF_2.3604_LOMAP_WDS000.AT2	SF_2.3604_LOMAP_WDS000.AT2	
11	SF_2.4185_KOBE_CHY000.AT2	SF_1.1855_LOMAP_G02000.AT2	SF_1.1855_LOMAP_G02000.AT2	SF_3.5313_CHICHI06_CHY101-E.AT2	SF_2.3934_LOMAP_MCH090.AT2	SF_2.3934_LOMAP_MCH090.AT2	SF_2.3934_LOMAP_MCH090.AT2	SF_2.3934_LOMAP_MCH090.AT2	
12	SF_2.5168_CHICHI_TCU106-E.AT2	SF_1.2361_NORTHR_OAK170.AT2	SF_1.2361_NORTHR_OAK170.AT2	SF_3.6254_NEWZEAL_A-MAR040.AT2	SF_2.4249_IMPVAL H-CX0315.AT2	SF_2.4249_IMPVAL H-CX0315.AT2	SF_2.4249_IMPVAL H-CX0315.AT2	SF_2.4249_IMPVAL H-CX0315.AT2	
13	SF_2.6059_CHICHI_TCU057-N.AT2	SF_1.2960_NORTHR_LOA092.AT2	SF_1.2960_NORTHR_LOA092.AT2	SF_3.6297_LOMAP_SUF090.AT2	SF_2.4954_LANDERS_WST000.AT2	SF_2.4954_LANDERS_WST000.AT2	SF_2.4954_LANDERS_WST000.AT2	SF_2.4954_LANDERS_WST000.AT2	
14	SF_2.6425_CHICHI_TCU055-E.AT2	SF_1.2977_CHICHI_TCU067-N.AT2	SF_1.2977_CHICHI_TCU067-N.AT2	SF_3.6612_CHICHI03_CHY101-E.AT2	SF_2.5808_CHICHI_CHY074-E.AT2	SF_2.5808_CHICHI_CHY074-E.AT2	SF_2.5808_CHICHI_CHY074-E.AT2	SF_2.5808_CHICHI_CHY074-E.AT2	
15	SF_2.6488_CHICHI_TCU075-N.AT2	SF_1.3409_CHICHI_TCU072-N.AT2	SF_1.3409_CHICHI_TCU072-N.AT2	SF_3.6855_LOMAP_BVU220.AT2	SF_2.5836_CHICHI_TCU082-E.AT2	SF_2.5836_CHICHI_TCU082-E.AT2	SF_2.5836_CHICHI_TCU082-E.AT2	SF_2.5836_CHICHI_TCU082-E.AT2	
16	SF_2.6506_CHICHI_TCU082-E.AT2	SF_1.3558_NORTHR_SUN280.AT2	SF_1.3558_NORTHR_SUN280.AT2	SF_3.6937_CHICHI03_CHY028-E.AT2	SF_2.5928_CHICHI_TCU-E.AT2	SF_2.5928_CHICHI_TCU-E.AT2	SF_2.5928_CHICHI_TCU-E.AT2	SF_2.5928_CHICHI_TCU-E.AT2	
17	SF_2.7224_KOCAELI_MSK000.AT2	SF_1.3607_NORTHR_STM090.AT2	SF_1.3607_NORTHR_STM090.AT2	SF_3.8078_UPLAND_23525090.AT2	SF_2.6133_LOMAP_GOF160.AT2	SF_2.6133_LOMAP_GOF160.AT2	SF_2.6133_LOMAP_GOF160.AT2	SF_2.6133_LOMAP_GOF160.AT2	
18	SF_2.7255_LANDERS_WST000.AT2	SF_1.3673_CHICHI_TCU071-N.AT2	SF_1.3673_CHICHI_TCU071-N.AT2	SF_3.8392_CHICHI03_CHY024-E.AT2	SF_2.6618_SMART1_45007EW.AT2	SF_2.6618_SMART1_45007EW.AT2	SF_2.6618_SMART1_45007EW.AT2	SF_2.6618_SMART1_45007EW.AT2	
19	SF_2.7473_CHICHI_TCU-E.AT2	SF_1.3832_IMPVAL H-ECC092.AT2	SF_1.3832_IMPVAL H-ECC092.AT2	SF_3.9206_CHICHI03_TCU122-E.AT2	SF_2.6859_CHICHI_TCU075-N.AT2	SF_2.6859_CHICHI_TCU075-N.AT2	SF_2.6859_CHICHI_TCU075-N.AT2	SF_2.6859_CHICHI_TCU075-N.AT2	
20	SF_2.8261_LOMAP_GOF160.AT2	SF_1.4798_CHICHI_TCU072-E.AT2	SF_1.4798_CHICHI_TCU072-E.AT2	SF_4.1131_CHICHI_HWA048-N.AT2	SF_2.7033_CHICHI_TCU057-N.AT2	SF_2.7033_CHICHI_TCU057-N.AT2	SF_2.7033_CHICHI_TCU057-N.AT2	SF_2.7033_CHICHI_TCU057-N.AT2	

Çizelge A.1 (devam): Analizlerde Kullanılan depremlerin isimleri ve ölçek katsayıları listesi.

2007 Yönetmeliği, 1. Derece Deprem Bölgesi, ZC Zemin Sınıfı, DD_2				
PFN_4_1	PFN_5_1	PFN_6_1	PFN_8_2	Prefabrik Yapı
1 SF_1.9219_COALINGA_H-C4A090.AT2	SF_1.9219_COALINGA_H-C4A090.AT2	SF_1.8614_COALINGA_H-C4A090.AT2	SF_1.8135_COALINGA_H-C4A090.AT2	SF_2.0384_COALINGA_H-C4A090.AT2
2 SF_1.9778_LANDERS_WST000.AT2	SF_1.9778_LANDERS_WST000.AT2	SF_2.0405_LOMAP_MCH000.AT2	SF_1.8306_CHICHI06_TCU078-E.AT2	SF_2.0769_CHICHI06_TCU078-E.AT2
3 SF_2.1090_LOMAP_MCH000.AT2	SF_2.1090_LOMAP_MCH000.AT2	SF_2.0455_CHICHI_TAW-N.AT2	SF_1.9630_CHICHI_HWA045-N.AT2	SF_2.1521_CHICHI_HWA045-N.AT2
4 SF_2.1100_CHICHI_TAW-N.AT2	SF_2.1100_CHICHI_TAW-N.AT2	SF_2.1019_NEWZEAL_A-MAR040.AT2	SF_1.9875_CHICHI03_CHY035-E.AT2	SF_2.2028_HECTOR_32577090.AT2
5 SF_2.1899_NEWZEAL_A-MAR040.AT2	SF_2.1899_NEWZEAL_A-MAR040.AT2	SF_2.1638_LIVERMOR_B-FRE075.AT2	SF_1.9935_HECTOR_32577090.AT2	SF_2.3244_LOMAP_MCH000.AT2
6 SF_2.2588_LIVERMOR_B-FRE075.AT2	SF_2.2588_LIVERMOR_B-FRE075.AT2	SF_2.1961_BIGBEAR_DHP090.AT2	SF_2.0526_LOMAP_MCH000.AT2	SF_2.3854_NEWZEAL_A-MAR040.AT2
7 SF_2.2602_CHICHI03_CHY035-E.AT2	SF_2.2602_CHICHI03_CHY035-E.AT2	SF_2.1980_CHICHI_HWA045-N.AT2	SF_2.1451_NEWZEAL_A-MAR040.AT2	SF_2.4058_CHICHI03_TCU065-E.AT2
8 SF_2.2710_BIGBEAR_DHP090.AT2	SF_2.2710_BIGBEAR_DHP090.AT2	SF_2.2056_CHICHI03_CHY035-E.AT2	SF_2.1480_NORTHR_MJH090.AT2	SF_2.4074_NORTHR_MJH090.AT2
9 SF_2.2983_CHICHI_CHY074-E.AT2	SF_2.2983_CHICHI_CHY074-E.AT2	SF_2.2229_HECTOR_32577090.AT2	SF_2.2019_BIGBEAR_DHP090.AT2	SF_2.4686_CHICHI_CHY046-N.AT2
10 SF_2.3258_LANDERS_MEL090.AT2	SF_2.3258_LANDERS_MEL090.AT2	SF_2.2415_CHICHI_CHY074-E.AT2	SF_2.2456_CHICHI03_TCU065-E.AT2	SF_2.5551_LOMAP_BVU220.AT2
11 SF_2.3378_WHITTIER_A-VER173.AT2	SF_2.3378_WHITTIER_A-VER173.AT2	SF_2.2430_LANDERS_MEL090.AT2	SF_2.2617_NCALIF_F-FRN225.AT2	SF_2.5801_CHICHI03_TCU075-E.AT2
12 SF_2.3512_CHICHI_CHY104-N.AT2	SF_2.3512_CHICHI_CHY104-N.AT2	SF_2.2470_WHITTIER_A-VER173.AT2	SF_2.2830_WHITTIER_A-VER173.AT2	SF_2.5859_CHICHI_ILA013-N.AT2
13 SF_2.3647_NORTHR_MJH090.AT2	SF_2.3647_NORTHR_MJH090.AT2	SF_2.2910_NORTHR_MJH090.AT2	SF_2.2854_CHICHI06_TCU125-E.AT2	SF_2.6490_CHICHI_CHY010-N.AT2
14 SF_2.3981_CHICHI03_TCU075-E.AT2	SF_2.3981_CHICHI03_TCU075-E.AT2	SF_2.3133_CHICHI03_TCU075-E.AT2	SF_2.2992_CHICHI03_TCU075-E.AT2	SF_2.6945_SFERN_PAS090.AT2
15 SF_2.4194_CHICHI_ALS-E.AT2	SF_2.4194_CHICHI_ALS-E.AT2	SF_2.3603_CHICHI_ALS-E.AT2	SF_2.2995_CHALFANT_A-LAD180.AT2	SF_2.7404_CHICHI06_TCU065-E.AT2
16 SF_2.6642_CHICHI03_TCU065-E.AT2	SF_2.6642_CHICHI03_TCU065-E.AT2	SF_2.6146_COALINGA_H-SC4090.AT2	SF_2.3412_CHICHI03_CHY028-E.AT2	SF_2.8327_UPLAND_23525090.AT2
17 SF_2.6957_CHICHI03_TCU122-E.AT2	SF_2.6957_CHICHI03_TCU122-E.AT2	SF_2.6247_CHICHI03_TCU122-E.AT2	SF_2.3505_LOMAP_SUF090.AT2	SF_2.8498_COALINGA_H-SC4090.AT2
18 SF_2.7130_COALINGA_H-SC4090.AT2	SF_2.7130_COALINGA_H-SC4090.AT2	SF_2.6257_LOMAP_SUF090.AT2	SF_2.4782_CHICHI03_TCU122-E.AT2	SF_2.9100_CHICHI_HWA048-N.AT2
19 SF_2.7987_WHITTIER_A-L01090.AT2	SF_2.7987_WHITTIER_A-L01090.AT2	SF_2.6920_WHITTIER_A-L01090.AT2	SF_2.5819_COALINGA_H-SC4090.AT2	SF_2.9497_CHICHI06_CHY028-E.AT2
20 SF_2.9836_UPLAND_23525090.AT2	SF_2.9836_UPLAND_23525090.AT2	SF_2.8983_UPLAND_23525090.AT2	SF_2.6374_UPLAND_23525090.AT2	SF_2.9529_CHICHI_HWA033-E.AT2
Aydın Yapı	Gedikbulak_3D	20 Katlı_3D_Yapı	24 Katlı_2D_CSW	
1 SF_1.4515_CHICHI_CHY024-E.AT2	SF_1.9876_CHICHI_TAW-N.AT2	SF_1.9282_LOMAP_SJW160.AT2	SF_1.8419_CHICHI_ALS-E.AT2	
2 SF_1.4892_KOCAELI_DHM000.AT2	SF_2.0130_LIVERMOR_B-FRE075.AT2	SF_2.0352_WESTMORL_BRA315.AT2	SF_1.8484_WESTMORL_BRA315.AT2	
3 SF_1.5682_LOMAP_OLEM000.AT2	SF_2.0715_SKULLMT_Lsm7270.AT2	SF_2.0764_CHICHI_HWA045-N.AT2	SF_1.8703_KOCAELI_MSK000.AT2	
4 SF_1.6749_CHICHI_TCU038-N.AT2	SF_2.1219_LANDERS_MEL090.AT2	SF_2.0800_CHICHI03_CHY035-E.AT2	SF_1.9058_NCALIF_F-FRN225.AT2	
5 SF_1.7096_CHICHI_TCU-E.AT2	SF_2.1802_BIGBEAR_DHP090.AT2	SF_2.0986_SMART1_33001NS.AT2	SF_1.981_CHICHI03_CHY101-E.AT2	
6 SF_1.7100_IMPVAL H-CX0315.AT2	SF_2.2308_NORTHR_MJH090.AT2	SF_2.1232_CHICHI_TAP003-E.AT2	SF_2.0315_CHICHI06_CHY101-E.AT2	
7 SF_1.7205_CHICHI_TCU075-N.AT2	SF_2.2438_PALMSPR_H05360.AT2	SF_2.1787_KOCAELI_IST090.AT2	SF_2.0323_LOMAP_SJW160.AT2	
8 SF_1.7304_LANDERS_WST000.AT2	SF_2.2773_LANDERS_WST000.AT2	SF_2.1803_CHICHI06_TCU078-E.AT2	SF_2.0624_CHICHI_TAW-N.AT2	
9 SF_1.7388_CHICHI_TCU057-N.AT2	SF_2.2891_WHITTIER_A-VER173.AT2	SF_2.2406_CHICHI03_TCU065-E.AT2	SF_2.06_IMPVAL H-E01140.AT2	
10 SF_1.7441_CHICHI_CHY074-E.AT2	SF_2.4298_HECTOR_14840019.AT2	SF_2.3451_MANJIL_188310.AT2	SF_2.0758_CHICHI_HWA013-E.AT2	
11 SF_1.7789_LOMAP_SUF090.AT2	SF_2.4395_CHICHI03_TCU075-E.AT2	SF_2.3542_CHICHI06_CHY101-E.AT2	SF_2.104_CHICHI03_CHY024-E.AT2	
12 SF_1.7962_KOCAELI_MSK000.AT2	SF_2.4665_CHICHI04_CHY101-E.AT2	SF_2.4170_NEWZEAL_A-MAR040.AT2	SF_2.1947_KOCAELI_ATK000.AT2	
13 SF_1.8068_LOMAP_GOF160.AT2	SF_2.4704_CHICHI03_CHY024-E.AT2	SF_2.4198_LOMAP_SUF090.AT2	SF_2.2943_KOCAELI_IST090.AT2	
14 SF_1.8777_WESTMORL_BRA315.AT2	SF_2.4796_CHICHI_CHY074-E.AT2	SF_2.4408_CHICHI03_CHY101-E.AT2	SF_2.2963_SMART1_40001NS.AT2	
15 SF_1.8824_CHICHI_ALS-E.AT2	SF_2.6480_CHICHI_ALS-E.AT2	SF_2.4570_LOMAP_BVU220.AT2	SF_2.3159_SMART1_45E01NS.AT2	
16 SF_1.8918_CHICHI_TCU105-N.AT2	SF_2.6498_NCALIF_D-FRN224.AT2	SF_2.4624_CHICHI03_CHY028-E.AT2	SF_2.3459_CHICHI03_TCU122-E.AT2	
17 SF_1.9387_CHICHI_TCU054-E.AT2	SF_2.6616_LANDERS_DEV000.AT2	SF_2.5386_UPLAND_23525090.AT2	SF_2.3656_COALINGA_H-Z16090.AT2	
18 SF_1.9829_CHICHI_TCU081-N.AT2	SF_2.8461_UPLAND_23525090.AT2	SF_2.5594_CHICHI03_CHY024-E.AT2	SF_2.4515_NORTHR_CAT090.AT2	
19 SF_2.0496_CHICHI_TCU051-E.AT2	SF_2.8696_WHITTIER_A-L01090.AT2	SF_2.6138_CHICHI03_TCU122-E.AT2	SF_2.5972_HECTOR_14840019.AT2	
20 SF_2.0733_CHICHI_TAW-N.AT2	SF_2.8747_CHICHI03_CHY101-E.AT2	SF_2.7420_CHICHI_HWA048-N.AT2	SF_2.6215_CHICHI_ILA041-W.AT2	

Çizelge A.1 (devam): Analizlerde Kullanılan depremlerin isimleri ve ölççek katsayıları listesi.

Bartın Merkez, 1. Derece Deprem Bölgesi, ZC Zemin Sınıfı, DD_1

PFN_4_1		PFN_5_1		PFN_6_1		PFN_8_2		Prefabrik Yapı	
1	SF_0.84712_MORGAN_CLS220.AT2	SF_0.88447_MORGAN_CLS220.AT2	SF_0.84712_MORGAN_CLS220.AT2	SF_0.84825_MORGAN_CLS220.AT2	SF_1.2704_CHICHI_CHY006-N.AT2				
2	SF_1.1392_CHICHI03_TCU076-E.AT2	SF_1.1837_CHICHI03_TCU076-E.AT2	SF_1.1392_CHICHI03_TCU076-E.AT2	SF_1.0322_CHICHI03_TCU076-E.AT2	SF_1.3266_UPLAND_UP90S-H2.AT2				
3	SF_1.14_MANJIL_189132.AT2	SF_1.1943_MANJIL_189132.AT2	SF_1.14_MANJIL_189132.AT2	SF_1.1217_CHICHI_CHY006-N.AT2	SF_1.3398_LOMAP_DUMB267.AT2				
4	SF_1.1817_CHICHI_TCU042-N.AT2	SF_1.2403_CHICHI_TCU042-N.AT2	SF_1.1817_CHICHI_TCU042-N.AT2	SF_1.1562_UPLAND_UP90S-H2.AT2	SF_1.3502_IMPVAL H-E03140.AT2				
5	SF_1.214_NORTHR_LIT180.AT2	SF_1.2699_NORTHR_LIT180.AT2	SF_1.214_NORTHR_LIT180.AT2	SF_1.2367_NORTHR_LIT180.AT2	SF_1.3688_NORTHR_LIT180.AT2				
6	SF_1.2182_NORTHR_MRP180.AT2	SF_1.2762_NORTHR_MRP180.AT2	SF_1.2182_NORTHR_MRP180.AT2	SF_1.2773_NORTHR_MRP180.AT2	SF_1.4964_CHICHI_TCU042-N.AT2				
7	SF_1.2512_CHICHI03_TCU129-E.AT2	SF_1.3103_CHICHI03_TCU129-E.AT2	SF_1.2512_CHICHI03_TCU129-E.AT2	SF_1.3476_NORTHR_PHP270.AT2	SF_1.5067_LOMAP_CLS090.AT2				
8	SF_1.3153_UPLAND_UP90S-H2.AT2	SF_1.3686_UPLAND_UP90S-H2.AT2	SF_1.3153_UPLAND_UP90S-H2.AT2	SF_1.3989_CHICHI03_TCU129-E.AT2	SF_1.5153_MORGAN_G04360.AT2				
9	SF_1.3288_IMPVAL H-E03140.AT2	SF_1.3767_IMPVAL H-E03140.AT2	SF_1.3288_IMPVAL H-E03140.AT2	SF_1.4127_CHICHI_TCU094-N.AT2	SF_1.5293_NORTHR_PHP270.AT2				
10	SF_1.3482_LOMAP_CLS090.AT2	SF_1.3807_CHICHI03_CHY080-E.AT2	SF_1.3482_LOMAP_CLS090.AT2	SF_1.4295_LOMAP_SSF115.AT2	SF_1.5367_LOMAP_SSF115.AT2				
11	SF_1.3598_CHICHI03_CHY080-E.AT2	SF_1.4106_LOMAP_CLS090.AT2	SF_1.3598_CHICHI03_CHY080-E.AT2	SF_1.4951_SUPERST_B-BRA315.AT2	SF_1.6727_CHICHI03_TCU129-E.AT2				
12	SF_1.3808_CHICHI_TCU094-N.AT2	SF_1.4387_CHICHI_TCU094-N.AT2	SF_1.3808_CHICHI_TCU094-N.AT2	SF_1.517_KOCAELI_DHM000.AT2	SF_1.6798_SUPERST_B-BRA315.AT2				
13	SF_1.3917_COALINGA_D-PVP360.AT2	SF_1.4658_COALINGA_D-PVP360.AT2	SF_1.3917_COALINGA_D-PVP360.AT2	SF_1.5873_CHICHI_CHY101-E.AT2	SF_1.7053_LOMAP_GMR000.AT2				
14	SF_1.5468_IMPVAL H-E10050.AT2	SF_1.5024_NORTHR_WIL180.AT2	SF_1.5468_IMPVAL H-E10050.AT2	SF_1.6303_CHICHI_TTN051-N.AT2	SF_1.7103_LOMAP_OLEM000.AT2				
15	SF_1.6046_MORGAN_G04360.AT2	SF_1.6247_IMPVAL H-E10050.AT2	SF_1.6046_MORGAN_G04360.AT2	SF_1.646_WHITTIER_A-BUE340.AT2	SF_1.7229_SUPERST_B-ICCC000.AT2				
16	SF_1.6196_IMPVAL H-E01140.AT2	SF_1.6613_MORGAN_G04360.AT2	SF_1.6196_IMPVAL H-E01140.AT2	SF_1.7087_CHICHI_CHY024-E.AT2	SF_1.7308_NWCHINA2_X4060000.AT2				
17	SF_1.627_LOMAP_SSF115.AT2	SF_1.6929_LOMAP_SSF115.AT2	SF_1.627_LOMAP_SSF115.AT2	SF_1.7473_IMPVAL H-E01140.AT2	SF_1.7605_NORTHR_PAR--L.AT2				
18	SF_1.6619_SUPERST_B-BRA315.AT2	SF_1.7016_IMPVAL H-E01140.AT2	SF_1.6619_SUPERST_B-BRA315.AT2	SF_1.754_LANDERS_CAS000.AT2	SF_1.8636_KOBE_HIK090.AT2				
19	SF_1.7651_LOMAP_GGB270.AT2	SF_1.7332_SUPERST_B-BRA315.AT2	SF_1.7651_LOMAP_GGB270.AT2	SF_1.8082_KOCAELI_MSK000.AT2	SF_1.966_IMPVAL H-E01140.AT2				
20	SF_1.826_KOBE_HIK090.AT2	SF_1.9125_KOBE_HIK090.AT2	SF_1.826_KOBE_HIK090.AT2	SF_1.9507_FRUOLI_A-FLT270.AT2	SF_2.1124_LOMAP_GGB270.AT2				
Aydın Üniv. Yapısı		Gedikbulak_3D		20 Katlı_3D_Yapı		24 Katlı_2D_CSW			
1	SF_0.7593_LIVERMOR_B-SRM340.AT2	SF_1.0876_CHICHI03_TCU129-E.AT2	SF_1.1743_CHICHI03_TCU076-E.AT2	SF_1.9907_CHICHI03_TCU075-E.AT2					
2	SF_0.7776_LOMAP_GOF250.AT2	SF_1.1161_CHICHI_CHY080-E.AT2	SF_1.1967_KOCAELI_USK090.AT2	SF_2.0257_CHALFANT_A-LAD180.AT2					
3	SF_0.79758_CHICHI_TCU119-N.AT2	SF_1.1278_MANJIL_189132.AT2	SF_1.1984_NORTHR_LIT180.AT2	SF_2.0388_LOMAP_TLH000.AT2					
4	SF_0.80059_KOBE_ABN000.AT2	SF_1.1409_MORGAN_CLS220.AT2	SF_1.2295_MORGAN_CLS220.AT2	SF_2.1284_CHICHI04_CHY015-N.AT2					
5	SF_0.80644_IMPVAL H-E13230.AT2	SF_1.2045_NORTHR_NEW180.AT2	SF_1.262_LOMAP_CH07000.AT2	SF_2.1349_COALINGA_H-SC4090.AT2					
6	SF_0.80921_SUPERST_B-ICCC000.AT2	SF_1.2076_NORTHR_MRP180.AT2	SF_1.2709_LOMAP_SSF115.AT2	SF_2.2588_LANDERS_29P000.AT2					
7	SF_0.81276_CHICHI_TCU136-W.AT2	SF_1.2087_LOMAP_HWB220.AT2	SF_1.289_KOBE_CHY000.AT2	SF_2.2973_CHICHI_ILA027-E.AT2					
8	SF_0.82059_CHICHI_CHY024-E.AT2	SF_1.2497_DUZCE_ATS300.AT2	SF_1.3297_CHICHI_CHY024-E.AT2	SF_2.3145_CHICHI_HWA055-N.AT2					
9	SF_0.84103_CHICHI_CHY036-E.AT2	SF_1.28_CHICHI_CHY028-E.AT2	SF_1.4069_LANDERS_WST000.AT2	SF_2.3253_CHICHI_TAP041-E.AT2					
10	SF_0.85361_KOCAELI_DHM000.AT2	SF_1.3457_CHICHI_TCU087-N.AT2	SF_1.4525_CHICHI_CHY104-N.AT2	SF_2.3485_NORTHR_SAN180.AT2					
11	SF_0.87403_CHICHI_CHY006-N.AT2	SF_1.3556_LOMAP_LKS270.AT2	SF_1.4556_IMPVAL H-E13140.AT2	SF_2.3491_COALINGA_H-PG6090.AT2					
12	SF_0.878_KOBE_CHY000.AT2	SF_1.4671_CHICHI_TCU064-N.AT2	SF_1.5978_WESTMORL_BRA315.AT2	SF_2.3574_KOCAELI_BTS000.AT2					
13	SF_0.94606_CHICHI_TCU057-N.AT2	SF_1.5001_UPLAND_UP90S-H2.AT2	SF_1.6149_NCALIF_F-FRN225.AT2	SF_2.3874_CHICHI04_CHY088-N.AT2					
14	SF_0.95933_CHICHI_TCU055-E.AT2	SF_1.5968_CHICHI05_TCU129-E.AT2	SF_1.6191_LOMAP_SUF090.AT2	SF_2.416_CHICHI_NCU-E.AT2					
15	SF_0.96228_CHICHI_TCU082-E.AT2	SF_1.6217_NORTHR_WPI316.AT2	SF_1.6263_KOCAELI_MSK000.AT2	SF_2.4937_CHALFANT_A-BEN270.AT2					
16	SF_0.98833_KOCAELI_MSK000.AT2	SF_1.7233_DUZCE_362-N.AT2	SF_1.6402_LIVERMOR_B-SRM070.AT2	SF_2.5194_NORTHR_WAT270.AT2					
17	SF_0.98945_LANDERS_WST000.AT2	SF_1.7608_KOCAELI_MSK000.AT2	SF_1.6994_IMPVAL H-E01140.AT2	SF_2.5838_LANDERS_DEV000.AT2					
18	SF_0.99737_CHICHI_TCU-E.AT2	SF_1.8089_LOMAP_SSF115.AT2	SF_1.7107_CHICHI03_TCU129-E.AT2	SF_2.6409_CHICHI06_TCU122-E.AT2					
19	SF_1.0101_CHICHI_CHY074-E.AT2	SF_1.8406_NORTHR_SUN280.AT2	SF_1.7604_CHICHI_TAW-N.AT2	SF_2.6444_KOCAELI_CNK090.AT2					
20	SF_1.026_LOMAP_GOF160.AT2	SF_1.8656_LOMAP_GGB270.AT2	SF_1.9692_COALINGA_H-Z16090.AT2	SF_2.6913_LANDERS_NHO180.AT2					

Çizelge A.1 (devam): Analizlerde Kullanılan depremlerin isimleri ve ölççek katsayıları listesi.

Bartın Merkez, 1. Derece Deprem Bölgesi, ZC Zemin Sınıfı, DD_2

PFN_4_1		PFN_5_1		PFN_6_1		PFN_8_2		Prefabrik Yapı	
1	SF_2.0111_MORGAN_CAP132.AT2	SF_2.0111_MORGAN_CAP132.AT2	SF_2.0111_MORGAN_CAP132.AT2	SF_1.8825_NWCHINA1_J405N270.AT2	SF_1.9453_CHICHI06_TCU076-E.AT2	SF_1.9197_NORTHR_ACI000.AT2	SF_1.9197_NORTHR_ACI000.AT2	SF_1.9197_NORTHR_ACI000.AT2	SF_1.9197_NORTHR_ACI000.AT2
2	SF_2.0555_WHITTIER_B-ALT000.AT2	SF_2.0555_WHITTIER_B-ALT000.AT2	SF_2.0555_WHITTIER_B-ALT000.AT2	SF_1.9637_IMPVAL A-E01140.AT2	SF_2.0071_NWCHINA1_J405N270.AT2	SF_1.9330_CHICHI06_TCU076-E.AT2	SF_1.9330_CHICHI06_TCU076-E.AT2	SF_1.9330_CHICHI06_TCU076-E.AT2	SF_1.9330_CHICHI06_TCU076-E.AT2
3	SF_2.0626_IMPVAL A-H-CAL225.AT2	SF_2.0626_IMPVAL A-H-CAL225.AT2	SF_2.0626_IMPVAL A-H-CAL225.AT2	SF_2.015_COALINGA_A-YUB350.AT2	SF_2.0184_NORTHR_ACI000.AT2	SF_2.0114_NWCHINA1_J405N270.AT2	SF_2.0114_NWCHINA1_J405N270.AT2	SF_2.0114_NWCHINA1_J405N270.AT2	SF_2.0114_NWCHINA1_J405N270.AT2
4	SF_2.0654_IMPVAL A-E02140.AT2	SF_2.0654_IMPVAL A-E02140.AT2	SF_2.0654_IMPVAL A-E02140.AT2	SF_2.0861_COALINGA_G-CSU090.AT2	SF_2.1257_COALINGA_A-YUB350.AT2	SF_2.0695_IMPVAL A-PLS045.AT2	SF_2.0695_IMPVAL A-PLS045.AT2	SF_2.0695_IMPVAL A-PLS045.AT2	SF_2.0695_IMPVAL A-PLS045.AT2
5	SF_2.1322_IMPVAL A-E01140.AT2	SF_2.1322_IMPVAL A-E01140.AT2	SF_2.1322_IMPVAL A-E01140.AT2	SF_2.1235_MANJIL_187178.AT2	SF_2.1499_NORTHR_PUL194.AT2	SF_2.0933_CHICHI05_TCU123-E.AT2	SF_2.0933_CHICHI05_TCU123-E.AT2	SF_2.0933_CHICHI05_TCU123-E.AT2	SF_2.0933_CHICHI05_TCU123-E.AT2
6	SF_2.2153_SMART1_05M01EW.AT2	SF_2.2153_SMART1_05M01EW.AT2	SF_2.2153_SMART1_05M01EW.AT2	SF_2.1245_NORTHR_ACI000.AT2	SF_2.1679_IMPVAL A-H-PLS045.AT2	SF_2.1011_CHICHI03_TCU120-E.AT2	SF_2.1011_CHICHI03_TCU120-E.AT2	SF_2.1011_CHICHI03_TCU120-E.AT2	SF_2.1011_CHICHI03_TCU120-E.AT2
7	SF_2.2202_NCALIF_B-FRN224.AT2	SF_2.2202_NCALIF_B-FRN224.AT2	SF_2.2202_NCALIF_B-FRN224.AT2	SF_2.1289_GEORGIA_BAZ--X.AT2	SF_2.1805_CHICHI_ILA055-N.AT2	SF_2.1065_WHITTIER_A-CAS270.AT2	SF_2.1065_WHITTIER_A-CAS270.AT2	SF_2.1065_WHITTIER_A-CAS270.AT2	SF_2.1065_WHITTIER_A-CAS270.AT2
8	SF_2.2501_SMART1_05O01EW.AT2	SF_2.2501_SMART1_05O01EW.AT2	SF_2.2501_SMART1_05O01EW.AT2	SF_2.1352_ITALY_A-TRC000.AT2	SF_2.1817_AQABA_EIL-EW.AT2	SF_2.1362_NORTHR_PUL194.AT2	SF_2.1362_NORTHR_PUL194.AT2	SF_2.1362_NORTHR_PUL194.AT2	SF_2.1362_NORTHR_PUL194.AT2
9	SF_2.3063_GEORGIA_BAZ--X.AT2	SF_2.3063_GEORGIA_BAZ--X.AT2	SF_2.3063_GEORGIA_BAZ--X.AT2	SF_2.1439_CHICHI06_CHY082-E.AT2	SF_2.2481_BIGBEAR_SB2360.AT2	SF_2.1691_CHICHI06_CHY082-E.AT2	SF_2.1691_CHICHI06_CHY082-E.AT2	SF_2.1691_CHICHI06_CHY082-E.AT2	SF_2.1691_CHICHI06_CHY082-E.AT2
10	SF_2.3931_WHITTIER_B-DWN180.AT2	SF_2.3931_WHITTIER_B-DWN180.AT2	SF_2.3931_WHITTIER_B-DWN180.AT2	SF_2.1503_VICT_CPE315.AT2	SF_2.2575_CHICHI03_TCU120-E.AT2	SF_2.1714_COALINGA_A-YUB350.AT2	SF_2.1714_COALINGA_A-YUB350.AT2	SF_2.1714_COALINGA_A-YUB350.AT2	SF_2.1714_COALINGA_A-YUB350.AT2
11	SF_2.4018_FRIULI_BUI-WE.AT2	SF_2.4018_FRIULI_BUI-WE.AT2	SF_2.4018_FRIULI_BUI-WE.AT2	SF_2.1952_AQABA_EIL-EW.AT2	SF_2.2648_ITALY_A-TRC000.AT2	SF_2.2600_LIVERMOR_A-ANT270.AT2	SF_2.2600_LIVERMOR_A-ANT270.AT2	SF_2.2600_LIVERMOR_A-ANT270.AT2	SF_2.2600_LIVERMOR_A-ANT270.AT2
12	SF_2.4182_NWCALIF_A-FRN045.AT2	SF_2.4182_NWCALIF_A-FRN045.AT2	SF_2.4182_NWCALIF_A-FRN045.AT2	SF_2.2217_PALMSPR_ATL360.AT2	SF_2.3000_GEORGIA_BAZ--X.AT2	SF_2.3197_WHITTIER_A-RIM105.AT2	SF_2.3197_WHITTIER_A-RIM105.AT2	SF_2.3197_WHITTIER_A-RIM105.AT2	SF_2.3197_WHITTIER_A-RIM105.AT2
13	SF_2.4372_COYOTELK_SJ5337.AT2	SF_2.4372_COYOTELK_SJ5337.AT2	SF_2.4372_COYOTELK_SJ5337.AT2	SF_2.2369_BIGBEAR_SB2360.AT2	SF_2.3208_NCALIF_B-FRN224.AT2	SF_2.3279_MORGAN_SJB213.AT2	SF_2.3279_MORGAN_SJB213.AT2	SF_2.3279_MORGAN_SJB213.AT2	SF_2.3279_MORGAN_SJB213.AT2
14	SF_2.4803_DOUBSPRG_WOO000.AT2	SF_2.4803_DOUBSPRG_WOO000.AT2	SF_2.4803_DOUBSPRG_WOO000.AT2	SF_2.2885_CHICHI06_CHY076-E.AT2	SF_2.3441_FRIULI_BUI-WE.AT2	SF_2.3314_CHICHI06_CHY076-E.AT2	SF_2.3314_CHICHI06_CHY076-E.AT2	SF_2.3314_CHICHI06_CHY076-E.AT2	SF_2.3314_CHICHI06_CHY076-E.AT2
15	SF_2.5394_COALINGA_H-GH2000.AT2	SF_2.5394_COALINGA_H-GH2000.AT2	SF_2.5394_COALINGA_H-GH2000.AT2	SF_2.3238_CHICHI05_TCU067-E.AT2	SF_2.3442_CHICHI05_CHY035-E.AT2	SF_2.3370_CHICHI05_CHY035-E.AT2	SF_2.3370_CHICHI05_CHY035-E.AT2	SF_2.3370_CHICHI05_CHY035-E.AT2	SF_2.3370_CHICHI05_CHY035-E.AT2
16	SF_2.5592_NCALIF_E-HCH271.AT2	SF_2.5592_NCALIF_E-HCH271.AT2	SF_2.5592_NCALIF_E-HCH271.AT2	SF_2.3281_WHITTIER_A-RIM105.AT2	SF_2.3662_LIVERMOR_A-ANT270.AT2	SF_2.3447_CHICHI_TTN028-N.AT2	SF_2.3447_CHICHI_TTN028-N.AT2	SF_2.3447_CHICHI_TTN028-N.AT2	SF_2.3447_CHICHI_TTN028-N.AT2
17	SF_2.5811_CHICHI04_CHY046-E.AT2	SF_2.5811_CHICHI04_CHY046-E.AT2	SF_2.5811_CHICHI04_CHY046-E.AT2	SF_2.3428_CHICHI03_TCU120-E.AT2	SF_2.3802_PALMSPR_ATL360.AT2	SF_2.3743_BIGBEAR_SAC090.AT2	SF_2.3743_BIGBEAR_SAC090.AT2	SF_2.3743_BIGBEAR_SAC090.AT2	SF_2.3743_BIGBEAR_SAC090.AT2
18	SF_2.6457_SMART1_05C00EW.AT2	SF_2.6457_SMART1_05C00EW.AT2	SF_2.6457_SMART1_05C00EW.AT2	SF_2.3736_WHITTIER_A-CIR180.AT2	SF_2.3959_BIGBEAR_SAC090.AT2	SF_2.4419_WHITTIER_A-CIR180.AT2	SF_2.4419_WHITTIER_A-CIR180.AT2	SF_2.4419_WHITTIER_A-CIR180.AT2	SF_2.4419_WHITTIER_A-CIR180.AT2
19	SF_2.7182_LIVERMOR_A-ANT270.AT2	SF_2.7182_LIVERMOR_A-ANT270.AT2	SF_2.7182_LIVERMOR_A-ANT270.AT2	SF_2.3946_HECTOR_0524a090.AT2	SF_2.4118_CHICHI06_CHY076-E.AT2	SF_2.4647_CHICHI05_CHY088-E.AT2	SF_2.4647_CHICHI05_CHY088-E.AT2	SF_2.4647_CHICHI05_CHY088-E.AT2	SF_2.4647_CHICHI05_CHY088-E.AT2
20	SF_2.8574_CHICHI06_CHY026-N.AT2	SF_2.8574_CHICHI06_CHY026-N.AT2	SF_2.8574_CHICHI06_CHY026-N.AT2	SF_2.5485_LIVERMOR_A-ANT270.AT2	SF_2.5052_WHITTIER_A-CIR180.AT2	SF_2.5593_BIGBEAR_NSS090.AT2	SF_2.5593_BIGBEAR_NSS090.AT2	SF_2.5593_BIGBEAR_NSS090.AT2	SF_2.5593_BIGBEAR_NSS090.AT2
Aydın Yapı		Gedikbulak_3D		20_Katlı_3D_Yapı		24_Katlı_2D_CSW			
1	SF_1.0665_BORREGO_A-ELC180.AT2	SF_1.1846_CHICHI02_TCU079-E.AT2	SF_1.0338_NEWZEAL_A-MAR040.AT2	SF_0.5890_NORTHR_PHP270.AT2	SF_1.0702_CHICHI_HWA048-N.AT2	SF_1.1956_NEWZEAL_A-MAR040.AT2	SF_1.0858_UPLAND_23525090.AT2	SF_0.6049_SUPERST_B-BRA315.AT2	SF_0.6118_CHICHI_ALS-E.AT2
2	SF_1.0805_LOMAP_DMHO00.AT2	SF_1.2291_SFERN_MA3220.AT2	SF_1.1074_CHICHI03_TCU075-E.AT2	SF_0.6118_CHICHI_ALS-E.AT2	SF_1.1262_CHICHI04_CHY015-N.AT2	SF_1.2291_SFERN_MA3220.AT2	SF_1.1074_CHICHI03_TCU075-E.AT2	SF_0.6151_WESTMORL_BRA315.AT2	SF_0.6186_KOCAELI_MSK000.AT2
3	SF_1.1262_CHICHI04_CHY015-N.AT2	SF_1.2654_CHICHI_CHY024-E.AT2	SF_1.1180_CHICHI03_TCU122-E.AT2	SF_0.6151_WESTMORL_BRA315.AT2	SF_1.1643_CHICHI_HWA2-E.AT2	SF_1.2654_CHICHI_CHY024-E.AT2	SF_1.1180_CHICHI03_TCU122-E.AT2	SF_0.6186_KOCAELI_MSK000.AT2	SF_0.6239_LOMAP_G06000.AT2
4	SF_1.1643_CHICHI_HWA2-E.AT2	SF_1.2984_CHICHI06_TCU129-E.AT2	SF_1.1267_DUZCE_1061-N.AT2	SF_0.6186_KOCAELI_MSK000.AT2	SF_1.2019_CHICHI04_CHY101-E.AT2	SF_1.2984_CHICHI06_TCU129-E.AT2	SF_1.1267_DUZCE_1061-N.AT2	SF_0.6239_LOMAP_G06000.AT2	SF_0.6349_NCALIF_F-FRN225.AT2
5	SF_1.2019_CHICHI04_CHY101-E.AT2	SF_1.2992_LOMAP_SGI270.AT2	SF_1.1472_WHITTIER_A-VER173.AT2	SF_0.6349_NCALIF_F-FRN225.AT2	SF_1.2383_LOMAP_TLH000.AT2	SF_1.2992_LOMAP_SGI270.AT2	SF_1.1472_WHITTIER_A-VER173.AT2	SF_0.6543_CHICHI03_CHY101-E.AT2	SF_0.6692_LIVERMOR_B-SRM070.AT2
6	SF_1.2383_LOMAP_TLH000.AT2	SF_1.3445_NORTHR_CAT090.AT2	SF_1.1728_CHICHI_HWA048-N.AT2	SF_0.6543_CHICHI03_CHY101-E.AT2	SF_1.2473_CHICHI04_CHY088-N.AT2	SF_1.3445_NORTHR_CAT090.AT2	SF_1.1728_CHICHI_HWA048-N.AT2	SF_0.6692_LIVERMOR_B-SRM070.AT2	SF_0.6728_KOBE_TOT000.AT2
7	SF_1.2473_CHICHI04_CHY088-N.AT2	SF_1.3513_LOMAP_WDS000.AT2	SF_1.1748_CHICHI_HWA2-E.AT2	SF_0.6692_LIVERMOR_B-SRM070.AT2	SF_1.258_CHICHI_ILA012-N.AT2	SF_1.3513_LOMAP_WDS000.AT2	SF_1.1748_CHICHI_HWA2-E.AT2	SF_0.6728_KOBE_TOT000.AT2	SF_0.6779_LOMAP_SJW160.AT2
8	SF_1.258_CHICHI_ILA012-N.AT2	SF_1.3536_NWCHINA2_J4060270.AT2	SF_1.1813_COALINGA_H-SC4090.AT2	SF_0.6779_LOMAP_SJW160.AT2	SF_1.2727_KOBE_OKA000.AT2	SF_1.3536_NWCHINA2_J4060270.AT2	SF_1.1813_COALINGA_H-SC4090.AT2	SF_0.6867_CHICHI_TAW-N.AT2	SF_0.6977_IMPVAL A-H-E01140.AT2
9	SF_1.2727_KOBE_OKA000.AT2	SF_1.3587_CHICHI_NST-E.AT2	SF_1.2055_NWCHINA2_J4060270.AT2	SF_0.6867_CHICHI_TAW-N.AT2	SF_1.2818_CHICHI_HWA033-E.AT2	SF_1.3587_CHICHI_NST-E.AT2	SF_1.2055_NWCHINA2_J4060270.AT2	SF_0.6977_IMPVAL A-H-E01140.AT2	SF_0.7290_CHICHI03_TCU129-E.AT2
10	SF_1.2818_CHICHI_HWA033-E.AT2	SF_1.3764_LIVERMOR_B-SRM070.AT2	SF_1.2059_LOMAP_SGI270.AT2	SF_0.6977_IMPVAL A-H-E01140.AT2	SF_1.2996_CHICHI_TAP041-E.AT2	SF_1.3764_LIVERMOR_B-SRM070.AT2	SF_1.2059_LOMAP_SGI270.AT2	SF_0.7290_CHICHI03_TCU129-E.AT2	SF_0.7391_KOCAELI_ATK000.AT2
11	SF_1.2996_CHICHI_TAP041-E.AT2	SF_1.4025_WHITTIER_A-FLO020.AT2	SF_1.2284_COALINGA_H-PG6090.AT2	SF_0.7290_CHICHI03_TCU129-E.AT2	SF_1.3009_COALINGA_H-Z09090.AT2	SF_1.4025_WHITTIER_A-FLO020.AT2	SF_1.2284_COALINGA_H-PG6090.AT2	SF_0.7391_KOCAELI_ATK000.AT2	SF_0.7644_SMART1_40001NS.AT2
12	SF_1.3009_COALINGA_H-Z09090.AT2	SF_1.4325_KOBE_OSA000.AT2	SF_1.2370_CHALFANT_A-LAD180.AT2	SF_0.7644_SMART1_40001NS.AT2	SF_1.3194_CHICHI_ILA027-E.AT2	SF_1.4325_KOBE_OSA000.AT2	SF_1.2370_CHALFANT_A-LAD180.AT2	SF_0.7695_NORTHR_CDF090.AT2	SF_0.7840_NORTHR_5081-270.AT2
13	SF_1.3194_CHICHI_ILA027-E.AT2	SF_1.4653_CHALFANT_A-LAD180.AT2	SF_1.2371_CHICHI_HWA033-E.AT2	SF_0.7840_NORTHR_5081-270.AT2	SF_1.3219_LOMAP_CH12000.AT2	SF_1.4653_CHALFANT_A-LAD180.AT2	SF_1.2371_CHICHI_HWA033-E.AT2	SF_0.7983_COALINGA_H-Z16090.AT2	SF_0.8192_NORTHR_CAT090.AT2
14	SF_1.3219_LOMAP_CH12000.AT2	SF_1.4948_LIVERMOR_B-FRE075.AT2	SF_1.2918_HECTOR_22161090.AT2	SF_0.7983_COALINGA_H-Z16090.AT2	SF_1.3269_CHICHI_TTN001-N.AT2	SF_1.4948_LIVERMOR_B-FRE075.AT2	SF_1.2918_HECTOR_22161090.AT2	SF_0.8192_NORTHR_CAT090.AT2	
15	SF_1.3269_CHICHI_TTN001-N.AT2	SF_1.5383_SKULLMT_Lsm7270.AT2	SF_1.3069_CHICHI04_CHY101-E.AT2		SF_1.3486_KOCAELI_BTS000.AT2	SF_1.5383_SKULLMT_Lsm7270.AT2	SF_1.3069_CHICHI04_CHY101-E.AT2		
16	SF_1.3486_KOCAELI_BTS000.AT2	SF_1.5723_WHITTIER_A-ARL270.AT2	SF_1.4403_LANDERS_DEV000.AT2		SF_1.3961_CHICHI_NCU-E.AT2	SF_1.5723_WHITTIER_A-ARL270.AT2	SF_1.4403_LANDERS_DEV000.AT2		
17	SF_1.3961_CHICHI_NCU-E.AT2	SF_1.5928_WHITTIER_A-WPA150.AT2	SF_1.4981_LOMAP_ADL250.AT2		SF_1.4056_CHICHI_ILA016-N.AT2	SF_1.5928_WHITTIER_A-WPA150.AT2	SF_1.4981_LOMAP_ADL250.AT2		
18	SF_1.4056_CHICHI_ILA016-N.AT2	SF_1.5980_ITALY_A-BOV000.AT2	SF_1.5721_CHICHI_NST-E.AT2		SF_1.4296_CHICHI_HWA055-N.AT2	SF_1.5980_ITALY_A-BOV000.AT2	SF_1.5721_CHICHI_NST-E.AT2		
19	SF_1.4296_CHICHI_HWA055-N.AT2	SF_1.6662_PALMSPR_H05360.AT2	SF_1.6676_LIVERMOR_A-ANT360.AT2			SF_1.6662_PALMSPR_H05360.AT2	SF_1.6676_LIVERMOR_A-ANT360.AT2		
20									

Çizelge A.1 (devam): Analizlerde Kullanılan depremlerin isimleri ve ölççek katsayıları listesi.

Burdur Merkez, 1. Derece Deprem Bölgesi, ZC Zemin Sınıfı, DD_1				
PFN_4_1	PFN_5_1	PFN_6_1	PFN_8_2	Prefabrik Yapı
1 SF_1.3978_CHICHI_TCU065-E.AT2	SF_2.1452_LOMAP_CH07000.AT2	SF_2.0772_WHITTIER_A-BAD000.AT2	SF_2.8255_CHICHI06_TCU078-E.AT2	SF_1.1724_NORTHR_NEW180.AT2
2 SF_1.4426_DUZCE_ATS300.AT2	SF_2.1545_WHITTIER_A-BAD000.AT2	SF_2.1197_LOMAP_CH07000.AT2	SF_2.9560_CHICHI_TAW-N.AT2	SF_1.2434_PALMSPR_TFS090.AT2
3 SF_1.4532_NORTHR_OBR090.AT2	SF_2.2815_NORTHR_PHP270.AT2	SF_2.2293_NORTHR_PHP270.AT2	SF_3.0111_CHICHI03_TCU065-E.AT2	SF_1.2606_NORTHR_SUN280.AT2
4 SF_1.4792_PALMSPR_TFS090.AT2	SF_2.3720_WHITTIER_A-CWC270.AT2	SF_2.3288_CHICHI_TCU094-N.AT2	SF_3.0804_CHICHI03_CHY028-E.AT2	SF_1.2996_CHICHI_CHY101-N.AT2
5 SF_1.5227_CHICHI_TCU067-N.AT2	SF_2.4630_CHICHI_TCU094-N.AT2	SF_2.3300_WHITTIER_A-CWC270.AT2	SF_3.2155_KOCAELI_IST090.AT2	SF_1.3246_CHICHI_WGK-E.AT2
6 SF_1.5658_CHICHI_TCU072-E.AT2	SF_2.4696_CHICHI03_TCU129-E.AT2	SF_2.3647_CHICHI03_TCU129-E.AT2	SF_3.2436_LANDERS_MEL090.AT2	SF_1.3331_CHICHI_CHY034-N.AT2
7 SF_1.5834_NORTHR_SUN280.AT2	SF_2.4738_MORGAN_G04360.AT2	SF_2.4217_MANJIL_189132.AT2	SF_3.2701_WHITTIER_A-VER173.AT2	SF_1.3494_CHICHI_TCU101-N.AT2
8 SF_1.5849_CHICHI_TCU074-E.AT2	SF_2.5506_WHITTIER_A-OBR360.AT2	SF_2.4528_KOCAELI_DHM000.AT2	SF_3.3374_NORTHR_MJH090.AT2	SF_1.3513_DUZCE_ATS300.AT2
9 SF_1.5962_IMPVALL_H-E06230.AT2	SF_2.5763_KOCAELI_DHM000.AT2	SF_2.5179_WHITTIER_A-OBR360.AT2	SF_3.3553_CHICHI03_TCU075-E.AT2	SF_1.3559_COALINGA_H-Z11090.AT2
10 SF_1.6096_SUPERST_B-PLS135.AT2	SF_2.5899_KOCAELI_USK090.AT2	SF_2.5573_KOCAELI_USK090.AT2	SF_3.3654_CHICHI06_TCU065-E.AT2	SF_1.4208_MORGAN_CLS220.AT2
11 SF_1.6230_NORTHR_NEW180.AT2	SF_2.6530_WHITTIER_A-BUE340.AT2	SF_2.5925_CHICHI_CHY101-E.AT2	SF_3.4166_BIGBEAR_DHP090.AT2	SF_1.4330_CHICHI03_TCU076-E.AT2
12 SF_1.6450_MORGAN_CLS220.AT2	SF_2.6932_LIVERMOR_B-SRM070.AT2	SF_2.5974_WHITTIER_A-BUE340.AT2	SF_3.4349_NORTHR_CAT090.AT2	SF_1.4622_KOCAELI_DHM090.AT2
13 SF_1.6775_LOMAP_HWB310.AT2	SF_2.7142_LOMAP_SSF115.AT2	SF_2.6779_LOMAP_SSF115.AT2	SF_3.5282_SFERN_H05225.AT2	SF_1.4655_CHICHI_TCU076-E.AT2
14 SF_1.6851_CHICHI03_TCU076-E.AT2	SF_2.7274_SUPERST_B-BRA315.AT2	SF_2.7117_SUPERST_B-BRA315.AT2	SF_3.5627_CHICHI02_TCU065-E.AT2	SF_1.4754_CHICHI_CHY006-N.AT2
15 SF_1.6863_CHICHI_WGK-E.AT2	SF_2.8807_LOMAP_G06000.AT2	SF_2.7155_CHICHI_TTN051-N.AT2	SF_3.6308_FRIULI_A-FLT270.AT2	SF_1.4823_LOMAP_GOF250.AT2
16 SF_1.7844_NORTHR_LOA092.AT2	SF_3.0243_LOMAP_RIN000.AT2	SF_2.8103_NORTHR_MRP180.AT2	SF_3.6626_UPLAND_23525090.AT2	SF_1.4834_IMPVALL_H-ECC092.AT2
17 SF_1.8546_NORTHR_OAK170.AT2	SF_3.0886_CHICHI_CHY041-E.AT2	SF_2.8812_LOMAP_RIN000.AT2	SF_3.7685_LIVERMOR_B-FRE075.AT2	SF_1.5461_NORTHR_OAK170.AT2
18 SF_1.9113_CHICHI_TCU067-E.AT2	SF_3.1214_COALINGA_H-C4A090.AT2	SF_2.9696_CHICHI_CHY024-E.AT2	SF_3.7879_NEWZEAL_A-MAR040.AT2	SF_1.5620_LOMAP_CH07000.AT2
19 SF_2.0036_IMPVALL_H-ECC092.AT2	SF_3.2294_COALINGA_H-Z16090.AT2	SF_3.0481_COALINGA_H-C4A090.AT2	SF_3.7911_CHALFANT_A-LAD180.AT2	SF_1.7368_IMPVALL_H-E03140.AT2
20 SF_2.0674_IMPVALL_H-E04230.AT2	SF_3.3483_CHICHI_TCU081-N.AT2	SF_3.2502_CHICHI_TCU081-N.AT2	SF_4.0821_COALINGA_H-VC6090.AT2	SF_1.7922_IMPVALL_H-E04230.AT2
Aydın Üniv. Yapısı	Geдикbulak_3D	20_Katlı_3D_Yapı	24_Katlı_2D_CSW	
1 SF_1.4963_LOMAP_WDS090.AT2	SF_1.1113_CHICHI_CHY028-N.AT2	SF_1.0747_CHICHI_CHY028-E.AT2	SF_3.0822_IMPVALL_H-E01140.AT2	
2 SF_1.5053_PALMSPR_TFS090.AT2	SF_1.1123_CHICHI_CHY028-E.AT2	SF_1.0788_CHICHI_TCU101-N.AT2	SF_3.3497_SMART1_33001NS.AT2	
3 SF_1.5197_CHICHI_TCU061-N.AT2	SF_1.1298_CHICHI_CHY080-E.AT2	SF_1.1787_NORTHR_SUN280.AT2	SF_3.4328_KOCAELI_IST090.AT2	
4 SF_1.5404_LIVERMOR_B-SRM340.AT2	SF_1.1500_KOBE_TAK090.AT2	SF_1.2312_NORTHR_NEW180.AT2	SF_3.5100_CHICHI03_TCU122-E.AT2	
5 SF_1.5779_LOMAP_GOF250.AT2	SF_1.1533_DUZCE_ATS300.AT2	SF_1.2782_LOMAP_DUMB267.AT2	SF_3.5395_COALINGA_H-Z16090.AT2	
6 SF_1.6181_CHICHI_TCU119-N.AT2	SF_1.1775_MORGAN_CLS310.AT2	SF_1.2874_CHICHI_CHY034-N.AT2	SF_3.5898_NORTHR_MRP180.AT2	
7 SF_1.6242_KOBE_ABN000.AT2	SF_1.2110_CHICHI_CHY080-N.AT2	SF_1.343_PALMSPR_TFS090.AT2	SF_3.6078_CHICHI03_CHY035-E.AT2	
8 SF_1.6361_IMPVALL_H-E13230.AT2	SF_1.2405_NORTHR_NEW180.AT2	SF_1.3651_KOBE_ABN000.AT2	SF_3.6428_COALINGA_H-C4A090.AT2	
9 SF_1.6417_SUPERST_B-ICC000.AT2	SF_1.2829_CHICHI_CHY041-N.AT2	SF_1.3847_CHICHI_TCU076-E.AT2	SF_3.668_NORTHR_CAT090.AT2	
10 SF_1.6489_CHICHI_TCU136-W.AT2	SF_1.3079_CHICHI_TCU095-E.AT2	SF_1.3000_COALINGA_H-Z11090.AT2	SF_3.6713_CHICHI_HWA045-N.AT2	
11 SF_1.6524_IMPVALL_H-EDA270.AT2	SF_1.3082_CAPEMEND_RIO360.AT2	SF_1.4278_CHICHI_TCU070-N.AT2	SF_3.7073_CHICHI03_TCU065-E.AT2	
12 SF_1.6648_CHICHI_CHY024-E.AT2	SF_1.3212_KOBE_KBU090.AT2	SF_1.4371_CHICHI_CHY006-N.AT2	SF_3.7475_HECTOR_32577090.AT2	
13 SF_1.7062_CHICHI_CHY036-E.AT2	SF_1.3512_MORGAN_CLS220.AT2	SF_1.4704_MANJIL_190024.AT2	SF_3.7836_CHICHI06_CHY015-N.AT2	
14 SF_1.7317_KOCAELI_DHM000.AT2	SF_1.4048_CHICHI_TCU070-N.AT2	SF_1.4756_KOBE_CHY000.AT2	SF_3.9049_CHICHI_CHY002-N.AT2	
15 SF_1.7812_KOBE_CHY000.AT2	SF_1.425_KOBE_TAK000.AT2	SF_1.4768_DUZCE_ATS300.AT2	SF_4.061_LOMAP_BVU220.AT2	
16 SF_1.9462_CHICHI_TCU055-E.AT2	SF_1.6027_CHICHI_TCU067-N.AT2	SF_1.5282_NORTHR_OAK170.AT2	SF_4.0644_CHICHI03_CHY028-E.AT2	
17 SF_1.9522_CHICHI_TCU082-E.AT2	SF_1.6114_NORTHR_OBR090.AT2	SF_1.5315_CHICHI_TCU136-W.AT2	SF_4.1137_UPLAND_23525090.AT2	
18 SF_2.0073_LANDERS_WST000.AT2	SF_1.6193_NORTHR_OAK170.AT2	SF_1.6069_IMPVALL_H-E03140.AT2	SF_4.2655_ITALY_A-BRZ000.AT2	
19 SF_2.0234_CHICHI_TCU-E.AT2	SF_1.7053_CHICHI_TCU071-N.AT2	SF_1.6432_LOMAP_WDS000.AT2	SF_4.2751_CHICHI_HWA048-N.AT2	
20 SF_2.0814_LOMAP_GOF160.AT2	SF_1.8127_LOMAP_G02000.AT2	SF_1.6939_SUPERST_B-ICC000.AT2	SF_4.5339_NEWZEAL_A-MAR040.AT2	

Çizelge A.1 (devam): Analizlerde Kullanılan depremlerin isimleri ve ölççek katsayıları listesi.

Burdur Merkez, 1. Derece Deprem Bölgesi, ZC Zemin Sınıfı, DD_2

PFN_4_1		PFN_5_1		PFN_6_1		PFN_8_2		Prefabrik Yapı	
1	SF_0.9529_CHICHI_TCU042-N.AT2	SF_0.9529_CHICHI_TCU042-N.AT2	SF_0.9294_CHICHI_TCU042-N.AT2	SF_1.3951_IMPVALL_H-E01140.AT2	SF_1.0075_NORTHTR_STM090.AT2				
2	SF_0.9680_IMPVALL_H-E03140.AT2	SF_0.9680_IMPVALL_H-E03140.AT2	SF_0.956_IMPVALL_H-E03140.AT2	SF_1.4031_LANDERS_CAS000.AT2	SF_1.0757_CHICHI_TCU042-N.AT2				
3	SF_1.0060_WHITTIER_A-BAD000.AT2	SF_1.0060_WHITTIER_A-BAD000.AT2	SF_0.9869_WHITTIER_A-BAD000.AT2	SF_1.4702_CHICHI06_TCU078-E.AT2	SF_1.0906_IMPVALL_H-E04140.AT2				
4	SF_1.0155_CHICHI03_TCU129-E.AT2	SF_1.0155_CHICHI03_TCU129-E.AT2	SF_0.99839_CHICHI03_TCU129-E.AT2	SF_1.5586_FRIULI_A-FLT270.AT2	SF_1.0992_MORGAN_G04360.AT2				
5	SF_1.0835_CHICHI_TCU094-N.AT2	SF_1.0835_CHICHI_TCU094-N.AT2	SF_1.0624_CHICHI_TCU094-N.AT2	SF_1.5605_CHICHI_TAW-N.AT2	SF_1.1036_NORTHTR_PHP270.AT2				
6	SF_1.0898_FRIULI_A-TMZ000.AT2	SF_1.0898_FRIULI_A-TMZ000.AT2	SF_1.0987_NORTHTR_PHP270.AT2	SF_1.5718_COALINGA_H-Z16090.AT2	SF_1.1216_WHITTIER_A-BAD000.AT2				
7	SF_1.1091_MORGAN_G04360.AT2	SF_1.1091_MORGAN_G04360.AT2	SF_1.1083_MORGAN_G04360.AT2	SF_1.6845_NORTHTR_CAT090.AT2	SF_1.1264_LOMAP_HCH180.AT2				
8	SF_1.1184_NORTHTR_PHP270.AT2	SF_1.1184_NORTHTR_PHP270.AT2	SF_1.1137_NORTHTR_PAR--LAT2	SF_1.6852_WESTMORL_BRA315.AT2	SF_1.1347_LOMAP_SSF115.AT2				
9	SF_1.1296_NORTHTR_PAR--LAT2	SF_1.1296_NORTHTR_PAR--LAT2	SF_1.1238_NORTHTR_STC180.AT2	SF_1.6875_TABAS_BAJ-T1.AT2	SF_1.2075_CHICHI03_TCU129-E.AT2				
10	SF_1.1385_HECTOR_32577360.AT2	SF_1.1385_HECTOR_32577360.AT2	SF_1.1338_HECTOR_32577360.AT2	SF_1.7113_DUZCE_1061-N.AT2	SF_1.2134_LOMAP_G03000.AT2				
11	SF_1.1521_NORTHTR_STC180.AT2	SF_1.1521_NORTHTR_STC180.AT2	SF_1.1587_CHICHI06_TCU078-N.AT2	SF_1.7228_NEWZEAL_A-MAR040.AT2	SF_1.2209_SUPERST_B-BRA315.AT2				
12	SF_1.1851_CHICHI06_TCU078-N.AT2	SF_1.1851_CHICHI06_TCU078-N.AT2	SF_1.1841_NORTHTR_OAK080.AT2	SF_1.7251_NORTHTR_MJH090.AT2	SF_1.2342_LOMAP_OLEM000.AT2				
13	SF_1.1878_LOMAP_SSF115.AT2	SF_1.1878_LOMAP_SSF115.AT2	SF_1.1858_LOMAP_SSF115.AT2	SF_1.7667_LANDERS_MEL090.AT2	SF_1.2544_IMPVALL_H-E10320.AT2				
14	SF_1.2041_KOCAELI_DHM000.AT2	SF_1.2041_KOCAELI_DHM000.AT2	SF_1.1865_KOCAELI_DHM000.AT2	SF_1.7683_BIGBEAR_DHP090.AT2	SF_1.2548_NWCHINA2_X4060000.AT2				
15	SF_1.2374_IMPVALL_H-ECC002.AT2	SF_1.2374_IMPVALL_H-ECC002.AT2	SF_1.2155_IMPVALL_H-ECC002.AT2	SF_1.8407_LIVERMOR_B-FRE075.AT2	SF_1.2947_NORTHTR_STC180.AT2				
16	SF_1.2444_IMPVALL_H-E10050.AT2	SF_1.2444_IMPVALL_H-E10050.AT2	SF_1.2192_IMPVALL_H-E10050.AT2	SF_1.8465_CHICHI03_TCU075-E.AT2	SF_1.3017_LOMAP_RIN090.AT2				
17	SF_1.2512_CHICHI_TCU075-N.AT2	SF_1.2512_CHICHI_TCU075-N.AT2	SF_1.2328_CHICHI_TCU075-N.AT2	SF_1.8467_CHALFANT_A-LAD180.AT2	SF_1.3604_CHICHI_CHY024-E.AT2				
18	SF_1.2595_SUPERST_B-BRA315.AT2	SF_1.2595_SUPERST_B-BRA315.AT2	SF_1.2532_SUPERST_B-BRA315.AT2	SF_1.8759_LOMAP_SGI270.AT2	SF_1.3939_KOBE_HIK090.AT2				
19	SF_1.3406_IMPVALL_H-E01140.AT2	SF_1.3406_IMPVALL_H-E01140.AT2	SF_1.3214_IMPVALL_H-E01140.AT2	SF_1.9318_NWCHINA2_J4060270.AT2	SF_1.4122_IMPVALL_H-E01230.AT2				
20	SF_1.3718_KOBE_HIK090.AT2	SF_1.3718_KOBE_HIK090.AT2	SF_1.3611_KOBE_HIK090.AT2	SF_1.9503_SFERN_PAS090.AT2	SF_1.4398_IMPVALL_H-E01140.AT2				
Aydın Yapı		Gedikbulak_3D		20 Katlı_3D_Yapı		24 Katlı_2D_CSW			
1	SF_0.8304_LOMAP_GOF250.AT2	SF_1.5942_LANDERS_CAS000.AT2	SF_0.8256_CHICHI_TCU067-E.AT2	SF_0.7999_KOCAELI_DHM090.AT2					
2	SF_0.8456_DUZCE_ATS300.AT2	SF_1.6738_LOMAP_SSF115.AT2	SF_0.8393_KOCAELI_DHM090.AT2	SF_0.8179_LOMAP_GOF250.AT2					
3	SF_0.8622_CHICHI_TCU122-N.AT2	SF_1.7498_FRIULI_A-FLT270.AT2	SF_0.8636_MORGAN_CLS220.AT2	SF_0.8275_KOBE_ABN000.AT2					
4	SF_0.8630_KOBE_ABN000.AT2	SF_1.7913_KOCAELI_MSK000.AT2	SF_0.8747_NORTHTR_OAK170.AT2	SF_0.8416_CHICHI_TCU076-E.AT2					
5	SF_0.8724_SUPERST_B-ICC000.AT2	SF_1.8635_NORTHTR_NYA180.AT2	SF_0.8829_IMPVALL_H-ECC092.AT2	SF_0.8655_LOMAP_WDS090.AT2					
6	SF_0.8823_CHICHI_TCU119-N.AT2	SF_1.8772_PARKF_C12320.AT2	SF_0.9122_CHICHI_TCU076-E.AT2	SF_0.8776_CHICHI_CHY006-N.AT2					
7	SF_0.8869_CHICHI_TCU136-W.AT2	SF_1.9181_CHICHI02_TCU079-E.AT2	SF_0.9197_CHICHI03_TCU076-E.AT2	SF_0.8912_CHICHI_CHY035-E.AT2					
8	SF_0.9064_CHICHI_CHY024-E.AT2	SF_1.9361_NEWZEAL_A-MAR040.AT2	SF_0.9285_IMPVALL_H-E04230.AT2	SF_0.8926_IMPVALL_H-ECC092.AT2					
9	SF_0.9281_CHICHI_CHY006-N.AT2	SF_1.9902_SFERN_MA3220.AT2	SF_0.9399_CHICHI_CHY035-E.AT2	SF_0.9132_NORTHTR_OAK170.AT2					
10	SF_0.9299_KOCAELI_DHM000.AT2	SF_2.0148_CHICHI_TTN051-N.AT2	SF_0.9425_NORTHTR_LOA092.AT2	SF_0.9143_CHICHI_CHY036-E.AT2					
11	SF_0.9577_KOBE_CHY000.AT2	SF_2.0255_CHICHI_CHY101-E.AT2	SF_0.9510_CHICHI_CHY006-N.AT2	SF_0.9195_SUPERST_B-ICC000.AT2					
12	SF_1.0413_CHICHI_TCU082-E.AT2	SF_2.0259_CHICHI06_TCU078-E.AT2	SF_0.9782_LANDERS_CAS270.AT2	SF_0.9520_NORTHTR_LIT180.AT2					
13	SF_1.0676_CHICHI_TCU-E.AT2	SF_2.0271_CHICHI03_TCU080-E.AT2	SF_0.9849_NORTHTR_PIC090.AT2	SF_0.9712_NORTHTR_PIC090.AT2					
14	SF_1.0678_IMPVALL_H-CX0315.AT2	SF_2.0490_CHICHI_CHY024-E.AT2	SF_1.0114_NORTHTR_LIT180.AT2	SF_0.9713_NORTHTR_LOA092.AT2					
15	SF_1.0728_CHICHI_TCU055-E.AT2	SF_2.1024_CHICHI06_TCU129-E.AT2	SF_1.0115_LOMAP_G01090.AT2	SF_0.9966_CHICHI_TCU070-E.AT2					
16	SF_1.0806_LANDERS_WST000.AT2	SF_2.1037_LOMAP_SGI270.AT2	SF_1.0118_IMPVALL_H-E03140.AT2	SF_1.0156_CHICHI_CHY024-E.AT2					
17	SF_1.0858_CHICHI_TCU057-N.AT2	SF_2.1918_NWCHINA2_J4060270.AT2	SF_1.0202_IMPVALL_H-E07140.AT2	SF_1.0235_KOCAELI_DHM000.AT2					
18	SF_1.0890_CHICHI_CHY074-E.AT2	SF_2.2002_CHICHI_NST-E.AT2	SF_1.0630_HECTOR_32577360.AT2	SF_1.0580_IMPVALL_H-CX0315.AT2					
19	SF_1.1048_IMPVALL_H-E01230.AT2	SF_2.2710_WHITTIER_A-FLO020.AT2	SF_1.1445_IMPVALL_H-E04140.AT2	SF_1.1354_IMPVALL_H-E13140.AT2					
20	SF_1.1283_LOMAP_GOF160.AT2	SF_2.3305_CHICHI_TCU100-N.AT2	SF_1.1539_LOMAP_CLS090.AT2	SF_1.1402_LOMAP_GOF160.AT2					

Çizelge A.1 (devam): Analizlerde Kullanılan depremlerin isimleri ve ölççek katsayıları listesi.

Erzincan Merkez, 1. Derece Deprem Bölgesi, ZC Zemin Sınıfı, DD_1

PFN_4_1		PFN_5_1		PFN_6_1		PFN_8_2		Prefabrik Yapı	
1	SF_2.0748_DUZCE_ATS300.AT2	SF_2.1338_NORTHR_OBR090.AT2	SF_5.0161_WHITTIER_A-VER173.AT2	SF_5.8183_WHITTIER_A-VER173.AT2	SF_1.3826_CHICHI_CHY028-N.AT2				
2	SF_2.1276_PALMSPR_TFS090.AT2	SF_2.1535_DUZCE_ATS300.AT2	SF_5.2999_CHICHI03_TCU075-E.AT2	SF_5.9698_CHICHI03_TCU075-E.AT2	SF_1.4495_NORTHR_SYC135.AT2				
3	SF_2.2649_LOMAP_HDA165.AT2	SF_2.2009_PALMSPR_TFS090.AT2	SF_5.3641_LIVERMOR_B-FRE075.AT2	SF_6.2774_SFERN_H05225.AT2	SF_1.4514_CHICHI03_CHY080-E.AT2				
4	SF_2.2774_NORTHR_SUN280.AT2	SF_2.2432_CHICHI_TCU067-N.AT2	SF_5.5660_NEWZEAL_A-MAR040.AT2	SF_6.5166_UPLAND_23525090.AT2	SF_1.4514_MORGAN_CLS310.AT2				
5	SF_2.2958_IMPVAL H-E06230.AT2	SF_2.2702_LOMAP_HDA165.AT2	SF_5.7295_NORTHR_MJH090.AT2	SF_6.5679_NORTHR_LV3090.AT2	SF_1.4791_CHICHI_TCU065-E.AT2				
6	SF_2.3151_SUPERST_B-PLS135.AT2	SF_2.3013_IMPVAL H-E06230.AT2	SF_5.8420_NWCHINA2_J4060270.AT2	SF_6.705_LIVERMOR_B-FRE075.AT2	SF_1.4821_SUPERST_B-PLS135.AT2				
7	SF_2.3343_NORTHR_NEW180.AT2	SF_2.3123_SUPERST_B-PLS135.AT2	SF_6.0606_CHICHI06_CHY074-E.AT2	SF_6.7324_COALINGA_H-SC4090.AT2	SF_1.5961_KOBE_TAK090.AT2				
8	SF_2.366_MORGAN_CLS220.AT2	SF_2.3259_NORTHR_SUN280.AT2	SF_6.1263_CHALFANT_A-LAD180.AT2	SF_6.9829_WHITTIER_A-HNT270.AT2	SF_1.6093_DUZCE_BOL000.AT2				
9	SF_2.4236_CHICHI03_TCU076-E.AT2	SF_2.4021_NORTHR_NEW180.AT2	SF_6.2950_NORTHR_WPI316.AT2	SF_6.9832_HECTOR_22161090.AT2	SF_1.6648_CHICHI_TCU067-N.AT2				
10	SF_2.4254_CHICHI_WGK-E.AT2	SF_2.4583_MORGAN_CLS220.AT2	SF_6.4121_CHICHI03_TCU065-E.AT2	SF_7.0016_LIVERMOR_A-FRE075.AT2	SF_1.6688_CHICHI_TCU071-N.AT2				
11	SF_2.4745_CHICHI_CHY101-N.AT2	SF_2.4670_CHICHI_WGK-E.AT2	SF_6.4166_CHICHI_HWA2-E.AT2	SF_7.1928_LOMAP_TLH000.AT2	SF_1.6873_CHICHI_CHY028-E.AT2				
12	SF_2.5102_CHICHI_TCU070-N.AT2	SF_2.4763_CHICHI03_TCU076-E.AT2	SF_6.4347_WHITTIER_A-L01090.AT2	SF_7.2630_COALINGA_H-VC6090.AT2	SF_1.8006_LOMAP_HDA165.AT2				
13	SF_2.5665_NORTHR_LOA092.AT2	SF_2.5146_CHICHI_CHY101-N.AT2	SF_6.6955_UPLAND_23525090.AT2	SF_7.5187_WHITTIER_A-L01090.AT2	SF_1.8213_NORTHR_OBR090.AT2				
14	SF_2.6675_NORTHR_OAK170.AT2	SF_2.6318_NORTHR_LOA092.AT2	SF_6.7036_KOCAELI_IST090.AT2	SF_7.677_NORTHR_SAN180.AT2	SF_1.8637_CHICHI_TCU074-E.AT2				
15	SF_2.6837_NORTHR_PIC090.AT2	SF_2.7297_NORTHR_PIC090.AT2	SF_6.7805_CHICHI03_CHY024-E.AT2	SF_8.2415_CHICHI06_CHY024-E.AT2	SF_1.8843_NORTHR_NEW180.AT2				
16	SF_2.7581_LANDERS_CAS270.AT2	SF_2.7388_CHICHI_CHY006-N.AT2	SF_6.8799_CHICHI06_TCU065-E.AT2	SF_8.3588_CHICHI_ILA027-E.AT2	SF_1.9141_IMPVAL H-E06230.AT2				
17	SF_2.8818_IMPVAL H-ECC092.AT2	SF_2.7411_NORTHR_OAK170.AT2	SF_7.5980_HECTOR_22161090.AT2	SF_8.476_BIGBEAR_HOS090.AT2	SF_1.9561_CHICHI_TCU072-E.AT2				
18	SF_2.9735_IMPVAL H-E04230.AT2	SF_2.8433_LANDERS_CAS270.AT2	SF_7.8082_SKULLMT_Lsm7270.AT2	SF_9.1828_CHICHI03_CHY034-N.AT2	SF_1.9983_PALMSPR_TFS090.AT2				
19	SF_3.0265_NORTHR_STM090.AT2	SF_2.9826_IMPVAL H-ECC092.AT2	SF_8.3213_CHICHI03_TCU138-N.AT2	SF_9.2341_KOCAELI_BTS000.AT2	SF_2.0261_NORTHR_SUN280.AT2				
20	SF_3.2400_CHICHI_TCU045-E.AT2	SF_3.1025_IMPVAL H-E04230.AT2	SF_8.3354_CHICHI03_CHY101-E.AT2	SF_9.5817_CHICHI03_TCU138-N.AT2	SF_2.1495_CHICHI_TCU070-N.AT2				
Aydın Üniv. Yapısı		Gedikbulak_3D		20_Katlı_3D_Yapı		24_Katlı_2D_CSW			
1	SF_2.4754_NORTHR_NEW180.AT2	SF_4.9794_KOCAELI_ATK000.AT2	SF_2.6466_LOMAP_SSF115.AT2	SF_3.4373_NORTHR_LIT180.AT2					
2	SF_2.4955_LOMAP_WDS090.AT2	SF_5.0450_LOMAP_OLEM000.AT2	SF_2.6531_LOMAP_CH07000.AT2	SF_3.4781_IMPVAL H-E03140.AT2					
3	SF_2.5344_CHICHI_TCU061-N.AT2	SF_5.0813_CHICHI_TCU081-N.AT2	SF_2.7207_CHICHI03_TCU076-E.AT2	SF_3.564_LOMAP_SSF115.AT2					
4	SF_2.569_LIVERMOR_B-SRM340.AT2	SF_5.1935_SUPERST_B-ICC000.AT2	SF_2.8504_LANDERS_WST000.AT2	SF_3.6542_CHICHI_TCU046-N.AT2					
5	SF_2.6314_LOMAP_GOF250.AT2	SF_5.1993_CHICHI06_TCU078-E.AT2	SF_2.9370_MORGAN_CLS220.AT2	SF_3.667_CHICHI_CHY024-E.AT2					
6	SF_2.6794_CHICHI_TCU076-E.AT2	SF_5.2760_KOBE_OSA000.AT2	SF_3.1192_LOMAP_GMR000.AT2	SF_3.6958_KOCAELI_DHM000.AT2					
7	SF_2.6985_CHICHI_TCU119-N.AT2	SF_5.2766_CHICHI_TAW-N.AT2	SF_3.1926_IMPVAL H-E13140.AT2	SF_3.7187_LOMAP_WDS000.AT2					
8	SF_2.7087_KOBE_ABN000.AT2	SF_5.4117_CHICHI_CHY010-N.AT2	SF_3.2017_CHICHI_TTN051-N.AT2	SF_3.7203_LOMAP_OLEM000.AT2					
9	SF_2.7285_IMPVAL H-E13230.AT2	SF_5.4130_COALINGA_H-C4A090.AT2	SF_3.2242_CHICHI_CHY074-E.AT2	SF_3.7469_HECTOR_32577360.AT2					
10	SF_2.7379_SUPERST_B-ICC000.AT2	SF_5.5325_NORTHR_CAT090.AT2	SF_3.2530_KOCAELI_USK090.AT2	SF_3.7706_LOMAP_MCH090.AT2					
11	SF_2.7499_CHICHI_TCU136-W.AT2	SF_5.5497_CHICHI_TCU040-N.AT2	SF_3.2684_NCALIF_F-FRN225.AT2	SF_3.9314_LANDERS_WST000.AT2					
12	SF_2.7558_IMPVAL H-EDA270.AT2	SF_5.5845_NWCHINA2_J4060270.AT2	SF_3.2690_NORTHR_LIT180.AT2	SF_4.016_CHICHI_CHY029-N.AT2					
13	SF_2.7764_CHICHI_CHY024-E.AT2	SF_5.6192_CHICHI_TCU100-N.AT2	SF_3.3961_CHICHI_CHY024-E.AT2	SF_4.0499_IMPVAL H-E01230.AT2					
14	SF_2.7822_DUZCE_ATS300.AT2	SF_5.6854_CHICHI06_CHY036-E.AT2	SF_3.4098_CHICHI_ALS-E.AT2	SF_4.0659_CHICHI_CHY074-E.AT2					
15	SF_2.8881_KOCAELI_DHM000.AT2	SF_5.7535_LIVERMOR_B-FRE075.AT2	SF_3.5090_CHICHI_CHY104-N.AT2	SF_4.0998_IMPVAL H-E13140.AT2					
16	SF_2.9706_KOBE_CHY000.AT2	SF_5.8005_HECTOR_22161360.AT2	SF_3.5847_KOCAELI_MSK000.AT2	SF_4.1171_LOMAP_GOF160.AT2					
17	SF_3.2558_CHICHI_TCU082-E.AT2	SF_5.8175_LOMAP_SGI270.AT2	SF_3.6146_LIVERMOR_B-SRM070.AT2	SF_4.2316_CHICHI_TCU075-N.AT2					
18	SF_3.3477_LANDERS_WST000.AT2	SF_5.8342_CHICHI_TCU048-N.AT2	SF_3.6203_KOBE_TOT000.AT2	SF_4.2466_SUPERST_B-BRA315.AT2					
19	SF_3.3745_CHICHI_TCU-E.AT2	SF_5.8467_WHITTIER_A-FLO020.AT2	SF_3.6516_SMART1_33001NS.AT2	SF_4.4513_SMART1_45004EW.AT2					
20	SF_3.4713_LOMAP_GOF160.AT2	SF_5.9408_IMPVAL H-BCR230.AT2	SF_3.7153_KOCAELI_IST090.AT2	SF_4.6481_CHICHI_TCU081-N.AT2					

Çizelge A.1 (devam): Analizlerde Kullanılan depremlerin isimleri ve ölççek katsayıları listesi.

Erzincan Merkez, 1. Derece Deprem Bölgesi, ZC Zemin Sınıfı, DD_2

PFN_4_1		PFN_5_1		PFN_6_1		PFN_8_2		Prefabrik Yapı	
1	SF_1.9267_CHICHI_TCU094-N.AT2	SF_1.9267_CHICHI_TCU094-N.AT2	SF_1.9267_CHICHI_TCU094-N.AT2	SF_2.0367_NORTHR_PHP270.AT2	SF_2.0158_SUPERST_B-BRA315.AT2	SF_1.9135_LOMAP_SSF115.AT2			
2	SF_2.1121_LOMAP_SSF115.AT2	SF_2.1121_LOMAP_SSF115.AT2	SF_2.1121_LOMAP_SSF115.AT2	SF_2.1982_LOMAP_SSF115.AT2	SF_2.0506_KOCAELI_DHM000.AT2	SF_2.0362_CHICHI03_TCU129-E.AT2			
3	SF_2.1411_KOCAELI_DHM000.AT2	SF_2.1411_KOCAELI_DHM000.AT2	SF_2.1411_KOCAELI_DHM000.AT2	SF_2.1996_KOCAELI_DHM000.AT2	SF_2.075_LOMAP_WDS000.AT2	SF_2.0468_LOMAP_WDS000.AT2			
4	SF_2.1546_WHITTIER_A-CWC270.AT2	SF_2.1546_WHITTIER_A-CWC270.AT2	SF_2.1546_WHITTIER_A-CWC270.AT2	SF_2.208_WHITTIER_A-CWC270.AT2	SF_2.1068_WHITTIER_A-CWC270.AT2	SF_2.0588_SUPERST_B-BRA315.AT2			
5	SF_2.238_CHICHI_CHY101-E.AT2	SF_2.238_CHICHI_CHY101-E.AT2	SF_2.238_CHICHI_CHY101-E.AT2	SF_2.299_CHICHI_CHY101-E.AT2	SF_2.1502_SUPERST_B-ICC000.AT2	SF_2.0819_KOCAELI_DHM000.AT2			
6	SF_2.2712_WHITTIER_A-BUE340.AT2	SF_2.2712_WHITTIER_A-BUE340.AT2	SF_2.2712_WHITTIER_A-BUE340.AT2	SF_2.3303_WHITTIER_A-BUE340.AT2	SF_2.1657_LIVERMOR_B-SRM070.AT2	SF_2.1426_SUPERST_B-ICC000.AT2			
7	SF_2.317_CHICHI_TTN051-N.AT2	SF_2.317_CHICHI_TTN051-N.AT2	SF_2.317_CHICHI_TTN051-N.AT2	SF_2.3831_CHICHI_TTN051-N.AT2	SF_2.1902_IMPVAL H-E13140.AT2	SF_2.1803_IMPVAL H-E13140.AT2			
8	SF_2.3215_KOCAELI_USK090.AT2	SF_2.3215_KOCAELI_USK090.AT2	SF_2.3215_KOCAELI_USK090.AT2	SF_2.396_KOCAELI_USK090.AT2	SF_2.2212_COALINGA_D-PVP360.AT2	SF_2.2097_LIVERMOR_B-SRM070.AT2			
9	SF_2.3245_LOMAP_WDS000.AT2	SF_2.3245_LOMAP_WDS000.AT2	SF_2.3245_LOMAP_WDS000.AT2	SF_2.4062_LANDERS_CAS000.AT2	SF_2.2314_WHITTIER_A-BUE340.AT2	SF_2.2941_CHICHI_CHY024-E.AT2			
10	SF_2.3558_LANDERS_CAS000.AT2	SF_2.3558_LANDERS_CAS000.AT2	SF_2.3558_LANDERS_CAS000.AT2	SF_2.435_LOMAP_WDS000.AT2	SF_2.3267_KOCAELI_ATK000.AT2	SF_2.3823_KOCAELI_ATK000.AT2			
11	SF_2.3838_IMPVAL H-E01140.AT2	SF_2.3838_IMPVAL H-E01140.AT2	SF_2.3838_IMPVAL H-E01140.AT2	SF_2.4497_IMPVAL H-E01140.AT2	SF_2.3336_LOMAP_RIN000.AT2	SF_2.3936_LOMAP_RIN000.AT2			
12	SF_2.4147_LIVERMOR_B-SRM070.AT2	SF_2.4147_LIVERMOR_B-SRM070.AT2	SF_2.4147_LIVERMOR_B-SRM070.AT2	SF_2.4797_LOMAP_RIN000.AT2	SF_2.3773_LANDERS_CAS000.AT2	SF_2.4281_IMPVAL H-E01140.AT2			
13	SF_2.4307_LOMAP_RIN000.AT2	SF_2.4307_LOMAP_RIN000.AT2	SF_2.4307_LOMAP_RIN000.AT2	SF_2.5366_LIVERMOR_B-SRM070.AT2	SF_2.4383_NORTHR_CDF090.AT2	SF_2.514_LANDERS_CAS000.AT2			
14	SF_2.4977_CHICHI_CHY024-E.AT2	SF_2.4977_CHICHI_CHY024-E.AT2	SF_2.4977_CHICHI_CHY024-E.AT2	SF_2.5828_CHICHI_CHY024-E.AT2	SF_2.4677_COALINGA_H-C4A090.AT2	SF_2.5316_IMPVAL H-CC4045.AT2			
15	SF_2.589_KOCAELI_MSK000.AT2	SF_2.589_KOCAELI_MSK000.AT2	SF_2.589_KOCAELI_MSK000.AT2	SF_2.6648_WHITTIER_A-CYP143.AT2	SF_2.4682_IMPVAL H-CC4045.AT2	SF_2.5393_COALINGA_H-C4A090.AT2			
16	SF_2.5918_WHITTIER_A-CYP143.AT2	SF_2.5918_WHITTIER_A-CYP143.AT2	SF_2.5918_WHITTIER_A-CYP143.AT2	SF_2.6799_KOCAELI_MSK000.AT2	SF_2.4909_CHICHI06_TCU078-E.AT2	SF_2.567_LOMAP_SJW160.AT2			
17	SF_2.6012_CHICHI06_TCU078-E.AT2	SF_2.6012_CHICHI06_TCU078-E.AT2	SF_2.6012_CHICHI06_TCU078-E.AT2	SF_2.6883_CHICHI06_TCU078-E.AT2	SF_2.5092_WHITTIER_A-CYP143.AT2	SF_2.6016_MANAGUA_B-MAN180.AT2			
18	SF_2.6655_FRIULI_A-FLT270.AT2	SF_2.6655_FRIULI_A-FLT270.AT2	SF_2.6655_FRIULI_A-FLT270.AT2	SF_2.7264_FRIULI_A-FLT270.AT2	SF_2.5136_LOMAP_GGB270.AT2	SF_2.6319_CHICHI_TAW-N.AT2			
19	SF_2.7562_TABAS_BAJ-T1.AT2	SF_2.7562_TABAS_BAJ-T1.AT2	SF_2.7562_TABAS_BAJ-T1.AT2	SF_2.8248_TABAS_BAJ-T1.AT2	SF_2.6407_FRIULI_A-FLT270.AT2	SF_2.6857_COALINGA_H-Z16090.AT2			
20	SF_3.0022_CHICHI_TCU100-N.AT2	SF_3.0022_CHICHI_TCU100-N.AT2	SF_3.0022_CHICHI_TCU100-N.AT2	SF_3.1859_LIVERMOR_B-FRE075.AT2	SF_2.6925_CHICHI_TCU100-N.AT2	SF_2.7473_FRIULI_A-FLT270.AT2			
Aydın Yapı		Gedikbulak_3D		20 Katlı_3D_Yapı		24 Katlı_2D_CSW			
1	SF_2.1783_WESTMORL_BRA315.AT2	SF_1.9775_UPLAND_UP905-H2.AT2	SF_1.9775_UPLAND_UP905-H2.AT2	SF_1.7539_LOMAP_GOF250.AT2	SF_1.6274_LOMAP_GOF250.AT2	SF_1.8296_SUPERST_B-ICC000.AT2			
2	SF_2.2653_CHICHI03_CHY101-E.AT2	SF_2.1063_CHICHI_TCU094-N.AT2	SF_2.1063_CHICHI_TCU094-N.AT2	SF_1.7699_LANDERS_CAS270.AT2	SF_1.8734_CHICHI_TCU119-N.AT2	SF_1.8942_NORTHR_LIT180.AT2			
3	SF_2.2679_CHICHI_ILA013-W.AT2	SF_2.183_IMPVAL H-E03140.AT2	SF_2.183_IMPVAL H-E03140.AT2	SF_1.7821_NORTHR_PIC090.AT2	SF_1.9166_IMPVAL H-E03140.AT2	SF_1.9324_NORTHR_PIC090.AT2			
4	SF_2.2823_NCALIF_F-FRN225.AT2	SF_2.3472_LOMAP_GGB270.AT2	SF_2.3472_LOMAP_GGB270.AT2	SF_1.8299_NORTHR_LIT180.AT2	SF_1.9465_CHICHI_TCU061-N.AT2	SF_1.964_LOMAP_SSF115.AT2			
5	SF_2.2883_CHICHI_TAP017-N.AT2	SF_2.3851_IMPVAL H-ECC002.AT2	SF_2.3851_IMPVAL H-ECC002.AT2	SF_1.8301_LOMAP_G01090.AT2	SF_1.983_CHICHI_TCU070-E.AT2	SF_2.0137_CHICHI_TCU046-N.AT2			
6	SF_2.3023_CHICHI06_CHY101-E.AT2	SF_2.3947_MORGAN_AGW240.AT2	SF_2.3947_MORGAN_AGW240.AT2	SF_1.8306_IMPVAL H-E03140.AT2	SF_2.0207_CHICHI_CHY024-E.AT2	SF_2.0366_KOCAELI_DHM000.AT2			
7	SF_2.3825_LOMAP_G06000.AT2	SF_2.4135_IMPVAL H-E01140.AT2	SF_2.4135_IMPVAL H-E01140.AT2	SF_1.8889_CHICHI_CHY034-W.AT2	SF_2.0501_LOMAP_OLEM000.AT2	SF_2.0647_HECTOR_32577360.AT2			
8	SF_2.4131_LOMAP_TLH090.AT2	SF_2.4472_LANDERS_CAS000.AT2	SF_2.4472_LANDERS_CAS000.AT2	SF_1.9073_LOMAP_CHO7000.AT2	SF_2.0778_LOMAP_MCH090.AT2	SF_2.1123_LOMAP_G02090.AT2			
9	SF_2.4255_SMART1_45O08EW.AT2	SF_2.5693_LOMAP_SSF115.AT2	SF_2.5693_LOMAP_SSF115.AT2	SF_1.9096_SUPERST_B-POE270.AT2	SF_2.2317_IMPVAL H-E01230.AT2	SF_2.2592_IMPVAL H-E13140.AT2			
10	SF_2.4373_SMART1_45O02EW.AT2	SF_2.6053_TABAS_BAJ-T1.AT2	SF_2.6053_TABAS_BAJ-T1.AT2	SF_1.9232_HECTOR_32577360.AT2	SF_2.2687_LOMAP_GOF160.AT2	SF_2.4336_CHICHI_TCU054-N.AT2			
11	SF_2.448_CHICHI03_CHY024-E.AT2	SF_2.6438_KOCAELI_DHM000.AT2	SF_2.6438_KOCAELI_DHM000.AT2	SF_2.0322_CHICHI_CHY035-N.AT2					
12	SF_2.4515_CHICHI_HWA013-E.AT2	SF_2.6861_FRIULI_A-FLT270.AT2	SF_2.6861_FRIULI_A-FLT270.AT2	SF_2.0597_CAPEMEND_RIO270.AT2					
13	SF_2.6684_CHICHI_TCU050-E.AT2	SF_2.7423_CHICHI_CHY006-N.AT2	SF_2.7423_CHICHI_CHY006-N.AT2	SF_2.0707_IMPVAL H-E04140.AT2					
14	SF_2.7264_CHICHI03_TCU122-E.AT2	SF_2.7428_NORTHR_WIL180.AT2	SF_2.7428_NORTHR_WIL180.AT2	SF_2.0836_KOCAELI_ATK090.AT2					
15	SF_2.7432_SMART1_45E01NS.AT2	SF_2.7498_KOCAELI_MSK000.AT2	SF_2.7498_KOCAELI_MSK000.AT2	SF_2.0859_LOMAP_CH09090.AT2					
16	SF_2.7436_SMART1_40O01NS.AT2	SF_2.7711_SUPERST_B-BRA315.AT2	SF_2.7711_SUPERST_B-BRA315.AT2	SF_2.0876_LOMAP_CLS090.AT2					
17	SF_2.7489_SMART1_45E02EW.AT2	SF_2.7745_MORGAN_G04360.AT2	SF_2.7745_MORGAN_G04360.AT2	SF_2.1165_SUPERST_B-ICC000.AT2					
18	SF_2.7849_CHICHI_TCU056-E.AT2	SF_2.8606_NORTHR_NYA180.AT2	SF_2.8606_NORTHR_NYA180.AT2	SF_2.1979_CHICHI_TCU045-E.AT2					
19	SF_2.9600_NORTHR_5082-235.AT2	SF_2.9875_WHITTIER_A-BUE340.AT2	SF_2.9875_WHITTIER_A-BUE340.AT2	SF_2.1982_LOMAP_HCH180.AT2					
20	SF_3.0958_CHICHI_ILA013-N.AT2	SF_3.1117_CHICHI03_CHY080-E.AT2	SF_3.1117_CHICHI03_CHY080-E.AT2	SF_2.3988_CHICHI_CHY024-E.AT2					

Çizelge A.1 (devam): Analizlerde Kullanılan depremlerin isimleri ve ölççek katsayıları listesi.

Hatay Merkez, 1. Derece Deprem Bölgesi, ZC Zemin Sınıfı, DD_1

PFN_4_1		PFN_5_1		PFN_6_1		PFN_8_2		Prefabrik Yapı	
1	SF_2.0438_LANDERS_CAS270.AT2	SF_2.0438_LANDERS_CAS270.AT2	SF_2.0421_LANDERS_CAS270.AT2	SF_2.0428_CHICHI03_TCU076-E.AT2	SF_2.0590_CHICHI03_TCU076-E.AT2				
2	SF_2.0547_IMPVAL H-ECC092.AT2	SF_2.0547_IMPVAL H-ECC092.AT2	SF_2.0526_NORTH R_STM090.AT2	SF_2.1204_LANDERS_CAS270.AT2	SF_2.1243_CHICHI_TCU076-E.AT2				
3	SF_2.0629_NORTH R_STM090.AT2	SF_2.0629_NORTH R_STM090.AT2	SF_2.0668_IMPVAL H-ECC092.AT2	SF_2.1521_CHICHI_TCU076-E.AT2	SF_2.1327_LANDERS_CAS270.AT2				
4	SF_2.0765_NORTH R_PIC090.AT2	SF_2.0765_NORTH R_PIC090.AT2	SF_2.0842_NORTH R_PIC090.AT2	SF_2.2135_NORTH R_PIC090.AT2	SF_2.2253_NORTH R_PIC090.AT2				
5	SF_2.1916_LOMAP_G02000.AT2	SF_2.1916_LOMAP_G02000.AT2	SF_2.1667_LOMAP_G02000.AT2	SF_2.2208_CHICHI_CHY006-N.AT2	SF_2.2282_CHICHI_CHY006-N.AT2				
6	SF_2.2096_UPLAND_UP90S-H2.AT2	SF_2.2096_UPLAND_UP90S-H2.AT2	SF_2.1947_CHICHI_TCU042-N.AT2	SF_2.2237_CHICHI_CHY006-W.AT2	SF_2.2910_IMPVAL H-E04230.AT2				
7	SF_2.2163_CHICHI_TCU042-N.AT2	SF_2.2163_CHICHI_TCU042-N.AT2	SF_2.2090_NORTH R_LIT180.AT2	SF_2.2870_UPLAND_UP90S-H2.AT2	SF_2.3251_UPLAND_UP90S-H2.AT2				
8	SF_2.2255_NORTH R_LIT180.AT2	SF_2.2255_NORTH R_LIT180.AT2	SF_2.2388_UPLAND_UP90S-H2.AT2	SF_2.2959_IMPVAL H-E04230.AT2	SF_2.3416_MANJIL_190024.AT2				
9	SF_2.2514_IMPVAL H-E03140.AT2	SF_2.2514_IMPVAL H-E03140.AT2	SF_2.2583_IMPVAL H-E03140.AT2	SF_2.3734_NORTH R_STM090.AT2	SF_2.3705_LOMAP_WDS090.AT2				
10	SF_2.2849_KOCAELI_DHM090.AT2	SF_2.2849_KOCAELI_DHM090.AT2	SF_2.3193_KOCAELI_DHM090.AT2	SF_2.3922_IMPVAL H-E03140.AT2	SF_2.3951_IMPVAL H-E03140.AT2				
11	SF_2.3398_WHITTIER_A-BAD000.AT2	SF_2.3398_WHITTIER_A-BAD000.AT2	SF_2.3307_WHITTIER_A-BAD000.AT2	SF_2.4379_LOMAP_WDS090.AT2	SF_2.4256_NORTH R_LIT180.AT2				
12	SF_2.3619_CHICHI03_TCU129-E.AT2	SF_2.3619_CHICHI03_TCU129-E.AT2	SF_2.3577_CHICHI03_TCU129-E.AT2	SF_2.4459_NORTH R_LIT180.AT2	SF_2.4402_NORTH R_STM090.AT2				
13	SF_2.3928_CHICHI_TCU045-E.AT2	SF_2.3928_CHICHI_TCU045-E.AT2	SF_2.3899_CHICHI_TCU045-E.AT2	SF_2.5303_NORTH R_MRP180.AT2	SF_2.4443_LOMAP_G01090.AT2				
14	SF_2.3955_IMPVAL H-E04140.AT2	SF_2.3955_IMPVAL H-E04140.AT2	SF_2.3965_IMPVAL H-E04140.AT2	SF_2.5653_LOMAP_G01090.AT2	SF_2.5156_HECTOR_32577360.AT2				
15	SF_2.5009_CHICHI_TCU047-E.AT2	SF_2.5009_CHICHI_TCU047-E.AT2	SF_2.4960_CHICHI_TCU047-E.AT2	SF_2.5825_HECTOR_32577360.AT2	SF_2.6173_NORTH R_MRP180.AT2				
16	SF_2.5348_FRIULI_A-TMZ000.AT2	SF_2.5348_FRIULI_A-TMZ000.AT2	SF_2.5172_FRIULI_A-TMZ000.AT2	SF_2.6095_IMPVAL H-E04140.AT2	SF_2.6317_IMPVAL H-E05230.AT2				
17	SF_2.5535_NORTH R_MTW000.AT2	SF_2.5535_NORTH R_MTW000.AT2	SF_2.5329_NORTH R_MTW000.AT2	SF_2.6364_CHICHI_TCU045-E.AT2	SF_2.6413_IMPVAL H-E04140.AT2				
18	SF_2.6273_NORTH R_PAR--L.AT2	SF_2.6273_NORTH R_PAR--L.AT2	SF_2.6216_LOMAP_G01000.AT2	SF_2.7236_IMPVAL H-E05230.AT2	SF_2.6728_NORTH R_PHP270.AT2				
19	SF_2.6309_LOMAP_G01000.AT2	SF_2.6309_LOMAP_G01000.AT2	SF_2.6300_NORTH R_PAR--L.AT2	SF_2.7737_CHICHI03_TCU129-E.AT2	SF_2.6871_CHICHI_TCU045-E.AT2				
20	SF_2.7441_LOMAP_G01090.AT2	SF_2.7441_LOMAP_G01090.AT2	SF_2.7933_LOMAP_G01090.AT2	SF_2.8017_LOMAP_G01000.AT2	SF_2.7280_LOMAP_HCH180.AT2				
Aydın Üniv. Yapısı		Gedikbulak_3D		20 Katlı_3D_Yapı		24 Katlı_2D_CSW			
1	SF_2.2534_LOMAP_WDS000.AT2	SF_2.2066_LOMAP_G02000.AT2	SF_2.2518_CHICHI_TCU076-E.AT2	SF_2.3476_NORTH R_OAK170.AT2					
2	SF_2.2954_KOCAELI_MSK000.AT2	SF_2.3007_NORTH R_OAK170.AT2	SF_2.2701_CHICHI03_TCU076-E.AT2	SF_2.3638_SUPERST_B-ICC000.AT2					
3	SF_2.2957_LOMAP_SSF115.AT2	SF_2.4123_NORTH R_LOA092.AT2	SF_2.4147_LANDERS_CAS270.AT2	SF_2.4204_CHICHI_TCU119-N.AT2					
4	SF_2.3459_CHICHI_CHY074-E.AT2	SF_2.4753_NORTH R_MRP180.AT2	SF_2.4313_NORTH R_PIC090.AT2	SF_2.4472_NORTH R_LIT180.AT2					
5	SF_2.3829_LOMAP_GOF160.AT2	SF_2.4782_CHICHI03_TCU129-E.AT2	SF_2.4758_LOMAP_WDS090.AT2	SF_2.4763_IMPVAL H-E03140.AT2					
6	SF_2.4281_SUPERST_B-WLF225.AT2	SF_2.4976_NORTH R_OBR090.AT2	SF_2.4794_IMPVAL H-E05230.AT2	SF_2.5148_CHICHI_TCU061-N.AT2					
7	SF_2.4983_WESTMORL_BRA315.AT2	SF_2.5236_NORTH R_SUN280.AT2	SF_2.4966_NORTH R_LIT180.AT2	SF_2.5374_LOMAP_SSF115.AT2					
8	SF_2.5263_CHICHI_ALS-E.AT2	SF_2.5326_NORTH R_STM090.AT2	SF_2.4968_LOMAP_G01090.AT2	SF_2.6016_CHICHI_TCU046-N.AT2					
9	SF_2.6123_IMPVAL H-E13140.AT2	SF_2.5498_WHITTIER_A-SYL000.AT2	SF_2.4975_IMPVAL H-E03140.AT2	SF_2.6107_CHICHI_CHY024-E.AT2					
10	SF_2.6135_NORTH R_PHP270.AT2	SF_2.5558_CHICHI_TCU042-N.AT2	SF_2.5556_IMPVAL H-E05140.AT2	SF_2.6313_KOCAELI_DHM000.AT2					
11	SF_2.6457_CHICHI_TAW-N.AT2	SF_2.5746_IMPVAL H-ECC092.AT2	SF_2.6238_HECTOR_32577360.AT2	SF_2.6487_LOMAP_OLEM000.AT2					
12	SF_2.6576_SUPERST_B-BRA315.AT2	SF_2.6947_NORTH R_MTW000.AT2	SF_2.7115_KOCAELI_USK180.AT2	SF_2.6676_HECTOR_32577360.AT2					
13	SF_2.6596_NCALIF_F-FRN225.AT2	SF_2.8068_IMPVAL H-E04140.AT2	SF_2.7725_CHICHI_CHY035-N.AT2	SF_2.6846_LOMAP_MCH090.AT2					
14	SF_2.7863_MANJIL_189132.AT2	SF_2.8390_NORTH R_ORR360.AT2	SF_2.8251_IMPVAL H-E04140.AT2	SF_2.7199_IMPVAL H-CXO315.AT2					
15	SF_2.8352_KOBE_TOT000.AT2	SF_2.8797_COALINGA_D-PVP360.AT2	SF_2.8458_LOMAP_CH09090.AT2	SF_2.7291_LOMAP_G02090.AT2					
16	SF_2.9134_IMPVAL H-CXO225.AT2	SF_2.9004_UPLAND_UP90S-H2.AT2	SF_2.8482_LOMAP_CLS090.AT2	SF_2.8592_CHICHI_CHY029-N.AT2					
17	SF_3.0503_KOCAELI_ATK000.AT2	SF_3.0099_IMPVAL H-E07140.AT2	SF_2.8876_SUPERST_B-ICC000.AT2	SF_2.8834_IMPVAL H-E01230.AT2					
18	SF_3.0965_CHICHI03_TCU122-E.AT2	SF_3.0576_CHICHI_TCU047-E.AT2	SF_2.9754_KOCAELI_DHM000.AT2	SF_2.9189_IMPVAL H-E13140.AT2					
19	SF_3.1733_IMPVAL H-E01140.AT2	SF_3.0670_NORTH R_OAK080.AT2	SF_2.9986_CHICHI_TCU045-E.AT2	SF_2.9312_LOMAP_GOF160.AT2					
20	SF_3.4944_TABAS_BOS-L1.AT2	SF_3.0894_CHICHI_TCU094-N.AT2	SF_2.9990_LOMAP_HCH180.AT2	SF_3.1442_CHICHI_TCU054-N.AT2					

Çizelge A.1 (devam): Analizlerde Kullanılan depremlerin isimleri ve ölççek katsayıları listesi.

Hatay Merkez, 1. Derece Deprem Bölgesi, ZC Zemin Sınıfı, DD_2				
PFN_4_1	PFN_5_1	PFN_6_1	PFN_8_2	Prefabrik Yapı
1 SF_1.0200_CHICHI03_TCU076-E.AT2	SF_1.0200_CHICHI03_TCU076-E.AT2	SF_0.9741_CHICHI03_TCU076-E.AT2	SF_1.0360_CHICHI03_TCU076-E.AT2	SF_1.0352_CHICHI03_TCU076-E.AT2
2 SF_1.076_LANDERS_CAS270.AT2	SF_1.0760_LANDERS_CAS270.AT2	SF_1.0241_LANDERS_CAS270.AT2	SF_1.0753_LANDERS_CAS270.AT2	SF_1.068_CHICHI_TCU076-E.AT2
3 SF_1.0818_IMPVAL H-ECC092.AT2	SF_1.0818_IMPVAL H-ECC092.AT2	SF_1.0293_NORTHR_STM090.AT2	SF_1.1226_NORTHR_PIC090.AT2	SF_1.0722_LANDERS_CAS270.AT2
4 SF_1.0861_NORTHR_STM090.AT2	SF_1.0861_NORTHR_STM090.AT2	SF_1.0365_IMPVAL H-ECC092.AT2	SF_1.1262_CHICHI_CHY006-N.AT2	SF_1.1188_NORTHR_PIC090.AT2
5 SF_1.0932_NORTHR_PIC090.AT2	SF_1.0932_NORTHR_PIC090.AT2	SF_1.0865_LOMAP_G02000.AT2	SF_1.1277_CHICHI_CHY006-W.AT2	SF_1.1202_CHICHI_CHY006-N.AT2
6 SF_1.1305_IMPVAL H-E04230.AT2	SF_1.1305_IMPVAL H-E04230.AT2	SF_1.0963_CHICHI_TCU076-E.AT2	SF_1.1598_UPLAND_UP90S-H2.AT2	SF_1.1518_IMPVAL H-E04230.AT2
7 SF_1.1633_UPLAND_UP90S-H2.AT2	SF_1.1633_UPLAND_UP90S-H2.AT2	SF_1.1006_CHICHI_TCU042-N.AT2	SF_1.1643_IMPVAL H-E04230.AT2	SF_1.1689_UPLAND_UP90S-H2.AT2
8 SF_1.1668_CHICHI_TCU042-N.AT2	SF_1.1668_CHICHI_TCU042-N.AT2	SF_1.1078_NORTHR_LIT180.AT2	SF_1.2037_NORTHR_STM090.AT2	SF_1.1772_MANJIL_190024.AT2
9 SF_1.1717_NORTHR_LIT180.AT2	SF_1.1717_NORTHR_LIT180.AT2	SF_1.1227_UPLAND_UP90S-H2.AT2	SF_1.2132_IMPVAL H-E03140.AT2	SF_1.1918_LOMAP_WDS090.AT2
10 SF_1.1853_IMPVAL H-E03140.AT2	SF_1.1853_IMPVAL H-E03140.AT2	SF_1.1325_IMPVAL H-E03140.AT2	SF_1.2363_LOMAP_WDS090.AT2	SF_1.2041_IMPVAL H-E03140.AT2
11 SF_1.1993_NORTHR_MRP180.AT2	SF_1.1993_NORTHR_MRP180.AT2	SF_1.1415_NORTHR_MRP180.AT2	SF_1.2404_NORTHR_LIT180.AT2	SF_1.2195_NORTHR_LIT180.AT2
12 SF_1.2029_KOCAELI_DHM090.AT2	SF_1.2029_KOCAELI_DHM090.AT2	SF_1.1631_KOCAELI_DHM090.AT2	SF_1.2832_NORTHR_MRP180.AT2	SF_1.2268_NORTHR_STM090.AT2
13 SF_1.2319_WHITTIER_A-BAD000.AT2	SF_1.2319_WHITTIER_A-BAD000.AT2	SF_1.1688_WHITTIER_A-BAD000.AT2	SF_1.3010_LOMAP_G01090.AT2	SF_1.2289_LOMAP_G01090.AT2
14 SF_1.2435_CHICHI03_TCU129-E.AT2	SF_1.2435_CHICHI03_TCU129-E.AT2	SF_1.1823_CHICHI03_TCU129-E.AT2	SF_1.3097_HECTOR_32577360.AT2	SF_1.2647_HECTOR_32577360.AT2
15 SF_1.2612_IMPVAL H-E04140.AT2	SF_1.2612_IMPVAL H-E04140.AT2	SF_1.2018_IMPVAL H-E04140.AT2	SF_1.3234_IMPVAL H-E04140.AT2	SF_1.3158_NORTHR_MRP180.AT2
16 SF_1.2879_LOMAP_CLS090.AT2	SF_1.2879_LOMAP_CLS090.AT2	SF_1.2233_LOMAP_CLS090.AT2	SF_1.3370_CHICHI_TCU045-E.AT2	SF_1.3279_IMPVAL H-E04140.AT2
17 SF_1.3268_CHICHI_TCU094-N.AT2	SF_1.3268_CHICHI_TCU094-N.AT2	SF_1.2582_CHICHI_TCU094-N.AT2	SF_1.3371_LOMAP_CLS090.AT2	SF_1.3322_LOMAP_CLS090.AT2
18 SF_1.3345_FRIULI_A-TMZ000.AT2	SF_1.3345_FRIULI_A-TMZ000.AT2	SF_1.2623_FRIULI_A-TMZ000.AT2	SF_1.3503_NORTHR_PHP270.AT2	SF_1.3438_NORTHR_PHP270.AT2
19 SF_1.3832_NORTHR_PAR--L.AT2	SF_1.3832_NORTHR_PAR--L.AT2	SF_1.3189_NORTHR_PAR--L.AT2	SF_1.4066_CHICHI03_TCU129-E.AT2	SF_1.3715_LOMAP_HCH180.AT2
20 SF_1.4447_LOMAP_G01090.AT2	SF_1.4447_LOMAP_G01090.AT2	SF_1.4008_LOMAP_G01090.AT2	SF_1.4208_LOMAP_G01000.AT2	SF_1.4703_CHICHI03_TCU129-E.AT2
Aydın Yapı	Gedikbulak 3D	20 Katlı 3D Yapı	24 Katlı 2D CSW	
1 SF_1.9769_UPLAND_23525090.AT2	SF_1.0702_LOMAP_G02000.AT2	SF_2.0265_NORTHR_CAT090.AT2	SF_1.9359_NORTHR_CAT090.AT2	
2 SF_2.0332_CHICHI03_CHY028-E.AT2	SF_1.1159_NORTHR_OAK170.AT2	SF_2.1484_NEWZEAL_A-MAR040.AT2	SF_2.102_CHICHI06_CHY024-E.AT2	
3 SF_2.0915_CHICHI_TAP052-N.AT2	SF_1.2006_NORTHR_MRP180.AT2	SF_2.1509_LOMAP_SUF090.AT2	SF_2.145_CHICHI03_CHY028-E.AT2	
4 SF_2.1246_BORREGO_A-ELC180.AT2	SF_1.2020_CHICHI03_TCU129-E.AT2	SF_2.1689_NORTHR_MJH090.AT2	SF_2.1711_UPLAND_23525090.AT2	
5 SF_2.1321_CHICHI_HWA048-N.AT2	SF_1.2240_NORTHR_SUN280.AT2	SF_2.187_FRIULI_A-FLT270.AT2	SF_2.2512_ITALY_A-BRZ000.AT2	
6 SF_2.1525_LOMAP_DMH000.AT2	SF_1.2284_NORTHR_STM090.AT2	SF_2.1888_CHICHI03_CHY028-E.AT2	SF_2.2562_CHICHI_HWA048-N.AT2	
7 SF_2.2413_LOMAP_MCH000.AT2	SF_1.2367_WHITTIER_A-SYL000.AT2	SF_2.2328_BIGBEAR_DHP090.AT2	SF_2.2955_CHICHI_TCU085-N.AT2	
8 SF_2.2435_CHICHI04_CHY015-N.AT2	SF_1.2396_CHICHI_TCU042-N.AT2	SF_2.2565_UPLAND_23525090.AT2	SF_2.3878_LIVERMOR_A-FRE075.AT2	
9 SF_2.2721_HECTOR_11591090.AT2	SF_1.2487_IMPVAL H-ECC092.AT2	SF_2.3013_CHICHI03_TCU075-E.AT2	SF_2.3928_NEWZEAL_A-MAR040.AT2	
10 SF_2.2943_COALINGA_H-Z06090.AT2	SF_1.2991_NORTHR_TUJ352.AT2	SF_2.3269_CHICHI06_TCU065-E.AT2	SF_2.3988_WHITTIER_A-VER173.AT2	
11 SF_2.3195_CHICHI_HWA2-E.AT2	SF_1.3613_IMPVAL H-E04140.AT2	SF_2.373_HECTOR_14840019.AT2	SF_2.398_CHICHI_HWA2-E.AT2	
12 SF_2.3523_WHITTIER_A-VER173.AT2	SF_1.3770_NORTHR_ORR360.AT2	SF_2.3841_WHITTIER_A-VER173.AT2	SF_2.417_NORTHR_MJH090.AT2	
13 SF_2.4704_CHICHI_TCU025-N.AT2	SF_1.3967_COALINGA_D-PVP360.AT2	SF_2.4415_CHICHI_HWA2-E.AT2	SF_2.4277_LANDERS_H05000.AT2	
14 SF_2.5062_CHICHI_ILA012-N.AT2	SF_1.4067_UPLAND_UP90S-H2.AT2	SF_2.4549_COALINGA_H-SC4090.AT2	SF_2.4754_LOMAP_DMH000.AT2	
15 SF_2.5064_CHICHI_TAP087-N.AT2	SF_1.4599_IMPVAL H-E07140.AT2	SF_2.479_CHICHI06_CHY024-E.AT2	SF_2.5703_CHALFANT_A-LAD180.AT2	
16 SF_2.5891_CHICHI_TAP041-E.AT2	SF_1.483_CHICHI_TCU047-E.AT2	SF_2.5053_NWCHINA2_J4060270.AT2	SF_2.5715_CHICHI06_CHY028-E.AT2	
17 SF_2.6284_CHICHI_ILA027-E.AT2	SF_1.4876_NORTHR_OAK080.AT2	SF_2.5527_COALINGA_H-PG6090.AT2	SF_2.6182_CHICHI04_CHY101-E.AT2	
18 SF_2.6435_CHICHI_TTN001-N.AT2	SF_1.4984_CHICHI_TCU094-N.AT2	SF_2.5707_CHALFANT_A-LAD180.AT2	SF_2.7623_CHICHI_HWA033-E.AT2	
19 SF_2.6637_CHICHI06_CHY030-E.AT2	SF_1.5771_CHICHI_TCU045-E.AT2	SF_2.571_CHICHI_HWA033-E.AT2	SF_2.7935_NORTHR_BIR090.AT2	
20 SF_2.7813_CHICHI_NCU-E.AT2	SF_1.5996_CHICHI_WGK-E.AT2	SF_2.9933_LANDERS_DEV000.AT2	SF_2.9302_LOMAP_ADL250.AT2	

Çizelge A.1 (devam): Analizlerde Kullanılan depremlerin isimleri ve ölçek katsayıları listesi.

Istanbul Kadıköy, 1. Derece Deprem Bölgesi, ZC Zemin Sınıfı, DD_1

PFN_4_1		PFN_5_1		PFN_6_1		PFN_8_2		Prefabrik Yapı	
1	SF_2.0995_CHICHI_TCU094-N.AT2	SF_2.0995_CHICHI_TCU094-N.AT2	SF_2.0718_CHICHI_TCU094-N.AT2	SF_2.2504_WHITTIER_A-BAD000.AT2	SF_2.8646_CHICHI_TAW-N.AT2				
2	SF_2.149_MORGAN_G04360.AT2	SF_2.149_MORGAN_G04360.AT2	SF_2.1424_NORTHR_PHP270.AT2	SF_2.2532_MORGAN_G04360.AT2	SF_3.0922_NORTHR_CAT090.AT2				
3	SF_2.1671_NORTHR_PHP270.AT2	SF_2.1671_NORTHR_PHP270.AT2	SF_2.1612_MORGAN_G04360.AT2	SF_2.2777_NORTHR_PHP270.AT2	SF_3.0936_WESTMORL_BRA315.AT2				
4	SF_2.1888_NORTHR_PAR--L.AT2	SF_2.1888_NORTHR_PAR--L.AT2	SF_2.1718_NORTHR_PAR--L.AT2	SF_2.3007_LOMAP_CHO7000.AT2	SF_3.1415_DUZCE_1061-N.AT2				
5	SF_2.2324_NORTHR_STC180.AT2	SF_2.2324_NORTHR_STC180.AT2	SF_2.3091_NORTHR_OAK080.AT2	SF_2.3726_CHICHI03_TCU129-E.AT2	SF_3.1625_NEWZEAL_A-MAR040.AT2				
6	SF_2.3015_LOMAP_SSF115.AT2	SF_2.3015_LOMAP_SSF115.AT2	SF_2.3123_LOMAP_SSF115.AT2	SF_2.3977_CHICHI_TCU094-N.AT2	SF_3.1668_NORTHR_MJH090.AT2				
7	SF_2.3331_KOCAELI_DHM000.AT2	SF_2.3331_KOCAELI_DHM000.AT2	SF_2.3137_KOCAELI_DHM000.AT2	SF_2.4077_LOMAP_SSF115.AT2	SF_3.2432_LANDERS_MEL090.AT2				
8	SF_2.3976_IMPVAL H-ECC002.AT2	SF_2.3976_IMPVAL H-ECC002.AT2	SF_2.3703_IMPVAL H-ECC002.AT2	SF_2.5232_SUPERST_B-BRA315.AT2	SF_3.2461_BIGBEAR_DHP090.AT2				
9	SF_2.4113_IMPVAL H-E10050.AT2	SF_2.4113_IMPVAL H-E10050.AT2	SF_2.3774_IMPVAL H-E10050.AT2	SF_2.5375_LOMAP_OLEM000.AT2	SF_3.3658_WHITTIER_A-VER173.AT2				
10	SF_2.4133_NWCHINA2_X4060000.AT2	SF_2.4133_NWCHINA2_X4060000.AT2	SF_2.404_CHICHI_TCU075-N.AT2	SF_2.5668_KOCAELI_DHM000.AT2	SF_3.3791_LIVERMOR_B-FRE075.AT2				
11	SF_2.4245_CHICHI_TCU075-N.AT2	SF_2.4245_CHICHI_TCU075-N.AT2	SF_2.4084_NWCHINA2_X4060000.AT2	SF_2.5973_LOMAP_WDS000.AT2	SF_3.3897_CHICHI03_TCU075-E.AT2				
12	SF_2.4388_CHICHI_CHY101-E.AT2	SF_2.4388_CHICHI_CHY101-E.AT2	SF_2.4183_CHICHI_CHY101-E.AT2	SF_2.6037_KOCAELI_USK090.AT2	SF_3.3901_CHALFANT_A-LAD180.AT2				
13	SF_2.4405_SUPERST_B-BRA315.AT2	SF_2.4405_SUPERST_B-BRA315.AT2	SF_2.4437_SUPERST_B-BRA315.AT2	SF_2.6371_WHITTIER_A-CWC270.AT2	SF_3.3922_LOMAP_BVU220.AT2				
14	SF_2.4579_IMPVAL H-CXO315.AT2	SF_2.4579_IMPVAL H-CXO315.AT2	SF_2.4512_WHITTIER_A-BUE340.AT2	SF_2.6809_CHICHI_CHY101-E.AT2	SF_3.4436_LOMAP_SGI270.AT2				
15	SF_2.4749_WHITTIER_A-BUE340.AT2	SF_2.4749_WHITTIER_A-BUE340.AT2	SF_2.5067_CHICHI_TTN051-N.AT2	SF_2.6914_SUPERST_B-ICC000.AT2	SF_3.4807_PARKF_C12320.AT2				
16	SF_2.5248_CHICHI_TTN051-N.AT2	SF_2.5248_CHICHI_TTN051-N.AT2	SF_2.531_LANDERS_CAS000.AT2	SF_2.7528_CHICHI_TTN051-N.AT2	SF_3.5462_NWCHINA2_J4060270.AT2				
17	SF_2.5977_IMPVAL H-E01140.AT2	SF_2.5977_IMPVAL H-E01140.AT2	SF_2.5725_CHICHI_CHY041-E.AT2	SF_2.7931_WHITTIER_A-BUE340.AT2	SF_3.5802_SFERN_PAS090.AT2				
18	SF_2.6049_CHICHI_CHY041-E.AT2	SF_2.6049_CHICHI_CHY041-E.AT2	SF_2.5767_IMPVAL H-E01140.AT2	SF_2.8847_CHICHI_CHY024-E.AT2	SF_3.6283_SFERN_MA3220.AT2				
19	SF_2.658_KOBE_HIK090.AT2	SF_2.658_KOBE_HIK090.AT2	SF_2.6541_KOBE_HIK090.AT2	SF_2.9586_IMPVAL H-E01140.AT2	SF_3.8999_CHICHI06_CHY028-E.AT2				
20	SF_2.9092_CHICHI_TCU049-E.AT2	SF_2.9092_CHICHI_TCU049-E.AT2	SF_2.9079_CHICHI_TCU049-E.AT2	SF_2.9591_KOBE_HIK090.AT2	SF_3.9198_CHICHI_CHY088-E.AT2				
Aydın Yapı		Gedikbulak_3D		20_Katlı_3D_Yapı		24_Katlı_2D_CSW			
1	SF_1.9007_LOMAP_WDS000.AT2	SF_3.2744_KOCAELI_MSK000.AT2	SF_2.0227_LOMAP_SSF115.AT2	SF_3.3051_CHICHI03_TCU116-E.AT2					
2	SF_1.9363_LOMAP_SSF115.AT2	SF_3.4064_NORTHR_NYA180.AT2	SF_2.1058_LOMAP_WDS000.AT2	SF_3.3745_MANJIL_188310.AT2					
3	SF_1.9787_CHICHI_CHY074-E.AT2	SF_3.4418_LOMAP_RIN000.AT2	SF_2.2092_KOCAELI_DHM000.AT2	SF_3.5428_CHICHI_ILA041-W.AT2					
4	SF_2.0099_LOMAP_GOF160.AT2	SF_3.5062_CHICHI02_TCU079-E.AT2	SF_2.2259_NORTHR_PHP270.AT2	SF_3.5974_CHICHI06_CHY024-E.AT2					
5	SF_2.0451_LOMAP_G02090.AT2	SF_3.539_NEWZEAL_A-MAR040.AT2	SF_2.2699_KOCAELI_USK090.AT2	SF_3.5992_LOMAP_PJH315.AT2					
6	SF_2.0492_CHICHI_TAP003-E.AT2	SF_3.6379_SFERN_MA3220.AT2	SF_2.2984_MORGAN_G04360.AT2	SF_3.6335_CHICHI06_CHY036-E.AT2					
7	SF_2.1073_WESTMORL_BRA315.AT2	SF_3.7053_CHICHI03_CHY080-E.AT2	SF_2.3158_CHICHI_CHY101-E.AT2	SF_3.6711_CHICHI03_CHY028-E.AT2					
8	SF_2.1309_CHICHI_ALS-E.AT2	SF_3.7454_CHICHI_CHY024-E.AT2	SF_2.3597_SUPERST_B-BRA315.AT2	SF_3.7156_UPLAND_23525090.AT2					
9	SF_2.1353_CHICHI_TCU081-N.AT2	SF_3.8431_CHICHI06_TCU129-E.AT2	SF_2.3662_CHICHI_TTN051-N.AT2	SF_3.8614_CHICHI_HWA048-N.AT2					
10	SF_2.2034_IMPVAL H-E13140.AT2	SF_3.8443_KOCAELI_USK090.AT2	SF_2.4300_CHICHI_CHY024-E.AT2	SF_3.8922_COALINGA_H-VYC110.AT2					
11	SF_2.2316_CHICHI_TAW-N.AT2	SF_3.8454_LOMAP_SGI270.AT2	SF_2.4746_NORTHR_MRP180.AT2	SF_3.8988_CHICHI_HWA019-E.AT2					
12	SF_2.2415_CHICHI_ILA013-W.AT2	SF_4.0065_NWCHINA2_J4060270.AT2	SF_2.5038_LIVERMOR_B-SRM070.AT2	SF_3.957_CHICHI_ILA048-N.AT2					
13	SF_2.2416_SUPERST_B-BRA315.AT2	SF_4.0217_CHICHI_NST-E.AT2	SF_2.5325_CHICHI03_TCU129-E.AT2	SF_3.9602_CHICHI_HWA055-W.AT2					
14	SF_2.2433_NCALIF_F-FRN225.AT2	SF_4.1511_WHITTIER_A-FLO020.AT2	SF_2.6794_IMPVAL H-E01140.AT2	SF_4.0293_KOBE_FUK000.AT2					
15	SF_2.3914_KOBE_TOT000.AT2	SF_4.2401_KOBE_OSA000.AT2	SF_2.6915_KOCAELI_MSK000.AT2	SF_4.0912_COALINGA_H-Z06090.AT2					
16	SF_2.5728_KOCAELI_ATK000.AT2	SF_4.3372_CHALFANT_A-LAD180.AT2	SF_2.7655_KOCAELI_ATK000.AT2	SF_4.104_CHICHI_HWA2-E.AT2					
17	SF_2.6118_CHICHI03_TCU122-E.AT2	SF_4.4246_LIVERMOR_B-FRE075.AT2	SF_2.8185_SMART1_45001EW.AT2	SF_4.1105_CHICHI06_CHY088-N.AT2					
18	SF_2.6766_IMPVAL H-E01140.AT2	SF_4.5531_SKULLMT_Lsm7270.AT2	SF_2.9002_CHICHI_TAW-N.AT2	SF_4.2364_LOMAP_DMH000.AT2					
19	SF_2.749_CHICHI_CHY047-N.AT2	SF_4.6537_WHITTIER_A-ARL270.AT2	SF_2.9135_MANAGUA_B-MAN180.AT2	SF_4.3989_CHALFANT_A-LAD180.AT2					
20	SF_2.9474_TABAS_BOS-L1.AT2	SF_4.7144_WHITTIER_A-WPA150.AT2	SF_2.9205_IMPVAL H-CXO225.AT2	SF_4.5135_CHICHI06_CHY034-N.AT2					

Çizelge A.1 (devam): Analizlerde Kullanılan depremlerin isimleri ve ölççek katsayıları listesi.

Istanbul Kadıköy, 1. Derece Deprem Bölgesi, ZC Zemin Sınıfı, DD_2

PFN_4_1		PFN_5_1		PFN_6_1		PFN_8_2		Prefabrik Yapı	
1	SF_0.9377_IMPVAL H-ECC092.AT2	SF_0.9377_IMPVAL H-ECC092.AT2	SF_0.9377_IMPVAL H-ECC092.AT2	SF_0.9377_IMPVAL H-ECC092.AT2	SF_0.9377_IMPVAL H-ECC092.AT2	SF_1.7975_NEWZEAL_A-MAR040.AT2	SF_1.7821_NEWZEAL_A-MAR040.AT2	SF_1.7821_NEWZEAL_A-MAR040.AT2	SF_1.7821_NEWZEAL_A-MAR040.AT2
2	SF_0.9414_NORTH R_STM090.AT2	SF_0.9414_NORTH R_STM090.AT2	SF_0.9414_NORTH R_STM090.AT2	SF_0.9414_NORTH R_STM090.AT2	SF_0.9414_NORTH R_STM090.AT2	SF_1.913_WHITTIER_A-VER173.AT2	SF_1.9276_CHICHI03_TCU075-E.AT2	SF_1.9276_CHICHI03_TCU075-E.AT2	SF_1.9276_CHICHI03_TCU075-E.AT2
3	SF_1.0084_UPLAND_UP90S-H2.AT2	SF_1.0084_UPLAND_UP90S-H2.AT2	SF_1.0084_UPLAND_UP90S-H2.AT2	SF_1.0084_UPLAND_UP90S-H2.AT2	SF_1.0084_UPLAND_UP90S-H2.AT2	SF_1.9206_LIVERMOR_B-FRE075.AT2	SF_1.9416_WHITTIER_A-VER173.AT2	SF_1.9416_WHITTIER_A-VER173.AT2	SF_1.9416_WHITTIER_A-VER173.AT2
4	SF_1.0115_CHICHI_TCU042-N.AT2	SF_1.0115_CHICHI_TCU042-N.AT2	SF_1.0115_CHICHI_TCU042-N.AT2	SF_1.0115_CHICHI_TCU042-N.AT2	SF_1.0115_CHICHI_TCU042-N.AT2	SF_1.9266_CHICHI03_TCU075-E.AT2	SF_1.9638_LIVERMOR_B-FRE075.AT2	SF_1.9638_LIVERMOR_B-FRE075.AT2	SF_1.9638_LIVERMOR_B-FRE075.AT2
5	SF_1.0275_IMPVAL H-E03140.AT2	SF_1.0275_IMPVAL H-E03140.AT2	SF_1.0275_IMPVAL H-E03140.AT2	SF_1.0275_IMPVAL H-E03140.AT2	SF_1.0275_IMPVAL H-E03140.AT2	SF_1.9268_CHALFANT_A-LAD180.AT2	SF_1.9788_CHALFANT_A-LAD180.AT2	SF_1.9788_CHALFANT_A-LAD180.AT2	SF_1.9788_CHALFANT_A-LAD180.AT2
6	SF_1.0427_KOCAELI_DHM090.AT2	SF_1.0427_KOCAELI_DHM090.AT2	SF_1.0427_KOCAELI_DHM090.AT2	SF_1.0427_KOCAELI_DHM090.AT2	SF_1.0427_KOCAELI_DHM090.AT2	SF_1.9696_LOMAP_SUF090.AT2	SF_1.9881_LOMAP_SGI270.AT2	SF_1.9881_LOMAP_SGI270.AT2	SF_1.9881_LOMAP_SGI270.AT2
7	SF_1.0678_WHITTIER_A-BAD000.AT2	SF_1.0678_WHITTIER_A-BAD000.AT2	SF_1.0678_WHITTIER_A-BAD000.AT2	SF_1.0678_WHITTIER_A-BAD000.AT2	SF_1.0678_WHITTIER_A-BAD000.AT2	SF_2.0156_NWCHINA2_J4060270.AT2	SF_2.0704_NWCHINA2_J4060270.AT2	SF_2.0704_NWCHINA2_J4060270.AT2	SF_2.0704_NWCHINA2_J4060270.AT2
8	SF_1.0779_CHICHI03_TCU129-E.AT2	SF_1.0779_CHICHI03_TCU129-E.AT2	SF_1.0779_CHICHI03_TCU129-E.AT2	SF_1.0779_CHICHI03_TCU129-E.AT2	SF_1.0779_CHICHI03_TCU129-E.AT2	SF_2.0622_SFERN_MA3220.AT2	SF_2.1163_UPLAND_23525090.AT2	SF_2.1163_UPLAND_23525090.AT2	SF_2.1163_UPLAND_23525090.AT2
9	SF_1.0932_IMPVAL H-E04140.AT2	SF_1.0932_IMPVAL H-E04140.AT2	SF_1.0932_IMPVAL H-E04140.AT2	SF_1.0932_IMPVAL H-E04140.AT2	SF_1.0932_IMPVAL H-E04140.AT2	SF_2.1878_CHICHI_HWA2-E.AT2	SF_2.1311_SFERN_MA3220.AT2	SF_2.1311_SFERN_MA3220.AT2	SF_2.1311_SFERN_MA3220.AT2
10	SF_1.1164_LOMAP_CLS090.AT2	SF_1.1164_LOMAP_CLS090.AT2	SF_1.1164_LOMAP_CLS090.AT2	SF_1.1164_LOMAP_CLS090.AT2	SF_1.1164_LOMAP_CLS090.AT2	SF_2.2100_UPLAND_23525090.AT2	SF_2.1518_CHICHI_HWA2-E.AT2	SF_2.1518_CHICHI_HWA2-E.AT2	SF_2.1518_CHICHI_HWA2-E.AT2
11	SF_1.1418_COALINGA_H-CAK270.AT2	SF_1.1418_COALINGA_H-CAK270.AT2	SF_1.1418_COALINGA_H-CAK270.AT2	SF_1.1418_COALINGA_H-CAK270.AT2	SF_1.1418_COALINGA_H-CAK270.AT2	SF_2.3292_WHITTIER_A-L01090.AT2	SF_2.1757_HECTOR_14840019.AT2	SF_2.1757_HECTOR_14840019.AT2	SF_2.1757_HECTOR_14840019.AT2
12	SF_1.1501_CHICHI_TCU094-N.AT2	SF_1.1501_CHICHI_TCU094-N.AT2	SF_1.1501_CHICHI_TCU094-N.AT2	SF_1.1501_CHICHI_TCU094-N.AT2	SF_1.1501_CHICHI_TCU094-N.AT2	SF_2.3500_CHICHI03_CHY024-E.AT2	SF_2.2308_NORTH R_NYA180.AT2	SF_2.2308_NORTH R_NYA180.AT2	SF_2.2308_NORTH R_NYA180.AT2
13	SF_1.1568_FRIULI_A-TMZ000.AT2	SF_1.1568_FRIULI_A-TMZ000.AT2	SF_1.1568_FRIULI_A-TMZ000.AT2	SF_1.1568_FRIULI_A-TMZ000.AT2	SF_1.1568_FRIULI_A-TMZ000.AT2	SF_2.3971_SKULLMT_Lsm7270.AT2	SF_2.267_CHICHI03_CHY024-E.AT2	SF_2.267_CHICHI03_CHY024-E.AT2	SF_2.267_CHICHI03_CHY024-E.AT2
14	SF_1.1704_LOMAP_WDS090.AT2	SF_1.1704_LOMAP_WDS090.AT2	SF_1.1704_LOMAP_WDS090.AT2	SF_1.1704_LOMAP_WDS090.AT2	SF_1.1704_LOMAP_WDS090.AT2	SF_2.4266_HECTOR_22161090.AT2	SF_2.3733_HECTOR_22161090.AT2	SF_2.3733_HECTOR_22161090.AT2	SF_2.3733_HECTOR_22161090.AT2
15	SF_1.199_NORTH R_PAR--L.AT2	SF_1.199_NORTH R_PAR--L.AT2	SF_1.199_NORTH R_PAR--L.AT2	SF_1.199_NORTH R_PAR--L.AT2	SF_1.199_NORTH R_PAR--L.AT2	SF_2.4484_CHICHI_NST-E.AT2	SF_2.4159_CHICHI03_CHY101-E.AT2	SF_2.4159_CHICHI03_CHY101-E.AT2	SF_2.4159_CHICHI03_CHY101-E.AT2
16	SF_1.2085_HECTOR_32577360.AT2	SF_1.2085_HECTOR_32577360.AT2	SF_1.2085_HECTOR_32577360.AT2	SF_1.2085_HECTOR_32577360.AT2	SF_1.2085_HECTOR_32577360.AT2	SF_2.4499_CHICHI_HWA005-N.AT2	SF_2.4342_SKULLMT_Lsm7270.AT2	SF_2.4342_SKULLMT_Lsm7270.AT2	SF_2.4342_SKULLMT_Lsm7270.AT2
17	SF_1.2523_LOMAP_G01090.AT2	SF_1.2523_LOMAP_G01090.AT2	SF_1.2523_LOMAP_G01090.AT2	SF_1.2523_LOMAP_G01090.AT2	SF_1.2523_LOMAP_G01090.AT2	SF_2.5125_LANDERS_DEV000.AT2	SF_2.4475_CHICHI06_CHY024-E.AT2	SF_2.4475_CHICHI06_CHY024-E.AT2	SF_2.4475_CHICHI06_CHY024-E.AT2
18	SF_1.2579_CHICHI06_TCU078-N.AT2	SF_1.2579_CHICHI06_TCU078-N.AT2	SF_1.2579_CHICHI06_TCU078-N.AT2	SF_1.2579_CHICHI06_TCU078-N.AT2	SF_1.2579_CHICHI06_TCU078-N.AT2	SF_2.5269_NORTH R_WAT270.AT2	SF_2.5108_CHICHI04_CHY101-E.AT2	SF_2.5108_CHICHI04_CHY101-E.AT2	SF_2.5108_CHICHI04_CHY101-E.AT2
19	SF_1.3128_LOMAP_G03000.AT2	SF_1.3128_LOMAP_G03000.AT2	SF_1.3128_LOMAP_G03000.AT2	SF_1.3128_LOMAP_G03000.AT2	SF_1.3128_LOMAP_G03000.AT2	SF_2.573_LOMAP_ADL250.AT2	SF_2.515_LANDERS_DEV000.AT2	SF_2.515_LANDERS_DEV000.AT2	SF_2.515_LANDERS_DEV000.AT2
20	SF_1.3265_IMPVAL H-E07230.AT2	SF_1.3265_IMPVAL H-E07230.AT2	SF_1.3265_IMPVAL H-E07230.AT2	SF_1.3265_IMPVAL H-E07230.AT2	SF_1.3265_IMPVAL H-E07230.AT2	SF_2.5784_CHICHI03_CHY101-E.AT2			
Aydın Yapı		Gedikbulak_3D		20_Katlı_3D_Yapı		24_Katlı_2D_CSW			
1	SF_1.1132_LOMAP_GOF160.AT2	SF_1.0251_LOMAP_G02000.AT2	SF_2.0727_NEWZEAL_A-MAR040.AT2	SF_1.2736_IMPVAL H-E03140.AT2	SF_1.2736_IMPVAL H-E03140.AT2	SF_1.305_LOMAP_SSF115.AT2	SF_1.305_LOMAP_SSF115.AT2	SF_1.305_LOMAP_SSF115.AT2	SF_1.305_LOMAP_SSF115.AT2
2	SF_1.1531_NORTH R_PHP270.AT2	SF_1.0664_DUZCE_BOL000.AT2	SF_2.177_UPLAND_23525090.AT2	SF_2.177_UPLAND_23525090.AT2	SF_2.177_UPLAND_23525090.AT2	SF_1.3147_LOMAP_CH07000.AT2	SF_1.3147_LOMAP_CH07000.AT2	SF_1.3147_LOMAP_CH07000.AT2	SF_1.3147_LOMAP_CH07000.AT2
3	SF_1.1569_WESTMORL_BRA315.AT2	SF_1.0688_NORTH R_OAK170.AT2	SF_2.2202_CHICHI03_TCU075-E.AT2	SF_2.2202_CHICHI03_TCU075-E.AT2	SF_2.2202_CHICHI03_TCU075-E.AT2	SF_1.3427_CHICHI_CHY024-E.AT2	SF_1.3427_CHICHI_CHY024-E.AT2	SF_1.3427_CHICHI_CHY024-E.AT2	SF_1.3427_CHICHI_CHY024-E.AT2
4	SF_1.1598_CHICHI_ALS-E.AT2	SF_1.1207_NORTH R_LOA092.AT2	SF_2.2894_HECTOR_14840019.AT2	SF_2.2894_HECTOR_14840019.AT2	SF_2.2894_HECTOR_14840019.AT2	SF_1.3533_KOCAELI_DHM000.AT2	SF_1.3533_KOCAELI_DHM000.AT2	SF_1.3533_KOCAELI_DHM000.AT2	SF_1.3533_KOCAELI_DHM000.AT2
5	SF_1.1977_SUPERST_B-BRA315.AT2	SF_1.1221_CHICHI_TCU067-N.AT2	SF_2.3001_WHITTIER_A-VER173.AT2	SF_2.3001_WHITTIER_A-VER173.AT2	SF_2.3001_WHITTIER_A-VER173.AT2	SF_1.3617_LOMAP_WDS000.AT2	SF_1.3617_LOMAP_WDS000.AT2	SF_1.3617_LOMAP_WDS000.AT2	SF_1.3617_LOMAP_WDS000.AT2
6	SF_1.203_CHICHI03_CHY101-E.AT2	SF_1.1499_NORTH R_MRP180.AT2	SF_2.3438_KOBE_FUK000.AT2	SF_2.3438_KOBE_FUK000.AT2	SF_2.3438_KOBE_FUK000.AT2	SF_1.3623_LOMAP_OLEM000.AT2	SF_1.3623_LOMAP_OLEM000.AT2	SF_1.3623_LOMAP_OLEM000.AT2	SF_1.3623_LOMAP_OLEM000.AT2
7	SF_1.2121_NCALIF_F-FRN225.AT2	SF_1.1513_CHICHI03_TCU129-E.AT2	SF_2.3555_CHICHI_HWA2-E.AT2	SF_2.3555_CHICHI_HWA2-E.AT2	SF_2.3555_CHICHI_HWA2-E.AT2	SF_1.3807_LOMAP_MCH090.AT2	SF_1.3807_LOMAP_MCH090.AT2	SF_1.3807_LOMAP_MCH090.AT2	SF_1.3807_LOMAP_MCH090.AT2
8	SF_1.2227_CHICHI06_CHY101-E.AT2	SF_1.1603_NORTH R_OBR090.AT2	SF_2.3685_COALINGA_H-SC4090.AT2	SF_2.3685_COALINGA_H-SC4090.AT2	SF_2.3685_COALINGA_H-SC4090.AT2	SF_1.4396_LANDERS_WST000.AT2	SF_1.4396_LANDERS_WST000.AT2	SF_1.4396_LANDERS_WST000.AT2	SF_1.4396_LANDERS_WST000.AT2
9	SF_1.2774_CHICHI_TAW-N.AT2	SF_1.1724_NORTH R_SUN280.AT2	SF_2.3917_CHICHI06_CHY024-E.AT2	SF_2.3917_CHICHI06_CHY024-E.AT2	SF_2.3917_CHICHI06_CHY024-E.AT2	SF_1.4736_CHICHI_TCU038-N.AT2	SF_1.4736_CHICHI_TCU038-N.AT2	SF_1.4736_CHICHI_TCU038-N.AT2	SF_1.4736_CHICHI_TCU038-N.AT2
10	SF_1.2816_LOMAP_TLH090.AT2	SF_1.1766_NORTH R_STM090.AT2	SF_2.417_NWCHINA2_J4060270.AT2	SF_2.417_NWCHINA2_J4060270.AT2	SF_2.417_NWCHINA2_J4060270.AT2	SF_1.4888_CHICHI_CHY074-E.AT2	SF_1.4888_CHICHI_CHY074-E.AT2	SF_1.4888_CHICHI_CHY074-E.AT2	SF_1.4888_CHICHI_CHY074-E.AT2
11	SF_1.2900_KOBE_TOT000.AT2	SF_1.1873_CHICHI_TCU042-N.AT2	SF_2.4628_COALINGA_H-PG6090.AT2	SF_2.4628_COALINGA_H-PG6090.AT2	SF_2.4628_COALINGA_H-PG6090.AT2	SF_1.5012_IMPVAL H-E13140.AT2	SF_1.5012_IMPVAL H-E13140.AT2	SF_1.5012_IMPVAL H-E13140.AT2	SF_1.5012_IMPVAL H-E13140.AT2
12	SF_1.302_CHICHI_HWA013-E.AT2	SF_1.1961_IMPVAL H-ECC092.AT2	SF_2.4801_CHALFANT_A-LAD180.AT2	SF_2.4801_CHALFANT_A-LAD180.AT2	SF_2.4801_CHALFANT_A-LAD180.AT2	SF_1.5075_LOMAP_GOF160.AT2	SF_1.5075_LOMAP_GOF160.AT2	SF_1.5075_LOMAP_GOF160.AT2	SF_1.5075_LOMAP_GOF160.AT2
13	SF_1.404_IMPVAL H-E01140.AT2	SF_1.2519_NORTH R_MTW000.AT2	SF_2.4804_CHICHI_HWA033-E.AT2	SF_2.4804_CHICHI_HWA033-E.AT2	SF_2.4804_CHICHI_HWA033-E.AT2	SF_1.5132_SUPERST_B-WLF225.AT2	SF_1.5132_SUPERST_B-WLF225.AT2	SF_1.5132_SUPERST_B-WLF225.AT2	SF_1.5132_SUPERST_B-WLF225.AT2
14	SF_1.4372_KOCAELI_ATK000.AT2	SF_1.3039_IMPVAL H-E04140.AT2	SF_2.5573_CHICHI_CHY002-N.AT2	SF_2.5573_CHICHI_CHY002-N.AT2	SF_2.5573_CHICHI_CHY002-N.AT2	SF_1.555_SUPERST_B-BRA315.AT2	SF_1.555_SUPERST_B-BRA315.AT2	SF_1.555_SUPERST_B-BRA315.AT2	SF_1.555_SUPERST_B-BRA315.AT2
15	SF_1.448_CHICHI03_TCU122-E.AT2	SF_1.3189_NORTH R_ORR360.AT2	SF_2.5900_HECTOR_22161090.AT2	SF_2.5900_HECTOR_22161090.AT2	SF_2.5900_HECTOR_22161090.AT2	SF_1.5595_CHICHI_TCU057-N.AT2	SF_1.5595_CHICHI_TCU057-N.AT2	SF_1.5595_CHICHI_TCU057-N.AT2	SF_1.5595_CHICHI_TCU057-N.AT2
16	SF_1.4569_SMART1_45E01NS.AT2	SF_1.3378_COALINGA_D-PVP360.AT2	SF_2.6202_CHICHI04_CHY101-E.AT2	SF_2.6202_CHICHI04_CHY101-E.AT2	SF_2.6202_CHICHI04_CHY101-E.AT2	SF_1.5938_CHICHI_ALS-E.AT2	SF_1.5938_CHICHI_ALS-E.AT2	SF_1.5938_CHICHI_ALS-E.AT2	SF_1.5938_CHICHI_ALS-E.AT2
17	SF_1.4571_SMART1_40001NS.AT2	SF_1.3474_UPLAND_UP90S-H2.AT2	SF_2.7093_CHICHI_CHY086-E.AT2	SF_2.7093_CHICHI_CHY086-E.AT2	SF_2.7093_CHICHI_CHY086-E.AT2	SF_1.5995_WESTMORL_BRA315.AT2	SF_1.5995_WESTMORL_BRA315.AT2	SF_1.5995_WESTMORL_BRA315.AT2	SF_1.5995_WESTMORL_BRA315.AT2
18	SF_1.572_NORTH R_5082-235.AT2	SF_1.3983_IMPVAL H-E07140.AT2	SF_2.8878_LANDERS_DEV000.AT2	SF_2.8878_LANDERS_DEV000.AT2	SF_2.8878_LANDERS_DEV000.AT2	SF_1.6636_CHICHI_TCU105-N.AT2	SF_1.6636_CHICHI_TCU105-N.AT2	SF_1.6636_CHICHI_TCU105-N.AT2	SF_1.6636_CHICHI_TCU105-N.AT2
19	SF_1.6135_TABAS_BOS-L1.AT2	SF_1.4204_CHICHI_TCU047-E.AT2	SF_2.9316_CHICHI03_TCU138-N.AT2	SF_2.9316_CHICHI03_TCU138-N.AT2	SF_2.9316_CHICHI03_TCU138-N.AT2	SF_1.702_CHICHI_TCU081-N.AT2	SF_1.702_CHICHI_TCU081-N.AT2	SF_1.702_CHICHI_TCU081-N.AT2	SF_1.702_CHICHI_TCU081-N.AT2
20	SF_1.6441_CHICHI_ILA013-N.AT2	SF_1.4352_CHICHI_TCU094-N.AT2	SF_3.1520_CHICHI_NST-E.AT2	SF_3.1520_CHICHI_NST-E.AT2	SF_3.1520_CHICHI_NST-E.AT2				

Çizelge A.1 (devam): Analizlerde Kullanılan depremlerin isimleri ve ölççek katsayıları listesi.

Izmir Merkez, 1. Derece Deprem Bölgesi, ZC Zemin Sınıfı, DD_1

PFN_4_1		PFN_5_1		PFN_6_1		PFN_8_2		Prefabrik Yapı	
1	SF_2.0003_CHICHIO3_TCU076-E.AT2	SF_2.6686_CHICHI_TCU094-N.AT2	SF_2.6015_CHICHI_TCU094-N.AT2	SF_2.8636_KOCAELI_DHM000.AT2	SF_4.5293_SMART1_40M01EW.AT2				
2	SF_2.1101_LANDERS_CAS270.AT2	SF_2.7315_MORGAN_G04360.AT2	SF_2.6901_NORTHR_PHP270.AT2	SF_3.0711_CHICHI_TTN051-N.AT2	SF_4.6799_CHICHIO6_CHY041-N.AT2				
3	SF_2.1214_IMPVAL H-ECC092.AT2	SF_2.7545_NORTHR_PHP270.AT2	SF_2.7138_MORGAN_G04360.AT2	SF_3.116_WHITTIER_A-BUE340.AT2	SF_4.7296_CHICHIO3_TCU075-E.AT2				
4	SF_2.1299_NORTHR_STM090.AT2	SF_2.7821_NORTHR_PAR--LAT2	SF_2.727_NORTHR_PAR--LAT2	SF_3.2183_CHICHI_CHY024-E.AT2	SF_4.764_WHITTIER_A-VER173.AT2				
5	SF_2.217_IMPVAL H-E04230.AT2	SF_2.8376_NORTHR_STC180.AT2	SF_2.7517_NORTHR_STC180.AT2	SF_3.2587_LOMAP_RIN000.AT2	SF_4.8183_LIVERMOR_B-FRE075.AT2				
6	SF_2.2293_CHICHI_TCU076-E.AT2	SF_2.9254_LOMAP_SSF115.AT2	SF_2.8995_NORTHR_OAK080.AT2	SF_3.3007_IMPVAL H-E01140.AT2	SF_5.0234_CHICHIO6_TCU065-E.AT2				
7	SF_2.2813_UPLAND_UP90S-H2.AT2	SF_2.9656_KOCAELI_DHM000.AT2	SF_2.9035_LOMAP_SSF115.AT2	SF_3.3197_LANDERS_CAS000.AT2	SF_5.1926_UPLAND_23525090.AT2				
8	SF_2.2882_CHICHI_TCU042-N.AT2	SF_3.0475_IMPVAL H-ECC002.AT2	SF_2.9053_KOCAELI_DHM000.AT2	SF_3.4081_KOCAELI_MSK000.AT2	SF_5.224_COALINGA_H-SC4090.AT2				
9	SF_2.2978_NORTHR_LIT180.AT2	SF_3.0649_IMPVAL H-E10050.AT2	SF_2.9764_IMPVAL H-ECC002.AT2	SF_3.446_COALINGA_H-C4A090.AT2	SF_5.2796_CHICHI_HWA2-E.AT2				
10	SF_2.3009_MANJIL_189132.AT2	SF_3.0675_NWCHINA2_X4060000.AT2	SF_2.9853_IMPVAL H-E10050.AT2	SF_3.4784_CHICHIO6_TCU078-E.AT2	SF_5.4071_CHICHIO6_CHY028-E.AT2				
11	SF_2.3245_IMPVAL H-E03140.AT2	SF_3.0817_CHICHI_TCU075-N.AT2	SF_3.0187_CHICHI_TCU075-N.AT2	SF_3.504_WHITTIER_A-CYP143.AT2	SF_5.4521_COALINGA_H-PG6090.AT2				
12	SF_2.3519_NORTHR_MRP180.AT2	SF_3.0999_CHICHI_CHY101-E.AT2	SF_3.0242_NWCHINA2_X4060000.AT2	SF_3.511_CHICHI_TCU119-N.AT2	SF_5.4571_CHICHI_HWA-E.AT2				
13	SF_2.359_KOCAELI_DHM090.AT2	SF_3.102_SUPERST_B-BRA315.AT2	SF_3.0366_CHICHI_CHY101-E.AT2	SF_3.5727_LOMAP_SJW160.AT2	SF_5.4606_CAPEMEND_EUR090.AT2				
14	SF_2.4157_WHITTIER_A-BAD000.AT2	SF_3.1242_IMPVAL H-CXO315.AT2	SF_3.0571_IMPVAL H-CXO315.AT2	SF_3.6876_FRIULI_A-FLT270.AT2	SF_5.7261_CHICHIO6_CHY032-N.AT2				
15	SF_2.4386_CHICHIO3_TCU129-E.AT2	SF_3.1458_WHITTIER_A-BUE340.AT2	SF_3.0685_SUPERST_B-BRA315.AT2	SF_3.7879_HECTOR_32577090.AT2	SF_5.7417_CHALFANT_A-LAD270.AT2				
16	SF_2.4732_IMPVAL H-E04140.AT2	SF_3.2092_CHICHI_TTN051-N.AT2	SF_3.078_WHITTIER_A-BUE340.AT2	SF_3.9854_NORTHR_CAT090.AT2	SF_5.8923_CHALFANT_A-BEN360.AT2				
17	SF_2.5256_LOMAP_CLS090.AT2	SF_3.2279_NORTHR_5081-360.AT2	SF_3.1476_CHICHI_TTN051-N.AT2	SF_3.9872_WESTMORL_BRA315.AT2	SF_5.9724_SKULLMT_Lsm7270.AT2				
18	SF_2.6019_CHICHI_TCU094-N.AT2	SF_3.3018_IMPVAL H-E01140.AT2	SF_3.2302_CHICHI_CHY041-E.AT2	SF_4.049_DUZCE_1061-N.AT2	SF_6.1124_CHICHIO3_TCU076-N.AT2				
19	SF_2.6171_FRIULI_A-TMZ000.AT2	SF_3.311_CHICHI_CHY041-E.AT2	SF_3.2356_IMPVAL H-E01140.AT2	SF_4.0761_NEWZEAL_A-MAR040.AT2	SF_6.183_CHICHIO6_CHY037-N.AT2				
20	SF_2.7125_NORTHR_PAR--LAT2	SF_3.3785_KOBE_HIKO90.AT2	SF_3.3327_KOBE_HIKO90.AT2	SF_4.0816_NORTHR_MJH090.AT2	SF_6.3003_SMART1_45012EW.AT2				
Aydın Üniv. Yapısı		Gedikbulak_3D		20 Katlı_3D_Yapı		24 Katlı_2D_CSW			
1	SF_1.8425_DUZCE_ATS300.AT2	SF_2.2251_LOMAP_G02000.AT2	SF_1.6416_NORTHR_NEW180.AT2	SF_2.2041_NORTHR_OAK170.AT2					
2	SF_2.0404_LOMAP_OLEM000.AT2	SF_2.3201_NORTHR_OAK170.AT2	SF_1.6826_PALMSPR_TFS090.AT2	SF_2.2977_NORTHR_LIT180.AT2					
3	SF_2.174_LOMAP_WDS000.AT2	SF_2.4326_NORTHR_LOA092.AT2	SF_1.7039_LOMAP_HDA165.AT2	SF_2.3249_IMPVAL H-E03140.AT2					
4	SF_2.2051_IMPVAL H-E03140.AT2	SF_2.4961_NORTHR_MRP180.AT2	SF_1.7095_DUZCE_ATS300.AT2	SF_2.3823_LOMAP_SSF115.AT2					
5	SF_2.2145_KOCAELI_MSK000.AT2	SF_2.4991_CHICHIO3_TCU129-E.AT2	SF_1.7167_NORTHR_SUN280.AT2	SF_2.4426_CHICHI_TCU046-N.AT2					
6	SF_2.217_LANDERS_WST000.AT2	SF_2.5186_NORTHR_OBR090.AT2	SF_1.7435_IMPVAL H-E06230.AT2	SF_2.4512_CHICHI_CHY024-E.AT2					
7	SF_2.2596_CHICHI_TCU046-N.AT2	SF_2.5448_NORTHR_SUN280.AT2	SF_1.8286_CHICHI_CHY101-N.AT2	SF_2.4704_KOCAELI_DHM000.AT2					
8	SF_2.2632_CHICHI_CHY074-E.AT2	SF_2.5539_NORTHR_STM090.AT2	SF_1.8537_CHICHI_WGK-E.AT2	SF_2.4868_LOMAP_OLEM000.AT2					
9	SF_2.271_CHICHI_CHY029-N.AT2	SF_2.5712_WHITTIER_A-SYLO00.AT2	SF_1.8581_CHICHI_TCU072-E.AT2	SF_2.5046_HECTOR_32577360.AT2					
10	SF_2.2989_LOMAP_GOF160.AT2	SF_2.5773_CHICHI_TCU042-N.AT2	SF_1.8771_CHICHI_TCU070-N.AT2	SF_2.5205_LOMAP_MCH090.AT2					
11	SF_2.3238_IMPVAL H-E01230.AT2	SF_2.5963_IMPVAL H-ECC092.AT2	SF_1.951_CHICHI_TCU067-E.AT2	SF_2.5623_LOMAP_G02090.AT2					
12	SF_2.3425_SUPERST_B-WLF225.AT2	SF_2.7174_NORTHR_MTW000.AT2	SF_1.9833_KOCAELI_DHM090.AT2	SF_2.6279_LANDERS_WST000.AT2					
13	SF_2.4171_CHICHI_TCU049-E.AT2	SF_2.8304_IMPVAL H-E04140.AT2	SF_1.983_CHICHI_CHY006-W.AT2	SF_2.6845_CHICHI_CHY029-N.AT2					
14	SF_2.4373_CHICHI_ALS-E.AT2	SF_2.8629_NORTHR_ORR360.AT2	SF_2.0669_NORTHR_OAK170.AT2	SF_2.7072_IMPVAL H-E01230.AT2					
15	SF_2.4423_CHICHI_TCU081-N.AT2	SF_2.904_COALINGA_D-PVP360.AT2	SF_2.0864_IMPVAL H-ECC092.AT2	SF_2.7178_CHICHI_CHY074-E.AT2					
16	SF_2.5202_IMPVAL H-E13140.AT2	SF_2.9248_UPLAND_UP90S-H2.AT2	SF_2.1556_CHICHI_TCU076-E.AT2	SF_2.7405_IMPVAL H-E13140.AT2					
17	SF_2.5525_CHICHI_TAW-N.AT2	SF_3.0353_IMPVAL H-E07140.AT2	SF_2.1941_IMPVAL H-E04230.AT2	SF_2.752_LOMAP_GOF160.AT2					
18	SF_2.5638_CHICHI_ILA013-W.AT2	SF_3.0833_CHICHI_TCU047-E.AT2	SF_2.1968_MANJIL_190024.AT2	SF_2.8286_CHICHI_TCU075-N.AT2					
19	SF_2.5639_SUPERST_B-BRA315.AT2	SF_3.0928_NORTHR_OAK080.AT2	SF_2.3909_IMPVAL H-E03140.AT2	SF_2.8386_SUPERST_B-BRA315.AT2					
20	SF_2.5695_CHICHI_TCU051-E.AT2	SF_3.1154_CHICHI_TCU094-N.AT2	SF_2.4107_IMPVAL H-E07140.AT2	SF_2.9754_SMART1_45004EW.AT2					

Çizelge A.1 (devam): Analizlerde Kullanılan depremlerin isimleri ve ölççek katsayıları listesi.

Izmir Merkez, 1. Derece Deprem Bölgesi, ZC Zemin Sınıfı, DD_2

PFN_4_1		PFN_5_1		PFN_6_1		PFN_8_2		Prefabrik Yapı	
1	SF_1.1342_CHICHI03_TCU076-E.AT2	SF_1.1342_CHICHI03_TCU076-E.AT2	SF_1.0151_CHICHI03_TCU076-E.AT2	SF_1.511_KOCAELI_DHM000.AT2	SF_2.1537_IMPVALL_H-BCR230.AT2				
2	SF_1.1965_LANDERS_CAS270.AT2	SF_1.1965_LANDERS_CAS270.AT2	SF_1.0672_LANDERS_CAS270.AT2	SF_1.5327_KOCAELI_USK090.AT2	SF_2.2197_LOMAP_PJH315.AT2				
3	SF_1.2029_IMPVALL_H-ECC092.AT2	SF_1.2029_IMPVALL_H-ECC092.AT2	SF_1.0726_NORTHTR_STM090.AT2	SF_1.6442_WHITTIER_A-BUE340.AT2	SF_2.2367_CHICHI06_CHY088-N.AT2				
4	SF_1.2077_NORTHTR_STM090.AT2	SF_1.2077_NORTHTR_STM090.AT2	SF_1.0801_IMPVALL_H-ECC092.AT2	SF_1.6578_WHITTIER_A-OBR360.AT2	SF_2.2985_CHICHI06_CHY041-N.AT2				
5	SF_1.2156_NORTHTR_PIC090.AT2	SF_1.2156_NORTHTR_PIC090.AT2	SF_1.1295_IMPVALL_H-E04230.AT2	SF_1.6981_CHICHI_CHY024-E.AT2	SF_2.3229_CHICHI03_TCU075-E.AT2				
6	SF_1.257_IMPVALL_H-E04230.AT2	SF_1.257_IMPVALL_H-E04230.AT2	SF_1.1323_LOMAP_G02000.AT2	SF_1.7195_LOMAP_RIN000.AT2	SF_2.3258_NORTHTR_0637-360.AT2				
7	SF_1.2607_NORTHTR_WIL180.AT2	SF_1.2607_NORTHTR_WIL180.AT2	SF_1.1424_CHICHI_TCU076-E.AT2	SF_1.7416_IMPVALL_H-E01140.AT2	SF_2.3398_WHITTIER_A-VER173.AT2				
8	SF_1.264_CHICHI_TCU076-E.AT2	SF_1.264_CHICHI_TCU076-E.AT2	SF_1.1469_CHICHI_TCU042-N.AT2	SF_1.7516_LANDERS_CAS000.AT2	SF_2.3665_LIVERMOR_B-FRE075.AT2				
9	SF_1.2935_UPLAND_UP90S-H2.AT2	SF_1.2935_UPLAND_UP90S-H2.AT2	SF_1.1515_NORTHTR_WIL180.AT2	SF_1.7983_KOCAELI_MSK000.AT2	SF_2.3846_CHALFANT_A-LAD180.AT2				
10	SF_1.2974_CHICHI_TCU042-N.AT2	SF_1.2974_CHICHI_TCU042-N.AT2	SF_1.1516_MANJIL_189132.AT2	SF_1.8183_COALINGA_H-C4A090.AT2	SF_2.4708_LOMAP_A10000.AT2				
11	SF_1.3029_NORTHTR_LIT180.AT2	SF_1.3029_NORTHTR_LIT180.AT2	SF_1.1544_NORTHTR_LIT180.AT2	SF_1.8354_CHICHI06_TCU078-E.AT2	SF_2.5657_COALINGA_H-SC4090.AT2				
12	SF_1.318_IMPVALL_H-E03140.AT2	SF_1.318_IMPVALL_H-E03140.AT2	SF_1.1700_UPLAND_UP90S-H2.AT2	SF_1.8489_WHITTIER_A-CYP143.AT2	SF_2.5931_CHICHI_HWA2-E.AT2				
13	SF_1.3335_NORTHTR_MRP180.AT2	SF_1.3335_NORTHTR_MRP180.AT2	SF_1.1801_IMPVALL_H-E03140.AT2	SF_1.8851_LOMAP_SJW160.AT2	SF_2.6557_CHICHI06_CHY028-E.AT2				
14	SF_1.3376_KOCAELI_DHM090.AT2	SF_1.3376_KOCAELI_DHM090.AT2	SF_1.1896_NORTHTR_MRP180.AT2	SF_1.9458_FRIULI_A-FLT270.AT2	SF_2.6586_CHICHI_HWA033-E.AT2				
15	SF_1.3697_WHITTIER_A-BAD000.AT2	SF_1.3697_WHITTIER_A-BAD000.AT2	SF_1.212_KOCAELI_DHM090.AT2	SF_2.0326_NORTHTR_FIG328.AT2	SF_2.6778_COALINGA_H-PG6090.AT2				
16	SF_1.3827_CHICHI03_TCU129-E.AT2	SF_1.3827_CHICHI03_TCU129-E.AT2	SF_1.218_WHITTIER_A-BAD000.AT2	SF_2.1029_NORTHTR_CAT090.AT2	SF_2.7319_CHICHI03_CHY024-E.AT2				
17	SF_1.4008_CHICHI_TCU045-E.AT2	SF_1.4008_CHICHI_TCU045-E.AT2	SF_1.2321_CHICHI03_TCU129-E.AT2	SF_2.1039_WESTMORL_BRA315.AT2	SF_2.8200_CHALFANT_A-LAD270.AT2				
18	SF_1.4023_IMPVALL_H-E04140.AT2	SF_1.4023_IMPVALL_H-E04140.AT2	SF_1.2524_IMPVALL_H-E04140.AT2	SF_2.1066_TABAS_BAJ-T1.AT2	SF_2.9113_CHICHI03_CHY101-E.AT2				
19	SF_1.4753_CHICHI_TCU094-N.AT2	SF_1.4753_CHICHI_TCU094-N.AT2	SF_1.3111_CHICHI_TCU094-N.AT2	SF_2.1482_LOMAP_AGW000.AT2	SF_2.9213_LOMAP_G04090.AT2				
20	SF_1.6064_LOMAP_G01090.AT2	SF_1.6064_LOMAP_G01090.AT2	SF_1.4597_LOMAP_G01090.AT2	SF_2.2584_CHICHI06_CHY041-N.AT2	SF_2.9333_SKULLMT_Lsm7270.AT2				
Aydın Yapı		Gedikbulak_3D		20_Katlı_3D_Yapı		24_Katlı_2D_CSW			
1	SF_2.004_UPLAND_23525090.AT2	SF_2.3391_CHICHI02_TCU079-E.AT2	SF_1.1574_CHICHI_TCU076-E.AT2	SF_1.0693_LOMAP_GOF250.AT2					
2	SF_2.1202_CHICHI_TAP052-N.AT2	SF_2.5829_CHICHI06_CHY088-N.AT2	SF_1.1668_CHICHI03_TCU076-E.AT2	SF_1.2021_SUPERST_B-ICC000.AT2					
3	SF_2.1538_BORREGO_A-ELC180.AT2	SF_2.6795_WHITTIER_A-BRC000.AT2	SF_1.2071_CHICHI_CHY006-N.AT2	SF_1.2593_IMPVALL_H-E03140.AT2					
4	SF_2.1614_CHICHI_HWA048-N.AT2	SF_2.7008_SMADRE_4734C270.AT2	SF_1.2411_LANDERS_CAS270.AT2	SF_1.2697_NORTHTR_PIC090.AT2					
5	SF_2.1821_LOMAP_DMH000.AT2	SF_2.7069_COALINGA_D-PVP270.AT2	SF_1.2497_NORTHTR_PIC090.AT2	SF_1.2789_CHICHI_TCU061-N.AT2					
6	SF_2.2482_CHICHI06_TCU139-E.AT2	SF_2.7694_WHITTIER_A-FLO020.AT2	SF_1.2725_LOMAP_WDS090.AT2	SF_1.2904_LOMAP_SSF115.AT2					
7	SF_2.2721_LOMAP_MCH000.AT2	SF_2.8114_WHITTIER_A-CNP106.AT2	SF_1.2744_IMPVALL_H-E05230.AT2	SF_1.3029_CHICHI_TCU070-E.AT2					
8	SF_2.2744_CHICHI04_CHY015-N.AT2	SF_2.8936_CHALFANT_A-LAD180.AT2	SF_1.2832_NORTHTR_LIT180.AT2	SF_1.3231_CHICHI_TCU046-N.AT2					
9	SF_2.3033_HECTOR_11591090.AT2	SF_2.9468_WHITTIER_A-FEA090.AT2	SF_1.2833_LOMAP_G01090.AT2	SF_1.3277_CHICHI_CHY024-E.AT2					
10	SF_2.3258_COALINGA_H-Z06090.AT2	SF_2.9518_LIVERMOR_B-FRE075.AT2	SF_1.2837_IMPVALL_H-E03140.AT2	SF_1.3381_KOCAELI_DHM000.AT2					
11	SF_2.3514_CHICHI_HWA2-E.AT2	SF_3.0287_WHITTIER_A-CYP143.AT2	SF_1.2943_IMPVALL_H-E07140.AT2	SF_1.347_LOMAP_OLEM000.AT2					
12	SF_2.3705_COALINGA_H-GH3090.AT2	SF_3.0376_SKULLMT_Lsm7270.AT2	SF_1.3136_IMPVALL_H-E05140.AT2	SF_1.3566_HECTOR_32577360.AT2					
13	SF_2.3847_WHITTIER_A-VER173.AT2	SF_3.0526_NWCHINA3_J411N270.AT2	SF_1.3486_HECTOR_32577360.AT2	SF_1.3652_LOMAP_MCH090.AT2					
14	SF_2.3907_CHICHI_ILA044-N.AT2	SF_3.1047_WHITTIER_A-ARL270.AT2	SF_1.3937_KOCAELI_USK180.AT2	SF_1.3879_LOMAP_G02090.AT2					
15	SF_2.5407_CHICHI_ILA012-N.AT2	SF_3.1452_WHITTIER_A-WPA150.AT2	SF_1.452_IMPVALL_H-E04140.AT2	SF_1.454_CHICHI_CHY029-N.AT2					
16	SF_2.5408_CHICHI_TAP087-N.AT2	SF_3.1949_WHITTIER_A-BRI360.AT2	SF_1.4639_LOMAP_CLS090.AT2	SF_1.4663_IMPVALL_H-E01230.AT2					
17	SF_2.6645_CHICHI_ILA027-E.AT2	SF_3.2903_PALMSPR_H05360.AT2	SF_1.5262_CHICHI_TCU074-N.AT2	SF_1.4733_LOMAP_HCH180.AT2					
18	SF_2.6798_CHICHI_TTN001-N.AT2	SF_3.3257_WHITTIER_A-OLD090.AT2	SF_1.5293_KOCAELI_DHM000.AT2	SF_1.4844_IMPVALL_H-E13140.AT2					
19	SF_2.7002_CHICHI06_CHY030-E.AT2	SF_3.3822_NORTHTR_TEM090.AT2	SF_1.5412_CHICHI_TCU045-E.AT2	SF_1.4906_LOMAP_GOF160.AT2					
20	SF_2.8195_CHICHI_NCU-E.AT2	SF_3.4147_COALINGA_D-PLM360.AT2	SF_1.5415_LOMAP_HCH180.AT2	SF_1.599_CHICHI_TCU054-N.AT2					

Çizelge A.1 (devam): Analizlerde Kullanılan depremlerin isimleri ve ölççek katsayıları listesi.

Kırşehir Merkez, 1. Derece Deprem Bölgesi, ZC Zemin Sınıfı, DD_1				
PFN_4_1	PFN_5_1	PFN_6_1	PFN_8_2	Prefabrik Yapı
1 SF_0.58759_KOCAELI_DHM000.AT2	SF_0.58759_KOCAELI_DHM000.AT2	SF_0.58055_KOCAELI_DHM000.AT2	SF_0.76328_CHICHI_TAW-N.AT2	SF_0.74883_CHICHI_TAW-N.AT2
2 SF_0.6233_WHITTIER_A-BUE340.AT2	SF_0.6233_WHITTIER_A-BUE340.AT2	SF_0.61505_WHITTIER_A-BUE340.AT2	SF_0.76882_COALINGA_H-Z16090.AT2	SF_0.76414_COALINGA_H-Z16090.AT2
3 SF_0.63587_CHICHI_TTN051-N.AT2	SF_0.63587_CHICHI_TTN051-N.AT2	SF_0.63237_KOCAELI_USK090.AT2	SF_0.82393_NORTHTR_CAT090.AT2	SF_0.80985_WESTMORL_BRA315.AT2
4 SF_0.63711_KOCAELI_USK090.AT2	SF_0.63711_KOCAELI_USK090.AT2	SF_0.63506_LANDERS_CAS000.AT2	SF_0.8243_WESTMORL_BRA315.AT2	SF_0.82652_NORTHTR_CAT090.AT2
5 SF_0.64654_LANDERS_CAS000.AT2	SF_0.64654_LANDERS_CAS000.AT2	SF_0.64547_CHICHI_CHY041-E.AT2	SF_0.83706_DUZCE_1061-N.AT2	SF_0.83871_DUZCE_1061-N.AT2
6 SF_0.65422_IMPVAL H-E01140.AT2	SF_0.65422_IMPVAL H-E01140.AT2	SF_0.64654_IMPVAL H-E01140.AT2	SF_0.84267_NEWZEAL_A-MAR040.AT2	SF_0.84395_NORTHTR_GLP177.AT2
7 SF_0.65605_CHICHI_CHY041-E.AT2	SF_0.65605_CHICHI_CHY041-E.AT2	SF_0.65448_LOMAP_RIN000.AT2	SF_0.84381_NORTHTR_MJH090.AT2	SF_0.84548_NEWZEAL_A-MAR040.AT2
8 SF_0.66708_LOMAP_RIN000.AT2	SF_0.66708_LOMAP_RIN000.AT2	SF_0.68168_CHICHI_CHY024-E.AT2	SF_0.86415_LANDERS_MEL090.AT2	SF_0.85327_NORTHTR_MJH090.AT2
9 SF_0.68548_CHICHI_CHY024-E.AT2	SF_0.68548_CHICHI_CHY024-E.AT2	SF_0.6818_NORTHTR_WPI316.AT2	SF_0.86494_BIGBEAR_DHP090.AT2	SF_0.86373_LANDERS_MEL090.AT2
10 SF_0.71053_KOCAELI_MSK000.AT2	SF_0.71053_KOCAELI_MSK000.AT2	SF_0.70332_WHITTIER_A-CYP143.AT2	SF_0.89683_WHITTIER_A-VER173.AT2	SF_0.8831_BIGBEAR_DHP090.AT2
11 SF_0.71128_WHITTIER_A-CYP143.AT2	SF_0.71128_WHITTIER_A-CYP143.AT2	SF_0.7073_KOCAELI_MSK000.AT2	SF_0.90037_LIVERMOR_B-FRE075.AT2	SF_0.9145_CHICHI03_TCU075-E.AT2
12 SF_0.71388_CHICHI06_TCU078-E.AT2	SF_0.71388_CHICHI06_TCU078-E.AT2	SF_0.70952_CHICHI06_TCU078-E.AT2	SF_0.90329_CHALFANT_A-LAD180.AT2	SF_0.92114_WHITTIER_A-VER173.AT2
13 SF_0.73153_FRIULI_A-FLT270.AT2	SF_0.73153_FRIULI_A-FLT270.AT2	SF_0.71957_FRIULI_A-FLT270.AT2	SF_0.9032_CHICHI03_TCU075-E.AT2	SF_0.92689_SUPERST_B-KRN270.AT2
14 SF_0.75642_TABAS_BAJ-T1.AT2	SF_0.75642_TABAS_BAJ-T1.AT2	SF_0.74556_TABAS_BAJ-T1.AT2	SF_0.91757_LOMAP_SGI270.AT2	SF_0.93165_LIVERMOR_B-FRE075.AT2
15 SF_0.76802_NORTHTR_GLP177.AT2	SF_0.76802_NORTHTR_GLP177.AT2	SF_0.75158_NORTHTR_GLP177.AT2	SF_0.92744_PARKF_C12320.AT2	SF_0.93878_CHALFANT_A-LAD180.AT2
16 SF_0.80184_LOMAP_AGW000.AT2	SF_0.80184_LOMAP_AGW000.AT2	SF_0.78618_LOMAP_AGW000.AT2	SF_0.94489_NWCHINA2_J4060270.AT2	SF_0.94319_LOMAP_SGI270.AT2
17 SF_0.81117_DUZCE_1061-N.AT2	SF_0.81117_DUZCE_1061-N.AT2	SF_0.7977_DUZCE_1061-N.AT2	SF_0.94611_SUPERST_B-KRN270.AT2	SF_0.95506_SFERN_PAS090.AT2
18 SF_0.8162_NORTHTR_CAT090.AT2	SF_0.8162_NORTHTR_CAT090.AT2	SF_0.80839_NORTHTR_CAT090.AT2	SF_0.95394_SFERN_PAS090.AT2	SF_0.98223_NWCHINA2_J4060270.AT2
19 SF_0.82393_CHICHI_TCU100-N.AT2	SF_0.82393_CHICHI_TCU100-N.AT2	SF_0.81708_CHICHI_TCU100-N.AT2	SF_0.96676_SFERN_MA3220.AT2	SF_0.99796_NORTHTR_TEM180.AT2
20 SF_0.8548_LIVERMOR_B-FRE075.AT2	SF_0.8548_LIVERMOR_B-FRE075.AT2	SF_0.84086_LIVERMOR_B-FRE075.AT2	SF_1.0391_CHICHI06_CHY028-E.AT2	SF_1.0455_CHICHI06_CHY028-E.AT2
Aydın Üniv. Yapısı	Gedikbulak_3D	20_Katlı_3D_Yapı	24_Katlı_2D_CSW	
1 SF_0.92428_CHALFANT_A-LAD180.AT2	SF_0.88779_KOCAELI_MSK000.AT2	SF_0.674_IMPVAL H-E01140.AT2	SF_0.6156_LOMAP_SJW160.AT2	
2 SF_0.93333_LANDERS_29P000.AT2	SF_0.92358_NORTHTR_NYA180.AT2	SF_0.6767_CHICHI_ALS-E.AT2	SF_0.62474_CHICHI_TAW-N.AT2	
3 SF_0.94589_KOBE_OKA000.AT2	SF_0.93316_LOMAP_RIN000.AT2	SF_0.69566_KOCAELI_ATK000.AT2	SF_0.624_IMPVAL H-E01140.AT2	
4 SF_0.9716_NEWZEAL_A-MAR040.AT2	SF_0.95063_CHICHI02_TCU079-E.AT2	SF_0.70894_LOMAP_SJW160.AT2	SF_0.64422_CHICHI03_TCU129-E.AT2	
5 SF_0.98858_NORTHTR_BIR090.AT2	SF_0.95953_NEWZEAL_A-MAR040.AT2	SF_0.70898_SMART1_45O01EW.AT2	SF_0.6648_KOCAELI_ATK000.AT2	
6 SF_1.0329_KOCAELI_BTS000.AT2	SF_0.98635_SFERN_MA3220.AT2	SF_0.72953_CHICHI_TAW-N.AT2	SF_0.67815_SMART1_33O01NS.AT2	
7 SF_1.0414_CHICHI_NCU-E.AT2	SF_0.99855_CHICHI_TTN051-N.AT2	SF_0.73056_LOMAP_RIN000.AT2	SF_0.69244_NORTHTR_CDF090.AT2	
8 SF_1.0816_CHICHI_HWA055-N.AT2	SF_1.0155_CHICHI_CHY024-E.AT2	SF_0.7391_NORTHTR_CDF090.AT2	SF_0.69497_KOCAELI_IST090.AT2	
9 SF_1.1276_FRIULI_A-FLT270.AT2	SF_1.0423_KOCAELI_USK090.AT2	SF_0.74827_WESTMORL_BRA315.AT2	SF_0.70152_SMART1_45E01NS.AT2	
10 SF_1.1334_LANDERS_LCN345.AT2	SF_1.0426_LOMAP_SGI270.AT2	SF_0.7604_COALINGA_H-C4A090.AT2	SF_0.71061_CHICHI03_TCU122-E.AT2	
11 SF_1.1407_CHICHI04_CHY104-N.AT2	SF_1.042_CHICHI06_TCU129-E.AT2	SF_0.76086_IMPVAL H-CC4045.AT2	SF_0.71114_NORTHTR_5081-270.AT2	
12 SF_1.1411_KOCAELI_CNK090.AT2	SF_1.074_CHICHI_CHY034-N.AT2	SF_0.7752_COALINGA_H-Z16090.AT2	SF_0.71658_COALINGA_H-Z16090.AT2	
13 SF_1.1511_CHICHI_TTN028-N.AT2	SF_1.0863_NWCHINA2_J4060270.AT2	SF_0.77643_COALINGA_D-PVP360.AT2	SF_0.73749_COALINGA_H-C4A090.AT2	
14 SF_1.1553_NORTHTR_WAT270.AT2	SF_1.0904_CHICHI_NST-E.AT2	SF_0.80163_CHICHI06_TCU078-E.AT2	SF_0.74244_IMPVAL H-CC4045.AT2	
15 SF_1.1663_COALINGA_H-PG6090.AT2	SF_1.1255_WHITTIER_A-FLO020.AT2	SF_0.80763_HECTOR_32577090.AT2	SF_0.7426_NORTHTR_CAT090.AT2	
16 SF_1.2118_CHICHI_TAP100-E.AT2	SF_1.1496_KOBE_OSA000.AT2	SF_0.82481_CHICHI_TCU040-N.AT2	SF_0.75869_HECTOR_32577090.AT2	
17 SF_1.2332_HECTOR_0589a230.AT2	SF_1.176_CHALFANT_A-LAD180.AT2	SF_0.83823_NORTHTR_CAT090.AT2	SF_0.78673_HECTOR_14840019.AT2	
18 SF_1.2649_CHICHI06_TCU122-E.AT2	SF_1.2345_SKULLMT_Lsm7270.AT2	SF_0.84233_IMPVAL H-BCR230.AT2	SF_0.80674_LOMAP_PJH315.AT2	
19 SF_1.2700_NORTHTR_VER180.AT2	SF_1.2618_WHITTIER_A-ARL270.AT2	SF_0.88863_NEWZEAL_A-MAR040.AT2	SF_0.82215_LOMAP_BVU220.AT2	
20 SF_1.3361_CHICHI_TTN042-W.AT2	SF_1.2782_WHITTIER_A-WPA150.AT2	SF_0.93487_CHICHI06_CHY036-E.AT2	SF_0.8655_CHICHI_HWA048-N.AT2	

Çizelge A.1 (devam): Analizlerde Kullanılan depremlerin isimleri ve ölççek katsayıları listesi.

Kırşehir Merkez, 1. Derece Deprem Bölgesi, ZC Zemin Sınıfı, DD_2

PFN_4_1		PFN_5_1		PFN_6_1		PFN_8_2		Prefabrik Yapı	
1	SF_0.9307_AQABA_EIL-EW.AT2	SF_0.9307_AQABA_EIL-EW.AT2	SF_0.9307_AQABA_EIL-EW.AT2	SF_0.9687_CHICHI06_CHY076-E.AT2	SF_0.9207_IMPVALL_A-E01140.AT2	SF_0.9285_AQABA_EIL-EW.AT2	SF_0.9285_AQABA_EIL-EW.AT2	SF_0.9285_AQABA_EIL-EW.AT2	SF_0.9285_AQABA_EIL-EW.AT2
2	SF_0.9742_CHICHI06_CHY076-E.AT2	SF_0.9742_CHICHI06_CHY076-E.AT2	SF_0.9742_CHICHI06_CHY076-E.AT2	SF_0.9867_NORTHR_WWJ180.AT2	SF_0.9209_AQABA_EIL-EW.AT2	SF_0.9600_BIGBEAR_SB2360.AT2	SF_0.9600_BIGBEAR_SB2360.AT2	SF_0.9600_BIGBEAR_SB2360.AT2	SF_0.9600_BIGBEAR_SB2360.AT2
3	SF_0.9788_CHICHI03_TCU120-E.AT2	SF_0.9788_CHICHI03_TCU120-E.AT2	SF_0.9788_CHICHI03_TCU120-E.AT2	SF_0.9917_CHICHI03_TCU120-E.AT2	SF_0.9489_BIGBEAR_SB2360.AT2	SF_1.0178_CHICHI06_CHY076-E.AT2	SF_1.0178_CHICHI06_CHY076-E.AT2	SF_1.0178_CHICHI06_CHY076-E.AT2	SF_1.0178_CHICHI06_CHY076-E.AT2
4	SF_0.9983_NORTHR_WWJ180.AT2	SF_0.9983_NORTHR_WWJ180.AT2	SF_0.9983_NORTHR_WWJ180.AT2	SF_1.0722_PALMSPR_ARM360.AT2	SF_0.9987_LIVERMOR_A-ANT270.AT2	SF_1.0365_BIGBEAR_SAC090.AT2	SF_1.0365_BIGBEAR_SAC090.AT2	SF_1.0365_BIGBEAR_SAC090.AT2	SF_1.0365_BIGBEAR_SAC090.AT2
5	SF_1.0729_LIVERMOR_A-ANT270.AT2	SF_1.0729_LIVERMOR_A-ANT270.AT2	SF_1.0729_LIVERMOR_A-ANT270.AT2	SF_1.0787_BIGBEAR_MCY090.AT2	SF_1.0113_BIGBEAR_SAC090.AT2	SF_1.0436_CHICHI02_TCU059-E.AT2	SF_1.0436_CHICHI02_TCU059-E.AT2	SF_1.0436_CHICHI02_TCU059-E.AT2	SF_1.0436_CHICHI02_TCU059-E.AT2
6	SF_1.0763_BIGBEAR_MCY090.AT2	SF_1.0763_BIGBEAR_MCY090.AT2	SF_1.0763_BIGBEAR_MCY090.AT2	SF_1.0788_LIVERMOR_A-ANT270.AT2	SF_1.0180_CHICHI06_CHY076-E.AT2	SF_1.0440_BIGBEAR_MCY090.AT2	SF_1.0440_BIGBEAR_MCY090.AT2	SF_1.0440_BIGBEAR_MCY090.AT2	SF_1.0440_BIGBEAR_MCY090.AT2
7	SF_1.0769_SFERN_CSM185.AT2	SF_1.0769_SFERN_CSM185.AT2	SF_1.0769_SFERN_CSM185.AT2	SF_1.0821_SFERN_CSM185.AT2	SF_1.0308_BIGBEAR_MCY090.AT2	SF_1.0919_DINAR_IZ2090.AT2	SF_1.0919_DINAR_IZ2090.AT2	SF_1.0919_DINAR_IZ2090.AT2	SF_1.0919_DINAR_IZ2090.AT2
8	SF_1.0843_PALMSPR_ARM360.AT2	SF_1.0843_PALMSPR_ARM360.AT2	SF_1.0843_PALMSPR_ARM360.AT2	SF_1.0909_CHICHI02_TCU052-E.AT2	SF_1.0734_CHICHI_TTN028-N.AT2	SF_1.1105_SFERN_CSM185.AT2	SF_1.1105_SFERN_CSM185.AT2	SF_1.1105_SFERN_CSM185.AT2	SF_1.1105_SFERN_CSM185.AT2
9	SF_1.0987_CHICHI02_TCU052-E.AT2	SF_1.0987_CHICHI02_TCU052-E.AT2	SF_1.0987_CHICHI02_TCU052-E.AT2	SF_1.1383_CHICHI02_TCU071-E.AT2	SF_1.0810_DINAR_IZ2090.AT2	SF_1.1391_CHICHI02_TCU052-E.AT2	SF_1.1391_CHICHI02_TCU052-E.AT2	SF_1.1391_CHICHI02_TCU052-E.AT2	SF_1.1391_CHICHI02_TCU052-E.AT2
10	SF_1.1276_CHICHI03_TCU106-E.AT2	SF_1.1276_CHICHI03_TCU106-E.AT2	SF_1.1276_CHICHI03_TCU106-E.AT2	SF_1.1416_CHICHI03_TCU106-E.AT2	SF_1.0830_SFERN_CSM185.AT2	SF_1.1704_CHICHI05_TTN044-N.AT2	SF_1.1704_CHICHI05_TTN044-N.AT2	SF_1.1704_CHICHI05_TTN044-N.AT2	SF_1.1704_CHICHI05_TTN044-N.AT2
11	SF_1.1361_CHICHI02_TCU071-E.AT2	SF_1.1361_CHICHI02_TCU071-E.AT2	SF_1.1361_CHICHI02_TCU071-E.AT2	SF_1.1584_CHICHI_TTN028-N.AT2	SF_1.1184_CHICHI05_HWA013-E.AT2	SF_1.1734_CHICHI06_CHY107-N.AT2	SF_1.1734_CHICHI06_CHY107-N.AT2	SF_1.1734_CHICHI06_CHY107-N.AT2	SF_1.1734_CHICHI06_CHY107-N.AT2
12	SF_1.1522_CHICHI_TTN028-N.AT2	SF_1.1522_CHICHI_TTN028-N.AT2	SF_1.1522_CHICHI_TTN028-N.AT2	SF_1.1733_CHICHI05_KAU054-E.AT2	SF_1.1242_CHICHI02_TCU052-E.AT2	SF_1.1772_CHICHI_KAU054-E.AT2	SF_1.1772_CHICHI_KAU054-E.AT2	SF_1.1772_CHICHI_KAU054-E.AT2	SF_1.1772_CHICHI_KAU054-E.AT2
13	SF_1.1748_CHICHI05_KAU054-E.AT2	SF_1.1748_CHICHI05_KAU054-E.AT2	SF_1.1748_CHICHI05_KAU054-E.AT2	SF_1.2008_DINAR_IZ2090.AT2	SF_1.1600_CHICHI02_TCU071-E.AT2	SF_1.1800_CHICHI04_CHY024-E.AT2	SF_1.1800_CHICHI04_CHY024-E.AT2	SF_1.1800_CHICHI04_CHY024-E.AT2	SF_1.1800_CHICHI04_CHY024-E.AT2
14	SF_1.1840_DINAR_IZ2090.AT2	SF_1.1840_DINAR_IZ2090.AT2	SF_1.1840_DINAR_IZ2090.AT2	SF_1.2126_CHICHI_KAU054-E.AT2	SF_1.1698_CHICHI_KAU054-E.AT2	SF_1.2047_CHICHI02_TCU071-E.AT2	SF_1.2047_CHICHI02_TCU071-E.AT2	SF_1.2047_CHICHI02_TCU071-E.AT2	SF_1.2047_CHICHI02_TCU071-E.AT2
15	SF_1.2092_CHICHI_KAU054-E.AT2	SF_1.2092_CHICHI_KAU054-E.AT2	SF_1.2092_CHICHI_KAU054-E.AT2	SF_1.2142_CHICHI05_HWA005-N.AT2	SF_1.1700_LANDERS_PLCO00.AT2	SF_1.2049_HECTOR_0533a270.AT2	SF_1.2049_HECTOR_0533a270.AT2	SF_1.2049_HECTOR_0533a270.AT2	SF_1.2049_HECTOR_0533a270.AT2
16	SF_1.2223_CHICHI05_HWA005-N.AT2	SF_1.2223_CHICHI05_HWA005-N.AT2	SF_1.2223_CHICHI05_HWA005-N.AT2	SF_1.2602_BIGBEAR_JTS090.AT2	SF_1.1912_CHICHI05_KAU054-E.AT2	SF_1.2116_LOMAP_WVC270.AT2	SF_1.2116_LOMAP_WVC270.AT2	SF_1.2116_LOMAP_WVC270.AT2	SF_1.2116_LOMAP_WVC270.AT2
17	SF_1.2556_BIGBEAR_JTS090.AT2	SF_1.2556_BIGBEAR_JTS090.AT2	SF_1.2556_BIGBEAR_JTS090.AT2	SF_1.2842_HECTOR_0533a270.AT2	SF_1.1913_CHICHI06_CHY107-N.AT2	SF_1.2336_CHICHI05_KAU054-E.AT2	SF_1.2336_CHICHI05_KAU054-E.AT2	SF_1.2336_CHICHI05_KAU054-E.AT2	SF_1.2336_CHICHI05_KAU054-E.AT2
18	SF_1.2754_HECTOR_0533a270.AT2	SF_1.2754_HECTOR_0533a270.AT2	SF_1.2754_HECTOR_0533a270.AT2	SF_1.3162_CHICHI06_CHY107-N.AT2	SF_1.1915_CHICHI04_CHY024-E.AT2	SF_1.2387_CHICHI06_TCU061-E.AT2	SF_1.2387_CHICHI06_TCU061-E.AT2	SF_1.2387_CHICHI06_TCU061-E.AT2	SF_1.2387_CHICHI06_TCU061-E.AT2
19	SF_1.2948_CHICHI06_CHY107-N.AT2	SF_1.2948_CHICHI06_CHY107-N.AT2	SF_1.2948_CHICHI06_CHY107-N.AT2	SF_1.3349_CHICHI_HWA025-E.AT2	SF_1.2623_CHICHI05_HWA005-N.AT2	SF_1.2907_BIGBEAR_JTS090.AT2	SF_1.2907_BIGBEAR_JTS090.AT2	SF_1.2907_BIGBEAR_JTS090.AT2	SF_1.2907_BIGBEAR_JTS090.AT2
20	SF_1.3539_CHICHI04_CHY024-E.AT2	SF_1.3539_CHICHI04_CHY024-E.AT2	SF_1.3539_CHICHI04_CHY024-E.AT2	SF_1.375_CHICHI04_CHY024-E.AT2	SF_1.2655_BIGBEAR_JTS090.AT2	SF_1.3061_CHICHI05_HWA005-N.AT2	SF_1.3061_CHICHI05_HWA005-N.AT2	SF_1.3061_CHICHI05_HWA005-N.AT2	SF_1.3061_CHICHI05_HWA005-N.AT2
Aydın Yapı		Gedikbulak_3D		20_Katlı_3D_Yapı		24_Katlı_2D_CSW			
1	SF_0.9563_CHICHI04_TCU138-N.AT2	SF_1.2096_ITALY_B-TRC000.AT2	SF_1.2096_ITALY_B-TRC000.AT2	SF_0.9143_NWCHINA1_J405N270.AT2	SF_1.0916_CHICHI06_CHY107-N.AT2	SF_1.0916_CHICHI06_CHY107-N.AT2	SF_1.0916_CHICHI06_CHY107-N.AT2	SF_1.0916_CHICHI06_CHY107-N.AT2	SF_1.0916_CHICHI06_CHY107-N.AT2
2	SF_1.0098_CHICHI03_TCU061-E.AT2	SF_1.2142_NORTHR_WWJ180.AT2	SF_1.2142_NORTHR_WWJ180.AT2	SF_0.9653_BIGBEAR_SB2360.AT2	SF_1.1364_CHICHI03_TCU061-E.AT2	SF_1.1364_CHICHI03_TCU061-E.AT2	SF_1.1364_CHICHI03_TCU061-E.AT2	SF_1.1364_CHICHI03_TCU061-E.AT2	SF_1.1364_CHICHI03_TCU061-E.AT2
3	SF_1.0157_HECTOR_0533a270.AT2	SF_1.267_ITALY_A-TRC000.AT2	SF_1.267_ITALY_A-TRC000.AT2	SF_0.9885_KOCAELI_AFY000.AT2	SF_1.1954_CHICHI06_TCU138-N.AT2	SF_1.1954_CHICHI06_TCU138-N.AT2	SF_1.1954_CHICHI06_TCU138-N.AT2	SF_1.1954_CHICHI06_TCU138-N.AT2	SF_1.1954_CHICHI06_TCU138-N.AT2
4	SF_1.0215_CHICHI04_CHY028-E.AT2	SF_1.2914_NCALIF_E-HCH181.AT2	SF_1.2914_NCALIF_E-HCH181.AT2	SF_1.0081_CHICHI06_CHY076-E.AT2	SF_1.2102_CHICHI06_TCU061-E.AT2	SF_1.2102_CHICHI06_TCU061-E.AT2	SF_1.2102_CHICHI06_TCU061-E.AT2	SF_1.2102_CHICHI06_TCU061-E.AT2	SF_1.2102_CHICHI06_TCU061-E.AT2
5	SF_1.0221_LOMAP_BV7220.AT2	SF_1.2946_CHICHI05_TCU067-E.AT2	SF_1.2946_CHICHI05_TCU067-E.AT2	SF_1.049_CHICHI02_TCU059-E.AT2	SF_1.2227_LOMAP_BV7220.AT2	SF_1.2227_LOMAP_BV7220.AT2	SF_1.2227_LOMAP_BV7220.AT2	SF_1.2227_LOMAP_BV7220.AT2	SF_1.2227_LOMAP_BV7220.AT2
6	SF_1.0352_CHICHI06_TCU138-N.AT2	SF_1.3261_MANJIL_187178.AT2	SF_1.3261_MANJIL_187178.AT2	SF_1.0596_CHICHI06_CHY107-N.AT2	SF_1.2372_CHICHI06_CHY099-N.AT2	SF_1.2372_CHICHI06_CHY099-N.AT2	SF_1.2372_CHICHI06_CHY099-N.AT2	SF_1.2372_CHICHI06_CHY099-N.AT2	SF_1.2372_CHICHI06_CHY099-N.AT2
7	SF_1.0383_LIVERMOR_A-ANT270.AT2	SF_1.4035_CHICHI02_TCU071-E.AT2	SF_1.4035_CHICHI02_TCU071-E.AT2	SF_1.0726_BIGBEAR_MCY090.AT2	SF_1.2575_CHICHI04_TCU122-E.AT2	SF_1.2575_CHICHI04_TCU122-E.AT2	SF_1.2575_CHICHI04_TCU122-E.AT2	SF_1.2575_CHICHI04_TCU122-E.AT2	SF_1.2575_CHICHI04_TCU122-E.AT2
8	SF_1.0699_CHICHI06_CHY099-N.AT2	SF_1.4086_NORTHR_ACI000.AT2	SF_1.4086_NORTHR_ACI000.AT2	SF_1.084_BIGBEAR_SAC090.AT2	SF_1.2619_KOCAELI_BRN090.AT2	SF_1.2619_KOCAELI_BRN090.AT2	SF_1.2619_KOCAELI_BRN090.AT2	SF_1.2619_KOCAELI_BRN090.AT2	SF_1.2619_KOCAELI_BRN090.AT2
9	SF_1.0898_HECTOR_0292a360.AT2	SF_1.4234_HECTOR_24763090.AT2	SF_1.4234_HECTOR_24763090.AT2	SF_1.084_CHICHI06_TCU061-E.AT2	SF_1.2837_LOMAP_CFH090.AT2	SF_1.2837_LOMAP_CFH090.AT2	SF_1.2837_LOMAP_CFH090.AT2	SF_1.2837_LOMAP_CFH090.AT2	SF_1.2837_LOMAP_CFH090.AT2
10	SF_1.1058_KOCAELI_BRN090.AT2	SF_1.4554_CHICHI05_KAU054-E.AT2	SF_1.4554_CHICHI05_KAU054-E.AT2	SF_1.1017_KOCAELI_BRN090.AT2	SF_1.2844_BIGBEAR_MCY090.AT2	SF_1.2844_BIGBEAR_MCY090.AT2	SF_1.2844_BIGBEAR_MCY090.AT2	SF_1.2844_BIGBEAR_MCY090.AT2	SF_1.2844_BIGBEAR_MCY090.AT2
11	SF_1.1082_CHICHI06_CHY058-E.AT2	SF_1.5022_NORTH151_ANAVE090.AT2	SF_1.5022_NORTH151_ANAVE090.AT2	SF_1.1061_COALINGA_A-YUB350.AT2	SF_1.3068_HECTOR_0292a360.AT2	SF_1.3068_HECTOR_0292a360.AT2	SF_1.3068_HECTOR_0292a360.AT2	SF_1.3068_HECTOR_0292a360.AT2	SF_1.3068_HECTOR_0292a360.AT2
12	SF_1.1788_CHICHI05_CHY054-E.AT2	SF_1.5186_CHICHI05_HWA005-N.AT2	SF_1.5186_CHICHI05_HWA005-N.AT2	SF_1.1145_KOZANI_KAS--LAT2	SF_1.3214_CHICHI06_HWA014-E.AT2	SF_1.3214_CHICHI06_HWA014-E.AT2	SF_1.3214_CHICHI06_HWA014-E.AT2	SF_1.3214_CHICHI06_HWA014-E.AT2	SF_1.3214_CHICHI06_HWA014-E.AT2
13	SF_1.1832_CHICHI04_TCU084-E.AT2	SF_1.5232_CHICHI03_TCU120-E.AT2	SF_1.5232_CHICHI03_TCU120-E.AT2	SF_1.1243_CHICHI05_TTN044-N.AT2	SF_1.3237_CHICHI06_TCU140-W.AT2	SF_1.3237_CHICHI06_TCU140-W.AT2	SF_1.3237_CHICHI06_TCU140-W.AT2	SF_1.3237_CHICHI06_TCU140-W.AT2	SF_1.3237_CHICHI06_TCU140-W.AT2
14	SF_1.2333_CHICHI04_CHY044-N.AT2	SF_1.5267_CHICHI02_TCU129-E.AT2	SF_1.5267_CHICHI02_TCU129-E.AT2	SF_1.1262_SFERN_CSM185.AT2	SF_1.3300_CHICHI04_TCU084-E.AT2	SF_1.3300_CHICHI04_TCU084-E.AT2	SF_1.3300_CHICHI04_TCU084-E.AT2	SF_1.3300_CHICHI04_TCU084-E.AT2	SF_1.3300_CHICHI04_TCU084-E.AT2
15	SF_1.272_KOZANI_KAS--LAT2	SF_1.5338_LIVERMOR_A-ANT270.AT2	SF_1.5338_LIVERMOR_A-ANT270.AT2	SF_1.1443_HECTOR_0292a360.AT2	SF_1.3547_CHICHI06_CHY058-E.AT2	SF_1.3547_CHICHI06_CHY058-E.AT2	SF_1.3547_CHICHI06_CHY058-E.AT2	SF_1.3547_CHICHI06_CHY058-E.AT2	SF_1.3547_CHICHI06_CHY058-E.AT2
16	SF_1.2735_CHICHI04_CHY087-N.AT2	SF_1.5351_NORTH392_ELIZL090.AT2	SF_1.5351_NORTH392_ELIZL090.AT2	SF_1.1637_HECTOR_0533a270.AT2	SF_1.3555_HECTOR_0530a270.AT2	SF_1.3555_HECTOR_0530a270.AT2	SF_1.3555_HECTOR_0530a270.AT2	SF_1.3555_HECTOR_0530a270.AT2	SF_1.3555_HECTOR_0530a270.AT2
17	SF_1.3203_CHICHI05_CHY099-N.AT2	SF_1.5397_NORTH001_CASTA090.AT2	SF_1.5397_NORTH001_CASTA090.AT2	SF_1.1663_DINAR_IZ2090.AT2	SF_1.388_NEWZEAL_B-MAT083.AT2	SF_1.388_NEWZEAL_B-MAT083.AT2	SF_1.388_NEWZEAL_B-MAT083.AT2	SF_1.388_NEWZEAL_B-MAT083.AT2	SF_1.388_NEWZEAL_B-MAT083.AT2
18	SF_1.3445_CHICHI_CHY079-N.AT2	SF_1.5939_SFERN_TEH180.AT2	SF_1.5939_SFERN_TEH180.AT2	SF_1.1729_CHICHI02_TCU052-E.AT2	SF_1.5145_CHICHI03_TCU070-E.AT2	SF_1.5145_CHICHI03_TCU070-E.AT2	SF_1.5145_CHICHI03_TCU070-E.AT2	SF_1.5145_CHICHI03_TCU070-E.AT2	SF_1.5145_CHICHI03_TCU070-E.AT2
19	SF_1.3466_CHICHI05_TCU117-E.AT2	SF_1.6124_BORREGO_A-ELC180.AT2	SF_1.6124_BORREGO_A-ELC180.AT2	SF_1.2467_CHICHI_KAU054-E.AT2	SF_1.5312_CHICHI05_CHY099-N.AT2	SF_1.5312_CHICHI05_CHY099-N.AT2	SF_1.5312_CHICHI05_CHY099-N.AT2	SF_1.5312_CHICHI05_CHY099-N.AT2	SF_1.5312_CHICHI05_CHY099-N.AT2
20	SF_1.3559_CHICHI05_CHY015-N.AT2	SF_1.6666_ANZA_RDA045.AT2	SF_1.6666_ANZA_RDA045.AT2	SF_1.3085_CHICHI03_TCU070-E.AT2	SF_1.6096_CHICHI_CHY079-N.AT2	SF_1.6096_CHICHI_CHY079-N.AT2	SF_1.6096_CHICHI_CHY079-N.AT2	SF_1.6096_CHICHI_CHY079-N.AT2	SF_1.6096_CHICHI_CHY079-N.AT2

Çizelge A.1 (devam): Analizlerde Kullanılan depremlerin isimleri ve ölççek katsayıları listesi.

Muğla Merkez, 1. Derece Deprem Bölgesi, ZC Zemin Sınıfı, DD_1				
PFN_4_1	PFN_5_1	PFN_6_1	PFN_8_2	Prefabrik Yapı
1 SF_2.0077_CHICHI_TCU094-N.AT2	SF_2.0077_CHICHI_TCU094-N.AT2	SF_1.6612_CHICHI_TCU042-N.AT2	SF_1.6824_NORTHR_STM090.AT2	SF_1.7031_IMPVALL_H-E03140.AT2
2 SF_2.0724_NORTHR_PHP270.AT2	SF_2.0724_NORTHR_PHP270.AT2	SF_1.6679_MANJIL_189132.AT2	SF_1.6956_IMPVALL_H-E03140.AT2	SF_1.7352_NORTHR_STM090.AT2
3 SF_2.201_LOMAP_SSF115.AT2	SF_2.201_LOMAP_SSF115.AT2	SF_1.6946_UPLAND_UP90S-H2.AT2	SF_1.7857_CHICHI_TCU042-N.AT2	SF_1.7888_HECTOR_32577360.AT2
4 SF_2.2129_COALINGA_D-PVP360.AT2	SF_2.2129_COALINGA_D-PVP360.AT2	SF_1.7093_IMPVALL_H-E03140.AT2	SF_1.8305_HECTOR_32577360.AT2	SF_1.8527_CHICHI_TCU042-N.AT2
5 SF_2.2312_KOCAELI_DHM000.AT2	SF_2.2312_KOCAELI_DHM000.AT2	SF_1.723_NORTHR_MRP180.AT2	SF_1.8497_IMPVALL_H-E04140.AT2	SF_1.8612_NORTHR_MRP180.AT2
6 SF_2.3322_CHICHI_CHY101-E.AT2	SF_2.3322_CHICHI_CHY101-E.AT2	SF_1.7641_WHITTIER_A-BAD000.AT2	SF_1.8648_WHITTIER_A-BAD000.AT2	SF_1.8843_LOMAP_CLS090.AT2
7 SF_2.3338_SUPERST_B-BRA315.AT2	SF_2.3338_SUPERST_B-BRA315.AT2	SF_1.7846_CHICHI03_TCU129-E.AT2	SF_1.8671_MORGAN_G04360.AT2	SF_1.8931_MORGAN_G04360.AT2
8 SF_2.3446_LOMAP_OLEM000.AT2	SF_2.3446_LOMAP_OLEM000.AT2	SF_1.8464_LOMAP_CLS090.AT2	SF_1.8688_LOMAP_CLS090.AT2	SF_1.9006_NORTHR_PHP270.AT2
9 SF_2.3667_WHITTIER_A-BUE340.AT2	SF_2.3667_WHITTIER_A-BUE340.AT2	SF_1.8736_COALINGA_H-CAK270.AT2	SF_1.8874_NORTHR_PHP270.AT2	SF_1.9542_LOMAP_SSF115.AT2
10 SF_2.4145_CHICHI_TTN051-N.AT2	SF_2.4145_CHICHI_TTN051-N.AT2	SF_1.899_CHICHI_TCU094-N.AT2	SF_1.9202_LOMAP_HCH180.AT2	SF_2.0448_CHICHI_TCU094-N.AT2
11 SF_2.4192_KOCAELI_USK090.AT2	SF_2.4192_KOCAELI_USK090.AT2	SF_1.9053_FRIULI_A-TMZ000.AT2	SF_1.9661_CHICHI03_TCU129-E.AT2	SF_2.0796_CHICHI03_TCU129-E.AT2
12 SF_2.4223_LOMAP_WDS000.AT2	SF_2.4223_LOMAP_WDS000.AT2	SF_1.9638_NORTHR_PHP270.AT2	SF_1.9869_CHICHI_TCU094-N.AT2	SF_2.1026_SUPERST_B-BRA315.AT2
13 SF_2.455_LANDERS_CAS000.AT2	SF_2.455_LANDERS_CAS000.AT2	SF_1.9907_NORTHR_PAR--L.AT2	SF_1.9951_LOMAP_SSF115.AT2	SF_2.1262_KOCAELI_DHM000.AT2
14 SF_2.4841_IMPVALL_H-E01140.AT2	SF_2.4841_IMPVALL_H-E01140.AT2	SF_2.0087_NORTHR_STC180.AT2	SF_2.0909_SUPERST_B-BRA315.AT2	SF_2.1612_NWCHINA2_X4060000.AT2
15 SF_2.4911_CHICHI_CHY041-E.AT2	SF_2.4911_CHICHI_CHY041-E.AT2	SF_2.0265_HECTOR_32577360.AT2	SF_2.1098_LOMAP_G03000.AT2	SF_2.1841_NORTHR_PAR--L.AT2
16 SF_2.5958_SUPERST_B-ICC000.AT2	SF_2.5958_SUPERST_B-ICC000.AT2	SF_2.0712_CHICHI06_TCU078-N.AT2	SF_2.1112_NORTHR_PAR--L.AT2	SF_2.204_CHICHI_CHY101-E.AT2
17 SF_2.6029_CHICHI_CHY024-E.AT2	SF_2.6029_CHICHI_CHY024-E.AT2	SF_2.1727_IMPVALL_H-ECC002.AT2	SF_2.1425_NWCHINA2_X4060000.AT2	SF_2.2418_LOMAP_RIN090.AT2
18 SF_2.698_KOCAELI_MSK000.AT2	SF_2.698_KOCAELI_MSK000.AT2	SF_2.1792_IMPVALL_H-E10050.AT2	SF_2.2569_IMPVALL_H-E10050.AT2	SF_2.2574_IMPVALL_H-E10050.AT2
19 SF_2.7777_FRIULI_A-FLT270.AT2	SF_2.7777_FRIULI_A-FLT270.AT2	SF_2.2036_CHICHI_TCU075-N.AT2	SF_2.3026_IMPVALL_H-ECC002.AT2	SF_2.343_CHICHI_CHY024-E.AT2
20 SF_2.8722_TABAS_BAJ-T1.AT2	SF_2.8722_TABAS_BAJ-T1.AT2	SF_2.4559_IMPVALL_H-E01230.AT2	SF_2.4403_IMPVALL_H-E01230.AT2	SF_2.4322_IMPVALL_H-E01230.AT2
Aydın Üniv. Yapısı	Gedikbulak_3D	20 Katlı_3D_Yapı	24 Katlı_2D_CSW	
1 SF_3.0366_NORTHR_CAT090.AT2	SF_2.0933_IMPVALL_H-E04140.AT2	SF_2.2132_KOCAELI_USK090.AT2	SF_2.8968_NORTHR_CAT090.AT2	
2 SF_3.1428_COALINGA_H-Z16090.AT2	SF_2.1477_COALINGA_D-PVP360.AT2	SF_2.258_CHICHI_CHY101-E.AT2	SF_3.1454_CHICHI06_CHY024-E.AT2	
3 SF_3.1855_SFERN_PAS090.AT2	SF_2.152_CHICHI_TCU064-N.AT2	SF_2.3008_SUPERST_B-BRA315.AT2	SF_3.2098_CHICHI03_CHY028-E.AT2	
4 SF_3.3255_BORREGO_A-ELC180.AT2	SF_2.1631_UPLAND_UP90S-H2.AT2	SF_2.3071_CHICHI_TTN051-N.AT2	SF_3.2488_UPLAND_23525090.AT2	
5 SF_3.3298_CHICHI03_CHY028-E.AT2	SF_2.304_CHICHI_TCU094-N.AT2	SF_2.3272_LOMAP_G06000.AT2	SF_3.3687_ITALY_A-BRZ000.AT2	
6 SF_3.3452_LOMAP_DMH000.AT2	SF_2.3584_CHICHI06_TCU078-N.AT2	SF_2.3693_CHICHI_CHY024-E.AT2	SF_3.3762_CHICHI_HWA048-N.AT2	
7 SF_3.3672_CHICHI03_CHY104-N.AT2	SF_2.3879_IMPVALL_H-E03140.AT2	SF_2.4129_NORTHR_MRP180.AT2	SF_3.4349_CHICHI_TCU085-N.AT2	
8 SF_3.4423_CHICHI04_CHY015-N.AT2	SF_2.5298_WHITTIER_A-BAD000.AT2	SF_2.4413_LIVERMOR_B-SRM070.AT2	SF_3.573_LIVERMOR_A-FRE075.AT2	
9 SF_3.5955_CHICHI_HWA2-E.AT2	SF_2.5675_LOMAP_GGB270.AT2	SF_2.4692_CHICHI03_TCU129-E.AT2	SF_3.5806_NEWZEAL_A-MAR040.AT2	
10 SF_3.6988_CHICHI04_CHY101-E.AT2	SF_2.609_IMPVALL_H-ECC002.AT2	SF_2.6125_IMPVALL_H-E01140.AT2	SF_3.5883_CHICHI_HWA2-E.AT2	
11 SF_3.7352_CHICHI03_TCU115-E.AT2	SF_2.6127_NORTHR_PAR--L.AT2	SF_2.6243_KOCAELI_MSK000.AT2	SF_3.5894_WHITTIER_A-VER173.AT2	
12 SF_3.7417_COALINGA_H-GH3090.AT2	SF_2.6195_MORGAN_AGW240.AT2	SF_2.6965_KOCAELI_ATK000.AT2	SF_3.6167_NORTHR_MJH090.AT2	
13 SF_3.8283_CHALFANT_A-LAD180.AT2	SF_2.6401_IMPVALL_H-E01140.AT2	SF_2.7016_TABAS_BOS-L1.AT2	SF_3.6327_LANDERS_H05000.AT2	
14 SF_3.8658_LANDERS_29P000.AT2	SF_2.714_CHICHI_TCU075-N.AT2	SF_2.7481_SMART1_45001EW.AT2	SF_3.7041_LOMAP_DMH000.AT2	
15 SF_3.8919_CHICHI_ILA012-N.AT2	SF_2.7723_WESTMORL_WSM090.AT2	SF_2.8278_CHICHI_TAW-N.AT2	SF_3.8462_CHALFANT_A-LAD180.AT2	
16 SF_3.9795_CHICHI_TAP041-E.AT2	SF_2.8105_LOMAP_SSF115.AT2	SF_2.8407_MANAGUA_B-MAN180.AT2	SF_3.8479_CHICHI06_CHY028-E.AT2	
17 SF_4.0243_NEWZEAL_A-MAR040.AT2	SF_2.8498_TABAS_BAJ-T1.AT2	SF_2.8476_IMPVALL_H-CXO225.AT2	SF_3.9178_CHICHI04_CHY101-E.AT2	
18 SF_4.2196_CHICHI_ILA027-E.AT2	SF_2.863_NORTHR_TUJ262.AT2	SF_2.8649_NORTHR_CDF090.AT2	SF_4.1335_CHICHI_HWA033-E.AT2	
19 SF_4.3134_CHICHI_NCU-E.AT2	SF_3.0079_KOCAELI_MSK000.AT2	SF_3.0048_COALINGA_H-Z16090.AT2	SF_4.1802_NORTHR_BIR090.AT2	
20 SF_4.3697_CHICHI_ILA016-N.AT2	SF_3.268_WHITTIER_A-BUE340.AT2	SF_3.231_NORTHR_TUJ262.AT2	SF_4.3847_LOMAP_ADL250.AT2	

Çizelge A.1 (devam): Analizlerde Kullanılan depremlerin isimleri ve ölççek katsayıları listesi.

Muğla Merkez, 1. Derece Deprem Bölgesi, ZC Zemin Sınıfı, DD_2

PFN_4_1		PFN_5_1		PFN_6_1		PFN_8_2		Prefabrik Yapı	
1	SF_1.022_CHICHI_TCU094-N.AT2	SF_1.022_CHICHI_TCU094-N.AT2	SF_1.072_CHICHI_TCU094-N.AT2	SF_1.9693_HECTOR_14840019.AT2	SF_1.0989_MORGAN_G04360.AT2				
2	SF_1.0461_MORGAN_G04360.AT2	SF_1.0461_MORGAN_G04360.AT2	SF_1.1965_LOMAP_SSF115.AT2	SF_2.0274_WHITTIER_A-L01090.AT2	SF_1.1033_NORTHR_PHP270.AT2				
3	SF_1.0549_NORTHR_PHP270.AT2	SF_1.0549_NORTHR_PHP270.AT2	SF_1.1973_KOCAELI_DHM000.AT2	SF_2.0455_CHICHI03_CHY024-E.AT2	SF_1.1213_WHITTIER_A-BAD000.AT2				
4	SF_1.0655_NORTHR_PAR--L.AT2	SF_1.0655_NORTHR_PAR--L.AT2	SF_1.2018_WHITTIER_A-CWC270.AT2	SF_2.0865_SKULLMT_Lsm7270.AT2	SF_1.1344_LOMAP_SSF115.AT2				
5	SF_1.0867_NORTHR_STC180.AT2	SF_1.0867_NORTHR_STC180.AT2	SF_1.2514_CHICHI_CHY101-E.AT2	SF_2.1312_CHICHI_NST-E.AT2	SF_1.187_CHICHI_TCU094-N.AT2				
6	SF_1.1204_LOMAP_SSF115.AT2	SF_1.1204_LOMAP_SSF115.AT2	SF_1.2645_SUPERST_B-BRA315.AT2	SF_2.1324_CHICHI_HWA005-N.AT2	SF_1.2071_CHICHI03_TCU129-E.AT2				
7	SF_1.1357_KOCAELI_DHM000.AT2	SF_1.1357_KOCAELI_DHM000.AT2	SF_1.2684_WHITTIER_A-BUE340.AT2	SF_2.1652_CHICHI06_CHY101-E.AT2	SF_1.2134_LOMAP_WDS000.AT2				
8	SF_1.1671_IMPVALL_H-ECC002.AT2	SF_1.1671_IMPVALL_H-ECC002.AT2	SF_1.2971_CHICHI_TTN051-N.AT2	SF_2.1848_IMPVALL_H-CMP015.AT2	SF_1.2205_SUPERST_B-BRA315.AT2				
9	SF_1.1738_IMPVALL_H-E10050.AT2	SF_1.1738_IMPVALL_H-E10050.AT2	SF_1.3041_KOCAELI_USK090.AT2	SF_2.1869_LANDERS_DEVO000.AT2	SF_1.2338_LOMAP_OLEM000.AT2				
10	SF_1.1748_NWCHINA2_X4060000.AT2	SF_1.1748_NWCHINA2_X4060000.AT2	SF_1.3097_LANDERS_CAS000.AT2	SF_2.1994_NORTHR_WAT270.AT2	SF_1.2342_KOCAELI_DHM000.AT2				
11	SF_1.1872_CHICHI_CHY101-E.AT2	SF_1.1872_CHICHI_CHY101-E.AT2	SF_1.3254_LOMAP_WDS000.AT2	SF_2.2396_LOMAP_ADL250.AT2	SF_1.2465_KOCAELI_USK090.AT2				
12	SF_1.188_SUPERST_B-BRA315.AT2	SF_1.188_SUPERST_B-BRA315.AT2	SF_1.3312_CHICHI_CHY041-E.AT2	SF_2.2405_SUPERST_B-SUP045.AT2	SF_1.2545_NWCHINA2_X4060000.AT2				
13	SF_1.2047_WHITTIER_A-BUE340.AT2	SF_1.2047_WHITTIER_A-BUE340.AT2	SF_1.3333_IMPVALL_H-E01140.AT2	SF_2.2443_CHICHI03_CHY101-E.AT2	SF_1.2702_SUPERST_B-ICC000.AT2				
14	SF_1.229_CHICHI_TTN051-N.AT2	SF_1.229_CHICHI_TTN051-N.AT2	SF_1.3497_LOMAP_RIN000.AT2	SF_2.3016_CHICHI06_CHY024-E.AT2	SF_1.2794_CHICHI_CHY101-E.AT2				
15	SF_1.2497_LANDERS_CAS000.AT2	SF_1.2497_LANDERS_CAS000.AT2	SF_1.4058_CHICHI_CHY024-E.AT2	SF_2.3431_CHICHI04_CHY101-E.AT2	SF_1.3187_CHICHI_TTN051-N.AT2				
16	SF_1.2645_IMPVALL_H-E01140.AT2	SF_1.2645_IMPVALL_H-E01140.AT2	SF_1.4087_SUPERST_B-ICC000.AT2	SF_2.3608_CHICHI03_TCU116-E.AT2	SF_1.334_CHICHI_TCU075-N.AT2				
17	SF_1.268_CHICHI_CHY041-E.AT2	SF_1.268_CHICHI_CHY041-E.AT2	SF_1.4587_KOCAELI_MSK000.AT2	SF_2.3802_CHICHI_TCU085-N.AT2	SF_1.3600_CHICHI_CHY024-E.AT2				
18	SF_1.2939_KOBE_HIK090.AT2	SF_1.2939_KOBE_HIK090.AT2	SF_1.484_FRIULI_A-FLT270.AT2	SF_2.417_CHICHI06_TCU122-E.AT2	SF_1.3935_KOBE_HIK090.AT2				
19	SF_1.3559_LOMAP_GGB270.AT2	SF_1.3559_LOMAP_GGB270.AT2	SF_1.5376_TABAS_BAJ-T1.AT2	SF_2.4532_SMART1_05I12EW.AT2	SF_1.419_LOMAP_RIN000.AT2				
20	SF_1.4162_CHICHI_TCU049-E.AT2	SF_1.4162_CHICHI_TCU049-E.AT2	SF_1.5432_MANAGUA_B-MAN180.AT2	SF_2.5464_CHICHI03_TCU138-N.AT2	SF_1.4394_IMPVALL_H-E01140.AT2				
Aydın Yapı		Gedikbulak_3D		20_Katlı_3D_Yapı		24_Katlı_2D_CSW			
1	SF_0.77248_LOMAP_GOF250.AT2	SF_0.87445_LOMAP_G02000.AT2	SF_0.7901_MORGAN_CLS220.AT2	SF_0.8370_LOMAP_GOF250.AT2					
2	SF_0.78665_DUZCE_ATS300.AT2	SF_0.91175_NORTHR_OAK170.AT2	SF_0.8002_NORTHR_OAK170.AT2	SF_0.8857_LOMAP_WDS090.AT2					
3	SF_0.81156_SUPERST_B-ICC000.AT2	SF_0.95598_NORTHR_LOA092.AT2	SF_0.8078_IMPVALL_H-ECC092.AT2	SF_0.8981_CHICHI_CHY006-N.AT2					
4	SF_0.82082_CHICHI_TCU119-N.AT2	SF_0.95722_CHICHI_TCU067-N.AT2	SF_0.8346_CHICHI_TCU076-E.AT2	SF_0.9121_CHICHI_CHY035-E.AT2					
5	SF_0.82504_CHICHI_TCU136-W.AT2	SF_0.98093_NORTHR_MRP180.AT2	SF_0.8413_CHICHI03_TCU076-E.AT2	SF_0.9134_IMPVALL_H-ECC092.AT2					
6	SF_0.8432_CHICHI_CHY024-E.AT2	SF_0.9821_CHICHI03_TCU129-E.AT2	SF_0.8494_IMPVALL_H-E04230.AT2	SF_0.9345_NORTHR_OAK170.AT2					
7	SF_0.8634_CHICHI_CHY006-N.AT2	SF_0.9891_CHICHI_TCU072-N.AT2	SF_0.8684_KOBE_ABN000.AT2	SF_0.9357_CHICHI_CHY036-E.AT2					
8	SF_0.86511_KOCAELI_DHM000.AT2	SF_0.9909_MANJIL_189132.AT2	SF_0.8704_CHICHI_CHY006-N.AT2	SF_0.9410_SUPERST_B-ICC000.AT2					
9	SF_0.89093_KOBE_CHY000.AT2	SF_1.0001_NORTHR_SUN280.AT2	SF_0.8949_LANDERS_CAS270.AT2	SF_0.9635_CHICHI_TCU119-N.AT2					
10	SF_0.91103_LOMAP_OLEM000.AT2	SF_1.0037_NORTHR_STM090.AT2	SF_0.9011_NORTHR_PIC090.AT2	SF_0.9742_NORTHR_LIT180.AT2					
11	SF_0.96868_CHICHI_TCU082-E.AT2	SF_1.0128_CHICHI_TCU042-N.AT2	SF_0.9176_LOMAP_WDS090.AT2	SF_0.9858_IMPVALL_H-E03140.AT2					
12	SF_0.99314_CHICHI_TCU-E.AT2	SF_1.0203_IMPVALL_H-ECC092.AT2	SF_0.9253_NORTHR_LIT180.AT2	SF_0.9939_NORTHR_PIC090.AT2					
13	SF_0.99338_IMPVALL_H-CX0315.AT2	SF_1.1123_IMPVALL_H-E04140.AT2	SF_0.9254_LOMAP_G01090.AT2	SF_1.0101_LOMAP_SSF115.AT2					
14	SF_0.99804_CHICHI_TCU055-E.AT2	SF_1.1251_NORTHR_ORR360.AT2	SF_0.9256_IMPVALL_H-E03140.AT2	SF_1.0199_CHICHI_TCU070-E.AT2					
15	SF_1.0052_LANDERS_WST000.AT2	SF_1.1412_COALINGA_D-PVP360.AT2	SF_0.9724_HECTOR_32577360.AT2	SF_1.0393_CHICHI_CHY024-E.AT2					
16	SF_1.0101_CHICHI_TCU057-N.AT2	SF_1.1435_CHICHI_TCU064-N.AT2	SF_1.0470_IMPVALL_H-E04140.AT2	SF_1.0474_KOCAELI_DHM000.AT2					
17	SF_1.0132_CHICHI_CHY074-E.AT2	SF_1.1494_UPLAND_UP90S-H2.AT2	SF_1.0556_LOMAP_CLS090.AT2	SF_1.0864_LOMAP_G02090.AT2					
18	SF_1.0278_IMPVALL_H-E01230.AT2	SF_1.1626_CHICHI_TCU065-E.AT2	SF_1.1027_KOCAELI_DHM000.AT2	SF_1.1533_LOMAP_HCH180.AT2					
19	SF_1.0497_LOMAP_GOF160.AT2	SF_1.1928_IMPVALL_H-E07140.AT2	SF_1.1113_CHICHI_TCU045-E.AT2	SF_1.1620_IMPVALL_H-E13140.AT2					
20	SF_1.1076_IMPVALL_H-E13140.AT2	SF_1.2243_CHICHI_TCU094-N.AT2	SF_1.1115_LOMAP_HCH180.AT2	SF_1.1668_LOMAP_GOF160.AT2					

Çizelge A.1 (devam): Analizlerde Kullanılan depremlerin isimleri ve ölççek katsayıları listesi.

Sakarya Merkez, 1. Derece Deprem Bölgesi, ZC Zemin Sınıfı, DD_1

PFN_4_1		PFN_5_1		PFN_6_1		PFN_8_2		Prefabrik Yapı	
1	SF_5.3601_LIVERMOR_B-FRE075.AT2	SF_5.3601_LIVERMOR_B-FRE075.AT2	SF_5.4289_LIVERMOR_B-FRE075.AT2	SF_5.6813_WHITTIER_A-VER173.AT2	SF_5.7066_CHICHIO3_TCU075-E.AT2				
2	SF_5.5476_WHITTIER_A-VER173.AT2	SF_5.5476_WHITTIER_A-VER173.AT2	SF_5.6375_WHITTIER_A-VER173.AT2	SF_5.7038_LIVERMOR_B-FRE075.AT2	SF_5.7481_WHITTIER_A-VER173.AT2				
3	SF_5.6115_NORTHR_MJH090.AT2	SF_5.6115_NORTHR_MJH090.AT2	SF_5.7478_NORTHR_MJH090.AT2	SF_5.7217_CHICHIO3_TCU075-E.AT2	SF_5.8136_LIVERMOR_B-FRE075.AT2				
4	SF_5.6907_CHICHIO3_TCU075-E.AT2	SF_5.6907_CHICHIO3_TCU075-E.AT2	SF_5.8039_CHICHIO3_TCU075-E.AT2	SF_5.9858_NWCHINA2_J4060270.AT2	SF_6.1293_NWCHINA2_J4060270.AT2				
5	SF_5.9217_CHICHIO6_TCU129-E.AT2	SF_5.9217_CHICHIO6_TCU129-E.AT2	SF_5.9693_CHICHIO6_TCU129-E.AT2	SF_6.4972_CHICHI_HWA2-E.AT2	SF_6.2652_UPLAND_23525090.AT2				
6	SF_6.2675_SFERN_PAS090.AT2	SF_6.2675_SFERN_PAS090.AT2	SF_6.5598_COALINGA_H-SC4090.AT2	SF_6.5632_UPLAND_23525090.AT2	SF_6.3088_SFERN_MA3220.AT2				
7	SF_6.4379_COALINGA_H-SC4090.AT2	SF_6.4379_COALINGA_H-SC4090.AT2	SF_6.5852_CHICHIO3_TCU122-E.AT2	SF_6.719_HECTOR_14840019.AT2	SF_6.3702_CHICHI_HWA2-E.AT2				
8	SF_6.6412_WHITTIER_A-L01090.AT2	SF_6.6412_WHITTIER_A-L01090.AT2	SF_6.7212_CHICHI_NST-E.AT2	SF_6.755_NORTHR_LV3090.AT2	SF_6.4408_HECTOR_14840019.AT2				
9	SF_6.662_CHICHI_NST-E.AT2	SF_6.662_CHICHI_NST-E.AT2	SF_6.7539_WHITTIER_A-L01090.AT2	SF_6.9172_WHITTIER_A-L01090.AT2	SF_6.7113_CHICHIO3_CHY024-E.AT2				
10	SF_6.7287_COALINGA_H-PG6090.AT2	SF_6.7287_COALINGA_H-PG6090.AT2	SF_6.8263_SKULLMT_Lsm7270.AT2	SF_6.9792_CHICHIO3_CHY024-E.AT2	SF_6.9199_CHICHIO6_CHY101-E.AT2				
11	SF_6.7359_SKULLMT_Lsm7270.AT2	SF_6.7359_SKULLMT_Lsm7270.AT2	SF_6.8742_COALINGA_H-PG6090.AT2	SF_7.1188_SKULLMT_Lsm7270.AT2	SF_7.026_HECTOR_22161090.AT2				
12	SF_6.823_HECTOR_14840019.AT2	SF_6.823_HECTOR_14840019.AT2	SF_6.9794_HECTOR_14840019.AT2	SF_7.2065_HECTOR_22161090.AT2	SF_7.0422_WHITTIER_A-L01090.AT2				
13	SF_7.0309_CHICHI_HWA033-E.AT2	SF_7.0309_CHICHI_HWA033-E.AT2	SF_7.156_CHICHIO3_CHY024-E.AT2	SF_7.2713_CHICHI_NST-E.AT2	SF_7.0427_CHICHI_HWA005-N.AT2				
14	SF_7.0802_UPLAND_23525090.AT2	SF_7.0802_UPLAND_23525090.AT2	SF_7.2051_IMPVALH_H-CMP015.AT2	SF_7.2756_CHICHI_HWA005-N.AT2	SF_7.1521_CHICHIO3_CHY101-E.AT2				
15	SF_7.0923_IMPVALH_H-CMP015.AT2	SF_7.0923_IMPVALH_H-CMP015.AT2	SF_7.2376_NORTHR_WAT270.AT2	SF_7.4617_LANDERS_DEV000.AT2	SF_7.2061_SKULLMT_Lsm7270.AT2				
16	SF_7.1048_NORTHR_WAT270.AT2	SF_7.1048_NORTHR_WAT270.AT2	SF_7.2717_UPLAND_23525090.AT2	SF_7.5043_NORTHR_WAT270.AT2	SF_7.2455_CHICHIO6_CHY024-E.AT2				
17	SF_7.3636_LANDERS_DEV000.AT2	SF_7.3636_LANDERS_DEV000.AT2	SF_7.4995_LANDERS_DEV000.AT2	SF_7.6414_LOMAP_ADL250.AT2	SF_7.4331_CHICHIO4_CHY101-E.AT2				
18	SF_7.4059_LOMAP_ADL250.AT2	SF_7.4059_LOMAP_ADL250.AT2	SF_7.5153_LOMAP_ADL250.AT2	SF_7.6574_CHICHIO3_CHY101-E.AT2	SF_7.4456_LANDERS_DEV000.AT2				
19	SF_7.9647_HOLLISTR_A-SJB123.AT2	SF_7.9647_HOLLISTR_A-SJB123.AT2	SF_8.1794_CHICHIO4_CHY101-E.AT2	SF_7.8527_CHICHIO6_CHY024-E.AT2	SF_7.4763_CHICHI_NST-E.AT2				
20	SF_8.3525_LIVERMOR_A-ANT360.AT2	SF_8.3525_LIVERMOR_A-ANT360.AT2	SF_8.1911_CHICHIO3_CHY101-E.AT2	SF_7.9945_CHICHIO4_CHY101-E.AT2	SF_7.5888_NORTHR_WAT270.AT2				
Aydn Üniv. Yapısı		Gedikbulak_3D		20_Katlı_3D_Yapı		24_Katlı_2D_CSW			
1	SF_1.9498_IMPVALH_H-E03230.AT2	SF_6.537_CHICHI_NST-E.AT2	SF_3.2401_IMPVALH_H-E03140.AT2	SF_5.8476_CHICHI_HWA048-N.AT2					
2	SF_1.9798_CHICHI_CHY028-E.AT2	SF_6.7474_WHITTIER_A-FLO020.AT2	SF_3.3758_LOMAP_CHO7000.AT2	SF_6.1885_LIVERMOR_A-FRE075.AT2					
3	SF_2.0243_LOMAP_HDA165.AT2	SF_7.0499_CHALFANT_A-LAD180.AT2	SF_3.4526_UPLAND_UP90S-H2.AT2	SF_6.2017_NEWZEAL_A-MAR040.AT2					
4	SF_2.0263_KOCAELI_USK180.AT2	SF_7.106_COALINGA_H-C4A090.AT2	SF_3.5341_LOMAP_SSF115.AT2	SF_6.6616_CHALFANT_A-LAD180.AT2					
5	SF_2.1062_CHICHI_TTN051-N.AT2	SF_7.1918_LIVERMOR_B-FRE075.AT2	SF_3.6794_LOMAP_WDS000.AT2	SF_6.7045_LOMAP_TLH000.AT2					
6	SF_2.1781_CHICHI_TCU071-N.AT2	SF_7.4008_SKULLMT_Lsm7270.AT2	SF_3.695_LOMAP_CLS090.AT2	SF_6.7857_CHICHIO4_CHY101-E.AT2					
7	SF_2.2432_CHICHI_TCU067-E.AT2	SF_7.5643_WHITTIER_A-ARL270.AT2	SF_3.860_KOCAELI_DHM000.AT2	SF_6.9498_FRIULI_A-FLT270.AT2					
8	SF_2.2671_CHICHI_CHY006-W.AT2	SF_7.6079_HECTOR_32577090.AT2	SF_3.8891_NORTHR_PHP270.AT2	SF_6.9993_CHICHIO4_CHY015-N.AT2					
9	SF_2.2674_KOBE_ABN090.AT2	SF_7.663_WHITTIER_A-WPA150.AT2	SF_3.966_KOCAELI_USK090.AT2	SF_7.0206_COALINGA_H-SC4090.AT2					
10	SF_2.3471_LOMAP_WDS090.AT2	SF_7.6881_ITALY_A-BOV000.AT2	SF_4.0373_SUPERST_B-WLF225.AT2	SF_7.1593_CHICHI_HWA033-E.AT2					
11	SF_2.3712_MANJIL_190024.AT2	SF_7.7891_BIGBEAR_DHP090.AT2	SF_4.0462_CHICHI_CHY101-E.AT2	SF_7.2402_NORTHR_BIR090.AT2					
12	SF_2.4465_KOCAELI_DHM090.AT2	SF_8.0164_PALMSPR_H05360.AT2	SF_4.0573_LOMAP_GMR000.AT2	SF_7.2414_CHICHI_CHY065-E.AT2					
13	SF_2.475_LOMAP_GOF250.AT2	SF_8.1359_LANDERS_WST000.AT2	SF_4.123_SUPERST_B-BRA315.AT2	SF_7.4281_LANDERS_29P000.AT2					
14	SF_2.4825_CHICHI_TCU070-N.AT2	SF_8.1782_WHITTIER_A-VER173.AT2	SF_4.1342_CHICHI_TTN051-N.AT2	SF_7.5547_CHICHI_ILA027-E.AT2					
15	SF_2.5200_CHICHI_TCU076-E.AT2	SF_8.2189_LOMAP_MCH000.AT2	SF_4.2457_CHICHI_CHY024-E.AT2	SF_7.6113_CHICHI_HWA055-N.AT2					
16	SF_2.5663_IMPVALH_H-E13230.AT2	SF_8.6809_HECTOR_14840019.AT2	SF_4.2487_LOMAP_OLEM000.AT2	SF_7.6467_CHICHI_TAP041-E.AT2					
17	SF_2.5751_SUPERST_B-ICC000.AT2	SF_8.8119_CHICHIO4_CHY101-E.AT2	SF_4.832_KOCAELI_ATK000.AT2	SF_7.723_NORTHR_SAN180.AT2					
18	SF_2.592_IMPVALH_H-EDA270.AT2	SF_8.8587_CHICHI_CHY074-E.AT2	SF_4.8411_TABAS_BOS-L1.AT2	SF_7.7522_KOCAELI_BTS000.AT2					
19	SF_2.7163_KOCAELI_DHM000.AT2	SF_8.8599_CHICHIO5_TCU061-E.AT2	SF_4.8421_CHICHI_TCU081-N.AT2	SF_7.8509_CHICHIO4_CHY088-N.AT2					
20	SF_2.7904_IMPVALH_H-E04140.AT2	SF_9.0678_NORTHR_WAT270.AT2	SF_5.0905_MANAGUA_B-MAN180.AT2	SF_8.2852_NORTHR_WAT270.AT2					

Çizelge A.1 (devam): Analizlerde Kullanılan depremlerin isimleri ve ölçek katsayıları listesi.

Sakarya Merkez, 1. Derece Deprem Bölgesi, ZC Zemin Sınıfı, DD_2

PFN_4_1		PFN_5_1		PFN_6_1		PFN_8_2		Prefabrik Yapı	
1	SF_2.0046_MORGAN_G04360.AT2	SF_2.0046_MORGAN_G04360.AT2	SF_2.0115_CHICHI_TCU094-N.AT2	SF_3.0868_NEWZEAL_A-MAR040.AT2	SF_4.8807_CHICHI_HWA055-N.AT2				
2	SF_2.0215_NORTH_PHP270.AT2	SF_2.0215_NORTH_PHP270.AT2	SF_2.0801_NORTH_PHP270.AT2	SF_3.2852_WHITTIER_A-VER173.AT2	SF_4.9030_CHICHI03_TCU138-N.AT2				
3	SF_2.1470_LOMAP_SSF115.AT2	SF_2.1470_LOMAP_SSF115.AT2	SF_2.0983_MORGAN_G04360.AT2	SF_3.2982_LIVERMOR_B-FRE075.AT2	SF_5.0862_CHICHI_CHY052-N.AT2				
4	SF_2.1586_COALINGA_D-PVP360.AT2	SF_2.1586_COALINGA_D-PVP360.AT2	SF_2.2067_COALINGA_D-PVP360.AT2	SF_3.3086_CHICHI03_TCU075-E.AT2	SF_5.2127_CHICHI04_CHY086-E.AT2				
5	SF_2.1764_KOCAELI_DHM000.AT2	SF_2.1764_KOCAELI_DHM000.AT2	SF_2.245_LOMAP_SSF115.AT2	SF_3.3089_CHALFANT_A-LAD180.AT2	SF_5.2938_WHITTIER_A-WPA150.AT2				
6	SF_2.2513_NWCHINA2_X4060000.AT2	SF_2.2513_NWCHINA2_X4060000.AT2	SF_2.2464_KOCAELI_DHM000.AT2	SF_3.3689_CHICHI03_CHY028-E.AT2	SF_5.3129_LANDERS_29P000.AT2				
7	SF_2.2765_SUPERST_B-BRA315.AT2	SF_2.2765_SUPERST_B-BRA315.AT2	SF_2.348_CHICHI_CHY101-E.AT2	SF_3.3823_LOMAP_SUF090.AT2	SF_5.3449_LANDERS_NHO180.AT2				
8	SF_2.2871_LOMAP_OLEM000.AT2	SF_2.2871_LOMAP_OLEM000.AT2	SF_2.3726_SUPERST_B-BRA315.AT2	SF_3.4613_NWCHINA2_J4060270.AT2	SF_5.3864_HECTOR_0589a230.AT2				
9	SF_2.3087_WHITTIER_A-BUE340.AT2	SF_2.3087_WHITTIER_A-BUE340.AT2	SF_2.3799_WHITTIER_A-BUE340.AT2	SF_3.5414_SFERN_MA3220.AT2	SF_5.4346_CHALFANT_D-LAD180.AT2				
10	SF_2.3598_KOCAELI_USK090.AT2	SF_2.3598_KOCAELI_USK090.AT2	SF_2.4139_LOMAP_OLEM000.AT2	SF_3.757_CHICHI_HWA2-E.AT2	SF_5.4898_WHITTIER_A-ARL270.AT2				
11	SF_2.3629_LOMAP_WDS000.AT2	SF_2.3629_LOMAP_WDS000.AT2	SF_2.4338_CHICHI_TTN051-N.AT2	SF_3.7952_UPLAND_23525090.AT2	SF_5.5211_ITALY_B-TRC000.AT2				
12	SF_2.3947_LANDERS_CAS000.AT2	SF_2.3947_LANDERS_CAS000.AT2	SF_2.447_KOCAELI_USK090.AT2	SF_3.906_NORTH_LV3090.AT2	SF_5.5657_PALMSPR_NPS300.AT2				
13	SF_2.4232_IMPVAL_H-E01140.AT2	SF_2.4232_IMPVAL_H-E01140.AT2	SF_2.4574_LANDERS_CAS000.AT2	SF_3.9998_WHITTIER_A-L01090.AT2	SF_5.5871_NORTH_BER000.AT2				
14	SF_2.4300_CHICHI_CHY041-E.AT2	SF_2.4300_CHICHI_CHY041-E.AT2	SF_2.4869_LOMAP_WDS000.AT2	SF_4.0357_CHICHI03_CHY024-E.AT2	SF_5.9815_NORTH142_LATPL000.AT2				
15	SF_2.5321_SUPERST_B-ICC000.AT2	SF_2.5321_SUPERST_B-ICC000.AT2	SF_2.4977_CHICHI_CHY041-E.AT2	SF_4.1164_SKULLMT_Lsm7270.AT2	SF_6.0299_KOCAELI_CNK090.AT2				
16	SF_2.5983_LOMAP_GGB270.AT2	SF_2.5983_LOMAP_GGB270.AT2	SF_2.5018_IMPVAL_H-E01140.AT2	SF_4.1671_HECTOR_22161090.AT2	SF_6.3233_MANJIL_187178.AT2				
17	SF_2.6751_NEWZEAL_A-MAR130.AT2	SF_2.6751_NEWZEAL_A-MAR130.AT2	SF_2.6378_CHICHI_CHY024-E.AT2	SF_4.2046_CHICHI_NST-E.AT2	SF_6.3447_CHICHI06_CHY033-N.AT2				
18	SF_2.7095_FRIULI_A-FLT270.AT2	SF_2.7095_FRIULI_A-FLT270.AT2	SF_2.6431_SUPERST_B-ICC000.AT2	SF_4.3147_LANDERS_DEV000.AT2	SF_6.6279_CHICHI06_TCU059-E.AT2				
19	SF_2.7138_CHICHI_TCU049-E.AT2	SF_2.7138_CHICHI_TCU049-E.AT2	SF_2.7844_FRIULI_A-FLT270.AT2	SF_4.4186_LOMAP_ADL250.AT2	SF_6.7634_NWCHINA1_J405N270.AT2				
20	SF_2.8017_TABAS_BAJ-T1.AT2	SF_2.8017_TABAS_BAJ-T1.AT2	SF_2.885_TABAS_BAJ-T1.AT2	SF_4.4279_CHICHI03_CHY101-E.AT2	SF_7.1520_AQABA_EIL-EW.AT2				
Aydın Yapı		Gedikbulak_3D		20_Katlı_3D_Yapı		24_Katlı_2D_CSW			
1	SF_1.8812_CHICHI_CHY074-E.AT2	SF_2.2371_COALINGA_D-PVP360.AT2	SF_2.9414_CHICHI06_TCU078-E.AT2	SF_1.9674_CHICHI_CHY074-E.AT2					
2	SF_1.8948_LOMAP_MCH090.AT2	SF_2.2415_CHICHI_TCU064-N.AT2	SF_3.1944_LOMAP_MCH000.AT2	SF_1.9838_IMPVAL_H-E13140.AT2					
3	SF_1.9237_LOMAP_G02090.AT2	SF_2.2531_UPLAND_UP90S-H2.AT2	SF_3.2607_NEWZEAL_A-MAR040.AT2	SF_1.9922_LOMAP_GOF160.AT2					
4	SF_1.9489_LOMAP_GOF160.AT2	SF_2.3122_CHICHI03_TCU076-E.AT2	SF_3.2645_LOMAP_SUF090.AT2	SF_2.0035_NORTH_PHP270.AT2					
5	SF_2.0253_WESTMORL_BRA315.AT2	SF_2.400_CHICHI_TCU094-N.AT2	SF_3.2919_NORTH_MJH090.AT2	SF_2.0549_SUPERST_B-BRA315.AT2					
6	SF_2.0304_CHICHI_ALS-E.AT2	SF_2.4873_IMPVAL_H-E03140.AT2	SF_3.3193_FRIULI_A-FLT270.AT2	SF_2.1062_CHICHI_ALS-E.AT2					
7	SF_2.0565_IMPVAL_H-E13140.AT2	SF_2.4986_HECTOR_32577360.AT2	SF_3.322_CHICHI03_CHY028-E.AT2	SF_2.1136_WESTMORL_BRA315.AT2					
8	SF_2.0968_SUPERST_B-BRA315.AT2	SF_2.5807_LOMAP_CLS090.AT2	SF_3.3888_BIGBEAR_DHP090.AT2	SF_2.1174_LOMAP_G06000.AT2					
9	SF_2.122_NCALIF_F-FRN225.AT2	SF_2.6744_LOMAP_GGB270.AT2	SF_3.4001_CHICHI06_CHY015-N.AT2	SF_2.1794_LOMAP_GMR000.AT2					
10	SF_2.1387_CHICHI_TCU081-N.AT2	SF_2.7176_IMPVAL_H-ECC002.AT2	SF_3.4247_UPLAND_23525090.AT2	SF_2.2626_LIVERMOR_B-SRM070.AT2					
11	SF_2.2363_CHICHI_TAW-N.AT2	SF_2.7285_MORGAN_AGW240.AT2	SF_3.434_NORTH_GLP177.AT2	SF_2.2933_KOBE_TOT000.AT2					
12	SF_2.2583_KOBE_TOT000.AT2	SF_2.7500_IMPVAL_H-E01140.AT2	SF_3.4928_CHICHI03_TCU075-E.AT2	SF_2.3239_LOMAP_SJW160.AT2					
13	SF_2.3224_CHICHI_TCU060-N.AT2	SF_2.7883_LANDERS_CAS000.AT2	SF_3.5316_CHICHI06_TCU065-E.AT2	SF_2.3556_IMPVAL_H-E01140.AT2					
14	SF_2.4579_IMPVAL_H-E01140.AT2	SF_2.8270_CHICHI_TCU075-N.AT2	SF_3.6016_HECTOR_14840019.AT2	SF_2.3584_CHICHI_TAW-N.AT2					
15	SF_2.516_KOCAELI_ATK000.AT2	SF_2.9275_LOMAP_SSF115.AT2	SF_3.6992_CHICHI_HWA048-N.AT2	SF_2.4319_CHICHI03_TCU129-E.AT2					
16	SF_2.5349_CHICHI03_TCU122-E.AT2	SF_2.9685_TABAS_BAJ-T1.AT2	SF_3.7055_CHICHI_HWA2-E.AT2	SF_2.4442_SMART1_45001EW.AT2					
17	SF_2.5505_SMART1_45E01NS.AT2	SF_2.9821_NORTH_TUJ262.AT2	SF_3.7259_COALINGA_H-SC4090.AT2	SF_2.5096_KOCAELI_ATK000.AT2					
18	SF_2.5509_SMART1_40O01NS.AT2	SF_3.0605_FRIULI_A-FLT270.AT2	SF_3.8023_NWCHINA2_J4060270.AT2	SF_2.5581_CHICHI_TCU060-N.AT2					
19	SF_2.6143_CHICHI_CHY047-N.AT2	SF_3.1252_NORTH_WIL180.AT2	SF_3.8744_COALINGA_H-PG6090.AT2	SF_2.614_NORTH_CDF090.AT2					
20	SF_2.8246_TABAS_BOS-L1.AT2	SF_3.404_WHITTIER_A-BUE340.AT2	SF_3.9016_CHALFANT_A-LAD180.AT2	SF_2.6854_TABAS_BOS-L1.AT2					

Çizelge A.1 (devam): Analizlerde Kullanılan depremlerin isimleri ve ölççek katsayıları listesi.

Van Erciş, 1. Derece Deprem Bölgesi, ZC Zemin Sınıfı, DD_1

PFN_4_1		PFN_5_1		PFN_6_1		PFN_8_2		Prefabrik Yapı	
1	SF_1.9024_KOCAELI_USK090.AT2	SF_1.9024_KOCAELI_USK090.AT2	SF_1.9024_KOCAELI_USK090.AT2	SF_1.9126_KOCAELI_USK090.AT2	SF_1.881_WHITTIER_A-BUE340.AT2	SF_1.881_WHITTIER_A-BUE340.AT2	SF_1.9139_WHITTIER_A-BUE340.AT2	SF_1.9139_WHITTIER_A-BUE340.AT2	SF_1.9139_WHITTIER_A-BUE340.AT2
2	SF_1.9535_IMPVALH_H-E01140.AT2	SF_1.9535_IMPVALH_H-E01140.AT2	SF_1.9535_IMPVALH_H-E01140.AT2	SF_1.9208_LANDERS_CAS000.AT2	SF_1.9427_CHICHI_CHY024-E.AT2	SF_1.9427_CHICHI_CHY024-E.AT2	SF_1.9633_LOMAP_RIN000.AT2	SF_1.9633_LOMAP_RIN000.AT2	SF_1.9633_LOMAP_RIN000.AT2
3	SF_1.9919_LOMAP_RIN000.AT2	SF_1.9919_LOMAP_RIN000.AT2	SF_1.9919_LOMAP_RIN000.AT2	SF_1.9555_IMPVALH_H-E01140.AT2	SF_1.9671_LOMAP_RIN000.AT2	SF_1.9671_LOMAP_RIN000.AT2	SF_1.9916_IMPVALH_H-E01140.AT2	SF_1.9916_IMPVALH_H-E01140.AT2	SF_1.9916_IMPVALH_H-E01140.AT2
4	SF_2.0468_CHICHI_CHY024-E.AT2	SF_2.0468_CHICHI_CHY024-E.AT2	SF_2.0468_CHICHI_CHY024-E.AT2	SF_1.9795_LOMAP_RIN000.AT2	SF_1.9924_IMPVALH_H-E01140.AT2	SF_1.9924_IMPVALH_H-E01140.AT2	SF_2.0303_CHICHI_TCU119-N.AT2	SF_2.0303_CHICHI_TCU119-N.AT2	SF_2.0303_CHICHI_TCU119-N.AT2
5	SF_2.0781_NORTHR_WPI316.AT2	SF_2.0781_NORTHR_WPI316.AT2	SF_2.0781_NORTHR_WPI316.AT2	SF_2.0621_NORTHR_WPI316.AT2	SF_2.0039_LANDERS_CAS000.AT2	SF_2.0039_LANDERS_CAS000.AT2	SF_2.031_KOCAELI_MSK000.AT2	SF_2.031_KOCAELI_MSK000.AT2	SF_2.031_KOCAELI_MSK000.AT2
6	SF_2.1216_KOCAELI_MSK000.AT2	SF_2.1216_KOCAELI_MSK000.AT2	SF_2.1216_KOCAELI_MSK000.AT2	SF_2.1432_MORGAN_AGW240.AT2	SF_2.0573_KOCAELI_MSK000.AT2	SF_2.0573_KOCAELI_MSK000.AT2	SF_2.0621_LANDERS_CAS000.AT2	SF_2.0621_LANDERS_CAS000.AT2	SF_2.0621_LANDERS_CAS000.AT2
7	SF_2.1316_CHICHI06_TCU078-E.AT2	SF_2.1316_CHICHI06_TCU078-E.AT2	SF_2.1316_CHICHI06_TCU078-E.AT2	SF_2.146_CHICHI06_TCU078-E.AT2	SF_2.0801_COALINGA_H-C4A090.AT2	SF_2.0801_COALINGA_H-C4A090.AT2	SF_2.0829_COALINGA_H-C4A090.AT2	SF_2.0829_COALINGA_H-C4A090.AT2	SF_2.0829_COALINGA_H-C4A090.AT2
8	SF_2.1661_MORGAN_AGW240.AT2	SF_2.1661_MORGAN_AGW240.AT2	SF_2.1661_MORGAN_AGW240.AT2	SF_2.1683_IMPVALH_H-E13140.AT2	SF_2.0997_CHICHI06_TCU078-E.AT2	SF_2.0997_CHICHI06_TCU078-E.AT2	SF_2.1056_LOMAP_SJW160.AT2	SF_2.1056_LOMAP_SJW160.AT2	SF_2.1056_LOMAP_SJW160.AT2
9	SF_2.1718_COALINGA_H-C4A090.AT2	SF_2.1718_COALINGA_H-C4A090.AT2	SF_2.1718_COALINGA_H-C4A090.AT2	SF_2.1764_FRIULI_A-FLT270.AT2	SF_2.1194_CHICHI_TCU119-N.AT2	SF_2.1194_CHICHI_TCU119-N.AT2	SF_2.1222_CHICHI06_TCU078-E.AT2	SF_2.1222_CHICHI06_TCU078-E.AT2	SF_2.1222_CHICHI06_TCU078-E.AT2
10	SF_2.1843_FRIULI_A-FLT270.AT2	SF_2.1843_FRIULI_A-FLT270.AT2	SF_2.1843_FRIULI_A-FLT270.AT2	SF_2.1878_COALINGA_H-C4A090.AT2	SF_2.1566_LOMAP_SJW160.AT2	SF_2.1566_LOMAP_SJW160.AT2	SF_2.1483_WHITTIER_A-CYP143.AT2	SF_2.1483_WHITTIER_A-CYP143.AT2	SF_2.1483_WHITTIER_A-CYP143.AT2
11	SF_2.2349_LANDERS_WST000.AT2	SF_2.2349_LANDERS_WST000.AT2	SF_2.2349_LANDERS_WST000.AT2	SF_2.2762_LANDERS_WST000.AT2	SF_2.2158_NORTHR_WPI316.AT2	SF_2.2158_NORTHR_WPI316.AT2	SF_2.1588_CHICHI_TAW-N.AT2	SF_2.1588_CHICHI_TAW-N.AT2	SF_2.1588_CHICHI_TAW-N.AT2
12	SF_2.3242_CHICHI_TCU119-N.AT2	SF_2.3242_CHICHI_TCU119-N.AT2	SF_2.3242_CHICHI_TCU119-N.AT2	SF_2.3905_LOMAP_SJW160.AT2	SF_2.226_FRIULI_A-FLT270.AT2	SF_2.226_FRIULI_A-FLT270.AT2	SF_2.2508_HECTOR_32577090.AT2	SF_2.2508_HECTOR_32577090.AT2	SF_2.2508_HECTOR_32577090.AT2
13	SF_2.4371_NORTHR_CAT090.AT2	SF_2.4371_NORTHR_CAT090.AT2	SF_2.4371_NORTHR_CAT090.AT2	SF_2.445_NORTHR_CAT090.AT2	SF_2.2287_CHICHI_TAW-N.AT2	SF_2.2287_CHICHI_TAW-N.AT2	SF_2.2535_FRIULI_A-FLT270.AT2	SF_2.2535_FRIULI_A-FLT270.AT2	SF_2.2535_FRIULI_A-FLT270.AT2
14	SF_2.4745_NEWZEAL_A-MAR040.AT2	SF_2.4745_NEWZEAL_A-MAR040.AT2	SF_2.4745_NEWZEAL_A-MAR040.AT2	SF_2.4704_NEWZEAL_A-MAR040.AT2	SF_2.2865_HECTOR_32577090.AT2	SF_2.2865_HECTOR_32577090.AT2	SF_2.3279_NORTHR_WPI316.AT2	SF_2.3279_NORTHR_WPI316.AT2	SF_2.3279_NORTHR_WPI316.AT2
15	SF_2.549_HECTOR_32577090.AT2	SF_2.549_HECTOR_32577090.AT2	SF_2.549_HECTOR_32577090.AT2	SF_2.4707_WESTMORL_BRA315.AT2	SF_2.4058_NORTHR_CAT090.AT2	SF_2.4058_NORTHR_CAT090.AT2	SF_2.3347_WESTMORL_BRA315.AT2	SF_2.3347_WESTMORL_BRA315.AT2	SF_2.3347_WESTMORL_BRA315.AT2
16	SF_2.5524_LIVERMOR_B-FRE075.AT2	SF_2.5524_LIVERMOR_B-FRE075.AT2	SF_2.5524_LIVERMOR_B-FRE075.AT2	SF_2.5347_LOMAP_SGI270.AT2	SF_2.4068_WESTMORL_BRA315.AT2	SF_2.4068_WESTMORL_BRA315.AT2	SF_2.3827_NORTHR_CAT090.AT2	SF_2.3827_NORTHR_CAT090.AT2	SF_2.3827_NORTHR_CAT090.AT2
17	SF_2.5535_LOMAP_SGI270.AT2	SF_2.5535_LOMAP_SGI270.AT2	SF_2.5535_LOMAP_SGI270.AT2	SF_2.5432_LIVERMOR_B-FRE075.AT2	SF_2.4441_DUZCE_1061-N.AT2	SF_2.4441_DUZCE_1061-N.AT2	SF_2.4179_DUZCE_1061-N.AT2	SF_2.4179_DUZCE_1061-N.AT2	SF_2.4179_DUZCE_1061-N.AT2
18	SF_2.6065_CHALFANT_A-LAD180.AT2	SF_2.6065_CHALFANT_A-LAD180.AT2	SF_2.6065_CHALFANT_A-LAD180.AT2	SF_2.6077_CHALFANT_A-LAD180.AT2	SF_2.4605_NEWZEAL_A-MAR040.AT2	SF_2.4605_NEWZEAL_A-MAR040.AT2	SF_2.4374_NEWZEAL_A-MAR040.AT2	SF_2.4374_NEWZEAL_A-MAR040.AT2	SF_2.4374_NEWZEAL_A-MAR040.AT2
19	SF_2.6712_SFERN_MA3220.AT2	SF_2.6712_SFERN_MA3220.AT2	SF_2.6712_SFERN_MA3220.AT2	SF_2.6559_SFERN_MA3220.AT2	SF_2.4638_NORTHR_MJH090.AT2	SF_2.4638_NORTHR_MJH090.AT2	SF_2.4599_NORTHR_MJH090.AT2	SF_2.4599_NORTHR_MJH090.AT2	SF_2.4599_NORTHR_MJH090.AT2
20	SF_2.6721_NORTHR_MJH090.AT2	SF_2.6721_NORTHR_MJH090.AT2	SF_2.6721_NORTHR_MJH090.AT2	SF_2.6926_NORTHR_MJH090.AT2	SF_2.6792_LOMAP_SGI270.AT2	SF_2.6792_LOMAP_SGI270.AT2	SF_2.6364_CHICHI03_TCU075-E.AT2	SF_2.6364_CHICHI03_TCU075-E.AT2	SF_2.6364_CHICHI03_TCU075-E.AT2
Aydın Üniv. Yapısı		Gedikbulak_3D		20_Katlı_3D_Yapı		24_Katlı_2D_CSW			
1	SF_2.174_CHICHI03_TCU122-E.AT2	SF_2.2859_LANDERS_CAS000.AT2	SF_2.1198_IMPVALH_H-E01140.AT2	SF_2.3917_SMART1_33001NS.AT2	SF_2.3917_SMART1_33001NS.AT2	SF_2.3917_SMART1_33001NS.AT2	SF_2.4238_SMART1_40E01NS.AT2	SF_2.4238_SMART1_40E01NS.AT2	SF_2.4238_SMART1_40E01NS.AT2
2	SF_2.2846_CHICHI03_TCU116-E.AT2	SF_2.4000_LOMAP_SSF115.AT2	SF_2.1294_KOCAELI_MSK000.AT2	SF_2.4238_SMART1_40E01NS.AT2	SF_2.4238_SMART1_40E01NS.AT2	SF_2.4238_SMART1_40E01NS.AT2	SF_2.4359_SMART1_40C00NS.AT2	SF_2.4359_SMART1_40C00NS.AT2	SF_2.4359_SMART1_40C00NS.AT2
3	SF_2.2877_CHICHI_HWA011-N.AT2	SF_2.4695_KOCAELI_DHM000.AT2	SF_2.1879_KOCAELI_ATK000.AT2	SF_2.4359_SMART1_40C00NS.AT2	SF_2.4359_SMART1_40C00NS.AT2	SF_2.4359_SMART1_40C00NS.AT2	SF_2.451_KOCAELI_IST090.AT2	SF_2.451_KOCAELI_IST090.AT2	SF_2.451_KOCAELI_IST090.AT2
4	SF_2.3143_KOCAELI_IST090.AT2	SF_2.509_FRIULI_A-FLT270.AT2	SF_2.2945_CHICHI_TAW-N.AT2	SF_2.451_KOCAELI_IST090.AT2	SF_2.451_KOCAELI_IST090.AT2	SF_2.451_KOCAELI_IST090.AT2	SF_2.4531_SMART1_40001NS.AT2	SF_2.4531_SMART1_40001NS.AT2	SF_2.4531_SMART1_40001NS.AT2
5	SF_2.364_CHICHI_TAP010-E.AT2	SF_2.5685_KOCAELI_MSK000.AT2	SF_2.2977_LOMAP_RIN000.AT2	SF_2.4531_SMART1_40001NS.AT2	SF_2.4531_SMART1_40001NS.AT2	SF_2.4531_SMART1_40001NS.AT2	SF_2.4741_SMART1_45E01NS.AT2	SF_2.4741_SMART1_45E01NS.AT2	SF_2.4741_SMART1_45E01NS.AT2
6	SF_2.3949_CHICHI06_CHY024-E.AT2	SF_2.6721_NORTHR_NYA180.AT2	SF_2.3106_IMPVALH_H-CXO225.AT2	SF_2.4741_SMART1_45E01NS.AT2	SF_2.4741_SMART1_45E01NS.AT2	SF_2.4741_SMART1_45E01NS.AT2	SF_2.4886_SMART1_45M07EW.AT2	SF_2.4886_SMART1_45M07EW.AT2	SF_2.4886_SMART1_45M07EW.AT2
7	SF_2.4537_SUPERST_B-IVW090.AT2	SF_2.6917_PARKF_C12320.AT2	SF_2.3246_NORTHR_CDF090.AT2	SF_2.4886_SMART1_45M07EW.AT2	SF_2.4886_SMART1_45M07EW.AT2	SF_2.4886_SMART1_45M07EW.AT2	SF_2.5061_CHICHI03_TCU122-E.AT2	SF_2.5061_CHICHI03_TCU122-E.AT2	SF_2.5061_CHICHI03_TCU122-E.AT2
8	SF_2.5192_CHICHI_ILA044-W.AT2	SF_2.7503_CHICHI02_TCU079-E.AT2	SF_2.3534_WESTMORL_BRA315.AT2	SF_2.5061_CHICHI03_TCU122-E.AT2	SF_2.5061_CHICHI03_TCU122-E.AT2	SF_2.5061_CHICHI03_TCU122-E.AT2	SF_2.5272_COALINGA_H-Z16090.AT2	SF_2.5272_COALINGA_H-Z16090.AT2	SF_2.5272_COALINGA_H-Z16090.AT2
9	SF_2.5776_MANJIL_188310.AT2	SF_2.7761_NEWZEAL_A-MAR040.AT2	SF_2.3916_COALINGA_H-C4A090.AT2	SF_2.5272_COALINGA_H-Z16090.AT2	SF_2.5272_COALINGA_H-Z16090.AT2	SF_2.5272_COALINGA_H-Z16090.AT2	SF_2.5903_CHICHI_ILA013-N.AT2	SF_2.5903_CHICHI_ILA013-N.AT2	SF_2.5903_CHICHI_ILA013-N.AT2
10	SF_2.679_CHICHI_TAP014-E.AT2	SF_2.8537_SFERN_MA3220.AT2	SF_2.393_IMPVALH_H-CC4045.AT2	SF_2.5903_CHICHI_ILA013-N.AT2	SF_2.5903_CHICHI_ILA013-N.AT2	SF_2.5903_CHICHI_ILA013-N.AT2	SF_2.5932_CHICHI_HWA014-N.AT2	SF_2.5932_CHICHI_HWA014-N.AT2	SF_2.5932_CHICHI_HWA014-N.AT2
11	SF_2.7163_UPLAND_23525090.AT2	SF_2.889_CHICHI_TTN051-N.AT2	SF_2.4381_COALINGA_H-Z16090.AT2	SF_2.5932_CHICHI_HWA014-N.AT2	SF_2.5932_CHICHI_HWA014-N.AT2	SF_2.5932_CHICHI_HWA014-N.AT2	SF_2.7083_CHICHI_TAP095-E.AT2	SF_2.7083_CHICHI_TAP095-E.AT2	SF_2.7083_CHICHI_TAP095-E.AT2
12	SF_2.7194_LANDERS_H05000.AT2	SF_2.9042_CHICHI_CHY101-E.AT2	SF_2.5212_CHICHI06_TCU078-E.AT2	SF_2.7083_CHICHI_TAP095-E.AT2	SF_2.7083_CHICHI_TAP095-E.AT2	SF_2.7083_CHICHI_TAP095-E.AT2	SF_2.823_SUPERST_B-IVW090.AT2	SF_2.823_SUPERST_B-IVW090.AT2	SF_2.823_SUPERST_B-IVW090.AT2
13	SF_2.7528_CHICHI06_CHY036-E.AT2	SF_2.9066_CHICHI03_CHY080-E.AT2	SF_2.5401_HECTOR_32577090.AT2	SF_2.823_SUPERST_B-IVW090.AT2	SF_2.823_SUPERST_B-IVW090.AT2	SF_2.823_SUPERST_B-IVW090.AT2	SF_2.8452_LOMAP_PJH315.AT2	SF_2.8452_LOMAP_PJH315.AT2	SF_2.8452_LOMAP_PJH315.AT2
14	SF_2.8628_CHICHI_HWA055-W.AT2	SF_2.9379_CHICHI_CHY024-E.AT2	SF_2.6363_NORTHR_CAT090.AT2	SF_2.8452_LOMAP_PJH315.AT2	SF_2.8452_LOMAP_PJH315.AT2	SF_2.8452_LOMAP_PJH315.AT2	SF_2.8723_CHICHI06_CHY036-E.AT2	SF_2.8723_CHICHI06_CHY036-E.AT2	SF_2.8723_CHICHI06_CHY036-E.AT2
15	SF_2.8875_HECTOR_22161090.AT2	SF_3.0146_CHICHI06_TCU129-E.AT2	SF_2.7519_CHICHI_NST-N.AT2	SF_2.8723_CHICHI06_CHY036-E.AT2	SF_2.8723_CHICHI06_CHY036-E.AT2	SF_2.8723_CHICHI06_CHY036-E.AT2	SF_2.8995_LOMAP_BVU220.AT2	SF_2.8995_LOMAP_BVU220.AT2	SF_2.8995_LOMAP_BVU220.AT2
16	SF_2.8943_LOMAP_DMH000.AT2	SF_3.0164_LOMAP_SGI270.AT2	SF_2.7949_NEWZEAL_A-MAR040.AT2	SF_2.8995_LOMAP_BVU220.AT2	SF_2.8995_LOMAP_BVU220.AT2	SF_2.8995_LOMAP_BVU220.AT2	SF_2.9372_UPLAND_23525090.AT2	SF_2.9372_UPLAND_23525090.AT2	SF_2.9372_UPLAND_23525090.AT2
17	SF_2.9057_CHICHI_HWA048-N.AT2	SF_3.1072_CHICHI_CHY034-N.AT2	SF_2.9204_IMPVALH_H-CMP285.AT2	SF_2.9372_UPLAND_23525090.AT2	SF_2.9372_UPLAND_23525090.AT2	SF_2.9372_UPLAND_23525090.AT2	SF_3.0524_CHICHI_HWA048-N.AT2	SF_3.0524_CHICHI_HWA048-N.AT2	SF_3.0524_CHICHI_HWA048-N.AT2
18	SF_2.9106_KOCAELI_BT5090.AT2	SF_3.1428_NWCHINA2_J4060270.AT2	SF_2.9403_CHICHI06_CHY036-E.AT2	SF_3.0524_CHICHI_HWA048-N.AT2	SF_3.0524_CHICHI_HWA048-N.AT2	SF_3.0524_CHICHI_HWA048-N.AT2	SF_3.2719_CHICHI_TCU026-N.AT2	SF_3.2719_CHICHI_TCU026-N.AT2	SF_3.2719_CHICHI_TCU026-N.AT2
19	SF_3.0538_HECTOR_11591090.AT2	SF_3.1547_CHICHI_NST-E.AT2	SF_2.9596_CHICHI03_CHY024-E.AT2	SF_3.2719_CHICHI_TCU026-N.AT2	SF_3.2719_CHICHI_TCU026-N.AT2	SF_3.2719_CHICHI_TCU026-N.AT2	SF_3.3299_CHICHI_CHY088-E.AT2	SF_3.3299_CHICHI_CHY088-E.AT2	SF_3.3299_CHICHI_CHY088-E.AT2
20	SF_3.058_SUPERST_B-SUP045.AT2	SF_3.2563_WHITTIER_A-FLO020.AT2	SF_2.9938_CHICHI03_TCU075-E.AT2	SF_3.3299_CHICHI_CHY088-E.AT2	SF_3.3299_CHICHI_CHY088-E.AT2	SF_3.3299_CHICHI_CHY088-E.AT2			

Çizelge A.1 (devam): Analizlerde Kullanılan depremlerin isimleri ve ölççek katsayıları listesi.

Van Erciş, 1. Derece Deprem Bölgesi, ZC Zemin Sınıfı, DD_2

PFN_4_1		PFN_5_1		PFN_6_1		PFN_8_2		Prefabrik Yapı	
1	SF_0.9529_COALINGA_D-PVP360.AT2	SF_0.9529_COALINGA_D-PVP360.AT2	SF_1.2644_NORTHTR_FIG328.AT2	SF_0.9152_KOCAELI_DHM000.AT2	SF_0.9912_CHICHI_TTN051-N.AT2				
2	SF_0.9938_NWCHINA2_X4060000.AT2	SF_0.9938_NWCHINA2_X4060000.AT2	SF_1.3957_LIVERMOR_B-FRE075.AT2	SF_0.9959_WHITTIER_A-BUE340.AT2	SF_1.0223_CHICHI_CHY024-E.AT2				
3	SF_1.0192_WHITTIER_A-BUE340.AT2	SF_1.0192_WHITTIER_A-BUE340.AT2	SF_1.3991_CHICHI03_TCU065-N.AT2	SF_1.0285_CHICHI_CHY024-E.AT2	SF_1.0398_WHITTIER_A-BUE340.AT2				
4	SF_1.0907_LOMAP_RIN000.AT2	SF_1.0907_LOMAP_RIN000.AT2	SF_1.404_NWCHINA2_J4060270.AT2	SF_1.0414_LOMAP_RIN000.AT2	SF_1.0666_LOMAP_RIN000.AT2				
5	SF_1.1537_CHICHI_NST-N.AT2	SF_1.1537_CHICHI_NST-N.AT2	SF_1.4082_PARKF_C12320.AT2	SF_1.0548_IMPVAL_H-E01140.AT2	SF_1.082_IMPVAL_H-E01140.AT2				
6	SF_1.163_WHITTIER_A-CYP143.AT2	SF_1.163_WHITTIER_A-CYP143.AT2	SF_1.4165_BIGBEAR_DHP090.AT2	SF_1.0609_LANDERS_CAS000.AT2	SF_1.1034_KOCAELI_MSK000.AT2				
7	SF_1.1673_CHICHI06_TCU078-E.AT2	SF_1.1673_CHICHI06_TCU078-E.AT2	SF_1.4304_CHICHI06_CHY088-N.AT2	SF_1.0892_KOCAELI_MSK000.AT2	SF_1.103_CHICHI_TCU119-N.AT2				
8	SF_1.1716_IMPVAL_H-E13140.AT2	SF_1.1716_IMPVAL_H-E13140.AT2	SF_1.4311_CHALFANT_A-LAD180.AT2	SF_1.1013_COALINGA_H-C4A090.AT2	SF_1.1203_LANDERS_CAS000.AT2				
9	SF_1.1893_COALINGA_H-C4A090.AT2	SF_1.1893_COALINGA_H-C4A090.AT2	SF_1.4316_IMPVAL_H-BCR230.AT2	SF_1.1116_CHICHI06_TCU078-E.AT2	SF_1.1316_COALINGA_H-C4A090.AT2				
10	SF_1.1961_FRIULI_A-FLT270.AT2	SF_1.1961_FRIULI_A-FLT270.AT2	SF_1.4484_CHICHI06_CHY041-N.AT2	SF_1.1198_WHITTIER_A-CYP143.AT2	SF_1.1439_LOMAP_SJW160.AT2				
11	SF_1.2558_NORTHTR_GLP177.AT2	SF_1.2558_NORTHTR_GLP177.AT2	SF_1.4493_WHITTIER_A-VER173.AT2	SF_1.1221_CHICHI_TCU119-N.AT2	SF_1.153_CHICHI06_TCU078-E.AT2				
12	SF_1.2655_NORTHTR_FIG328.AT2	SF_1.2655_NORTHTR_FIG328.AT2	SF_1.4784_WESTMORL_NIL000.AT2	SF_1.1418_LOMAP_SJW160.AT2	SF_1.1671_WHITTIER_A-CYP143.AT2				
13	SF_1.2858_LOMAP_SJW160.AT2	SF_1.2858_LOMAP_SJW160.AT2	SF_1.4892_WHITTIER_A-FEA090.AT2	SF_1.1785_FRIULI_A-FLT270.AT2	SF_1.1728_CHICHI_TAW-N.AT2				
14	SF_1.3043_WESTMORL_WSM090.AT2	SF_1.3043_WESTMORL_WSM090.AT2	SF_1.5197_BIGBEAR_DHP360.AT2	SF_1.2106_HECTOR_32577090.AT2	SF_1.2228_HECTOR_32577090.AT2				
15	SF_1.3111_LOMAP_AGW000.AT2	SF_1.3111_LOMAP_AGW000.AT2	SF_1.5278_CHICHI06_CHY036-E.AT2	SF_1.2737_NORTHTR_CAT090.AT2	SF_1.2243_FRIULI_A-FLT270.AT2				
16	SF_1.355_NEWZEAL_A-MAR040.AT2	SF_1.355_NEWZEAL_A-MAR040.AT2	SF_1.6488_SFERN_PAS090.AT2	SF_1.2743_WESTMORL_BRA315.AT2	SF_1.2684_WESTMORL_BRA315.AT2				
17	SF_1.3574_WESTMORL_BRA315.AT2	SF_1.3574_WESTMORL_BRA315.AT2	SF_1.6746_SMADRE_4734C270.AT2	SF_1.2759_TABAS_BAJ-T1.AT2	SF_1.2945_NORTHTR_CAT090.AT2				
18	SF_1.3977_LIVERMOR_B-FRE075.AT2	SF_1.3977_LIVERMOR_B-FRE075.AT2	SF_1.6815_LOMAP_A10000.AT2	SF_1.294_DUZCE_1061-N.AT2	SF_1.3136_DUZCE_1061-N.AT2				
19	SF_1.4744_WHITTIER_A-FEA090.AT2	SF_1.4744_WHITTIER_A-FEA090.AT2	SF_1.724_CHICHI_ILA067-E.AT2	SF_1.3027_NEWZEAL_A-MAR040.AT2	SF_1.3242_NEWZEAL_A-MAR040.AT2				
20	SF_1.4968_LOMAP_SUF180.AT2	SF_1.4968_LOMAP_SUF180.AT2	SF_1.8606_NORTHTR_WAT270.AT2	SF_1.3044_NORTHTR_MJH090.AT2	SF_1.3364_NORTHTR_MJH090.AT2				
Aydın Yapı		Gedikbulak_3D		20_Katlı_3D_Yapı		24_Katlı_2D_CSW			
1	SF_1.0647_IMPVAL_H-E01140.AT2	SF_1.1147_LOMAP_GGB270.AT2	SF_1.0667_NWCHINA2_X4060000.AT2	SF_1.0176_IMPVAL_H-E01140.AT2					
2	SF_1.0898_KOCAELI_ATK000.AT2	SF_1.1372_MORGAN_AGW240.AT2	SF_1.1373_LOMAP_TLH090.AT2	SF_1.0188_CHICHI_TAW-N.AT2					
3	SF_1.098_CHICHI03_TCU122-E.AT2	SF_1.1621_LANDERS_CAS000.AT2	SF_1.1747_LOMAP_SJW160.AT2	SF_1.0506_CHICHI03_TCU129-E.AT2					
4	SF_1.1048_SMART1_45E01NS.AT2	SF_1.2202_LOMAP_SSF115.AT2	SF_1.1788_SMART1_45O07EW.AT2	SF_1.0842_KOCAELI_ATK000.AT2					
5	SF_1.105_SMART1_40O01NS.AT2	SF_1.2372_TABAS_BAJ-T1.AT2	SF_1.2105_LOMAP_RIN000.AT2	SF_1.1059_SMART1_33O01NS.AT2					
6	SF_1.1333_CHICHI03_TCU116-E.AT2	SF_1.2555_KOCAELI_DHM000.AT2	SF_1.2399_WESTMORL_BRA315.AT2	SF_1.1292_NORTHTR_CDF090.AT2					
7	SF_1.1338_HECTOR_14840019.AT2	SF_1.2756_FRIULI_A-FLT270.AT2	SF_1.2600_COALINGA_H-C4A090.AT2	SF_1.1334_KOCAELI_IST090.AT2					
8	SF_1.1454_KOCAELI_IST090.AT2	SF_1.3023_CHICHI_CHY006-N.AT2	SF_1.2845_COALINGA_H-Z16090.AT2	SF_1.1344_SMART1_40O01NS.AT2					
9	SF_1.1729_NORTHTR_5081-270.AT2	SF_1.3025_NORTHTR_WIL180.AT2	SF_1.2853_NORTHTR_5081-270.AT2	SF_1.144_SMART1_45E01NS.AT2					
10	SF_1.2419_MANJIL_188310.AT2	SF_1.3058_KOCAELI_MSK000.AT2	SF_1.2865_COALINGA_D-PVP360.AT2	SF_1.1589_CHICHI03_TCU122-E.AT2					
11	SF_1.2644_CHICHI_TAP090-E.AT2	SF_1.3499_NORTHTR_GLE170.AT2	SF_1.3283_CHICHI06_TCU078-E.AT2	SF_1.1597_NORTHTR_5081-270.AT2					
12	SF_1.2646_COALINGA_H-C4A090.AT2	SF_1.3585_NORTHTR_NYA180.AT2	SF_1.3332_NORTHTR_FAI185.AT2	SF_1.1686_COALINGA_H-Z16090.AT2					
13	SF_1.2698_HECTOR_32577090.AT2	SF_1.3983_CHICHI02_TCU079-E.AT2	SF_1.3336_SMART1_45M07EW.AT2	SF_1.2027_COALINGA_H-C4A090.AT2					
14	SF_1.307_LOMAP_BVU220.AT2	SF_1.4187_WHITTIER_A-BUE340.AT2	SF_1.3382_HECTOR_32577090.AT2	SF_1.2108_IMPVAL_H-CC4045.AT2					
15	SF_1.331_UPLAND_23525090.AT2	SF_1.4508_SFERN_MA3220.AT2	SF_1.3386_NORTHTR_CAT180.AT2	SF_1.211_NORTHTR_CAT090.AT2					
16	SF_1.3483_CHICHI06_CHY036-E.AT2	SF_1.4688_CHICHI_TTN051-N.AT2	SF_1.3957_IMPVAL_H-BCR230.AT2	SF_1.2373_HECTOR_32577090.AT2					
17	SF_1.3902_CHICHI_TCU026-N.AT2	SF_1.4765_CHICHI_CHY101-E.AT2	SF_1.4124_LOMAP_SUF180.AT2	SF_1.283_HECTOR_14840019.AT2					
18	SF_1.4355_CHICHI_HWA048-N.AT2	SF_1.4777_CHICHI03_CHY080-E.AT2	SF_1.4146_ITALY_A-BRZ270.AT2	SF_1.3157_LOMAP_PJH315.AT2					
19	SF_1.4389_KOCAELI_BTS090.AT2	SF_1.5326_CHICHI06_TCU129-E.AT2	SF_1.4724_NEWZEAL_A-MAR040.AT2	SF_1.3408_LOMAP_BVU220.AT2					
20	SF_1.5298_HECTOR_11591090.AT2	SF_1.6406_CHICHI_TCU048-N.AT2	SF_1.5491_CHICHI06_CHY036-E.AT2	SF_1.4115_CHICHI_HWA048-N.AT2					

Çizelge A.1 (devam): Analizlerde Kullanılan depremlerin isimleri ve ölççek katsayıları listesi.

2007 Yönetmeliği, 2. Derece Deprem Bölgesi, ZC Zemin Sınıfı, DD_1

PFN_4_1		PFN_5_1		PFN_6_1		PFN_8_2		Prefabrik Yapı	
1	SF_0.98024_CHICHI_TCU067-N.AT2	SF_0.98024_CHICHI_TCU067-N.AT2	SF_0.98024_CHICHI_TCU067-N.AT2	SF_1.0141_CHICHI_TCU067-N.AT2	SF_1.0141_CHICHI_TCU067-N.AT2	SF_0.88851_CHICHI_TCU067-N.AT2	SF_0.88851_CHICHI_TCU067-N.AT2	SF_0.94412_NORTHR_OBR090.AT2	SF_0.94412_NORTHR_OBR090.AT2
2	SF_1.0481_NORTHR_SUN280.AT2	SF_1.0481_NORTHR_SUN280.AT2	SF_1.0481_NORTHR_SUN280.AT2	SF_1.0652_NORTHR_SUN280.AT2	SF_1.0652_NORTHR_SUN280.AT2	SF_0.93226_NORTHR_OBR090.AT2	SF_0.93226_NORTHR_OBR090.AT2	SF_1.0117_PALMSPR_TFS090.AT2	SF_1.0117_PALMSPR_TFS090.AT2
3	SF_1.0541_NORTHR_OAK170.AT2	SF_1.0541_NORTHR_OAK170.AT2	SF_1.0541_NORTHR_OAK170.AT2	SF_1.0693_NORTHR_OAK170.AT2	SF_1.0693_NORTHR_OAK170.AT2	SF_1.0200_PALMSPR_TFS090.AT2	SF_1.0200_PALMSPR_TFS090.AT2	SF_1.0374_NORTHR_SUN280.AT2	SF_1.0374_NORTHR_SUN280.AT2
4	SF_1.0714_SUPERST_B-PLS135.AT2	SF_1.0714_SUPERST_B-PLS135.AT2	SF_1.0714_SUPERST_B-PLS135.AT2	SF_1.1196_SUPERST_B-PLS135.AT2	SF_1.1196_SUPERST_B-PLS135.AT2	SF_1.0260_NORTHR_SUN280.AT2	SF_1.0260_NORTHR_SUN280.AT2	SF_1.0448_LOMAP_HDA165.AT2	SF_1.0448_LOMAP_HDA165.AT2
5	SF_1.0715_NORTHR_LOA092.AT2	SF_1.0715_NORTHR_LOA092.AT2	SF_1.0715_NORTHR_LOA092.AT2	SF_1.1364_IMPVAL H-E06230.AT2	SF_1.1364_IMPVAL H-E06230.AT2	SF_1.0504_LOMAP_HDA165.AT2	SF_1.0504_LOMAP_HDA165.AT2	SF_1.0552_NORTHR_WIL180.AT2	SF_1.0552_NORTHR_WIL180.AT2
6	SF_1.1101_IMPVAL H-E06230.AT2	SF_1.1101_IMPVAL H-E06230.AT2	SF_1.1101_IMPVAL H-E06230.AT2	SF_1.1652_CHICHI_WGK-E.AT2	SF_1.1652_CHICHI_WGK-E.AT2	SF_1.0752_IMPVAL H-E06230.AT2	SF_1.0752_IMPVAL H-E06230.AT2	SF_1.0571_CHICHI_TCU072-E.AT2	SF_1.0571_CHICHI_TCU072-E.AT2
7	SF_1.1349_CHICHI_WGK-E.AT2	SF_1.1349_CHICHI_WGK-E.AT2	SF_1.1349_CHICHI_WGK-E.AT2	SF_1.1798_CHICHI03_TCU076-E.AT2	SF_1.1798_CHICHI03_TCU076-E.AT2	SF_1.0830_NORTHR_OAK170.AT2	SF_1.0830_NORTHR_OAK170.AT2	SF_1.0635_CHICHI_TCU065-N.AT2	SF_1.0635_CHICHI_TCU065-N.AT2
8	SF_1.1555_CHICHI03_TCU076-E.AT2	SF_1.1555_CHICHI03_TCU076-E.AT2	SF_1.1555_CHICHI03_TCU076-E.AT2	SF_1.2015_CHICHI_CHY101-N.AT2	SF_1.2015_CHICHI_CHY101-N.AT2	SF_1.1098_NORTHR_WIL180.AT2	SF_1.1098_NORTHR_WIL180.AT2	SF_1.0767_IMPVAL H-E06230.AT2	SF_1.0767_IMPVAL H-E06230.AT2
9	SF_1.1703_CHICHI_CHY101-N.AT2	SF_1.1703_CHICHI_CHY101-N.AT2	SF_1.1703_CHICHI_CHY101-N.AT2	SF_1.2404_LANDERS_CAS270.AT2	SF_1.2404_LANDERS_CAS270.AT2	SF_1.1206_NORTHR_LOA092.AT2	SF_1.1206_NORTHR_LOA092.AT2	SF_1.0926_KOBE_OSA000.AT2	SF_1.0926_KOBE_OSA000.AT2
10	SF_1.2189_LANDERS_CAS270.AT2	SF_1.2189_LANDERS_CAS270.AT2	SF_1.2189_LANDERS_CAS270.AT2	SF_1.2467_NORTHR_STM090.AT2	SF_1.2467_NORTHR_STM090.AT2	SF_1.1377_CHICHI_WGK-E.AT2	SF_1.1377_CHICHI_WGK-E.AT2	SF_1.1052_NORTHR_OAK170.AT2	SF_1.1052_NORTHR_OAK170.AT2
11	SF_1.2255_IMPVAL H-ECC092.AT2	SF_1.2255_IMPVAL H-ECC092.AT2	SF_1.2255_IMPVAL H-ECC092.AT2	SF_1.2504_CHICHI_CHY006-W.AT2	SF_1.2504_CHICHI_CHY006-W.AT2	SF_1.1542_CHICHI03_TCU076-E.AT2	SF_1.1542_CHICHI03_TCU076-E.AT2	SF_1.1514_CHICHI_TCU067-E.AT2	SF_1.1514_CHICHI_TCU067-E.AT2
12	SF_1.2299_CHICHI_CHY006-W.AT2	SF_1.2299_CHICHI_CHY006-W.AT2	SF_1.2299_CHICHI_CHY006-W.AT2	SF_1.2554_IMPVAL H-ECC092.AT2	SF_1.2554_IMPVAL H-ECC092.AT2	SF_1.1554_CHICHI_CHY101-N.AT2	SF_1.1554_CHICHI_CHY101-N.AT2	SF_1.1525_CHICHI_CHY101-N.AT2	SF_1.1525_CHICHI_CHY101-N.AT2
13	SF_1.2304_NORTHR_STM090.AT2	SF_1.2304_NORTHR_STM090.AT2	SF_1.2304_NORTHR_STM090.AT2	SF_1.2659_NORTHR_PIC090.AT2	SF_1.2659_NORTHR_PIC090.AT2	SF_1.1619_IMPVAL H-ECC092.AT2	SF_1.1619_IMPVAL H-ECC092.AT2	SF_1.1525_CHICHI_WGK-E.AT2	SF_1.1525_CHICHI_WGK-E.AT2
14	SF_1.2385_NORTHR_PIC090.AT2	SF_1.2385_NORTHR_PIC090.AT2	SF_1.2385_NORTHR_PIC090.AT2	SF_1.2682_CHICHI_TCU052-E.AT2	SF_1.2682_CHICHI_TCU052-E.AT2	SF_1.1809_CHICHI_TCU067-E.AT2	SF_1.1809_CHICHI_TCU067-E.AT2	SF_1.1614_IMPVAL H-ECC092.AT2	SF_1.1614_IMPVAL H-ECC092.AT2
15	SF_1.2807_IMPVAL H-E04230.AT2	SF_1.2807_IMPVAL H-E04230.AT2	SF_1.2807_IMPVAL H-E04230.AT2	SF_1.3128_IMPVAL H-E04230.AT2	SF_1.3128_IMPVAL H-E04230.AT2	SF_1.1981_LANDERS_CAS270.AT2	SF_1.1981_LANDERS_CAS270.AT2	SF_1.1662_NORTHR_LOA092.AT2	SF_1.1662_NORTHR_LOA092.AT2
16	SF_1.2844_NORTHR_WIL180.AT2	SF_1.2844_NORTHR_WIL180.AT2	SF_1.2844_NORTHR_WIL180.AT2	SF_1.3278_CHICHI_TCU076-E.AT2	SF_1.3278_CHICHI_TCU076-E.AT2	SF_1.2209_KOCAELI_DHM090.AT2	SF_1.2209_KOCAELI_DHM090.AT2	SF_1.1844_CHICHI03_TCU076-E.AT2	SF_1.1844_CHICHI03_TCU076-E.AT2
17	SF_1.2878_CHICHI_TCU076-E.AT2	SF_1.2878_CHICHI_TCU076-E.AT2	SF_1.2878_CHICHI_TCU076-E.AT2	SF_1.3384_NORTHR_WIL180.AT2	SF_1.3384_NORTHR_WIL180.AT2	SF_1.2507_NORTHR_PIC090.AT2	SF_1.2507_NORTHR_PIC090.AT2	SF_1.1911_KOCAELI_DHM090.AT2	SF_1.1911_KOCAELI_DHM090.AT2
18	SF_1.3178_UPLAND_UP90S-H2.AT2	SF_1.3178_UPLAND_UP90S-H2.AT2	SF_1.3178_UPLAND_UP90S-H2.AT2	SF_1.3598_UPLAND_UP90S-H2.AT2	SF_1.3598_UPLAND_UP90S-H2.AT2	SF_1.2922_UPLAND_UP90S-H2.AT2	SF_1.2922_UPLAND_UP90S-H2.AT2	SF_1.222_CHICHI_TCU076-E.AT2	SF_1.222_CHICHI_TCU076-E.AT2
19	SF_1.3428_IMPVAL H-E03140.AT2	SF_1.3428_IMPVAL H-E03140.AT2	SF_1.3428_IMPVAL H-E03140.AT2	SF_1.3717_IMPVAL H-E03140.AT2	SF_1.3717_IMPVAL H-E03140.AT2	SF_1.2972_IMPVAL H-E04230.AT2	SF_1.2972_IMPVAL H-E04230.AT2	SF_1.3178_IMPVAL H-E04230.AT2	SF_1.3178_IMPVAL H-E04230.AT2
20	SF_1.3627_KOCAELI_DHM090.AT2	SF_1.3627_KOCAELI_DHM090.AT2	SF_1.3627_KOCAELI_DHM090.AT2	SF_1.4087_KOCAELI_DHM090.AT2	SF_1.4087_KOCAELI_DHM090.AT2	SF_1.3516_IMPVAL H-E03140.AT2	SF_1.3516_IMPVAL H-E03140.AT2	SF_1.3777_IMPVAL H-E03140.AT2	SF_1.3777_IMPVAL H-E03140.AT2
Aydın Üniv. Yapısı		Gedikbulak 3D		20 Katlı 3D Yapı		24 Katlı 2D CSW			
1	SF_1.5394_MANJIL_190024.AT2	SF_0.68671_CHICHI_CHY080-E.AT2	SF_0.68671_CHICHI_CHY080-E.AT2	SF_0.92673_NORTHR_WIL180.AT2	SF_0.92673_NORTHR_WIL180.AT2	SF_1.5086_CHICHI_CHY006-N.AT2	SF_1.5086_CHICHI_CHY006-N.AT2		
2	SF_1.618_CHICHI_TCU122-N.AT2	SF_0.70148_CHICHI_CHY028-E.AT2	SF_0.70148_CHICHI_CHY028-E.AT2	SF_0.96701_CHICHI_TCU071-N.AT2	SF_0.96701_CHICHI_TCU071-N.AT2	SF_1.5246_KOCAELI_USK090.AT2	SF_1.5246_KOCAELI_USK090.AT2		
3	SF_1.636_CHICHI_TCU076-E.AT2	SF_0.70533_DUZCE_ATS300.AT2	SF_0.70533_DUZCE_ATS300.AT2	SF_1.0037_CHICHI_TCU068-E.AT2	SF_1.0037_CHICHI_TCU068-E.AT2	SF_1.5697_NORTHR_OAK170.AT2	SF_1.5697_NORTHR_OAK170.AT2		
4	SF_1.6477_CHICHI_TCU119-N.AT2	SF_0.70722_CHICHI_CHY080-N.AT2	SF_0.70722_CHICHI_CHY080-N.AT2	SF_1.0045_PALMSPR_TFS090.AT2	SF_1.0045_PALMSPR_TFS090.AT2	SF_1.5805_SUPERST_B-ICC000.AT2	SF_1.5805_SUPERST_B-ICC000.AT2		
5	SF_1.6539_KOBE_ABN000.AT2	SF_0.72566_LOMAP_HWB220.AT2	SF_0.72566_LOMAP_HWB220.AT2	SF_1.0118_NORTHR_OBR090.AT2	SF_1.0118_NORTHR_OBR090.AT2	SF_1.6184_CHICHI_TCU119-N.AT2	SF_1.6184_CHICHI_TCU119-N.AT2		
6	SF_1.6717_SUPERST_B-ICC000.AT2	SF_0.73575_NORTHR_NEW180.AT2	SF_0.73575_NORTHR_NEW180.AT2	SF_1.0172_LOMAP_HDA165.AT2	SF_1.0172_LOMAP_HDA165.AT2	SF_1.6949_KOBE_CHY000.AT2	SF_1.6949_KOBE_CHY000.AT2		
7	SF_1.6791_CHICHI_TCU136-W.AT2	SF_0.77791_MORGAN_CLS220.AT2	SF_0.77791_MORGAN_CLS220.AT2	SF_1.0249_NORTHR_SUN280.AT2	SF_1.0249_NORTHR_SUN280.AT2	SF_1.6967_LOMAP_SSF115.AT2	SF_1.6967_LOMAP_SSF115.AT2		
8	SF_1.6953_CHICHI_CHY024-E.AT2	SF_0.79697_CHICHI_TCU070-N.AT2	SF_0.79697_CHICHI_TCU070-N.AT2	SF_1.0408_IMPVAL H-E06230.AT2	SF_1.0408_IMPVAL H-E06230.AT2	SF_1.7457_CHICHI_CHY024-E.AT2	SF_1.7457_CHICHI_CHY024-E.AT2		
9	SF_1.6988_DUZCE_ATS300.AT2	SF_0.80548_CAPEMEND_RIO360.AT2	SF_0.80548_CAPEMEND_RIO360.AT2	SF_1.0917_CHICHI_CHY101-N.AT2	SF_1.0917_CHICHI_CHY101-N.AT2	SF_1.7594_KOCAELI_DHM000.AT2	SF_1.7594_KOCAELI_DHM000.AT2		
10	SF_1.7635_KOCAELI_DHM000.AT2	SF_0.81291_CHICHI_CHY041-N.AT2	SF_0.81291_CHICHI_CHY041-N.AT2	SF_1.1066_CHICHI_WGK-E.AT2	SF_1.1066_CHICHI_WGK-E.AT2	SF_1.7703_LOMAP_WDS000.AT2	SF_1.7703_LOMAP_WDS000.AT2		
11	SF_1.8139_KOBE_CHY000.AT2	SF_0.88913_LOMAP_G02000.AT2	SF_0.88913_LOMAP_G02000.AT2	SF_1.1092_CHICHI_TCU072-E.AT2	SF_1.1092_CHICHI_TCU072-E.AT2	SF_1.795_LOMAP_MCH090.AT2	SF_1.795_LOMAP_MCH090.AT2		
12	SF_1.8876_CHICHI_TCU106-E.AT2	SF_0.92705_NORTHR_OAK170.AT2	SF_0.92705_NORTHR_OAK170.AT2	SF_1.1206_CHICHI_TCU070-N.AT2	SF_1.1206_CHICHI_TCU070-N.AT2	SF_1.8186_IMPVAL H-CX0315.AT2	SF_1.8186_IMPVAL H-CX0315.AT2		
13	SF_1.9544_CHICHI_TCU057-N.AT2	SF_0.97203_NORTHR_LOA092.AT2	SF_0.97203_NORTHR_LOA092.AT2	SF_1.1647_CHICHI_TCU067-E.AT2	SF_1.1647_CHICHI_TCU067-E.AT2	SF_1.8716_LANDERS_WST000.AT2	SF_1.8716_LANDERS_WST000.AT2		
14	SF_1.9819_CHICHI_TCU055-E.AT2	SF_0.97329_CHICHI_TCU067-N.AT2	SF_0.97329_CHICHI_TCU067-N.AT2	SF_1.184_KOCAELI_DHM090.AT2	SF_1.184_KOCAELI_DHM090.AT2	SF_1.9356_CHICHI_CHY074-E.AT2	SF_1.9356_CHICHI_CHY074-E.AT2		
15	SF_1.9866_CHICHI_TCU075-N.AT2	SF_1.0057_CHICHI_TCU072-N.AT2	SF_1.0057_CHICHI_TCU072-N.AT2	SF_1.1881_KOBE_ABN090.AT2	SF_1.1881_KOBE_ABN090.AT2	SF_1.9377_CHICHI_TCU082-E.AT2	SF_1.9377_CHICHI_TCU082-E.AT2		
16	SF_1.988_CHICHI_TCU082-E.AT2	SF_1.0169_NORTHR_SUN280.AT2	SF_1.0169_NORTHR_SUN280.AT2	SF_1.2339_NORTHR_OAK170.AT2	SF_1.2339_NORTHR_OAK170.AT2	SF_1.9446_CHICHI_TCU-E.AT2	SF_1.9446_CHICHI_TCU-E.AT2		
17	SF_2.0418_KOCAELI_MSK000.AT2	SF_1.0205_NORTHR_STM090.AT2	SF_1.0205_NORTHR_STM090.AT2	SF_1.2869_CHICHI_TCU076-E.AT2	SF_1.2869_CHICHI_TCU076-E.AT2	SF_1.9599_LOMAP_GOF160.AT2	SF_1.9599_LOMAP_GOF160.AT2		
18	SF_2.0441_LANDERS_WST000.AT2	SF_1.0255_CHICHI_TCU071-N.AT2	SF_1.0255_CHICHI_TCU071-N.AT2	SF_1.3098_IMPVAL H-E04230.AT2	SF_1.3098_IMPVAL H-E04230.AT2	SF_1.9963_SMART1_45007EW.AT2	SF_1.9963_SMART1_45007EW.AT2		
19	SF_2.0605_CHICHI_TCU-E.AT2	SF_1.0374_IMPVAL H-ECC092.AT2	SF_1.0374_IMPVAL H-ECC092.AT2	SF_1.4169_IMPVAL H-E05230.AT2	SF_1.4169_IMPVAL H-E05230.AT2	SF_2.0145_CHICHI_TCU075-N.AT2	SF_2.0145_CHICHI_TCU075-N.AT2		
20	SF_2.1196_LOMAP_GOF160.AT2	SF_1.1099_CHICHI_TCU072-E.AT2	SF_1.1099_CHICHI_TCU072-E.AT2	SF_1.4273_IMPVAL H-E03140.AT2	SF_1.4273_IMPVAL H-E03140.AT2	SF_2.0275_CHICHI_TCU057-N.AT2	SF_2.0275_CHICHI_TCU057-N.AT2		

Çizelge A.1 (devam): Analizlerde Kullanılan depremlerin isimleri ve ölçek katsayıları listesi.

2007 Yönetmeliği, 2. Derece Deprem Bölgesi, ZC Zemin Sınıfı, DD_2

PFN_4_1		PFN_5_1		PFN_6_1		PFN_8_2		Prefabrik Yapı	
1	SF_1.0114_NORTHTR_PHP270.AT2	SF_1.0114_NORTHTR_PHP270.AT2	SF_1.0114_NORTHTR_PHP270.AT2	SF_1.0024_NORTHTR_PHP270.AT2	SF_1.0602_LOMAP_SSF115.AT2	SF_1.0539_LOMAP_SSF115.AT2			
2	SF_1.0483_LOMAP_CH07000.AT2	SF_1.0483_LOMAP_CH07000.AT2	SF_1.0483_LOMAP_CH07000.AT2	SF_1.046_LOMAP_CH07000.AT2	SF_1.1612_WHITTIER_A-CWC270.AT2	SF_1.158_KOCAELI_USK090.AT2			
3	SF_1.0742_LOMAP_SSF115.AT2	SF_1.0742_LOMAP_SSF115.AT2	SF_1.0742_LOMAP_SSF115.AT2	SF_1.0819_LOMAP_SSF115.AT2	SF_1.1937_LIVERMOR_B-SRM070.AT2	SF_1.1688_LANDERS_WST000.AT2			
4	SF_1.0889_KOCAELI_DHM000.AT2	SF_1.0889_KOCAELI_DHM000.AT2	SF_1.0889_KOCAELI_DHM000.AT2	SF_1.0826_KOCAELI_DHM000.AT2	SF_1.2094_LANDERS_WST000.AT2	SF_1.2008_IMPVAL_H-E13140.AT2			
5	SF_1.0958_WHITTIER_A-CWC270.AT2	SF_1.0958_WHITTIER_A-CWC270.AT2	SF_1.0958_WHITTIER_A-CWC270.AT2	SF_1.0867_WHITTIER_A-CWC270.AT2	SF_1.2299_WHITTIER_A-BUE340.AT2	SF_1.217_LIVERMOR_B-SRM070.AT2			
6	SF_1.1382_CHICHI_CHY101-E.AT2	SF_1.1382_CHICHI_CHY101-E.AT2	SF_1.1382_CHICHI_CHY101-E.AT2	SF_1.1315_CHICHI_CHY101-E.AT2	SF_1.2703_CHICHI_CHY024-E.AT2	SF_1.3092_CHICHI_TCU115-N.AT2			
7	SF_1.1443_LOMAP_OLEM000.AT2	SF_1.1443_LOMAP_OLEM000.AT2	SF_1.1443_LOMAP_OLEM000.AT2	SF_1.1469_WHITTIER_A-BUE340.AT2	SF_1.2862_LOMAP_RIN000.AT2	SF_1.3183_LOMAP_RIN000.AT2			
8	SF_1.1551_WHITTIER_A-BUE340.AT2	SF_1.1551_WHITTIER_A-BUE340.AT2	SF_1.1551_WHITTIER_A-BUE340.AT2	SF_1.1633_LOMAP_OLEM000.AT2	SF_1.3028_IMPVAL_H-E01140.AT2	SF_1.3373_IMPVAL_H-E01140.AT2			
9	SF_1.1784_CHICHI_TTN051-N.AT2	SF_1.1784_CHICHI_TTN051-N.AT2	SF_1.1784_CHICHI_TTN051-N.AT2	SF_1.1729_CHICHI_TTN051-N.AT2	SF_1.3103_LANDERS_CAS000.AT2	SF_1.3947_CHICHI_CHY074-E.AT2			
10	SF_1.1807_KOCAELI_USK090.AT2	SF_1.1807_KOCAELI_USK090.AT2	SF_1.1807_KOCAELI_USK090.AT2	SF_1.1792_KOCAELI_USK090.AT2	SF_1.3602_COALINGA_H-C4A090.AT2	SF_1.3986_COALINGA_H-C4A090.AT2			
11	SF_1.1822_LOMAP_WDS000.AT2	SF_1.1822_LOMAP_WDS000.AT2	SF_1.1822_LOMAP_WDS000.AT2	SF_1.1985_LOMAP_WDS000.AT2	SF_1.373_CHICHI06_TCU078-E.AT2	SF_1.4138_LOMAP_SJW160.AT2			
12	SF_1.2158_CHICHI_CHY041-E.AT2	SF_1.2158_CHICHI_CHY041-E.AT2	SF_1.2158_CHICHI_CHY041-E.AT2	SF_1.2037_CHICHI_CHY041-E.AT2	SF_1.4555_FRIULI_A-FLT270.AT2	SF_1.425_CHICHI06_TCU078-E.AT2			
13	SF_1.228_LIVERMOR_B-SRM070.AT2	SF_1.228_LIVERMOR_B-SRM070.AT2	SF_1.228_LIVERMOR_B-SRM070.AT2	SF_1.2484_LIVERMOR_B-SRM070.AT2	SF_1.4573_CHICHI_TAW-N.AT2	SF_1.4495_CHICHI_TAW-N.AT2			
14	SF_1.2669_SUPERST_B-ICC000.AT2	SF_1.2669_SUPERST_B-ICC000.AT2	SF_1.2669_SUPERST_B-ICC000.AT2	SF_1.2665_KOCAELI_ATK000.AT2	SF_1.4639_CHICHI_CHY074-E.AT2	SF_1.4685_CHICHI_ALS-E.AT2			
15	SF_1.2703_CHICHI_CHY024-E.AT2	SF_1.2703_CHICHI_CHY024-E.AT2	SF_1.2703_CHICHI_CHY024-E.AT2	SF_1.2712_CHICHI_CHY024-E.AT2	SF_1.4951_HECTOR_32577090.AT2	SF_1.5113_HECTOR_32577090.AT2			
16	SF_1.2714_KOCAELI_ATK000.AT2	SF_1.2714_KOCAELI_ATK000.AT2	SF_1.2714_KOCAELI_ATK000.AT2	SF_1.2738_SUPERST_B-ICC000.AT2	SF_1.5357_CHICHI_ALS-E.AT2	SF_1.5122_CHICHI_TCU048-N.AT2			
17	SF_1.3161_IMPVAL_H-CC4045.AT2	SF_1.3161_IMPVAL_H-CC4045.AT2	SF_1.3161_IMPVAL_H-CC4045.AT2	SF_1.3054_IMPVAL_H-CC4045.AT2	SF_1.5731_NORTHTR_CAT090.AT2	SF_1.5676_WESTMORL_BRA315.AT2			
18	SF_1.3181_WHITTIER_A-CYP143.AT2	SF_1.3181_WHITTIER_A-CYP143.AT2	SF_1.3181_WHITTIER_A-CYP143.AT2	SF_1.3115_WHITTIER_A-CYP143.AT2	SF_1.5738_WESTMORL_BRA315.AT2	SF_1.5966_CHICHI_TCU040-N.AT2			
19	SF_1.3278_IMPVAL_H-E13140.AT2	SF_1.3278_IMPVAL_H-E13140.AT2	SF_1.3278_IMPVAL_H-E13140.AT2	SF_1.3369_IMPVAL_H-E13140.AT2	SF_1.5759_TABAS_BAJ-T1.AT2	SF_1.5999_NORTHTR_CAT090.AT2			
20	SF_1.3478_COALINGA_H-C4A090.AT2	SF_1.3478_COALINGA_H-C4A090.AT2	SF_1.3478_COALINGA_H-C4A090.AT2	SF_1.3489_COALINGA_H-C4A090.AT2	SF_1.611_NORTHTR_MJH090.AT2	SF_1.6517_NORTHTR_MJH090.AT2			
Aydın Yapı		Gedikbulak_3D		20_Katlı_3D_Yapı		24_Katlı_2D_CSW			
1	SF_1.4083_WESTMORL_BRA315.AT2	SF_0.95485_LOMAP_GGB270.AT2	SF_1.4462_LOMAP_SJW160.AT2	SF_1.3814_CHICHI_ALS-E.AT2					
2	SF_1.4118_CHICHI_ALS-E.AT2	SF_0.97418_MORGAN_AGW240.AT2	SF_1.5264_WESTMORL_BRA315.AT2	SF_1.3863_WESTMORL_BRA315.AT2					
3	SF_1.458_SUPERST_B-BRA315.AT2	SF_0.99553_LANDERS_CAS000.AT2	SF_1.5573_CHICHI_HWA045-N.AT2	SF_1.4027_KOCAELI_MSK000.AT2					
4	SF_1.4645_CHICHI03_CHY101-E.AT2	SF_1.0927_FRIULI_A-FLT270.AT2	SF_1.5600_CHICHI03_CHY035-E.AT2	SF_1.4293_NCALIF_F-FRN225.AT2					
5	SF_1.4755_NCALIF_F-FRN225.AT2	SF_1.1637_NORTHTR_NYA180.AT2	SF_1.5739_SMART1_33001NS.AT2	SF_1.4858_CHICHI03_CHY101-E.AT2					
6	SF_1.4884_CHICHI06_CHY101-E.AT2	SF_1.1758_LOMAP_RIN000.AT2	SF_1.5924_CHICHI_TAP003-E.AT2	SF_1.5236_CHICHI06_CHY101-E.AT2					
7	SF_1.555_CHICHI_TAW-N.AT2	SF_1.209_NEWZEAL_A-MAR040.AT2	SF_1.6340_KOCAELI_IST090.AT2	SF_1.5242_LOMAP_SJW160.AT2					
8	SF_1.5827_CHICHI03_CHY024-E.AT2	SF_1.2135_WHITTIER_A-CWC270.AT2	SF_1.6352_CHICHI06_TCU078-E.AT2	SF_1.545_IMPVAL_H-E01140.AT2					
9	SF_1.5849_CHICHI_HWA013-E.AT2	SF_1.2153_WHITTIER_A-BUE340.AT2	SF_1.6805_CHICHI03_TCU065-E.AT2	SF_1.5468_CHICHI_TAW-N.AT2					
10	SF_1.6149_CHICHI_TCU060-N.AT2	SF_1.248_DUZCE_1061-N.AT2	SF_1.7588_MANJIL_188310.AT2	SF_1.5569_CHICHI_HWA013-E.AT2					
11	SF_1.6392_IMPVAL_H-CXO225.AT2	SF_1.2651_CHICHI06_TCU078-E.AT2	SF_1.7657_CHICHI06_CHY101-E.AT2	SF_1.578_CHICHI03_CHY024-E.AT2					
12	SF_1.7091_IMPVAL_H-E01140.AT2	SF_1.2726_LOMAP_AGW000.AT2	SF_1.8127_NEWZEAL_A-MAR040.AT2	SF_1.646_KOCAELI_ATK000.AT2					
13	SF_1.7281_CHICHI_CHY002-N.AT2	SF_1.3129_CHICHI06_TCU129-E.AT2	SF_1.8148_LOMAP_SUF090.AT2	SF_1.7207_KOCAELI_IST090.AT2					
14	SF_1.7495_KOCAELI_ATK000.AT2	SF_1.3137_LOMAP_SGI270.AT2	SF_1.8306_CHICHI03_CHY101-E.AT2	SF_1.7222_SMART1_40001NS.AT2					
15	SF_1.7627_CHICHI03_TCU122-E.AT2	SF_1.3388_IMPVAL_H-CC4045.AT2	SF_1.8428_LOMAP_BVU220.AT2	SF_1.7369_SMART1_45E01NS.AT2					
16	SF_1.7735_SMART1_45E01NS.AT2	SF_1.3595_NORTHTR_CAT090.AT2	SF_1.8468_CHICHI03_CHY028-E.AT2	SF_1.7594_CHICHI03_TCU122-E.AT2					
17	SF_1.7738_SMART1_40001NS.AT2	SF_1.3687_NWCHINA2_J4060270.AT2	SF_1.9039_UPLAND_23525090.AT2	SF_1.7742_COALINGA_H-Z16090.AT2					
18	SF_1.7984_SMART1_45001EW.AT2	SF_1.3918_LIVERMOR_B-SRM070.AT2	SF_1.9196_CHICHI03_CHY024-E.AT2	SF_1.8386_NORTHTR_CAT090.AT2					
19	SF_1.8200_HECTOR_14840019.AT2	SF_1.4181_WHITTIER_A-FLO020.AT2	SF_1.9603_CHICHI03_TCU122-E.AT2	SF_1.9479_HECTOR_14840019.AT2					
20	SF_1.9641_TABAS_BOS-L1.AT2	SF_1.5116_LIVERMOR_B-FRE075.AT2	SF_2.0565_CHICHI_HWA048-N.AT2	SF_1.9661_CHICHI_ILA041-W.AT2					

Çizelge A.1 (devam): Analizlerde Kullanılan depremlerin isimleri ve ölççek katsayıları listesi.

Afyon Merkez, 2. Derece Deprem Bölgesi, ZC Zemin Sınıfı, DD_1

PFN_4_1		PFN_5_1		PFN_6_1		PFN_8_2		Prefabrik Yapı	
1	SF_2.0042_COALINGA_D-PVP360.AT2	SF_2.0042_COALINGA_D-PVP360.AT2	SF_1.9513_COALINGA_D-PVP360.AT2	SF_1.9902_KOCAELI_DHM000.AT2	SF_2.106_KOCAELI_DHM000.AT2				
2	SF_2.0208_KOCAELI_DHM000.AT2	SF_2.0208_KOCAELI_DHM000.AT2	SF_1.9865_KOCAELI_DHM000.AT2	SF_2.0189_KOCAELI_USK090.AT2	SF_2.1269_KOCAELI_USK090.AT2				
3	SF_2.1137_SUPERST_B-BRA315.AT2	SF_2.1137_SUPERST_B-BRA315.AT2	SF_2.0981_SUPERST_B-BRA315.AT2	SF_2.1558_COALINGA_D-PVP360.AT2	SF_2.3603_WHITTIER_A-BUE340.AT2				
4	SF_2.1436_WHITTIER_A-BUE340.AT2	SF_2.1436_WHITTIER_A-BUE340.AT2	SF_2.1045_WHITTIER_A-BUE340.AT2	SF_2.1657_WHITTIER_A-BUE340.AT2	SF_2.3667_WHITTIER_A-OBR360.AT2				
5	SF_2.191_KOCAELI_USK090.AT2	SF_2.191_KOCAELI_USK090.AT2	SF_2.1638_KOCAELI_USK090.AT2	SF_2.2581_KOCAELI_ATK000.AT2	SF_2.4213_LOMAP_RIN000.AT2				
6	SF_2.2235_LANDERS_CAS000.AT2	SF_2.2235_LANDERS_CAS000.AT2	SF_2.173_LANDERS_CAS000.AT2	SF_2.2648_LOMAP_RIN000.AT2	SF_2.4561_IMPVAL_H-E01140.AT2				
7	SF_2.2499_IMPVAL_H-E01140.AT2	SF_2.2499_IMPVAL_H-E01140.AT2	SF_2.2087_CHICHI_CHY041-E.AT2	SF_2.294_IMPVAL_H-E01140.AT2	SF_2.543_LANDERS_CAS000.AT2				
8	SF_2.2941_LOMAP_RIN000.AT2	SF_2.2941_LOMAP_RIN000.AT2	SF_2.2123_IMPVAL_H-E01140.AT2	SF_2.3072_LANDERS_CAS000.AT2	SF_2.5609_IMPVAL_H-CC4045.AT2				
9	SF_2.3227_SUPERST_B-WLF225.AT2	SF_2.3227_SUPERST_B-WLF225.AT2	SF_2.2395_LOMAP_RIN000.AT2	SF_2.3349_CHICHI_CHY041-E.AT2	SF_2.5687_COALINGA_H-C4A090.AT2				
10	SF_2.351_SUPERST_B-ICC000.AT2	SF_2.351_SUPERST_B-ICC000.AT2	SF_2.3373_SUPERST_B-ICC000.AT2	SF_2.3665_NORTH_CDF090.AT2	SF_2.5967_LOMAP_SJW160.AT2				
11	SF_2.4125_LOMAP_GGB270.AT2	SF_2.4125_LOMAP_GGB270.AT2	SF_2.366_CHICHI_NST-N.AT2	SF_2.3955_IMPVAL_H-CC4045.AT2	SF_2.6172_CHICHI06_TCU078-E.AT2				
12	SF_2.4265_CHICHI_NST-N.AT2	SF_2.4265_CHICHI_NST-N.AT2	SF_2.366_LOMAP_GGB270.AT2	SF_2.395_COALINGA_H-C4A090.AT2	SF_2.6494_WHITTIER_A-CYP143.AT2				
13	SF_2.4424_IMPVAL_H-CC4045.AT2	SF_2.4424_IMPVAL_H-CC4045.AT2	SF_2.3954_IMPVAL_H-CC4045.AT2	SF_2.4175_CHICHI06_TCU078-E.AT2	SF_2.6623_CHICHI_TAW-N.AT2				
14	SF_2.4461_WHITTIER_A-CYP143.AT2	SF_2.4461_WHITTIER_A-CYP143.AT2	SF_2.4278_CHICHI06_TCU078-E.AT2	SF_2.4353_WHITTIER_A-CYP143.AT2	SF_2.7167_COALINGA_H-Z16090.AT2				
15	SF_2.4551_CHICHI06_TCU078-E.AT2	SF_2.4551_CHICHI06_TCU078-E.AT2	SF_2.4622_FRIULI_A-FLT270.AT2	SF_2.5629_FRIULI_A-FLT270.AT2	SF_2.7774_CHICHI_TCU048-N.AT2				
16	SF_2.5158_FRIULI_A-FLT270.AT2	SF_2.5158_FRIULI_A-FLT270.AT2	SF_2.5511_TABAS_BAJ-T1.AT2	SF_2.6132_CHICHI_TCU100-N.AT2	SF_2.7791_FRIULI_A-FLT270.AT2				
17	SF_2.6014_TABAS_BAJ-T1.AT2	SF_2.6014_TABAS_BAJ-T1.AT2	SF_2.5717_NORTH_GLP177.AT2	SF_2.6478_CHICHI_TCU048-N.AT2	SF_2.8792_WESTMORL_BRA315.AT2				
18	SF_2.7652_CHICHI_TCU048-N.AT2	SF_2.7652_CHICHI_TCU048-N.AT2	SF_2.7456_CHICHI_TCU048-N.AT2	SF_2.7699_NORTH_CAT090.AT2	SF_2.9325_CHICHI_TCU040-N.AT2				
19	SF_2.807_NORTH_CAT090.AT2	SF_2.807_NORTH_CAT090.AT2	SF_2.7661_NORTH_CAT090.AT2	SF_2.7748_TABAS_BAJ-T1.AT2	SF_2.9385_NORTH_CAT090.AT2				
20	SF_2.9397_LIVERMOR_B-FRE075.AT2	SF_2.9397_LIVERMOR_B-FRE075.AT2	SF_2.8772_LIVERMOR_B-FRE075.AT2	SF_2.7898_CHICHI_TCU040-N.AT2	SF_3.0997_TABAS_BAJ-T1.AT2				
Aydın Üniv. Yapısı		Gedikbulak_3D		20_Katlı_3D_Yapı		24_Katlı_2D_CSW			
1	SF_2.8268_BORREGO_A-ELC180.AT2	SF_2.1042_UPLAND_UP90S-H2.AT2	SF_1.6893_IMPVAL_H-E03140.AT2	SF_2.9222_CHICHI_HWA048-N.AT2					
2	SF_2.8436_LOMAP_DMH000.AT2	SF_2.3228_IMPVAL_H-E03140.AT2	SF_1.7601_LOMAP_CHO7000.AT2	SF_3.0926_LIVERMOR_A-FRE075.AT2					
3	SF_3.0563_CHICHI_HWA2-E.AT2	SF_2.3623_NORTH_WPI316.AT2	SF_1.8001_UPLAND_UP90S-H2.AT2	SF_3.0991_NEWZEAL_A-MAR040.AT2					
4	SF_3.0809_CHICHI_ILA008-N.AT2	SF_2.4976_LOMAP_GGB270.AT2	SF_1.8426_LOMAP_SSF115.AT2	SF_3.329_CHALFANT_A-LAD180.AT2					
5	SF_3.1441_CHICHI04_CHY101-E.AT2	SF_2.5379_IMPVAL_H-ECC002.AT2	SF_1.9183_LOMAP_WDS000.AT2	SF_3.3504_LOMAP_TLH000.AT2					
6	SF_3.2542_CHALFANT_A-LAD180.AT2	SF_2.5482_MORGAN_AGW240.AT2	SF_1.9265_LOMAP_CLS090.AT2	SF_3.391_CHICHI04_CHY101-E.AT2					
7	SF_3.286_LANDERS_29P000.AT2	SF_2.5682_IMPVAL_H-E01140.AT2	SF_1.9531_SUPERST_B-ICC000.AT2	SF_3.473_FRIULI_A-FLT270.AT2					
8	SF_3.3083_CHICHI_ILA012-N.AT2	SF_2.5975_DUZCE_362-N.AT2	SF_1.9975_IMPVAL_H-CX0315.AT2	SF_3.4977_CHICHI04_CHY015-N.AT2					
9	SF_3.3302_KOBE_OKA000.AT2	SF_2.604_LANDERS_CAS000.AT2	SF_2.0125_KOCAELI_DHM000.AT2	SF_3.5084_COALINGA_H-SC4090.AT2					
10	SF_3.3389_LOMAP_TLH000.AT2	SF_2.734_LOMAP_SSF115.AT2	SF_2.0277_NORTH_PHP270.AT2	SF_3.5777_CHICHI_HWA033-E.AT2					
11	SF_3.3827_CHICHI_TAP041-E.AT2	SF_2.7722_TABAS_BAJ-T1.AT2	SF_2.0678_KOCAELI_USK090.AT2	SF_3.6181_NORTH_BIR090.AT2					
12	SF_3.4208_NEWZEAL_A-MAR040.AT2	SF_2.8582_FRIULI_A-FLT270.AT2	SF_2.105_SUPERST_B-WLF225.AT2	SF_3.6187_CHICHI_CHY065-E.AT2					
13	SF_3.4805_NORTH_BIR090.AT2	SF_2.9186_NORTH_WIL180.AT2	SF_2.1096_CHICHI_CHY101-E.AT2	SF_3.712_LANDERS_29P000.AT2					
14	SF_3.5868_CHICHI_ILA027-E.AT2	SF_2.926_KOCAELI_MSK000.AT2	SF_2.1154_LOMAP_GMR000.AT2	SF_3.7753_CHICHI_ILA027-E.AT2					
15	SF_3.6365_KOCAELI_BT5000.AT2	SF_2.9487_SUPERST_B-BRA315.AT2	SF_2.1555_CHICHI_TTN051-N.AT2	SF_3.8036_CHICHI_HWA055-N.AT2					
16	SF_3.6665_CHICHI_NCU-E.AT2	SF_3.0247_NORTH_GLE170.AT2	SF_2.2099_KOBE_HIK090.AT2	SF_3.8213_CHICHI_TAP041-E.AT2					
17	SF_3.7144_CHICHI_ILA016-N.AT2	SF_3.044_NORTH_NYA180.AT2	SF_2.2136_CHICHI_CHY024-E.AT2	SF_3.8594_NORTH_SAN180.AT2					
18	SF_3.808_CHICHI_HWA055-N.AT2	SF_3.179_WHITTIER_A-BUE340.AT2	SF_2.2543_NORTH_MRP180.AT2	SF_3.874_KOCAELI_BT5000.AT2					
19	SF_4.0175_KOCAELI_CNK090.AT2	SF_3.2911_CHICHI_TTN051-N.AT2	SF_2.3367_CHICHI_TCU075-N.AT2	SF_3.9233_CHICHI04_CHY088-N.AT2					
20	SF_4.0674_NORTH_WAT270.AT2	SF_3.3085_CHICHI_CHY101-E.AT2	SF_2.6541_MANAGUA_B-MAN180.AT2	SF_4.1403_NORTH_WAT270.AT2					

Çizelge A.1 (devam): Analizlerde Kullanılan depremlerin isimleri ve ölççek katsayıları listesi.

Afyon Merkez, 2. Derece Deprem Bölgesi, ZC Zemin Sınıfı, DD_2

PFN_4_1		PFN_5_1		PFN_6_1		PFN_8_2		Prefabrik Yapı	
1	SF_0.71348_IMPVAL H-ECC092.AT2	SF_1.0407_KOCAELI_DHM000.AT2	SF_1.0137_KOCAELI_DHM000.AT2	SF_0.98862_NWCHINA2_X4060000.AT2	SF_1.0357_KOCAELI_DHM000.AT2				
2	SF_0.71632_NORTHR_STM090.AT2	SF_1.0886_SUPERST_B-BRA315.AT2	SF_1.0707_SUPERST_B-BRA315.AT2	SF_1.0631_COALINGA_D-PVP360.AT2	SF_1.1066_CHICHI_TTN051-N.AT2				
3	SF_0.7456_IMPVAL H-E04230.AT2	SF_1.104_WHITTIER_A-BUE340.AT2	SF_1.074_WHITTIER_A-BUE340.AT2	SF_1.068_WHITTIER_A-BUE340.AT2	SF_1.1413_CHICHI_CHY024-E.AT2				
4	SF_0.76725_UPLAND_UP90S-H2.AT2	SF_1.1284_KOCAELI_USK090.AT2	SF_1.0983_CHICHI_TTN051-N.AT2	SF_1.1136_KOCAELI_ATK000.AT2	SF_1.1608_WHITTIER_A-BUE340.AT2				
5	SF_0.76958_CHICHI_TCU042-N.AT2	SF_1.1451_LANDERS_CAS000.AT2	SF_1.1042_KOCAELI_USK090.AT2	SF_1.1169_LOMAP_RIN000.AT2	SF_1.1639_WHITTIER_A-OBR360.AT2				
6	SF_0.78178_IMPVAL H-E03140.AT2	SF_1.1587_IMPVAL H-E01140.AT2	SF_1.1089_LANDERS_CAS000.AT2	SF_1.1313_IMPVAL H-E01140.AT2	SF_1.1908_LOMAP_RIN000.AT2				
7	SF_0.79338_KOCAELI_DHM090.AT2	SF_1.162_CHICHI_CHY041-E.AT2	SF_1.1271_CHICHI_CHY041-E.AT2	SF_1.1368_SMART1_45001EW.AT2	SF_1.2079_IMPVAL H-E01140.AT2				
8	SF_0.81245_WHITTIER_A-BAD000.AT2	SF_1.1815_LOMAP_RIN000.AT2	SF_1.129_IMPVAL H-E01140.AT2	SF_1.1378_LANDERS_CAS000.AT2	SF_1.2318_KOCAELI_MSK000.AT2				
9	SF_0.82014_CHICHI03_TCU129-E.AT2	SF_1.2108_SUPERST_B-ICC000.AT2	SF_1.1428_LOMAP_RIN000.AT2	SF_1.167_NORTHR_CDF090.AT2	SF_1.2507_LANDERS_CAS000.AT2				
10	SF_0.83179_IMPVAL H-E04140.AT2	SF_1.2141_CHICHI_CHY024-E.AT2	SF_1.1903_CHICHI_CHY024-E.AT2	SF_1.1811_COALINGA_H-C4A090.AT2	SF_1.2594_IMPVAL H-CC4045.AT2				
11	SF_0.84939_LOMAP_CLS090.AT2	SF_1.2578_IMPVAL H-CC4045.AT2	SF_1.2281_WHITTIER_A-CYP143.AT2	SF_1.1813_IMPVAL H-CC4045.AT2	SF_1.2633_COALINGA_H-C4A090.AT2				
12	SF_0.87507_CHICHI_TCU094-N.AT2	SF_1.2585_KOCAELI_MSK000.AT2	SF_1.2351_KOCAELI_MSK000.AT2	SF_1.1922_CHICHI06_TCU078-E.AT2	SF_1.277_LOMAP_SJW160.AT2				
13	SF_0.88018_FRIULI_A-TM2000.AT2	SF_1.2598_WHITTIER_A-CYP143.AT2	SF_1.2389_CHICHI06_TCU078-E.AT2	SF_1.201_WHITTIER_A-CYP143.AT2	SF_1.2871_CHICHI06_TCU078-E.AT2				
14	SF_0.91228_NORTHR_PAR--L.AT2	SF_1.2644_CHICHI06_TCU078-E.AT2	SF_1.2565_FRIULI_A-FLT270.AT2	SF_1.203_LOMAP_GGB270.AT2	SF_1.303_WHITTIER_A-CYP143.AT2				
15	SF_0.9195_HECTOR_32577360.AT2	SF_1.2956_FRIULI_A-FLT270.AT2	SF_1.2654_IMPVAL H-CXO225.AT2	SF_1.2639_FRIULI_A-FLT270.AT2	SF_1.3093_CHICHI_TAW-N.AT2				
16	SF_0.95285_LOMAP_G01090.AT2	SF_1.3397_TABAS_BAJ-T1.AT2	SF_1.3019_TABAS_BAJ-T1.AT2	SF_1.2676_NEWZEAL_A-MAR130.AT2	SF_1.3361_COALINGA_H-Z16090.AT2				
17	SF_0.95708_CHICHI06_TCU078-N.AT2	SF_1.3413_MANAGUA_B-MAN180.AT2	SF_1.3124_NORTHR_GLP177.AT2	SF_1.3666_WESTMORL_BRA315.AT2	SF_1.3668_FRIULI_A-FLT270.AT2				
18	SF_0.99932_IMPVAL H-ECC002.AT2	SF_1.4241_CHICHI_TCU048-N.AT2	SF_1.4011_CHICHI_TCU048-N.AT2	SF_1.366_NORTHR_CAT090.AT2	SF_1.416_WESTMORL_BRA315.AT2				
19	SF_1.005_IMPVAL H-E10050.AT2	SF_1.4456_NORTHR_CAT090.AT2	SF_1.4116_NORTHR_CAT090.AT2	SF_1.3684_TABAS_BAJ-T1.AT2	SF_1.4451_NORTHR_CAT090.AT2				
20	SF_1.0222_NORTHR_WRI090.AT2	SF_1.514_LIVERMOR_B-FRE075.AT2	SF_1.4683_LIVERMOR_B-FRE075.AT2	SF_1.3758_CHICHI_TCU040-N.AT2	SF_1.5244_TABAS_BAJ-T1.AT2				
Aydın Yapı		Gedikbulak 3D		20 Katlı 3D Yapı		24 Katlı 2D CSW			
1	SF_0.76535_IMPVAL H-E03140.AT2	SF_0.82073_LOMAP_G02000.AT2	SF_0.85451_IMPVAL H-E03140.AT2	SF_0.91961_IMPVAL H-E03140.AT2					
2	SF_0.76695_LOMAP_SSF115.AT2	SF_0.85574_NORTHR_OAK170.AT2	SF_0.89031_LOMAP_CHO7000.AT2	SF_0.94232_LOMAP_SSF115.AT2					
3	SF_0.77391_LOMAP_WDS000.AT2	SF_0.92067_NORTHR_MRP180.AT2	SF_0.91057_UPLAND_UP90S-H2.AT2	SF_0.94927_LOMAP_CHO7000.AT2					
4	SF_0.80565_LANDERS_WST000.AT2	SF_0.92177_CHICHI03_TCU129-E.AT2	SF_0.93206_LOMAP_SSF115.AT2	SF_0.98323_LOMAP_WDS000.AT2					
5	SF_0.81203_CHICHI_CHY074-E.AT2	SF_0.93865_NORTHR_SUN280.AT2	SF_0.97038_LOMAP_WDS000.AT2	SF_0.99696_LOMAP_MCH090.AT2					
6	SF_0.8179_LOMAP_MCH090.AT2	SF_0.94201_NORTHR_STM090.AT2	SF_0.97449_LOMAP_CLS090.AT2	SF_1.0395_LANDERS_WST000.AT2					
7	SF_0.83038_LOMAP_G02090.AT2	SF_0.95062_CHICHI_TCU042-N.AT2	SF_0.98798_SUPERST_B-ICC000.AT2	SF_1.064_CHICHI_TCU038-N.AT2					
8	SF_0.84125_LOMAP_GOF160.AT2	SF_0.95762_IMPVAL H-ECC092.AT2	SF_1.0104_IMPVAL H-CXO315.AT2	SF_1.075_CHICHI_CHY074-E.AT2					
9	SF_0.8438_SUPERST_B-WLF225.AT2	SF_0.99625_NORTHR_TUJ352.AT2	SF_1.018_KOCAELI_DHM000.AT2	SF_1.084_IMPVAL H-E13140.AT2					
10	SF_0.8636_SMART1_45007EW.AT2	SF_1.044_IMPVAL H-E04140.AT2	SF_1.0257_NORTHR_PHP270.AT2	SF_1.0886_LOMAP_GOF160.AT2					
11	SF_0.87425_WESTMORL_BRA315.AT2	SF_1.056_NORTHR_ORR360.AT2	SF_1.0361_CHICHI_TCU042-N.AT2	SF_1.0926_SUPERST_B-WLF225.AT2					
12	SF_0.87643_CHICHI_ALS-E.AT2	SF_1.0711_COALINGA_D-PVP360.AT2	SF_1.046_KOCAELI_USK090.AT2	SF_1.1088_SMART1_45007EW.AT2					
13	SF_0.8877_IMPVAL H-E13140.AT2	SF_1.0788_UPLAND_UP90S-H2.AT2	SF_1.0648_SUPERST_B-WLF225.AT2	SF_1.1228_SUPERST_B-BRA315.AT2					
14	SF_0.90511_SUPERST_B-BRA315.AT2	SF_1.1195_IMPVAL H-E07140.AT2	SF_1.0671_CHICHI_CHY101-E.AT2	SF_1.1509_CHICHI_ALS-E.AT2					
15	SF_0.91021_CHICHI_ILA013-W.AT2	SF_1.1373_CHICHI_TCU047-E.AT2	SF_1.0701_LOMAP_GMR000.AT2	SF_1.1549_WESTMORL_BRA315.AT2					
16	SF_0.91599_NCALIF_F-FRN225.AT2	SF_1.1408_NORTHR_OAK080.AT2	SF_1.0903_CHICHI_TTN051-N.AT2	SF_1.1769_SMART1_45004EW.AT2					
17	SF_0.9232_CHICHI_TCU081-N.AT2	SF_1.1491_CHICHI_TCU094-N.AT2	SF_1.1179_KOBE_HIK090.AT2	SF_1.2012_CHICHI_TCU105-N.AT2					
18	SF_0.96123_CHICHI_TCU042-E.AT2	SF_1.1909_IMPVAL H-E03140.AT2	SF_1.1197_CHICHI_CHY024-E.AT2	SF_1.2014_CHICHI_TCU054-E.AT2					
19	SF_0.96531_CHICHI_TAW-N.AT2	SF_1.2094_CHICHI_TCU045-E.AT2	SF_1.1403_NORTHR_MRP180.AT2	SF_1.229_CHICHI_TCU081-N.AT2					
20	SF_0.9782_SMART1_45002EW.AT2	SF_1.2267_CHICHI_WGK-E.AT2	SF_1.3425_MANAGUA_B-MAN180.AT2	SF_1.2887_CHICHI_TAW-N.AT2					

Çizelge A.1 (devam): Analizlerde Kullanılan depremlerin isimleri ve ölççek katsayıları listesi.

Ağrı Merkez, 2. Derece Deprem Bölgesi, ZC Zemin Sınıfı, DD_1

PFN_4_1		PFN_5_1		PFN_6_1		PFN_8_2		Prefabrik Yapı	
1	SF_1.4995_KOCAELI_DHM000.AT2	SF_1.4995_KOCAELI_DHM000.AT2	SF_1.476_KOCAELI_DHM000.AT2	SF_1.8073_CHICHI_TAW-N.AT2	SF_2.0321_IMPVALL_H-BCR230.AT2				
2	SF_1.5674_CHICHI_CHY101-E.AT2	SF_1.5674_CHICHI_CHY101-E.AT2	SF_1.5637_WHITTIER_A-BUE340.AT2	SF_1.9509_NORTHR_CAT090.AT2	SF_2.0943_LOMAP_PJH315.AT2				
3	SF_1.5906_WHITTIER_A-BUE340.AT2	SF_1.5906_WHITTIER_A-BUE340.AT2	SF_1.6078_KOCAELI_USK090.AT2	SF_1.9952_NEWZEAL_A-MAR040.AT2	SF_2.1105_CHICHI06_CHY088-N.AT2				
4	SF_1.6227_CHICHI_TTN051-N.AT2	SF_1.6227_CHICHI_TTN051-N.AT2	SF_1.6146_LANDERS_CAS000.AT2	SF_1.9979_NORTHR_MJH090.AT2	SF_2.1687_CHICHI06_CHY041-N.AT2				
5	SF_1.6258_KOCAELI_USK090.AT2	SF_1.6258_KOCAELI_USK090.AT2	SF_1.6411_CHICHI_CHY041-E.AT2	SF_2.0461_LANDERS_MEL090.AT2	SF_2.1918_CHICHI03_TCU075-E.AT2				
6	SF_1.6499_LANDERS_CAS000.AT2	SF_1.6499_LANDERS_CAS000.AT2	SF_1.6438_IMPVALL_H-E01140.AT2	SF_2.048_BIGBEAR_DHP090.AT2	SF_2.2077_WHITTIER_A-VER173.AT2				
7	SF_1.6695_IMPVALL_H-E01140.AT2	SF_1.6695_IMPVALL_H-E01140.AT2	SF_1.664_LOMAP_RIN000.AT2	SF_2.1235_WHITTIER_A-VER173.AT2	SF_2.2329_LIVERMOR_B-FRE075.AT2				
8	SF_1.6742_CHICHI_CHY041-E.AT2	SF_1.6742_CHICHI_CHY041-E.AT2	SF_1.7331_CHICHI_CHY024-E.AT2	SF_2.1319_LIVERMOR_B-FRE075.AT2	SF_2.2500_CHALFANT_A-LAD180.AT2				
9	SF_1.7023_LOMAP_RIN000.AT2	SF_1.7023_LOMAP_RIN000.AT2	SF_1.7881_WHITTIER_A-CYP143.AT2	SF_2.1386_CHICHI03_TCU075-E.AT2	SF_2.3279_CHICHI06_TCU065-E.AT2				
10	SF_1.7493_CHICHI_CHY024-E.AT2	SF_1.7493_CHICHI_CHY024-E.AT2	SF_1.7983_KOCAELI_MSK000.AT2	SF_2.1388_CHALFANT_A-LAD180.AT2	SF_2.4063_UPLAND_23525090.AT2				
11	SF_1.8132_KOCAELI_MSK000.AT2	SF_1.8132_KOCAELI_MSK000.AT2	SF_1.8039_CHICHI06_TCU078-E.AT2	SF_2.1726_LOMAP_SGI270.AT2	SF_2.4209_COALINGA_H-SC4090.AT2				
12	SF_1.8151_WHITTIER_A-CYP143.AT2	SF_1.8151_WHITTIER_A-CYP143.AT2	SF_1.8227_IMPVALL_H-E13140.AT2	SF_2.1862_LOMAP_SUF090.AT2	SF_2.4467_CHICHI_HWA2-E.AT2				
13	SF_1.8218_CHICHI06_TCU078-E.AT2	SF_1.8218_CHICHI06_TCU078-E.AT2	SF_1.8295_FRIULI_A-FLT270.AT2	SF_2.196_PARKF_C12320.AT2	SF_2.5057_CHICHI06_CHY028-E.AT2				
14	SF_1.8285_IMPVALL_H-E13140.AT2	SF_1.8285_IMPVALL_H-E13140.AT2	SF_1.8955_TABAS_BAJ-T1.AT2	SF_2.2373_NWCHINA2_J4060270.AT2	SF_2.5085_CHICHI_HWA033-E.AT2				
15	SF_1.8668_FRIULI_A-FLT270.AT2	SF_1.8668_FRIULI_A-FLT270.AT2	SF_1.9108_NORTHR_GLP177.AT2	SF_2.2891_SFERN_MA3220.AT2	SF_2.5266_COALINGA_H-PG6090.AT2				
16	SF_1.9303_TABAS_BAJ-T1.AT2	SF_1.9303_TABAS_BAJ-T1.AT2	SF_1.9988_LOMAP_AGW000.AT2	SF_2.4284_CHICHI_HWA2-E.AT2	SF_2.5317_LOMAP_CH12000.AT2				
17	SF_2.0462_LOMAP_AGW000.AT2	SF_2.0462_LOMAP_AGW000.AT2	SF_2.04_CHICHI_TCU048-N.AT2	SF_2.5113_HECTOR_14840019.AT2	SF_2.5777_CHICHI03_CHY024-E.AT2				
18	SF_2.0829_NORTHR_CAT090.AT2	SF_2.0829_NORTHR_CAT090.AT2	SF_2.0553_NORTHR_CAT090.AT2	SF_2.6086_CHICHI03_CHY024-E.AT2	SF_2.747_CHICHI03_CHY101-E.AT2				
19	SF_2.1026_CHICHI_TCU100-N.AT2	SF_2.1026_CHICHI_TCU100-N.AT2	SF_2.0774_CHICHI_TCU100-N.AT2	SF_2.6608_SKULLMT_Lsm7270.AT2	SF_2.7564_LOMAP_G04090.AT2				
20	SF_2.1814_LIVERMOR_B-FRE075.AT2	SF_2.1814_LIVERMOR_B-FRE075.AT2	SF_2.1378_LIVERMOR_B-FRE075.AT2	SF_2.7889_LANDERS_DEV000.AT2	SF_2.7677_SKULLMT_Lsm7270.AT2				
Aydın Üniv. Yapısı		Gedikbulak_3D		20_Katlı_3D_Yapı		24_Katlı_2D_CSW			
1	SF_1.6524_LOMAP_TLH090.AT2	SF_3.3961_CHICHI03_TCU075-E.AT2	SF_1.5633_CHICHI03_TCU129-E.AT2	SF_1.4513_KOCAELI_MSK000.AT2					
2	SF_1.6765_LOMAP_SJW160.AT2	SF_3.4336_CHICHI04_CHY101-E.AT2	SF_1.654_IMPVALL_H-E01140.AT2	SF_1.577_LOMAP_SJW160.AT2					
3	SF_1.7004_KOCAELI_ATK000.AT2	SF_3.4523_CHICHI05_TCU061-E.AT2	SF_1.6606_CHICHI_ALS-E.AT2	SF_1.5812_IMPVALL_H-CXO225.AT2					
4	SF_1.7262_CHICHI03_TCU122-E.AT2	SF_3.6537_CHICHI03_TCU122-E.AT2	SF_1.6615_KOCAELI_MSK000.AT2	SF_1.5986_IMPVALL_H-E01140.AT2					
5	SF_1.7303_HECTOR_14840019.AT2	SF_3.6888_NCALIF_D-FRN224.AT2	SF_1.684_NCALIF_F-FRN225.AT2	SF_1.6004_CHICHI_TAW-N.AT2					
6	SF_1.769_IMPVALL_H-E01140.AT2	SF_3.693_CHICHI04_CHY028-E.AT2	SF_1.7072_KOCAELI_ATK000.AT2	SF_1.6503_CHICHI03_TCU129-E.AT2					
7	SF_1.7742_CHICHI06_CHY025-E.AT2	SF_3.726_CHICHI05_TCU070-E.AT2	SF_1.7398_LOMAP_SJW160.AT2	SF_1.7031_KOCAELI_ATK000.AT2					
8	SF_1.8141_CHICHI03_TCU116-E.AT2	SF_3.7936_CHICHI03_TCU065-E.AT2	SF_1.7399_SMART1_45001EW.AT2	SF_1.7373_SMART1_33001NS.AT2					
9	SF_1.8164_SMART1_45E01NS.AT2	SF_3.8376_COALINGA_H-SC4090.AT2	SF_1.7903_CHICHI_TAW-N.AT2	SF_1.7739_NORTHR_CDF090.AT2					
10	SF_1.8165_CHICHI_HWA011-N.AT2	SF_3.8478_CHICHI05_TTN041-N.AT2	SF_1.7928_LOMAP_RIN000.AT2	SF_1.7804_KOCAELI_IST090.AT2					
11	SF_1.8266_SMART1_40001NS.AT2	SF_3.9551_WHITTIER_A-CAS270.AT2	SF_1.7985_MANAGUA_B-MAN180.AT2	SF_1.7819_SMART1_40001NS.AT2					
12	SF_1.8376_KOCAELI_IST090.AT2	SF_3.9852_CHICHI06_TCU122-E.AT2	SF_1.8138_NORTHR_CDF090.AT2	SF_1.7971_SMART1_45E01NS.AT2					
13	SF_1.8771_CHICHI_TAP010-E.AT2	SF_3.9895_NORTHR_BER000.AT2	SF_1.8363_WESTMORL_BRA315.AT2	SF_1.8204_CHICHI03_TCU122-E.AT2					
14	SF_1.9016_CHICHI06_CHY024-E.AT2	SF_3.9947_WHITTIER_A-L01090.AT2	SF_1.8661_COALINGA_H-C4A090.AT2	SF_1.8218_NORTHR_5081-270.AT2					
15	SF_1.948_TABAS_BOS-L1.AT2	SF_4.1447_NWCHINA3_J411N000.AT2	SF_1.8672_IMPVALL_H-CC4045.AT2	SF_1.8357_COALINGA_H-Z16090.AT2					
16	SF_2.0003_CHICHI_ILA044-W.AT2	SF_4.4378_WHITTIER_A-SOR315.AT2	SF_1.9024_COALINGA_H-Z16090.AT2	SF_1.8893_COALINGA_H-C4A090.AT2					
17	SF_2.0555_HECTOR_32577090.AT2	SF_4.5324_CHICHI06_CHY024-E.AT2	SF_1.9054_COALINGA_D-PVP360.AT2	SF_1.9024_NORTHR_CAT090.AT2					
18	SF_2.0582_CHICHI03_TCU129-E.AT2	SF_4.658_IMPVALL_A-E02140.AT2	SF_1.9672_CHICHI06_TCU078-E.AT2	SF_1.902_IMPVALL_H-CC4045.AT2					
19	SF_2.1445_KOBE_HIK000.AT2	SF_4.9333_WHITTIER_A-NOR360.AT2	SF_2.0241_CHICHI_TCU040-N.AT2	SF_1.9436_HECTOR_32577090.AT2					
20	SF_2.1568_UPLAND_23525090.AT2	SF_5.0093_PALMSPR_NPS300.AT2	SF_2.057_NORTHR_CAT090.AT2	SF_2.0667_LOMAP_PJH315.AT2					

Çizelge A.1 (devam): Analizlerde Kullanılan depremlerin isimleri ve ölççek katsayıları listesi.

Ağrı Merkez, 2. Derece Deprem Bölgesi, ZC Zemin Sınıfı, DD_2				
PFN_4_1	PFN_5_1	PFN_6_1	PFN_8_2	Prefabrik Yapı
1 SF_0.75348_CHICHI_TCU094-N.AT2	SF_0.75348_CHICHI_TCU094-N.AT2	SF_0.94462_CHICHI06_TCU078-E.AT2	SF_1.3116_WHITTIER_A-VER173.AT2	SF_1.4646_WHITTIER_A-L01090.AT2
2 SF_0.77773_NORTHR_PHP270.AT2	SF_0.77773_NORTHR_PHP270.AT2	SF_0.95446_IMPVALH_H-E13140.AT2	SF_1.3168_LIVERMOR_B-FRE075.AT2	SF_1.5208_CHICHI_CHY086-E.AT2
3 SF_0.826_LOMAP_SSF115.AT2	SF_0.826_LOMAP_SSF115.AT2	SF_0.96302_COALINGA_H-C4A090.AT2	SF_1.3211_CHALFANT_A-LAD180.AT2	SF_1.5485_LANDERS_DEV000.AT2
4 SF_0.83732_KOCAELI_DHM000.AT2	SF_0.83732_KOCAELI_DHM000.AT2	SF_1.0467_LOMAP_AGW000.AT2	SF_1.321_CHICHI03_TCU075-E.AT2	SF_1.5549_CHICHI_NST-E.AT2
5 SF_0.84262_WHITTIER_A-CWC270.AT2	SF_0.84262_WHITTIER_A-CWC270.AT2	SF_1.0874_NEWZEAL_A-MAR040.AT2	SF_1.4238_CHICHI03_TCU122-E.AT2	SF_1.559_LIVERMOR_A-FRE075.AT2
6 SF_0.87525_CHICHI_CHY101-E.AT2	SF_0.87525_CHICHI_CHY101-E.AT2	SF_1.0876_WESTMORL_BRA315.AT2	SF_1.4834_COALINGA_H-SC4090.AT2	SF_1.5601_IMPVALH_H-CMP015.AT2
7 SF_0.8882_WHITTIER_A-BUE340.AT2	SF_0.8882_WHITTIER_A-BUE340.AT2	SF_1.1195_LIVERMOR_B-FRE075.AT2	SF_1.5000_CHICHI_HWA2-E.AT2	SF_1.5634_SUPERST_B-SUP045.AT2
8 SF_0.90612_CHICHI_TTN051-N.AT2	SF_0.90612_CHICHI_TTN051-N.AT2	SF_1.1261_NWCHINA2_J4060270.AT2	SF_1.5153_UPLAND_23525090.AT2	SF_1.5783_NORTHR_WAT270.AT2
9 SF_0.90788_KOCAELI_USK090.AT2	SF_0.90788_KOCAELI_USK090.AT2	SF_1.1295_PARKF_C12320.AT2	SF_1.5369_CHICHI_HWA048-N.AT2	SF_1.599_LOMAP_ADL250.AT2
10 SF_0.90906_LOMAP_WDS000.AT2	SF_0.90906_LOMAP_WDS000.AT2	SF_1.1362_BIGBEAR_DHP090.AT2	SF_1.536_COALINGA_H-PG6090.AT2	SF_1.6191_CHICHI_TCU085-N.AT2
11 SF_0.92132_LANDERS_CAS000.AT2	SF_0.92132_LANDERS_CAS000.AT2	SF_1.1479_CHALFANT_A-LAD180.AT2	SF_1.5538_CHICHI_HWA033-E.AT2	SF_1.6932_CHICHI06_TCU122-E.AT2
12 SF_0.93226_IMPVALH_H-E01140.AT2	SF_0.93226_IMPVALH_H-E01140.AT2	SF_1.1500_HECTOR_32577090.AT2	SF_1.5595_NORTHR_LV3090.AT2	SF_1.7611_CHICHI03_TCU138-N.AT2
13 SF_0.93487_CHICHI_CHY041-E.AT2	SF_0.93487_CHICHI_CHY041-E.AT2	SF_1.1604_LANDERS_MEL090.AT2	SF_1.597_WHITTIER_A-L01090.AT2	SF_1.7779_CHALFANT_A-BEN270.AT2
14 SF_0.95059_LOMAP_RIN000.AT2	SF_0.95059_LOMAP_RIN000.AT2	SF_1.1625_WHITTIER_A-VER173.AT2	SF_1.6067_CHICHI06_CHY032-N.AT2	SF_1.7908_CHICHI04_CHY046-N.AT2
15 SF_0.97417_SUPERST_B-ICC000.AT2	SF_0.97417_SUPERST_B-ICC000.AT2	SF_1.1691_SFERN_MA3220.AT2	SF_1.6113_CHICHI03_CHY024-E.AT2	SF_1.7929_SMART1_0512EW.AT2
16 SF_0.97682_CHICHI_CHY024-E.AT2	SF_0.97682_CHICHI_CHY024-E.AT2	SF_1.1852_NORTHR_MJH090.AT2	SF_1.6435_SKULLMT_Lsm7270.AT2	SF_1.8838_LOMAP_PJH045.AT2
17 SF_1.0125_KOCAELI_MSK000.AT2	SF_1.0125_KOCAELI_MSK000.AT2	SF_1.187_CHICHI_CHY010-N.AT2	SF_1.6638_HECTOR_22161090.AT2	SF_1.9084_LANDERS_29P000.AT2
18 SF_1.0424_FRIULI_A-FLT270.AT2	SF_1.0424_FRIULI_A-FLT270.AT2	SF_1.2137_NORTHR_CDF000.AT2	SF_1.7055_CHICHI06_CHY101-E.AT2	SF_1.9199_LANDERS_NHO180.AT2
19 SF_1.0779_TABAS_BAJ-T1.AT2	SF_1.0779_TABAS_BAJ-T1.AT2	SF_1.2255_CHICHI06_CHY036-E.AT2	SF_1.7642_LOMAP_ADL250.AT2	SF_1.9511_ITALY_A-BOV000.AT2
20 SF_1.0792_MANAGUA_B-MAN180.AT2	SF_1.0792_MANAGUA_B-MAN180.AT2	SF_1.3828_CHICHI_ILA067-E.AT2	SF_1.7679_CHICHI03_CHY101-E.AT2	SF_1.9992_PALMSPR_NPS300.AT2
Aydın Yapı	Gedikbulak_3D	20_Katlı_3D_Yapı	24_Katlı_2D_CSW	
1 SF_0.71894_WESTMORL_BRA315.AT2	SF_0.77458_IMPVALH_H-E04140.AT2	SF_0.84594_KOCAELI_USK090.AT2	SF_0.73904_SUPERST_B-BRA315.AT2	
2 SF_0.72073_CHICHI_ALS-E.AT2	SF_0.79472_COALINGA_D-PVP360.AT2	SF_0.87944_SUPERST_B-BRA315.AT2	SF_0.75751_CHICHI_ALS-E.AT2	
3 SF_0.74432_SUPERST_B-BRA315.AT2	SF_0.85257_CHICHI_TCU094-N.AT2	SF_0.88953_LOMAP_G06000.AT2	SF_0.76018_WESTMORL_BRA315.AT2	
4 SF_0.75326_NCALIF_F-FRN225.AT2	SF_0.88359_IMPVALH_H-E03140.AT2	SF_0.90561_CHICHI_CHY024-E.AT2	SF_0.76155_LOMAP_G06000.AT2	
5 SF_0.75986_CHICHI06_CHY101-E.AT2	SF_0.93612_WHITTIER_A-BAD000.AT2	SF_0.93314_LIVERMOR_B-SRM070.AT2	SF_0.78378_NCALIF_F-FRN225.AT2	
6 SF_0.78632_LOMAP_G06000.AT2	SF_0.95008_LOMAP_GGB270.AT2	SF_0.94381_CHICHI03_TCU129-E.AT2	SF_0.78383_LOMAP_GMR000.AT2	
7 SF_0.79383_CHICHI_TAW-N.AT2	SF_0.96541_IMPVALH_H-ECC002.AT2	SF_0.99858_IMPVALH_H-E01140.AT2	SF_0.81376_LIVERMOR_B-SRM070.AT2	
8 SF_0.79642_LOMAP_TLH090.AT2	SF_0.9693_MORGAN_AGW240.AT2	SF_1.0031_KOCAELI_MSK000.AT2	SF_0.81472_CHICHI03_CHY101-E.AT2	
9 SF_0.80164_KOBE_TOT000.AT2	SF_0.97691_IMPVALH_H-E01140.AT2	SF_1.0197_CHICHI_TCU057-N.AT2	SF_0.81744_SMART1_40I07NS.AT2	
10 SF_0.80795_CHICHI03_CHY024-E.AT2	SF_0.99055_LANDERS_CAS000.AT2	SF_1.0307_KOCAELI_ATK000.AT2	SF_0.82479_KOBE_TOT000.AT2	
11 SF_0.8091_CHICHI_HWA013-E.AT2	SF_1.0400_LOMAP_SSF115.AT2	SF_1.0326_TABAS_BOS-L1.AT2	SF_0.83581_LOMAP_SJW160.AT2	
12 SF_0.8725_IMPVALH_H-E01140.AT2	SF_1.0545_TABAS_BAJ-T1.AT2	SF_1.0503_LOMAP_SJW160.AT2	SF_0.84721_IMPVALH_H-E01140.AT2	
13 SF_0.89313_KOCAELI_ATK000.AT2	SF_1.0594_NORTHR_TUJ262.AT2	SF_1.0504_SMART1_45001EW.AT2	SF_0.84822_CHICHI_TAW-N.AT2	
14 SF_0.89984_CHICHI03_TCU122-E.AT2	SF_1.0872_FRIULI_A-FLT270.AT2	SF_1.0809_CHICHI_TAW-N.AT2	SF_0.87466_CHICHI03_TCU129-E.AT2	
15 SF_0.90538_SMART1_45E01NS.AT2	SF_1.1102_NORTHR_WIL180.AT2	SF_1.0858_MANAGUA_B-MAN180.AT2	SF_0.9026_KOCAELI_ATK000.AT2	
16 SF_0.90552_SMART1_40001NS.AT2	SF_1.113_KOCAELI_MSK000.AT2	SF_1.095_NORTHR_CDF090.AT2	SF_0.94014_NORTHR_CDF090.AT2	
17 SF_0.92802_CHICHI_CHY047-N.AT2	SF_1.1217_SUPERST_B-BRA315.AT2	SF_1.1086_WESTMORL_BRA315.AT2	SF_0.94439_SMART1_40001NS.AT2	
18 SF_0.97693_NORTHR_5082-235.AT2	SF_1.123_MORGAN_G04360.AT2	SF_1.1428_CHICHI_TCU048-N.AT2	SF_0.95246_SMART1_45E01NS.AT2	
19 SF_1.0027_TABAS_BOS-L1.AT2	SF_1.1579_NORTHR_NYA180.AT2	SF_1.1485_COALINGA_H-Z16090.AT2	SF_0.96583_TABAS_BOS-L1.AT2	
20 SF_1.0218_CHICHI_ILA013-N.AT2	SF_1.2093_WHITTIER_A-BUE340.AT2	SF_1.235_NORTHR_TUJ262.AT2	SF_0.9729_COALINGA_H-Z16090.AT2	

Çizelge A.1 (devam): Analizlerde Kullanılan depremlerin isimleri ve ölççek katsayıları listesi.

Antalya Merkez, 2. Derece Deprem Bölgesi, ZC Zemin Sınıfı, DD_1				
PFN_4_1	PFN_5_1	PFN_6_1	PFN_8_2	Prefabrik Yapı
1 SF_1.4338_LANDERS_CAS000.AT2	SF_1.4338_LANDERS_CAS000.AT2	SF_1.4191_LANDERS_CAS000.AT2	SF_1.4569_LOMAP_RIN000.AT2	SF_1.5102_LOMAP_RIN000.AT2
2 SF_1.4508_IMPVALL_H-E01140.AT2	SF_1.4508_IMPVALL_H-E01140.AT2	SF_1.4448_IMPVALL_H-E01140.AT2	SF_1.4756_IMPVALL_H-E01140.AT2	SF_1.532_IMPVALL_H-E01140.AT2
3 SF_1.4794_LOMAP_RIN000.AT2	SF_1.4794_LOMAP_RIN000.AT2	SF_1.4625_LOMAP_RIN000.AT2	SF_1.4841_LANDERS_CAS000.AT2	SF_1.5622_KOCAELI_MSK000.AT2
4 SF_1.5202_CHICHI_CHY024-E.AT2	SF_1.5202_CHICHI_CHY024-E.AT2	SF_1.5233_CHICHI_CHY024-E.AT2	SF_1.5236_KOCAELI_MSK000.AT2	SF_1.5862_LANDERS_CAS000.AT2
5 SF_1.5434_NORTHR_WPI316.AT2	SF_1.5434_NORTHR_WPI316.AT2	SF_1.5236_NORTHR_WPI316.AT2	SF_1.5406_COALINGA_H-C4A090.AT2	SF_1.6022_COALINGA_H-C4A090.AT2
6 SF_1.5757_KOCAELI_MSK000.AT2	SF_1.5757_KOCAELI_MSK000.AT2	SF_1.5806_KOCAELI_MSK000.AT2	SF_1.5551_CHICHI06_TCU078-E.AT2	SF_1.6325_CHICHI06_TCU078-E.AT2
7 SF_1.5831_CHICHI06_TCU078-E.AT2	SF_1.5831_CHICHI06_TCU078-E.AT2	SF_1.5835_MORGAN_AGW240.AT2	SF_1.5665_WHITTIER_A-CYP143.AT2	SF_1.6525_WHITTIER_A-CYP143.AT2
8 SF_1.589_IMPVALL_H-E13140.AT2	SF_1.589_IMPVALL_H-E13140.AT2	SF_1.5855_CHICHI06_TCU078-E.AT2	SF_1.6411_NORTHR_WPI316.AT2	SF_1.6606_CHICHI_TAW-N.AT2
9 SF_1.6088_MORGAN_AGW240.AT2	SF_1.6088_MORGAN_AGW240.AT2	SF_1.602_IMPVALL_H-E13140.AT2	SF_1.6486_FRIULI_A-FLT270.AT2	SF_1.6945_COALINGA_H-Z16090.AT2
10 SF_1.613_COALINGA_H-C4A090.AT2	SF_1.613_COALINGA_H-C4A090.AT2	SF_1.608_FRIULI_A-FLT270.AT2	SF_1.6506_CHICHI_TAW-N.AT2	SF_1.7314_HECTOR_32577090.AT2
11 SF_1.6223_FRIULI_A-FLT270.AT2	SF_1.6223_FRIULI_A-FLT270.AT2	SF_1.6164_COALINGA_H-C4A090.AT2	SF_1.6626_COALINGA_H-Z16090.AT2	SF_1.7334_FRIULI_A-FLT270.AT2
12 SF_1.6599_LANDERS_WST000.AT2	SF_1.6599_LANDERS_WST000.AT2	SF_1.6661_TABAS_BAJ-T1.AT2	SF_1.6934_HECTOR_32577090.AT2	SF_1.7906_NORTHR_WPI316.AT2
13 SF_1.6775_TABAS_BAJ-T1.AT2	SF_1.6775_TABAS_BAJ-T1.AT2	SF_1.7662_LOMAP_SJW160.AT2	SF_1.7817_NORTHR_CAT090.AT2	SF_1.7959_WESTMORL_BRA315.AT2
14 SF_1.7261_CHICHI_TCU119-N.AT2	SF_1.7261_CHICHI_TCU119-N.AT2	SF_1.7826_DUZCE_1061-N.AT2	SF_1.7822_NORTHR_GLP177.AT2	SF_1.8328_NORTHR_CAT090.AT2
15 SF_1.8101_NORTHR_CAT090.AT2	SF_1.8101_NORTHR_CAT090.AT2	SF_1.8065_NORTHR_CAT090.AT2	SF_1.7825_WESTMORL_BRA315.AT2	SF_1.8599_DUZCE_1061-N.AT2
16 SF_1.8378_NEWZEAL_A-MAR040.AT2	SF_1.8378_NEWZEAL_A-MAR040.AT2	SF_1.8252_NEWZEAL_A-MAR040.AT2	SF_1.7849_TABAS_BAJ-T1.AT2	SF_1.8749_NEWZEAL_A-MAR040.AT2
17 SF_1.841_WESTMORL_BRA315.AT2	SF_1.841_WESTMORL_BRA315.AT2	SF_1.8254_WESTMORL_BRA315.AT2	SF_1.8101_DUZCE_1061-N.AT2	SF_1.8922_NORTHR_MJH090.AT2
18 SF_1.8932_HECTOR_32577090.AT2	SF_1.8932_HECTOR_32577090.AT2	SF_1.879_LIVERMOR_B-FRE075.AT2	SF_1.8201_LOMAP_AGW000.AT2	SF_1.9039_LOMAP_AGW000.AT2
19 SF_1.8957_LIVERMOR_B-FRE075.AT2	SF_1.8957_LIVERMOR_B-FRE075.AT2	SF_1.9303_HECTOR_32577090.AT2	SF_1.8223_NEWZEAL_A-MAR040.AT2	SF_1.9642_MORGAN_G03000.AT2
20 SF_1.9839_SERN_MA3220.AT2	SF_1.9839_SERN_MA3220.AT2	SF_1.9623_SERN_MA3220.AT2	SF_1.8247_NORTHR_MJH090.AT2	SF_2.0279_CHICHI03_TCU075-E.AT2
Aydın Üniv. Yapısı	Gedikbulak_3D	20 Katlı_3D_Yapı	24 Katlı_2D_CSW	
1 SF_1.8017_LOMAP_DMH000.AT2	SF_1.7451_LOMAP_GGB270.AT2	SF_2.1524_UPLAND_23525090.AT2	SF_2.2674_LIVERMOR_A-FRE075.AT2	
2 SF_1.952_CHICHI_ILA008-N.AT2	SF_1.7804_MORGAN_AGW240.AT2	SF_2.1952_CHICHI03_TCU075-E.AT2	SF_2.2778_WHITTIER_A-VER173.AT2	
3 SF_1.9921_CHICHI04_CHY101-E.AT2	SF_1.7943_IMPVALL_H-E01140.AT2	SF_2.2162_CHICHI03_TCU122-E.AT2	SF_2.3506_LOMAP_DMH000.AT2	
4 SF_2.0619_CHALFANT_A-LAD180.AT2	SF_1.8194_LANDERS_CAS000.AT2	SF_2.2334_DUZCE_1061-N.AT2	SF_2.3872_HECTOR_11591090.AT2	
5 SF_2.0821_LANDERS_29P000.AT2	SF_1.9102_LOMAP_SSF115.AT2	SF_2.2741_WHITTIER_A-VER173.AT2	SF_2.4156_HECTOR_22161090.AT2	
6 SF_2.0961_CHICHI_ILA012-N.AT2	SF_1.9369_TABAS_BAJ-T1.AT2	SF_2.3249_CHICHI_HWA048-N.AT2	SF_2.4419_CHICHI06_CHY028-E.AT2	
7 SF_2.1101_KOBE_OKA000.AT2	SF_1.9655_KOCAELI_DHM000.AT2	SF_2.3289_CHICHI_HWA2-E.AT2	SF_2.4564_LOMAP_TLH000.AT2	
8 SF_2.1155_LOMAP_TLH000.AT2	SF_1.997_FRIULI_A-FLT270.AT2	SF_2.3417_COALINGA_H-SC4090.AT2	SF_2.4862_CHICHI04_CHY101-E.AT2	
9 SF_2.1433_CHICHI_TAP041-E.AT2	SF_2.0388_CHICHI_CHY006-N.AT2	SF_2.3897_NWCHINA2_J4060270.AT2	SF_2.5645_CHICHI04_CHY015-N.AT2	
10 SF_2.1674_NEWZEAL_A-MAR040.AT2	SF_2.0602_SUPERST_B-BRA315.AT2	SF_2.435_COALINGA_H-PG6090.AT2	SF_2.5723_COALINGA_H-SC4090.AT2	
11 SF_2.2053_NORTHR_BIR090.AT2	SF_2.1133_NORTHR_GLE170.AT2	SF_2.4521_CHALFANT_A-LAD180.AT2	SF_2.6231_CHICHI_HWA033-E.AT2	
12 SF_2.2726_CHICHI_ILA027-E.AT2	SF_2.1178_NORTHR_CDF000.AT2	SF_2.4524_CHICHI_HWA033-E.AT2	SF_2.6488_CHICHI03_CHY034-N.AT2	
13 SF_2.3041_KOCAELI_BTS000.AT2	SF_2.1268_NORTHR_NYA180.AT2	SF_2.5607_HECTOR_22161090.AT2	SF_2.768_CHICHI_ILA027-E.AT2	
14 SF_2.3231_CHICHI_NCU-E.AT2	SF_2.1424_PARKF_C12320.AT2	SF_2.5906_CHICHI04_CHY101-E.AT2	SF_2.7825_LOMAP_ADL250.AT2	
15 SF_2.3535_CHICHI_ILA016-N.AT2	SF_2.1891_CHICHI02_TCU079-E.AT2	SF_2.8552_LANDERS_DEV000.AT2	SF_2.7887_CHICHI_HWA055-N.AT2	
16 SF_2.4128_CHICHI_HWA055-N.AT2	SF_2.2211_WHITTIER_A-BUE340.AT2	SF_2.8985_CHICHI03_TCU138-N.AT2	SF_2.7897_WHITTIER_A-L01090.AT2	
17 SF_2.4578_CHICHI_TCU088-E.AT2	SF_2.2713_SERN_MA3220.AT2	SF_2.9323_NORTHR_WAT270.AT2	SF_2.8017_CHICHI_TAP041-E.AT2	
18 SF_2.5455_KOCAELI_CNK090.AT2	SF_2.5109_CHICHI_NST-E.AT2	SF_3.0689_CHICHI06_CHY030-E.AT2	SF_2.8296_NORTHR_SAN180.AT2	
19 SF_2.5632_NORTHR_TEM180.AT2	SF_2.5276_SMADRE_4734C270.AT2	SF_3.1164_CHICHI_NST-E.AT2	SF_2.8403_KOCAELI_BTS000.AT2	
20 SF_2.5772_NORTHR_WAT270.AT2	SF_2.5684_CHICHI_TCU048-N.AT2	SF_3.3057_LIVERMOR_A-ANT360.AT2	SF_2.8765_CHICHI04_CHY088-N.AT2	

Çizelge A.1 (devam): Analizlerde Kullanılan depremlerin isimleri ve ölççek katsayıları listesi.

Antalya Merkez, 2. Derece Deprem Bölgesi, ZC Zemin Sınıfı, DD_2

PFN_4_1		PFN_5_1		PFN_6_1		PFN_8_2		Prefabrik Yapı	
1	SF_0.69942_KOCAELI_DHM000.AT2	SF_0.69942_KOCAELI_DHM000.AT2	SF_0.69942_KOCAELI_DHM000.AT2	SF_0.75738_KOCAELI_DHM000.AT2	SF_0.70088_KOCAELI_DHM000.AT2	SF_0.78504_WHITTIER_A-BUE340.AT2			
2	SF_0.74192_WHITTIER_A-BUE340.AT2	SF_0.74192_WHITTIER_A-BUE340.AT2	SF_0.74192_WHITTIER_A-BUE340.AT2	SF_0.79993_SUPERST_B-BRA315.AT2	SF_0.78769_CHICHI_CHY024-E.AT2	SF_0.80533_LOMAP_RIN000.AT2			
3	SF_0.75836_KOCAELI_USK090.AT2	SF_0.75836_KOCAELI_USK090.AT2	SF_0.75836_KOCAELI_USK090.AT2	SF_0.80239_WHITTIER_A-BUE340.AT2	SF_0.79759_LOMAP_RIN000.AT2	SF_0.81693_IMPVAL H-E01140.AT2			
4	SF_0.76958_LANDERS_CAS000.AT2	SF_0.76958_LANDERS_CAS000.AT2	SF_0.76958_LANDERS_CAS000.AT2	SF_0.82499_KOCAELI_USK090.AT2	SF_0.80785_IMPVAL H-E01140.AT2	SF_0.84583_LANDERS_CAS000.AT2			
5	SF_0.77872_IMPVAL H-E01140.AT2	SF_0.77872_IMPVAL H-E01140.AT2	SF_0.77872_IMPVAL H-E01140.AT2	SF_0.8285_LANDERS_CAS000.AT2	SF_0.81251_LANDERS_CAS000.AT2	SF_0.85436_COALINGA_H-C4A090.AT2			
6	SF_0.79403_LOMAP_RIN000.AT2	SF_0.79403_LOMAP_RIN000.AT2	SF_0.79403_LOMAP_RIN000.AT2	SF_0.84347_IMPVAL H-E01140.AT2	SF_0.83415_KOCAELI_MSK000.AT2	SF_0.86368_LOMAP_SJW160.AT2			
7	SF_0.81594_CHICHI_CHY024-E.AT2	SF_0.81594_CHICHI_CHY024-E.AT2	SF_0.81594_CHICHI_CHY024-E.AT2	SF_0.85383_LOMAP_RIN000.AT2	SF_0.84342_COALINGA_H-C4A090.AT2	SF_0.87051_CHICHI06_TCU078-E.AT2			
8	SF_0.8284_NORTHR_WPI316.AT2	SF_0.8284_NORTHR_WPI316.AT2	SF_0.8284_NORTHR_WPI316.AT2	SF_0.88948_NORTHR_WPI316.AT2	SF_0.85135_CHICHI06_TCU078-E.AT2	SF_0.8812_WHITTIER_A-CYP143.AT2			
9	SF_0.84575_KOCAELI_MSK000.AT2	SF_0.84575_KOCAELI_MSK000.AT2	SF_0.84575_KOCAELI_MSK000.AT2	SF_0.91755_WHITTIER_A-CYP143.AT2	SF_0.85761_WHITTIER_A-CYP143.AT2	SF_0.8855_CHICHI_TAW-N.AT2			
10	SF_0.84665_WHITTIER_A-CYP143.AT2	SF_0.84665_WHITTIER_A-CYP143.AT2	SF_0.84665_WHITTIER_A-CYP143.AT2	SF_0.92445_MORGAN_AGW240.AT2	SF_0.87443_LOMAP_SJW160.AT2	SF_0.90359_COALINGA_H-Z16090.AT2			
11	SF_0.84974_CHICHI06_TCU078-E.AT2	SF_0.84974_CHICHI06_TCU078-E.AT2	SF_0.84974_CHICHI06_TCU078-E.AT2	SF_0.92564_CHICHI06_TCU078-E.AT2	SF_0.89844_NORTHR_WPI316.AT2	SF_0.92325_HECTOR_32577090.AT2			
12	SF_0.86348_MORGAN_AGW240.AT2	SF_0.86348_MORGAN_AGW240.AT2	SF_0.86348_MORGAN_AGW240.AT2	SF_0.93875_FRIULI_A-FLT270.AT2	SF_0.90256_FRIULI_A-FLT270.AT2	SF_0.92435_FRIULI_A-FLT270.AT2			
13	SF_0.87074_FRIULI_A-FLT270.AT2	SF_0.87074_FRIULI_A-FLT270.AT2	SF_0.87074_FRIULI_A-FLT270.AT2	SF_0.98051_NORTHR_GLP177.AT2	SF_0.92711_HECTOR_32577090.AT2	SF_0.95485_NORTHR_WPI316.AT2			
14	SF_0.90037_TABAS_BAJ-T1.AT2	SF_0.90037_TABAS_BAJ-T1.AT2	SF_0.90037_TABAS_BAJ-T1.AT2	SF_1.0256_LOMAP_AGW000.AT2	SF_0.97545_NORTHR_CAT090.AT2	SF_0.95765_WESTMORL_BRA315.AT2			
15	SF_0.95444_LOMAP_AGW000.AT2	SF_0.95444_LOMAP_AGW000.AT2	SF_0.95444_LOMAP_AGW000.AT2	SF_1.0407_DUZCE_1061-N.AT2	SF_0.97589_WESTMORL_BRA315.AT2	SF_0.97736_NORTHR_CAT090.AT2			
16	SF_0.96554_DUZCE_1061-N.AT2	SF_0.96554_DUZCE_1061-N.AT2	SF_0.96554_DUZCE_1061-N.AT2	SF_1.0546_NORTHR_CAT090.AT2	SF_0.97718_TABAS_BAJ-T1.AT2	SF_0.99178_DUZCE_1061-N.AT2			
17	SF_0.97153_NORTHR_CAT090.AT2	SF_0.97153_NORTHR_CAT090.AT2	SF_0.97153_NORTHR_CAT090.AT2	SF_1.0656_NEWZEAL_A-MAR040.AT2	SF_0.991_DUZCE_1061-N.AT2	SF_0.99978_NEWZEAL_A-MAR040.AT2			
18	SF_0.98644_NEWZEAL_A-MAR040.AT2	SF_0.98644_NEWZEAL_A-MAR040.AT2	SF_0.98644_NEWZEAL_A-MAR040.AT2	SF_1.066_CHICHI_TCU100-N.AT2	SF_0.99645_LOMAP_AGW000.AT2	SF_1.009_NORTHR_MJH090.AT2			
19	SF_1.0175_LIVERMOR_B-FRE075.AT2	SF_1.0175_LIVERMOR_B-FRE075.AT2	SF_1.0175_LIVERMOR_B-FRE075.AT2	SF_1.097_LIVERMOR_B-FRE075.AT2	SF_0.99764_NEWZEAL_A-MAR040.AT2	SF_1.0153_LOMAP_AGW000.AT2			
20	SF_1.0648_SFERN_MA3220.AT2	SF_1.0648_SFERN_MA3220.AT2	SF_1.0648_SFERN_MA3220.AT2	SF_1.1456_SFERN_MA3220.AT2	SF_0.99899_NORTHR_MJH090.AT2	SF_1.0474_MORGAN_G03000.AT2			
Aydın Yapı		Gedikbulak_3D		20 Katlı_3D_Yapı		24 Katlı_2D_CSW			
1	SF_1.3893_CHALFANT_A-BEN270.AT2	SF_1.3313_CHICHI_NST-E.AT2	SF_0.79751_IMPVAL H-E01140.AT2	SF_0.92621_UPLAND_23525090.AT2					
2	SF_1.4351_CHICHI06_TCU122-E.AT2	SF_1.4358_CHALFANT_A-LAD180.AT2	SF_0.86322_CHICHI_TAW-N.AT2	SF_0.96255_CHICHI_HWA048-N.AT2					
3	SF_1.5084_CHICHI_TAP083-N.AT2	SF_1.4472_COALINGA_H-C4A090.AT2	SF_0.86444_LOMAP_RIN000.AT2	SF_0.97929_CHICHI_TCU085-N.AT2					
4	SF_1.5163_CHICHI03_TCU120-E.AT2	SF_1.4647_LIVERMOR_B-FRE075.AT2	SF_0.86715_WHITTIER_A-BUE340.AT2	SF_1.0187_LIVERMOR_A-FRE075.AT2					
5	SF_1.5212_ITALY_B-TRC000.AT2	SF_1.5072_SKULLMT_Lsm7270.AT2	SF_0.86717_MANAGUA_B-MAN180.AT2	SF_1.0208_NEWZEAL_A-MAR040.AT2					
6	SF_1.578_CHICHI_TTN042-W.AT2	SF_1.5406_WHITTIER_A-ARL270.AT2	SF_0.87454_NORTHR_CDF090.AT2	SF_1.0233_WHITTIER_A-VER173.AT2					
7	SF_1.579_LOMAP_PJH045.AT2	SF_1.5494_HECTOR_32577090.AT2	SF_0.88539_WESTMORL_BRA315.AT2	SF_1.023_CHICHI_HWA2-E.AT2					
8	SF_1.6284_COALINGA_G-CSU090.AT2	SF_1.5607_WHITTIER_A-WPA150.AT2	SF_0.89975_COALINGA_H-C4A090.AT2	SF_1.056_LOMAP_DMH000.AT2					
9	SF_1.6458_CHICHI04_CHY046-N.AT2	SF_1.5658_ITALY_A-BOV000.AT2	SF_0.90029_IMPVAL H-CC4045.AT2	SF_1.0725_HECTOR_11591090.AT2					
10	SF_1.6614_CHICHI06_CHY082-E.AT2	SF_1.5863_BIGBEAR_DHP090.AT2	SF_0.91726_COALINGA_H-Z16090.AT2	SF_1.0965_CHALFANT_A-LAD180.AT2					
11	SF_1.7327_CHICHI_CHY052-N.AT2	SF_1.6326_PALMSPR_H05360.AT2	SF_0.91872_COALINGA_D-PVP360.AT2	SF_1.1036_LOMAP_TLH000.AT2					
12	SF_1.7625_FRIULI_A-CLV270.AT2	SF_1.6656_WHITTIER_A-VER173.AT2	SF_0.94854_CHICHI06_TCU078-E.AT2	SF_1.117_CHICHI04_CHY101-E.AT2					
13	SF_1.7664_MANJIL_187178.AT2	SF_1.6739_LOMAP_MCH000.AT2	SF_0.95564_HECTOR_32577090.AT2	SF_1.144_FRIULI_A-FLT270.AT2					
14	SF_1.7738_CHICHI_TAI1-E.AT2	SF_1.768_HECTOR_14840019.AT2	SF_0.97596_CHICHI_TCU040-N.AT2	SF_1.1521_CHICHI04_CHY015-N.AT2					
15	SF_1.7948_AQABA_EIL-EW.AT2	SF_1.7946_CHICHI04_CHY101-E.AT2	SF_0.99184_NORTHR_CAT090.AT2	SF_1.1785_CHICHI_HWA033-E.AT2					
16	SF_1.875_LOMAP_SFS270.AT2	SF_1.8044_CHICHI05_TCU061-E.AT2	SF_1.0353_CHICHI_NST-N.AT2	SF_1.1918_NORTHR_BIR090.AT2					
17	SF_1.9442_CHICHI_TAP075-N.AT2	SF_1.8468_NORTHR_WAT270.AT2	SF_1.0515_NEWZEAL_A-MAR040.AT2	SF_1.192_CHICHI_CHY065-E.AT2					
18	SF_1.9576_CHICHI_ILA066-N.AT2	SF_1.9119_CHICHI05_CHY024-E.AT2	SF_1.0714_LOMAP_AGW000.AT2	SF_1.2227_LANDERS_29P000.AT2					
19	SF_1.957_CHICHI_CHY023-N.AT2	SF_1.9828_CHICHI03_TCU065-E.AT2	SF_1.0987_IMPVAL H-CMP285.AT2	SF_1.2435_CHICHI_ILA027-E.AT2					
20	SF_2.0992_CHICHI_TTN003-W.AT2	SF_2.0672_WHITTIER_A-CAS270.AT2	SF_1.1062_CHICHI06_CHY036-E.AT2	SF_1.2529_CHICHI_HWA055-N.AT2					

Çizelge A.1 (devam): Analizlerde Kullanılan depremlerin isimleri ve ölçek katsayıları listesi.

Diyarbakır Merkez, 2. Derece Deprem Bölgesi, ZC Zemin Sınıfı, DD_1				
PFN_4_1	PFN_5_1	PFN_6_1	PFN_8_2	Prefabrik Yapı
1 SF_0.68825_CHICHI_TCU042-N.AT2	SF_0.68825_CHICHI_TCU042-N.AT2	SF_0.71966_CHICHI_TCU042-N.AT2	SF_0.7338_IMPVALL_H-E03140.AT2	SF_0.70661_IMPVALL_H-E03140.AT2
2 SF_0.69916_IMPVALL_H-E03140.AT2	SF_0.69916_IMPVALL_H-E03140.AT2	SF_0.7405_IMPVALL_H-E03140.AT2	SF_0.77278_CHICHI_TCU042-N.AT2	SF_0.75762_LOMAP_CHO7000.AT2
3 SF_0.72659_WHITTIER_A-BAD000.AT2	SF_0.72659_WHITTIER_A-BAD000.AT2	SF_0.76423_WHITTIER_A-BAD000.AT2	SF_0.807_WHITTIER_A-BAD000.AT2	SF_0.76865_CHICHI_TCU042-N.AT2
4 SF_0.75963_LOMAP_CLS090.AT2	SF_0.75963_LOMAP_CLS090.AT2	SF_0.79986_LOMAP_CLS090.AT2	SF_0.80801_MORGAN_G04360.AT2	SF_0.78178_LOMAP_CLS090.AT2
5 SF_0.77697_COALINGA_H-CAK270.AT2	SF_0.77697_COALINGA_H-CAK270.AT2	SF_0.82268_CHICHI_TCU094-N.AT2	SF_0.80875_LOMAP_CLS090.AT2	SF_0.78541_MORGAN_G04360.AT2
6 SF_0.80103_MORGAN_G04360.AT2	SF_0.80103_MORGAN_G04360.AT2	SF_0.85073_NORTHR_PHP270.AT2	SF_0.81626_MANJIL_189132.AT2	SF_0.78855_NORTHR_PHP270.AT2
7 SF_0.81735_MORGAN_AGW330.AT2	SF_0.81735_MORGAN_AGW330.AT2	SF_0.85819_MORGAN_G04360.AT2	SF_0.81678_NORTHR_PHP270.AT2	SF_0.81079_LOMAP_SSF115.AT2
8 SF_0.83214_NORTHR_STC180.AT2	SF_0.83214_NORTHR_STC180.AT2	SF_0.86239_NORTHR_PAR--L.AT2	SF_0.82506_LOMAP_CHO7000.AT2	SF_0.84838_CHICHI_TCU094-N.AT2
9 SF_0.85593_CHICHI06_TCU078-N.AT2	SF_0.85593_CHICHI06_TCU078-N.AT2	SF_0.91819_LOMAP_SSF115.AT2	SF_0.85983_CHICHI_TCU094-N.AT2	SF_0.86279_CHICHI03_TCU129-E.AT2
10 SF_0.8579_LOMAP_SSF115.AT2	SF_0.8579_LOMAP_SSF115.AT2	SF_0.91877_KOCAELI_DHM000.AT2	SF_0.86342_LOMAP_SSF115.AT2	SF_0.86728_LOMAP_WDS000.AT2
11 SF_0.86967_KOCAELI_DHM000.AT2	SF_0.86967_KOCAELI_DHM000.AT2	SF_0.94124_IMPVALL_H-ECC002.AT2	SF_0.90484_SUPERST_B-BRA315.AT2	SF_0.87235_SUPERST_B-BRA315.AT2
12 SF_0.89958_NWCHINA2_X4060000.AT2	SF_0.89958_NWCHINA2_X4060000.AT2	SF_0.95463_CHICHI_TCU075-N.AT2	SF_0.90996_LOMAP_OLEM000.AT2	SF_0.88189_LOMAP_OLEM000.AT2
13 SF_0.9004_LOMAP_RIN090.AT2	SF_0.9004_LOMAP_RIN090.AT2	SF_0.95636_NWCHINA2_X4060000.AT2	SF_0.91365_NORTHR_PAR--L.AT2	SF_0.88214_KOCAELI_DHM000.AT2
14 SF_0.90968_SUPERST_B-BRA315.AT2	SF_0.90968_SUPERST_B-BRA315.AT2	SF_0.96029_CHICHI_CHY101-E.AT2	SF_0.92047_KOCAELI_DHM000.AT2	SF_0.89091_KOCAELI_USK090.AT2
15 SF_0.92252_WHITTIER_A-BUE340.AT2	SF_0.92252_WHITTIER_A-BUE340.AT2	SF_0.97038_SUPERST_B-BRA315.AT2	SF_0.93372_KOCAELI_USK090.AT2	SF_0.89664_NWCHINA2_X4060000.AT2
16 SF_0.94419_LOMAP_SJW250.AT2	SF_0.94419_LOMAP_SJW250.AT2	SF_0.97337_WHITTIER_A-BUE340.AT2	SF_0.96138_CHICHI_CHY101-E.AT2	SF_0.90615_NORTHR_PAR--L.AT2
17 SF_0.94661_NORTHR_5081-360.AT2	SF_0.94661_NORTHR_5081-360.AT2	SF_0.9954_CHICHI_TTN051-N.AT2	SF_0.96516_SUPERST_B-ICC000.AT2	SF_0.90787_SUPERST_B-ICC000.AT2
18 SF_0.97099_CHICHI_CHY041-E.AT2	SF_0.97099_CHICHI_CHY041-E.AT2	SF_1.0215_CHICHI_CHY041-E.AT2	SF_0.97698_CHICHI_TCU075-N.AT2	SF_0.94253_CHICHI_TTN051-N.AT2
19 SF_1.0061_IMPVALL_H-E01230.AT2	SF_1.0061_IMPVALL_H-E01230.AT2	SF_1.0788_CHICHI_CHY024-E.AT2	SF_0.98719_CHICHI_TTN051-N.AT2	SF_0.97208_CHICHI_CHY024-E.AT2
20 SF_1.0844_CHICHI_TCU049-E.AT2	SF_1.0844_CHICHI_TCU049-E.AT2	SF_1.1547_CHICHI_TCU049-E.AT2	SF_1.0345_CHICHI_CHY024-E.AT2	SF_1.0455_TABAS_BOS-L1.AT2
Aydın Üniv. Yapısı	Gedikbulak_3D	20_Katlı_3D_Yapı	24_Katlı_2D_CSW	
1 SF_0.74714_LOMAP_WDS000.AT2	SF_0.7519_CHICHI_TCU042-N.AT2	SF_1.4817_UPLAND_23525090.AT2	SF_0.9275_IMPVALL_H-E03140.AT2	
2 SF_0.75781_IMPVALL_H-E03140.AT2	SF_0.82573_IMPVALL_H-E04140.AT2	SF_1.5112_CHICHI03_TCU075-E.AT2	SF_0.9504_LOMAP_SSF115.AT2	
3 SF_0.76106_KOCAELI_MSK000.AT2	SF_0.8472_COALINGA_D-PVP360.AT2	SF_1.5655_WHITTIER_A-VER173.AT2	SF_0.95741_LOMAP_CHO7000.AT2	
4 SF_0.76193_LANDERS_WST000.AT2	SF_0.85327_UPLAND_UP90S-H2.AT2	SF_1.612_COALINGA_H-SC4090.AT2	SF_0.97786_CHICHI_CHY024-E.AT2	
5 SF_0.77779_CHICHI_CHY074-E.AT2	SF_0.87564_CHICHI03_TCU076-E.AT2	SF_1.6451_NWCHINA2_J4060270.AT2	SF_0.99166_LOMAP_WDS000.AT2	
6 SF_0.78046_CHICHI_CHY029-N.AT2	SF_0.90888_CHICHI_TCU094-N.AT2	SF_1.6881_CHALFANT_A-LAD180.AT2	SF_1.0055_LOMAP_MCH090.AT2	
7 SF_0.79005_LOMAP_GOF160.AT2	SF_0.91676_COALINGA_H-CAK270.AT2	SF_1.7016_LIVERMOR_A-FRE075.AT2	SF_1.0484_LANDERS_WST000.AT2	
8 SF_0.79861_IMPVALL_H-E01230.AT2	SF_0.94194_IMPVALL_H-E03140.AT2	SF_1.7406_CHICHI_CHY002-N.AT2	SF_1.0731_CHICHI_TCU038-N.AT2	
9 SF_0.80388_LOMAP_G02090.AT2	SF_0.94623_HECTOR_32577360.AT2	SF_1.7421_CHICHI06_CHY074-E.AT2	SF_1.0842_CHICHI_CHY074-E.AT2	
10 SF_0.80504_SUPERST_B-WLF225.AT2	SF_0.97732_LOMAP_CLS090.AT2	SF_1.7553_SFERN_H05225.AT2	SF_1.0933_IMPVALL_H-E13140.AT2	
11 SF_0.82833_WESTMORL_BRA315.AT2	SF_0.99794_WHITTIER_A-BAD000.AT2	SF_1.7628_HECTOR_22161090.AT2	SF_1.0979_LOMAP_GOF160.AT2	
12 SF_0.8376_CHICHI_ALS-E.AT2	SF_1.0128_LOMAP_GGB270.AT2	SF_1.7654_CHICHI02_TCU065-E.AT2	SF_1.102_SUPERST_B-WLF225.AT2	
13 SF_0.83935_CHICHI_TCU081-N.AT2	SF_1.0176_IMPVALL_H-E06230.AT2	SF_1.7834_CHICHI04_CHY101-E.AT2	SF_1.1041_NORTHR_PHP270.AT2	
14 SF_0.86611_IMPVALL_H-E13140.AT2	SF_1.0292_IMPVALL_H-ECC002.AT2	SF_1.806_CHICHI_TCU085-N.AT2	SF_1.1183_SMART1_45007EW.AT2	
15 SF_0.8665_NORTHR_PHP270.AT2	SF_1.0306_NORTHR_PAR--L.AT2	SF_1.9655_LANDERS_DEV000.AT2	SF_1.1324_SUPERST_B-BRA315.AT2	
16 SF_0.8772_CHICHI_TAW-N.AT2	SF_1.0333_MORGAN_AGW240.AT2	SF_1.9954_CHICHI03_TCU138-N.AT2	SF_1.1357_CHICHI_TCU057-N.AT2	
17 SF_0.88109_CHICHI_ILA013-W.AT2	SF_1.0414_IMPVALL_H-E01140.AT2	SF_2.0186_NORTHR_WAT270.AT2	SF_1.1607_CHICHI_ALS-E.AT2	
18 SF_0.88113_SUPERST_B-BRA315.AT2	SF_1.056_LANDERS_CAS000.AT2	SF_2.0859_CHALFANT_A-BEN270.AT2	SF_1.1648_WESTMORL_BRA315.AT2	
19 SF_0.88179_NCALIF_F-FRN225.AT2	SF_1.1242_TABAS_BAJ-T1.AT2	SF_2.1454_CHICHI_NST-E.AT2	SF_1.1786_KOCAELI_MSK000.AT2	
20 SF_1.0267_CHICHI03_TCU122-E.AT2	SF_1.2891_WHITTIER_A-BUE340.AT2	SF_2.2615_LANDERS_29P000.AT2	SF_1.2395_CHICHI_TCU081-N.AT2	

Çizelge A.1 (devam): Analizlerde Kullanılan depremlerin isimleri ve ölççek katsayıları listesi.

Diyarbakır Merkez, 2. Derece Deprem Bölgesi, ZC Zemin Sınıfı, DD_2

PFN_4_1		PFN_5_1		PFN_6_1		PFN_8_2		Prefabrik Yapı	
1	SF_0.67492_CHICHI_TAW-N.AT2	SF_0.67492_CHICHI_TAW-N.AT2	SF_0.67492_CHICHI_TAW-N.AT2	SF_0.72421_LIVERMOR_B-FRE075.AT2	SF_0.89609_HECTOR_14840019.AT2	SF_0.89609_HECTOR_14840019.AT2	SF_0.89609_HECTOR_14840019.AT2	SF_1.0093_CHICHI06_CHY032-N.AT2	SF_1.0093_CHICHI06_CHY032-N.AT2
2	SF_0.70049_NEWZEAL_A-MAR040.AT2	SF_0.70049_NEWZEAL_A-MAR040.AT2	SF_0.70049_NEWZEAL_A-MAR040.AT2	SF_0.75204_WHITTIER_A-VER173.AT2	SF_0.92253_WHITTIER_A-L01090.AT2	SF_0.92253_WHITTIER_A-L01090.AT2	SF_0.92253_WHITTIER_A-L01090.AT2	SF_1.0288_WHITTIER_A-L01090.AT2	SF_1.0288_WHITTIER_A-L01090.AT2
3	SF_0.72254_LIVERMOR_B-FRE075.AT2	SF_0.72254_LIVERMOR_B-FRE075.AT2	SF_0.72254_LIVERMOR_B-FRE075.AT2	SF_0.77423_CHICHI03_TCU075-E.AT2	SF_0.98523_CHICHI06_CHY101-E.AT2	SF_0.98523_CHICHI06_CHY101-E.AT2	SF_0.98523_CHICHI06_CHY101-E.AT2	SF_1.0367_CHICHI_TAP049-E.AT2	SF_1.0367_CHICHI_TAP049-E.AT2
4	SF_0.72642_BIGBEAR_DHP090.AT2	SF_0.72642_BIGBEAR_DHP090.AT2	SF_0.72642_BIGBEAR_DHP090.AT2	SF_0.80164_CHICHI03_CHY028-E.AT2	SF_0.99514_LANDERS_DEV000.AT2	SF_0.99514_LANDERS_DEV000.AT2	SF_0.99514_LANDERS_DEV000.AT2	SF_1.0621_LOMAP_BES345.AT2	SF_1.0621_LOMAP_BES345.AT2
5	SF_0.7312_NWCHINA2_J4060270.AT2	SF_0.7312_NWCHINA2_J4060270.AT2	SF_0.7312_NWCHINA2_J4060270.AT2	SF_0.87121_NORTHR_TAR090.AT2	SF_1.0212_CHICHI03_CHY101-E.AT2	SF_1.0212_CHICHI03_CHY101-E.AT2	SF_1.0212_CHICHI03_CHY101-E.AT2	SF_1.0951_LIVERMOR_A-FRE075.AT2	SF_1.0951_LIVERMOR_A-FRE075.AT2
6	SF_0.74397_LANDERS_MEL090.AT2	SF_0.74397_LANDERS_MEL090.AT2	SF_0.74397_LANDERS_MEL090.AT2	SF_0.87506_COALINGA_H-SC4090.AT2	SF_1.0287_LIVERMOR_A-FRE075.AT2	SF_1.0287_LIVERMOR_A-FRE075.AT2	SF_1.0287_LIVERMOR_A-FRE075.AT2	SF_1.0982_SUPERST_B-SUP045.AT2	SF_1.0982_SUPERST_B-SUP045.AT2
7	SF_0.74781_WHITTIER_A-VER173.AT2	SF_0.74781_WHITTIER_A-VER173.AT2	SF_0.74781_WHITTIER_A-VER173.AT2	SF_0.87619_LOMAP_BVU220.AT2	SF_1.0419_COALINGA_H-VC6090.AT2	SF_1.0419_COALINGA_H-VC6090.AT2	SF_1.0419_COALINGA_H-VC6090.AT2	SF_1.1309_COALINGA_H-VC6090.AT2	SF_1.1309_COALINGA_H-VC6090.AT2
8	SF_0.75642_NORTHR_MJH090.AT2	SF_0.75642_NORTHR_MJH090.AT2	SF_0.75642_NORTHR_MJH090.AT2	SF_0.87846_CHICHI03_TCU122-E.AT2	SF_1.0662_CHICHI04_CHY101-E.AT2	SF_1.0662_CHICHI04_CHY101-E.AT2	SF_1.0662_CHICHI04_CHY101-E.AT2	SF_1.1775_HECTOR_11591090.AT2	SF_1.1775_HECTOR_11591090.AT2
9	SF_0.7671_CHICHI03_TCU075-E.AT2	SF_0.7671_CHICHI03_TCU075-E.AT2	SF_0.7671_CHICHI03_TCU075-E.AT2	SF_0.87889_CHICHI03_TCU065-E.AT2	SF_1.0831_CHICHI_TCU085-N.AT2	SF_1.0831_CHICHI_TCU085-N.AT2	SF_1.0831_CHICHI_TCU085-N.AT2	SF_1.1797_CHICHI_HWA027-E.AT2	SF_1.1797_CHICHI_HWA027-E.AT2
10	SF_0.7739_CHICHI_ALS-E.AT2	SF_0.7739_CHICHI_ALS-E.AT2	SF_0.7739_CHICHI_ALS-E.AT2	SF_0.90097_WHITTIER_A-L01090.AT2	SF_1.0998_CHICHI06_TCU122-E.AT2	SF_1.0998_CHICHI06_TCU122-E.AT2	SF_1.0998_CHICHI06_TCU122-E.AT2	SF_1.181_CHICHI_ILA027-E.AT2	SF_1.181_CHICHI_ILA027-E.AT2
11	SF_0.78754_CHICHI03_CHY028-E.AT2	SF_0.78754_CHICHI03_CHY028-E.AT2	SF_0.78754_CHICHI03_CHY028-E.AT2	SF_0.91062_SKULLMT_Lsm7270.AT2	SF_1.1163_SMART1_05112EW.AT2	SF_1.1163_SMART1_05112EW.AT2	SF_1.1163_SMART1_05112EW.AT2	SF_1.1894_CHICHI06_TCU122-E.AT2	SF_1.1894_CHICHI06_TCU122-E.AT2
12	SF_0.79823_CHICHI06_TCU129-E.AT2	SF_0.79823_CHICHI06_TCU129-E.AT2	SF_0.79823_CHICHI06_TCU129-E.AT2	SF_0.91701_COALINGA_H-PG6090.AT2	SF_1.1342_CHICHI_CHY002-N.AT2	SF_1.1342_CHICHI_CHY002-N.AT2	SF_1.1342_CHICHI_CHY002-N.AT2	SF_1.2024_CHICHI04_CHY015-N.AT2	SF_1.2024_CHICHI04_CHY015-N.AT2
13	SF_0.85222_CHICHI03_TCU065-E.AT2	SF_0.85222_CHICHI03_TCU065-E.AT2	SF_0.85222_CHICHI03_TCU065-E.AT2	SF_0.9368_COALINGA_H-Z15090.AT2	SF_1.1398_CHICHI_ILA027-E.AT2	SF_1.1398_CHICHI_ILA027-E.AT2	SF_1.1398_CHICHI_ILA027-E.AT2	SF_1.219_CHICHI_TAP052-N.AT2	SF_1.219_CHICHI_TAP052-N.AT2
14	SF_0.89522_WHITTIER_A-L01090.AT2	SF_0.89522_WHITTIER_A-L01090.AT2	SF_0.89522_WHITTIER_A-L01090.AT2	SF_0.96548_NORTHR_WAT270.AT2	SF_1.1528_CHICHI04_CHY015-N.AT2	SF_1.1528_CHICHI04_CHY015-N.AT2	SF_1.1528_CHICHI04_CHY015-N.AT2	SF_1.2371_CHICHI03_TCU138-N.AT2	SF_1.2371_CHICHI03_TCU138-N.AT2
15	SF_0.89803_CHICHI_NST-E.AT2	SF_0.89803_CHICHI_NST-E.AT2	SF_0.89803_CHICHI_NST-E.AT2	SF_0.97003_UPLAND_23525090.AT2	SF_1.1587_CHICHI03_TCU138-N.AT2	SF_1.1587_CHICHI03_TCU138-N.AT2	SF_1.1587_CHICHI03_TCU138-N.AT2	SF_1.2494_BIGBEAR_HOS090.AT2	SF_1.2494_BIGBEAR_HOS090.AT2
16	SF_0.90798_SKULLMT_Lsm7270.AT2	SF_0.90798_SKULLMT_Lsm7270.AT2	SF_0.90798_SKULLMT_Lsm7270.AT2	SF_0.97278_LOMAP_G04090.AT2	SF_1.2127_LOMAP_PJH045.AT2	SF_1.2127_LOMAP_PJH045.AT2	SF_1.2127_LOMAP_PJH045.AT2	SF_1.2579_CHICHI04_CHY046-N.AT2	SF_1.2579_CHICHI04_CHY046-N.AT2
17	SF_0.91972_HECTOR_14840019.AT2	SF_0.91972_HECTOR_14840019.AT2	SF_0.91972_HECTOR_14840019.AT2	SF_1.0025_LOMAP_ADL250.AT2	SF_1.2168_ITALY_A-BOV000.AT2	SF_1.2168_ITALY_A-BOV000.AT2	SF_1.2168_ITALY_A-BOV000.AT2	SF_1.2594_SMART1_05112EW.AT2	SF_1.2594_SMART1_05112EW.AT2
18	SF_0.95439_UPLAND_23525090.AT2	SF_0.95439_UPLAND_23525090.AT2	SF_0.95439_UPLAND_23525090.AT2	SF_1.0085_MORGAN_WVE000.AT2	SF_1.238_LANDERS_29P000.AT2	SF_1.238_LANDERS_29P000.AT2	SF_1.238_LANDERS_29P000.AT2	SF_1.3232_LOMAP_PJH045.AT2	SF_1.3232_LOMAP_PJH045.AT2
19	SF_0.9926_LANDERS_DEV000.AT2	SF_0.9926_LANDERS_DEV000.AT2	SF_0.9926_LANDERS_DEV000.AT2	SF_1.0562_CHICHI06_CHY101-E.AT2	SF_1.2622_PALMSPR_NPS300.AT2	SF_1.2622_PALMSPR_NPS300.AT2	SF_1.2622_PALMSPR_NPS300.AT2	SF_1.359_HECTOR_0589a230.AT2	SF_1.359_HECTOR_0589a230.AT2
20	SF_1.0819_CHICHI03_CHY101-E.AT2	SF_1.0819_CHICHI03_CHY101-E.AT2	SF_1.0819_CHICHI03_CHY101-E.AT2	SF_1.0927_CHICHI03_CHY101-E.AT2	SF_1.2701_LANDERS_NHO180.AT2	SF_1.2701_LANDERS_NHO180.AT2	SF_1.2701_LANDERS_NHO180.AT2	SF_1.4043_PALMSPR_NPS300.AT2	SF_1.4043_PALMSPR_NPS300.AT2
Aydın Yapı		Gedikbulak_3D		20_Katlı_3D_Yapı		24_Katlı_2D_CSW			
1	SF_0.75184_MANJIL_188310.AT2	SF_0.8649_WHITTIER_A-FLO020.AT2	SF_0.8649_WHITTIER_A-FLO020.AT2	SF_0.71517_NORTHR_CAT090.AT2	SF_0.7162_COALINGA_H-Z16090.AT2	SF_0.7162_COALINGA_H-Z16090.AT2	SF_0.7162_COALINGA_H-Z16090.AT2	SF_0.8059_CHICHI06_CHY024-E.AT2	SF_0.8059_CHICHI06_CHY024-E.AT2
2	SF_0.80577_UPLAND_23525090.AT2	SF_0.91086_COALINGA_H-C4A090.AT2	SF_0.91086_COALINGA_H-C4A090.AT2	SF_0.74235_LANDERS_MEL090.AT2	SF_0.82241_CHICHI03_CHY028-E.AT2	SF_0.82241_CHICHI03_CHY028-E.AT2	SF_0.82241_CHICHI03_CHY028-E.AT2	SF_0.82808_LOMAP_MCH000.AT2	SF_0.82808_LOMAP_MCH000.AT2
3	SF_0.82873_CHICHI03_CHY028-E.AT2	SF_0.92186_LIVERMOR_B-FRE075.AT2	SF_0.92186_LIVERMOR_B-FRE075.AT2	SF_0.75817_NEWZEAL_A-MAR040.AT2	SF_0.83239_UPLAND_23525090.AT2	SF_0.83239_UPLAND_23525090.AT2	SF_0.83239_UPLAND_23525090.AT2	SF_0.86311_ITALY_A-BRZ000.AT2	SF_0.86311_ITALY_A-BRZ000.AT2
4	SF_0.82986_HECTOR_12331090.AT2	SF_0.94864_SKULLMT_Lsm7270.AT2	SF_0.94864_SKULLMT_Lsm7270.AT2	SF_0.75906_LOMAP_SUF090.AT2	SF_0.86504_CHICHI_HWA048-N.AT2	SF_0.86504_CHICHI_HWA048-N.AT2	SF_0.86504_CHICHI_HWA048-N.AT2	SF_0.88009_CHICHI_TCU085-N.AT2	SF_0.88009_CHICHI_TCU085-N.AT2
5	SF_0.85247_CHICHI_TAP052-N.AT2	SF_0.96961_WHITTIER_A-ARL270.AT2	SF_0.96961_WHITTIER_A-ARL270.AT2	SF_0.76543_NORTHR_MJH090.AT2	SF_0.91547_LIVERMOR_A-FRE075.AT2	SF_0.91547_LIVERMOR_A-FRE075.AT2	SF_0.91547_LIVERMOR_A-FRE075.AT2	SF_0.91741_NEWZEAL_A-MAR040.AT2	SF_0.91741_NEWZEAL_A-MAR040.AT2
6	SF_0.85358_LOMAP_PJH315.AT2	SF_0.98226_WHITTIER_A-WPA150.AT2	SF_0.98226_WHITTIER_A-WPA150.AT2	SF_0.7718_FRIULI_A-FLT270.AT2	SF_0.91939_CHICHI_HWA2-E.AT2	SF_0.91939_CHICHI_HWA2-E.AT2	SF_0.91939_CHICHI_HWA2-E.AT2	SF_0.92666_NORTHR_MJH090.AT2	SF_0.92666_NORTHR_MJH090.AT2
7	SF_0.86599_BORREGO_A-ELC180.AT2	SF_0.99843_BIGBEAR_DHP090.AT2	SF_0.99843_BIGBEAR_DHP090.AT2	SF_0.77244_CHICHI03_CHY028-E.AT2	SF_0.93076_LANDERS_H05000.AT2	SF_0.93076_LANDERS_H05000.AT2	SF_0.93076_LANDERS_H05000.AT2	SF_0.94499_SFERN_PAS090.AT2	SF_0.94499_SFERN_PAS090.AT2
8	SF_0.86903_CHICHI_HWA048-N.AT2	SF_1.0216_NORTHR_MJH090.AT2	SF_1.0216_NORTHR_MJH090.AT2	SF_0.78796_BIGBEAR_DHP090.AT2	SF_0.94905_LOMAP_DMH000.AT2	SF_0.94905_LOMAP_DMH000.AT2	SF_0.94905_LOMAP_DMH000.AT2	SF_0.95548_COALINGA_H-GH3090.AT2	SF_0.95548_COALINGA_H-GH3090.AT2
9	SF_0.87737_LOMAP_DMH000.AT2	SF_1.0276_PALMSPR_H05360.AT2	SF_1.0276_PALMSPR_H05360.AT2	SF_0.79632_UPLAND_23525090.AT2	SF_0.95475_CHICHI_ILA044-N.AT2	SF_0.95475_CHICHI_ILA044-N.AT2	SF_0.95475_CHICHI_ILA044-N.AT2	SF_0.98545_CHALFANT_A-LAD180.AT2	SF_0.98545_CHALFANT_A-LAD180.AT2
10	SF_0.90097_HECTOR_22161090.AT2	SF_1.0483_WHITTIER_A-VER173.AT2	SF_1.0483_WHITTIER_A-VER173.AT2	SF_0.81214_CHICHI03_TCU075-E.AT2	SF_1.0715_NORTHR_BIR090.AT2	SF_1.0715_NORTHR_BIR090.AT2	SF_1.0715_NORTHR_BIR090.AT2	SF_1.071_NORTHR_BIR090.AT2	SF_1.071_NORTHR_BIR090.AT2
11	SF_0.92375_COALINGA_H-Z04000.AT2	SF_1.0527_LOMAP_A10000.AT2	SF_1.0527_LOMAP_A10000.AT2	SF_0.82118_CHICHI06_TCU065-E.AT2	SF_1.1234_LOMAP_ADL250.AT2	SF_1.1234_LOMAP_ADL250.AT2	SF_1.1234_LOMAP_ADL250.AT2	SF_1.1234_LOMAP_ADL250.AT2	SF_1.1234_LOMAP_ADL250.AT2
12	SF_0.92612_HECTOR_11591090.AT2	SF_1.0535_LOMAP_MCH000.AT2	SF_1.0535_LOMAP_MCH000.AT2	SF_0.83744_HECTOR_14840019.AT2					
13	SF_0.93516_COALINGA_H-Z06090.AT2	SF_1.1036_NORTHR_LV4090.AT2	SF_1.1036_NORTHR_LV4090.AT2	SF_0.84134_WHITTIER_A-VER173.AT2					
14	SF_0.94545_CHICHI_HWA2-E.AT2	SF_1.1172_CHICHI03_TCU075-E.AT2	SF_1.1172_CHICHI03_TCU075-E.AT2	SF_0.8616_CHICHI_HWA2-E.AT2					
15	SF_0.95311_COALINGA_H-GH3090.AT2	SF_1.1295_CHICHI04_CHY101-E.AT2	SF_1.1295_CHICHI04_CHY101-E.AT2	SF_0.86635_COALINGA_H-SC4090.AT2					
16	SF_0.95881_WHITTIER_A-VER173.AT2	SF_1.1471_SMART1_05112EW.AT2	SF_1.1471_SMART1_05112EW.AT2	SF_0.87486_CHICHI06_CHY024-E.AT2					
17	SF_0.96124_CHICHI_ILA044-N.AT2	SF_1.1623_NORTHR_WAT270.AT2	SF_1.1623_NORTHR_WAT270.AT2	SF_0.88412_NWCHINA2_J4060270.AT2					
18	SF_0.99686_CHICHI_TAP100-N.AT2	SF_1.2135_NCALIF_D-FRN224.AT2	SF_1.2135_NCALIF_D-FRN224.AT2	SF_0.9072_CHALFANT_A-LAD180.AT2					
19	SF_1.0775_CHICHI_TTN001-N.AT2	SF_1.2157_LOMAP_SUF090.AT2	SF_1.2157_LOMAP_SUF090.AT2	SF_0.94738_HECTOR_22161090.AT2					
20	SF_1.0857_CHICHI06_CHY030-E.AT2	SF_1.2189_LANDERS_DEV000.AT2	SF_1.2189_LANDERS_DEV000.AT2	SF_1.0724_CHICHI03_TCU138-N.AT2					

Çizelge A.1 (devam): Analizlerde Kullanılan depremlerin isimleri ve ölççek katsayıları listesi.

Erzurum Merkez, 2. Derece Deprem Bölgesi, ZC Zemin Sınıfı, DD_1

PFN_4_1		PFN_5_1		PFN_6_1		PFN_8_2		Prefabrik Yapı	
1	SF_2.6961_KOCAELI_DHM000.AT2	SF_2.6961_KOCAELI_DHM000.AT2	SF_2.6961_KOCAELI_DHM000.AT2	SF_1.8704_CHICHI03_TCU076-E.AT2	SF_2.6322_MORGAN_G04360.AT2	SF_2.6322_MORGAN_G04360.AT2	SF_2.6669_KOCAELI_DHM000.AT2	SF_2.6669_KOCAELI_DHM000.AT2	SF_2.6669_KOCAELI_DHM000.AT2
2	SF_2.9233_KOCAELI_USK090.AT2	SF_2.9233_KOCAELI_USK090.AT2	SF_2.9233_KOCAELI_USK090.AT2	SF_1.9764_NORTHTR_STM090.AT2	SF_2.6608_NORTHTR_PHP270.AT2	SF_2.6608_NORTHTR_PHP270.AT2	SF_2.989_WHITTIER_A-BUE340.AT2	SF_2.989_WHITTIER_A-BUE340.AT2	SF_2.989_WHITTIER_A-BUE340.AT2
3	SF_2.9666_LANDERS_CAS000.AT2	SF_2.9666_LANDERS_CAS000.AT2	SF_2.9666_LANDERS_CAS000.AT2	SF_1.9902_IMPVAL H-ECC092.AT2	SF_2.7717_CHICHI03_TCU129-E.AT2	SF_2.7717_CHICHI03_TCU129-E.AT2	SF_3.0662_LOMAP_RIN000.AT2	SF_3.0662_LOMAP_RIN000.AT2	SF_3.0662_LOMAP_RIN000.AT2
4	SF_3.0018_IMPVAL H-E01140.AT2	SF_3.0018_IMPVAL H-E01140.AT2	SF_3.0018_IMPVAL H-E01140.AT2	SF_2.0811_IMPVAL H-E04230.AT2	SF_2.801_CHICHI_TCU094-N.AT2	SF_2.801_CHICHI_TCU094-N.AT2	SF_3.1104_IMPVAL H-E01140.AT2	SF_3.1104_IMPVAL H-E01140.AT2	SF_3.1104_IMPVAL H-E01140.AT2
5	SF_3.0608_LOMAP_RIN000.AT2	SF_3.0608_LOMAP_RIN000.AT2	SF_3.0608_LOMAP_RIN000.AT2	SF_2.0863_LOMAP_G02000.AT2	SF_2.8127_LOMAP_SSF115.AT2	SF_2.8127_LOMAP_SSF115.AT2	SF_3.1709_CHICHI_TCU119-N.AT2	SF_3.1709_CHICHI_TCU119-N.AT2	SF_3.1709_CHICHI_TCU119-N.AT2
6	SF_3.1933_NORTHTR_WPI316.AT2	SF_3.1933_NORTHTR_WPI316.AT2	SF_3.1933_NORTHTR_WPI316.AT2	SF_2.1133_CHICHI_TCU042-N.AT2	SF_2.9477_SUPERST_B-BRA315.AT2	SF_2.9477_SUPERST_B-BRA315.AT2	SF_3.1719_KOCAELI_MSK000.AT2	SF_3.1719_KOCAELI_MSK000.AT2	SF_3.1719_KOCAELI_MSK000.AT2
7	SF_3.2756_CHICHI06_TCU078-E.AT2	SF_3.2756_CHICHI06_TCU078-E.AT2	SF_3.2756_CHICHI06_TCU078-E.AT2	SF_2.1271_NORTHTR_LIT180.AT2	SF_2.9764_NORTHTR_PAR-L.AT2	SF_2.9764_NORTHTR_PAR-L.AT2	SF_3.2204_LANDERS_CAS000.AT2	SF_3.2204_LANDERS_CAS000.AT2	SF_3.2204_LANDERS_CAS000.AT2
8	SF_3.2877_IMPVAL H-E13140.AT2	SF_3.2877_IMPVAL H-E13140.AT2	SF_3.2877_IMPVAL H-E13140.AT2	SF_2.1558_UPLAND_UP90S-H2.AT2	SF_2.9986_KOCAELI_DHM000.AT2	SF_2.9986_KOCAELI_DHM000.AT2	SF_3.2529_COALINGA_H-C4A090.AT2	SF_3.2529_COALINGA_H-C4A090.AT2	SF_3.2529_COALINGA_H-C4A090.AT2
9	SF_3.3373_COALINGA_H-C4A090.AT2	SF_3.3373_COALINGA_H-C4A090.AT2	SF_3.3373_COALINGA_H-C4A090.AT2	SF_2.1745_IMPVAL H-E03140.AT2	SF_3.0204_NWCHINA2_X4060000.AT2	SF_3.0204_NWCHINA2_X4060000.AT2	SF_3.2884_LOMAP_SJW160.AT2	SF_3.2884_LOMAP_SJW160.AT2	SF_3.2884_LOMAP_SJW160.AT2
10	SF_3.3566_FRIULI_A-FLT270.AT2	SF_3.3566_FRIULI_A-FLT270.AT2	SF_3.3566_FRIULI_A-FLT270.AT2	SF_2.1919_NORTHTR_MRP180.AT2	SF_3.0342_LOMAP_WDS000.AT2	SF_3.0342_LOMAP_WDS000.AT2	SF_3.3144_CHICHI06_TCU078-E.AT2	SF_3.3144_CHICHI06_TCU078-E.AT2	SF_3.3144_CHICHI06_TCU078-E.AT2
11	SF_3.4343_LANDERS_WST000.AT2	SF_3.4343_LANDERS_WST000.AT2	SF_3.4343_LANDERS_WST000.AT2	SF_2.2333_KOCAELI_DHM090.AT2	SF_3.0417_KOCAELI_USK090.AT2	SF_3.0417_KOCAELI_USK090.AT2	SF_3.3551_WHITTIER_A-CYP143.AT2	SF_3.3551_WHITTIER_A-CYP143.AT2	SF_3.3551_WHITTIER_A-CYP143.AT2
12	SF_3.4708_TABAS_BAJ-T1.AT2	SF_3.4708_TABAS_BAJ-T1.AT2	SF_3.4708_TABAS_BAJ-T1.AT2	SF_2.2442_WHITTIER_A-BAD000.AT2	SF_3.0987_IMPVAL H-CX0315.AT2	SF_3.0987_IMPVAL H-CX0315.AT2	SF_3.3715_CHICHI_TAW-N.AT2	SF_3.3715_CHICHI_TAW-N.AT2	SF_3.3715_CHICHI_TAW-N.AT2
13	SF_3.6082_LOMAP_SJW160.AT2	SF_3.6082_LOMAP_SJW160.AT2	SF_3.6082_LOMAP_SJW160.AT2	SF_2.2702_CHICHI03_TCU129-E.AT2	SF_3.1318_CHICHI_CHY101-E.AT2	SF_3.1318_CHICHI_CHY101-E.AT2	SF_3.5152_HECTOR_32577090.AT2	SF_3.5152_HECTOR_32577090.AT2	SF_3.5152_HECTOR_32577090.AT2
14	SF_3.722_DUZCE_1061-N.AT2	SF_3.722_DUZCE_1061-N.AT2	SF_3.722_DUZCE_1061-N.AT2	SF_2.3076_IMPVAL H-E04140.AT2	SF_3.1441_SUPERST_B-ICC000.AT2	SF_3.1441_SUPERST_B-ICC000.AT2	SF_3.5194_FRIULI_A-FLT270.AT2	SF_3.5194_FRIULI_A-FLT270.AT2	SF_3.5194_FRIULI_A-FLT270.AT2
15	SF_3.7451_NORTHTR_CAT090.AT2	SF_3.7451_NORTHTR_CAT090.AT2	SF_3.7451_NORTHTR_CAT090.AT2	SF_2.3489_LOMAP_CLS090.AT2	SF_3.2159_CHICHI_TTN051-N.AT2	SF_3.2159_CHICHI_TTN051-N.AT2	SF_3.6462_WESTMORL_BRA315.AT2	SF_3.6462_WESTMORL_BRA315.AT2	SF_3.6462_WESTMORL_BRA315.AT2
16	SF_3.8025_NEWZEAL_A-MAR040.AT2	SF_3.8025_NEWZEAL_A-MAR040.AT2	SF_3.8025_NEWZEAL_A-MAR040.AT2	SF_2.4159_CHICHI_TCU094-N.AT2	SF_3.2629_WHITTIER_A-BUE340.AT2	SF_3.2629_WHITTIER_A-BUE340.AT2	SF_3.7212_NORTHTR_CAT090.AT2	SF_3.7212_NORTHTR_CAT090.AT2	SF_3.7212_NORTHTR_CAT090.AT2
17	SF_3.8091_WESTMORL_BRA315.AT2	SF_3.8091_WESTMORL_BRA315.AT2	SF_3.8091_WESTMORL_BRA315.AT2	SF_2.4238_FRIULI_A-TM2000.AT2	SF_3.3700_CHICHI_CHY024-E.AT2	SF_3.3700_CHICHI_CHY024-E.AT2	SF_3.7761_DUZCE_1061-N.AT2	SF_3.7761_DUZCE_1061-N.AT2	SF_3.7761_DUZCE_1061-N.AT2
18	SF_3.9222_LIVERMOR_B-FRE075.AT2	SF_3.9222_LIVERMOR_B-FRE075.AT2	SF_3.9222_LIVERMOR_B-FRE075.AT2	SF_2.5325_NORTHTR_PAR-L.AT2	SF_3.4563_IMPVAL H-E01140.AT2	SF_3.4563_IMPVAL H-E01140.AT2	SF_3.8066_NEWZEAL_A-MAR040.AT2	SF_3.8066_NEWZEAL_A-MAR040.AT2	SF_3.8066_NEWZEAL_A-MAR040.AT2
19	SF_3.9238_LOMAP_SGI270.AT2	SF_3.9238_LOMAP_SGI270.AT2	SF_3.9238_LOMAP_SGI270.AT2	SF_2.6348_CHICHI06_TCU078-N.AT2	SF_3.4569_KOBE_HIK090.AT2	SF_3.4569_KOBE_HIK090.AT2	SF_3.8417_NORTHTR_MJH090.AT2	SF_3.8417_NORTHTR_MJH090.AT2	SF_3.8417_NORTHTR_MJH090.AT2
20	SF_4.1047_SFERN_MA3220.AT2	SF_4.1047_SFERN_MA3220.AT2	SF_4.1047_SFERN_MA3220.AT2	SF_2.6897_LOMAP_G01090.AT2	SF_3.5495_CHICHI_TCU049-E.AT2	SF_3.5495_CHICHI_TCU049-E.AT2	SF_4.1173_CHICHI03_TCU075-E.AT2	SF_4.1173_CHICHI03_TCU075-E.AT2	SF_4.1173_CHICHI03_TCU075-E.AT2
Aydın Üniv. Yapısı		Gedikbulak_3D		20 Katlı_3D_Yapı		24 Katlı_2D_CSW			
1	SF_2.6148_LOMAP_GOF160.AT2	SF_6.7478_CHICHI03_TCU122-E.AT2	SF_6.7478_CHICHI03_TCU122-E.AT2	SF_2.2776_CHICHI_TCU076-E.AT2	SF_2.3637_CHICHI_CHY074-E.AT2	SF_2.3637_CHICHI_CHY074-E.AT2	SF_2.3637_CHICHI_CHY074-E.AT2	SF_2.3637_CHICHI_CHY074-E.AT2	SF_2.3637_CHICHI_CHY074-E.AT2
2	SF_2.666_CHICHI_TAP003-E.AT2	SF_6.8126_NCALIF_D-FRN224.AT2	SF_6.8126_NCALIF_D-FRN224.AT2	SF_2.2961_CHICHI03_TCU076-E.AT2	SF_2.3835_IMPVAL H-E13140.AT2	SF_2.3835_IMPVAL H-E13140.AT2	SF_2.3835_IMPVAL H-E13140.AT2	SF_2.3835_IMPVAL H-E13140.AT2	SF_2.3835_IMPVAL H-E13140.AT2
3	SF_2.7415_WESTMORL_BRA315.AT2	SF_6.8203_CHICHI04_CHY028-E.AT2	SF_6.8203_CHICHI04_CHY028-E.AT2	SF_2.4592_NORTHTR_PIC090.AT2	SF_2.3935_LOMAP_GOF160.AT2	SF_2.3935_LOMAP_GOF160.AT2	SF_2.3935_LOMAP_GOF160.AT2	SF_2.3935_LOMAP_GOF160.AT2	SF_2.3935_LOMAP_GOF160.AT2
4	SF_2.7664_LOMAP_MCH090.AT2	SF_6.8812_CHICHI05_TCU070-E.AT2	SF_6.8812_CHICHI05_TCU070-E.AT2	SF_2.5041_LOMAP_WDS090.AT2	SF_2.4071_NORTHTR_PHP270.AT2	SF_2.4071_NORTHTR_PHP270.AT2	SF_2.4071_NORTHTR_PHP270.AT2	SF_2.4071_NORTHTR_PHP270.AT2	SF_2.4071_NORTHTR_PHP270.AT2
5	SF_2.7839_IMPVAL H-E08230.AT2	SF_7.0061_CHICHI03_TCU065-E.AT2	SF_7.0061_CHICHI03_TCU065-E.AT2	SF_2.5252_NORTHTR_LIT180.AT2	SF_2.4688_SUPERST_B-BRA315.AT2	SF_2.4688_SUPERST_B-BRA315.AT2	SF_2.4688_SUPERST_B-BRA315.AT2	SF_2.4688_SUPERST_B-BRA315.AT2	SF_2.4688_SUPERST_B-BRA315.AT2
6	SF_2.8429_CHICHI03_CHY101-E.AT2	SF_7.1063_CHICHI05_TTN041-N.AT2	SF_7.1063_CHICHI05_TTN041-N.AT2	SF_2.5262_IMPVAL H-E03140.AT2	SF_2.5305_CHICHI_ALS-E.AT2	SF_2.5305_CHICHI_ALS-E.AT2	SF_2.5305_CHICHI_ALS-E.AT2	SF_2.5305_CHICHI_ALS-E.AT2	SF_2.5305_CHICHI_ALS-E.AT2
7	SF_2.8666_IMPVAL H-E13140.AT2	SF_7.3043_WHITTIER_A-CAS270.AT2	SF_7.3043_WHITTIER_A-CAS270.AT2	SF_2.632_LOMAP_CH07000.AT2	SF_2.5394_WESTMORL_BRA315.AT2	SF_2.5394_WESTMORL_BRA315.AT2	SF_2.5394_WESTMORL_BRA315.AT2	SF_2.5394_WESTMORL_BRA315.AT2	SF_2.5394_WESTMORL_BRA315.AT2
8	SF_2.8796_CHICHI_TAP017-N.AT2	SF_7.3599_CHICHI06_TCU122-E.AT2	SF_7.3599_CHICHI06_TCU122-E.AT2	SF_2.6539_HECTOR_32577360.AT2	SF_2.544_LOMAP_G06000.AT2	SF_2.544_LOMAP_G06000.AT2	SF_2.544_LOMAP_G06000.AT2	SF_2.544_LOMAP_G06000.AT2	SF_2.544_LOMAP_G06000.AT2
9	SF_2.9161_CHICHI_ILA013-W.AT2	SF_7.3679_NORTHTR_BER000.AT2	SF_7.3679_NORTHTR_BER000.AT2	SF_2.6919_UPLAND_UP90S-H2.AT2	SF_2.6184_LOMAP_GMR000.AT2	SF_2.6184_LOMAP_GMR000.AT2	SF_2.6184_LOMAP_GMR000.AT2	SF_2.6184_LOMAP_GMR000.AT2	SF_2.6184_LOMAP_GMR000.AT2
10	SF_2.9185_NCALIF_F-FRN225.AT2	SF_7.3776_WHITTIER_A-L01090.AT2	SF_7.3776_WHITTIER_A-L01090.AT2	SF_2.7554_LOMAP_SSF115.AT2	SF_2.7184_LIVERMOR_B-SRM070.AT2	SF_2.7184_LIVERMOR_B-SRM070.AT2	SF_2.7184_LIVERMOR_B-SRM070.AT2	SF_2.7184_LIVERMOR_B-SRM070.AT2	SF_2.7184_LIVERMOR_B-SRM070.AT2
11	SF_3.114_CHICHI_TCU050-E.AT2	SF_8.1958_WHITTIER_A-SOR315.AT2	SF_8.1958_WHITTIER_A-SOR315.AT2	SF_2.8575_IMPVAL H-E04140.AT2	SF_2.7553_KOBE_TOT000.AT2	SF_2.7553_KOBE_TOT000.AT2	SF_2.7553_KOBE_TOT000.AT2	SF_2.7553_KOBE_TOT000.AT2	SF_2.7553_KOBE_TOT000.AT2
12	SF_3.1285_SMART1_45002EW.AT2	SF_8.3705_CHICHI06_CHY024-E.AT2	SF_8.3705_CHICHI06_CHY024-E.AT2	SF_2.8753_KOCAELI_ATK090.AT2	SF_2.792_LOMAP_SJW160.AT2	SF_2.792_LOMAP_SJW160.AT2	SF_2.792_LOMAP_SJW160.AT2	SF_2.792_LOMAP_SJW160.AT2	SF_2.792_LOMAP_SJW160.AT2
13	SF_3.1796_LOMAP_SLC270.AT2	SF_8.6025_IMPVAL A-E02140.AT2	SF_8.6025_IMPVAL A-E02140.AT2	SF_2.8784_LOMAP_CH09090.AT2	SF_2.8301_IMPVAL H-E01140.AT2	SF_2.8301_IMPVAL H-E01140.AT2	SF_2.8301_IMPVAL H-E01140.AT2	SF_2.8301_IMPVAL H-E01140.AT2	SF_2.8301_IMPVAL H-E01140.AT2
14	SF_3.2732_CHICHI_TCU053-N.AT2	SF_8.6476_CHICHI03_CHY035-E.AT2	SF_8.6476_CHICHI03_CHY035-E.AT2	SF_2.8808_LOMAP_CLS090.AT2	SF_2.8335_CHICHI_TAW-N.AT2	SF_2.8335_CHICHI_TAW-N.AT2	SF_2.8335_CHICHI_TAW-N.AT2	SF_2.8335_CHICHI_TAW-N.AT2	SF_2.8335_CHICHI_TAW-N.AT2
15	SF_3.2759_SMART1_45008NS.AT2	SF_8.6963_KOCAELI_AFY000.AT2	SF_8.6963_KOCAELI_AFY000.AT2	SF_2.9207_SUPERST_B-ICC000.AT2	SF_2.9218_CHICHI03_TCU129-E.AT2	SF_2.9218_CHICHI03_TCU129-E.AT2	SF_2.9218_CHICHI03_TCU129-E.AT2	SF_2.9218_CHICHI03_TCU129-E.AT2	SF_2.9218_CHICHI03_TCU129-E.AT2
16	SF_3.3097_CHICHI_TCU056-E.AT2	SF_8.7667_NWCHINA1_J405N270.AT2	SF_8.7667_NWCHINA1_J405N270.AT2	SF_3.0095_KOCAELI_DHM000.AT2	SF_2.9365_SMART1_45001EW.AT2	SF_2.9365_SMART1_45001EW.AT2	SF_2.9365_SMART1_45001EW.AT2	SF_2.9365_SMART1_45001EW.AT2	SF_2.9365_SMART1_45001EW.AT2
17	SF_3.3979_CHICHI03_TCU122-E.AT2	SF_9.0553_NORTH392_CASTA090.AT2	SF_9.0553_NORTH392_CASTA090.AT2	SF_3.0334_LOMAP_HCH180.AT2	SF_3.0152_KOCAELI_ATK000.AT2	SF_3.0152_KOCAELI_ATK000.AT2	SF_3.0152_KOCAELI_ATK000.AT2	SF_3.0152_KOCAELI_ATK000.AT2	SF_3.0152_KOCAELI_ATK000.AT2
18	SF_3.4331_CHICHI_ILA041-W.AT2	SF_9.111_WHITTIER_A-NOR360.AT2	SF_9.111_WHITTIER_A-NOR360.AT2	SF_3.0333_CHICHI_TCU045-E.AT2	SF_3.0734_CHICHI_TCU060-N.AT2	SF_3.0734_CHICHI_TCU060-N.AT2	SF_3.0734_CHICHI_TCU060-N.AT2	SF_3.0734_CHICHI_TCU060-N.AT2	SF_3.0734_CHICHI_TCU060-N.AT2
19	SF_3.4642_CHICHI_ILA030-N.AT2	SF_9.2513_PALMSPR_NPS300.AT2	SF_9.2513_PALMSPR_NPS300.AT2	SF_3.1495_LOMAP_G01000.AT2	SF_3.1406_NORTHTR_CDF090.AT2	SF_3.1406_NORTHTR_CDF090.AT2	SF_3.1406_NORTHTR_CDF090.AT2	SF_3.1406_NORTHTR_CDF090.AT2	SF_3.1406_NORTHTR_CDF090.AT2
20	SF_3.5735_WESTMORL_NIL000.AT2	SF_9.4332_CHICHI06_CHY076-E.AT2	SF_9.4332_CHICHI06_CHY076-E.AT2	SF_3.2558_LOMAP_G03000.AT2	SF_3.2264_TABAS_BOS-L1.AT2	SF_3.2264_TABAS_BOS-L1.AT2	SF_3.2264_TABAS_BOS-L1.AT2	SF_3.2264_TABAS_BOS-L1.AT2	SF_3.2264_TABAS_BOS-L1.AT2

Çizelge A.1 (devam): Analizlerde Kullanılan depremlerin isimleri ve ölççek katsayıları listesi.

Erzurum Merkez, 2. Derece Deprem Bölgesi, ZC Zemin Sınıfı, DD_2

PFN_4_1		PFN_5_1		PFN_6_1		PFN_8_2		Prefabrik Yapı	
1	SF_1.0027_NORTHTR_OAK170.AT2	SF_1.0027_NORTHTR_OAK170.AT2	SF_1.0027_NORTHTR_OAK170.AT2	SF_0.99671_NORTHTR_OAK170.AT2	SF_0.93139_NORTHTR_OAK170.AT2	SF_0.93139_NORTHTR_OAK170.AT2	SF_0.955_NORTHTR_OAK170.AT2	SF_0.955_NORTHTR_OAK170.AT2	SF_0.955_NORTHTR_OAK170.AT2
2	SF_1.0992_CHICHI03_TCU076-E.AT2	SF_1.0992_CHICHI03_TCU076-E.AT2	SF_1.0992_CHICHI03_TCU076-E.AT2	SF_1.0997_CHICHI03_TCU076-E.AT2	SF_0.99266_CHICHI03_TCU076-E.AT2	SF_0.99266_CHICHI03_TCU076-E.AT2	SF_1.0036_IMPVALL_H-ECC092.AT2	SF_1.0036_IMPVALL_H-ECC092.AT2	SF_1.0036_IMPVALL_H-ECC092.AT2
3	SF_1.1595_LANDERS_CAS270.AT2	SF_1.1595_LANDERS_CAS270.AT2	SF_1.1595_LANDERS_CAS270.AT2	SF_1.1561_LANDERS_CAS270.AT2	SF_0.9993_IMPVALL_H-ECC092.AT2	SF_0.9993_IMPVALL_H-ECC092.AT2	SF_1.0234_CHICHI03_TCU076-E.AT2	SF_1.0234_CHICHI03_TCU076-E.AT2	SF_1.0234_CHICHI03_TCU076-E.AT2
4	SF_1.1657_IMPVALL_H-ECC092.AT2	SF_1.1657_IMPVALL_H-ECC092.AT2	SF_1.1657_IMPVALL_H-ECC092.AT2	SF_1.1621_NORTHTR_STM090.AT2	SF_1.0304_LANDERS_CAS270.AT2	SF_1.0304_LANDERS_CAS270.AT2	SF_1.0559_CHICHI_TCU076-E.AT2	SF_1.0559_CHICHI_TCU076-E.AT2	SF_1.0559_CHICHI_TCU076-E.AT2
5	SF_1.1704_NORTHTR_STM090.AT2	SF_1.1704_NORTHTR_STM090.AT2	SF_1.1704_NORTHTR_STM090.AT2	SF_1.1701_IMPVALL_H-ECC092.AT2	SF_1.0457_CHICHI_TCU076-E.AT2	SF_1.0457_CHICHI_TCU076-E.AT2	SF_1.0601_LANDERS_CAS270.AT2	SF_1.0601_LANDERS_CAS270.AT2	SF_1.0601_LANDERS_CAS270.AT2
6	SF_1.1781_NORTHTR_PIC090.AT2	SF_1.1781_NORTHTR_PIC090.AT2	SF_1.1781_NORTHTR_PIC090.AT2	SF_1.1800_NORTHTR_PIC090.AT2	SF_1.0500_KOCAELI_DHM090.AT2	SF_1.0500_KOCAELI_DHM090.AT2	SF_1.1061_NORTHTR_PIC090.AT2	SF_1.1061_NORTHTR_PIC090.AT2	SF_1.1061_NORTHTR_PIC090.AT2
7	SF_1.2182_IMPVALL_H-E04230.AT2	SF_1.2182_IMPVALL_H-E04230.AT2	SF_1.2182_IMPVALL_H-E04230.AT2	SF_1.2236_IMPVALL_H-E04230.AT2	SF_1.0511_CHICHI_TCU095-E.AT2	SF_1.0511_CHICHI_TCU095-E.AT2	SF_1.1388_IMPVALL_H-E04230.AT2	SF_1.1388_IMPVALL_H-E04230.AT2	SF_1.1388_IMPVALL_H-E04230.AT2
8	SF_1.2218_NORTHTR_WIL180.AT2	SF_1.2218_NORTHTR_WIL180.AT2	SF_1.2218_NORTHTR_WIL180.AT2	SF_1.2426_CHICHI_TCU042-N.AT2	SF_1.0756_NORTHTR_PIC090.AT2	SF_1.0756_NORTHTR_PIC090.AT2	SF_1.1557_UPLAND_UP90S-H2.AT2	SF_1.1557_UPLAND_UP90S-H2.AT2	SF_1.1557_UPLAND_UP90S-H2.AT2
9	SF_1.2536_UPLAND_UP90S-H2.AT2	SF_1.2536_UPLAND_UP90S-H2.AT2	SF_1.2536_UPLAND_UP90S-H2.AT2	SF_1.2475_NORTHTR_WIL180.AT2	SF_1.1113_UPLAND_UP90S-H2.AT2	SF_1.1113_UPLAND_UP90S-H2.AT2	SF_1.1783_LOMAP_WDS090.AT2	SF_1.1783_LOMAP_WDS090.AT2	SF_1.1783_LOMAP_WDS090.AT2
10	SF_1.2574_CHICHI_TCU042-N.AT2	SF_1.2574_CHICHI_TCU042-N.AT2	SF_1.2574_CHICHI_TCU042-N.AT2	SF_1.2506_NORTHTR_LIT180.AT2	SF_1.1156_IMPVALL_H-E04230.AT2	SF_1.1156_IMPVALL_H-E04230.AT2	SF_1.1905_IMPVALL_H-E03140.AT2	SF_1.1905_IMPVALL_H-E03140.AT2	SF_1.1905_IMPVALL_H-E03140.AT2
11	SF_1.2626_NORTHTR_LIT180.AT2	SF_1.2626_NORTHTR_LIT180.AT2	SF_1.2626_NORTHTR_LIT180.AT2	SF_1.2675_UPLAND_UP90S-H2.AT2	SF_1.1533_NORTHTR_STM090.AT2	SF_1.1533_NORTHTR_STM090.AT2	SF_1.2057_NORTHTR_LIT180.AT2	SF_1.2057_NORTHTR_LIT180.AT2	SF_1.2057_NORTHTR_LIT180.AT2
12	SF_1.2773_IMPVALL_H-E03140.AT2	SF_1.2773_IMPVALL_H-E03140.AT2	SF_1.2773_IMPVALL_H-E03140.AT2	SF_1.2785_IMPVALL_H-E03140.AT2	SF_1.1596_MANJIL_190024.AT2	SF_1.1596_MANJIL_190024.AT2	SF_1.2129_NORTHTR_STM090.AT2	SF_1.2129_NORTHTR_STM090.AT2	SF_1.2129_NORTHTR_STM090.AT2
13	SF_1.2924_NORTHTR_MRP180.AT2	SF_1.2924_NORTHTR_MRP180.AT2	SF_1.2924_NORTHTR_MRP180.AT2	SF_1.2888_NORTHTR_MRP180.AT2	SF_1.1624_IMPVALL_H-E03140.AT2	SF_1.1624_IMPVALL_H-E03140.AT2	SF_1.215_LOMAP_G01090.AT2	SF_1.215_LOMAP_G01090.AT2	SF_1.215_LOMAP_G01090.AT2
14	SF_1.2963_KOCAELI_DHM090.AT2	SF_1.2963_KOCAELI_DHM090.AT2	SF_1.2963_KOCAELI_DHM090.AT2	SF_1.3131_KOCAELI_DHM090.AT2	SF_1.1885_NORTHTR_LIT180.AT2	SF_1.1885_NORTHTR_LIT180.AT2	SF_1.2504_HECTOR_32577360.AT2	SF_1.2504_HECTOR_32577360.AT2	SF_1.2504_HECTOR_32577360.AT2
15	SF_1.3275_WHITTIER_A-BAD000.AT2	SF_1.3275_WHITTIER_A-BAD000.AT2	SF_1.3275_WHITTIER_A-BAD000.AT2	SF_1.3195_WHITTIER_A-BAD000.AT2	SF_1.2295_NORTHTR_MRP180.AT2	SF_1.2295_NORTHTR_MRP180.AT2	SF_1.3009_NORTHTR_MRP180.AT2	SF_1.3009_NORTHTR_MRP180.AT2	SF_1.3009_NORTHTR_MRP180.AT2
16	SF_1.3400_CHICHI03_TCU129-E.AT2	SF_1.3400_CHICHI03_TCU129-E.AT2	SF_1.3400_CHICHI03_TCU129-E.AT2	SF_1.3348_CHICHI03_TCU129-E.AT2	SF_1.2466_LOMAP_G01090.AT2	SF_1.2466_LOMAP_G01090.AT2	SF_1.3081_IMPVALL_H-E05230.AT2	SF_1.3081_IMPVALL_H-E05230.AT2	SF_1.3081_IMPVALL_H-E05230.AT2
17	SF_1.3575_CHICHI_TCU045-E.AT2	SF_1.3575_CHICHI_TCU045-E.AT2	SF_1.3575_CHICHI_TCU045-E.AT2	SF_1.3531_CHICHI_TCU045-E.AT2	SF_1.2549_HECTOR_32577360.AT2	SF_1.2549_HECTOR_32577360.AT2	SF_1.3129_IMPVALL_H-E04140.AT2	SF_1.3129_IMPVALL_H-E04140.AT2	SF_1.3129_IMPVALL_H-E04140.AT2
18	SF_1.3591_IMPVALL_H-E04140.AT2	SF_1.3591_IMPVALL_H-E04140.AT2	SF_1.3591_IMPVALL_H-E04140.AT2	SF_1.3568_IMPVALL_H-E04140.AT2	SF_1.268_IMPVALL_H-E04140.AT2	SF_1.268_IMPVALL_H-E04140.AT2	SF_1.3356_CHICHI_TCU045-E.AT2	SF_1.3356_CHICHI_TCU045-E.AT2	SF_1.3356_CHICHI_TCU045-E.AT2
19	SF_1.4298_CHICHI_TCU094-N.AT2	SF_1.4298_CHICHI_TCU094-N.AT2	SF_1.4298_CHICHI_TCU094-N.AT2	SF_1.4204_CHICHI_TCU094-N.AT2	SF_1.2811_CHICHI_TCU045-E.AT2	SF_1.2811_CHICHI_TCU045-E.AT2	SF_1.356_LOMAP_HCH180.AT2	SF_1.356_LOMAP_HCH180.AT2	SF_1.356_LOMAP_HCH180.AT2
20	SF_1.5568_LOMAP_G01090.AT2	SF_1.5568_LOMAP_G01090.AT2	SF_1.5568_LOMAP_G01090.AT2	SF_1.5814_LOMAP_G01090.AT2	SF_1.3235_IMPVALL_H-E05230.AT2	SF_1.3235_IMPVALL_H-E05230.AT2	SF_1.3924_LOMAP_G01000.AT2	SF_1.3924_LOMAP_G01000.AT2	SF_1.3924_LOMAP_G01000.AT2
Aydın Yapı		Gedikbulak_3D		20_Katlı_3D_Yapı		24_Katlı_2D_CSW			
1	SF_1.0601_LOMAP_WDS090.AT2	SF_1.0104_LOMAP_G02000.AT2	SF_1.0104_LOMAP_G02000.AT2	SF_1.1209_NORTHTR_OAK170.AT2	SF_1.0899_LOMAP_GOF250.AT2	SF_1.0899_LOMAP_GOF250.AT2	SF_1.1215_CHICHI_TCU076-E.AT2	SF_1.1215_CHICHI_TCU076-E.AT2	SF_1.1215_CHICHI_TCU076-E.AT2
2	SF_1.081_LOMAP_GOF250.AT2	SF_1.0535_NORTHTR_OAK170.AT2	SF_1.0535_NORTHTR_OAK170.AT2	SF_1.1314_IMPVALL_H-ECC092.AT2	SF_1.1694_CHICHI_CHY006-N.AT2	SF_1.1694_CHICHI_CHY006-N.AT2	SF_1.1694_CHICHI_CHY006-N.AT2	SF_1.1694_CHICHI_CHY006-N.AT2	SF_1.1694_CHICHI_CHY006-N.AT2
3	SF_1.1351_CHICHI_TCU061-N.AT2	SF_1.106_CHICHI_TCU067-N.AT2	SF_1.106_CHICHI_TCU067-N.AT2	SF_1.1689_CHICHI_TCU076-E.AT2	SF_1.2169_NORTHTR_OAK170.AT2	SF_1.2169_NORTHTR_OAK170.AT2	SF_1.2252_SUPERST_B-ICC000.AT2	SF_1.2252_SUPERST_B-ICC000.AT2	SF_1.2252_SUPERST_B-ICC000.AT2
4	SF_1.1357_SUPERST_B-ICC000.AT2	SF_1.1334_NORTHTR_MRP180.AT2	SF_1.1334_NORTHTR_MRP180.AT2	SF_1.1784_CHICHI03_TCU076-E.AT2	SF_1.2252_SUPERST_B-ICC000.AT2	SF_1.2252_SUPERST_B-ICC000.AT2	SF_1.2546_CHICHI_TCU119-N.AT2	SF_1.2546_CHICHI_TCU119-N.AT2	SF_1.2546_CHICHI_TCU119-N.AT2
5	SF_1.1546_CHICHI_TCU136-W.AT2	SF_1.1348_CHICHI03_TCU129-E.AT2	SF_1.1348_CHICHI03_TCU129-E.AT2	SF_1.1898_IMPVALL_H-E04230.AT2	SF_1.2546_CHICHI_TCU119-N.AT2	SF_1.2546_CHICHI_TCU119-N.AT2	SF_1.2685_NORTHTR_LIT180.AT2	SF_1.2685_NORTHTR_LIT180.AT2	SF_1.2685_NORTHTR_LIT180.AT2
6	SF_1.166_IMPVALL_H-E13230.AT2	SF_1.1449_MANJIL_189132.AT2	SF_1.1449_MANJIL_189132.AT2	SF_1.2054_LIVERMOR_B-SRM340.AT2	SF_1.2836_IMPVALL_H-E03140.AT2	SF_1.2836_IMPVALL_H-E03140.AT2	SF_1.2941_NORTHTR_PIC090.AT2	SF_1.2941_NORTHTR_PIC090.AT2	SF_1.2941_NORTHTR_PIC090.AT2
7	SF_1.2082_CHICHI_CHY006-N.AT2	SF_1.1556_NORTHTR_SUN280.AT2	SF_1.1556_NORTHTR_SUN280.AT2	SF_1.2163_KOBE_ABN000.AT2	SF_1.2941_NORTHTR_PIC090.AT2	SF_1.2941_NORTHTR_PIC090.AT2	SF_1.3035_CHICHI_TCU061-N.AT2	SF_1.3035_CHICHI_TCU061-N.AT2	SF_1.3035_CHICHI_TCU061-N.AT2
8	SF_1.2106_KOCAELI_DHM000.AT2	SF_1.1597_NORTHTR_STM090.AT2	SF_1.1597_NORTHTR_STM090.AT2	SF_1.2191_CHICHI_CHY006-N.AT2	SF_1.3035_CHICHI_TCU061-N.AT2	SF_1.3035_CHICHI_TCU061-N.AT2	SF_1.3153_LOMAP_SSF115.AT2	SF_1.3153_LOMAP_SSF115.AT2	SF_1.3153_LOMAP_SSF115.AT2
9	SF_1.2468_KOBE_CHY000.AT2	SF_1.1703_CHICHI_TCU042-N.AT2	SF_1.1703_CHICHI_TCU042-N.AT2	SF_1.2535_LANDERS_CAS270.AT2	SF_1.328_CHICHI_TCU070-E.AT2	SF_1.328_CHICHI_TCU070-E.AT2	SF_1.328_CHICHI_TCU070-E.AT2	SF_1.328_CHICHI_TCU070-E.AT2	SF_1.328_CHICHI_TCU070-E.AT2
10	SF_1.2749_LOMAP_OLEM000.AT2	SF_1.1789_IMPVALL_H-ECC092.AT2	SF_1.1789_IMPVALL_H-ECC092.AT2	SF_1.2621_NORTHTR_PIC090.AT2	SF_1.3532_CHICHI_CHY024-E.AT2	SF_1.3532_CHICHI_CHY024-E.AT2	SF_1.3639_KOCAELI_DHM000.AT2	SF_1.3639_KOCAELI_DHM000.AT2	SF_1.3639_KOCAELI_DHM000.AT2
11	SF_1.3556_CHICHI_TCU082-E.AT2	SF_1.2852_IMPVALL_H-E04140.AT2	SF_1.2852_IMPVALL_H-E04140.AT2	SF_1.2852_LOMAP_WDS090.AT2	SF_1.3827_HECTOR_32577360.AT2	SF_1.3827_HECTOR_32577360.AT2	SF_1.3915_LOMAP_MCH090.AT2	SF_1.3915_LOMAP_MCH090.AT2	SF_1.3915_LOMAP_MCH090.AT2
12	SF_1.3898_CHICHI_TCU-E.AT2	SF_1.3000_NORTHTR_ORR360.AT2	SF_1.3000_NORTHTR_ORR360.AT2	SF_1.2962_LOMAP_G01090.AT2	SF_1.4098_IMPVALL_H-CX0315.AT2	SF_1.4098_IMPVALL_H-CX0315.AT2	SF_1.4146_LOMAP_G02090.AT2	SF_1.4146_LOMAP_G02090.AT2	SF_1.4146_LOMAP_G02090.AT2
13	SF_1.3967_CHICHI_TCU055-E.AT2	SF_1.3002_LANDERS_JOS000.AT2	SF_1.3002_LANDERS_JOS000.AT2	SF_1.2965_IMPVALL_H-E03140.AT2	SF_1.4146_LOMAP_G02090.AT2	SF_1.4146_LOMAP_G02090.AT2	SF_1.513_IMPVALL_H-E13140.AT2	SF_1.513_IMPVALL_H-E13140.AT2	SF_1.513_IMPVALL_H-E13140.AT2
14	SF_1.4067_LANDERS_WST000.AT2	SF_1.3186_COALINGA_D-PVP360.AT2	SF_1.3186_COALINGA_D-PVP360.AT2	SF_1.296_NORTHTR_LIT180.AT2	SF_1.5194_LOMAP_GOF160.AT2	SF_1.5194_LOMAP_GOF160.AT2	SF_1.5194_LOMAP_GOF160.AT2	SF_1.5194_LOMAP_GOF160.AT2	SF_1.5194_LOMAP_GOF160.AT2
15	SF_1.4135_CHICHI_TCU057-N.AT2	SF_1.3212_CHICHI_TCU064-N.AT2	SF_1.3212_CHICHI_TCU064-N.AT2	SF_1.3621_HECTOR_32577360.AT2					
16	SF_1.4179_CHICHI_CHY074-E.AT2	SF_1.3281_UPLAND_UP90S-H2.AT2	SF_1.3281_UPLAND_UP90S-H2.AT2	SF_1.4076_KOCAELI_USK180.AT2					
17	SF_1.4383_IMPVALL_H-E01230.AT2	SF_1.3433_CHICHI_TCU065-E.AT2	SF_1.3433_CHICHI_TCU065-E.AT2	SF_1.4786_LOMAP_CLS090.AT2					
18	SF_1.4689_LOMAP_GOF160.AT2	SF_1.3782_IMPVALL_H-E07140.AT2	SF_1.3782_IMPVALL_H-E07140.AT2	SF_1.5446_KOCAELI_DHM000.AT2					
19	SF_1.5500_IMPVALL_H-E13140.AT2	SF_1.4001_CHICHI_TCU047-E.AT2	SF_1.4001_CHICHI_TCU047-E.AT2	SF_1.5566_CHICHI_TCU045-E.AT2					
20	SF_1.5893_CHICHI_ILA013-W.AT2	SF_1.4146_CHICHI_TCU094-N.AT2	SF_1.4146_CHICHI_TCU094-N.AT2	SF_1.5569_LOMAP_HCH180.AT2					

Çizelge A.1 (devam): Analizlerde Kullanılan depremlerin isimleri ve ölççek katsayıları listesi.

Eskişehir Merkez, 2. Derece Deprem Bölgesi, ZC Zemin Sınıfı, DD_1				
PFN_4_1	PFN_5_1	PFN_6_1	PFN_8_2	Prefabrik Yapı
1 SF_2.0444_KOCAELI_DHM000.AT2	SF_2.0444_KOCAELI_DHM000.AT2	SF_2.0536_LOMAP_SSF115.AT2	SF_2.0948_KOCAELI_DHM000.AT2	SF_2.047_KOCAELI_DHM000.AT2
2 SF_2.0574_WHITTIER_A-CWC270.AT2	SF_2.0574_WHITTIER_A-CWC270.AT2	SF_2.0549_KOCAELI_DHM000.AT2	SF_2.1249_KOCAELI_USK090.AT2	SF_2.0673_KOCAELI_USK090.AT2
3 SF_2.137_CHICHI_CHY101-E.AT2	SF_2.137_CHICHI_CHY101-E.AT2	SF_2.0627_WHITTIER_A-CWC270.AT2	SF_2.1521_WHITTIER_A-CWC270.AT2	SF_2.1645_WHITTIER_A-CWC270.AT2
4 SF_2.1686_WHITTIER_A-BUE340.AT2	SF_2.1686_WHITTIER_A-BUE340.AT2	SF_2.1771_WHITTIER_A-BUE340.AT2	SF_2.2794_WHITTIER_A-BUE340.AT2	SF_2.2557_CHICHI_CHY024-E.AT2
5 SF_2.2124_CHICHI_TTN051-N.AT2	SF_2.2124_CHICHI_TTN051-N.AT2	SF_2.2384_KOCAELI_USK090.AT2	SF_2.2984_WHITTIER_A-OBR360.AT2	SF_2.2942_WHITTIER_A-BUE340.AT2
6 SF_2.2167_KOCAELI_USK090.AT2	SF_2.2167_KOCAELI_USK090.AT2	SF_2.2479_LANDERS_CAS000.AT2	SF_2.3543_CHICHI_CHY024-E.AT2	SF_2.3004_WHITTIER_A-OBR360.AT2
7 SF_2.2495_LANDERS_CAS000.AT2	SF_2.2495_LANDERS_CAS000.AT2	SF_2.2749_LOMAP_WDS000.AT2	SF_2.3838_LOMAP_RIN000.AT2	SF_2.3535_LOMAP_RIN000.AT2
8 SF_2.2762_IMPVAL H-E01140.AT2	SF_2.2762_IMPVAL H-E01140.AT2	SF_2.2885_IMPVAL H-E01140.AT2	SF_2.4145_IMPVAL H-E01140.AT2	SF_2.3874_IMPVAL H-E01140.AT2
9 SF_2.2826_CHICHI_CHY041-E.AT2	SF_2.2826_CHICHI_CHY041-E.AT2	SF_2.3166_LOMAP_RIN000.AT2	SF_2.4284_LANDERS_CAS000.AT2	SF_2.4338_CHICHI_TCU119-N.AT2
10 SF_2.321_LOMAP_RIN000.AT2	SF_2.321_LOMAP_RIN000.AT2	SF_2.3697_LIVERMOR_B-SRM070.AT2	SF_2.4931_KOCAELI_MSK000.AT2	SF_2.4345_KOCAELI_MSK000.AT2
11 SF_2.385_CHICHI_CHY024-E.AT2	SF_2.385_CHICHI_CHY024-E.AT2	SF_2.4129_CHICHI_CHY024-E.AT2	SF_2.5208_COALINGA_H-C4A090.AT2	SF_2.4718_LANDERS_CAS000.AT2
12 SF_2.4722_KOCAELI_MSK000.AT2	SF_2.4722_KOCAELI_MSK000.AT2	SF_2.4895_WHITTIER_A-CYP143.AT2	SF_2.5213_IMPVAL H-CC4045.AT2	SF_2.4968_COALINGA_H-C4A090.AT2
13 SF_2.4748_WHITTIER_A-CYP143.AT2	SF_2.4748_WHITTIER_A-CYP143.AT2	SF_2.5036_KOCAELI_MSK000.AT2	SF_2.5445_CHICHI06_TCU078-E.AT2	SF_2.524_LOMAP_SJW160.AT2
14 SF_2.4838_CHICHI06_TCU078-E.AT2	SF_2.4838_CHICHI06_TCU078-E.AT2	SF_2.5115_CHICHI06_TCU078-E.AT2	SF_2.5632_WHITTIER_A-CYP143.AT2	SF_2.5439_CHICHI06_TCU078-E.AT2
15 SF_2.5452_FRIULI_A-FLT270.AT2	SF_2.5452_FRIULI_A-FLT270.AT2	SF_2.5452_FRIULI_A-FLT270.AT2	SF_2.6135_LOMAP_SJW160.AT2	SF_2.5878_CHICHI_TAW-N.AT2
16 SF_2.6318_TABAS_BAJ-T1.AT2	SF_2.6318_TABAS_BAJ-T1.AT2	SF_2.639_TABAS_BAJ-T1.AT2	SF_2.6976_FRIULI_A-FLT270.AT2	SF_2.6406_COALINGA_H-Z16090.AT2
17 SF_2.7899_LOMAP_AGW000.AT2	SF_2.7899_LOMAP_AGW000.AT2	SF_2.7828_LOMAP_AGW000.AT2	SF_2.9154_NORTH CAT090.AT2	SF_2.7013_FRIULI_A-FLT270.AT2
18 SF_2.8398_NORTH CAT090.AT2	SF_2.8398_NORTH CAT090.AT2	SF_2.8614_NORTH CAT090.AT2	SF_2.9168_WESTMORL_BRA315.AT2	SF_2.7986_WESTMORL_BRA315.AT2
19 SF_2.8667_CHICHI_TCU100-N.AT2	SF_2.8667_CHICHI_TCU100-N.AT2	SF_2.8922_CHICHI_TCU100-N.AT2	SF_2.9206_TABAS_BAJ-T1.AT2	SF_2.8562_NORTH CAT090.AT2
20 SF_2.9741_LIVERMOR_B-FRE075.AT2	SF_2.9741_LIVERMOR_B-FRE075.AT2	SF_2.9764_LIVERMOR_B-FRE075.AT2	SF_2.9363_CHICHI_TCU040-N.AT2	SF_3.0129_TABAS_BAJ-T1.AT2
Aydın Üniv. Yapısı	Gedikbulak 3D	20 Katlı 3D Yapı	24 Katlı 2D CSW	
1 SF_2.1198_LOMAP_TLH090.AT2	SF_3.3071_CHICHI_CHY024-E.AT2	SF_1.7579_IMPVAL H-E03140.AT2	SF_1.8592_CHICHI_ALS-E.AT2	
2 SF_2.1507_LOMAP_SJW160.AT2	SF_3.3934_CHICHI06_TCU129-E.AT2	SF_1.8315_LOMAP_CHO7000.AT2	SF_1.9189_LOMAP_TLH090.AT2	
3 SF_2.1814_KOCAELI_ATK000.AT2	SF_3.5377_NWCHINA2_J4060270.AT2	SF_1.8467_HECTOR_32577360.AT2	SF_2.0063_SMART1_40I07NS.AT2	
4 SF_2.2145_CHICHI03_TCU122-E.AT2	SF_3.5511_CHICHI_NST-E.AT2	SF_1.8732_UPLAND_UP90S-H2.AT2	SF_2.0514_LOMAP_SJW160.AT2	
5 SF_2.2197_HECTOR_14840019.AT2	SF_3.6654_WHITTIER_A-FLO020.AT2	SF_1.9174_LOMAP_SSF115.AT2	SF_2.0794_IMPVAL H-E01140.AT2	
6 SF_2.2694_IMPVAL H-E01140.AT2	SF_3.7439_KOBE_OSA000.AT2	SF_1.9393_CHICHI_TCU046-N.AT2	SF_2.0819_CHICHI_TAW-N.AT2	
7 SF_2.276_CHICHI06_CHY025-E.AT2	SF_3.8297_CHALFANT_A-LAD180.AT2	SF_1.9962_LOMAP_WDS000.AT2	SF_2.1468_CHICHI03_TCU129-E.AT2	
8 SF_2.3301_SMART1_45E01NS.AT2	SF_3.8602_COALINGA_H-C4A090.AT2	SF_2.0008_KOCAELI_ATK090.AT2	SF_2.2153_KOCAELI_ATK000.AT2	
9 SF_2.3302_CHICHI_HWA011-N.AT2	SF_3.9068_LIVERMOR_B-FRE075.AT2	SF_2.0047_LOMAP_CLS090.AT2	SF_2.3075_NORTH CAT090.AT2	
10 SF_2.3432_SMART1_40O01NS.AT2	SF_4.0203_SKULLMT_Lsm7270.AT2	SF_2.0324_SUPERST_B-ICCO00.AT2	SF_2.3179_SMART1_40O01NS.AT2	
11 SF_2.3574_KOCAELI_IST090.AT2	SF_4.1092_WHITTIER_A-ARL270.AT2	SF_2.0942_KOCAELI_DHM000.AT2	SF_2.3377_SMART1_45E01NS.AT2	
12 SF_2.408_CHICHI_TAP010-E.AT2	SF_4.1328_HECTOR_32577090.AT2	SF_2.1108_LOMAP_HCH180.AT2	SF_2.368_CHICHI03_TCU122-E.AT2	
13 SF_2.4395_CHICHI06_CHY024-E.AT2	SF_4.1628_WHITTIER_A-WPA150.AT2	SF_2.1517_KOCAELI_USK090.AT2	SF_2.3698_NORTH CAT090.AT2	
14 SF_2.4994_SUPERST_B-IVW090.AT2	SF_4.1764_ITALY_A-BOV000.AT2	SF_2.2012_LOMAP_GMR000.AT2	SF_2.3705_TABAS_BOS-L1.AT2	
15 SF_2.499_TABAS_BOS-L1.AT2	SF_4.2313_BIGBEAR_DHP090.AT2	SF_2.243_CHICHI_TTN051-N.AT2	SF_2.3879_COALINGA_H-Z16090.AT2	
16 SF_2.5026_NORTH CAT090.AT2	SF_4.3548_PALMSPR_H05360.AT2	SF_2.2656_LOMAP_G03000.AT2	SF_2.4576_COALINGA_H-C4A090.AT2	
17 SF_2.6068_CHICHI_ILA013-N.AT2	SF_4.5904_CHICHI_TCU119-N.AT2	SF_2.3035_CHICHI_CHY024-E.AT2	SF_2.4746_NORTH CAT090.AT2	
18 SF_2.6369_HECTOR_32577090.AT2	SF_4.7157_HECTOR_14840019.AT2	SF_2.4178_IMPVAL H-E01230.AT2	SF_2.5282_HECTOR_32577090.AT2	
19 SF_2.7669_UPLAND_23525090.AT2	SF_4.7869_CHICHI04_CHY101-E.AT2	SF_2.4315_CHICHI_TCU075-N.AT2	SF_2.6884_LOMAP_PJH315.AT2	
20 SF_2.8632_SUPERST_B-SUP135.AT2	SF_4.9259_NORTH CAT090.AT2	SF_2.4796_CHICHI_TCU054-N.AT2	SF_2.714_CHICHI06_CHY036-E.AT2	

Çizelge A.1 (devam): Analizlerde Kullanılan depremlerin isimleri ve ölççek katsayıları listesi.

Eskişehir Merkez, 2. Derece Deprem Bölgesi, ZC Zemin Sınıfı, DD_2

PFN_4_1		PFN_5_1		PFN_6_1		PFN_8_2		Prefabrik Yapı	
1	SF_1.0978_KOCAELI_MSK000.AT2	SF_1.0978_KOCAELI_MSK000.AT2	SF_1.1101_CHICHI06_TCU078-E.AT2	SF_1.4300_LIVERMOR_B-FRE075.AT2	SF_1.3982_CHICHI03_TCU075-E.AT2				
2	SF_1.103_CHICHI06_TCU078-E.AT2	SF_1.103_CHICHI06_TCU078-E.AT2	SF_1.2436_CHICHI_TAW-N.AT2	SF_1.4345_CHICHI03_TCU075-E.AT2	SF_1.4084_WHITTIER_A-VER173.AT2				
3	SF_1.2337_CHICHI_TAW-N.AT2	SF_1.2337_CHICHI_TAW-N.AT2	SF_1.2647_NORTHR_CAT090.AT2	SF_1.5922_SMART1_40M07EW.AT2	SF_1.4245_LIVERMOR_B-FRE075.AT2				
4	SF_1.2611_NORTHR_CAT090.AT2	SF_1.2611_NORTHR_CAT090.AT2	SF_1.2779_NEWZEAL_A-MAR040.AT2	SF_1.6109_COALINGA_H-SC4090.AT2	SF_1.5018_NWCHINA2_J4060270.AT2				
5	SF_1.2805_NEWZEAL_A-MAR040.AT2	SF_1.2805_NEWZEAL_A-MAR040.AT2	SF_1.278_WESTMORL_BRA315.AT2	SF_1.6265_COALINGA_D-PVP270.AT2	SF_1.5351_UPLAND_23525090.AT2				
6	SF_1.2827_WESTMORL_BRA315.AT2	SF_1.2827_WESTMORL_BRA315.AT2	SF_1.3111_LOMAP_SGI270.AT2	SF_1.6505_CHICHI06_CHY028-E.AT2	SF_1.5444_COALINGA_H-SC4090.AT2				
7	SF_1.3208_LIVERMOR_B-FRE075.AT2	SF_1.3208_LIVERMOR_B-FRE075.AT2	SF_1.3155_LIVERMOR_B-FRE075.AT2	SF_1.6616_WHITTIER_A-HNT270.AT2	SF_1.5458_SFERN_MA3220.AT2				
8	SF_1.3213_LOMAP_SGI270.AT2	SF_1.3213_LOMAP_SGI270.AT2	SF_1.3234_NWCHINA2_J4060270.AT2	SF_1.6936_NORTHR_LV3090.AT2	SF_1.5608_CHICHI_HWA2-E.AT2				
9	SF_1.3279_BIGBEAR_DHP090.AT2	SF_1.3279_BIGBEAR_DHP090.AT2	SF_1.3273_PARKF_C12320.AT2	SF_1.7233_CHICHI04_CHY035-E.AT2	SF_1.5781_HECTOR_14840019.AT2				
10	SF_1.3317_PARKF_C12320.AT2	SF_1.3317_PARKF_C12320.AT2	SF_1.3352_BIGBEAR_DHP090.AT2	SF_1.7343_WHITTIER_A-L01090.AT2	SF_1.6444_CHICHI03_CHY024-E.AT2				
11	SF_1.3366_NWCHINA2_J4060270.AT2	SF_1.3366_NWCHINA2_J4060270.AT2	SF_1.3489_CHALFANT_A-LAD180.AT2	SF_1.7449_CHICHI06_CHY032-N.AT2	SF_1.7215_HECTOR_22161090.AT2				
12	SF_1.3487_CHALFANT_A-LAD180.AT2	SF_1.3487_CHALFANT_A-LAD180.AT2	SF_1.3514_HECTOR_32577090.AT2	SF_1.7667_CHALFANT_A-BEN360.AT2	SF_1.7255_WHITTIER_A-L01090.AT2				
13	SF_1.3599_LANDERS_MEL090.AT2	SF_1.3599_LANDERS_MEL090.AT2	SF_1.3636_LANDERS_MEL090.AT2	SF_1.7848_SKULLMT_Lsm7270.AT2	SF_1.7256_CHICHI_HWA005-N.AT2				
14	SF_1.367_WHITTIER_A-VER173.AT2	SF_1.367_WHITTIER_A-VER173.AT2	SF_1.3661_WHITTIER_A-VER173.AT2	SF_1.7852_MORGAN_WVE000.AT2	SF_1.7524_CHICHI03_CHY101-E.AT2				
15	SF_1.3822_SFERN_MA3220.AT2	SF_1.3822_SFERN_MA3220.AT2	SF_1.3726_NORTHR_NYA180.AT2	SF_1.9158_CHICHI06_CHY037-N.AT2	SF_1.7656_SKULLMT_Lsm7270.AT2				
16	SF_1.3827_NORTHR_MJH090.AT2	SF_1.3827_NORTHR_MJH090.AT2	SF_1.3738_SFERN_MA3220.AT2	SF_1.9233_CHICHI06_CHY088-E.AT2	SF_1.7753_CHICHI06_CHY024-E.AT2				
17	SF_1.3854_NORTHR_NYA180.AT2	SF_1.3854_NORTHR_NYA180.AT2	SF_1.3928_NORTHR_MJH090.AT2	SF_1.9921_HOLLISTR_A-SJB123.AT2	SF_1.8213_CHICHI04_CHY101-E.AT2				
18	SF_1.4022_CHICHI03_TCU075-E.AT2	SF_1.4022_CHICHI03_TCU075-E.AT2	SF_1.4064_CHICHI03_TCU075-E.AT2	SF_2.0962_CHICHI06_CHY030-E.AT2	SF_1.8243_LANDERS_DEV000.AT2				
19	SF_1.5443_SFERN_PAS090.AT2	SF_1.5443_SFERN_PAS090.AT2	SF_1.5541_SFERN_PAS090.AT2	SF_2.139_CHICHI06_CHY041-E.AT2	SF_1.8318_CHICHI_NST-E.AT2				
20	SF_1.7506_NORTHR_WAT270.AT2	SF_1.7506_NORTHR_WAT270.AT2	SF_1.7538_NORTHR_WAT270.AT2	SF_2.1914_LIVERMOR_A-ANT360.AT2	SF_1.8594_NORTHR_WAT270.AT2				
Aydın Yapı		Gedikbulak_3D		20 Katlı_3D_Yapı		24 Katlı_2D_CSW			
1	SF_1.104_NORTHR_5081-270.AT2	SF_1.3129_KOCAELI_MSK000.AT2	SF_1.1344_CHICHI_TAW-N.AT2	SF_1.2809_COALINGA_H-Z16090.AT2					
2	SF_1.1259_NORTHR_CDF090.AT2	SF_1.3758_PARKF_C12320.AT2	SF_1.2054_COALINGA_H-Z16090.AT2	SF_1.352_MANJIL_188310.AT2					
3	SF_1.1418_CHICHI06_CHY024-E.AT2	SF_1.3800_LOMAP_RIN000.AT2	SF_1.2465_CHICHI06_TCU078-E.AT2	SF_1.4413_CHICHI06_CHY024-E.AT2					
4	SF_1.1792_NORTHR_CAT090.AT2	SF_1.4058_CHICHI02_TCU079-E.AT2	SF_1.3034_NORTHR_CAT090.AT2	SF_1.4708_CHICHI03_CHY028-E.AT2					
5	SF_1.1903_COALINGA_H-C4A090.AT2	SF_1.419_NEWZEAL_A-MAR040.AT2	SF_1.3407_MANJIL_188310.AT2	SF_1.4887_UPLAND_23525090.AT2					
6	SF_1.2096_COALINGA_H-Z16090.AT2	SF_1.4586_SFERN_MA3220.AT2	SF_1.353_LANDERS_MEL090.AT2	SF_1.5436_ITALY_A-BRZ000.AT2					
7	SF_1.2645_CHICHI_TCU085-N.AT2	SF_1.4767_CHICHI_TTN051-N.AT2	SF_1.3818_NEWZEAL_A-MAR040.AT2	SF_1.5471_CHICHI_HWA048-N.AT2					
8	SF_1.2885_CHICHI03_CHY028-E.AT2	SF_1.4857_CHICHI03_CHY080-E.AT2	SF_1.3834_LOMAP_SUF090.AT2	SF_1.574_CHICHI_TCU085-N.AT2					
9	SF_1.2903_HECTOR_12331090.AT2	SF_1.5017_CHICHI_CHY024-E.AT2	SF_1.395_NORTHR_MJH090.AT2	SF_1.5853_CHICHI_ILA048-N.AT2					
10	SF_1.2978_LANDERS_H05000.AT2	SF_1.5409_CHICHI06_TCU129-E.AT2	SF_1.4066_FRIULI_A-FLT270.AT2	SF_1.6143_KOBE_FUK000.AT2					
11	SF_1.3123_SFERN_PAS090.AT2	SF_1.5414_KOCAELI_USK090.AT2	SF_1.4078_CHICHI03_CHY028-E.AT2	SF_1.6391_COALINGA_H-Z06090.AT2					
12	SF_1.3255_CHICHI_TAP052-N.AT2	SF_1.5418_LOMAP_SGI270.AT2	SF_1.4361_BIGBEAR_DHP090.AT2	SF_1.6407_NEWZEAL_A-MAR040.AT2					
13	SF_1.3512_CHICHI_HWA048-N.AT2	SF_1.6064_NWCHINA2_J4060270.AT2	SF_1.4553_NORTHR_GLP177.AT2	SF_1.6443_CHICHI_HWA2-E.AT2					
14	SF_1.3642_LOMAP_DMH000.AT2	SF_1.6125_CHICHI_NST-E.AT2	SF_1.4802_CHICHI03_TCU075-E.AT2	SF_1.6573_NORTHR_MJH090.AT2					
15	SF_1.4926_CHICHI_CHY088-E.AT2	SF_1.6644_WHITTIER_A-FLO020.AT2	SF_1.4916_ITALY_A-BRZ000.AT2	SF_1.6877_CHICHI_CHY088-E.AT2					
16	SF_1.521_CHALFANT_A-LAD180.AT2	SF_1.739_CHALFANT_A-LAD180.AT2	SF_1.5263_HECTOR_14840019.AT2	SF_1.6900_SFERN_PAS090.AT2					
17	SF_1.5577_NEWZEAL_A-MAR040.AT2	SF_1.774_LIVERMOR_B-FRE075.AT2	SF_1.6246_SFERN_PAS090.AT2	SF_1.6973_LOMAP_DMH000.AT2					
18	SF_1.5656_CHICHI_TCU025-N.AT2	SF_1.8256_SKULLMT_Lsm7270.AT2	SF_1.6271_CHICHI06_CHY028-E.AT2	SF_1.7624_CHALFANT_A-LAD180.AT2					
19	SF_1.6353_NORTHR_BIR090.AT2	SF_1.8659_WHITTIER_A-ARL270.AT2	SF_1.6534_CHALFANT_A-LAD180.AT2	SF_1.8083_CHICHI06_CHY034-N.AT2					
20	SF_1.6544_LOMAP_ADL250.AT2	SF_1.8903_WHITTIER_A-WPA150.AT2	SF_1.7073_MORGAN_WVE000.AT2	SF_1.9155_NORTHR_BIR090.AT2					

Çizelge A.1 (devam): Analizlerde Kullanılan depremlerin isimleri ve ölççek katsayıları listesi.

Istanbul Levent, 2. Derece Deprem Bölgesi, ZC Zemin Sınıfı, DD_1

PFN_4_1		PFN_5_1		PFN_6_1		PFN_8_2		Prefabrik Yapı	
1	SF_1.8339_IMPVALL_H-E01140.AT2	SF_1.8339_IMPVALL_H-E01140.AT2	SF_1.832_IMPVALL_H-E01140.AT2	SF_1.8201_LOMAP_RIN000.AT2	SF_1.811_LOMAP_RIN000.AT2				
2	SF_1.8699_LOMAP_RIN000.AT2	SF_1.8699_LOMAP_RIN000.AT2	SF_1.8545_LOMAP_RIN000.AT2	SF_1.8436_IMPVALL_H-E01140.AT2	SF_1.8371_IMPVALL_H-E01140.AT2				
3	SF_2.0011_CHICHI06_TCU078-E.AT2	SF_2.0011_CHICHI06_TCU078-E.AT2	SF_2.0042_KOCAELI_MSK000.AT2	SF_1.8542_LANDERS_CAS000.AT2	SF_1.8734_KOCAELI_MSK000.AT2				
4	SF_2.0085_IMPVALL_H-E13140.AT2	SF_2.0085_IMPVALL_H-E13140.AT2	SF_2.0104_CHICHI06_TCU078-E.AT2	SF_1.9247_COALINGA_H-C4A090.AT2	SF_1.9021_LANDERS_CAS000.AT2				
5	SF_2.0335_MORGAN_AGW240.AT2	SF_2.0335_MORGAN_AGW240.AT2	SF_2.0389_FRIULI_A-FLT270.AT2	SF_1.9428_CHICHI06_TCU078-E.AT2	SF_1.9213_COALINGA_H-C4A090.AT2				
6	SF_2.0388_COALINGA_H-C4A090.AT2	SF_2.0388_COALINGA_H-C4A090.AT2	SF_2.0496_COALINGA_H-C4A090.AT2	SF_2.0503_NORTHR_WPI316.AT2	SF_1.9576_CHICHI06_TCU078-E.AT2				
7	SF_2.0506_FRIULI_A-FLT270.AT2	SF_2.0506_FRIULI_A-FLT270.AT2	SF_2.1126_TABAS_BAJ-T1.AT2	SF_2.0597_FRIULI_A-FLT270.AT2	SF_1.9913_CHICHI_TAW-N.AT2				
8	SF_2.1203_TABAS_BAJ-T1.AT2	SF_2.1203_TABAS_BAJ-T1.AT2	SF_2.1324_LANDERS_WST000.AT2	SF_2.0622_CHICHI_TAW-N.AT2	SF_2.032_COALINGA_H-Z16090.AT2				
9	SF_2.2382_CHICHI_TAW-N.AT2	SF_2.2382_CHICHI_TAW-N.AT2	SF_2.2227_CHICHI_TCU119-N.AT2	SF_2.0772_COALINGA_H-Z16090.AT2	SF_2.0787_FRIULI_A-FLT270.AT2				
10	SF_2.2879_NORTHR_CAT090.AT2	SF_2.2879_NORTHR_CAT090.AT2	SF_2.2906_NORTHR_CAT090.AT2	SF_2.2261_NORTHR_CAT090.AT2	SF_2.1473_NORTHR_WPI316.AT2				
11	SF_2.323_NEWZEAL_A-MAR040.AT2	SF_2.323_NEWZEAL_A-MAR040.AT2	SF_2.3143_NEWZEAL_A-MAR040.AT2	SF_2.2266_NORTHR_GLP177.AT2	SF_2.1536_WESTMORL_BRA315.AT2				
12	SF_2.3271_WESTMORL_BRA315.AT2	SF_2.3271_WESTMORL_BRA315.AT2	SF_2.3746_LOMAP_SGI270.AT2	SF_2.2271_WESTMORL_BRA315.AT2	SF_2.1979_NORTHR_CAT090.AT2				
13	SF_2.393_HECTOR_32577090.AT2	SF_2.393_HECTOR_32577090.AT2	SF_2.3826_LIVERMOR_B-FRE075.AT2	SF_2.2300_TABAS_BAJ-T1.AT2	SF_2.2303_DUZCE_1061-N.AT2				
14	SF_2.3961_LIVERMOR_B-FRE075.AT2	SF_2.3961_LIVERMOR_B-FRE075.AT2	SF_2.3968_NWCHINA2_J4060270.AT2	SF_2.2615_DUZCE_1061-N.AT2	SF_2.2442_NORTHR_GLP177.AT2				
15	SF_2.3971_LOMAP_SGI270.AT2	SF_2.3971_LOMAP_SGI270.AT2	SF_2.4039_PARKF_C12320.AT2	SF_2.2767_NEWZEAL_A-MAR040.AT2	SF_2.2483_NEWZEAL_A-MAR040.AT2				
16	SF_2.4249_NWCHINA2_J4060270.AT2	SF_2.4249_NWCHINA2_J4060270.AT2	SF_2.443_CHALFANT_A-LAD180.AT2	SF_2.2798_NORTHR_MJH090.AT2	SF_2.269_NORTHR_MJH090.AT2				
17	SF_2.4469_CHALFANT_A-LAD180.AT2	SF_2.4469_CHALFANT_A-LAD180.AT2	SF_2.4476_HECTOR_32577090.AT2	SF_2.4326_LIVERMOR_B-FRE075.AT2	SF_2.2832_LOMAP_AGW000.AT2				
18	SF_2.5076_SFERN_MA3220.AT2	SF_2.5076_SFERN_MA3220.AT2	SF_2.4859_NORTHR_NYA180.AT2	SF_2.4402_CHICHI03_TCU075-E.AT2	SF_2.4318_CHICHI03_TCU075-E.AT2				
19	SF_2.5085_NORTHR_MJH090.AT2	SF_2.5085_NORTHR_MJH090.AT2	SF_2.4881_SFERN_MA3220.AT2	SF_2.4405_CHALFANT_A-LAD180.AT2	SF_2.4964_CHALFANT_A-LAD180.AT2				
20	SF_2.5133_NORTHR_NYA180.AT2	SF_2.5133_NORTHR_NYA180.AT2	SF_2.5226_NORTHR_MJH090.AT2	SF_2.479_LOMAP_SGI270.AT2	SF_2.5081_LOMAP_SGI270.AT2				
Aydın Üniv. Yapısı		Gedikbulak_3D		20_Katlı_3D_Yapı		24_Katlı_2D_CS			
1	SF_1.968_IMPVALL_H-E01140.AT2	SF_2.8393_NEWZEAL_A-MAR040.AT2	SF_1.7685_NORTHR_PHP270.AT2	SF_2.2673_COALINGA_H-Z16090.AT2					
2	SF_2.0207_SMART1_45E01NS.AT2	SF_2.9187_SFERN_MA3220.AT2	SF_1.8035_KOCAELI_USK090.AT2	SF_2.3111_CHICHI03_CHY035-E.AT2					
3	SF_2.1156_CHICHI06_CHY024-E.AT2	SF_3.0833_CHICHI06_TCU129-E.AT2	SF_1.8261_MORGAN_G04360.AT2	SF_2.3335_COALINGA_H-C4A090.AT2					
4	SF_2.1808_NORTHR_5081-270.AT2	SF_3.0851_LOMAP_SGI270.AT2	SF_1.8400_CHICHI_CHY101-E.AT2	SF_2.3748_CHICHI03_TCU065-E.AT2					
5	SF_2.2897_CHICHI03_TCU129-E.AT2	SF_3.1928_NORTHR_CAT090.AT2	SF_1.8749_SUPERST_B-BRA315.AT2	SF_2.4237_CHICHI06_CHY015-N.AT2					
6	SF_2.3173_COALINGA_H-C4A090.AT2	SF_3.2089_LOMAP_WDS000.AT2	SF_1.8800_CHICHI_TTN051-N.AT2	SF_2.4832_WHITTIER_A-CYP143.AT2					
7	SF_2.3626_LOMAP_BVU220.AT2	SF_3.2144_NWCHINA2_J4060270.AT2	SF_1.8964_LOMAP_G06000.AT2	SF_2.4893_HECTOR_14840019.AT2					
8	SF_2.3666_CHICHI_TCU085-N.AT2	SF_3.2266_CHICHI_NST-E.AT2	SF_1.9307_CHICHI_CHY024-E.AT2	SF_2.5014_CHICHI_CHY002-N.AT2					
9	SF_2.3944_HECTOR_12331090.AT2	SF_3.2374_COALINGA_H-Z11090.AT2	SF_1.9662_NORTHR_MRP180.AT2	SF_2.5513_CHICHI06_CHY024-E.AT2					
10	SF_2.4022_LANDERS_H05000.AT2	SF_3.2686_LIVERMOR_B-SRM070.AT2	SF_1.9894_LIVERMOR_B-SRM070.AT2	SF_2.6014_LOMAP_BVU220.AT2					
11	SF_2.402_COALINGA_H-Z16090.AT2	SF_3.3305_WHITTIER_A-FLO020.AT2	SF_2.0121_CHICHI03_TCU129-E.AT2	SF_2.6035_CHICHI03_CHY028-E.AT2					
12	SF_2.4346_SFERN_PAS090.AT2	SF_3.4018_KOBE_OSA000.AT2	SF_2.1289_IMPVALL_H-E01140.AT2	SF_2.6352_UPLAND_23525090.AT2					
13	SF_2.5083_CHICHI_HWA019-E.AT2	SF_3.4798_CHALFANT_A-LAD180.AT2	SF_2.1385_KOCAELI_MSK000.AT2	SF_2.7324_ITALY_A-BR2000.AT2					
14	SF_2.5142_IMPVALL_H-CC4045.AT2	SF_3.5498_LIVERMOR_B-FRE075.AT2	SF_2.1973_KOCAELI_ATK000.AT2	SF_2.7385_CHICHI_HWA048-N.AT2					
15	SF_2.5416_BORREGO_A-ELC180.AT2	SF_3.653_SKULLMT_Lsm7270.AT2	SF_2.2014_TABAS_BOS-L1.AT2	SF_2.7862_CHICHI_TCU085-N.AT2					
16	SF_2.5567_LOMAP_DMH000.AT2	SF_3.7337_WHITTIER_A-ARL270.AT2	SF_2.2394_SMART1_45O01EW.AT2	SF_2.8576_KOBE_FUK000.AT2					
17	SF_2.5667_CHICHI_HWA048-N.AT2	SF_3.7651_IMPVALL_H-CMP015.AT2	SF_2.3043_CHICHI_TAW-N.AT2	SF_2.9043_NEWZEAL_A-MAR040.AT2					
18	SF_2.5786_CHICHI_CHY054-E.AT2	SF_3.7824_WHITTIER_A-WPA150.AT2	SF_2.3148_MANAGUA_B-MAN180.AT2	SF_2.9336_NORTHR_MJH090.AT2					
19	SF_2.7479_CHICHI_HWA2-E.AT2	SF_3.7948_ITALY_A-BOV000.AT2	SF_2.3204_IMPVALL_H-CXO225.AT2	SF_2.9875_CHICHI_CHY088-E.AT2					
20	SF_2.8424_CHICHI_TCU025-N.AT2	SF_3.9568_PALMSPR_H05360.AT2	SF_2.3345_NORTHR_CDF090.AT2	SF_3.2010_CHICHI06_CHY034-N.AT2					

Çizelge A.1 (devam): Analizlerde Kullanılan depremlerin isimleri ve ölççek katsayıları listesi.

Istanbul Levent, 2. Derece Deprem Bölgesi, ZC Zemin Sınıfı, DD_2

PFN_4_1		PFN_5_1		PFN_6_1		PFN_8_2		Prefabrik Yapı	
1	SF_0.93723_KOCAELI_DHM000.AT2	SF_0.93723_KOCAELI_DHM000.AT2	SF_0.93723_KOCAELI_DHM000.AT2	SF_0.93824_KOCAELI_DHM000.AT2	SF_1.4008_WHITTIER_A-VER173.AT2	SF_1.8271_LANDERS_DEV000.AT2			
2	SF_0.99419_WHITTIER_A-BUE340.AT2	SF_0.99419_WHITTIER_A-BUE340.AT2	SF_0.99419_WHITTIER_A-BUE340.AT2	SF_0.994_WHITTIER_A-BUE340.AT2	SF_1.4063_LIVERMOR_B-FRE075.AT2	SF_1.9838_CHICHI_ILA027-E.AT2			
3	SF_1.0142_CHICHI_TTN051-N.AT2	SF_1.0142_CHICHI_TTN051-N.AT2	SF_1.0142_CHICHI_TTN051-N.AT2	SF_1.0165_CHICHI_TTN051-N.AT2	SF_1.4108_CHICHI03_TCU075-E.AT2	SF_1.9978_CHICHI06_TCU122-E.AT2			
4	SF_1.0162_KOCAELI_USK090.AT2	SF_1.0162_KOCAELI_USK090.AT2	SF_1.0162_KOCAELI_USK090.AT2	SF_1.022_KOCAELI_USK090.AT2	SF_1.4109_CHALFANT_A-LAD180.AT2	SF_2.078_CHICHI03_TCU138-N.AT2			
5	SF_1.0313_LANDERS_CAS000.AT2	SF_1.0313_LANDERS_CAS000.AT2	SF_1.0313_LANDERS_CAS000.AT2	SF_1.0263_LANDERS_CAS000.AT2	SF_1.4759_NWCHINA2_J4060270.AT2	SF_2.1154_SMART1_05112EW.AT2			
6	SF_1.0435_IMPVAL H-E01140.AT2	SF_1.0435_IMPVAL H-E01140.AT2	SF_1.0435_IMPVAL H-E01140.AT2	SF_1.0449_IMPVAL H-E01140.AT2	SF_1.5100_SFERN_MA3220.AT2	SF_2.1556_CHICHI_CHY052-N.AT2			
7	SF_1.064_LOMAP_RIN000.AT2	SF_1.064_LOMAP_RIN000.AT2	SF_1.064_LOMAP_RIN000.AT2	SF_1.0577_LOMAP_RIN000.AT2	SF_1.5842_COALINGA_H-SC4090.AT2	SF_2.2227_LOMAP_PJH045.AT2			
8	SF_1.0934_CHICHI_CHY024-E.AT2	SF_1.0934_CHICHI_CHY024-E.AT2	SF_1.0934_CHICHI_CHY024-E.AT2	SF_1.1017_CHICHI_CHY024-E.AT2	SF_1.602_CHICHI_HWA2-E.AT2	SF_2.2436_WHITTIER_A-WPA150.AT2			
9	SF_1.1101_NORTHR_WPI316.AT2	SF_1.1101_NORTHR_WPI316.AT2	SF_1.1101_NORTHR_WPI316.AT2	SF_1.1019_NORTHR_WPI316.AT2	SF_1.6182_UPLAND_23525090.AT2	SF_2.2517_LANDERS_29P000.AT2			
10	SF_1.1333_KOCAELI_MSK000.AT2	SF_1.1333_KOCAELI_MSK000.AT2	SF_1.1333_KOCAELI_MSK000.AT2	SF_1.1367_WHITTIER_A-CYP143.AT2	SF_1.6566_HECTOR_14840019.AT2	SF_2.2652_LANDERS_NHO180.AT2			
11	SF_1.1345_WHITTIER_A-CYP143.AT2	SF_1.1345_WHITTIER_A-CYP143.AT2	SF_1.1345_WHITTIER_A-CYP143.AT2	SF_1.1431_KOCAELI_MSK000.AT2	SF_1.6655_NORTHR_LV3090.AT2	SF_2.2828_HECTOR_0589a230.AT2			
12	SF_1.1387_CHICHI06_TCU078-E.AT2	SF_1.1387_CHICHI06_TCU078-E.AT2	SF_1.1387_CHICHI06_TCU078-E.AT2	SF_1.1467_CHICHI06_TCU078-E.AT2	SF_1.7055_WHITTIER_A-L01090.AT2	SF_2.3021_ITALY_A-BOV000.AT2			
13	SF_1.1668_FRIULI_A-FLT270.AT2	SF_1.1668_FRIULI_A-FLT270.AT2	SF_1.1668_FRIULI_A-FLT270.AT2	SF_1.1629_FRIULI_A-FLT270.AT2	SF_1.7552_SKULLMT_Lsm7270.AT2	SF_2.3033_CHALFANT_D-LAD180.AT2			
14	SF_1.2065_TABAS_BAJ-T1.AT2	SF_1.2065_TABAS_BAJ-T1.AT2	SF_1.2065_TABAS_BAJ-T1.AT2	SF_1.2049_TABAS_BAJ-T1.AT2	SF_1.7769_HECTOR_22161090.AT2	SF_2.3267_WHITTIER_A-ARL270.AT2			
15	SF_1.279_LOMAP_AGW000.AT2	SF_1.279_LOMAP_AGW000.AT2	SF_1.279_LOMAP_AGW000.AT2	SF_1.2706_LOMAP_AGW000.AT2	SF_1.7928_CHICHI_NST-E.AT2	SF_2.3399_ITALY_B-TRC000.AT2			
16	SF_1.2938_DUZCE_1061-N.AT2	SF_1.2938_DUZCE_1061-N.AT2	SF_1.2938_DUZCE_1061-N.AT2	SF_1.2892_DUZCE_1061-N.AT2	SF_1.8398_LANDERS_DEV000.AT2	SF_2.3588_PALMSPR_NPS300.AT2			
17	SF_1.3019_NORTHR_CAT090.AT2	SF_1.3019_NORTHR_CAT090.AT2	SF_1.3019_NORTHR_CAT090.AT2	SF_1.3065_NORTHR_CAT090.AT2	SF_1.8503_NORTHR_WAT270.AT2	SF_2.3679_NORTHR_BER000.AT2			
18	SF_1.3142_CHICHI_TCU100-N.AT2	SF_1.3142_CHICHI_TCU100-N.AT2	SF_1.3142_CHICHI_TCU100-N.AT2	SF_1.3200_NEWZEAL_A-MAR040.AT2	SF_1.8841_LOMAP_ADL250.AT2	SF_2.5186_MORGAN_AND340.AT2			
19	SF_1.3218_NEWZEAL_A-MAR040.AT2	SF_1.3218_NEWZEAL_A-MAR040.AT2	SF_1.3218_NEWZEAL_A-MAR040.AT2	SF_1.3205_CHICHI_TCU100-N.AT2	SF_1.888_CHICHI03_CHY101-E.AT2	SF_2.5351_NORTH142_LATPL000.AT2			
20	SF_1.3634_LIVERMOR_B-FRE075.AT2	SF_1.3634_LIVERMOR_B-FRE075.AT2	SF_1.3634_LIVERMOR_B-FRE075.AT2	SF_1.3589_LIVERMOR_B-FRE075.AT2	SF_1.9711_CHICHI04_CHY101-E.AT2	SF_2.5704_NORTHR_VER180.AT2			
Aydın Yapı		Gedikbulak_3D		20_Katlı_3D_Yapı		24_Katlı_2D_CSW			
1	SF_1.0583_LOMAP_TLH090.AT2	SF_0.99735_COALINGA_D-PVP360.AT2	SF_1.0907_IMPVAL H-E01140.AT2	SF_1.0907_IMPVAL H-E01140.AT2	SF_1.0418_LOMAP_TLH090.AT2				
2	SF_1.1957_CHICHI03_TCU122-E.AT2	SF_1.0952_CHICHI06_TCU078-N.AT2	SF_1.0952_CHICHI06_TCU078-N.AT2	SF_1.0952_CHICHI06_TCU078-N.AT2	SF_1.1394_SMART1_33007NS.AT2				
3	SF_1.2198_CHICHI_HWA014-N.AT2	SF_1.1089_IMPVAL H-E03140.AT2	SF_1.1089_IMPVAL H-E03140.AT2	SF_1.1257_KOCAELI_ATK000.AT2	SF_1.2269_SMART1_33001NS.AT2				
4	SF_1.2341_CHICHI03_TCU116-E.AT2	SF_1.1277_NORTHR_WPI316.AT2	SF_1.1277_NORTHR_WPI316.AT2	SF_1.1472_LOMAP_SJW160.AT2	SF_1.2463_SMART1_45006EW.AT2				
5	SF_1.2431_CHICHI_HWA011-N.AT2	SF_1.1923_LOMAP_GGB270.AT2	SF_1.1923_LOMAP_GGB270.AT2	SF_1.1473_SMART1_45001EW.AT2	SF_1.2573_KOCAELI_IST090.AT2				
6	SF_1.2473_KOCAELI_IST090.AT2	SF_1.2165_MORGAN_AGW240.AT2	SF_1.2165_MORGAN_AGW240.AT2	SF_1.1805_CHICHI_TAW-N.AT2	SF_1.2584_SMART1_40001NS.AT2				
7	SF_1.2537_CHICHI_ILA030-N.AT2	SF_1.226_IMPVAL H-E01140.AT2	SF_1.1822_LOMAP_RIN000.AT2	SF_1.1822_LOMAP_RIN000.AT2	SF_1.2691_SMART1_45E01NS.AT2				
8	SF_1.2978_CHICHI_ILA041-W.AT2	SF_1.2431_LANDERS_CAS000.AT2	SF_1.1859_MANAGUA_B-MAN180.AT2	SF_1.1859_MANAGUA_B-MAN180.AT2	SF_1.2766_SMART1_45M07EW.AT2				
9	SF_1.3472_CHICHI_ILA044-W.AT2	SF_1.2874_WESTMORL_WSM090.AT2	SF_1.196_NORTHR_CDF090.AT2	SF_1.196_NORTHR_CDF090.AT2	SF_1.2856_CHICHI03_TCU122-E.AT2				
10	SF_1.3524_MANJIL_188310.AT2	SF_1.3234_TABAS_BAJ-T1.AT2	SF_1.2109_WESTMORL_BRA315.AT2	SF_1.2109_WESTMORL_BRA315.AT2	SF_1.2964_COALINGA_H-Z16090.AT2				
11	SF_1.3558_SUPERST_B-IVW090.AT2	SF_1.3295_NORTHR_TUJ262.AT2	SF_1.2305_COALINGA_H-C4A090.AT2	SF_1.2305_COALINGA_H-C4A090.AT2	SF_1.3288_CHICHI_ILA013-N.AT2				
12	SF_1.3768_CHICHI_TAP090-E.AT2	SF_1.3645_FRIULI_A-FLT270.AT2	SF_1.2312_IMPVAL H-CC4045.AT2	SF_1.2312_IMPVAL H-CC4045.AT2	SF_1.3392_CHICHI_TCU050-E.AT2				
13	SF_1.3936_SMART1_45M01NS.AT2	SF_1.3893_NORTHR_LA0000.AT2	SF_1.2544_COALINGA_H-Z16090.AT2	SF_1.2544_COALINGA_H-Z16090.AT2	SF_1.3773_SMART1_45107EW.AT2				
14	SF_1.4233_LOMAP_BVU220.AT2	SF_1.4094_MORGAN_G04360.AT2	SF_1.2564_COALINGA_D-PVP360.AT2	SF_1.2564_COALINGA_D-PVP360.AT2	SF_1.4277_IMPVAL H-BCR230.AT2				
15	SF_1.4363_IMPVAL H-BCR230.AT2	SF_1.4335_CHICHI_NST-N.AT2	SF_1.2972_CHICHI06_TCU078-E.AT2	SF_1.2972_CHICHI06_TCU078-E.AT2	SF_1.4595_LOMAP_PJH315.AT2				
16	SF_1.4494_UPLAND_23525090.AT2	SF_1.4439_NORTHR_GLE170.AT2	SF_1.3069_HECTOR_32577090.AT2	SF_1.3069_HECTOR_32577090.AT2	SF_1.4734_CHICHI06_CHY036-E.AT2				
17	SF_1.537_CHICHI_HWA014-E.AT2	SF_1.4531_NORTHR_NYA180.AT2	SF_1.3347_CHICHI_TCU040-N.AT2	SF_1.3347_CHICHI_TCU040-N.AT2	SF_1.4874_LOMAP_BVU220.AT2				
18	SF_1.5632_CHICHI_HWA048-N.AT2	SF_1.5176_WHITTIER_A-BUE340.AT2	SF_1.3564_NORTHR_CAT090.AT2	SF_1.3564_NORTHR_CAT090.AT2	SF_1.5038_CHICHI_TCU053-E.AT2				
19	SF_1.5668_KOCAELI_BTS090.AT2	SF_1.5196_MORGAN_G03090.AT2	SF_1.438_NEWZEAL_A-MAR040.AT2	SF_1.438_NEWZEAL_A-MAR040.AT2	SF_1.5295_CHICHI_TCU104-N.AT2				
20	SF_1.6659_HECTOR_11591090.AT2	SF_1.5519_SFERN_MA3220.AT2	SF_1.5128_CHICHI06_CHY036-E.AT2	SF_1.5128_CHICHI06_CHY036-E.AT2	SF_1.5658_CHICHI_HWA048-N.AT2				

Çizelge A.1 (devam): Analizlerde Kullanılan Depremlerin isimleri ve ölççek katsayıları listesi.

Kars Merkez, 2. Derece Deprem Bölgesi, ZC Zemin Sınıfı, DD_1

PFN_4_1		PFN_5_1		PFN_6_1		PFN_8_2		Prefabrik Yapı	
1	SF_1.559_NEWZEAL_A-MAR040.AT2	SF_1.559_NEWZEAL_A-MAR040.AT2	SF_1.4766_CHICHI_TAW-N.AT2	SF_1.4802_NORTHR_CAT090.AT2	SF_2.1029_WHITTIER_A-L01090.AT2				
2	SF_1.5617_WESTMORL_BRA315.AT2	SF_1.5617_WESTMORL_BRA315.AT2	SF_1.5017_NORTHR_CAT090.AT2	SF_1.5138_NEWZEAL_A-MAR040.AT2	SF_2.2234_LANDERS_DEV000.AT2				
3	SF_1.6081_LIVERMOR_B-FRE075.AT2	SF_1.6081_LIVERMOR_B-FRE075.AT2	SF_1.5173_NEWZEAL_A-MAR040.AT2	SF_1.5159_NORTHR_MJH090.AT2	SF_2.2326_CHICHI_NST-E.AT2				
4	SF_1.6167_BIGBEAR_DHP090.AT2	SF_1.6167_BIGBEAR_DHP090.AT2	SF_1.5621_LIVERMOR_B-FRE075.AT2	SF_1.5539_BIGBEAR_DHP090.AT2	SF_2.2448_SUPERST_B-SUP045.AT2				
5	SF_1.6214_PARKF_C12320.AT2	SF_1.6214_PARKF_C12320.AT2	SF_1.5714_NWCHINA2_J4060270.AT2	SF_1.6111_WHITTIER_A-VER173.AT2	SF_2.2662_NORTHR_WAT270.AT2				
6	SF_1.6274_NWCHINA2_J4060270.AT2	SF_1.6274_NWCHINA2_J4060270.AT2	SF_1.5854_BIGBEAR_DHP090.AT2	SF_1.6175_LIVERMOR_B-FRE075.AT2	SF_2.2959_LOMAP_ADL250.AT2				
7	SF_1.6421_CHALFANT_A-LAD180.AT2	SF_1.6421_CHALFANT_A-LAD180.AT2	SF_1.6017_CHALFANT_A-LAD180.AT2	SF_1.6226_CHICHI03_TCU075-E.AT2	SF_2.3247_CHICHI_TCU085-N.AT2				
8	SF_1.6643_WHITTIER_A-VER173.AT2	SF_1.6643_WHITTIER_A-VER173.AT2	SF_1.6192_LANDERS_MEL090.AT2	SF_1.6228_CHALFANT_A-LAD180.AT2	SF_2.4114_CHICHI_HWA027-E.AT2				
9	SF_1.6829_SFERN_MA3220.AT2	SF_1.6829_SFERN_MA3220.AT2	SF_1.6221_WHITTIER_A-VER173.AT2	SF_1.6484_LOMAP_SGI270.AT2	SF_2.4312_CHICHI06_TCU122-E.AT2				
10	SF_1.6835_NORTHR_MJH090.AT2	SF_1.6835_NORTHR_MJH090.AT2	SF_1.6298_NORTHR_NYA180.AT2	SF_1.6587_LOMAP_SUF090.AT2	SF_2.4623_CHICHI06_CHY030-E.AT2				
11	SF_1.7072_CHICHI03_TCU075-E.AT2	SF_1.7072_CHICHI03_TCU075-E.AT2	SF_1.6313_SFERN_MA3220.AT2	SF_1.6661_PARKF_C12320.AT2	SF_2.4919_CHICHI_TAP052-N.AT2				
12	SF_1.7765_CHICHI06_TCU129-E.AT2	SF_1.7765_CHICHI06_TCU129-E.AT2	SF_1.6538_NORTHR_MJH090.AT2	SF_1.6975_NWCHINA2_J4060270.AT2	SF_2.5287_CHICHI03_TCU138-N.AT2				
13	SF_1.8803_SFERN_PAS090.AT2	SF_1.8803_SFERN_PAS090.AT2	SF_1.6699_CHICHI03_TCU075-E.AT2	SF_1.7368_SFERN_MA3220.AT2	SF_2.5528_CHALFANT_A-BEN270.AT2				
14	SF_1.9824_CHICHI_ILA067-E.AT2	SF_1.9824_CHICHI_ILA067-E.AT2	SF_1.7175_CHICHI06_TCU129-E.AT2	SF_1.7831_NORTHR_NYA180.AT2	SF_2.5713_CHICHI04_CHY046-N.AT2				
15	SF_1.9986_CHICHI_NST-E.AT2	SF_1.9986_CHICHI_NST-E.AT2	SF_1.9339_CHICHI_NST-E.AT2	SF_1.8868_COALINGA_H-PG6090.AT2	SF_2.5743_SMART1_05112EW.AT2				
16	SF_2.0186_COALINGA_H-PG6090.AT2	SF_2.0186_COALINGA_H-PG6090.AT2	SF_1.9641_SKULLMT_Lsm7270.AT2	SF_1.9054_HECTOR_14840019.AT2	SF_2.7048_LOMAP_PJH045.AT2				
17	SF_2.0208_SKULLMT_Lsm7270.AT2	SF_2.0208_SKULLMT_Lsm7270.AT2	SF_2.0082_HECTOR_14840019.AT2	SF_2.0188_SKULLMT_Lsm7270.AT2	SF_2.7401_LANDERS_29P000.AT2				
18	SF_2.1315_NORTHR_WAT270.AT2	SF_2.1315_NORTHR_WAT270.AT2	SF_2.0825_NORTHR_WAT270.AT2	SF_2.062_CHICHI_NST-E.AT2	SF_2.7566_LANDERS_NHO180.AT2				
19	SF_2.2091_LANDERS_DEV000.AT2	SF_2.2091_LANDERS_DEV000.AT2	SF_2.1578_LANDERS_DEV000.AT2	SF_2.116_LANDERS_DEV000.AT2	SF_2.8015_ITALY_A-BOV000.AT2				
20	SF_2.2218_LOMAP_ADL250.AT2	SF_2.2218_LOMAP_ADL250.AT2	SF_2.1624_LOMAP_ADL250.AT2	SF_2.167_LOMAP_ADL250.AT2	SF_2.8475_ITALY_B-TRC000.AT2				
Aydn Üniv. Yapısı		Gedikbulak_3D		20_Katlı_3D_Yapı		24_Katlı_2D_CSW			
1	SF_1.3604_NORTHR_CAT090.AT2	SF_1.6725_KOCAELI_MSK000.AT2	SF_1.7425_NEWZEAL_A-MAR040.AT2	SF_1.5205_UPLAND_23525090.AT2					
2	SF_1.4898_BORREGO_A-ELC180.AT2	SF_1.7399_NORTHR_NYA180.AT2	SF_1.7446_LOMAP_SUF090.AT2	SF_1.5766_ITALY_A-BRZ000.AT2					
3	SF_1.4917_CHICHI03_CHY028-E.AT2	SF_1.7908_CHICHI02_TCU079-E.AT2	SF_1.7592_NORTHR_MJH090.AT2	SF_1.5801_CHICHI_HWA048-N.AT2					
4	SF_1.5421_CHICHI04_CHY015-N.AT2	SF_1.8076_NEWZEAL_A-MAR040.AT2	SF_1.7738_FRIULI_A-FLT270.AT2	SF_1.6076_CHICHI_TCU085-N.AT2					
5	SF_1.6108_CHICHI_HWA2-E.AT2	SF_1.8582_SFERN_MA3220.AT2	SF_1.7753_CHICHI03_CHY028-E.AT2	SF_1.6722_LIVERMOR_A-FRE075.AT2					
6	SF_1.6571_CHICHI04_CHY101-E.AT2	SF_1.8811_CHICHI_TTN051-N.AT2	SF_1.811_BIGBEAR_DHP090.AT2	SF_1.6758_NEWZEAL_A-MAR040.AT2					
7	SF_1.6654_LOMAP_TLH000.AT2	SF_1.8911_CHICHI_CHY101-E.AT2	SF_1.8302_UPLAND_23525090.AT2	SF_1.6794_CHICHI_HWA2-E.AT2					
8	SF_1.6734_CHICHI03_TCU115-E.AT2	SF_1.913_CHICHI_CHY024-E.AT2	SF_1.8351_NORTHR_GLP177.AT2	SF_1.6799_WHITTIER_A-VER173.AT2					
9	SF_1.6953_CHICHI04_CHY088-N.AT2	SF_1.9629_CHICHI06_TCU129-E.AT2	SF_1.8666_CHICHI03_TCU075-E.AT2	SF_1.6926_NORTHR_MJH090.AT2					
10	SF_1.7151_CHALFANT_A-LAD180.AT2	SF_1.9635_KOCAELI_USK090.AT2	SF_1.881_ITALY_A-BRZ000.AT2	SF_1.7336_LOMAP_DMH000.AT2					
11	SF_1.7319_LANDERS_29P000.AT2	SF_1.9641_LOMAP_SGI270.AT2	SF_1.8844_CHICHI03_TCU122-E.AT2	SF_1.7605_HECTOR_11591090.AT2					
12	SF_1.7436_CHICHI_ILA012-N.AT2	SF_2.0326_NORTHR_CAT090.AT2	SF_1.9337_WHITTIER_A-VER173.AT2	SF_1.8000_CHALFANT_A-LAD180.AT2					
13	SF_1.7597_LOMAP_TLH000.AT2	SF_2.0464_NWCHINA2_J4060270.AT2	SF_1.9802_CHICHI_HWA2-E.AT2	SF_1.8009_CHICHI06_CHY028-E.AT2					
14	SF_1.7828_CHICHI_TAP041-E.AT2	SF_2.0542_CHICHI_NST-E.AT2	SF_1.9911_COALINGA_H-SC4090.AT2	SF_1.8116_LOMAP_TLH000.AT2					
15	SF_1.8029_NEWZEAL_A-MAR040.AT2	SF_2.1203_WHITTIER_A-FLO020.AT2	SF_2.032_NWCHINA2_J4060270.AT2	SF_1.8336_CHICHI04_CHY101-E.AT2					
16	SF_1.8904_CHICHI_ILA027-E.AT2	SF_2.1657_KOBE_OSA000.AT2	SF_2.0705_COALINGA_H-PG6090.AT2	SF_1.9345_CHICHI_HWA033-E.AT2					
17	SF_1.9166_KOCAELI_BTS000.AT2	SF_2.2153_CHALFANT_A-LAD180.AT2	SF_2.0853_CHICHI_HWA033-E.AT2	SF_1.9564_NORTHR_BIR090.AT2					
18	SF_1.9324_CHICHI_NCU-E.AT2	SF_2.3256_SKULLMT_Lsm7270.AT2	SF_2.085_CHALFANT_A-LAD180.AT2	SF_2.0072_LANDERS_29P000.AT2					
19	SF_1.9576_CHICHI_ILA016-N.AT2	SF_2.377_WHITTIER_A-ARL270.AT2	SF_2.2028_CHICHI04_CHY101-E.AT2	SF_2.0414_CHICHI_ILA027-E.AT2					
20	SF_2.007_CHICHI_HWA055-N.AT2	SF_2.408_WHITTIER_A-WPA150.AT2	SF_2.4278_LANDERS_DEV000.AT2	SF_2.0567_CHICHI_HWA055-N.AT2					

Çizelge A.1 (devam): Analizlerde Kullanılan depremlerin isimleri ve ölçek katsayıları listesi.

Kars Merkez, 2. Derece Deprem Bölgesi, ZC Zemin Sınıfı, DD_2				
PFN_4_1	PFN_5_1	PFN_6_1	PFN_8_2	Prefabrik Yapı
1 SF_0.93769_CHICHI03_TCU075-E.AT2	SF_0.93769_CHICHI03_TCU075-E.AT2	SF_0.96339_CHICHI03_TCU075-E.AT2	SF_1.305_CHICHI03_TCU138-N.AT2	SF_1.1264_SUPERST_B-SUP045.AT2
2 SF_0.97574_CHICHI06_TCU129-E.AT2	SF_0.97574_CHICHI06_TCU129-E.AT2	SF_0.99085_CHICHI06_TCU129-E.AT2	SF_1.4216_PALMSPR_NPS300.AT2	SF_1.2199_CHICHI06_TCU122-E.AT2
3 SF_1.054_CHICHI03_TCU122-E.AT2	SF_1.054_CHICHI03_TCU122-E.AT2	SF_1.0931_CHICHI03_TCU122-E.AT2	SF_1.5303_CHICHI05_TCU113-E.AT2	SF_1.2689_CHICHI03_TCU138-N.AT2
4 SF_1.0943_WHITTIER_A-L01090.AT2	SF_1.0943_WHITTIER_A-L01090.AT2	SF_1.0935_LOMAP_SUF090.AT2	SF_1.5383_NORTH142_LATPL000.AT2	SF_1.2918_SMART1_05112EW.AT2
5 SF_1.0977_CHICHI_NST-E.AT2	SF_1.0977_CHICHI_NST-E.AT2	SF_1.1157_CHICHI_NST-E.AT2	SF_1.614_KOCAELI_CNK090.AT2	SF_1.3163_CHICHI_CHY052-N.AT2
6 SF_1.1087_COALINGA_H-PG6090.AT2	SF_1.1087_COALINGA_H-PG6090.AT2	SF_1.1211_WHITTIER_A-L01090.AT2	SF_1.6452_CHICHI04_CHY028-E.AT2	SF_1.3572_LOMAP_PJH045.AT2
7 SF_1.1099_SKULLMT_Lsm7270.AT2	SF_1.1099_SKULLMT_Lsm7270.AT2	SF_1.1331_SKULLMT_Lsm7270.AT2	SF_1.6477_DUZCE_1060-N.AT2	SF_1.3700_WHITTIER_A-WPA150.AT2
8 SF_1.1243_HECTOR_14840019.AT2	SF_1.1243_HECTOR_14840019.AT2	SF_1.1411_COALINGA_H-PG6090.AT2	SF_1.6479_CHICHI05_HWA048-N.AT2	SF_1.3749_LANDERS_29P000.AT2
9 SF_1.1562_CHICHI03_CHY024-E.AT2	SF_1.1562_CHICHI03_CHY024-E.AT2	SF_1.1585_HECTOR_14840019.AT2	SF_1.6786_CHICHI05_CHY030-E.AT2	SF_1.4058_ITALY_A-BOV000.AT2
10 SF_1.1666_UPLAND_23525090.AT2	SF_1.1666_UPLAND_23525090.AT2	SF_1.1878_CHICHI03_CHY024-E.AT2	SF_1.6787_MANJIL_187178.AT2	SF_1.4064_CHALFANT_D-LAD180.AT2
11 SF_1.1686_IMPVAL_H-CMP015.AT2	SF_1.1686_IMPVAL_H-CMP015.AT2	SF_1.2014_NORTH_WAT270.AT2	SF_1.7138_NWCHINA1_J405N270.AT2	SF_1.4207_WHITTIER_A-ARL270.AT2
12 SF_1.1707_NORTH_WAT270.AT2	SF_1.1707_NORTH_WAT270.AT2	SF_1.207_UPLAND_23525090.AT2	SF_1.7235_NORTH ACI000.AT2	SF_1.4288_ITALY_B-TRC000.AT2
13 SF_1.2133_LANDERS_DEV000.AT2	SF_1.2133_LANDERS_DEV000.AT2	SF_1.2449_LANDERS_DEV000.AT2	SF_1.7352_KOCAELI_AFY000.AT2	SF_1.4404_PALMSPR_NPS300.AT2
14 SF_1.2203_LOMAP_ADL250.AT2	SF_1.2203_LOMAP_ADL250.AT2	SF_1.2475_LOMAP_ADL250.AT2	SF_1.7353_KOZANI_KAS--LAT2	SF_1.4459_NORTH_BER000.AT2
15 SF_1.2574_WHITTIER_A-WPA150.AT2	SF_1.2574_WHITTIER_A-WPA150.AT2	SF_1.2759_WHITTIER_A-WPA150.AT2	SF_1.7945_CHICHI05_TCU123-E.AT2	SF_1.548_NORTH142_LATPL000.AT2
16 SF_1.2664_CHICHI06_CHY101-E.AT2	SF_1.2664_CHICHI06_CHY101-E.AT2	SF_1.3143_CHICHI06_CHY101-E.AT2	SF_1.8151_COALINGA_A-YUB350.AT2	SF_1.5695_NORTH_VER180.AT2
17 SF_1.3005_SUPERST_B-SUP045.AT2	SF_1.3005_SUPERST_B-SUP045.AT2	SF_1.3285_SMART1_05112EW.AT2	SF_1.863_AQABA_EIL-EW.AT2	SF_1.5874_MORGAN_G01320.AT2
18 SF_1.3039_SMART1_05112EW.AT2	SF_1.3039_SMART1_05112EW.AT2	SF_1.3491_SUPERST_B-SUP045.AT2	SF_1.9196_BIGBEAR_SB2360.AT2	SF_1.6183_SMADRE_vquez000.AT2
19 SF_1.3225_CHICHI03_CHY101-E.AT2	SF_1.3225_CHICHI03_CHY101-E.AT2	SF_1.3577_CHICHI04_CHY101-E.AT2	SF_2.0324_PALMSPR_ATL360.AT2	SF_1.6213_VICT_QKP085.AT2
20 SF_1.3336_CHICHI04_CHY101-E.AT2	SF_1.3336_CHICHI04_CHY101-E.AT2	SF_1.3596_CHICHI03_CHY101-E.AT2	SF_2.0594_CHICHI06_CHY076-E.AT2	SF_1.6239_NORTH_FEA000.AT2
Aydın Yapı	Gedikbulak_3D	20_Katlı_3D_Yapı	24_Katlı_2D_CSW	
1 SF_0.9135_CHALFANT_A-LAD180.AT2	SF_1.2274_WHITTIER_A-FLO020.AT2	SF_0.934_SMART1_45E01NS.AT2	SF_0.92653_CHICHI03_TCU075-E.AT2	
2 SF_0.93558_NEWZEAL_A-MAR040.AT2	SF_1.2824_CHALFANT_A-LAD180.AT2	SF_0.94362_IMPVAL_H-BCR230.AT2	SF_0.94282_CHALFANT_A-LAD180.AT2	
3 SF_0.95395_CHICHI_ILA012-N.AT2	SF_1.3082_LIVERMOR_B-FRE075.AT2	SF_0.95274_SMART1_40001NS.AT2	SF_1.0217_CHICHI_ILA012-N.AT2	
4 SF_0.96511_KOBE_OKA000.AT2	SF_1.3462_SKULLMT_Lsm7270.AT2	SF_0.95991_LOMAP_PJH315.AT2	SF_1.0513_LANDERS_29P000.AT2	
5 SF_0.97555_LANDERS_29P000.AT2	SF_1.376_WHITTIER_A-ARL270.AT2	SF_1.0142_CHICHI03_CHY028-E.AT2	SF_1.0692_CHICHI_ILA027-E.AT2	
6 SF_0.98215_NORTH_BIR090.AT2	SF_1.3939_WHITTIER_A-WPA150.AT2	SF_1.0346_BIGBEAR_DHP090.AT2	SF_1.0772_CHICHI_HWA055-N.AT2	
7 SF_1.0005_CHICHI_ILA027-E.AT2	SF_1.3985_ITALY_A-BOV000.AT2	SF_1.0381_CHICHI06_CHY015-N.AT2	SF_1.0822_CHICHI_TAP041-E.AT2	
8 SF_1.0226_KOCAELI_BTS000.AT2	SF_1.4044_CHICHI_ILA067-E.AT2	SF_1.0473_CHICHI06_CHY036-E.AT2	SF_1.0914_KOBE_OKA000.AT2	
9 SF_1.0586_CHICHI_NCU-E.AT2	SF_1.4487_WHITTIER_A-CTS000.AT2	SF_1.0586_CHICHI06_CHY088-N.AT2	SF_1.0933_COALINGA_H-PG6090.AT2	
10 SF_1.0659_CHICHI_ILA016-N.AT2	SF_1.4582_PALMSPR_H05360.AT2	SF_1.0647_CHICHI_HWA051-W.AT2	SF_1.093_NORTH SAN180.AT2	
11 SF_1.084_CHICHI_HWA055-N.AT2	SF_1.4876_WHITTIER_A-VER173.AT2	SF_1.0663_CHICHI03_TCU075-E.AT2	SF_1.119_COALINGA_H-VC6090.AT2	
12 SF_1.1044_FRIULI_A-FLT270.AT2	SF_1.4939_LOMAP_A10000.AT2	SF_1.0665_SUPERST_B-KRN270.AT2	SF_1.1245_CHICHI_NCU-E.AT2	
13 SF_1.1411_NORTH_WAT270.AT2	SF_1.495_LOMAP_MCH000.AT2	SF_1.0782_CHICHI06_TCU065-E.AT2	SF_1.1606_CHALFANT_A-BEN270.AT2	
14 SF_1.1582_CHICHI_KAU085-N.AT2	SF_1.5511_NORTH_DEL000.AT2	SF_1.1313_CHICHI_HWA2-E.AT2	SF_1.1648_BIGBEAR_HOS090.AT2	
15 SF_1.1632_LANDERS_LCN345.AT2	SF_1.5966_WHITTIER_A-CLJ360.AT2	SF_1.1375_COALINGA_H-SC4090.AT2	SF_1.1726_NORTH_WAT270.AT2	
16 SF_1.1637_COALINGA_H-PG6090.AT2	SF_1.6029_CHICHI04_CHY101-E.AT2	SF_1.1609_NWCHINA2_J4060270.AT2	SF_1.2026_LANDERS_DEV000.AT2	
17 SF_1.1816_KOCAELI_CNK090.AT2	SF_1.6116_CHICHI05_TCU061-E.AT2	SF_1.1704_SFERN_PAS090.AT2	SF_1.2291_CHICHI06_TCU122-E.AT2	
18 SF_1.2382_CHICHI_TAP100-E.AT2	SF_1.6494_NORTH_WAT270.AT2	SF_1.1722_CHICHI06_CHY028-E.AT2	SF_1.2308_KOCAELI_CNK090.AT2	
19 SF_1.2387_HECTOR_0589a230.AT2	SF_1.6556_NORTH392_MU2125.AT2	SF_1.1912_CHALFANT_A-LAD180.AT2	SF_1.2421_HECTOR_0589a230.AT2	
20 SF_1.2438_CHICHI06_TCU122-E.AT2	SF_1.7077_CHICHI05_CHY024-E.AT2	SF_1.3077_KERN_SBA132.AT2	SF_1.2526_LANDERS_NHO180.AT2	

Çizelge A.1 (devam): Analizlerde Kullanılan depremlerin isimleri ve ölççek katsayıları listesi.

Kütahya Merkez, 2. Derece Deprem Bölgesi, ZC Zemin Sınıfı, DD_1

PFN_4_1		PFN_5_1		PFN_6_1		PFN_8_2		Prefabrik Yapı	
1	SF_2.2371_CHICHI_TCU094-N.AT2	SF_2.2371_CHICHI_TCU094-N.AT2	SF_2.2371_CHICHI_TCU094-N.AT2	SF_2.2738_CHICHI_TCU094-N.AT2	SF_2.5059_CHICHI_TCU094-N.AT2	SF_2.7631_LOMAP_RIN000.AT2			
2	SF_2.4524_LOMAP_SSF115.AT2	SF_2.4524_LOMAP_SSF115.AT2	SF_2.4524_LOMAP_SSF115.AT2	SF_2.4944_COALINGA_D-PVP360.AT2	SF_2.5163_LOMAP_SSF115.AT2	SF_2.8029_IMPVALL_H-E01140.AT2			
3	SF_2.4657_COALINGA_D-PVP360.AT2	SF_2.4657_COALINGA_D-PVP360.AT2	SF_2.4657_COALINGA_D-PVP360.AT2	SF_2.5377_LOMAP_SSF115.AT2	SF_2.637_SUPERST_B-BRA315.AT2	SF_2.8582_KOCAELI_MSK000.AT2			
4	SF_2.4861_KOCAELI_DHM000.AT2	SF_2.4861_KOCAELI_DHM000.AT2	SF_2.4861_KOCAELI_DHM000.AT2	SF_2.5393_KOCAELI_DHM000.AT2	SF_2.6826_KOCAELI_DHM000.AT2	SF_2.9313_COALINGA_H-C4A090.AT2			
5	SF_2.5987_CHICHI_CHY101-E.AT2	SF_2.5987_CHICHI_CHY101-E.AT2	SF_2.5987_CHICHI_CHY101-E.AT2	SF_2.6541_CHICHI_CHY101-E.AT2	SF_2.7145_LOMAP_WDS000.AT2	SF_2.9867_CHICHI06_TCU078-E.AT2			
6	SF_2.6004_SUPERST_B-BRA315.AT2	SF_2.6004_SUPERST_B-BRA315.AT2	SF_2.6004_SUPERST_B-BRA315.AT2	SF_2.682_SUPERST_B-BRA315.AT2	SF_2.7212_KOCAELI_USK090.AT2	SF_3.0234_WHITTIER_A-CYP143.AT2			
7	SF_2.6371_WHITTIER_A-BUE340.AT2	SF_2.6371_WHITTIER_A-BUE340.AT2	SF_2.6371_WHITTIER_A-BUE340.AT2	SF_2.6902_WHITTIER_A-BUE340.AT2	SF_2.756_WHITTIER_A-CWC270.AT2	SF_3.0381_CHICHI_TAW-N.AT2			
8	SF_2.6903_CHICHI_TTN051-N.AT2	SF_2.6903_CHICHI_TTN051-N.AT2	SF_2.6903_CHICHI_TTN051-N.AT2	SF_2.7511_CHICHI_TTN051-N.AT2	SF_2.8331_LIVERMOR_B-SRM070.AT2	SF_3.0947_CHICHI_HWA045-N.AT2			
9	SF_2.6955_KOCAELI_USK090.AT2	SF_2.6955_KOCAELI_USK090.AT2	SF_2.6955_KOCAELI_USK090.AT2	SF_2.766_KOCAELI_USK090.AT2	SF_2.9191_WHITTIER_A-BUE340.AT2	SF_3.1676_HECTOR_32577090.AT2			
10	SF_2.699_LOMAP_WDS000.AT2	SF_2.699_LOMAP_WDS000.AT2	SF_2.699_LOMAP_WDS000.AT2	SF_2.7778_LANDERS_CAS000.AT2	SF_3.0149_CHICHI_CHY024-E.AT2	SF_3.1714_FRIULI_A-FLT270.AT2			
11	SF_2.7354_LANDERS_CAS000.AT2	SF_2.7354_LANDERS_CAS000.AT2	SF_2.7354_LANDERS_CAS000.AT2	SF_2.8111_LOMAP_WDS000.AT2	SF_3.0437_KOCAELI_ATK000.AT2	SF_3.276_NORTHR_WPI316.AT2			
12	SF_2.7679_IMPVALL_H-E01140.AT2	SF_2.7679_IMPVALL_H-E01140.AT2	SF_2.7679_IMPVALL_H-E01140.AT2	SF_2.8233_CHICHI_CHY041-E.AT2	SF_3.0527_LOMAP_RIN000.AT2	SF_3.2857_WESTMORL_BRA315.AT2			
13	SF_2.7757_CHICHI_CHY041-E.AT2	SF_2.7757_CHICHI_CHY041-E.AT2	SF_2.7757_CHICHI_CHY041-E.AT2	SF_2.828_IMPVALL_H-E01140.AT2	SF_3.092_IMPVALL_H-E01140.AT2	SF_3.3533_NORTHR_CAT090.AT2			
14	SF_2.8223_LOMAP_RIN000.AT2	SF_2.8223_LOMAP_RIN000.AT2	SF_2.8223_LOMAP_RIN000.AT2	SF_2.8627_LOMAP_RIN000.AT2	SF_3.1099_LANDERS_CAS000.AT2	SF_3.4028_DUZCE_1061-N.AT2			
15	SF_2.8923_SUPERST_B-ICC000.AT2	SF_2.8923_SUPERST_B-ICC000.AT2	SF_2.8923_SUPERST_B-ICC000.AT2	SF_2.9817_CHICHI_CHY024-E.AT2	SF_3.1927_KOCAELI_MSK000.AT2	SF_3.4302_NEWZEAL_A-MAR040.AT2			
16	SF_2.9002_CHICHI_CHY024-E.AT2	SF_2.9002_CHICHI_CHY024-E.AT2	SF_2.9002_CHICHI_CHY024-E.AT2	SF_2.9877_SUPERST_B-ICC000.AT2	SF_3.2282_COALINGA_H-C4A090.AT2	SF_3.4618_NORTHR_MJH090.AT2			
17	SF_2.968_LOMAP_GGB270.AT2	SF_2.968_LOMAP_GGB270.AT2	SF_2.968_LOMAP_GGB270.AT2	SF_3.0938_KOCAELI_MSK000.AT2	SF_3.2825_WHITTIER_A-CYP143.AT2	SF_3.5043_LANDERS_MEL090.AT2			
18	SF_3.0062_KOCAELI_MSK000.AT2	SF_3.0062_KOCAELI_MSK000.AT2	SF_3.0062_KOCAELI_MSK000.AT2	SF_3.1474_FRIULI_A-FLT270.AT2	SF_3.3654_MANAGUA_B-MAN180.AT2	SF_3.7102_CHICHI03_TCU075-E.AT2			
19	SF_3.095_FRIULI_A-FLT270.AT2	SF_3.095_FRIULI_A-FLT270.AT2	SF_3.095_FRIULI_A-FLT270.AT2	SF_3.1698_IMPVALL_H-CXO225.AT2	SF_3.4545_FRIULI_A-FLT270.AT2	SF_3.8088_CHALFANT_A-LAD180.AT2			
20	SF_3.2003_TABAS_BAJ-T1.AT2	SF_3.2003_TABAS_BAJ-T1.AT2	SF_3.2003_TABAS_BAJ-T1.AT2	SF_3.2611_TABAS_BAJ-T1.AT2	SF_3.7401_TABAS_BAJ-T1.AT2	SF_3.8266_LOMAP_SGI270.AT2			
Aydın Üniv. Yapısı		Gedikbulak_3D		20 Katlı_3D_Yapı		24 Katlı_2D_CSW			
1	SF_3.1193_IMPVALL_H-E01140.AT2	SF_4.1267_NORTHR_NYA180.AT2	SF_4.1267_NORTHR_NYA180.AT2	SF_2.2128_IMPVALL_H-E03140.AT2	SF_3.0822_IMPVALL_H-E01140.AT2	SF_3.3497_SMART1_33001NS.AT2			
2	SF_3.2028_SMART1_45E01NS.AT2	SF_4.157_PARKF_C12320.AT2	SF_4.157_PARKF_C12320.AT2	SF_2.3055_LOMAP_CHO7000.AT2	SF_3.4328_KOCAELI_IST090.AT2	SF_3.5100_CHICHI03_TCU122-E.AT2			
3	SF_3.2403_KOCAELI_IST090.AT2	SF_4.1696_LOMAP_RIN000.AT2	SF_4.1696_LOMAP_RIN000.AT2	SF_2.4136_LOMAP_SSF115.AT2	SF_3.5395_COALINGA_H-Z16090.AT2	SF_3.5898_NORTHR_MRP180.AT2			
4	SF_3.3531_CHICHI06_CHY024-E.AT2	SF_4.2476_CHICHI02_TCU079-E.AT2	SF_4.2476_CHICHI02_TCU079-E.AT2	SF_2.5128_LOMAP_WDS000.AT2	SF_3.6078_CHICHI03_CHY035-E.AT2	SF_3.6428_COALINGA_H-C4A090.AT2			
5	SF_3.4564_NORTHR_5081-270.AT2	SF_4.2873_NEWZEAL_A-MAR040.AT2	SF_4.2873_NEWZEAL_A-MAR040.AT2	SF_2.5186_KOCAELI_ATK090.AT2	SF_3.668_NORTHR_CAT090.AT2	SF_3.6713_CHICHI_HWA045-N.AT2			
6	SF_3.4829_CHICHI_HWA045-N.AT2	SF_4.4072_SFERN_MA3220.AT2	SF_4.4072_SFERN_MA3220.AT2	SF_2.5235_LOMAP_CLS090.AT2	SF_3.7073_CHICHI03_TCU065-E.AT2	SF_3.7475_HECTOR_32577090.AT2			
7	SF_3.6245_HECTOR_32577090.AT2	SF_4.5373_CHICHI_CHY024-E.AT2	SF_4.5373_CHICHI_CHY024-E.AT2	SF_2.5584_SUPERST_B-ICC000.AT2	SF_3.7836_CHICHI06_CHY015-N.AT2	SF_3.9049_CHICHI_CHY002-N.AT2			
8	SF_3.6291_CHICHI03_TCU129-E.AT2	SF_4.6557_CHICHI06_TCU129-E.AT2	SF_4.6557_CHICHI06_TCU129-E.AT2	SF_2.6362_KOCAELI_DHM000.AT2	SF_4.061_LOMAP_BVU220.AT2	SF_4.0644_CHICHI03_CHY028-E.AT2			
9	SF_3.6728_COALINGA_H-C4A090.AT2	SF_4.6585_LOMAP_SGI270.AT2	SF_4.6585_LOMAP_SGI270.AT2	SF_2.6571_LOMAP_HCH180.AT2	SF_4.1137_UPLAND_23525090.AT2	SF_4.2655_ITALY_A-BR2000.AT2			
10	SF_3.7446_LOMAP_BVU220.AT2	SF_4.7988_CHICHI_CHY034-N.AT2	SF_4.7988_CHICHI_CHY034-N.AT2	SF_2.6831_CHICHI_TCU042-N.AT2	SF_4.2751_CHICHI_HWA048-N.AT2	SF_4.5339_NEWZEAL_A-MAR040.AT2			
11	SF_3.751_CHICHI_TCU085-N.AT2	SF_4.821_NORTHR_CAT090.AT2	SF_4.821_NORTHR_CAT090.AT2	SF_2.7086_KOCAELI_USK090.AT2					
12	SF_3.7951_HECTOR_12331090.AT2	SF_4.8537_NWCHINA2_J4060270.AT2	SF_4.8537_NWCHINA2_J4060270.AT2	SF_2.7573_SUPERST_B-WLF225.AT2					
13	SF_3.8071_COALINGA_H-Z16090.AT2	SF_4.8721_CHICHI_NST-E.AT2	SF_4.8721_CHICHI_NST-E.AT2	SF_2.7709_LOMAP_GMR000.AT2					
14	SF_3.8074_LANDERS_H05000.AT2	SF_4.9355_LIVERMOR_B-SRM070.AT2	SF_4.9355_LIVERMOR_B-SRM070.AT2	SF_2.8158_SUPERST_B-BRA315.AT2					
15	SF_3.8588_SFERN_PAS090.AT2	SF_5.0289_WHITTIER_A-FLO020.AT2	SF_5.0289_WHITTIER_A-FLO020.AT2	SF_2.852_LOMAP_G03000.AT2					
16	SF_3.9849_IMPVALL_H-CC4045.AT2	SF_5.2544_CHALFANT_A-LAD180.AT2	SF_5.2544_CHALFANT_A-LAD180.AT2	SF_2.9017_LOMAP_OLEM000.AT2					
17	SF_4.0522_LOMAP_DMH000.AT2	SF_5.3602_LIVERMOR_B-FRE075.AT2	SF_5.3602_LIVERMOR_B-FRE075.AT2	SF_3.0435_IMPVALL_H-E01230.AT2					
18	SF_4.0682_CHICHI_HWA048-N.AT2	SF_5.5159_SKULLMT_Lsm7270.AT2	SF_5.5159_SKULLMT_Lsm7270.AT2	SF_3.2526_LOMAP_SJW250.AT2					
19	SF_4.0871_CHICHI_CHY054-E.AT2	SF_5.6378_WHITTIER_A-ARL270.AT2	SF_5.6378_WHITTIER_A-ARL270.AT2	SF_3.3062_TABAS_BOS-L1.AT2					
20	SF_4.5051_CHICHI_TCU025-N.AT2	SF_5.7114_WHITTIER_A-WPA150.AT2	SF_5.7114_WHITTIER_A-WPA150.AT2	SF_3.3000_KOCAELI_ATK000.AT2					

Çizelge A.1 (devam): Analizlerde Kullanılan depremlerin isimleri ve ölççek katsayıları listesi.

Kütahya Merkez, 2. Derece Deprem Bölgesi, ZC Zemin Sınıfı, DD_2

PFN_4_1		PFN_5_1		PFN_6_1		PFN_8_2		Prefabrik Yapı	
1	SF_0.73044_NORTHR_OAK170.AT2	SF_0.73044_NORTHR_OAK170.AT2	SF_0.76716_NORTHR_OAK170.AT2	SF_0.78298_NORTHR_OAK170.AT2	SF_0.83083_CHICHI_TCU067-E.AT2				
2	SF_0.7425_NORTHR_LOA092.AT2	SF_0.7425_NORTHR_LOA092.AT2	SF_0.78206_NORTHR_LOA092.AT2	SF_0.81021_NORTHR_LOA092.AT2	SF_0.83804_IMPVAL H-ECC092.AT2				
3	SF_0.78121_CHICHI_TCU095-E.AT2	SF_0.78121_CHICHI_TCU095-E.AT2	SF_0.81955_CHICHI_TCU095-E.AT2	SF_0.83449_CHICHI03_TCU076-E.AT2	SF_0.8415_NORTHR_LOA092.AT2				
4	SF_0.80069_CHICHI03_TCU076-E.AT2	SF_0.80069_CHICHI03_TCU076-E.AT2	SF_0.84644_CHICHI03_TCU076-E.AT2	SF_0.84007_IMPVAL H-ECC092.AT2	SF_0.85422_CAPEMEND_RIO360.AT2				
5	SF_0.84919_IMPVAL H-ECC092.AT2	SF_0.84919_IMPVAL H-ECC092.AT2	SF_0.89443_NORTHR_STM090.AT2	SF_0.85377_CHICHI_TCU067-E.AT2	SF_0.85461_CHICHI03_TCU076-E.AT2				
6	SF_0.85225_NORTHR_SSE330.AT2	SF_0.85225_NORTHR_SSE330.AT2	SF_0.90064_IMPVAL H-ECC092.AT2	SF_0.86618_LANDERS_CAS270.AT2	SF_0.85945_KOCAELI_DHM090.AT2				
7	SF_0.85257_NORTHR_STM090.AT2	SF_0.85257_NORTHR_STM090.AT2	SF_0.90821_NORTHR_PIC090.AT2	SF_0.88273_KOCAELI_DHM090.AT2	SF_0.88521_LANDERS_CAS270.AT2				
8	SF_0.85818_NORTHR_PIC090.AT2	SF_0.85818_NORTHR_PIC090.AT2	SF_0.94181_IMPVAL H-E04230.AT2	SF_0.90422_NORTHR_PIC090.AT2	SF_0.90071_CHICHI_CHY006-W.AT2				
9	SF_0.89235_CHICHI_TCU076-E.AT2	SF_0.89235_CHICHI_TCU076-E.AT2	SF_0.95259_CHICHI_TCU076-E.AT2	SF_0.90839_CHICHI_CHY006-W.AT2	SF_0.92362_NORTHR_PIC090.AT2				
10	SF_0.91319_UPLAND_UP90S-H2.AT2	SF_0.91319_UPLAND_UP90S-H2.AT2	SF_0.95638_CHICHI_TCU042-N.AT2	SF_0.93424_UPLAND_UP90S-H2.AT2	SF_0.95091_IMPVAL H-E04230.AT2				
11	SF_0.91595_CHICHI_TCU042-N.AT2	SF_0.91595_CHICHI_TCU042-N.AT2	SF_0.96261_NORTHR_LIT180.AT2	SF_0.93786_IMPVAL H-E04230.AT2	SF_0.96505_UPLAND_UP90S-H2.AT2				
12	SF_0.91977_NORTHR_LIT180.AT2	SF_0.91977_NORTHR_LIT180.AT2	SF_0.97559_UPLAND_UP90S-H2.AT2	SF_0.96954_NORTHR_STM090.AT2	SF_0.9941_IMPVAL H-E03140.AT2				
13	SF_0.93048_IMPVAL H-E03140.AT2	SF_0.93048_IMPVAL H-E03140.AT2	SF_0.98407_IMPVAL H-E03140.AT2	SF_0.97719_IMPVAL H-E03140.AT2	SF_1.0068_NORTHR_LIT180.AT2				
14	SF_0.94143_NORTHR_MRP180.AT2	SF_0.94143_NORTHR_MRP180.AT2	SF_0.99194_NORTHR_MRP180.AT2	SF_0.99916_NORTHR_LIT180.AT2	SF_1.0128_NORTHR_STM090.AT2				
15	SF_0.96699_WHITTIER_A-BAD000.AT2	SF_0.96699_WHITTIER_A-BAD000.AT2	SF_1.0156_WHITTIER_A-BAD000.AT2	SF_1.0336_NORTHR_MRP180.AT2	SF_1.0145_LOMAP_G01090.AT2				
16	SF_0.98888_CHICHI_TCU045-E.AT2	SF_0.98888_CHICHI_TCU045-E.AT2	SF_1.0414_CHICHI_TCU045-E.AT2	SF_1.0479_LOMAP_G01090.AT2	SF_1.0269_IMPVAL H-E07140.AT2				
17	SF_0.9900_IMPVAL H-E04140.AT2	SF_0.9900_IMPVAL H-E04140.AT2	SF_1.0443_IMPVAL H-E04140.AT2	SF_1.066_IMPVAL H-E04140.AT2	SF_1.0923_IMPVAL H-E05230.AT2				
18	SF_1.0336_CHICHI_TCU047-E.AT2	SF_1.0336_CHICHI_TCU047-E.AT2	SF_1.0876_CHICHI_TCU047-E.AT2	SF_1.0769_CHICHI_TCU045-E.AT2	SF_1.0963_IMPVAL H-E04140.AT2				
19	SF_1.0415_CHICHI_TCU094-N.AT2	SF_1.0415_CHICHI_TCU094-N.AT2	SF_1.0933_CHICHI_TCU094-N.AT2	SF_1.1126_IMPVAL H-E05230.AT2	SF_1.1153_CHICHI_TCU045-E.AT2				
20	SF_1.0555_IMPVAL H-E07140.AT2	SF_1.0555_IMPVAL H-E07140.AT2	SF_1.1179_IMPVAL H-E07140.AT2	SF_1.1445_LOMAP_G01000.AT2	SF_1.1627_LOMAP_G01000.AT2				
Aydın Yapı		Gedikbulak_3D		20_Katlı_3D_Yapı		24_Katlı_2D_CSW			
1	SF_1.1462_CHICHI_TAW-N.AT2	SF_1.0575_CHICHI03_TCU129-E.AT2	SF_1.0973_LOMAP_WDS000.AT2	SF_1.1294_LOMAP_MCH090.AT2					
2	SF_1.1956_LOMAP_SJW160.AT2	SF_1.0769_NORTHR_SUN280.AT2	SF_1.1512_KOCAELI_DHM000.AT2	SF_1.1342_LOMAP_HCH090.AT2					
3	SF_1.2083_IMPVAL H-CXO225.AT2	SF_1.0807_NORTHR_STM090.AT2	SF_1.1599_NORTHR_PHP270.AT2	SF_1.2028_CHICHI_CHY029-N.AT2					
4	SF_1.2598_IMPVAL H-E01140.AT2	SF_1.0906_CHICHI_TCU042-N.AT2	SF_1.1717_CHICHI_TCU042-N.AT2	SF_1.228_IMPVAL H-E13140.AT2					
5	SF_1.2896_KOCAELI_ATK000.AT2	SF_1.0987_IMPVAL H-ECC092.AT2	SF_1.1828_KOCAELI_USK090.AT2	SF_1.2331_LOMAP_GOF160.AT2					
6	SF_1.2993_CHICHI03_TCU122-E.AT2	SF_1.143_NORTHR_TUJ352.AT2	SF_1.1976_MORGAN_G04360.AT2	SF_1.256_SMART1_45007EW.AT2					
7	SF_1.3073_SMART1_45E01NS.AT2	SF_1.1932_NORTHR_LIT180.AT2	SF_1.2041_SUPERST_B-WLF225.AT2	SF_1.3083_WESTMORL_BRA315.AT2					
8	SF_1.3075_SMART1_40001NS.AT2	SF_1.1977_IMPVAL H-E04140.AT2	SF_1.2100_LOMAP_GMR000.AT2	SF_1.3107_LOMAP_G06000.AT2					
9	SF_1.3411_CHICHI03_TCU116-E.AT2	SF_1.2289_COALINGA_D-PVP360.AT2	SF_1.2296_SUPERST_B-BRA315.AT2	SF_1.3247_CHICHI_ILA013-W.AT2					
10	SF_1.3416_HECTOR_14840019.AT2	SF_1.2377_UPLAND_UP90S-H2.AT2	SF_1.2671_LOMAP_OLEM000.AT2	SF_1.349_LOMAP_GMR000.AT2					
11	SF_1.3554_KOCAELI_IST090.AT2	SF_1.242_IMPVAL H-E04230.AT2	SF_1.3047_LIVERMOR_B-SRM070.AT2	SF_1.3821_KOBE_PRI000.AT2					
12	SF_1.3879_NORTHR_5081-270.AT2	SF_1.2568_NORTHR_STM360.AT2	SF_1.3196_CHICHI03_TCU129-E.AT2	SF_1.4153_SMART1_45002EW.AT2					
13	SF_1.4437_CHICHI03_TCU129-E.AT2	SF_1.2701_CHICHI03_TCU076-E.AT2	SF_1.3336_NWCHINA2_X4060000.AT2	SF_1.4385_LOMAP_SJW160.AT2					
14	SF_1.4962_CHICHI_TAP090-E.AT2	SF_1.2776_WHITTIER_A-SUN280.AT2	SF_1.3608_CHICHI_TCU122-E.AT2	SF_1.4668_SMART1_45I07NS.AT2					
15	SF_1.4964_COALINGA_H-C4A090.AT2	SF_1.2844_IMPVAL H-E07140.AT2	SF_1.3962_IMPVAL H-E01140.AT2	SF_1.4669_SMART1_40007NS.AT2					
16	SF_1.5025_HECTOR_32577090.AT2	SF_1.3047_CHICHI_TCU047-E.AT2	SF_1.4411_KOCAELI_ATK000.AT2	SF_1.5031_SMART1_45M01EW.AT2					
17	SF_1.5466_LOMAP_BVU220.AT2	SF_1.3088_NORTHR_OAK080.AT2	SF_1.4438_TABAS_BOS-L1.AT2	SF_1.5036_SMART1_45C00EW.AT2					
18	SF_1.575_UPLAND_23525090.AT2	SF_1.3183_CHICHI_TCU094-N.AT2	SF_1.4441_CHICHI_TCU081-N.AT2	SF_1.5253_LOMAP_HDA255.AT2					
19	SF_1.5954_CHICHI06_CHY036-E.AT2	SF_1.3663_IMPVAL H-E03140.AT2	SF_1.4687_SMART1_45001EW.AT2	SF_1.5767_SMART1_40007EW.AT2					
20	SF_1.7026_KOCAELI_BTS090.AT2	SF_1.3875_CHICHI_TCU045-E.AT2	SF_1.5113_CHICHI_TAW-N.AT2	SF_1.6097_SMART1_45006EW.AT2					

Çizelge A.1 (devam): Analizlerde Kullanılan depremlerin isimleri ve ölççek katsayıları listesi.

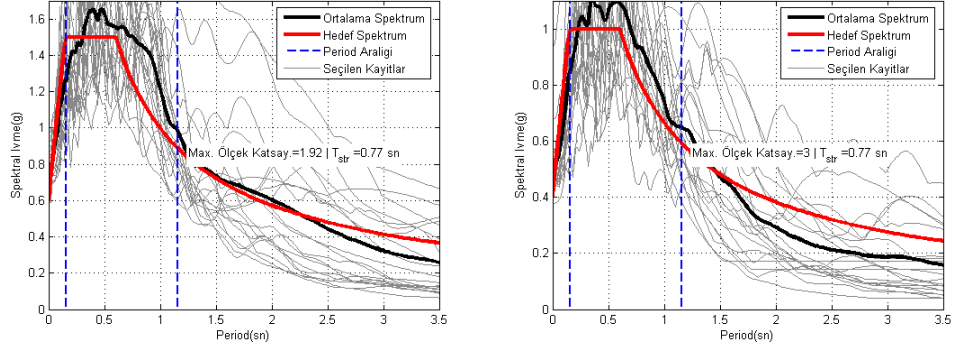
Van Merkez, 2. Derece Deprem Bölgesi, ZC Zemin Sınıfı, DD_1

PFN_4_1		PFN_5_1		PFN_6_1		PFN_8_2		Prefabrik Yapı	
1	SF_1.784_LANDERS_CAS000.AT2	SF_1.784_LANDERS_CAS000.AT2	SF_1.8072_IMPVALL_H-E01140.AT2	SF_1.8591_LOMAP_RIN000.AT2	SF_1.8112_LOMAP_RIN000.AT2				
2	SF_1.8052_IMPVALL_H-E01140.AT2	SF_1.8052_IMPVALL_H-E01140.AT2	SF_1.8294_LOMAP_RIN000.AT2	SF_1.8831_IMPVALL_H-E01140.AT2	SF_1.8373_IMPVALL_H-E01140.AT2				
3	SF_1.8407_LOMAP_RIN000.AT2	SF_1.8407_LOMAP_RIN000.AT2	SF_1.977_KOCAELI_MSK000.AT2	SF_1.8939_LANDERS_CAS000.AT2	SF_1.8736_KOCAELI_MSK000.AT2				
4	SF_1.9698_CHICHIO6_TCU078-E.AT2	SF_1.9698_CHICHIO6_TCU078-E.AT2	SF_1.9807_MORGAN_AGW240.AT2	SF_1.966_COALINGA_H-C4A090.AT2	SF_1.9023_LANDERS_CAS000.AT2				
5	SF_2.0017_MORGAN_AGW240.AT2	SF_2.0017_MORGAN_AGW240.AT2	SF_1.9832_CHICHIO6_TCU078-E.AT2	SF_1.9845_CHICHIO6_TCU078-E.AT2	SF_1.9215_COALINGA_H-C4A090.AT2				
6	SF_2.0069_COALINGA_H-C4A090.AT2	SF_2.0069_COALINGA_H-C4A090.AT2	SF_2.0113_FRIULI_A-FLT270.AT2	SF_2.1038_FRIULI_A-FLT270.AT2	SF_1.9578_CHICHIO6_TCU078-E.AT2				
7	SF_2.0185_FRIULI_A-FLT270.AT2	SF_2.0185_FRIULI_A-FLT270.AT2	SF_2.0219_COALINGA_H-C4A090.AT2	SF_2.1064_CHICHI_TAW-N.AT2	SF_1.9818_WHITTIER_A-CYP143.AT2				
8	SF_2.0872_TABAS_BAJ-T1.AT2	SF_2.0872_TABAS_BAJ-T1.AT2	SF_2.1036_LANDERS_WST000.AT2	SF_2.1611_HECTOR_32577090.AT2	SF_1.9915_CHICHI_TAW-N.AT2				
9	SF_2.2033_CHICHI_TAW-N.AT2	SF_2.2033_CHICHI_TAW-N.AT2	SF_2.1927_CHICHI_TCU119-N.AT2	SF_2.2197_CHICHI_ALS-E.AT2	SF_2.0286_CHICHI_HWA045-N.AT2				
10	SF_2.2522_NORTHR_CAT090.AT2	SF_2.2522_NORTHR_CAT090.AT2	SF_2.2218_CHICHI_TAW-N.AT2	SF_2.2737_NORTHR_CAT090.AT2	SF_2.0789_FRIULI_A-FLT270.AT2				
11	SF_2.2867_NEWZEAL_A-MAR040.AT2	SF_2.2867_NEWZEAL_A-MAR040.AT2	SF_2.2596_NORTHR_CAT090.AT2	SF_2.2748_WESTMORL_BRA315.AT2	SF_2.1475_NORTHR_WPI316.AT2				
12	SF_2.2907_WESTMORL_BRA315.AT2	SF_2.2907_WESTMORL_BRA315.AT2	SF_2.283_NEWZEAL_A-MAR040.AT2	SF_2.3100_DUZCE_1061-N.AT2	SF_2.1538_WESTMORL_BRA315.AT2				
13	SF_2.3556_HECTOR_32577090.AT2	SF_2.3556_HECTOR_32577090.AT2	SF_2.3425_LOMAP_SGI270.AT2	SF_2.3255_NEWZEAL_A-MAR040.AT2	SF_2.1981_NORTHR_CAT090.AT2				
14	SF_2.3587_LIVERMOR_B-FRE075.AT2	SF_2.3587_LIVERMOR_B-FRE075.AT2	SF_2.3504_LIVERMOR_B-FRE075.AT2	SF_2.3286_NORTHR_MJH090.AT2	SF_2.2305_DUZCE_1061-N.AT2				
15	SF_2.3597_LOMAP_SGI270.AT2	SF_2.3597_LOMAP_SGI270.AT2	SF_2.3643_NWCHINA2_J4060270.AT2	SF_2.3847_LANDERS_MEL090.AT2	SF_2.2485_NEWZEAL_A-MAR040.AT2				
16	SF_2.387_NWCHINA2_J4060270.AT2	SF_2.387_NWCHINA2_J4060270.AT2	SF_2.4100_CHALFANT_A-LAD180.AT2	SF_2.3869_BIGBEAR_DHP090.AT2	SF_2.2693_NORTHR_MJH090.AT2				
17	SF_2.4087_CHALFANT_A-LAD180.AT2	SF_2.4087_CHALFANT_A-LAD180.AT2	SF_2.4145_HECTOR_32577090.AT2	SF_2.4847_LIVERMOR_B-FRE075.AT2	SF_2.2971_LANDERS_MEL090.AT2				
18	SF_2.4685_SFERN_MA3220.AT2	SF_2.4685_SFERN_MA3220.AT2	SF_2.4523_NORTHR_NYA180.AT2	SF_2.4925_CHICHI03_TCU075-E.AT2	SF_2.4321_CHICHI03_TCU075-E.AT2				
19	SF_2.4693_NORTHR_MJH090.AT2	SF_2.4693_NORTHR_MJH090.AT2	SF_2.4545_SFERN_MA3220.AT2	SF_2.4928_CHALFANT_A-LAD180.AT2	SF_2.4967_CHALFANT_A-LAD180.AT2				
20	SF_2.4741_NORTHR_NYA180.AT2	SF_2.4741_NORTHR_NYA180.AT2	SF_2.4884_NORTHR_MJH090.AT2	SF_2.5321_LOMAP_SGI270.AT2	SF_2.5084_LOMAP_SGI270.AT2				
Aydın Üniv. Yapısı		Gedikbulak_3D		20_Katlı_3D_Yapı		24_Katlı_2D_CSW			
1	SF_1.7049_CHICHI_TAP003-E.AT2	SF_2.3615_LANDERS_CAS000.AT2	SF_1.6236_NORTHR_PHP270.AT2	SF_1.4117_CHICHI_CHY074-E.AT2					
2	SF_1.7209_CHICHI_TCU129-N.AT2	SF_2.4794_LOMAP_SSF115.AT2	SF_1.6556_KOCAELI_USK090.AT2	SF_1.4376_NORTHR_PHP270.AT2					
3	SF_1.7692_LOMAP_MCH090.AT2	SF_2.5512_KOCAELI_DHM000.AT2	SF_1.6764_MORGAN_G04360.AT2	SF_1.4744_SUPERST_B-BRA315.AT2					
4	SF_1.8181_CHICHI03_CHY101-E.AT2	SF_2.592_FRIULI_A-FLT270.AT2	SF_1.6892_CHICHI_CHY101-E.AT2	SF_1.5113_CHICHI_ALS-E.AT2					
5	SF_1.8415_CHICHI_TAP017-N.AT2	SF_2.6463_CHICHI_CHY006-N.AT2	SF_1.7206_MANJIL_189132.AT2	SF_1.5166_WESTMORL_BRA315.AT2					
6	SF_1.8454_CHICHIO6_CHY101-E.AT2	SF_2.7605_NORTHR_NYA180.AT2	SF_1.7212_SUPERST_B-BRA315.AT2	SF_1.5194_LOMAP_G06000.AT2					
7	SF_1.8664_NCALIF_F-FRN225.AT2	SF_2.7807_PARKF_C12320.AT2	SF_1.7259_CHICHI_TTN051-N.AT2	SF_1.5346_KOCAELI_MSK000.AT2					
8	SF_1.9493_CHICHI03_CHY024-E.AT2	SF_2.8413_CHICHIO2_TCU079-E.AT2	SF_1.741_LOMAP_G06000.AT2	SF_1.5462_MANJIL_189132.AT2					
9	SF_1.9995_CHICHI_HWA013-E.AT2	SF_2.8679_NEWZEAL_A-MAR040.AT2	SF_1.7724_CHICHI_CHY024-E.AT2	SF_1.5637_NCALIF_F-FRN225.AT2					
10	SF_2.0334_LOMAP_SLC270.AT2	SF_2.8785_WHITTIER_A-CWC270.AT2	SF_1.805_NORTHR_MRP180.AT2	SF_1.6235_LIVERMOR_B-SRM070.AT2					
11	SF_2.0949_CHICHI_ILA048-N.AT2	SF_2.9481_SFERN_MA3220.AT2	SF_1.8263_LIVERMOR_B-SRM070.AT2	SF_1.6455_KOBE_TOT000.AT2					
12	SF_2.095_SMART1_45008NS.AT2	SF_2.9513_CHICHI_TCU046-N.AT2	SF_1.8472_CHICHI03_TCU129-E.AT2	SF_1.6675_LOMAP_SJW160.AT2					
13	SF_2.173_CHICHI03_TCU122-E.AT2	SF_3.0009_CHICHIO6_TCU078-E.AT2	SF_1.9544_IMPVALL_H-E01140.AT2	SF_1.6719_IMPVALL_H-CXO225.AT2					
14	SF_2.1955_CHICHI_ILA041-W.AT2	SF_3.0188_LOMAP_AGW000.AT2	SF_1.9632_KOCAELI_MSK000.AT2	SF_1.6903_IMPVALL_H-E01140.AT2					
15	SF_2.196_CHICHI_TCU056-N.AT2	SF_3.1144_CHICHIO6_TCU129-E.AT2	SF_2.0172_KOCAELI_ATK000.AT2	SF_1.6923_CHICHI_TAW-N.AT2					
16	SF_2.2154_CHICHI_ILA030-N.AT2	SF_3.1162_LOMAP_SGI270.AT2	SF_2.021_TABAS_BOS-L1.AT2	SF_1.745_CHICHI03_TCU129-E.AT2					
17	SF_2.2539_CHICHI_HWA014-N.AT2	SF_3.2468_NWCHINA2_J4060270.AT2	SF_2.0558_SMART1_45001EW.AT2	SF_1.8008_KOCAELI_ATK000.AT2					
18	SF_2.2853_WESTMORL_NILO00.AT2	SF_3.2591_CHICHI_NST-E.AT2	SF_2.1154_CHICHI_TAW-N.AT2	SF_1.8756_NORTHR_CDF090.AT2					
19	SF_2.3002_SMART1_45101NS.AT2	SF_3.364_WHITTIER_A-FLO020.AT2	SF_2.1251_MANAGUA_B-MAN180.AT2	SF_1.9269_TABAS_BOS-L1.AT2					
20	SF_2.5581_CHICHI_ILA013-N.AT2	SF_3.4523_CHICHI_TCU100-N.AT2	SF_2.1303_IMPVALL_H-CXO225.AT2	SF_1.941_COALINGA_H-Z16090.AT2					

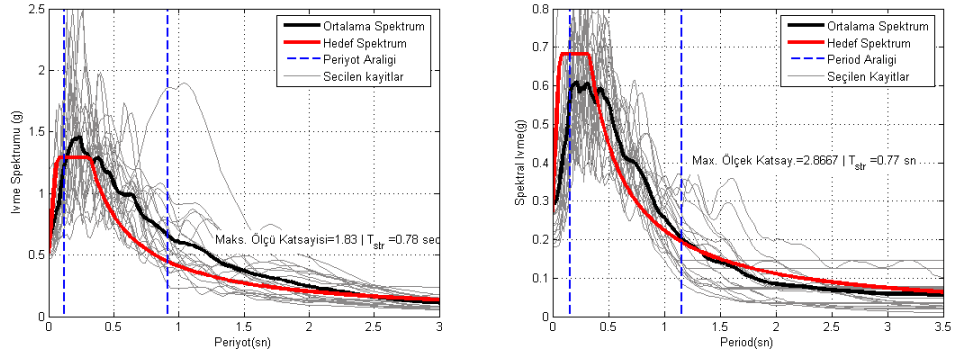
Çizelge A.1 (devam): Analizlerde Kullanılan depremlerin isimleri ve ölççek katsayıları listesi.

Van Merkez, 2. Derece Deprem Bölgesi, ZC Zemin Sınıfı, DD_2				
PFN_4_1	PFN_5_1	PFN_6_1	PFN_8_2	Prefabrik Yapı
1 SF_0.94116_IMPVALL_H-E01140.AT2	SF_0.94116_IMPVALL_H-E01140.AT2	SF_0.9255_LANDERS_CAS000.AT2	SF_0.94669_LOMAP_RIN000.AT2	SF_0.94385_LOMAP_RIN000.AT2
2 SF_0.95967_LOMAP_RIN000.AT2	SF_0.95967_LOMAP_RIN000.AT2	SF_0.94223_IMPVALL_H-E01140.AT2	SF_0.95887_IMPVALL_H-E01140.AT2	SF_0.95744_IMPVALL_H-E01140.AT2
3 SF_0.98614_CHICHI_CHY024-E.AT2	SF_0.98614_CHICHI_CHY024-E.AT2	SF_0.9538_LOMAP_RIN000.AT2	SF_0.9644_LANDERS_CAS000.AT2	SF_0.99131_LANDERS_CAS000.AT2
4 SF_1.0222_KOCAELI_MSK000.AT2	SF_1.0222_KOCAELI_MSK000.AT2	SF_0.99345_CHICHI_CHY024-E.AT2	SF_0.99009_KOCAELI_MSK000.AT2	SF_1.0013_COALINGA_H-C4A090.AT2
5 SF_1.027_CHICHI06_TCU078-E.AT2	SF_1.027_CHICHI06_TCU078-E.AT2	SF_1.0327_MORGAN_AGW240.AT2	SF_1.0011_COALINGA_H-C4A090.AT2	SF_1.0202_CHICHI06_TCU078-E.AT2
6 SF_1.0436_MORGAN_AGW240.AT2	SF_1.0436_MORGAN_AGW240.AT2	SF_1.034_CHICHI06_TCU078-E.AT2	SF_1.0105_CHICHI06_TCU078-E.AT2	SF_1.0328_WHITTIER_A-CYP143.AT2
7 SF_1.0463_COALINGA_H-C4A090.AT2	SF_1.0463_COALINGA_H-C4A090.AT2	SF_1.0487_FRIULI_A-FLT270.AT2	SF_1.0179_WHITTIER_A-CYP143.AT2	SF_1.0378_CHICHI_TAW-N.AT2
8 SF_1.0524_FRIULI_A-FLT270.AT2	SF_1.0524_FRIULI_A-FLT270.AT2	SF_1.0542_COALINGA_H-C4A090.AT2	SF_1.0664_NORTH_R_WPI316.AT2	SF_1.0514_CHICHI_ALS-E.AT2
9 SF_1.0768_LANDERS_WST000.AT2	SF_1.0768_LANDERS_WST000.AT2	SF_1.0865_TABAS_BAJ-T1.AT2	SF_1.0713_FRIULI_A-FLT270.AT2	SF_1.059_COALINGA_H-Z16090.AT2
10 SF_1.0882_TABAS_BAJ-T1.AT2	SF_1.0882_TABAS_BAJ-T1.AT2	SF_1.0967_LANDERS_WST000.AT2	SF_1.0726_CHICHI_TAW-N.AT2	SF_1.082_HECTOR_32577090.AT2
11 SF_1.1198_CHICHI_TCU119-N.AT2	SF_1.1198_CHICHI_TCU119-N.AT2	SF_1.1432_CHICHI_TCU119-N.AT2	SF_1.0775_CHICHI_CHY074-E.AT2	SF_1.0833_FRIULI_A-FLT270.AT2
12 SF_1.1742_NORTH_CAT090.AT2	SF_1.1742_NORTH_CAT090.AT2	SF_1.1781_NORTH_CAT090.AT2	SF_1.1004_HECTOR_32577090.AT2	SF_1.1191_NORTH_WPI316.AT2
13 SF_1.1922_NEWZEAL_A-MAR040.AT2	SF_1.1922_NEWZEAL_A-MAR040.AT2	SF_1.1903_NEWZEAL_A-MAR040.AT2	SF_1.1578_NORTH_CAT090.AT2	SF_1.1224_WESTMORL_BRA315.AT2
14 SF_1.1943_WESTMORL_BRA315.AT2	SF_1.1943_WESTMORL_BRA315.AT2	SF_1.1905_WESTMORL_BRA315.AT2	SF_1.1583_WESTMORL_BRA315.AT2	SF_1.1455_NORTH_CAT090.AT2
15 SF_1.2281_HECTOR_32577090.AT2	SF_1.2281_HECTOR_32577090.AT2	SF_1.2213_LOMAP_SGI270.AT2	SF_1.1763_DUZCE_1061-N.AT2	SF_1.1624_DUZCE_1061-N.AT2
16 SF_1.2297_LIVERMOR_B-FRE075.AT2	SF_1.2297_LIVERMOR_B-FRE075.AT2	SF_1.2254_LIVERMOR_B-FRE075.AT2	SF_1.1841_NEWZEAL_A-MAR040.AT2	SF_1.1717_NEWZEAL_A-MAR040.AT2
17 SF_1.2302_LOMAP_SGI270.AT2	SF_1.2302_LOMAP_SGI270.AT2	SF_1.2565_CHALFANT_A-LAD180.AT2	SF_1.1857_NORTH_MJH090.AT2	SF_1.1825_NORTH_MJH090.AT2
18 SF_1.2558_CHALFANT_A-LAD180.AT2	SF_1.2558_CHALFANT_A-LAD180.AT2	SF_1.2589_HECTOR_32577090.AT2	SF_1.2692_CHICHI03_TCU075-E.AT2	SF_1.2674_CHICHI03_TCU075-E.AT2
19 SF_1.2874_NORTH_MJH090.AT2	SF_1.2874_NORTH_MJH090.AT2	SF_1.2797_SFERN_MA3220.AT2	SF_1.2693_CHALFANT_A-LAD180.AT2	SF_1.301_CHALFANT_A-LAD180.AT2
20 SF_1.287_SFERN_MA3220.AT2	SF_1.287_SFERN_MA3220.AT2	SF_1.2974_NORTH_MJH090.AT2	SF_1.2894_LOMAP_SGI270.AT2	SF_1.3072_LOMAP_SGI270.AT2
Aydın Yapı	Gedikbulak_3D	20_Katlı_3D_Yapı	24_Katlı_2D_CSW	
1 SF_0.98422_CHICHI03_TCU122-E.AT2	SF_1.0623_LOMAP_GGB270.AT2	SF_1.0996_WHITTIER_A-BUE340.AT2	SF_0.97012_IMPVALL_H-E01140.AT2	
2 SF_0.99028_SMART1_45E01NS.AT2	SF_1.1668_NEWZEAL_A-MAR130.AT2	SF_1.1227_WESTMORL_BRA315.AT2	SF_1.0543_SMART1_33001NS.AT2	
3 SF_0.99043_SMART1_40001NS.AT2	SF_1.2157_FRIULI_A-FLT270.AT2	SF_1.1455_CHICHI_HWA045-N.AT2	SF_1.0805_KOCAELI_IST090.AT2	
4 SF_1.0267_KOCAELI_IST090.AT2	SF_1.2744_NORTH_GLP177.AT2	SF_1.1455_SMART1_40C00NS.AT2	SF_1.0906_SMART1_45E01NS.AT2	
5 SF_1.0514_NORTH_5081-270.AT2	SF_1.2771_CHICHI_NST-N.AT2	SF_1.1632_COALINGA_H-Z16090.AT2	SF_1.1048_CHICHI03_TCU122-E.AT2	
6 SF_1.0873_CHICHI06_CHY024-E.AT2	SF_1.2892_NORTH_CDF000.AT2	SF_1.2028_CHICHI06_TCU078-E.AT2	SF_1.114_COALINGA_H-Z16090.AT2	
7 SF_1.1132_MANJIL_188310.AT2	SF_1.3042_PARKF_C12320.AT2	SF_1.2076_SMART1_45M07EW.AT2	SF_1.1466_COALINGA_H-C4A090.AT2	
8 SF_1.1336_COALINGA_H-C4A090.AT2	SF_1.3248_LOMAP_SJW250.AT2	SF_1.251_SMART1_45E01NS.AT2	SF_1.1538_WHITTIER_A-BUE340.AT2	
9 SF_1.1382_HECTOR_32577090.AT2	SF_1.3326_CHICHI02_TCU079-E.AT2	SF_1.2639_IMPVALL_H-BCR230.AT2	SF_1.1545_NORTH_CAT090.AT2	
10 SF_1.1519_COALINGA_H-Z16090.AT2	SF_1.345_NEWZEAL_A-MAR040.AT2	SF_1.2654_SMART1_40O07EW.AT2	SF_1.1795_HECTOR_32577090.AT2	
11 SF_1.1716_LOMAP_BVU220.AT2	SF_1.3521_WHITTIER_A-BUE340.AT2	SF_1.3228_SMART1_45O10EW.AT2	SF_1.2231_HECTOR_14840019.AT2	
12 SF_1.1931_UPLAND_23525090.AT2	SF_1.3539_MORGAN_G03090.AT2	SF_1.3334_NEWZEAL_A-MAR040.AT2	SF_1.2542_LOMAP_PJH315.AT2	
13 SF_1.2271_CHICHI03_CHY028-E.AT2	SF_1.3597_IMPVALL_H-CPE147.AT2	SF_1.3347_SMART1_45E02EW.AT2	SF_1.2782_LOMAP_BVU220.AT2	
14 SF_1.2305_MANAGUA_B-MAN090.AT2	SF_1.3827_SFERN_MA3220.AT2	SF_1.3566_HECTOR_22161360.AT2	SF_1.2793_CHICHI03_CHY028-E.AT2	
15 SF_1.2359_LANDERS_H05000.AT2	SF_1.4074_CHICHI06_TCU078-E.AT2	SF_1.3888_SMART1_45I07EW.AT2	SF_1.2948_UPLAND_23525090.AT2	
16 SF_1.2497_SFERN_PAS090.AT2	SF_1.4606_CHICHI06_TCU129-E.AT2	SF_1.4027_CHICHI06_CHY036-E.AT2	SF_1.3426_ITALY_A-BRZ000.AT2	
17 SF_1.2867_CHICHI_HWA048-N.AT2	SF_1.5285_CHICHI_NST-E.AT2	SF_1.412_CHICHI03_CHY024-E.AT2	SF_1.3456_CHICHI_HWA048-N.AT2	
18 SF_1.2942_CHICHI_TAP032-E.AT2	SF_1.5386_SMADRE_4734C270.AT2	SF_1.4283_CHICHI03_TCU075-E.AT2	SF_1.4256_COALINGA_H-Z06090.AT2	
19 SF_1.334_HECTOR_22161090.AT2	SF_1.5421_COALINGA_D-PVP270.AT2	SF_1.4557_CHICHI_CHY010-N.AT2	SF_1.427_NEWZEAL_A-MAR040.AT2	
20 SF_1.3713_HECTOR_11591090.AT2	SF_1.5428_SFERN_OPP000.AT2	SF_1.5034_CHICHI_CHY010-W.AT2	SF_1.4679_CHICHI_CHY088-E.AT2	

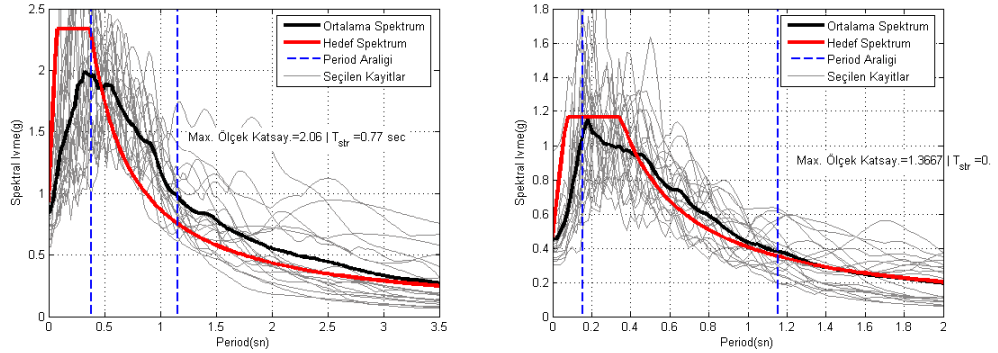
EK-B



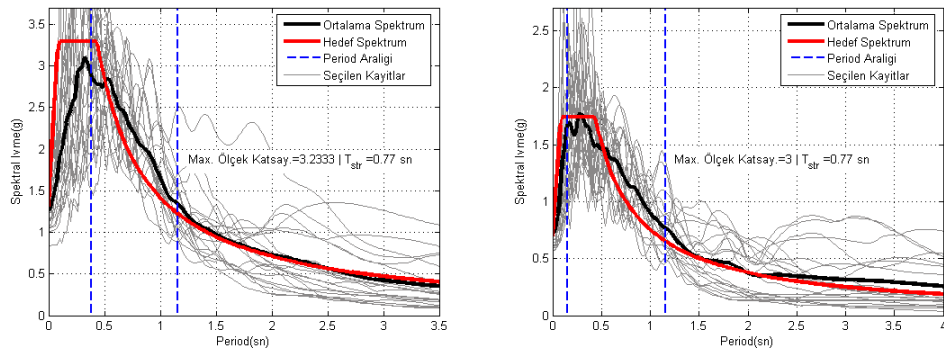
Şekil B.1 : PFN_4_1 Modeli için 1.derece DB, ve ZC zemin sınıfı için DBYYHY 2007'ye göre DD 1 ve DD 2 için seçilen deprem kayıtlarının ivme spektrumları



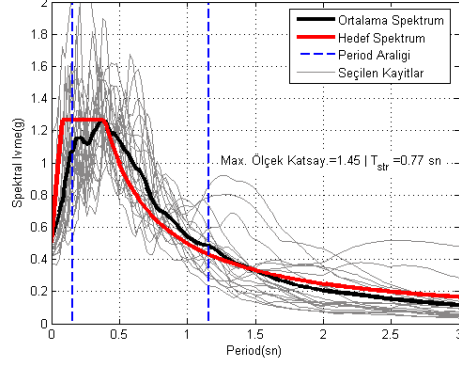
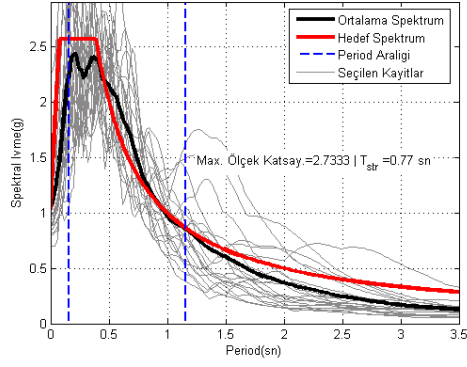
Şekil B.2 : PFN_4_1 Modeli için 1.derece DB ve ZC zemin sınıfı için Bartın Merkez'de DD1 ve DD 2' ye göre seçilen deprem kayıtlarının ivme spektrumları



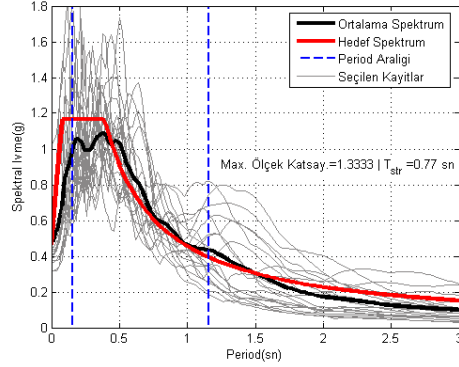
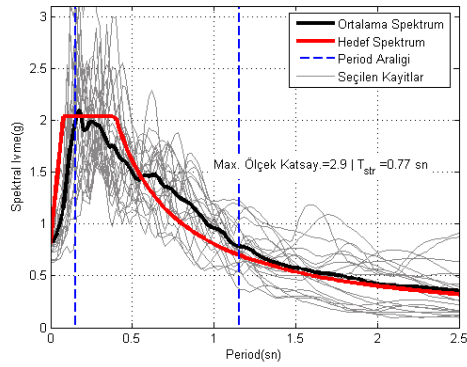
Şekil B.3 : PFN_4_1 Modeli için 1.derece DB ve ZC zemin sınıfı için Burdur Merkez'de DD1 ve DD 2' ye göre seçilen deprem kayıtlarının ivme spektrumları



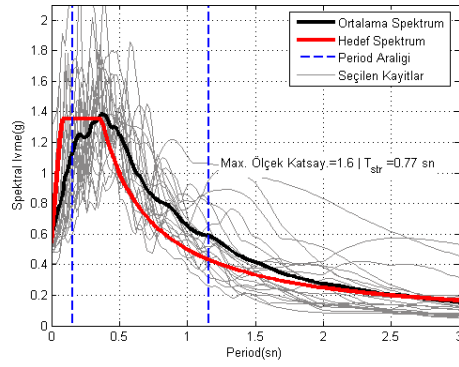
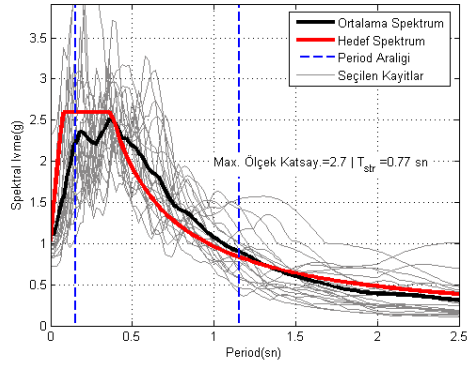
Şekil B.4 : PFN_4_1 Modeli için 1.derece DB ve ZC zemin sınıfı için Erzincan Merkez'de DD1 ve DD 2' ye göre seçilen deprem kayıtlarının ivme spektrumları



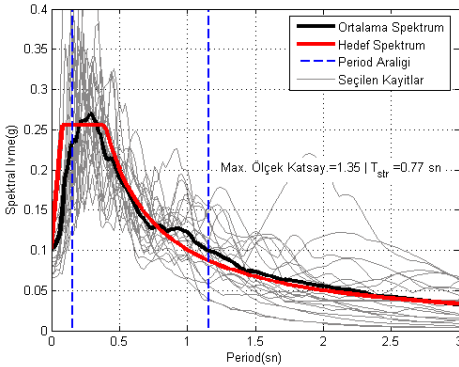
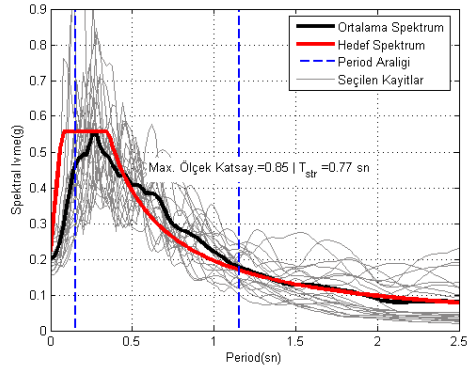
Şekil B.5 : PFN_4_1 Modeli için 1.derece DB ve ZC zemin sınıfı için Hatay Merkez’de DD1 ve DD 2’ ye göre seçilen deprem kayıtlarının ivme spektrumları



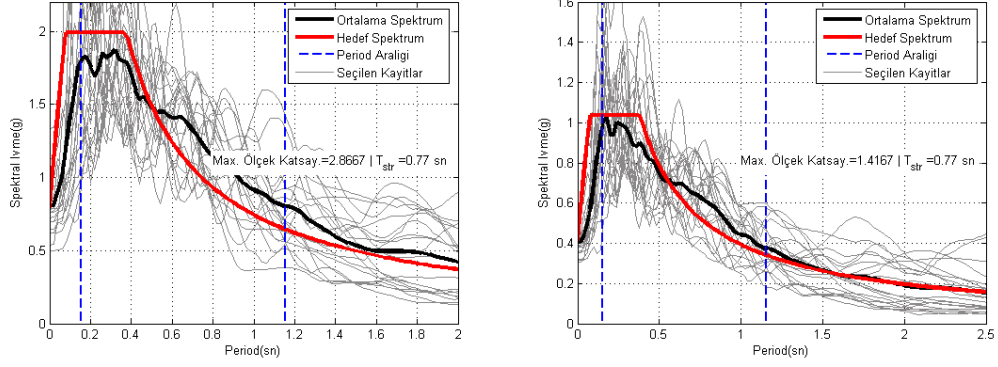
Şekil B.6 : PFN_4_1 Modeli için 1.derece DB ve ZC zemin sınıfı için İstanbul Kadıköy’de DD1 ve DD 2’ ye göre seçilen deprem kayıtlarının ivme spektrumları



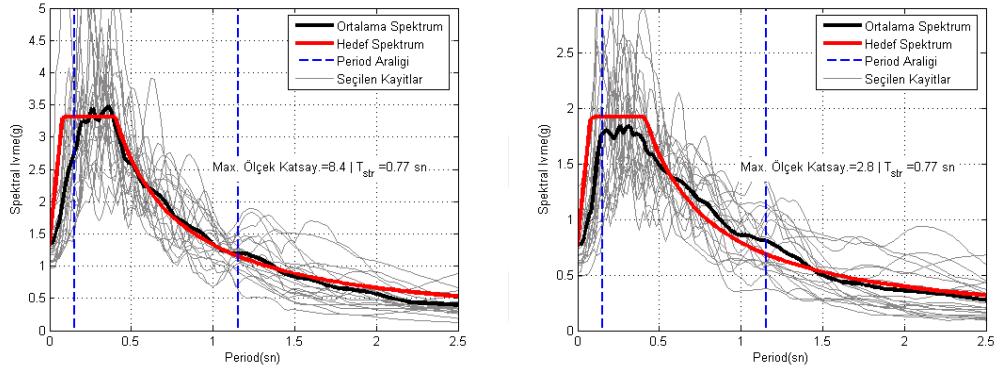
Şekil B.7 : PFN_4_1 Modeli için 1.derece DB ve ZC zemin sınıfı için İzmir Merkez’de DD1 ve DD 2’ ye göre seçilen deprem kayıtlarının ivme spektrumları



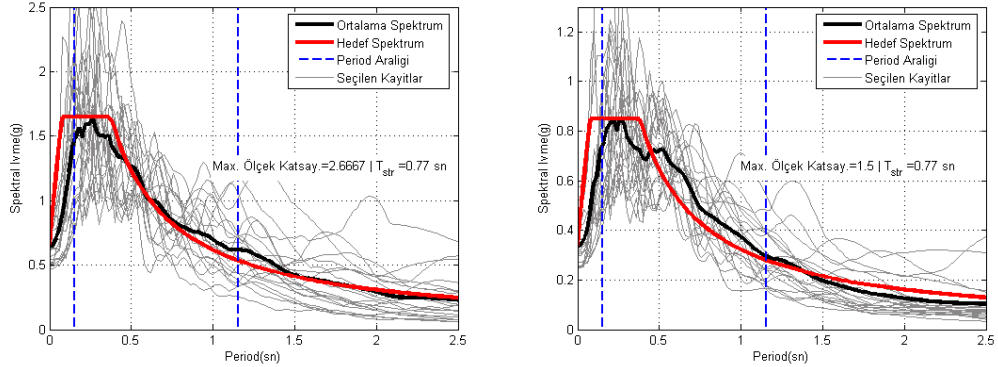
Şekil B.8 : PFN_4_1 Modeli için 1.derece DB ve ZC zemin sınıfı için Kırşehir Merkez’de DD1 ve DD 2’ ye göre seçilen deprem kayıtlarının ivme spektrumları



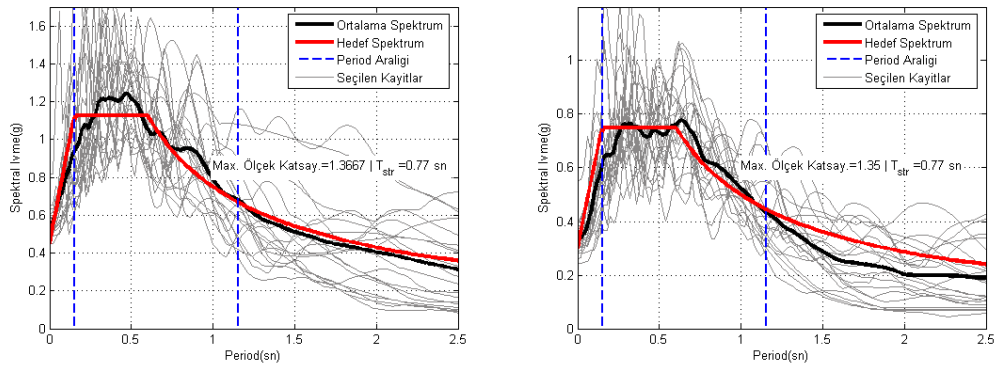
Şekil B.9 : PFN_4_1 Modeli için 1.derece DB ve ZC zemin sınıfı için Muğla Merkez'de DD1 ve DD 2' ye göre seçilen deprem kayıtlarının ivme spektrumları



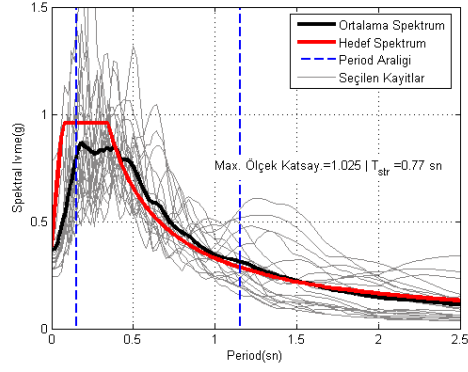
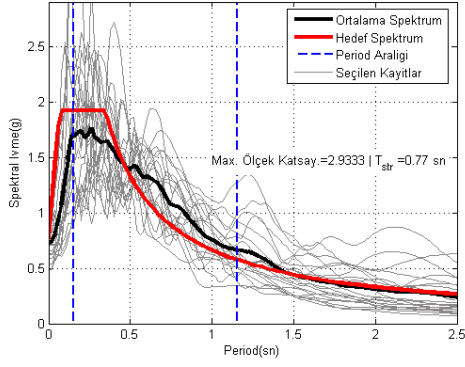
Şekil B.10 : PFN_4_1 Modeli için 1.derece DB ve ZC zemin sınıfı için Sakarya Merkez'de DD1 ve DD 2' ye göre seçilen deprem kayıtlarının ivme spektrumları



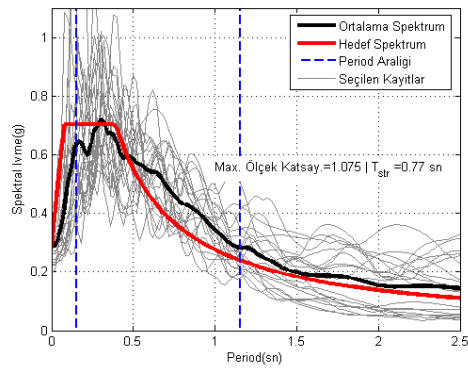
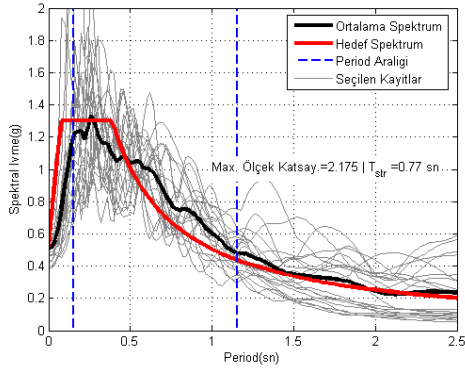
Şekil B.11 : PFN_4_1 Modeli için 1.derece DB ve ZC zemin sınıfı için Van Erciş'de DD1 ve DD 2' ye göre seçilen deprem kayıtlarının ivme spektrumları



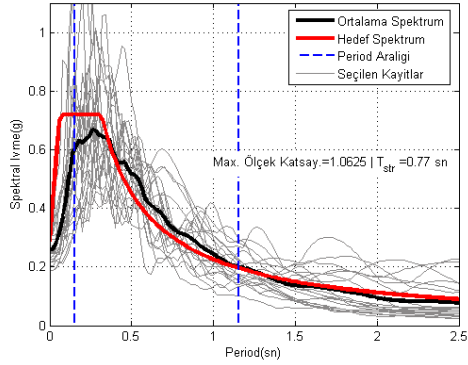
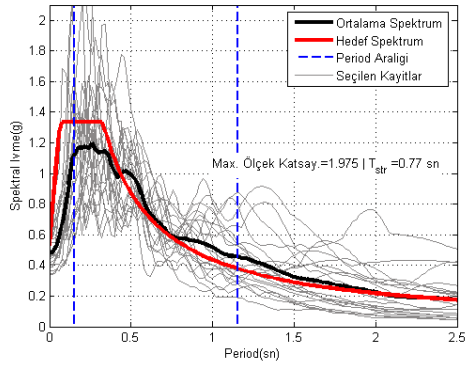
Şekil B.12 : PFN_4_1 Modeli için 2.derece DB, ve ZC zemin sınıfı için DBYYHY 2007'ye göre DD 1 ve DD 2 için seçilen deprem kayıtlarının ivme spektrumları



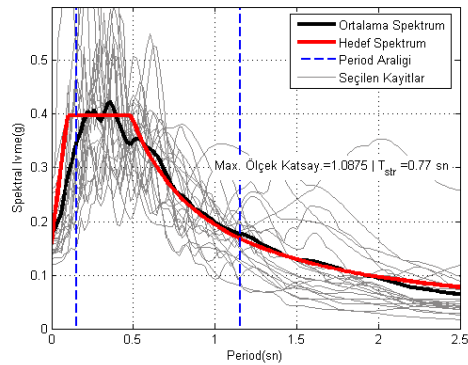
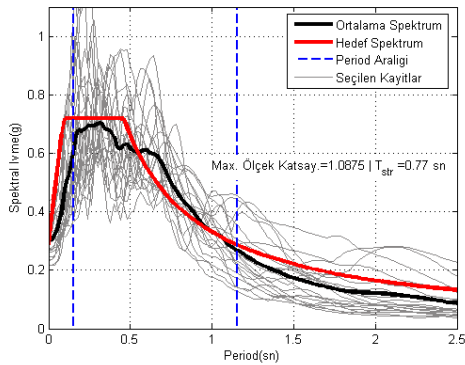
Şekil B.13 : PFN_4_1 Modeli için 2.derece DB ve ZC zemin sınıfı için Afyon Merkez’de DD1 ve DD 2’ ye göre seçilen deprem kayıtlarının ivme spektrumları



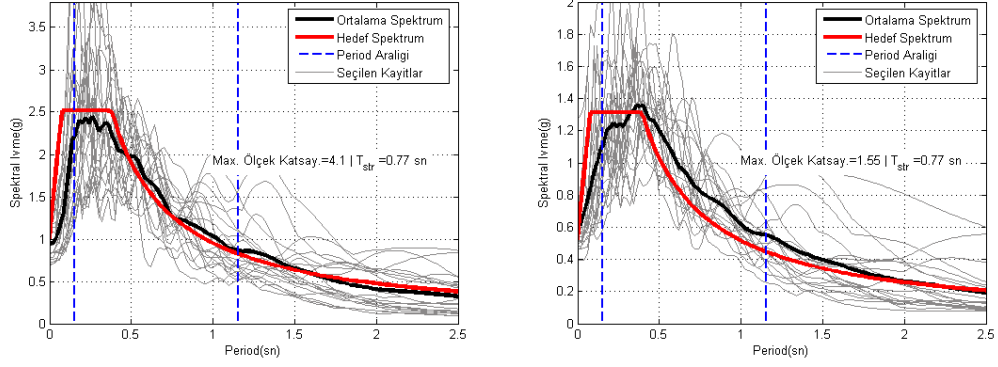
Şekil B.14 : PFN_4_1 Modeli için 2.derece DB ve ZC zemin sınıfı için Ağrı Merkez’de DD1 ve DD 2’ ye göre seçilen deprem kayıtlarının ivme spektrumları



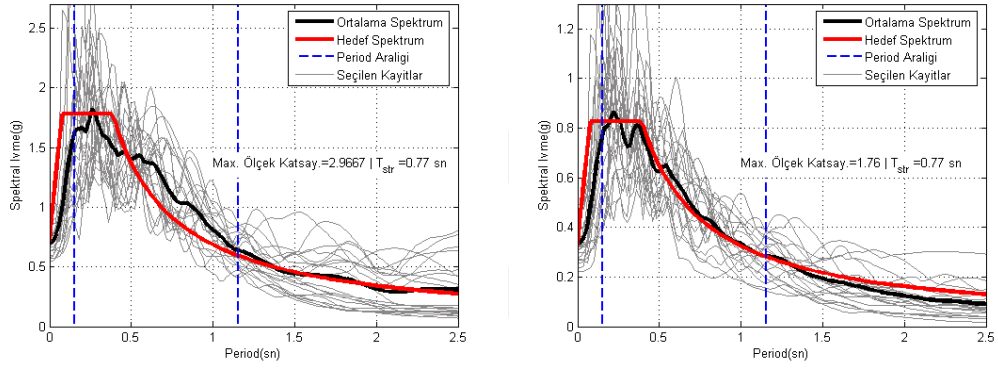
Şekil B.15 : PFN_4_1 Modeli için 2.derece DB ve ZC zemin sınıfı için Antalya Merkez’de DD1 ve DD 2’ ye göre seçilen deprem kayıtlarının ivme spektrumları



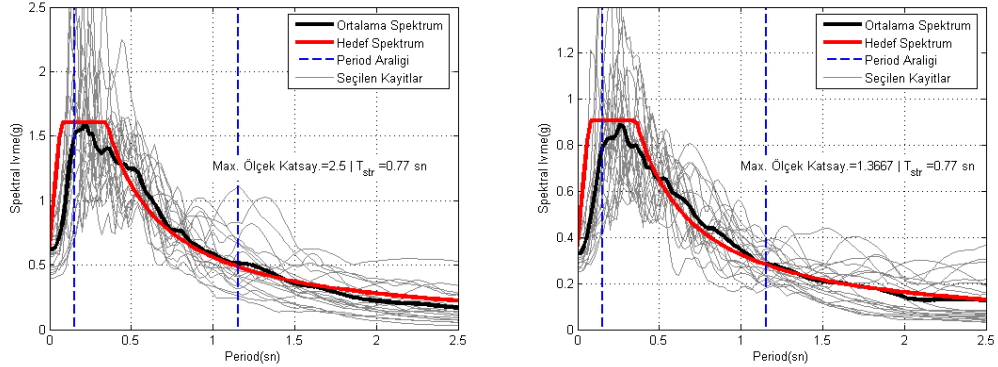
Şekil B.16 : PFN_4_1 Modeli için 2.derece DB ve ZC zemin sınıfı için Diyarbakır Merkez’de DD1 ve DD 2’ ye göre seçilen deprem kayıtlarının ivme spektrumları



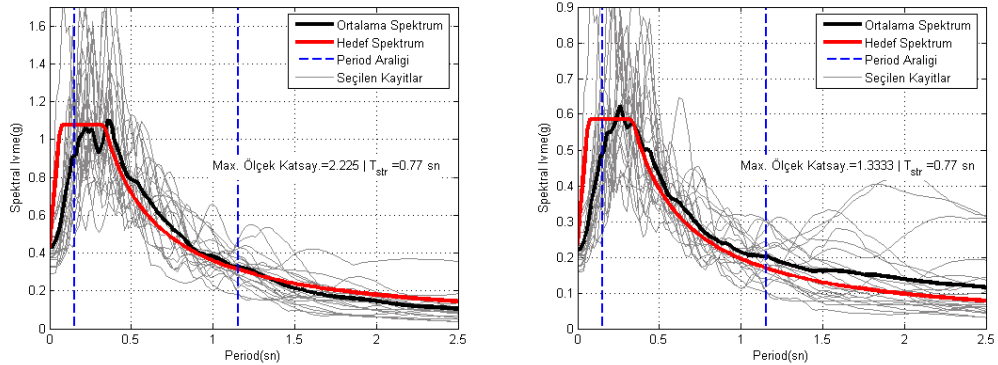
Şekil B.17 : PFN_4_1 Modeli için 2.derece DB ve ZC zemin sınıfı için Erzurum Merkez'de DD1 ve DD 2' ye göre seçilen deprem kayıtlarının ivme spektrumları



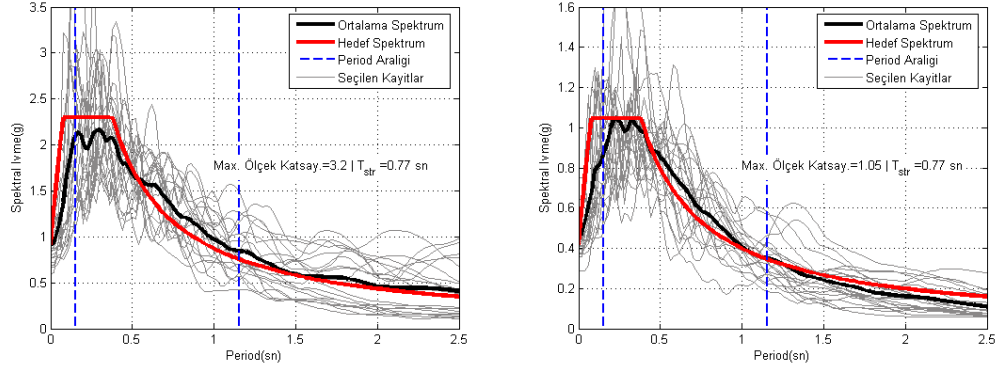
Şekil B.18 : PFN_4_1 Modeli için 2.derece DB ve ZC zemin sınıfı için Eskişehir Merkez'de DD1 ve DD 2' ye göre seçilen deprem kayıtlarının ivme spektrumları



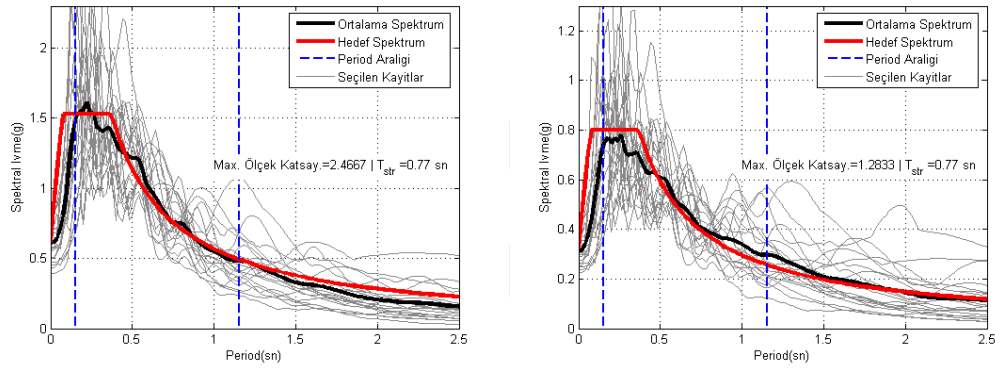
Şekil B.19 : PFN_4_1 Modeli için 2.derece DB ve ZC zemin sınıfı için İstanbul Levent'de DD1 ve DD 2' ye göre seçilen deprem kayıtlarının ivme spektrumları



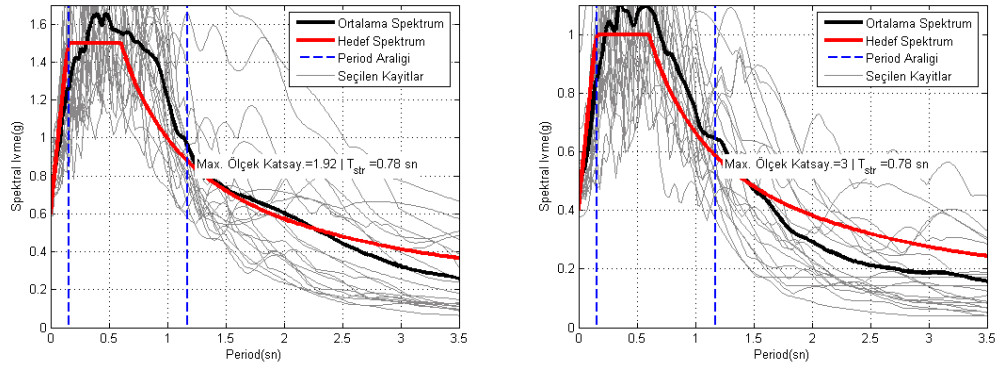
Şekil B.20: PFN_4_1 Modeli için 2.derece DB ve ZC zemin sınıfı için Kars Merkez'de DD1 ve DD 2' ye göre seçilen deprem kayıtlarının ivme spektrumları



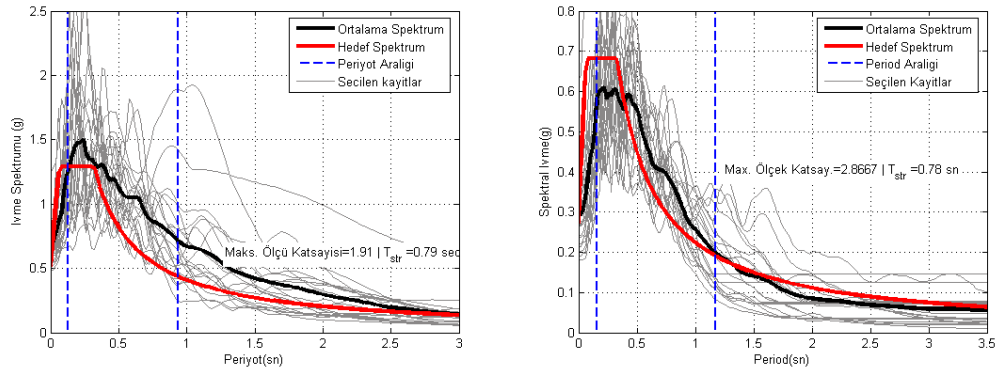
Şekil B.21 : PFN_4_1 Modeli için 2.derece DB ve ZC zemin sınıfı için Kütahya Merkez'de DD1 ve DD 2' ye göre seçilen deprem kayıtlarının ivme spektrumları



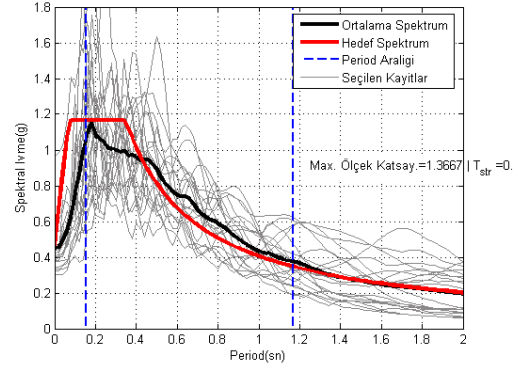
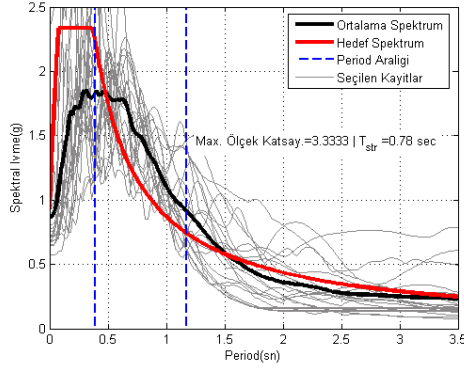
Şekil B.22 : PFN_4_1 Modeli için 2.derece DB ve ZC zemin sınıfı için Van Merkez'de DD1 ve DD 2' ye göre seçilen deprem kayıtlarının ivme spektrumları



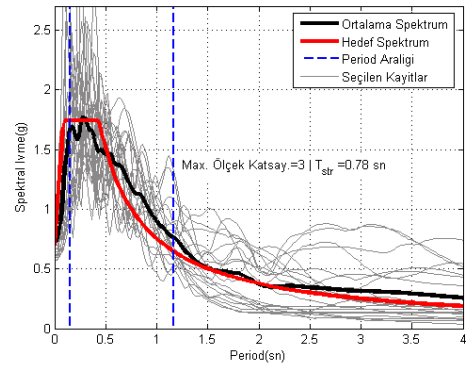
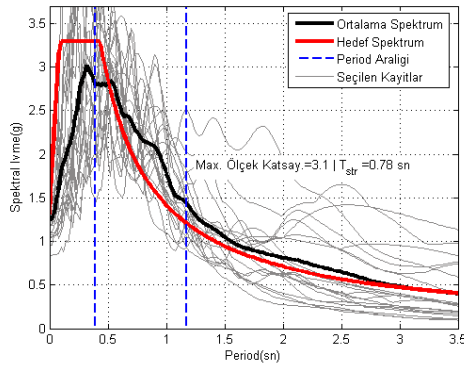
Şekil B.23 : PFN_5_1 Modeli için 1.derece DB, ve ZC zemin sınıfı için DBYYHY 2007'ye göre DD 1 ve DD 2 için seçilen deprem kayıtlarının ivme spektrumları



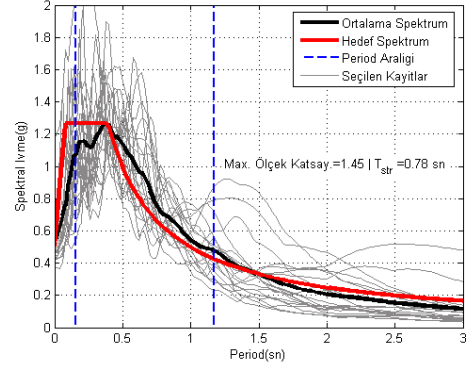
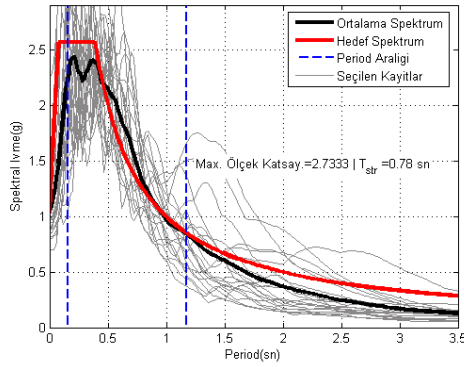
Şekil B.24 : PFN_5_1 Modeli için 1.derece DB ve ZC zemin sınıfı için Bartın Merkez'de DD1 ve DD 2' ye göre seçilen deprem kayıtlarının ivme spektrumları



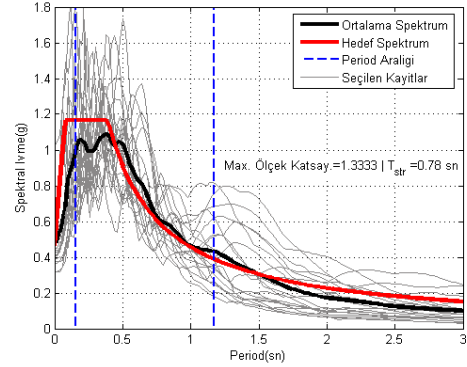
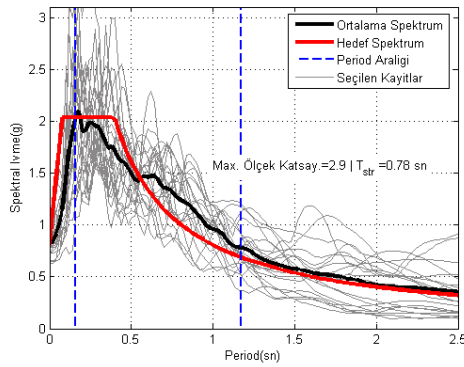
Şekil B.25 : PFN_5_1 Modeli için 1.derece DB ve ZC zemin sınıfı için Burdur Merkez'de DD1 ve DD 2' ye göre seçilen deprem kayıtlarının ivme spektrumları



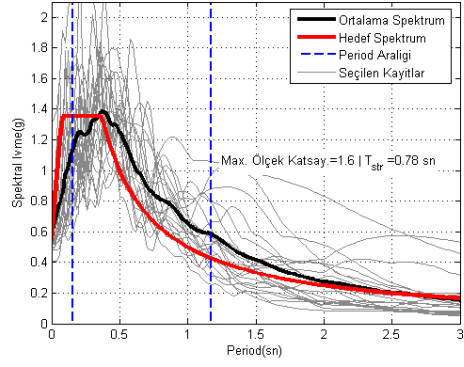
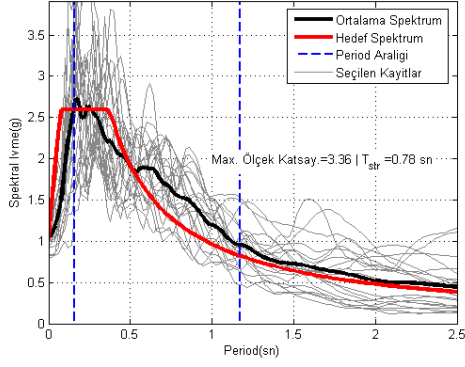
Şekil B.26 : PFN_5_1 Modeli için 1.derece DB ve ZC zemin sınıfı için Erzincan Merkez'de DD1 ve DD 2' ye göre seçilen deprem kayıtlarının ivme spektrumları



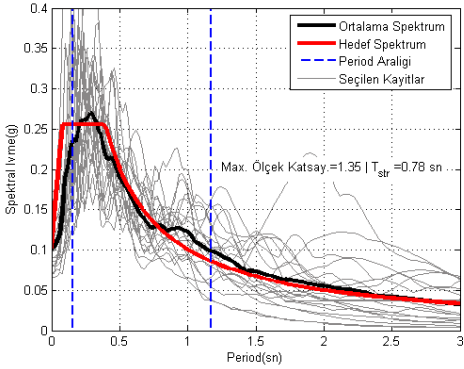
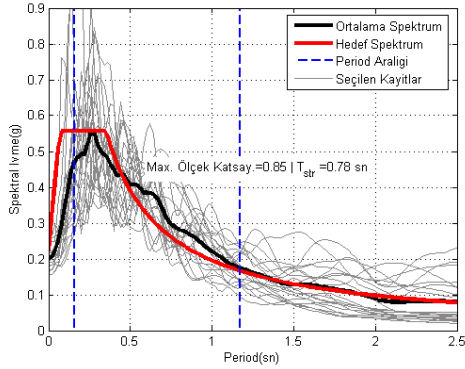
Şekil B.27: PFN_5_1 Modeli için 1.derece DB ve ZC zemin sınıfı için Hatay Merkez'de DD1 ve DD 2' ye göre seçilen deprem kayıtlarının ivme spektrumları



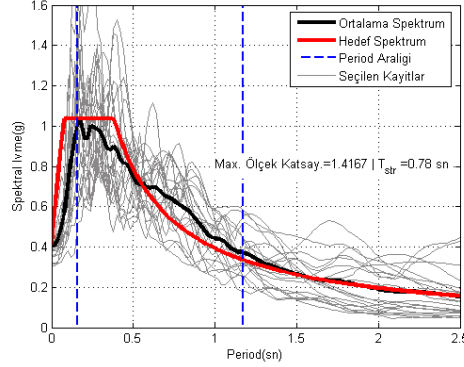
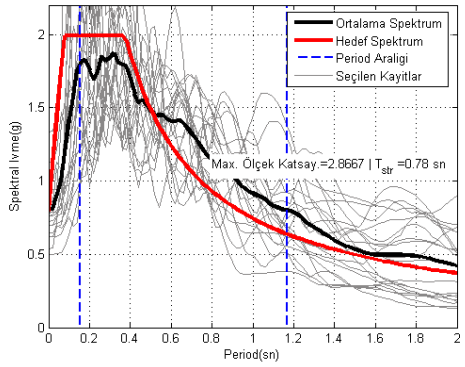
Şekil B.28 : PFN_5_1 Modeli için 1.derece DB ve ZC zemin sınıfı için İstanbul Kadıköy'de DD1 ve DD 2' ye göre seçilen deprem kayıtlarının ivme spektrumları



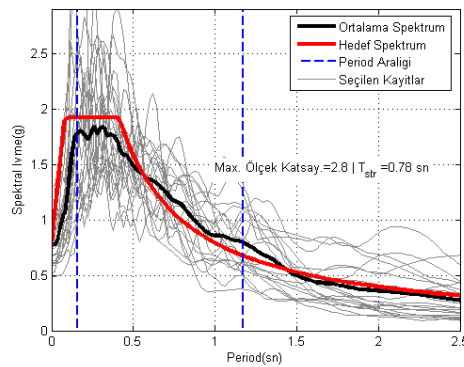
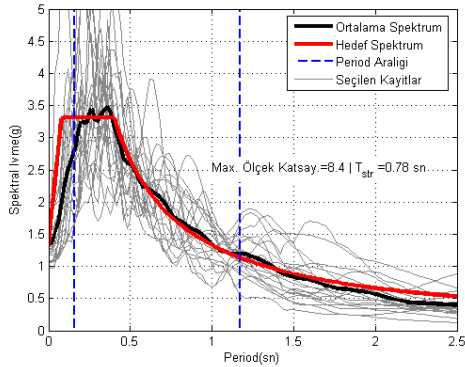
Şekil B.29 : PFN_5_1 Modeli için 1.derece DB ve ZC zemin sınıfı için İzmir Merkez'de DD1 ve DD 2' ye göre seçilen deprem kayıtlarının ivme spektrumları



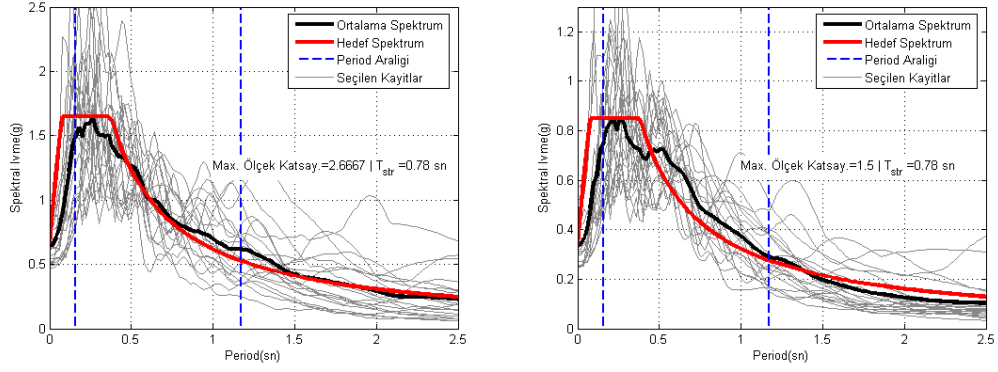
Şekil B.30 : PFN_5_1 Modeli için 1.derece DB ve ZC zemin sınıfı için Kırşehir Merkez'de DD1 ve DD 2' ye göre seçilen deprem kayıtlarının ivme spektrumları



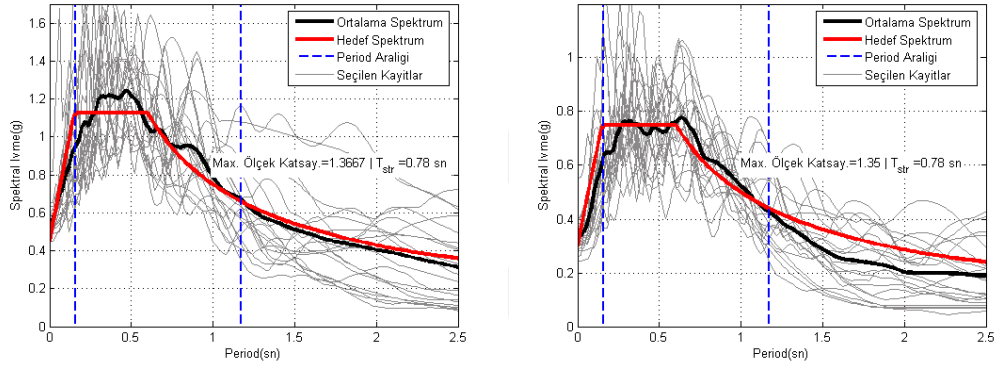
Şekil B.31 : PFN_5_1 Modeli için 1.derece DB ve ZC zemin sınıfı için Muğla Merkez'de DD1 ve DD 2' ye göre seçilen deprem kayıtlarının ivme spektrumları



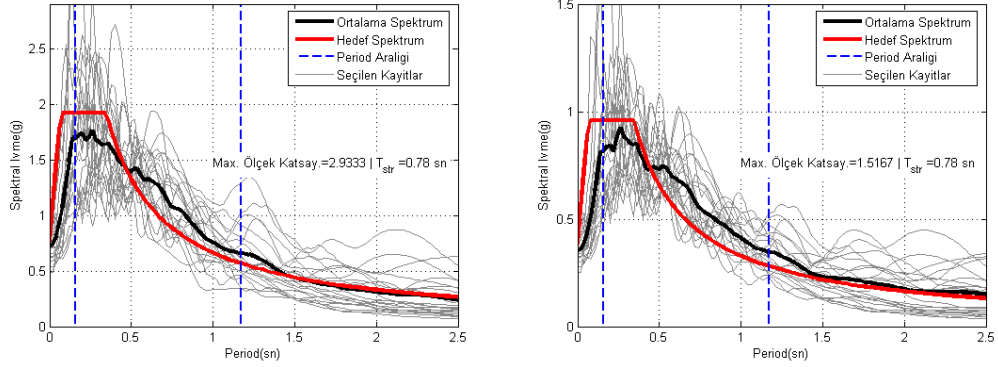
Şekil B.32 : PFN_5_1 Modeli için 1.derece DB ve ZC zemin sınıfı için Sakarya Merkez'de DD1 ve DD 2' ye göre seçilen deprem kayıtlarının ivme spektrumları



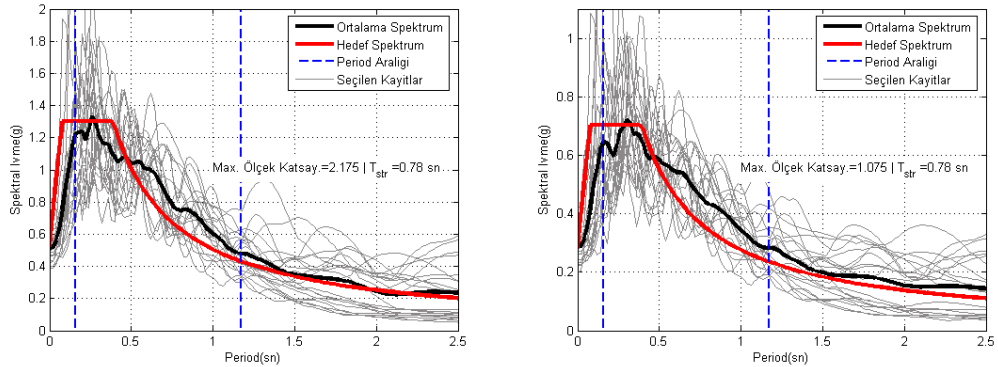
Şekil B.33 : PFN_5_1 Modeli için 1.derece DB ve ZC zemin sınıfı için Van Erciş’de DD1 ve DD 2’ ye göre seçilen deprem kayıtlarının ivme spektrumları



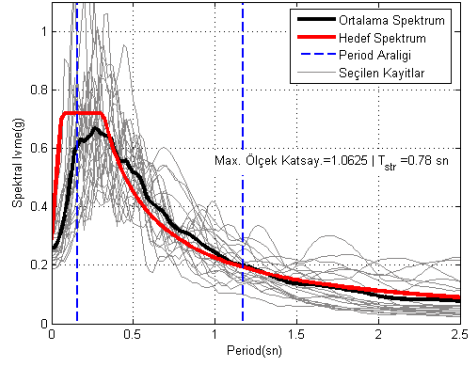
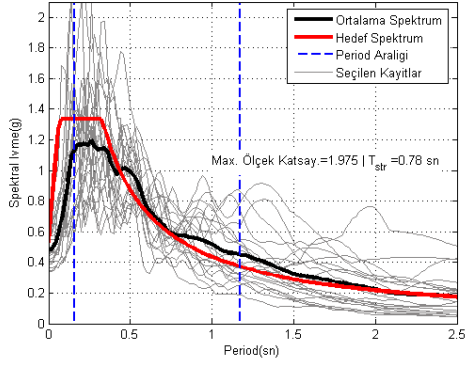
Şekil B.34 : PFN_5_1 Modeli için 2.derece DB, ve ZC zemin sınıfı için DBYYHY 2007’ye göre DD 1 ve DD 2 için seçilen deprem kayıtlarının ivme spektrumları



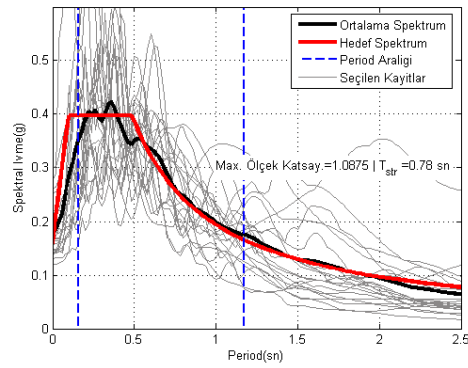
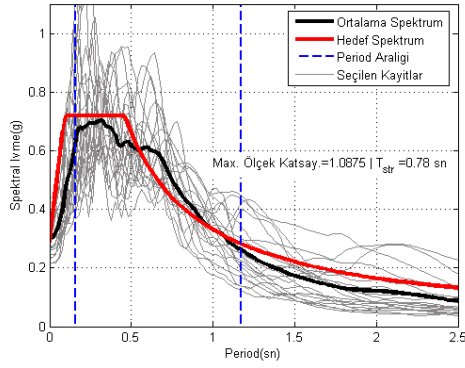
Şekil B.35 : PFN_5_1 Modeli için 2.derece DB ve ZC zemin sınıfı için Afyon Merkez’de DD1 ve DD 2’ ye göre seçilen deprem kayıtlarının ivme spektrumları



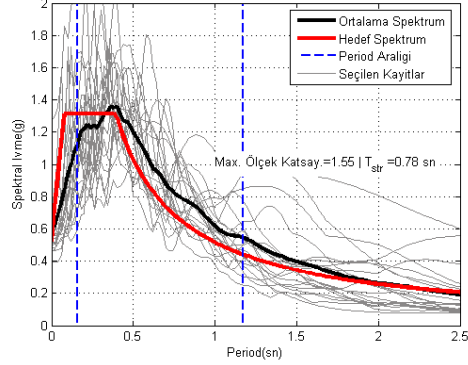
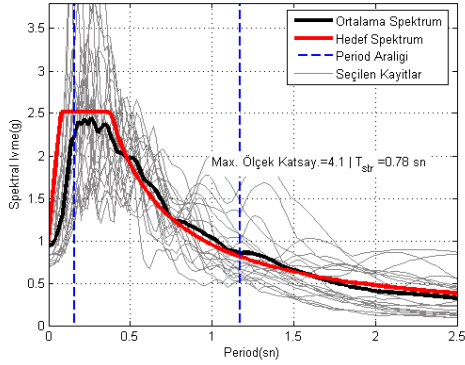
Şekil B.36 : PFN_5_1 Modeli için 2.derece DB ve ZC zemin sınıfı için Ağrı Merkez’de DD1 ve DD 2’ ye göre seçilen deprem kayıtlarının ivme spektrumları



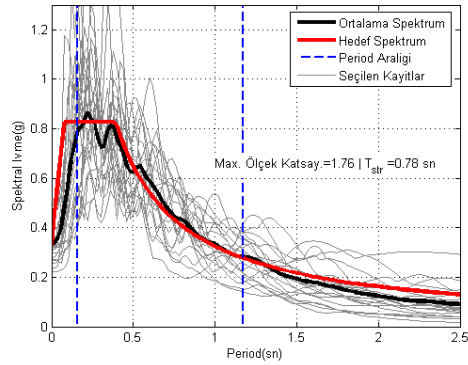
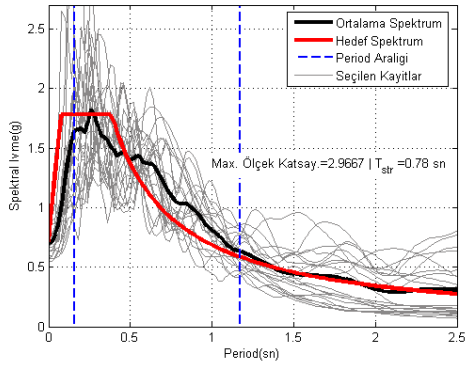
Şekil B.37 : PFN_5_1 Modeli için 2.derece DB ve ZC zemin sınıfı için Antalya Merkez'de DD1 ve DD 2' ye göre seçilen deprem kayıtlarının ivme spektrumları



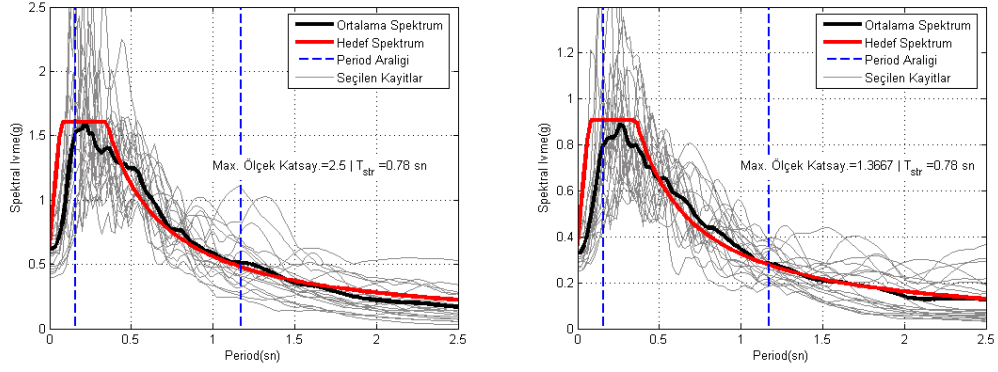
Şekil B.38 : PFN_5_1 Modeli için 2.derece DB ve ZC zemin sınıfı için Diyarbakır Merkez'de DD1 ve DD 2' ye göre seçilen deprem kayıtlarının ivme spektrumları



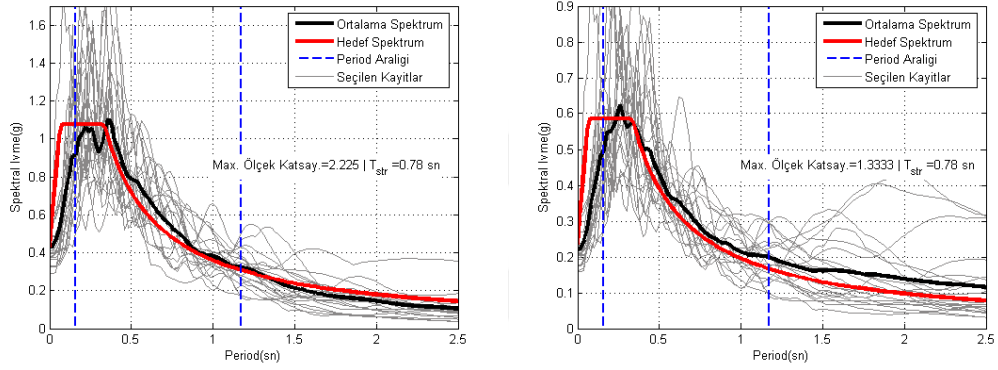
Şekil B.39 : PFN_5_1 Modeli için 2.derece DB ve ZC zemin sınıfı için Erzurum Merkez'de DD1 ve DD 2' ye göre seçilen deprem kayıtlarının ivme spektrumları



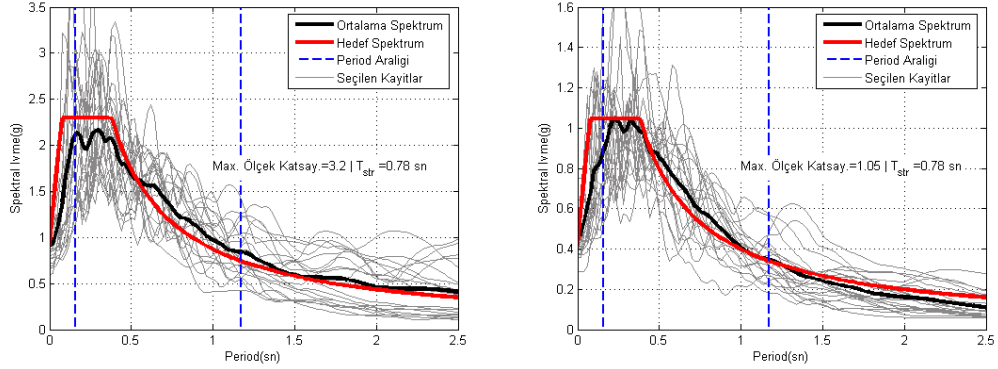
Şekil B.40 : PFN_5_1 Modeli için 2.derece DB ve ZC zemin sınıfı için Eskişehir Merkez'de DD1 ve DD 2' ye göre seçilen deprem kayıtlarının ivme spektrumları



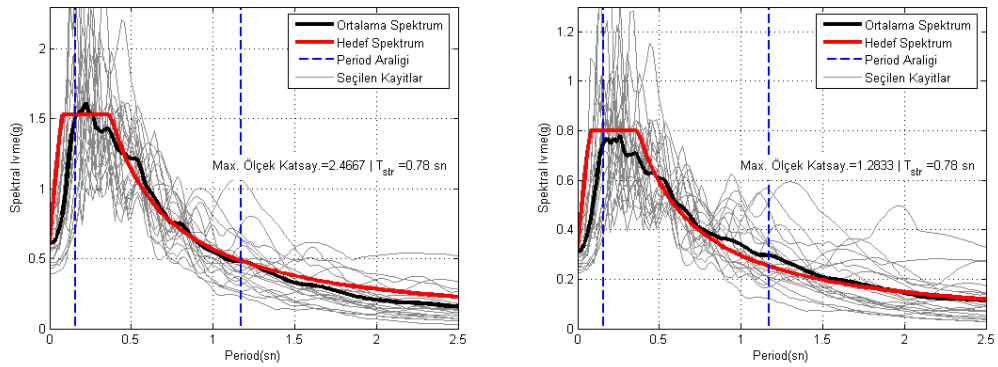
Şekil B.41 : PFN_5_1 Modeli için 2.derece DB ve ZC zemin sınıfı için İstanbul Levent’de DD1 ve DD 2’ ye göre seçilen deprem kayıtlarının ivme spektrumları



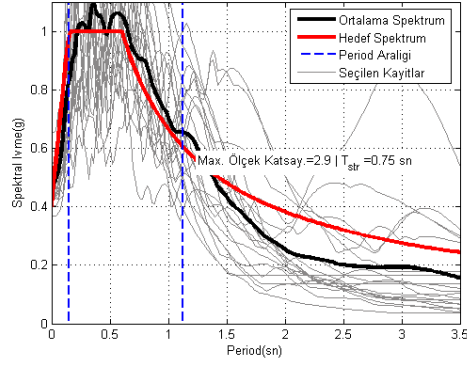
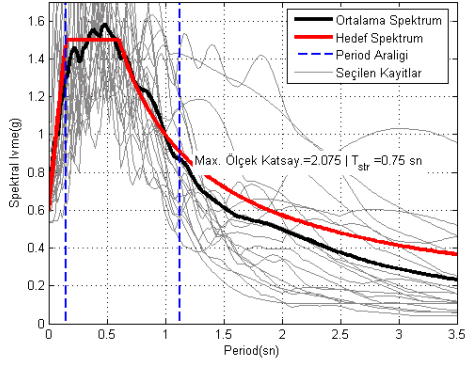
Şekil B.42 : PFN_5_1 Modeli için 2.derece DB ve ZC zemin sınıfı için Kars Merkez’de DD1 ve DD 2’ ye göre seçilen deprem kayıtlarının ivme spektrumları



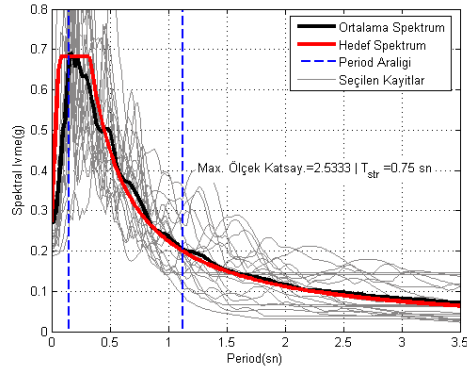
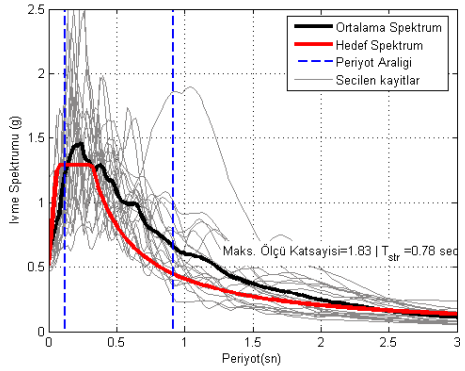
Şekil B.43 : PFN_5_1 Modeli için 2.derece DB ve ZC zemin sınıfı için Kütahya Merkez’de DD1 ve DD 2’ ye göre seçilen deprem kayıtlarının ivme spektrumları



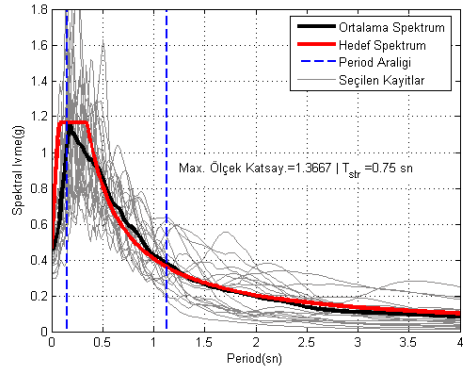
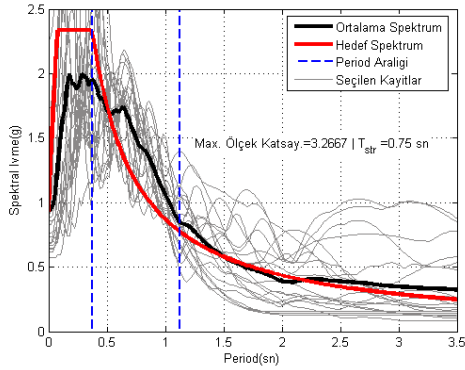
Şekil B.44 : PFN_5_1 Modeli için 2.derece DB ve ZC zemin sınıfı için Van Merkez’de DD1 ve DD 2’ ye göre seçilen deprem kayıtlarının ivme spektrumları



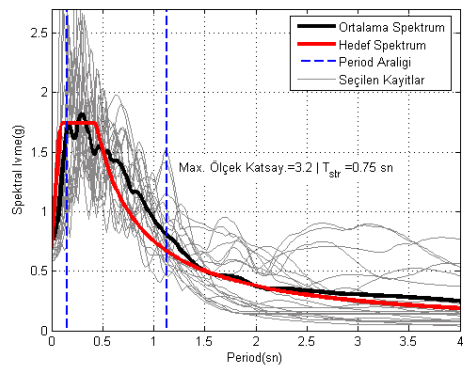
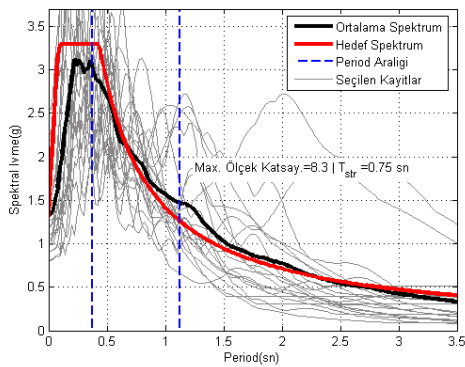
Şekil B.45 : PFN_6_1 Modeli için 1.derece DB, ve ZC zemin sınıfı için DBYYHY 2007'ye göre DD 1 ve DD 2 için seçilen deprem kayıtlarının ivme spektrumları



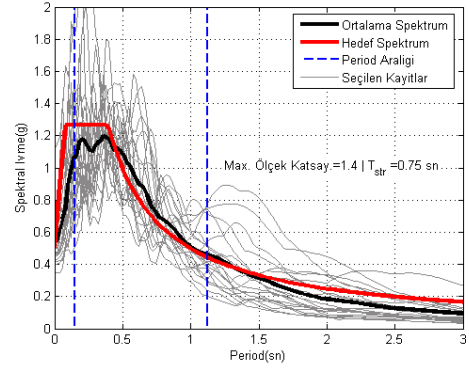
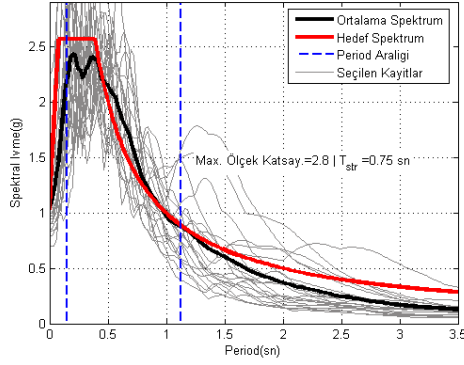
Şekil B.46 : PFN_6_1 Modeli için 1.derece DB ve ZC zemin sınıfı için Bartın Merkez'de DD1 ve DD 2' ye göre seçilen deprem kayıtlarının ivme spektrumları



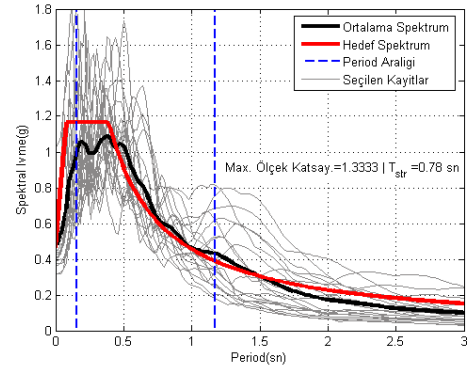
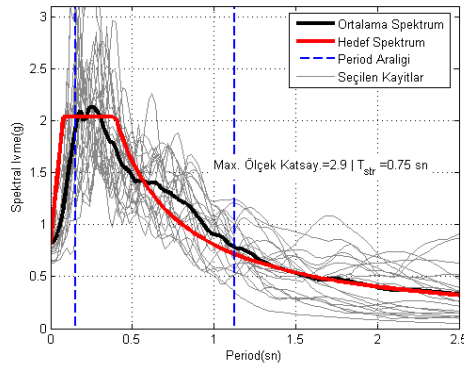
Şekil B.47 : PFN_6_1 Modeli için 1.derece DB ve ZC zemin sınıfı için Burdur Merkez'de DD1 ve DD 2' ye göre seçilen deprem kayıtlarının ivme spektrumları



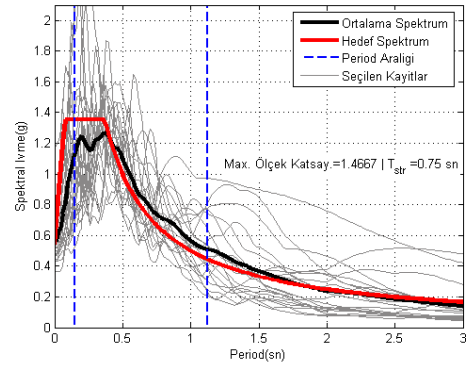
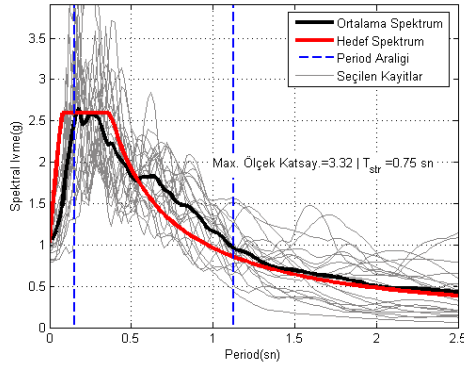
Şekil B.48 : PFN_6_1 Modeli için 1.derece DB ve ZC zemin sınıfı için Erzincan Merkez'de DD1 ve DD 2' ye göre seçilen deprem kayıtlarının ivme spektrumları



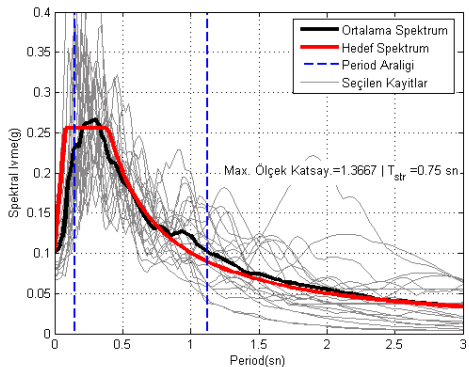
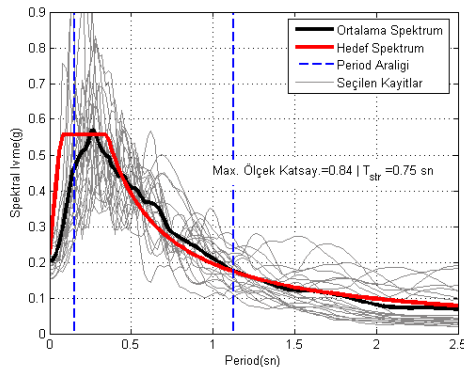
Şekil B.49 : PFN_6_1 Modeli için 1.derece DB ve ZC zemin sınıfı için Hatay Merkez'de DD1 ve DD 2' ye göre seçilen deprem kayıtlarının ivme spektrumları



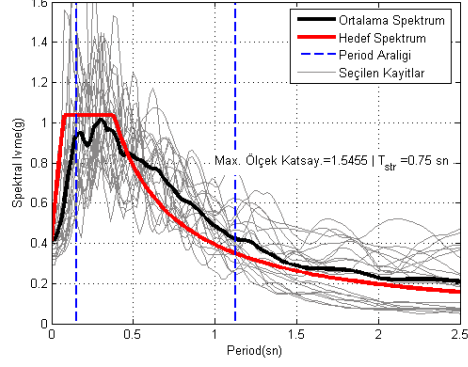
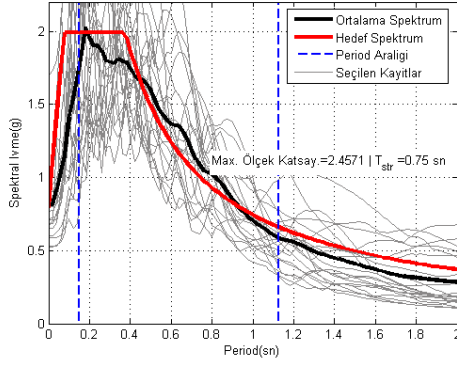
Şekil B.50 : PFN_6_1 Modeli için 1.derece DB ve ZC zemin sınıfı için İstanbul Kadıköy'de DD1 ve DD 2' ye göre seçilen deprem kayıtlarının ivme spektrumları



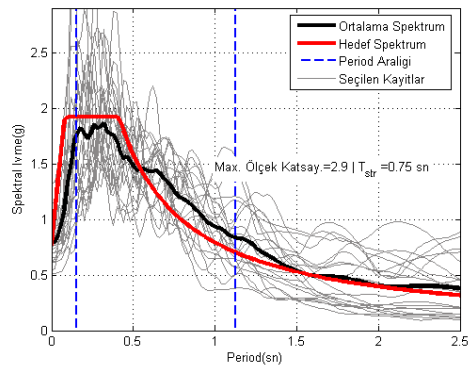
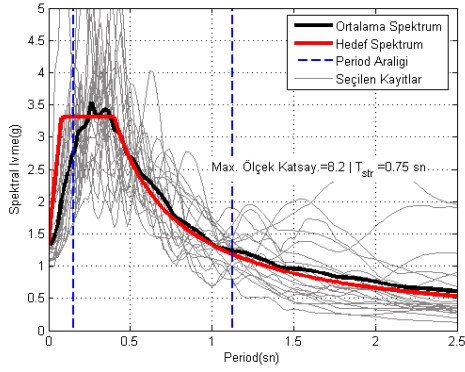
Şekil B.51 : PFN_6_1 Modeli için 1.derece DB ve ZC zemin sınıfı için İzmir Merkez'de DD1 ve DD 2' ye göre seçilen deprem kayıtlarının ivme spektrumları



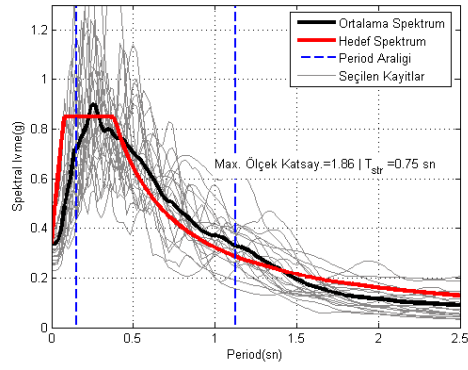
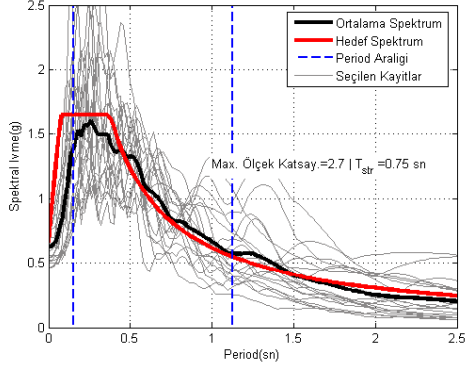
Şekil B.52 : PFN_6_1 Modeli için 1.derece DB ve ZC zemin sınıfı için Kırşehir Merkez'de DD1 ve DD 2' ye göre seçilen deprem kayıtlarının ivme spektrumları



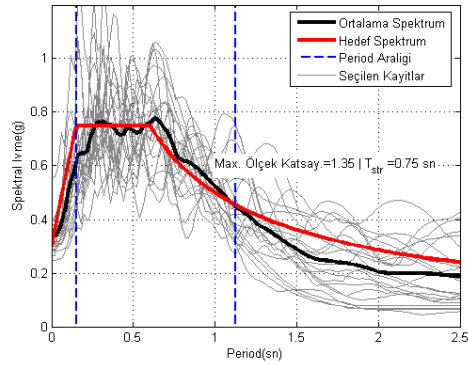
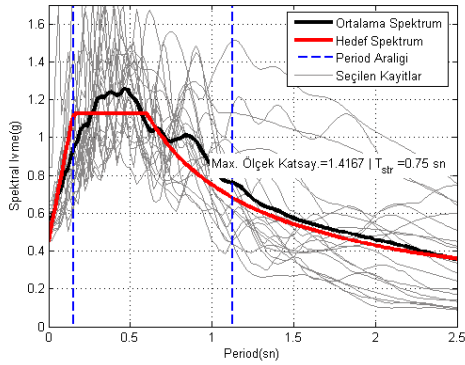
Şekil B.53 : PFN_6_1 Modeli için 1.derece DB ve ZC zemin sınıfı için Muğla Merkez’de DD1 ve DD 2’ ye göre seçilen deprem kayıtlarının ivme spektrumları



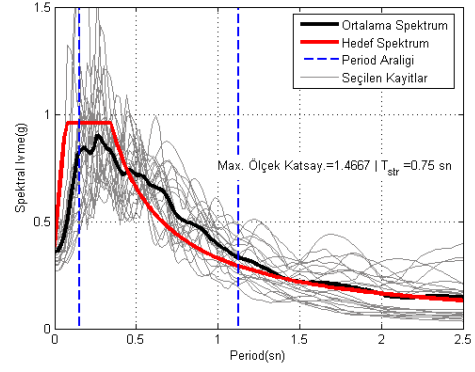
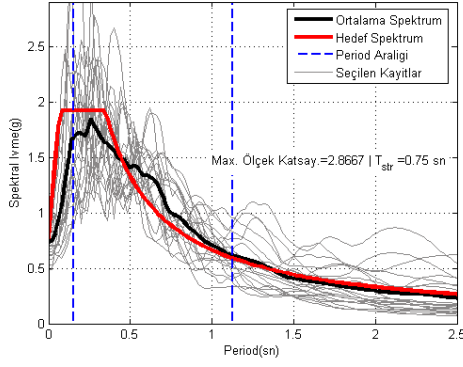
Şekil B.54 : PFN_6_1 Modeli için 1.derece DB ve ZC zemin sınıfı için Sakarya Merkez’de DD1 ve DD 2’ ye göre seçilen deprem kayıtlarının ivme spektrumları



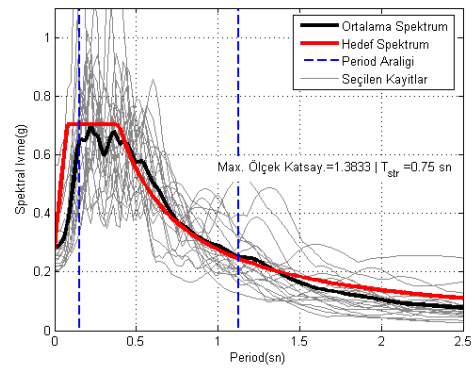
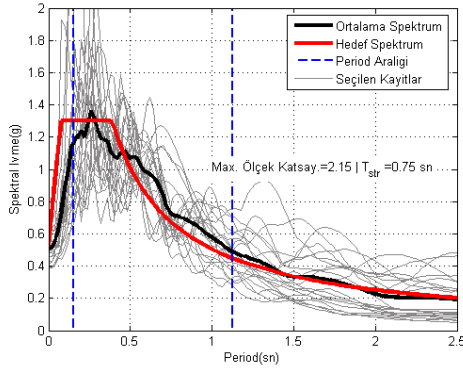
Şekil B.55 : PFN_6_1 Modeli için 1.derece DB ve ZC zemin sınıfı için Van Erciş’de DD1 ve DD 2’ ye göre seçilen deprem kayıtlarının ivme spektrumları



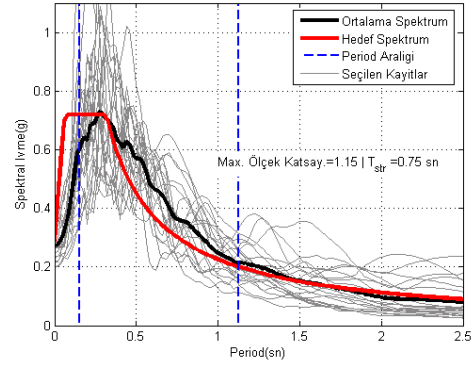
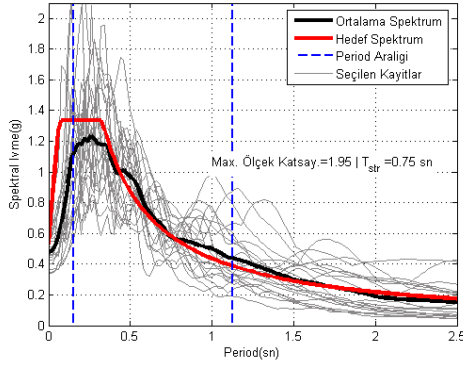
Şekil B.56 : PFN_6_1 Modeli için 2. derece DB, ve ZC zemin sınıfı için DBYYHY 2007’ye göre DD 1 ve DD 2 için seçilen deprem kayıtlarının ivme spektrumları



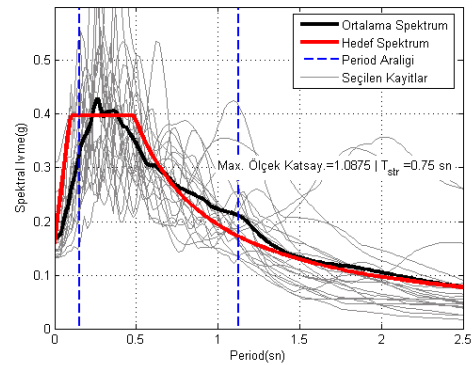
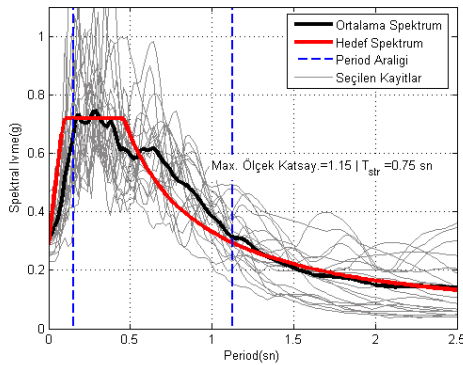
Şekil B.57 : PFN_6_1 Modeli için 2.derece DB ve ZC zemin sınıfı için Afyon Merkez'de DD1 ve DD 2' ye göre seçilen deprem kayıtlarının ivme spektrumları



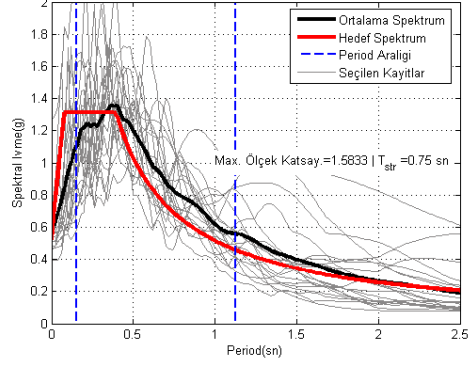
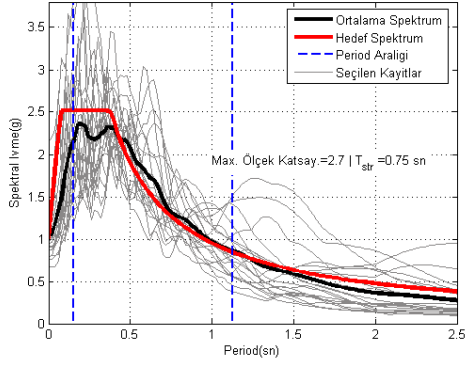
Şekil B.58 : PFN_6_1 Modeli için 2.derece DB ve ZC zemin sınıfı için Ağrı Merkez'de DD1 ve DD 2' ye göre seçilen deprem kayıtlarının ivme spektrumları



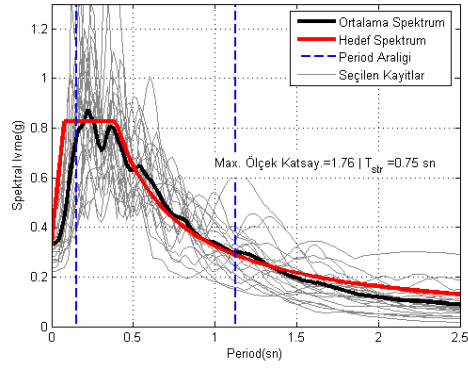
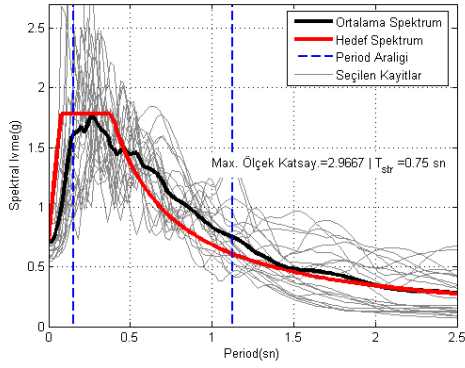
Şekil B.59 : PFN_6_1 Modeli için 2.derece DB ve ZC zemin sınıfı için Antalya Merkez'de DD1 ve DD 2' ye göre seçilen deprem kayıtlarının ivme spektrumları



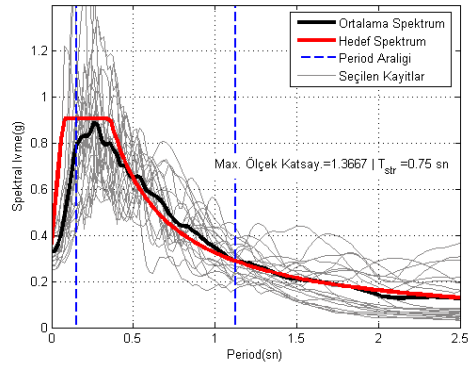
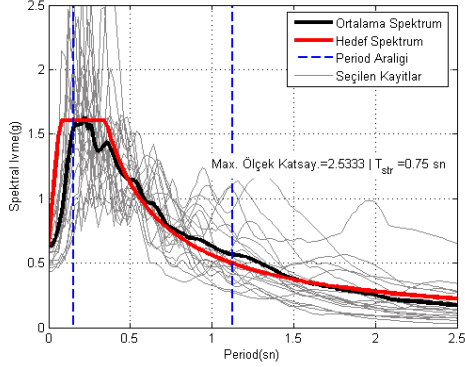
Şekil B.60 : PFN_6_1 Modeli için 2.derece DB ve ZC zemin sınıfı için Diyarbakır Merkez'de DD1 ve DD 2' ye göre seçilen deprem kayıtlarının ivme spektrumları



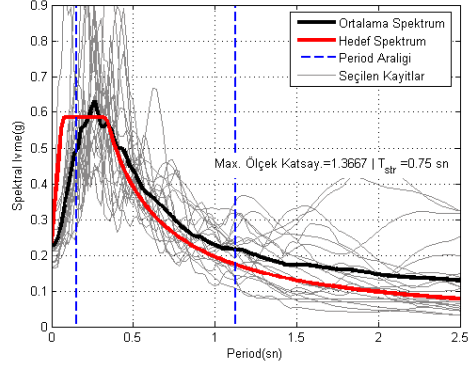
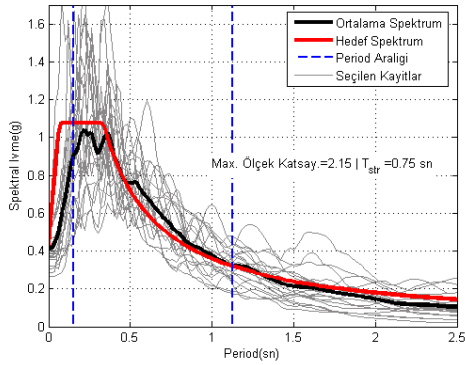
Şekil B.61 : PFN_6_1 Modeli için 2.derece DB ve ZC zemin sınıfı için Erzurum Merkez'de DD1 ve DD 2' ye göre seçilen deprem kayıtlarının ivme spektrumları



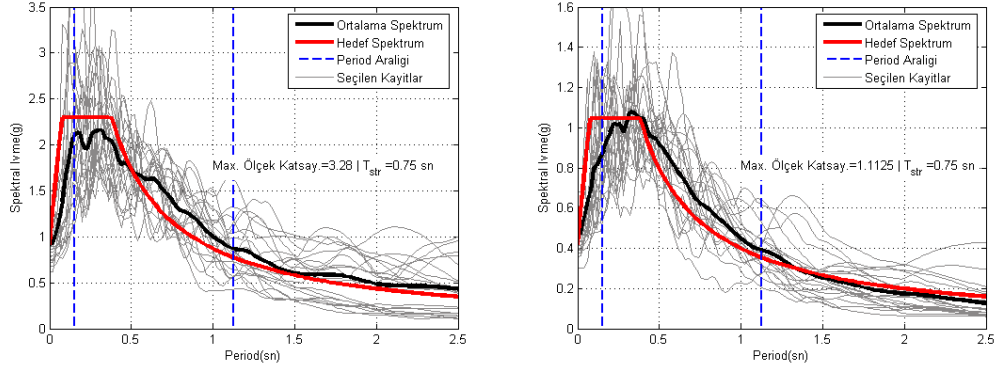
Şekil B.62 : PFN_6_1 Modeli için 2.derece DB ve ZC zemin sınıfı için Eskişehir Merkez'de DD1 ve DD 2' ye göre seçilen deprem kayıtlarının ivme spektrumları



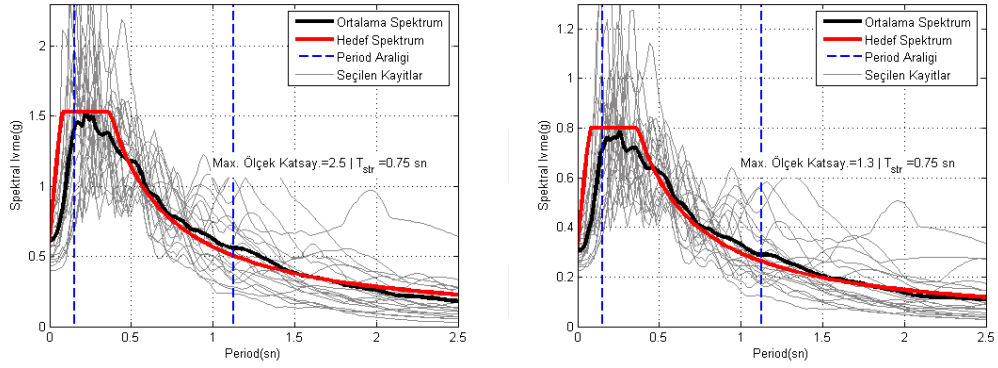
Şekil B.63 : PFN_6_1 Modeli için 2.derece DB ve ZC zemin sınıfı için İstanbul Levent'de DD1 ve DD 2' ye göre seçilen deprem kayıtlarının ivme spektrumları



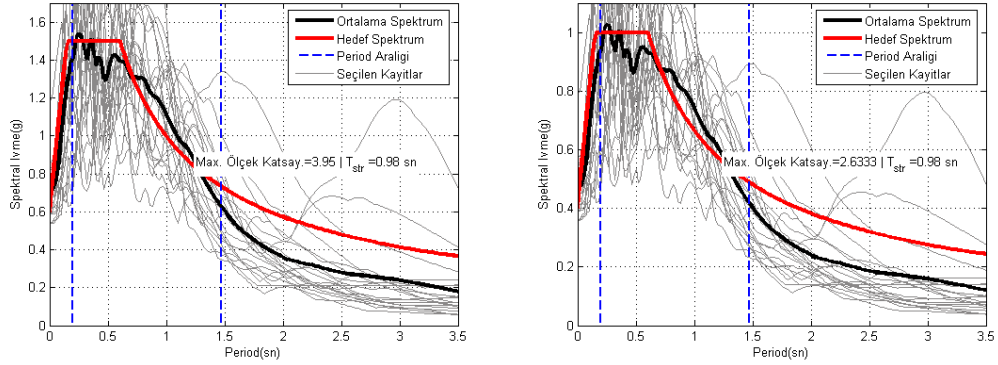
Şekil B.64 : PFN_6_1 Modeli için 2.derece DB ve ZC zemin sınıfı için Kars Merkez'de DD1 ve DD 2' ye göre seçilen deprem kayıtlarının ivme spektrumları



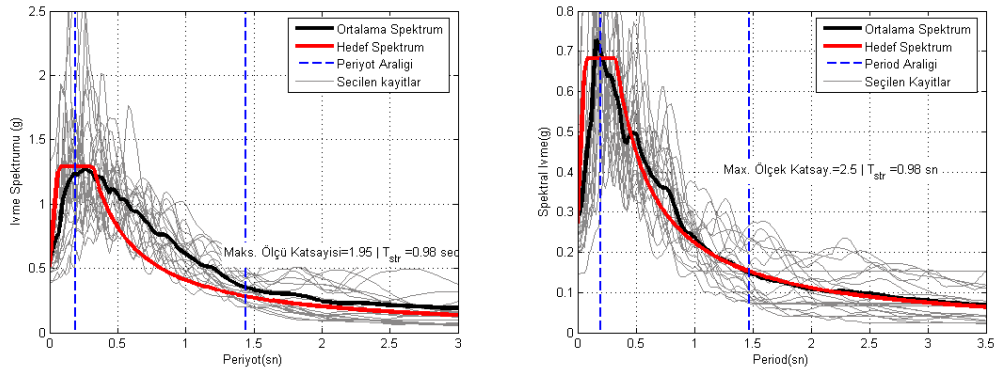
Şekil B.65 : PFN_6_1 Modeli için 2.derece DB ve ZC zemin sınıfı için Kütahya Merkez’de DD1 ve DD 2’ ye göre seçilen deprem kayıtlarının ivme spektrumları



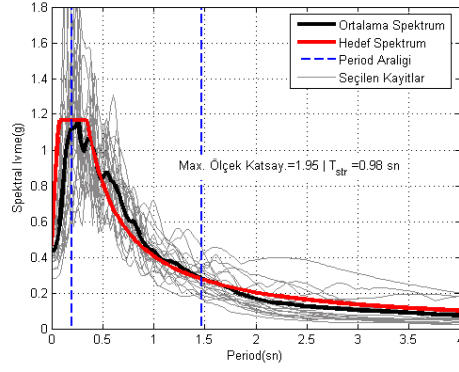
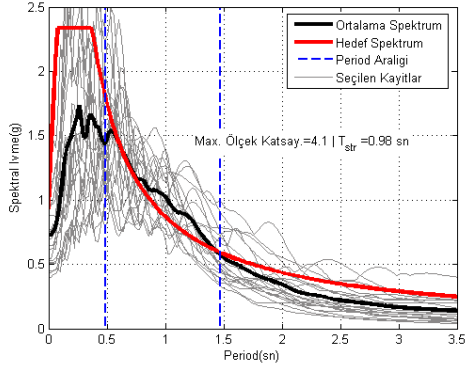
Şekil B.66 : PFN_6_1 Modeli için 2.derece DB ve ZC zemin sınıfı için Van Merkez’de DD1 ve DD 2’ ye göre seçilen deprem kayıtlarının ivme spektrumları



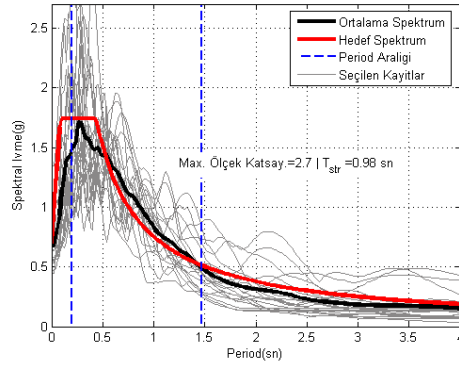
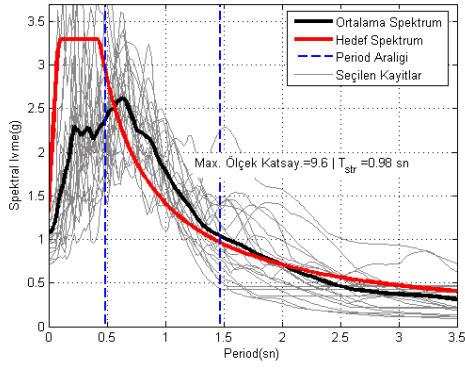
Şekil B.67 : PFN_8_2 Modeli için 1. derece DB, ve ZC zemin sınıfı için DBYYHY 2007’ye göre DD 1 ve DD 2 için seçilen deprem kayıtlarının ivme spektrumları



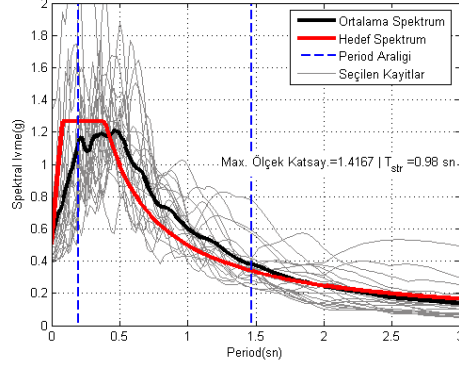
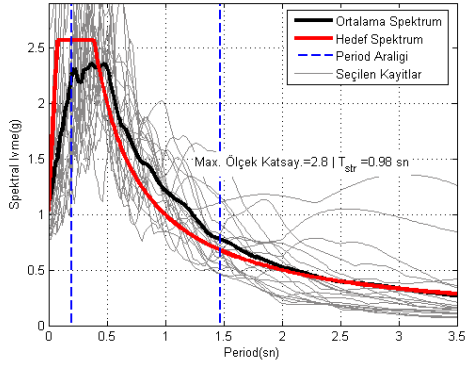
Şekil B.68 : PFN_8_2 Modeli için 1.derece DB ve ZC zemin sınıfı için Bartın Merkez’de DD1 ve DD 2’ ye göre seçilen deprem kayıtlarının ivme spektrumları



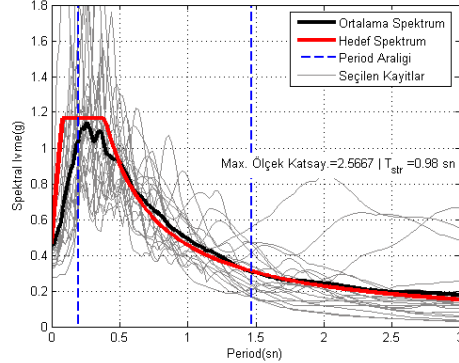
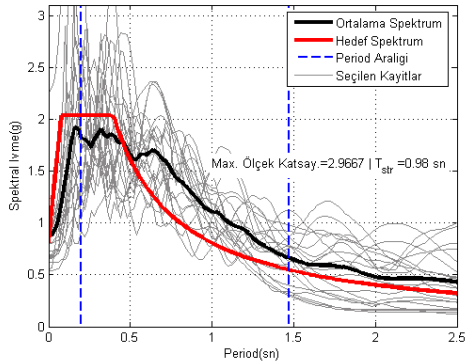
Şekil B.69 : PFN_8_2 Modeli için 1.derece DB ve ZC zemin sınıfı için Burdur Merkez'de DD1 ve DD 2' ye göre seçilen deprem kayıtlarının ivme spektrumları



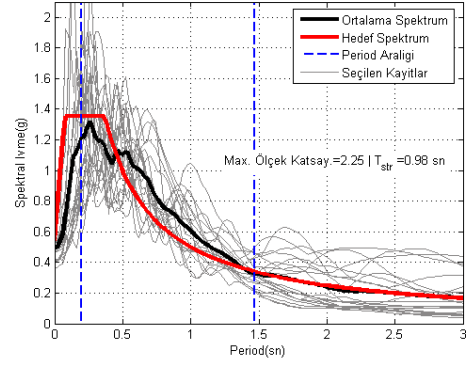
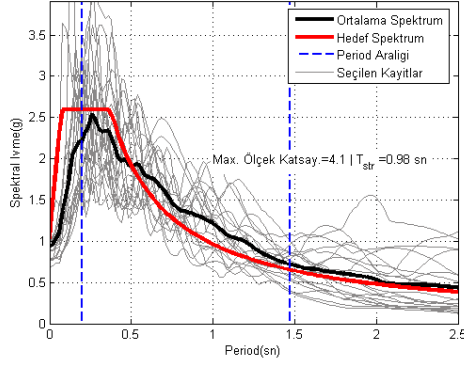
Şekil B.70 : PFN_8_2 Modeli için 1.derece DB ve ZC zemin sınıfı için Erzincan Merkez'de DD1 ve DD 2' ye göre seçilen deprem kayıtlarının ivme spektrumları



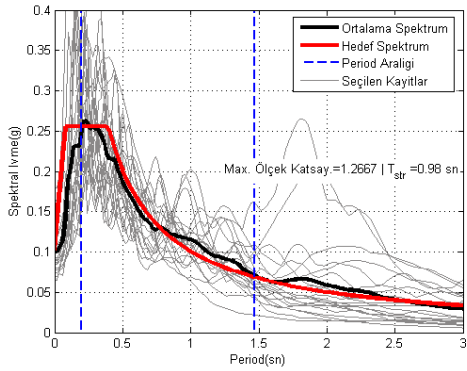
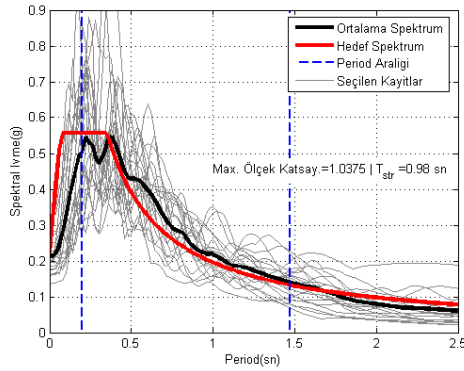
Şekil B.71 : PFN_8_2 Modeli için 1.derece DB ve ZC zemin sınıfı için Hatay Merkez'de DD1 ve DD 2' ye göre seçilen deprem kayıtlarının ivme spektrumları



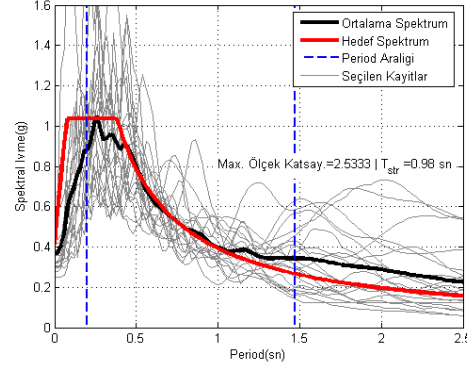
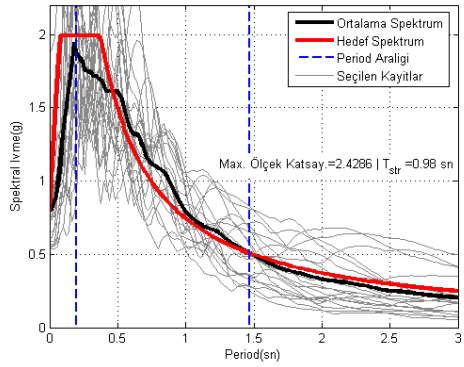
Şekil B.72 : PFN_8_2 Modeli için 1.derece DB ve ZC zemin sınıfı için İstanbul Kadıköy'de DD1 ve DD 2' ye göre seçilen deprem kayıtlarının ivme spektrumları



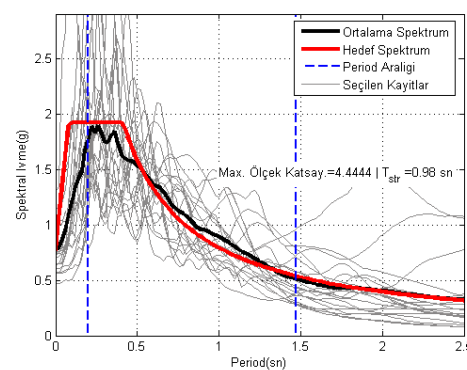
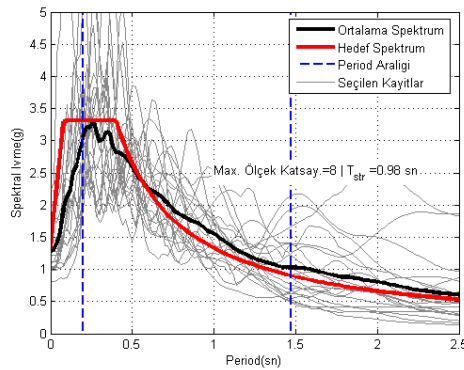
Şekil B.73 : PFN_8_2 Modeli için 1.derece DB ve ZC zemin sınıfı için İzmir Merkez'de DD1 ve DD 2' ye göre seçilen deprem kayıtlarının ivme spektrumları



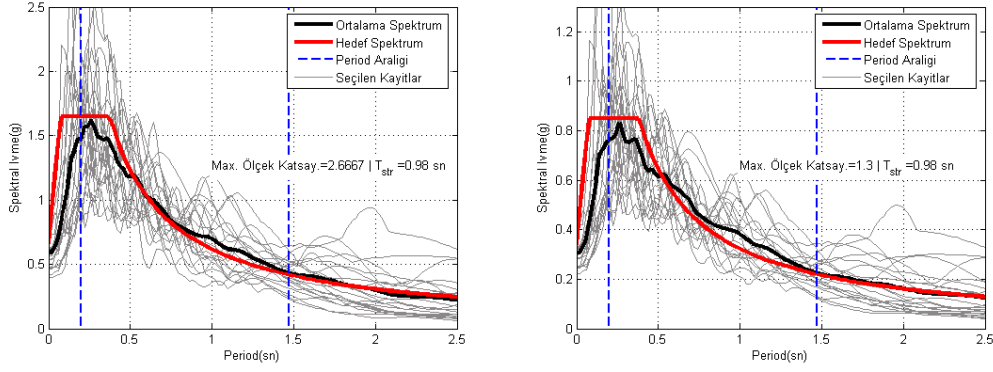
Şekil B.74 : PFN_8_2 Modeli için 1.derece DB ve ZC zemin sınıfı için Kırşehir Merkez'de DD1 ve DD 2' ye göre seçilen deprem kayıtlarının ivme spektrumları



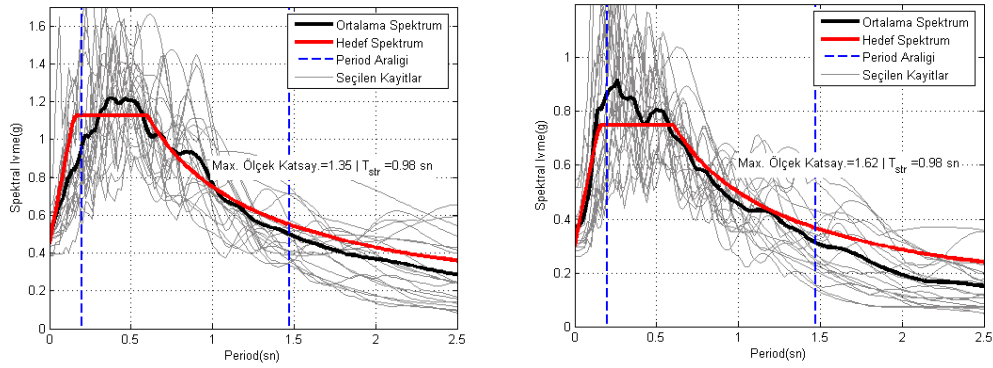
Şekil B.75 : PFN_8_2 Modeli için 1.derece DB ve ZC zemin sınıfı için Muğla Merkez'de DD1 ve DD 2' ye göre seçilen deprem kayıtlarının ivme spektrumları



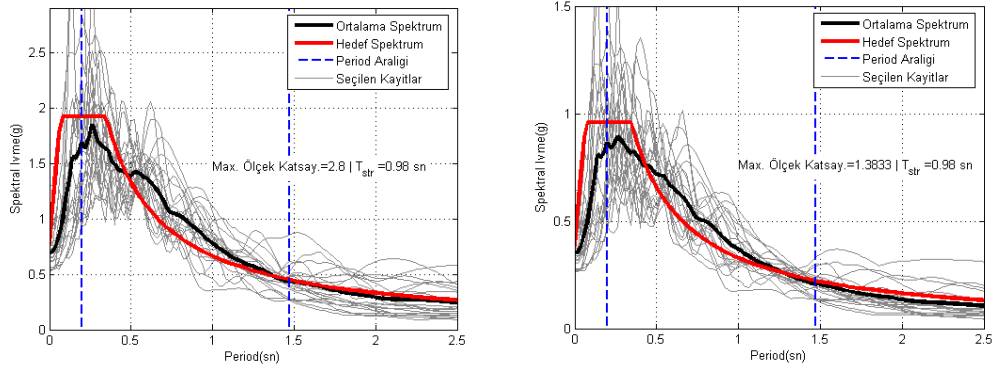
Şekil B.76 : PFN_8_2 Modeli için 1.derece DB ve ZC zemin sınıfı için Sakarya Merkez'de DD1 ve DD 2' ye göre seçilen deprem kayıtlarının ivme spektrumları



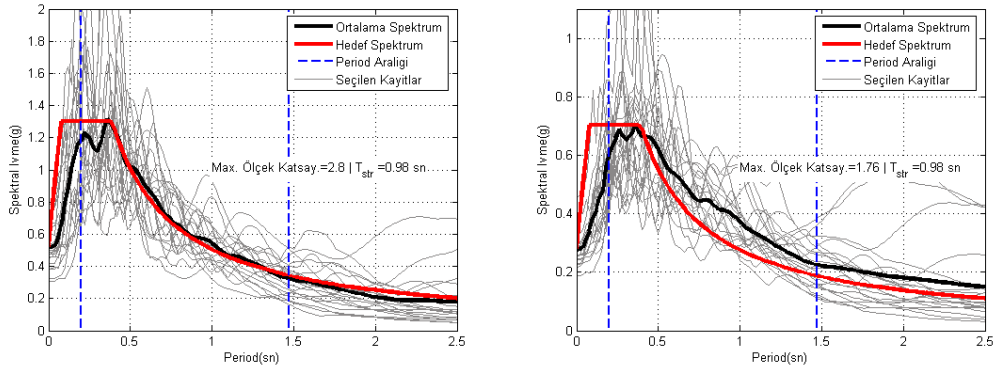
Şekil B.77: PFN_8_2 Modeli için 1.derece DB ve ZC zemin sınıfı için Van Erçiş’de DD1 ve DD 2’ ye göre seçilen deprem kayıtlarının ivme spektrumları



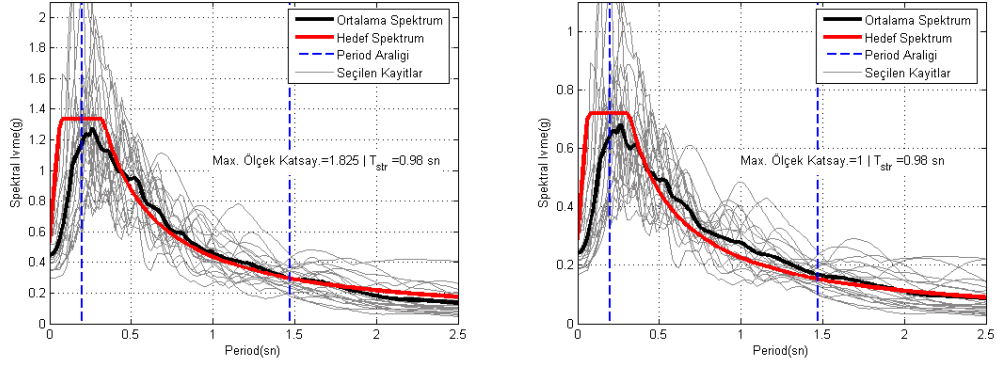
Şekil B.78 : PFN_8_2 Modeli için 2. derece DB, ve ZC zemin sınıfı için DBYYHY 2007’ye göre DD 1 ve DD 2 için seçilen deprem kayıtlarının ivme spektrumları



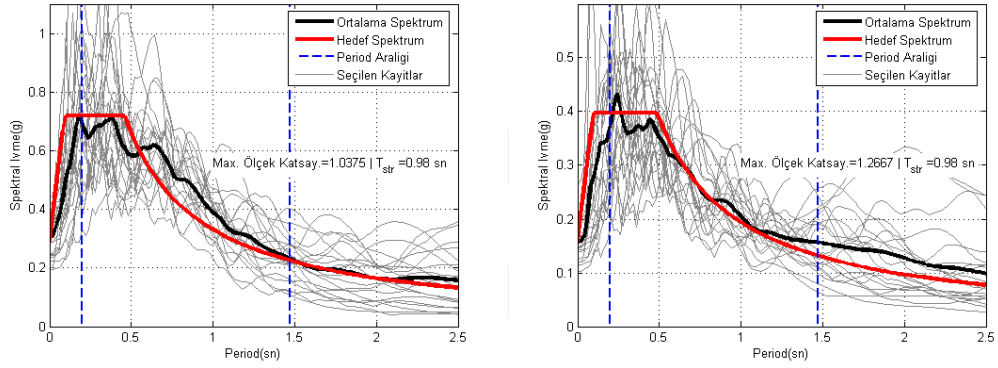
Şekil B.79 : PFN_8_2 Modeli için 2.derece DB ve ZC zemin sınıfı için Afyon Merkez’de DD1 ve DD 2’ ye göre seçilen deprem kayıtlarının ivme spektrumları



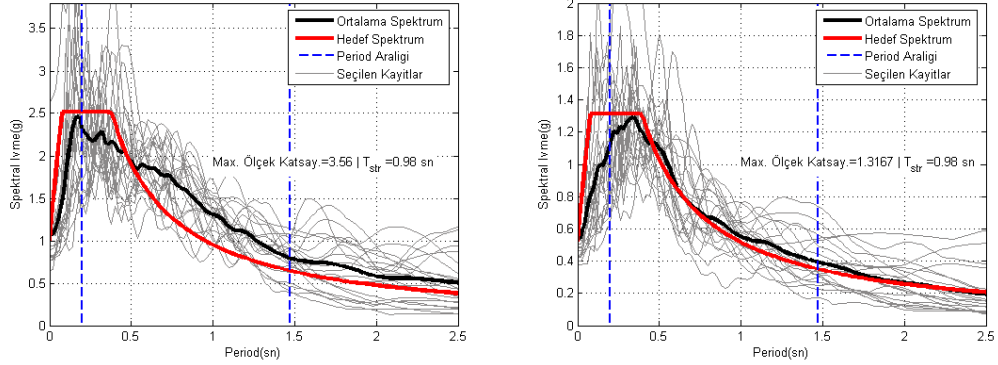
Şekil B.80 : PFN_8_2 Modeli için 2.derece DB ve ZC zemin sınıfı için Ağrı Merkez’de DD1 ve DD 2’ ye göre seçilen deprem kayıtlarının ivme spektrumları



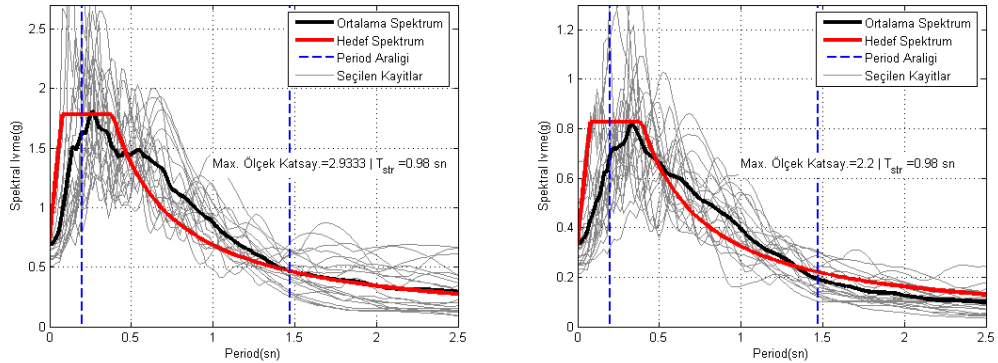
Şekil B.81 : PFN_8_2 Modeli için 2.derece DB ve ZC zemin sınıfı için Antalya Merkez'de DD1 ve DD 2' ye göre seçilen deprem kayıtlarının ivme spektrumları



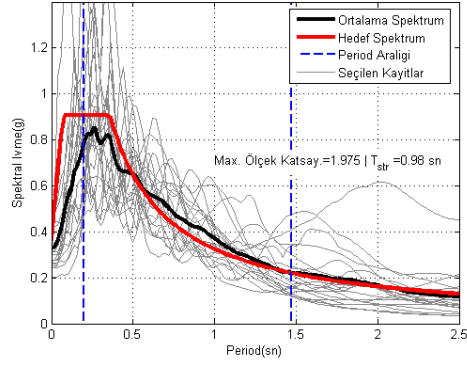
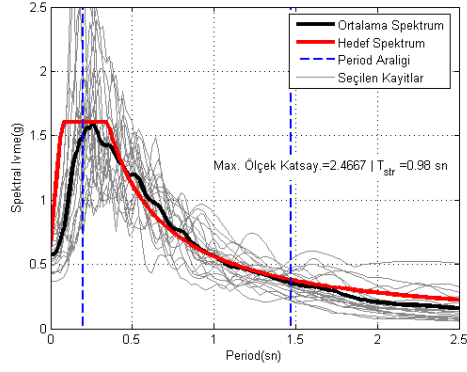
Şekil B.82 : PFN_8_2 Modeli için 2.derece DB ve ZC zemin sınıfı için Diyarbakır Merkez'de DD1 ve DD 2' ye göre seçilen deprem kayıtlarının ivme spektrumları



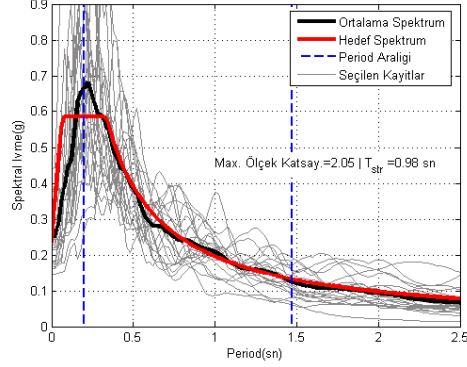
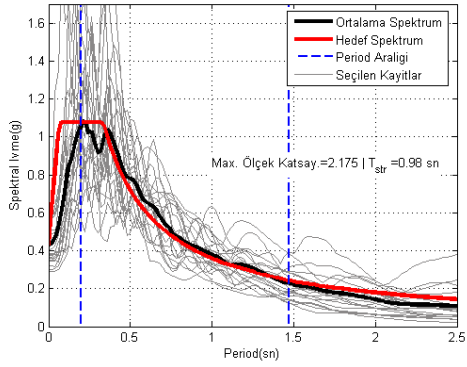
Şekil B.83 : PFN_8_2 Modeli için 2.derece DB ve ZC zemin sınıfı için Erzurum Merkez'de DD1 ve DD 2' ye göre seçilen deprem kayıtlarının ivme spektrumları



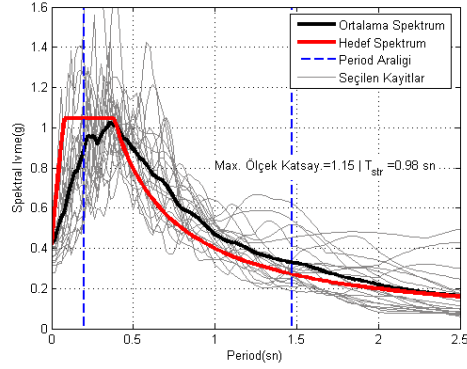
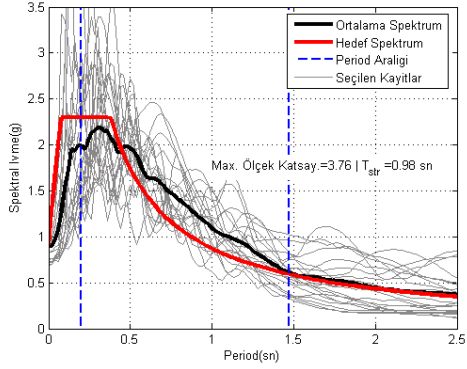
Şekil B.84 : PFN_8_2 Modeli için 2.derece DB ve ZC zemin sınıfı için Eskişehir Merkez'de DD1 ve DD 2' ye göre seçilen deprem kayıtlarının ivme spektrumları



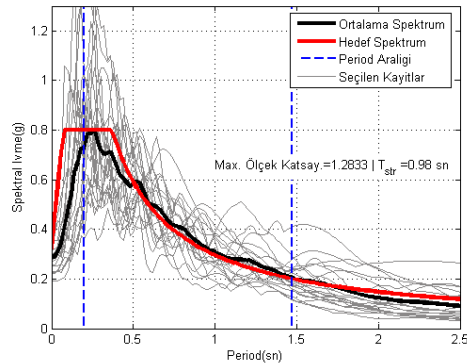
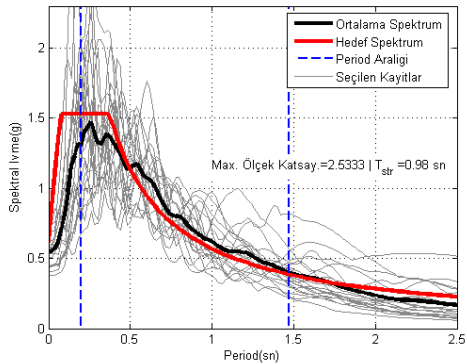
Şekil B.85 : PFN_8_2 Modeli için 2.derece DB ve ZC zemin sınıfı için İstanbul Levent’de DD1 ve DD 2’ ye göre seçilen deprem kayıtlarının ivme spektrumları



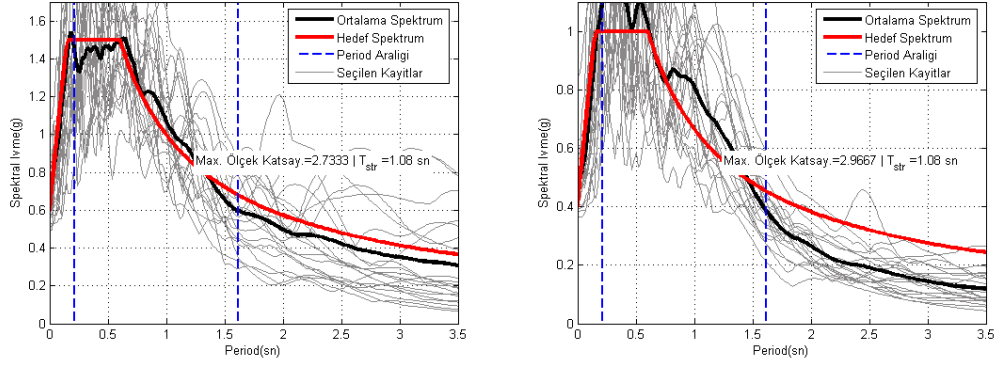
Şekil B.86 : PFN_8_2 Modeli için 2.derece DB ve ZC zemin sınıfı için Kars Merkez’de DD1 ve DD 2’ ye göre seçilen deprem kayıtlarının ivme spektrumları



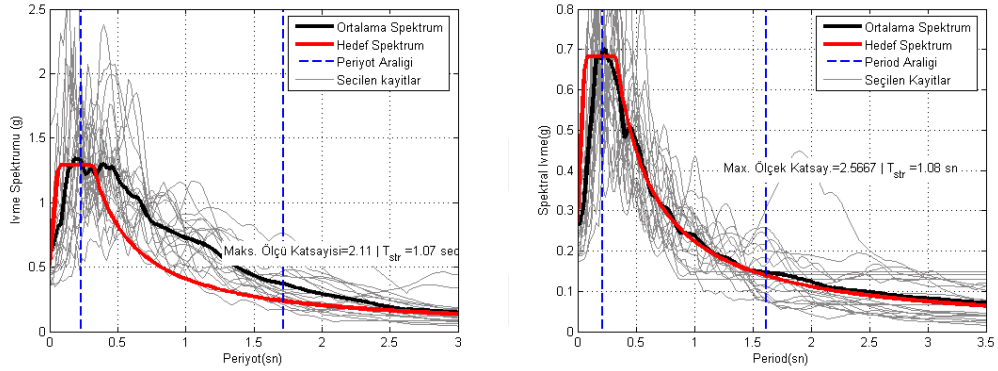
Şekil B.87 : PFN_8_2 Modeli için 2.derece DB ve ZC zemin sınıfı için Kütahya Merkez’de DD1 ve DD 2’ ye göre seçilen deprem kayıtlarının ivme spektrumları



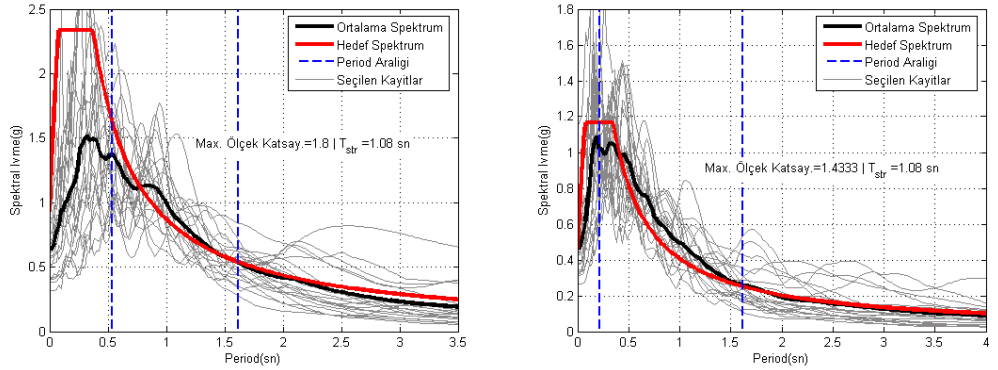
Şekil B.88 : PFN_8_2 Modeli için 2.derece DB ve ZC zemin sınıfı için Van Merkez’de DD1 ve DD 2’ ye göre seçilen deprem kayıtlarının ivme spektrumları



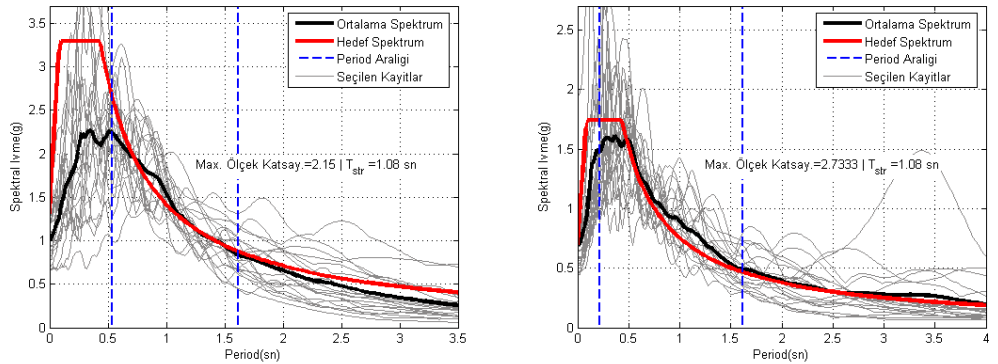
Şekil B.89 : Prefabrik Yapı Modeli için 1. derece DB, ve ZC zemin sınıfı için DBYYHY 2007'ye göre DD 1 ve DD 2 için seçilen deprem kayıtlarının ivme spektrumları



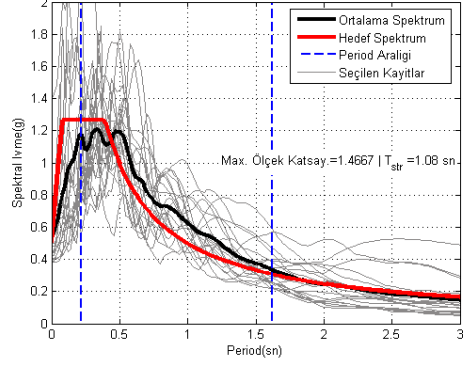
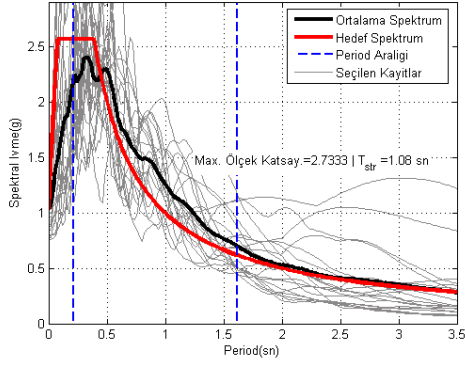
Şekil B.90 : Prefabrik Yapı Modeli için 1.derece DB ve ZC zemin sınıfı için Bartın Merkez'de DD1 ve DD 2' ye göre seçilen deprem kayıtlarının ivme spektrumları



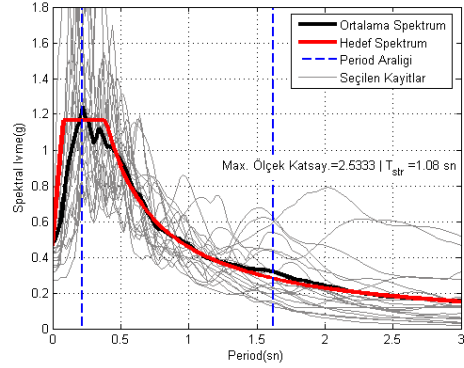
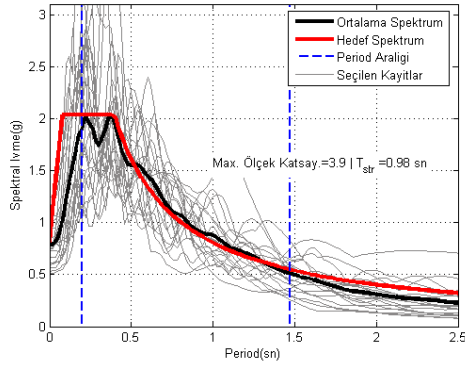
Şekil B.91 : Prefabrik Yapı Modeli için 1.derece DB ve ZC zemin sınıfı için Burdur Merkez'de DD1 ve DD 2' ye göre seçilen deprem kayıtlarının ivme spektrumları



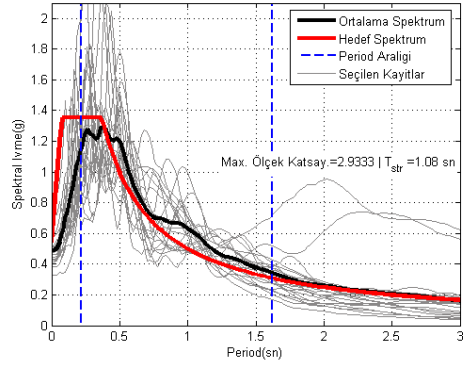
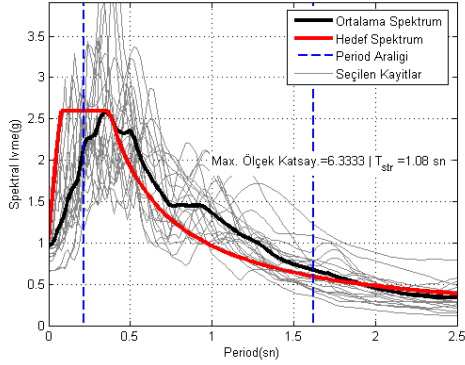
Şekil B.92 : Prefabrik Yapı Modeli için 1.derece DB ve ZC zemin sınıfı için Erzurum Merkez'de DD1 ve DD 2' ye göre seçilen deprem kayıtlarının ivme spektrumları



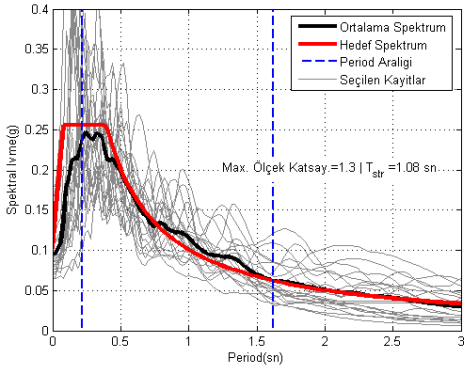
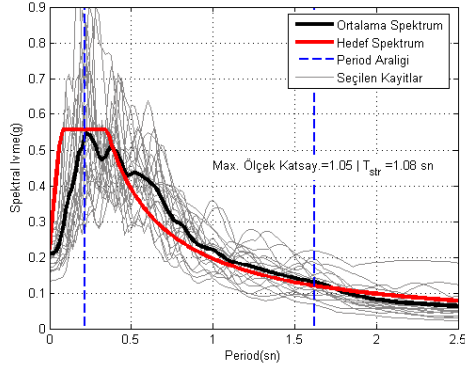
Şekil B.93 : Prefabrik Yapı Modeli için 1.derece DB ve ZC zemin sınıfı için Hatay Merkez'de DD1 ve DD 2' ye göre seçilen deprem kayıtlarının ivme spektrumları



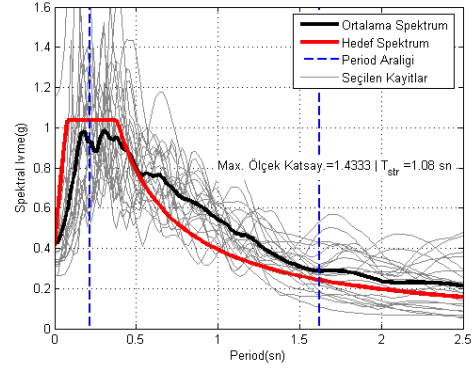
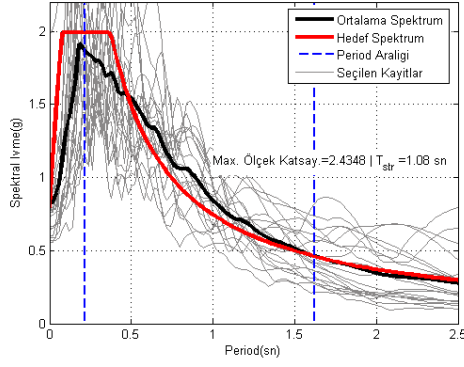
Şekil B.94 : Prefabrik Yapı Modeli için 1.derece DB ve ZC zemin sınıfı için İstanbul Kadıköy'de DD1 ve DD 2' ye göre seçilen deprem kayıtlarının ivme spektrumları



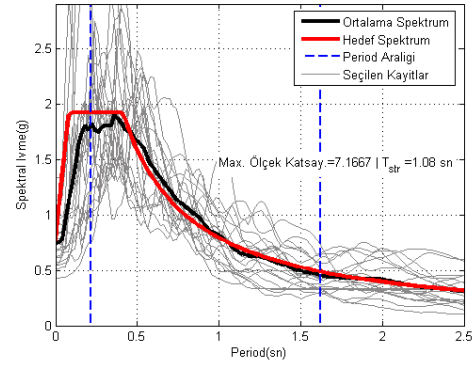
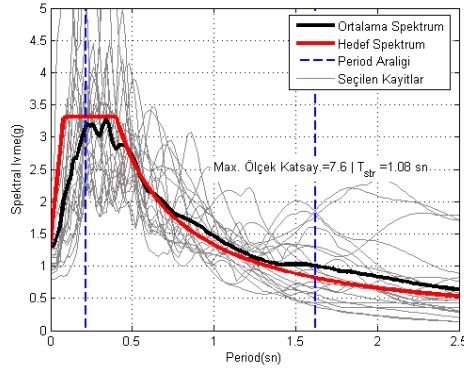
Şekil B.95 : Prefabrik Yapı Modeli için 1.derece DB ve ZC zemin sınıfı için İzmir Merkez'de DD1 ve DD 2' ye göre seçilen deprem kayıtlarının ivme spektrumları



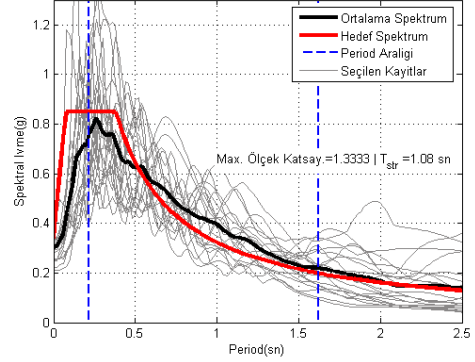
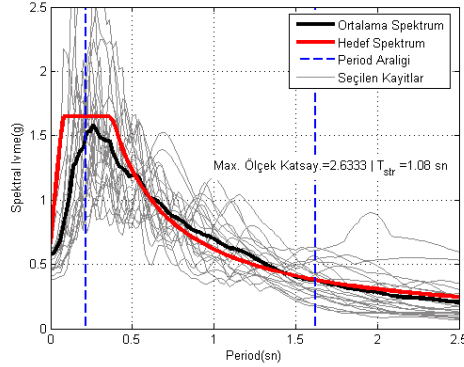
Şekil B.96 : Prefabrik Yapı Modeli için 1.derece DB ve ZC zemin sınıfı için Kırşehir Merkez'de DD1 ve DD 2' ye göre seçilen deprem kayıtlarının ivme spektrumları



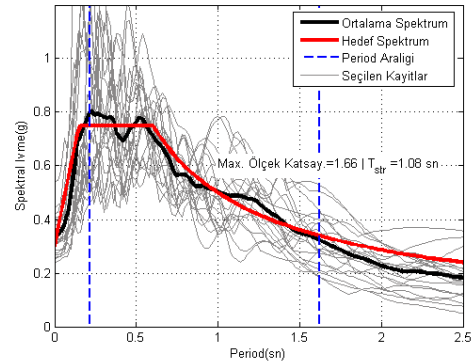
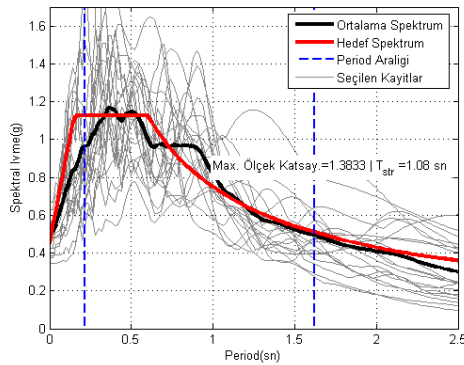
Şekil B.97 : Prefabrik Yapı Modeli için 1.derece DB ve ZC zemin sınıfı için Muğla Merkez'de DD1 ve DD 2' ye göre seçilen deprem kayıtlarının ivme spektrumları



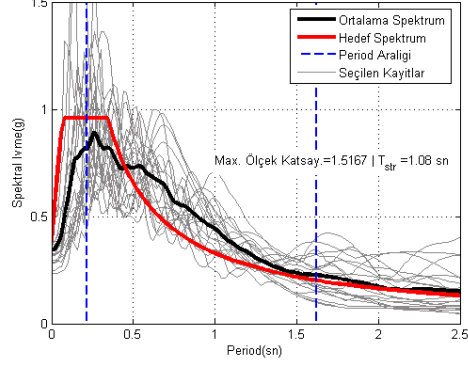
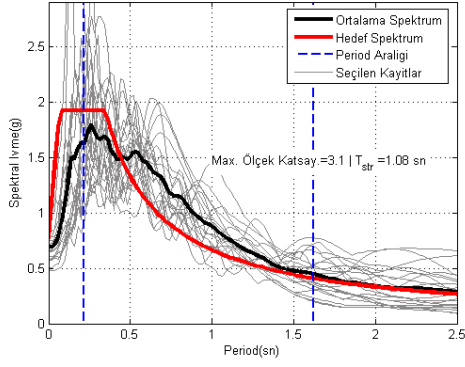
Şekil B.98 : Prefabrik Yapı Modeli için 1.derece DB ve ZC zemin sınıfı için Sakarya Merkez'de DD1 ve DD 2' ye göre seçilen deprem kayıtlarının ivme spektrumları



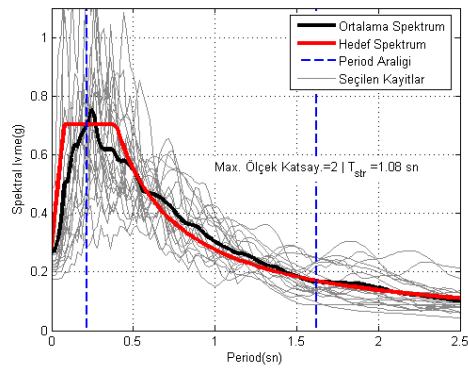
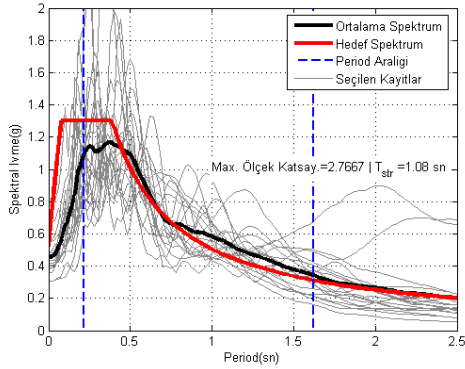
Şekil B.99 : Prefabrik Yapı Modeli için 1.derece DB ve ZC zemin sınıfı için Van Erciş'de DD1 ve DD 2' ye göre seçilen deprem kayıtlarının ivme spektrumları



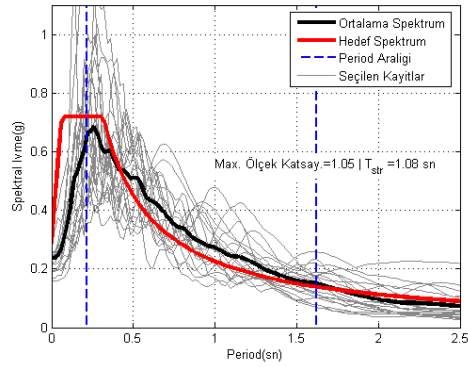
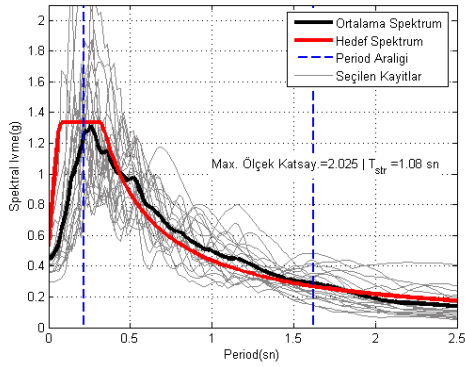
Şekil B.100 : Prefabrik Yapı Modeli için 2. derece DB, ve ZC zemin sınıfı için DBYYHY 2007'ye göre DD 1 ve DD 2 için seçilen deprem kayıtlarının ivme spektrumları



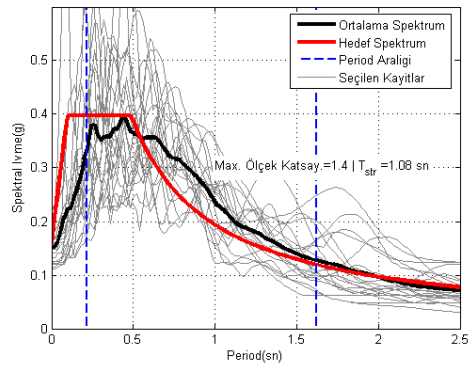
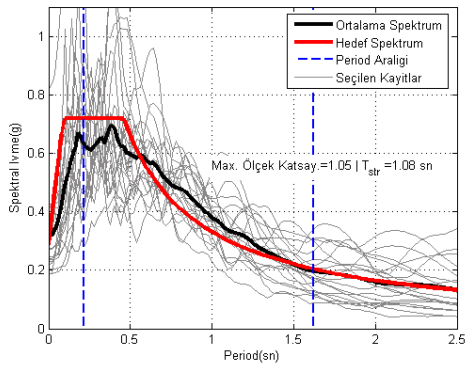
Şekil B.101 : Prefabrik Yapı Modeli için 2.derece DB ve ZC zemin sınıfı için Afyon Merkez'de DD1 ve DD 2' ye göre seçilen deprem kayıtlarının ivme spektrumları



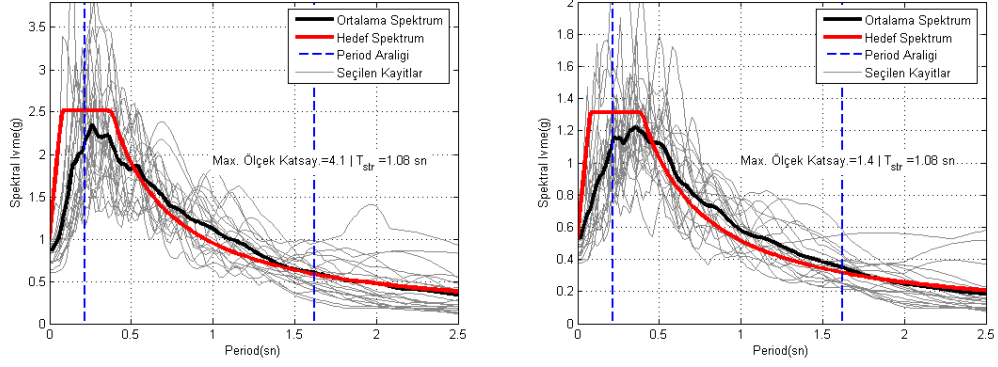
Şekil B.102 : Prefabrik Yapı Modeli için 2.derece DB ve ZC zemin sınıfı için Ağrı Merkez'de DD1 ve DD 2' ye göre seçilen deprem kayıtlarının ivme spektrumları



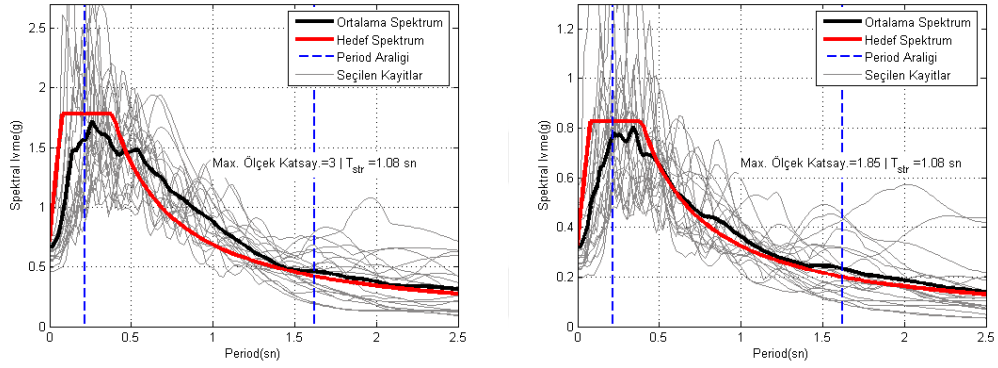
Şekil B.103 : Prefabrik Yapı Modeli için 2.derece DB ve ZC zemin sınıfı için Antalya Merkez'de DD1 ve DD 2' ye göre seçilen deprem kayıtlarının ivme spektrumları



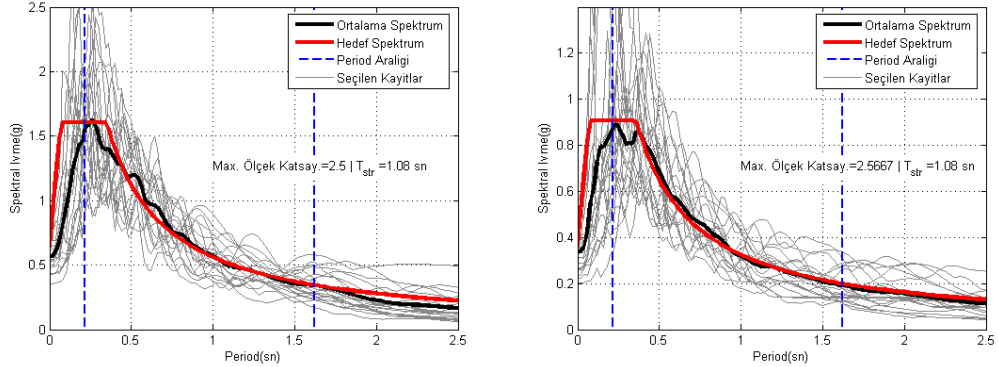
Şekil B.104 : Prefabrik Yapı Modeli için 2.derece DB ve ZC zemin sınıfı için Diyarbakır Merkez'de DD1 ve DD 2' ye göre seçilen deprem kayıtlarının ivme spektrumları



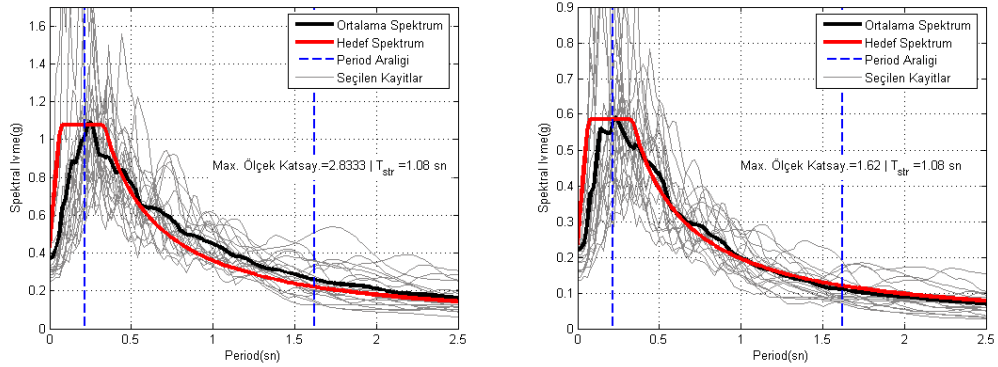
Şekil B.105 : Prefabrik Yapı Modeli için 2.derece DB ve ZC zemin sınıfı için Erzurum Merkez'de DD1 ve DD 2' ye göre seçilen deprem kayıtlarının ivme spektrumları



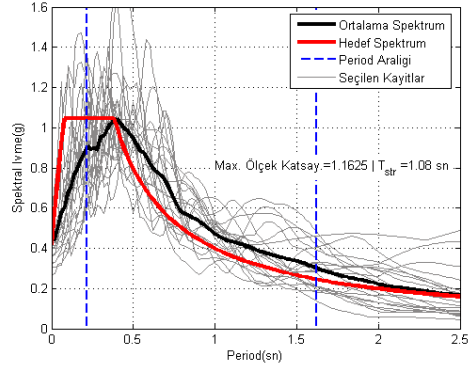
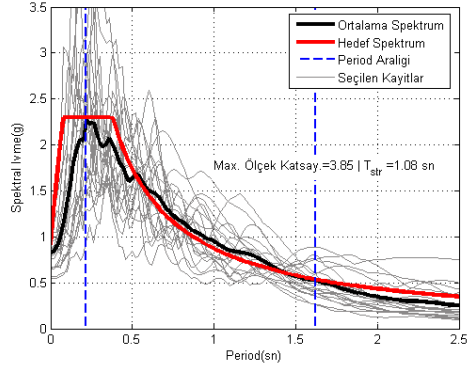
Şekil B.106 : Prefabrik Yapı Modeli için 2.derece DB ve ZC zemin sınıfı için Eskişehir Merkez'de DD1 ve DD 2' ye göre seçilen deprem kayıtlarının ivme spektrumları



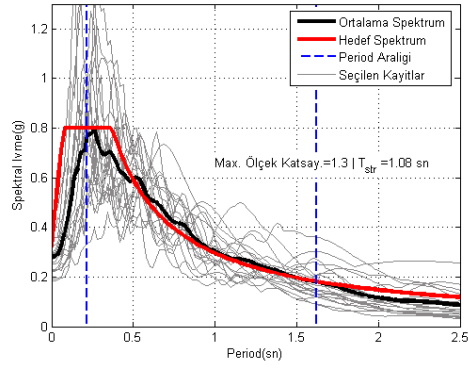
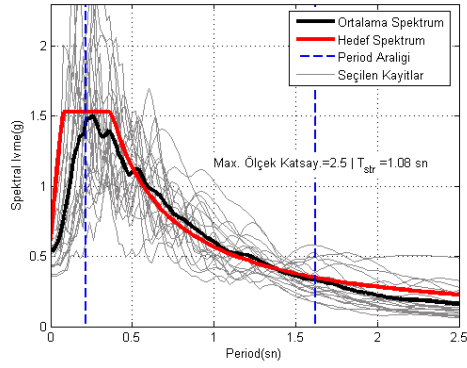
Şekil B.107 : Prefabrik Yapı Modeli için 2.derece DB ve ZC zemin sınıfı için İstanbul Levent'de DD1 ve DD 2' ye göre seçilen deprem kayıtlarının ivme spektrumları



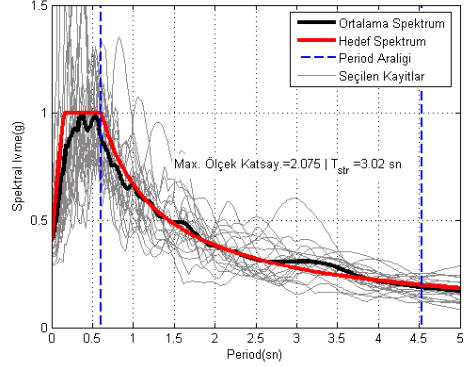
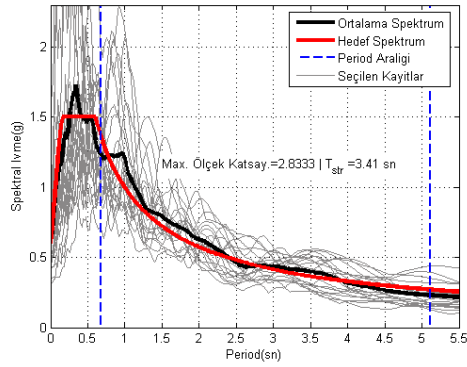
Şekil B.108 : Prefabrik Yapı Modeli için 2.derece DB ve ZC zemin sınıfı için Kars Merkez'de DD1 ve DD 2' ye göre seçilen deprem kayıtlarının ivme spektrumları



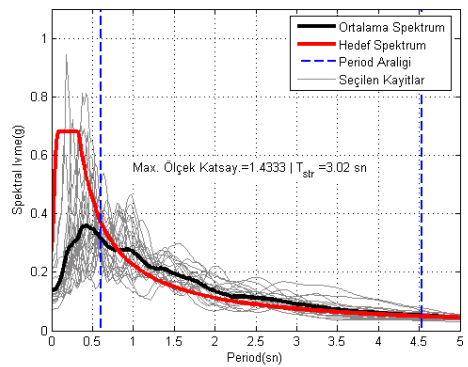
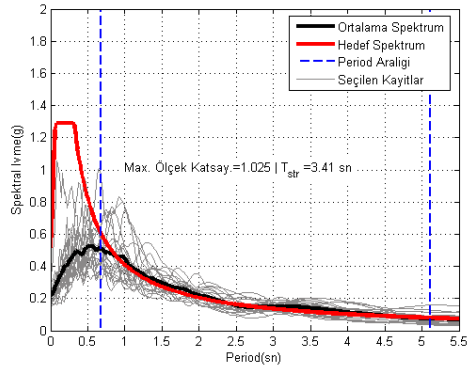
Şekil B.109 : Prefabrik Yapı Modeli için 2.derece DB ve ZC zemin sınıfı için Kütahya Merkez'de DD1 ve DD 2' ye göre seçilen deprem kayıtlarının ivme spektrumları



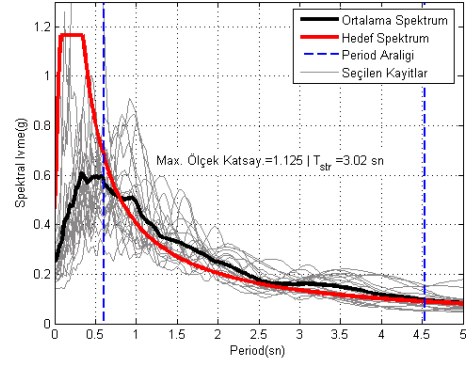
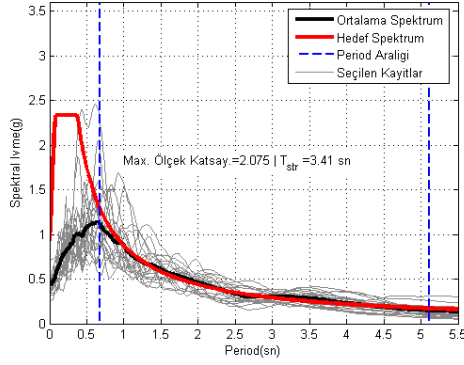
Şekil B.110 : Prefabrik Yapı Modeli için 2.derece DB ve ZC zemin sınıfı için Van Merkez'de DD1 ve DD 2' ye göre seçilen deprem kayıtlarının ivme spektrumları



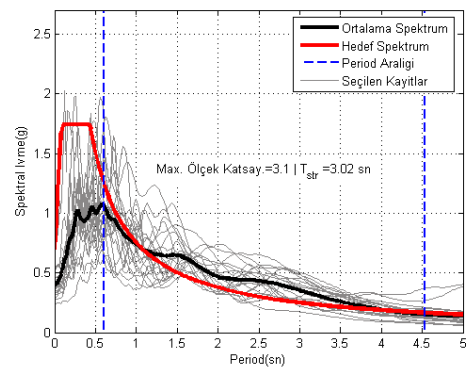
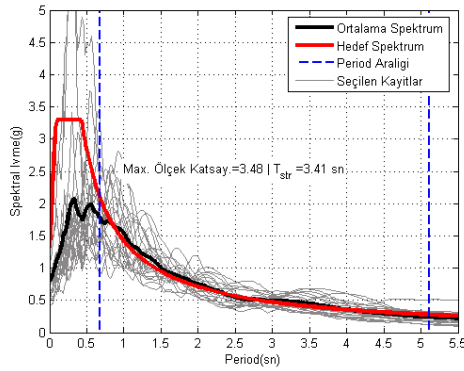
Şekil B.111 : Aydın Yapı Modeli için 1. derece DB, ve ZC zemin sınıfı için DBYYHY 2007'ye göre DD 1 ve DD 2 için seçilen deprem kayıtlarının ivme spektrumları



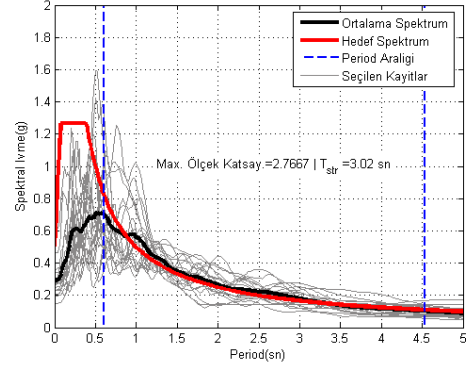
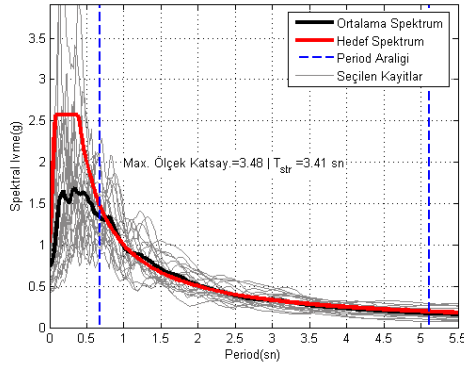
Şekil B.112 : Aydın Yapı Modeli için 1.derece DB ve ZC zemin sınıfı için Bartın Merkez'de DD1 ve DD 2' ye göre seçilen deprem kayıtlarının ivme spektrumları



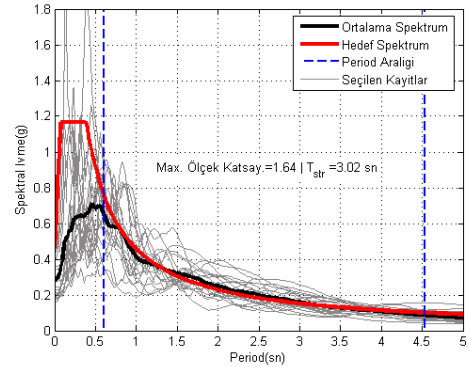
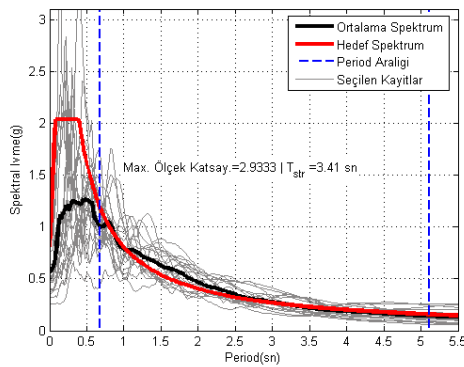
Şekil B.113 : Aydın Yapı Modeli için 1.derece DB ve ZC zemin sınıfı için Burdur Merkez'de DD1 ve DD 2' ye göre seçilen deprem kayıtlarının ivme spektrumları



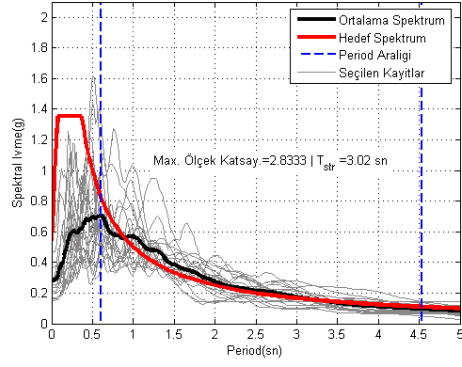
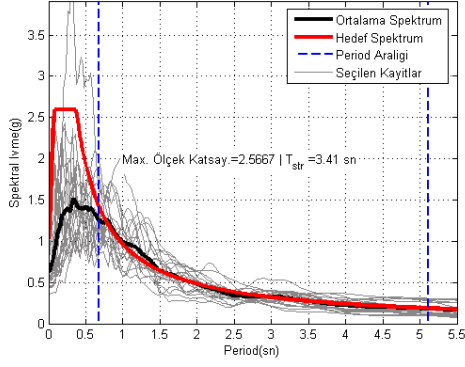
Şekil B.114 : Aydın Yapı Modeli için 1.derece DB ve ZC zemin sınıfı için Erzinan Merkez'de DD1 ve DD 2' ye göre seçilen deprem kayıtlarının ivme spektrumları



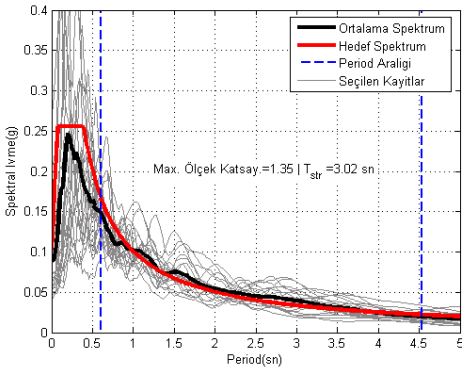
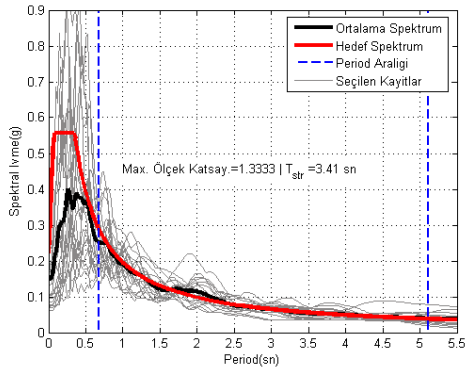
Şekil B.115 : Aydın Yapı Modeli için 1.derece DB ve ZC zemin sınıfı için Hatay Merkez'de DD1 ve DD 2' ye göre seçilen deprem kayıtlarının ivme spektrumları



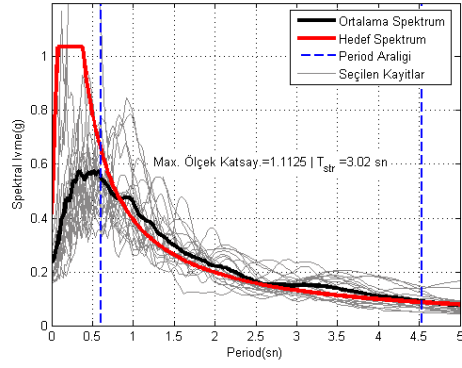
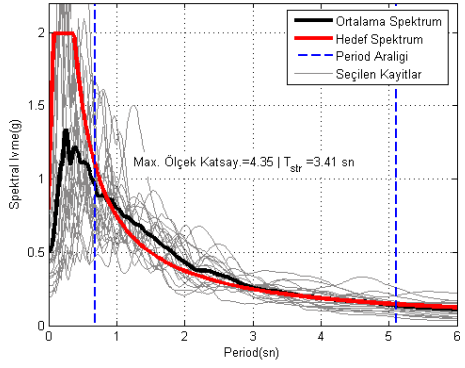
Şekil B.116 : Aydın Yapı Modeli için 1.derece DB ve ZC zemin sınıfı için İstanbul Kadıköy'de DD1 ve DD 2' ye göre seçilen deprem kayıtlarının ivme spektrumları



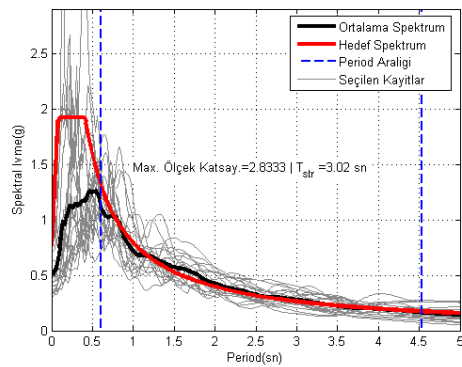
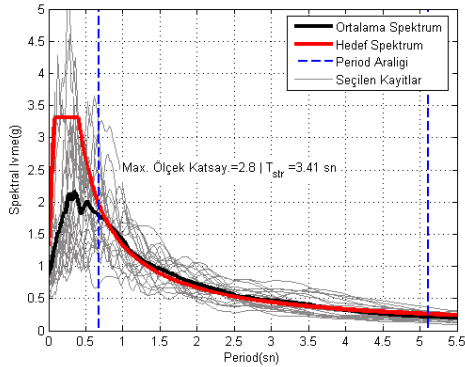
Şekil B.117 : Aydın Yapı Modeli için 1.derece DB ve ZC zemin sınıfı için İzmir Merkez'de DD1 ve DD 2' ye göre seçilen deprem kayıtlarının ivme spektrumları



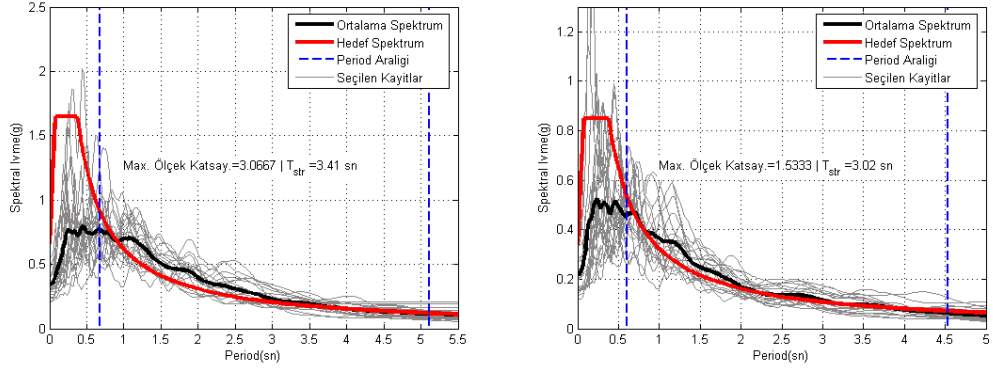
Şekil B.118 : Aydın Yapı Modeli için 1.derece DB ve ZC zemin sınıfı için Kırşehir Merkez'de DD1 ve DD 2' ye göre seçilen deprem kayıtlarının ivme spektrumları



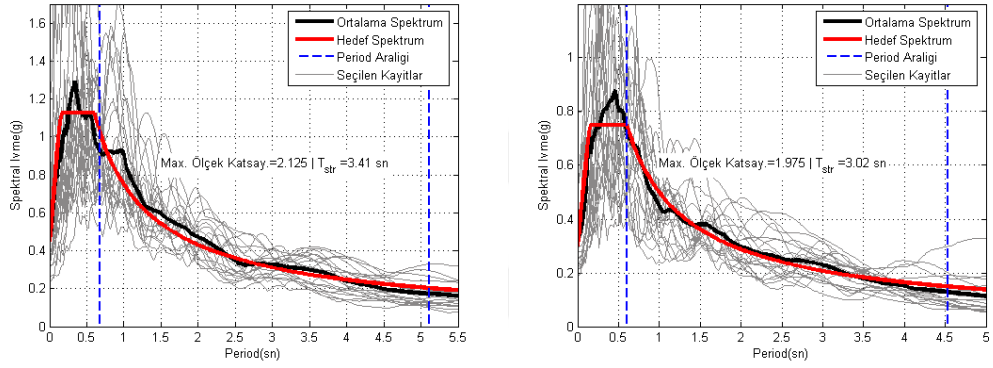
Şekil B.119 : Aydın Yapı Modeli için 1.derece DB ve ZC zemin sınıfı için Muğla Merkez'de DD1 ve DD 2' ye göre seçilen deprem kayıtlarının ivme spektrumları



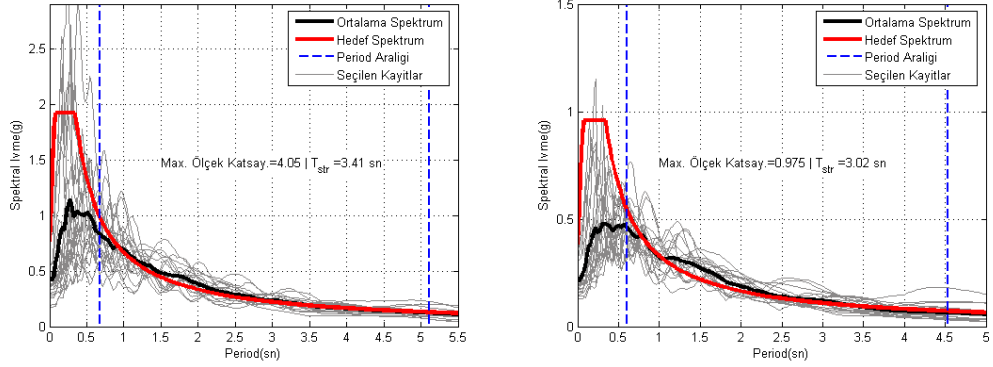
Şekil B.120 : Aydın Yapı Modeli için 1.derece DB ve ZC zemin sınıfı için Sakarya Merkez'de DD1 ve DD 2' ye göre seçilen deprem kayıtlarının ivme spektrumları



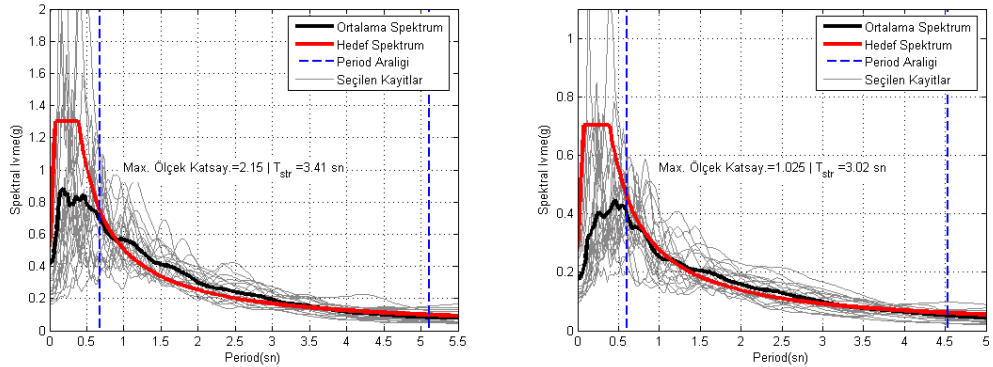
Şekil B.121 : Aydın Yapı Modeli için 1.derece DB ve ZC zemin sınıfı için Van Erciş’de DD1 ve DD 2’ ye göre seçilen deprem kayıtlarının ivme spektrumları



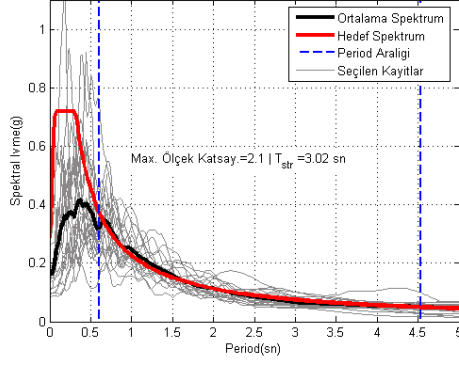
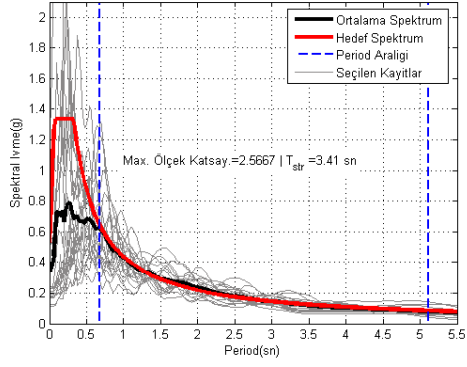
Şekil B.122 : Aydın Yapı Modeli için 2. derece DB, ve ZC zemin sınıfı için DBYYHY 2007’ye göre DD 1 ve DD 2 için seçilen deprem kayıtlarının ivme spektrumları



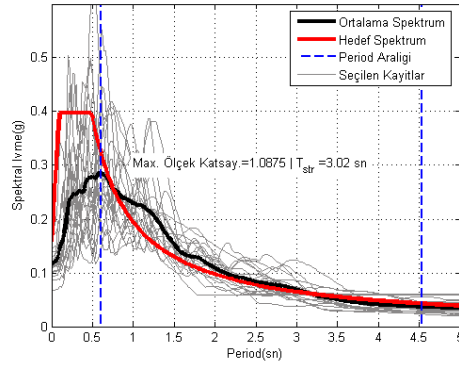
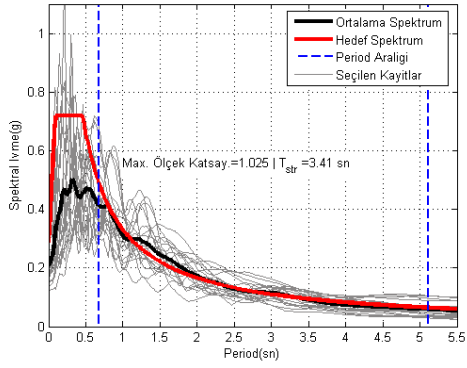
Şekil B.123 : Aydın Yapı Modeli için 2.derece DB ve ZC zemin sınıfı için Afyon Merkez’de DD1 ve DD 2’ ye göre seçilen deprem kayıtlarının ivme spektrumları



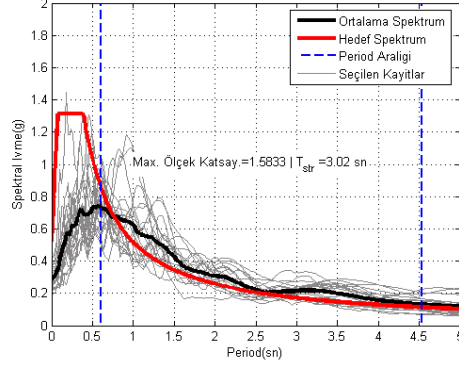
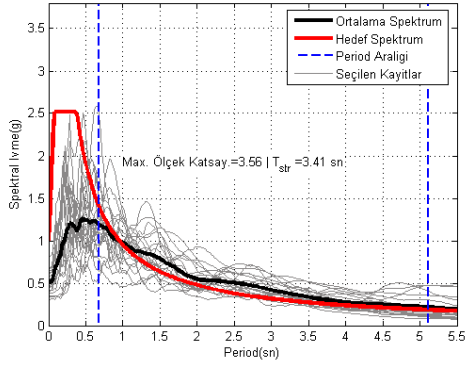
Şekil B.124 : Aydın Yapı Modeli için 2.derece DB ve ZC zemin sınıfı için Ağrı Merkez’de DD1 ve DD 2’ ye göre seçilen deprem kayıtlarının ivme spektrumları



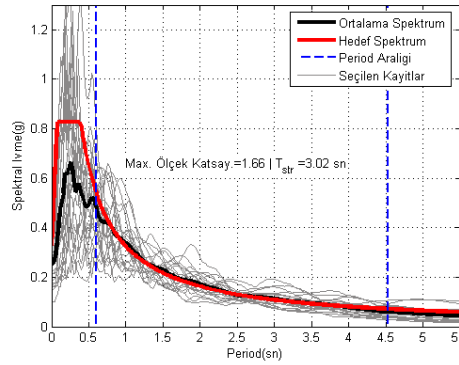
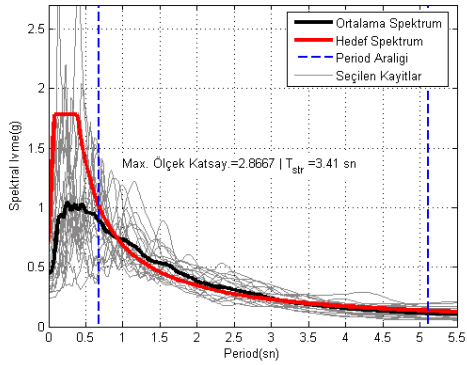
Şekil B.125 : Aydın Yapı Modeli için 2.derece DB ve ZC zemin sınıfı için Antalya Merkez'de DD1 ve DD 2' ye göre seçilen deprem kayıtlarının ivme spektrumları



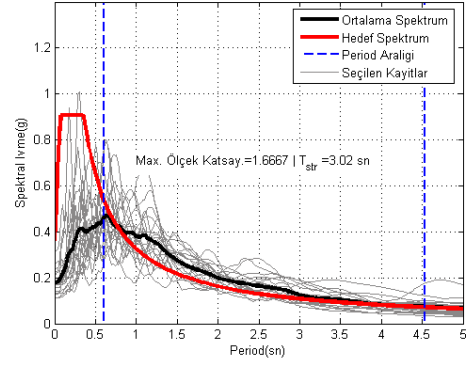
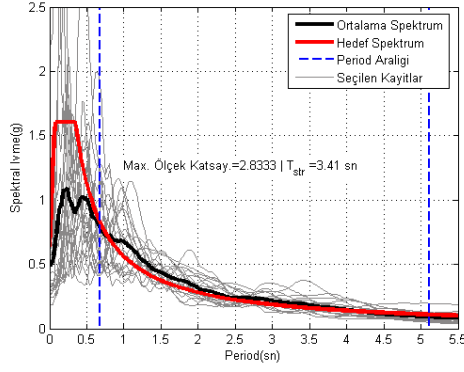
Şekil B.126 : Aydın Yapı Modeli için 2.derece DB ve ZC zemin sınıfı için Diyarbakır Merkez'de DD1 ve DD 2' ye göre seçilen deprem kayıtlarının ivme spektrumları



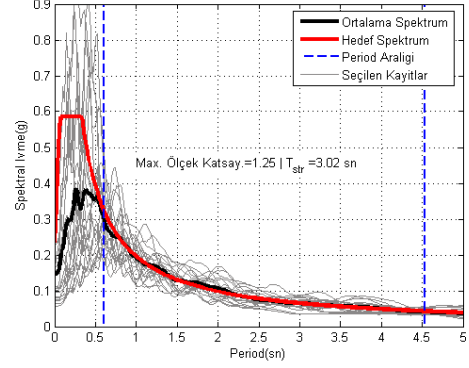
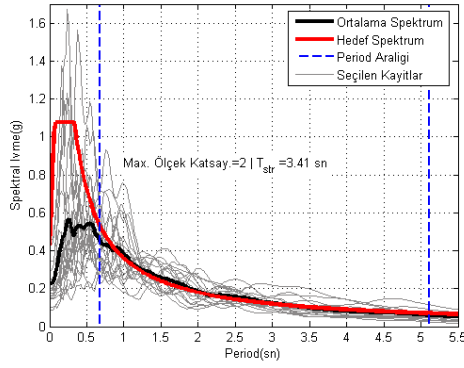
Şekil B.127 : Aydın Yapı Modeli için 2.derece DB ve ZC zemin sınıfı için Erzurum Merkez'de DD1 ve DD 2' ye göre seçilen deprem kayıtlarının ivme spektrumları



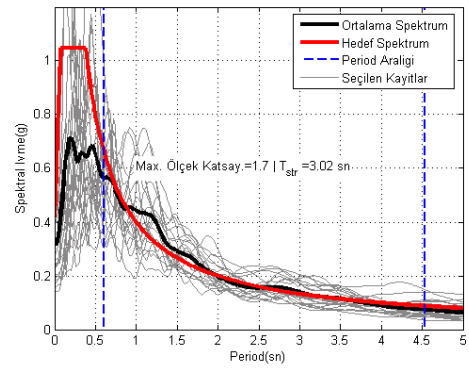
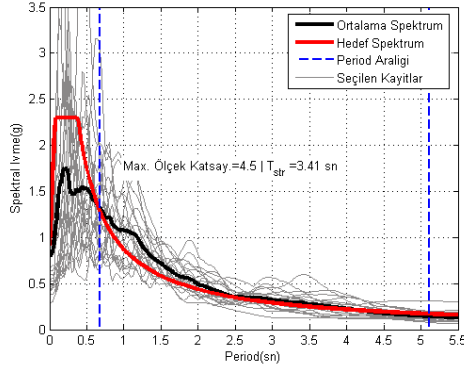
Şekil B.128 : Aydın Yapı Modeli için 2.derece DB ve ZC zemin sınıfı için Eskişehir Merkez'de DD1 ve DD 2' ye göre seçilen deprem kayıtlarının ivme spektrumları



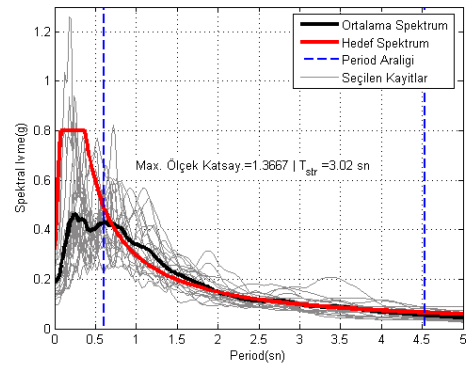
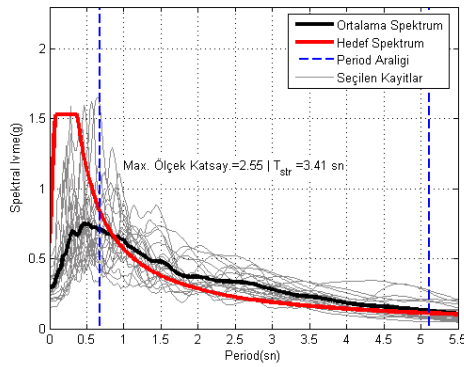
Şekil B.129 : Aydın Yapı Modeli için 2.derece DB ve ZC zemin sınıfı için İstanbul Levent’de DD1 ve DD 2’ ye göre seçilen deprem kayıtlarının ivme spektrumları



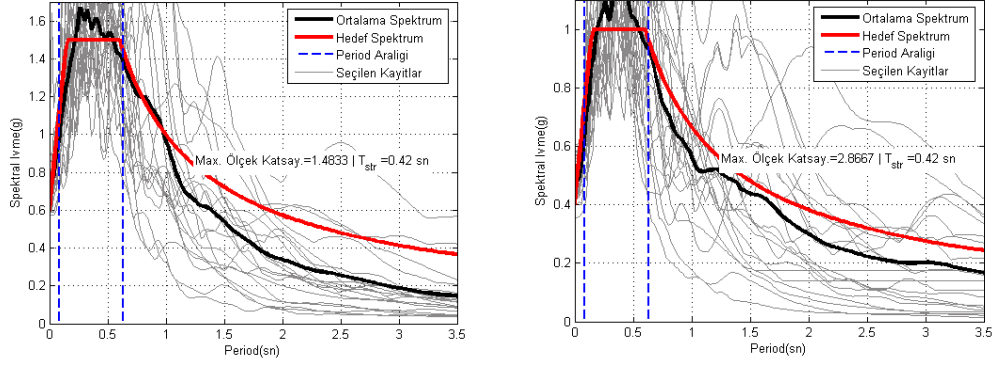
Şekil B.130 : Aydın Yapı Modeli için 2.derece DB ve ZC zemin sınıfı için Kars Merkez’de DD1 ve DD 2’ ye göre seçilen deprem kayıtlarının ivme spektrumları



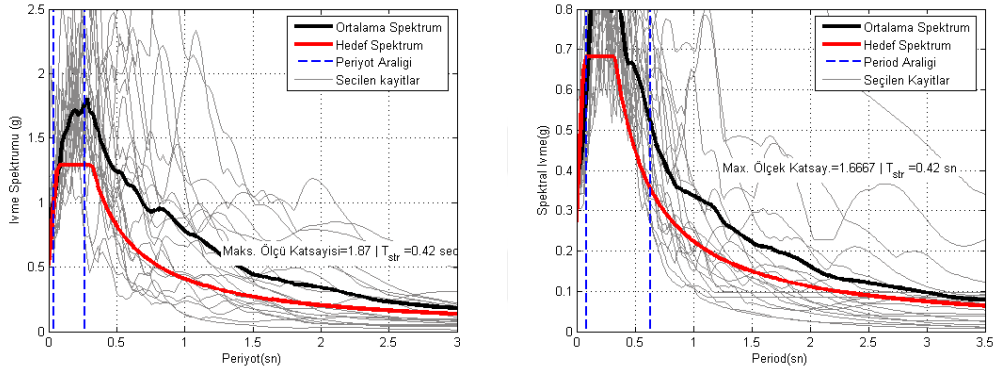
Şekil B.131 : Aydın Yapı Modeli için 2.derece DB ve ZC zemin sınıfı için Kutahya Merkez’de DD1 ve DD 2’ ye göre seçilen deprem kayıtlarının ivme spektrumları



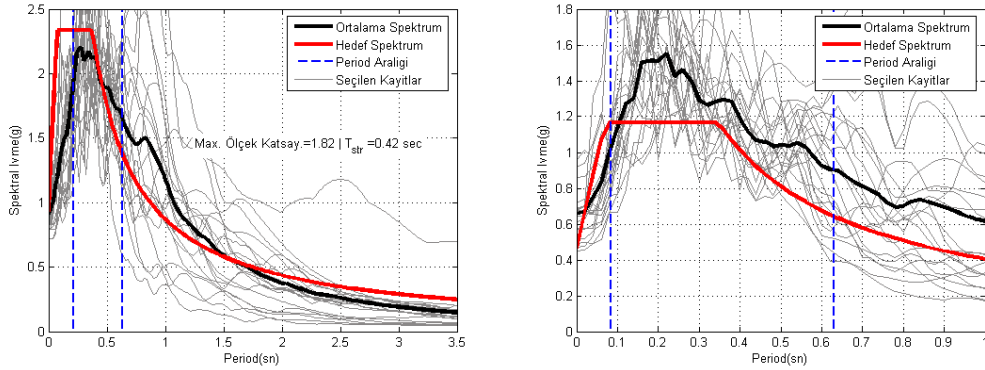
Şekil B.132 : Aydın Yapı Modeli için 2.derece DB ve ZC zemin sınıfı için Van Merkez’de DD1 ve DD 2’ ye göre seçilen deprem kayıtlarının ivme spektrumları



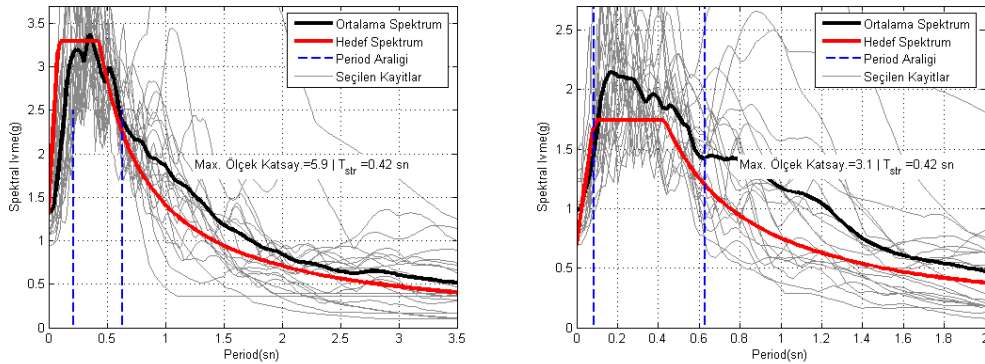
Şekil B.133 : Gedikbulak-3D Modeli için 1. derece DB, ve ZC zemin sınıfı için DBYYHY 2007'ye göre DD 1 ve DD 2 için seçilen deprem kayıtlarının ivme spektrumları



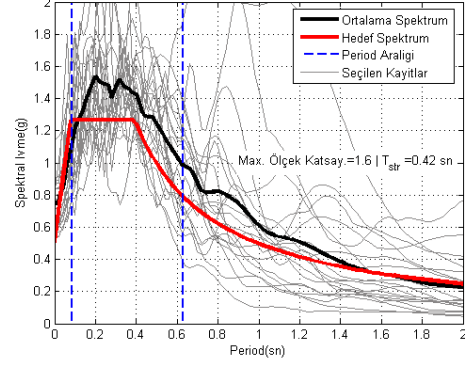
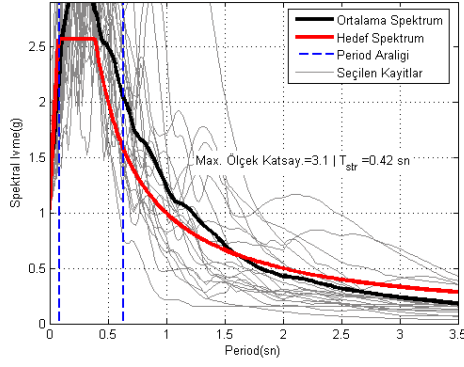
Şekil B.134 : Gedikbulak-3D Modeli için 1.derece DB ve ZC zemin sınıfı için Bartın Merkez'de DD1 ve DD 2' ye göre seçilen deprem kayıtlarının ivme spektrumları



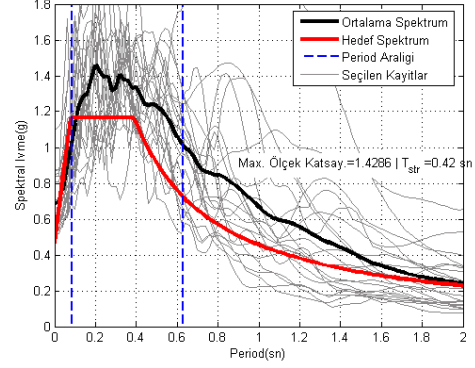
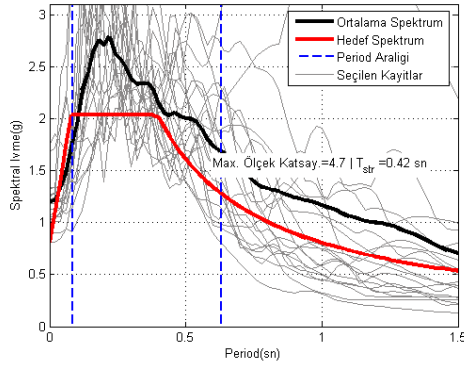
Şekil B.135 : Gedikbulak-3D Modeli için 1.derece DB ve ZC zemin sınıfı için Burdur Merkez'de DD1 ve DD 2' ye göre seçilen deprem kayıtlarının ivme spektrumları



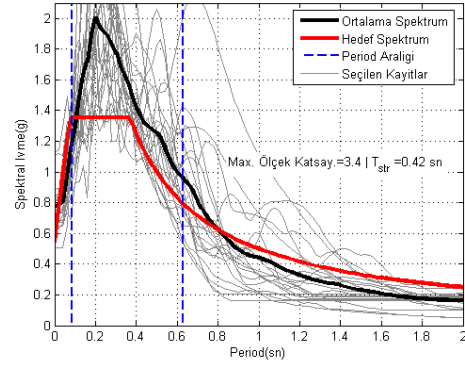
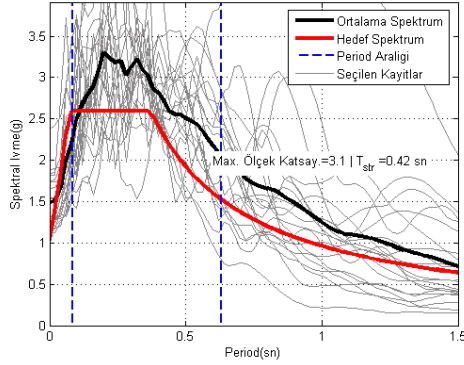
Şekil B.136 : Gedikbulak-3D Modeli için 1.derece DB ve ZC zemin sınıfı için Erzincan Merkez'de DD1 ve DD 2' ye göre seçilen deprem kayıtlarının ivme spektrumları



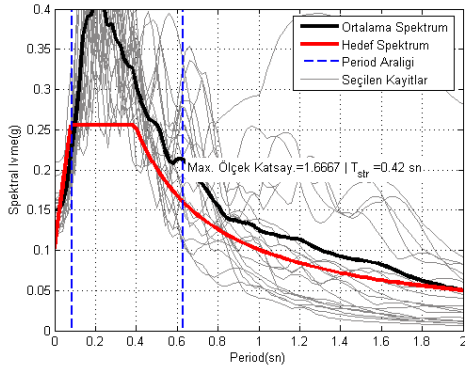
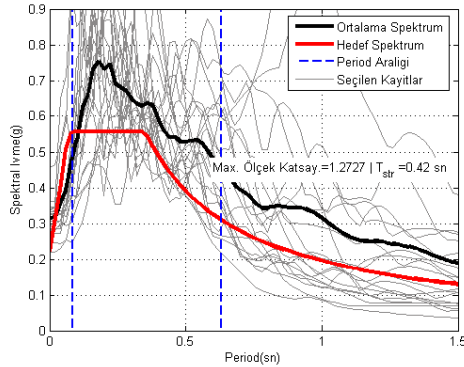
Şekil B.137 : Gedikbulak-3D Modeli için 1.derece DB ve ZC zemin sınıfı için Hatay Merkez'de DD1 ve DD 2' ye göre seçilen deprem kayıtlarının ivme spektrumları



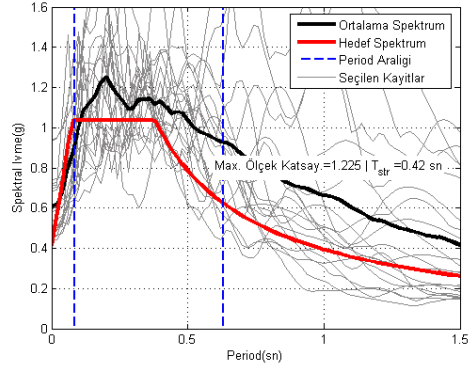
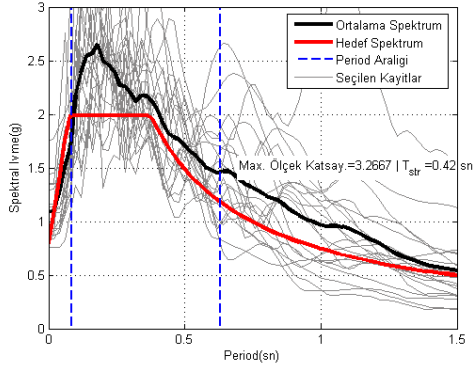
Şekil B.138 : Gedikbulak-3D Modeli için 1.derece DB ve ZC zemin sınıfı için İstanbul Kadıköy'de DD1 ve DD 2' ye göre seçilen deprem kayıtlarının ivme spektrumları



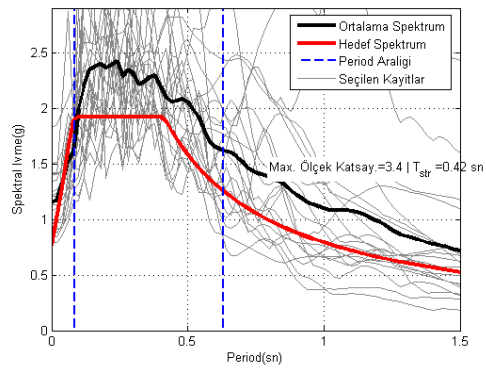
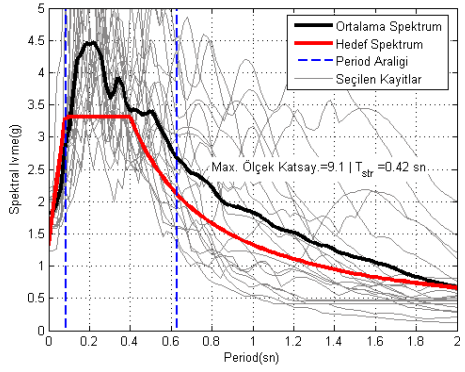
Şekil B.139 : Gedikbulak-3D Modeli için 1.derece DB ve ZC zemin sınıfı için İzmir Merkez'de DD1 ve DD 2' ye göre seçilen deprem kayıtlarının ivme spektrumları



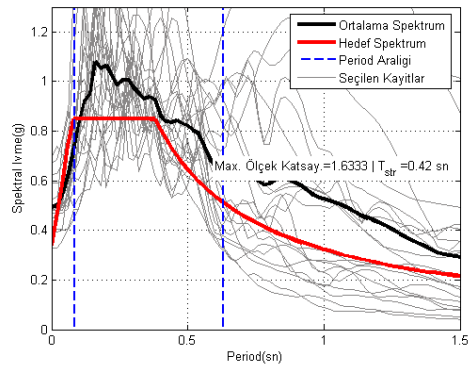
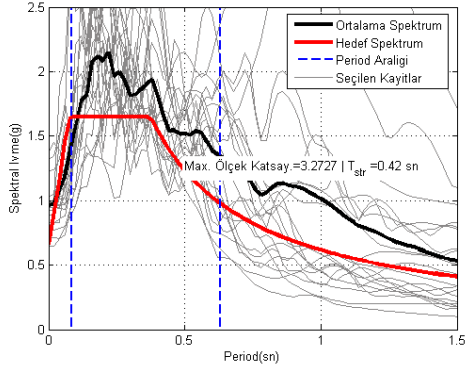
Şekil B.140 : Gedikbulak-3D Modeli için 1.derece DB ve ZC zemin sınıfı için Kırşehir Merkez'de DD1 ve DD 2' ye göre seçilen deprem kayıtlarının ivme spektrumları



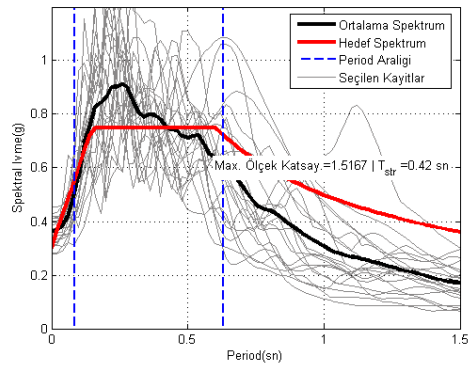
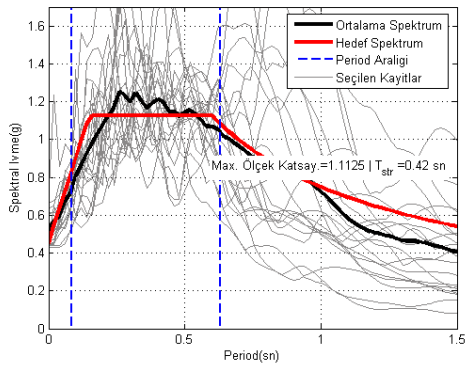
Şekil B.141 : Gedikbulak-3D Modeli için 1.derece DB ve ZC zemin sınıfı için Muğla Merkez'de DD1 ve DD 2' ye göre seçilen deprem kayıtlarının ivme spektrumları



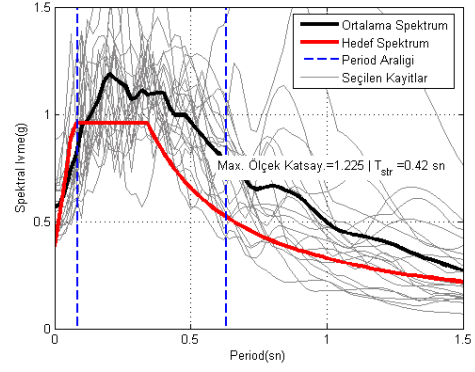
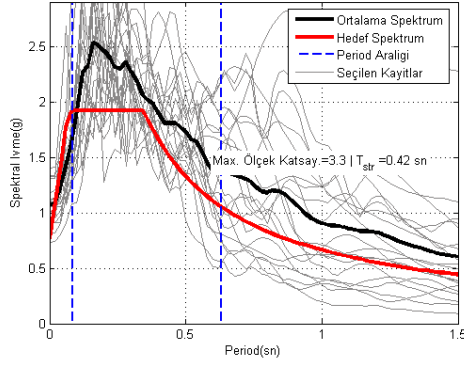
Şekil B.142 : Gedikbulak-3D Modeli için 1.derece DB ve ZC zemin sınıfı için Sakarya Merkez'de DD1 ve DD 2' ye göre seçilen deprem kayıtlarının ivme spektrumları



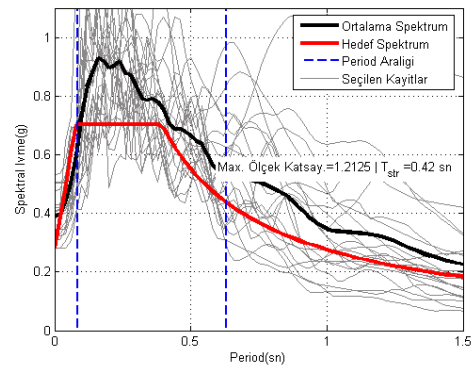
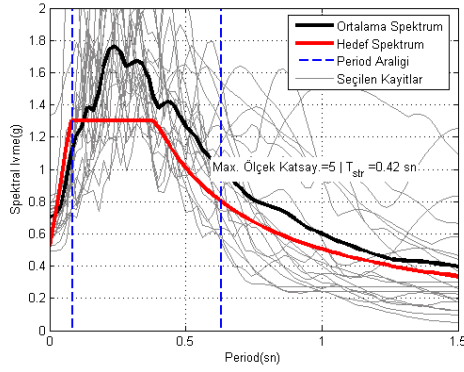
Şekil B.143 : Gedikbulak-3D Modeli için 1.derece DB ve ZC zemin sınıfı için Van Erciş'de DD1 ve DD 2' ye göre seçilen deprem kayıtlarının ivme spektrumları



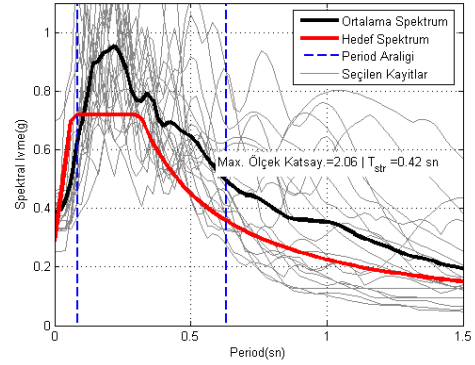
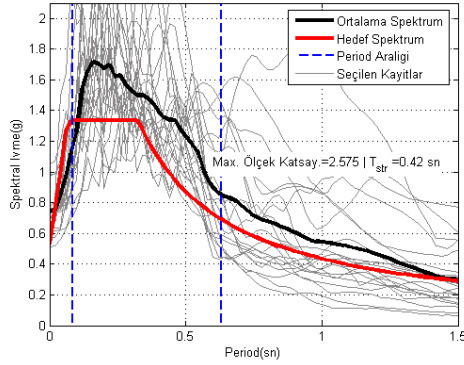
Şekil B.144 : Gedikbulak-3D Modeli için 2. derece DB, ve ZC zemin sınıfı için DBYYHY 2007'ye göre DD 1 ve DD 2 için seçilen deprem kayıtlarının ivme spektrumları



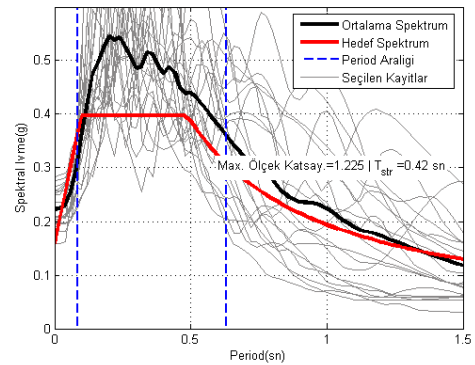
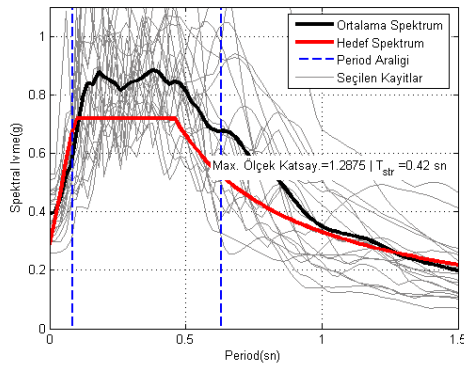
Şekil B.145 : Gedikbulak-3D Modeli için 2.derece DB ve ZC zemin sınıfı için Afyon Merkez'de DD1 ve DD 2' ye göre seçilen deprem kayıtlarının ivme spektrumları



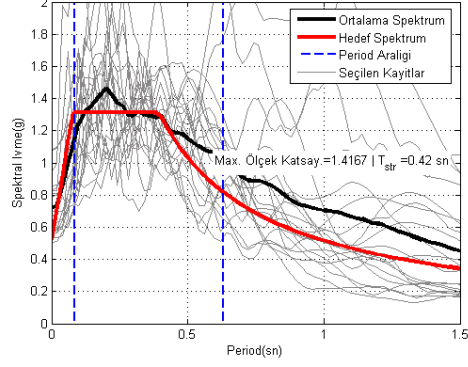
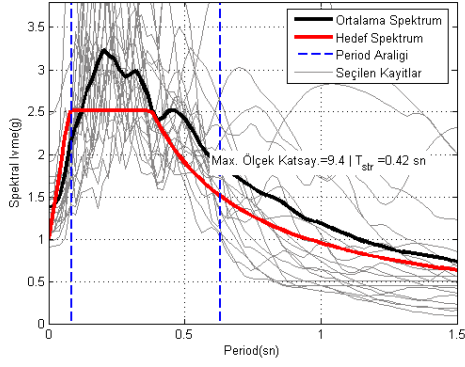
Şekil B.146 : Gedikbulak-3D Modeli için 2.derece DB ve ZC zemin sınıfı için Ağrı Merkez'de DD1 ve DD 2' ye göre seçilen deprem kayıtlarının ivme spektrumları



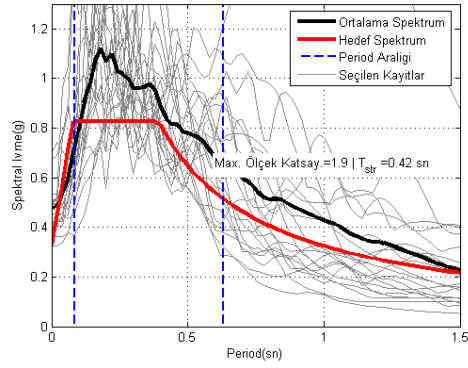
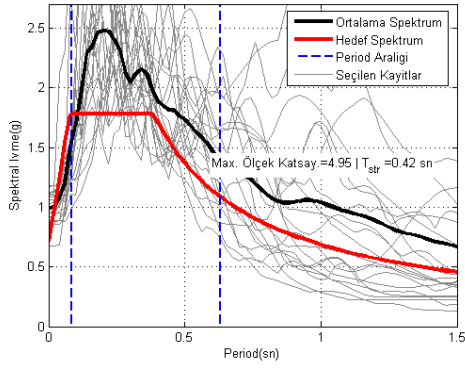
Şekil B.147: Gedikbulak-3D Modeli için 2.derece DB ve ZC zemin sınıfı için Antalya Merkez'de DD1 ve DD 2' ye göre seçilen deprem kayıtlarının ivme spektrumları



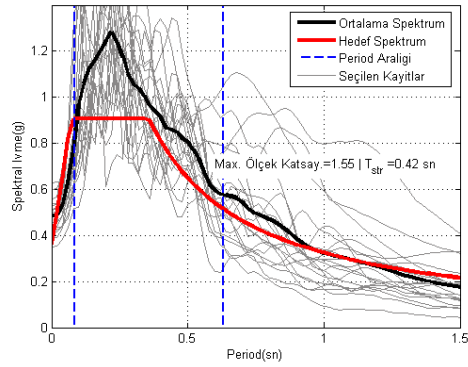
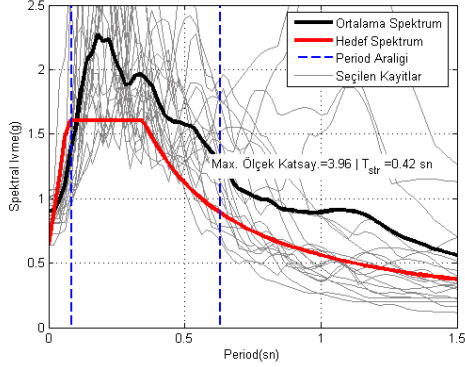
Şekil B.148 : Gedikbulak-3D Modeli için 2.derece DB ve ZC zemin sınıfı için Diyarbakır Merkez'de DD1 ve DD 2' ye göre seçilen deprem kayıtlarının ivme spektrumları



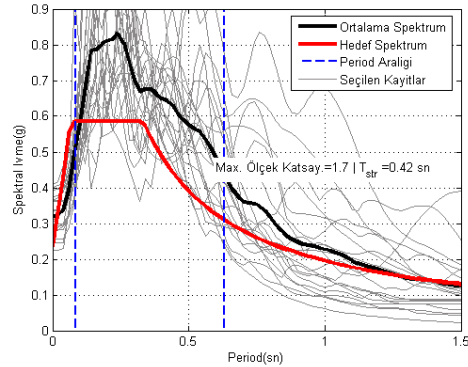
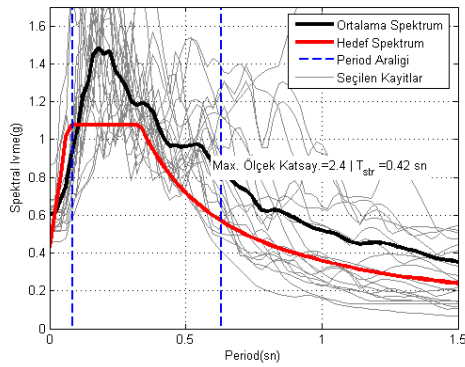
Şekil B.149 : Gedikbulak-3D Modeli için 2.derece DB ve ZC zemin sınıfı için Erzurum Merkez'de DD1 ve DD 2' ye göre seçilen deprem kayıtlarının ivme spektrumları



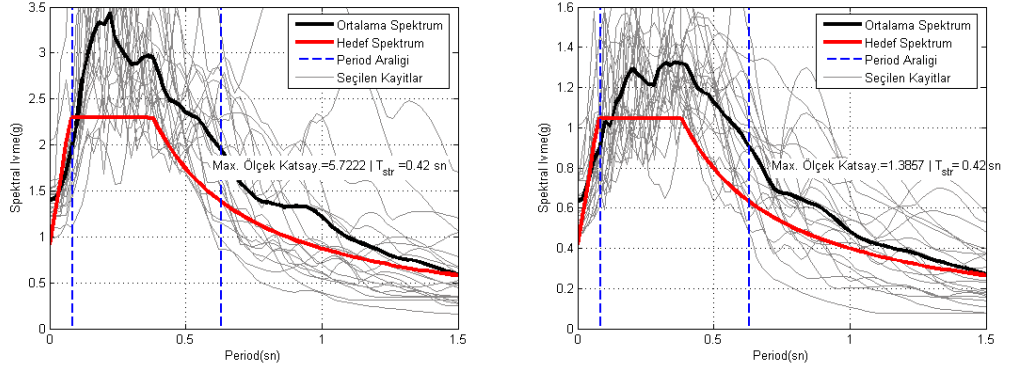
Şekil B.150 : Gedikbulak-3D Modeli için 2.derece DB ve ZC zemin sınıfı için Eskişehir Merkez'de DD1 ve DD 2' ye göre seçilen deprem kayıtlarının ivme spektrumları



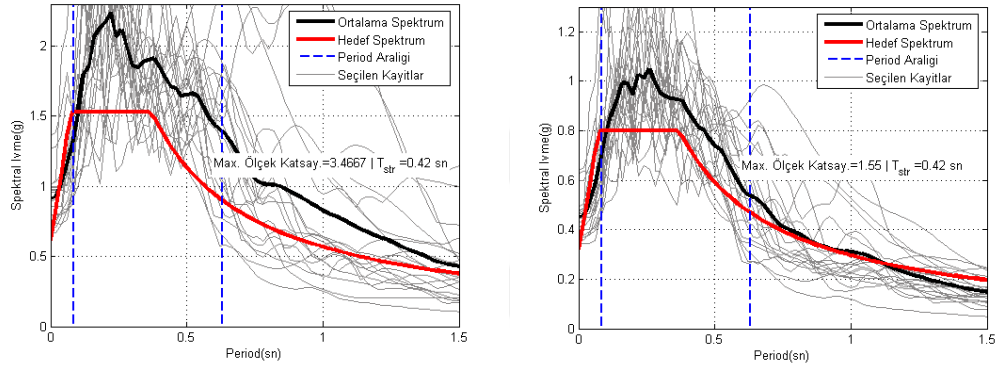
Şekil B.151 : Gedikbulak-3D Modeli için 2.derece DB ve ZC zemin sınıfı için İstanbul Levent'de DD1 ve DD 2' ye göre seçilen deprem kayıtlarının ivme spektrumları



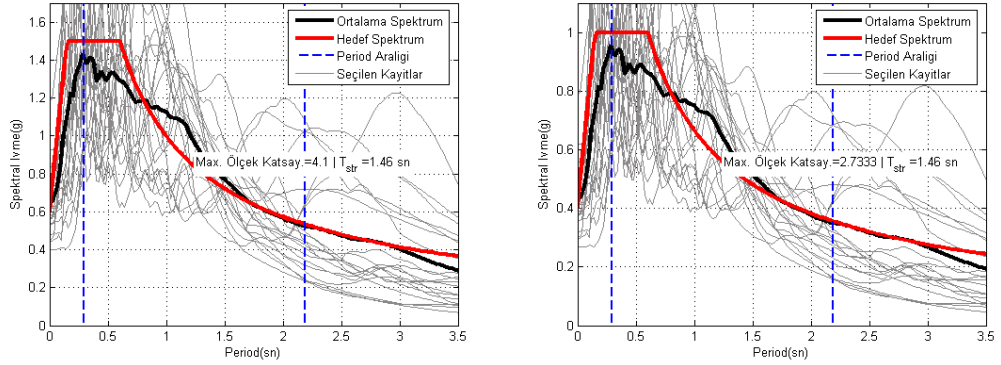
Şekil B.152 : Gedikbulak-3D Modeli için 2.derece DB ve ZC zemin sınıfı için Kars Merkez'de DD1 ve DD 2' ye göre seçilen deprem kayıtlarının ivme spektrumları



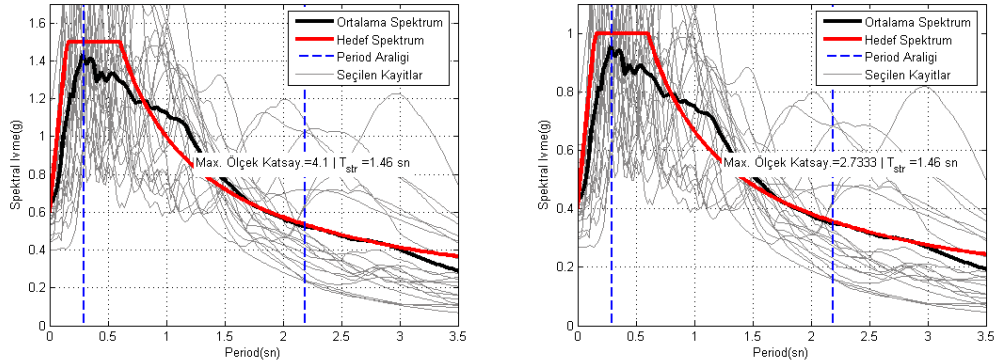
Şekil B.153 : Gedikbulak-3D Modeli için 2.derece DB ve ZC zemin sınıfı için Kütahya Merkez'de DD1 ve DD 2' ye göre seçilen deprem kayıtlarının ivme spektrumları



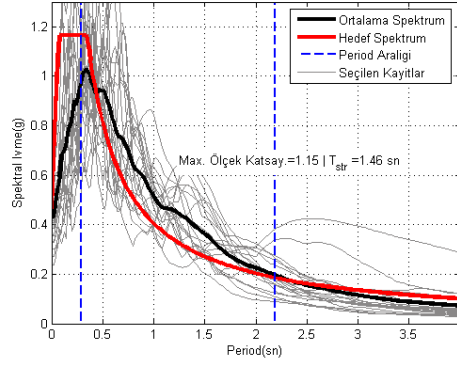
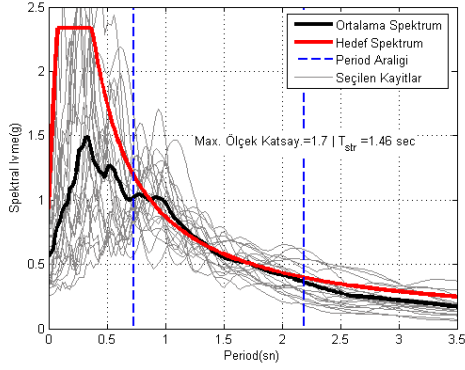
Şekil B.154 : Gedikbulak-3D Modeli için 2.derece DB ve ZC zemin sınıfı için Van Merkez'de DD1 ve DD 2' ye göre seçilen deprem kayıtlarının ivme spektrumları



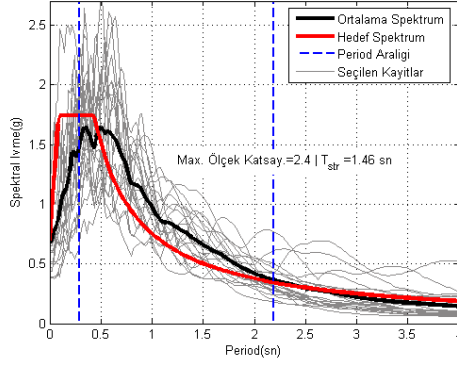
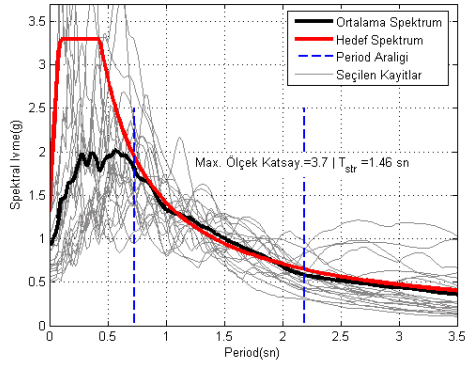
Şekil B.155 : 20_Katlı_3D_Yapı Modeli için 1. derece DB, ve ZC zemin sınıfı için DBYYHY 2007'ye göre DD 1 ve DD 2 için seçilen deprem kayıtlarının ivme spektrumları



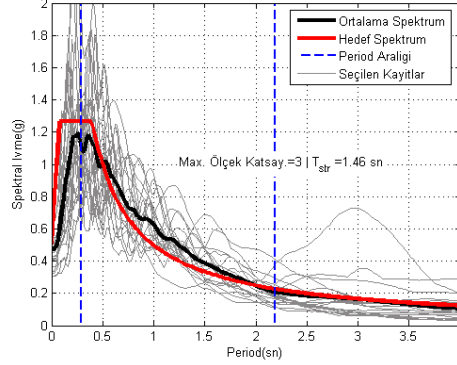
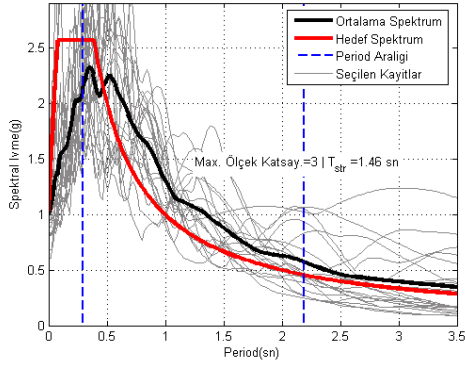
Şekil B.156 : 20_Katlı_3D_Yapı Modeli için 1.derece DB ve ZC zemin sınıfı için Bartın Merkez'de DD1 ve DD 2' ye göre seçilen deprem kayıtlarının ivme spektrumları



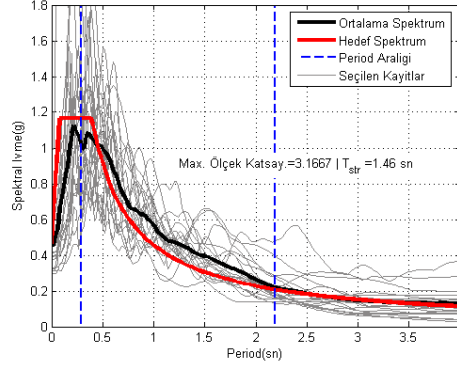
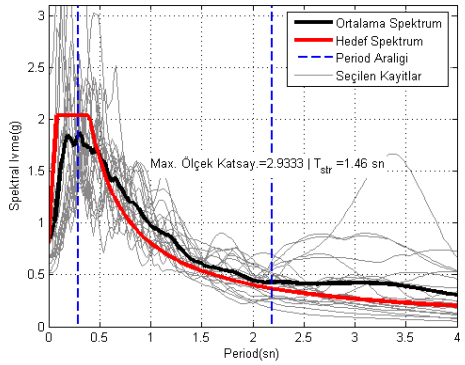
Şekil B.157 : 20_Katlı_3D_Yapı Modeli için 1.derece DB ve ZC zemin sınıfı için Burdur Merkez'de DD1 ve DD 2' ye göre seçilen deprem kayıtlarının ivme spektrumları



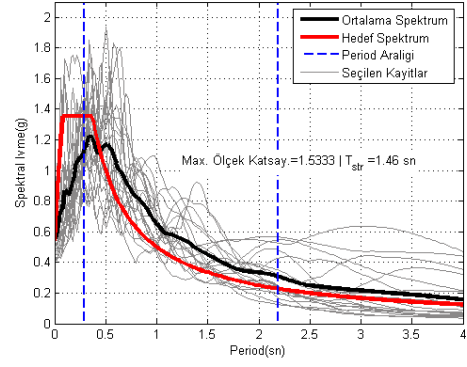
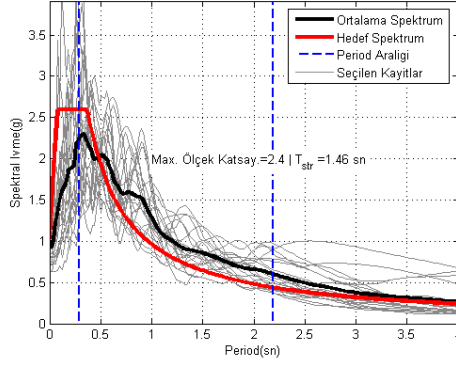
Şekil B.158 : 20_Katlı_3D_Yapı Modeli için 1.derece DB ve ZC zemin sınıfı için Erzincan Merkez'de DD1 ve DD 2' ye göre seçilen deprem kayıtlarının ivme spektrumları



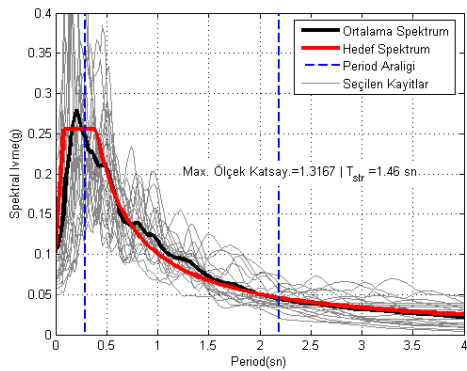
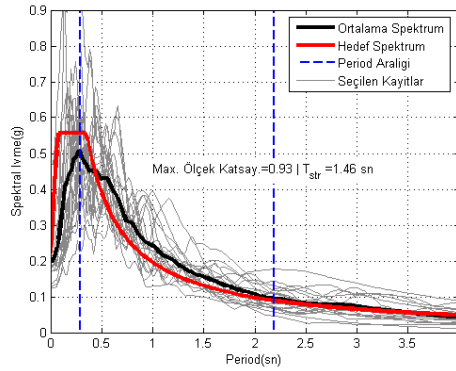
Şekil B.159 : 20_Katlı_3D_Yapı Modeli için 1.derece DB ve ZC zemin sınıfı için Hatay Merkez'de DD1 ve DD 2' ye göre seçilen deprem kayıtlarının ivme spektrumları



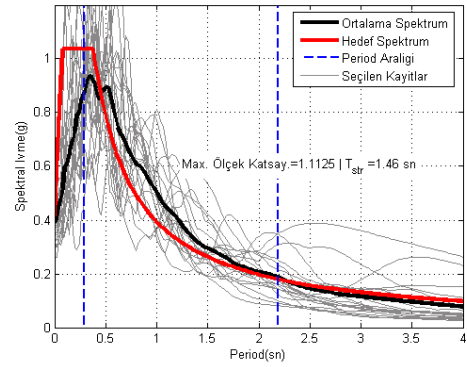
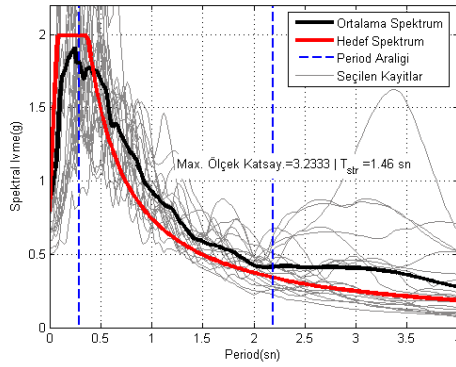
Şekil B.160 : 20_Katlı_3D_Yapı Modeli için 1.derece DB ve ZC zemin sınıfı için İstanbul Kadıköy'de DD1 ve DD 2' ye göre seçilen deprem kayıtlarının ivme spektrumları



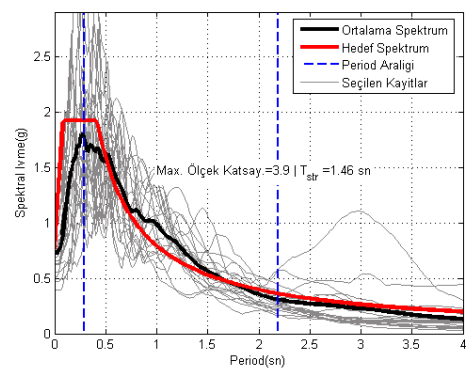
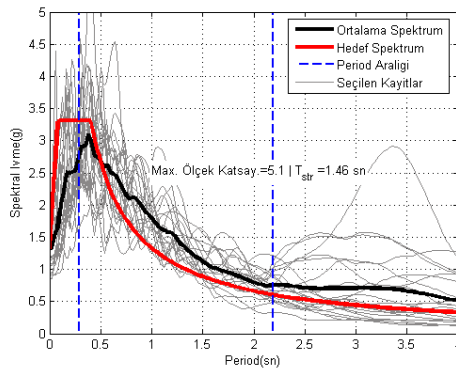
Şekil 161 : 20_Katlı_3D_Yapı Modeli için 1.derece DB ve ZC zemin sınıfı için İzmir Merkez'de DD1 ve DD 2' ye göre seçilen deprem kayıtlarının ivme spektrumları



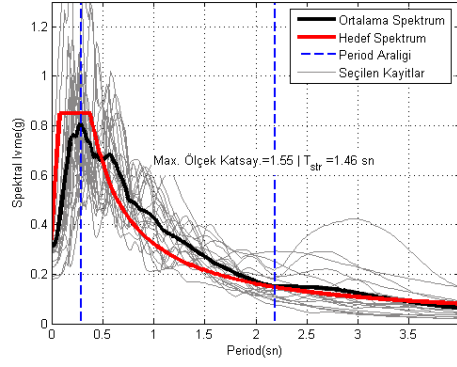
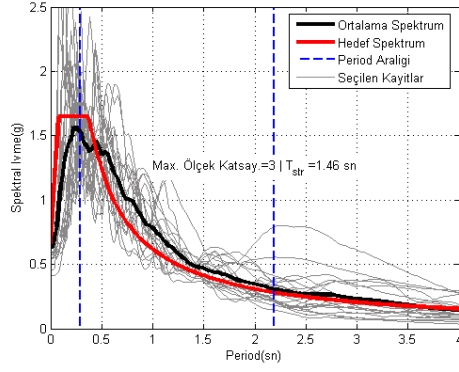
Şekil B.162 : 20_Katlı_3D_Yapı Modeli için 1.derece DB ve ZC zemin sınıfı için Kırşehir Merkez'de DD1 ve DD 2' ye göre seçilen deprem kayıtlarının ivme spektrumları



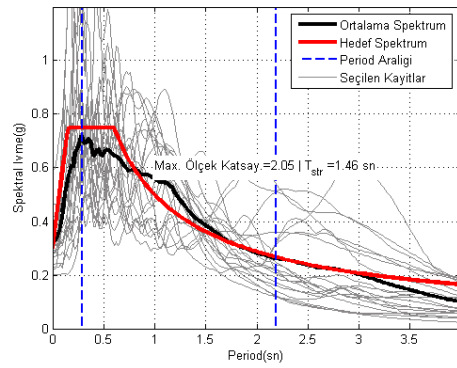
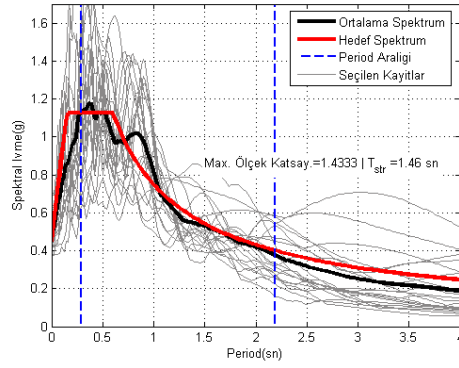
Şekil B.163 : 20_Katlı_3D_Yapı Modeli için 1.derece DB ve ZC zemin sınıfı için Muğla Merkez'de DD1 ve DD 2' ye göre seçilen deprem kayıtlarının ivme spektrumları



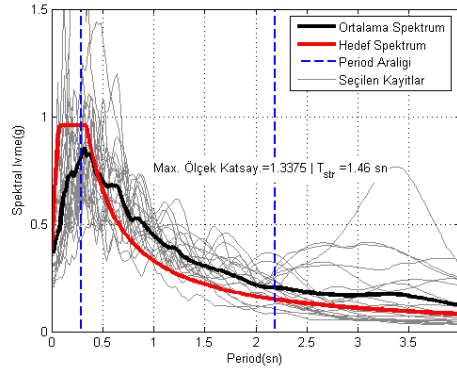
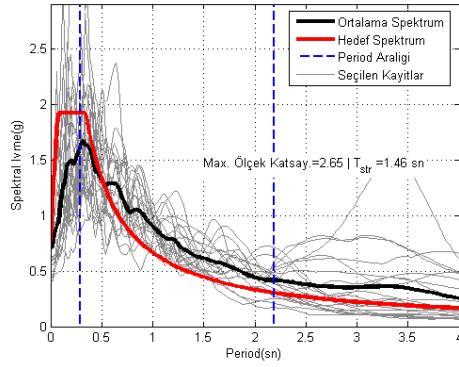
Şekil B.164 : 20_Katlı_3D_Yapı Modeli için 1.derece DB ve ZC zemin sınıfı için Sakarya Merkez'de DD1 ve DD 2' ye göre seçilen deprem kayıtlarının ivme spektrumları



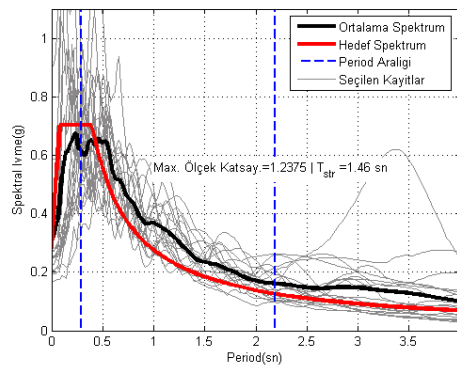
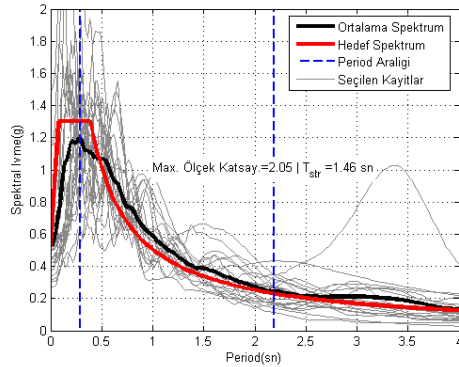
Şekil B.165 : 20_Katlı_3D_Yapı Modeli için 1.derece DB ve ZC zemin sınıfı için Van Erciş’de DD1 ve DD 2’ ye göre seçilen deprem kayıtlarının ivme spektrumları



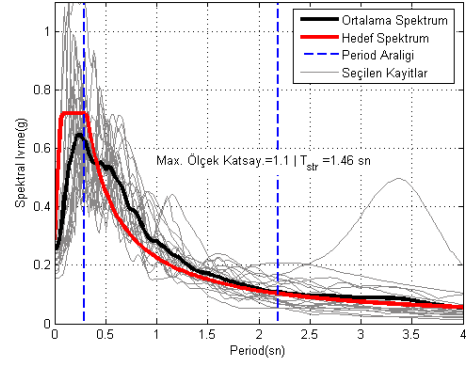
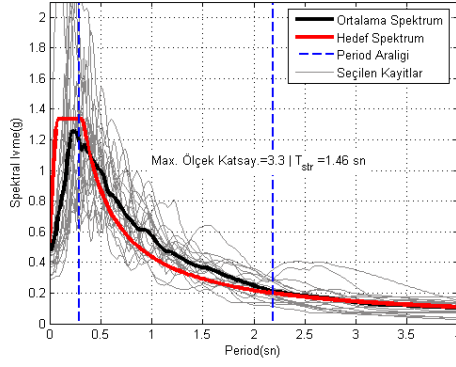
Şekil B.166 : 20_Katlı_3D_Yapı Modeli için 2. derece DB, ve ZC zemin sınıfı için DBYYHY 2007’ye göre DD 1 ve DD 2 için seçilen deprem kayıtlarının ivme spektrumları



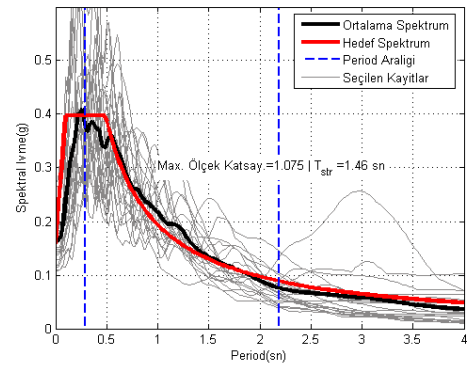
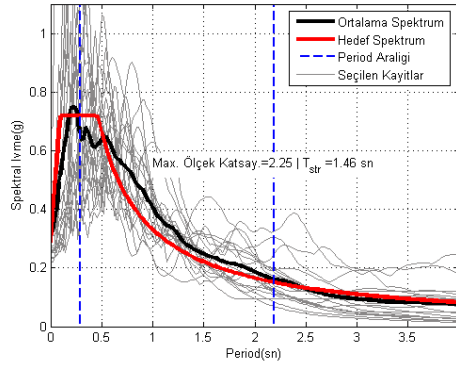
Şekil B.167 : 20_Katlı_3D_Yapı Modeli için 2.derece DB ve ZC zemin sınıfı için Afyon Merkez’de DD1 ve DD 2’ ye göre seçilen deprem kayıtlarının ivme spektrumları



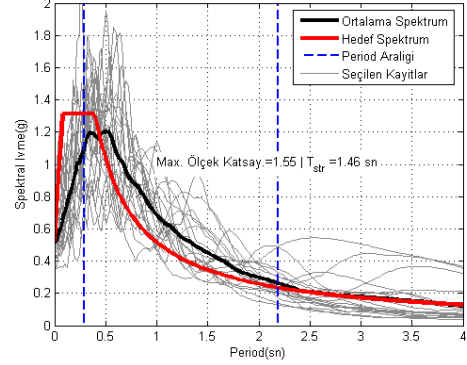
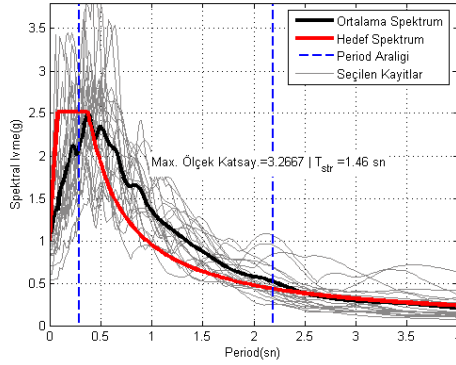
Şekil B.168 : 20_Katlı_3D_Yapı Modeli için 2.derece DB ve ZC zemin sınıfı için Ağrı Merkez’de DD1 ve DD 2’ ye göre seçilen deprem kayıtlarının ivme spektrumları



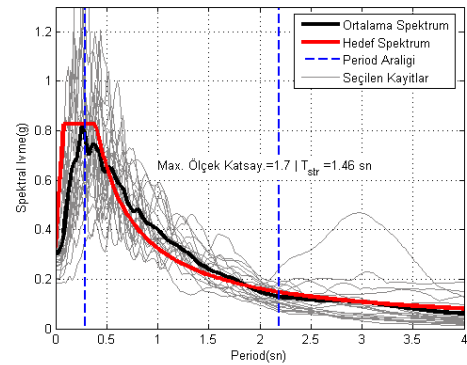
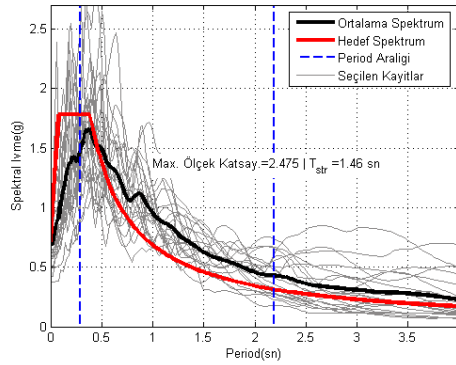
Şekil B.169 : 20_Katlı_3D_Yapı Modeli için 2.derece DB ve ZC zemin sınıfı için Antalya Merkez'de DD1 ve DD 2' ye göre seçilen deprem kayıtlarının ivme spektrumları



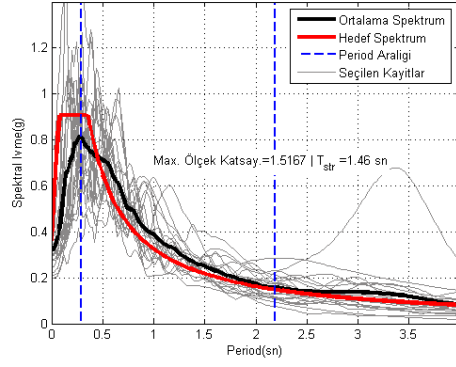
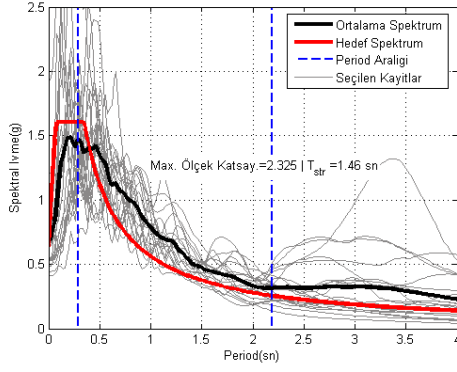
Şekil B.170 : 20_Katlı_3D_Yapı Modeli için 2.derece DB ve ZC zemin sınıfı için Diyarbakır Merkez'de DD1 ve DD 2' ye göre seçilen deprem kayıtlarının ivme spektrumları



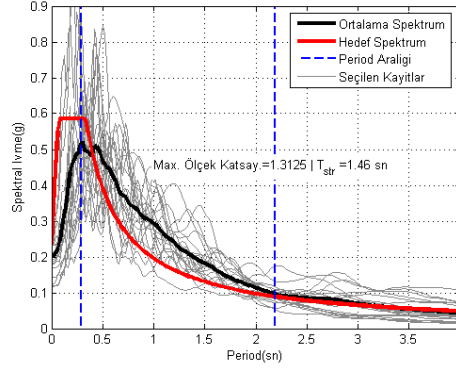
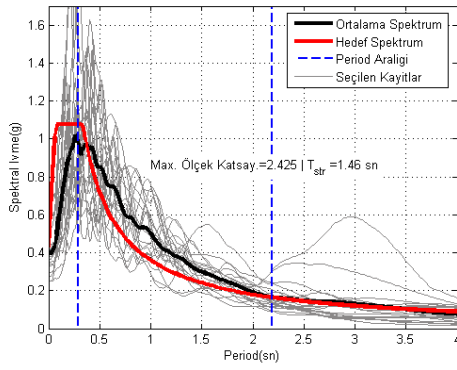
Şekil B.171 : 20_Katlı_3D_Yapı Modeli için 2.derece DB ve ZC zemin sınıfı için Erzurum Merkez'de DD1 ve DD 2' ye göre seçilen deprem kayıtlarının ivme spektrumları



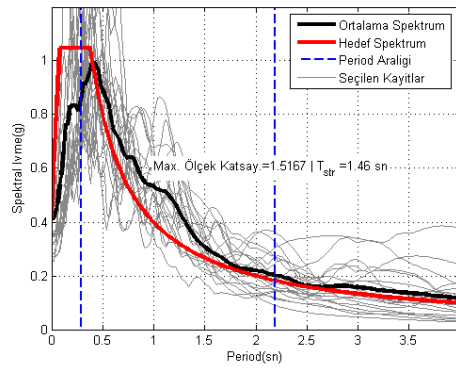
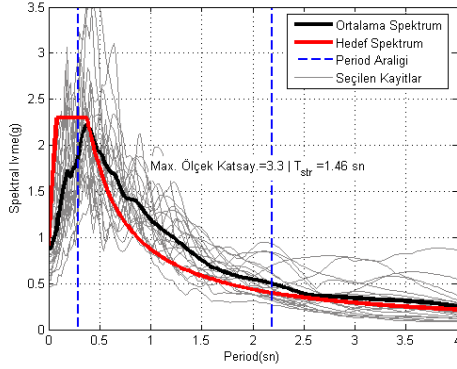
Şekil B.172 : 20_Katlı_3D_Yapı Modeli için 2.derece DB ve ZC zemin sınıfı için Eskişehir Merkez'de DD1 ve DD 2' ye göre seçilen deprem kayıtlarının ivme spektrumları



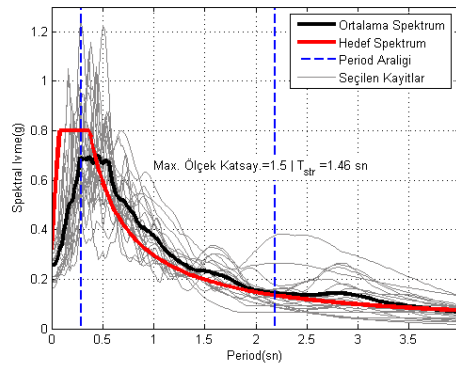
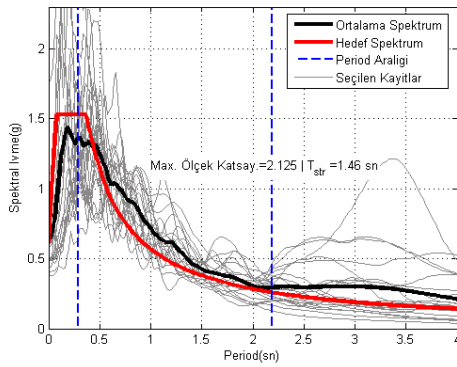
Şekil B.173 : 20_Katlı_3D_Yapı Modeli için 2.derece DB ve ZC zemin sınıfı için İstanbul Levent'de DD1 ve DD 2' ye göre seçilen deprem kayıtlarının ivme spektrumları



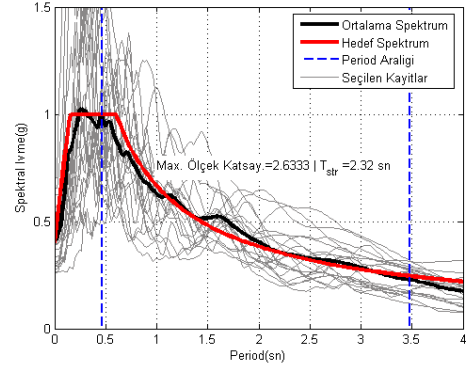
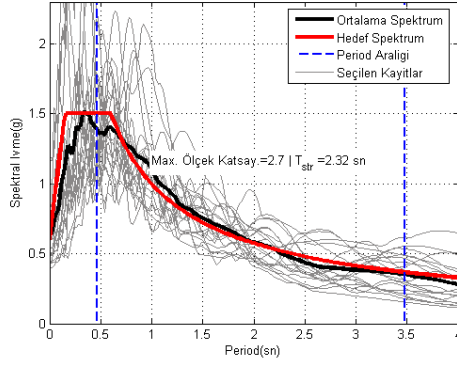
Şekil B.174 : 20_Katlı_3D_Yapı Modeli için 2.derece DB ve ZC zemin sınıfı için Kars Merkez'de DD1 ve DD 2' ye göre seçilen deprem kayıtlarının ivme spektrumları



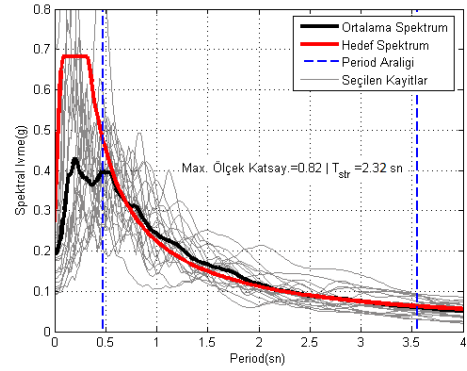
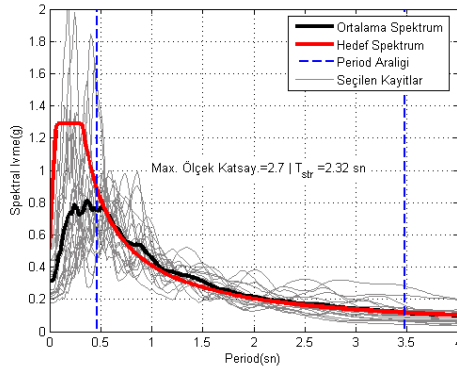
Şekil B.175 : 20_Katlı_3D_Yapı Modeli için 2.derece DB ve ZC zemin sınıfı için Kutahya Merkez'de DD1 ve DD 2' ye göre seçilen deprem kayıtlarının ivme spektrumları



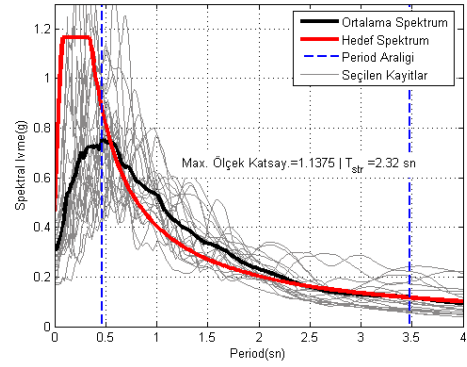
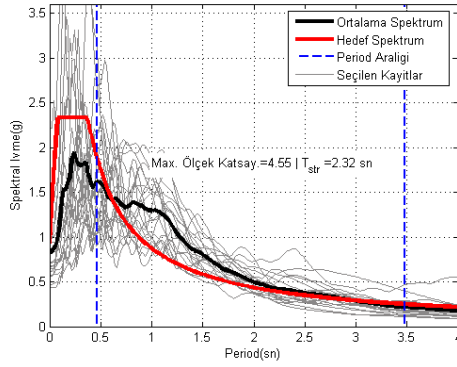
Şekil B.176 : 20_Katlı_3D_Yapı Modeli için 2.derece DB ve ZC zemin sınıfı için Van Merkez'de DD1 ve DD 2' ye göre seçilen deprem kayıtlarının ivme spektrumları



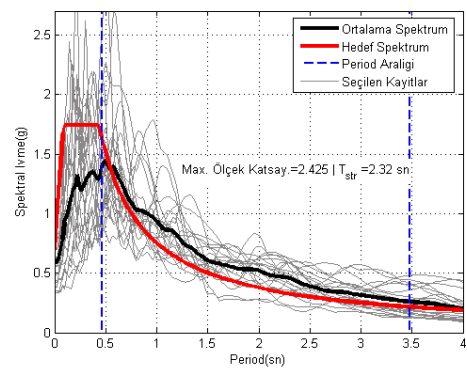
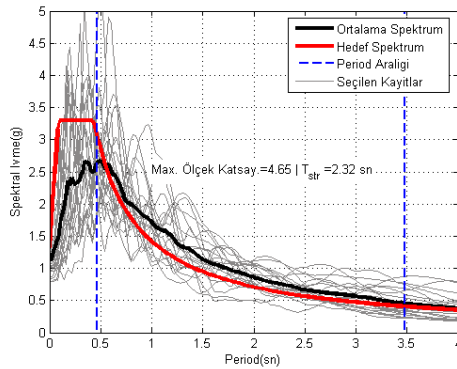
Şekil B.177 : 24_Katlı_2D_CSW Modeli için 1. derece DB, ve ZC zemin sınıfı için DBYYHY 2007'ye göre DD 1 ve DD 2 için seçilen deprem kayıtlarının ivme spektrumları



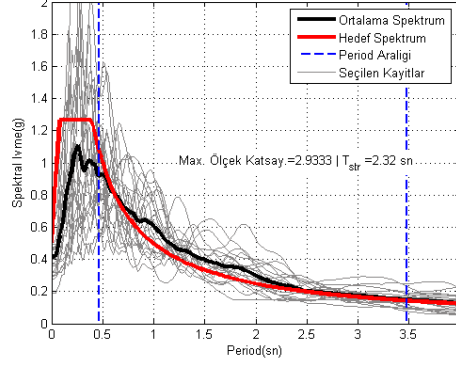
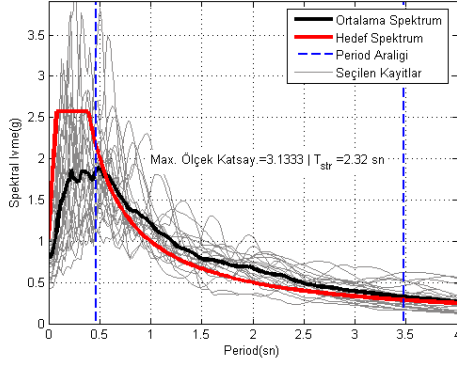
Şekil B.178 : 24_Katlı_2D_SZW Modeli için 1.derece DB ve ZC zemin sınıfı için Bartın Merkez'de DD1 ve DD 2' ye göre seçilen deprem kayıtlarının ivme spektrumları



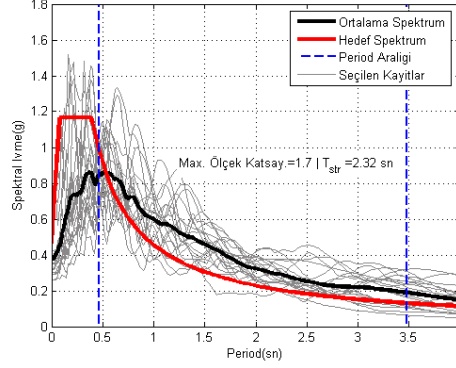
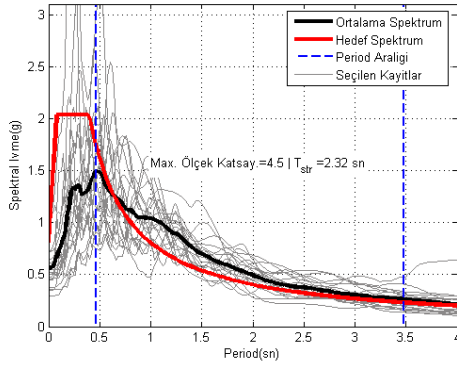
Şekil B.179 : 24_Katlı_2D_SZW Modeli için 1.derece DB ve ZC zemin sınıfı için Burdur Merkez'de DD1 ve DD 2' ye göre seçilen deprem kayıtlarının ivme spektrumları



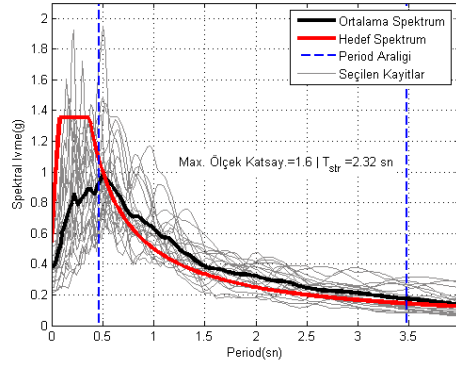
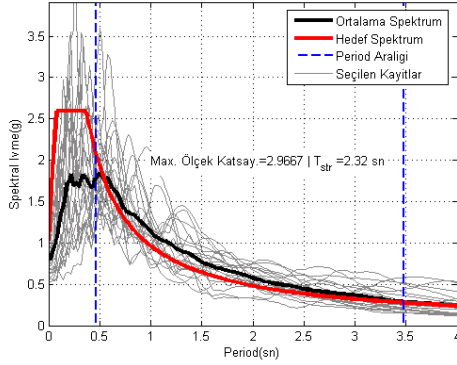
Şekil B.180 : 24_Katlı_2D_SZW Modeli için 1.derece DB ve ZC zemin sınıfı için Erzincan Merkez'de DD1 ve DD 2' ye göre seçilen deprem kayıtlarının ivme spektrumları



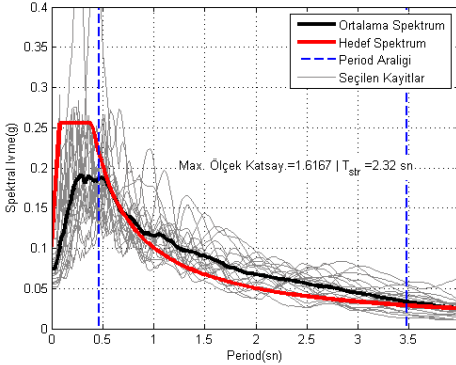
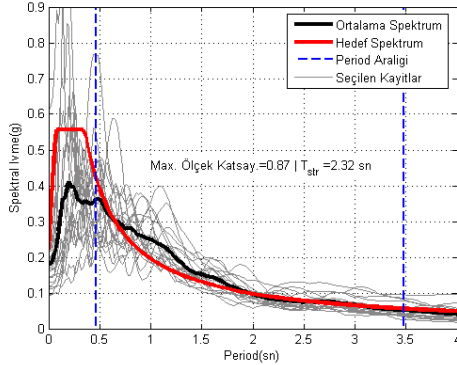
Şekil B.181 : 24_Katlı_2D_SZW Modeli için 1.derece DB ve ZC zemin sınıfı için Hatay Merkez'de DD1 ve DD 2' ye göre seçilen deprem kayıtlarının ivme spektrumları



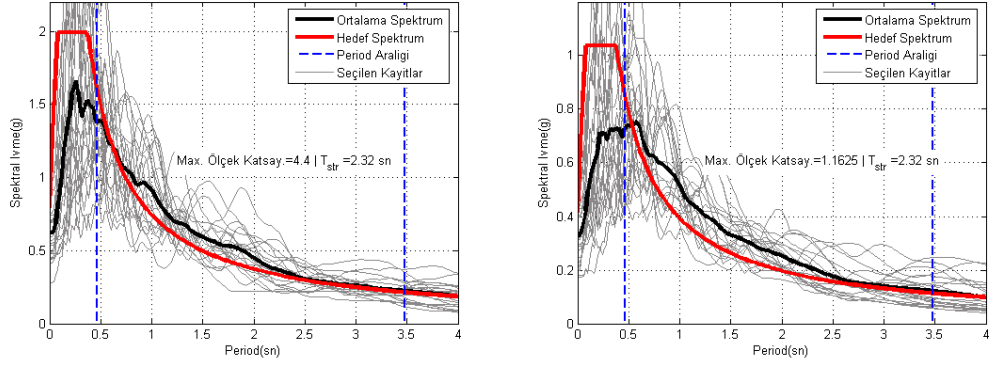
Şekil B.182 : 24_Katlı_2D_SZW Modeli için 1.derece DB ve ZC zemin sınıfı için İstanbul Kadıköy'de DD1 ve DD 2' ye göre seçilen deprem kayıtlarının ivme spektrumları



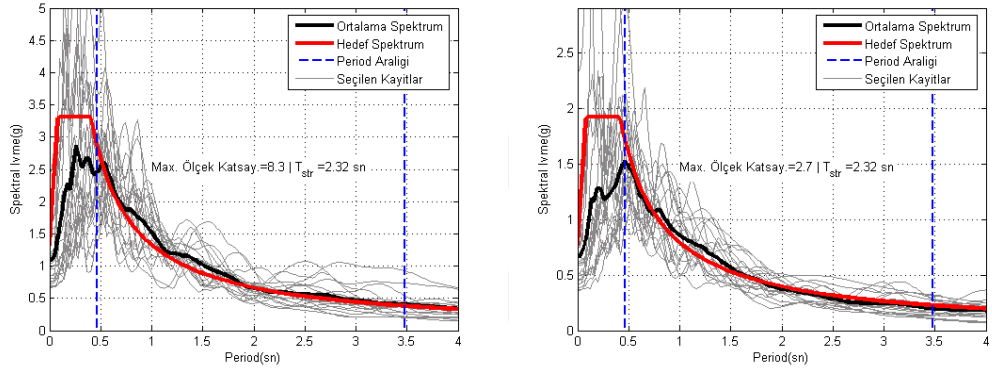
Şekil B.183 : 24_Katlı_2D_SZW Modeli için 1.derece DB ve ZC zemin sınıfı için İzmir Merkez'de DD1 ve DD 2' ye göre seçilen deprem kayıtlarının ivme spektrumları



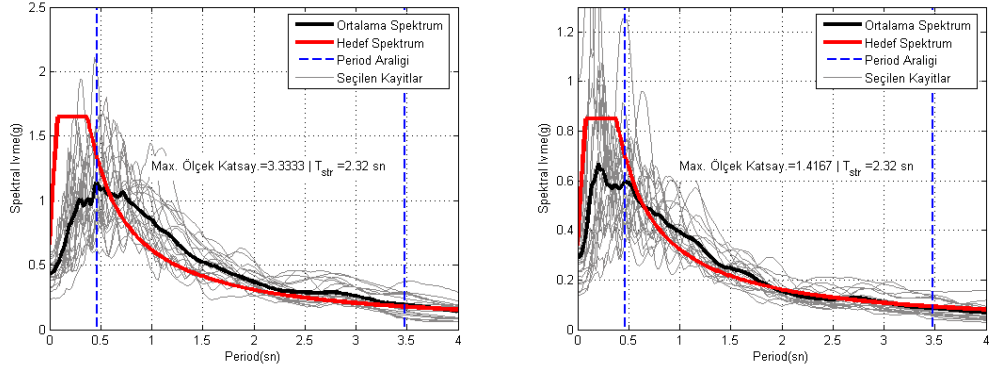
Şekil B.184 : 24_Katlı_2D_SZW Modeli için 1.derece DB ve ZC zemin sınıfı için Kırşehir Merkez'de DD1 ve DD 2' ye göre seçilen deprem kayıtlarının ivme spektrumları



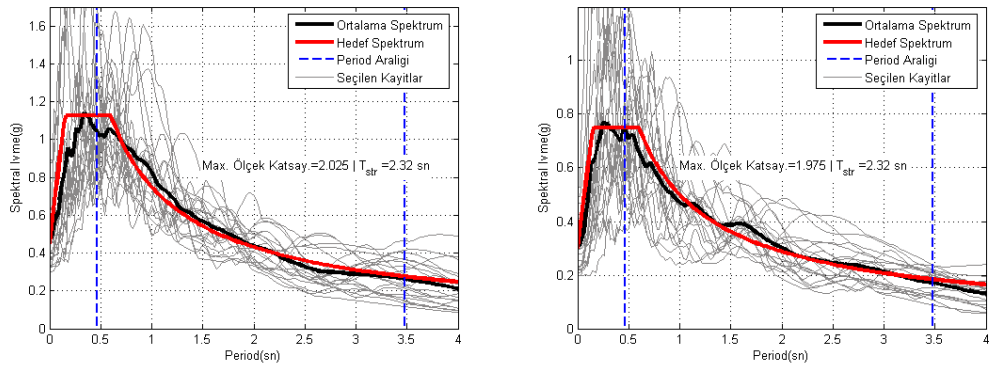
Şekil B.185 : 24_Katlı_2D_SZW Modeli için 1.derece DB ve ZC zemin sınıfı için Muğla Merkez'de DD1 ve DD 2' ye göre seçilen deprem kayıtlarının ivme spektrumları



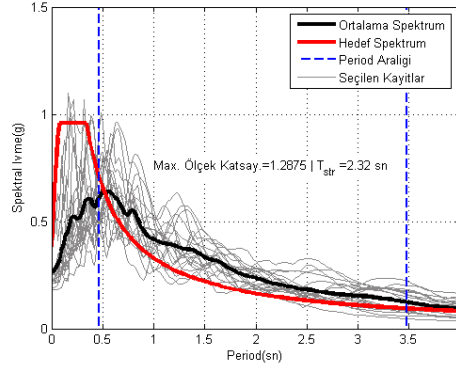
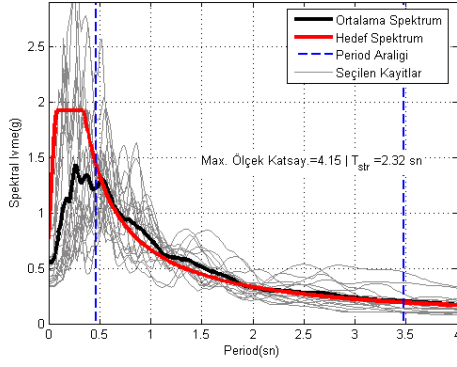
Şekil B.186 : 24_Katlı_2D_SZW Modeli için 1.derece DB ve ZC zemin sınıfı için Sakarya Merkez'de DD1 ve DD 2' ye göre seçilen deprem kayıtlarının ivme spektrumları



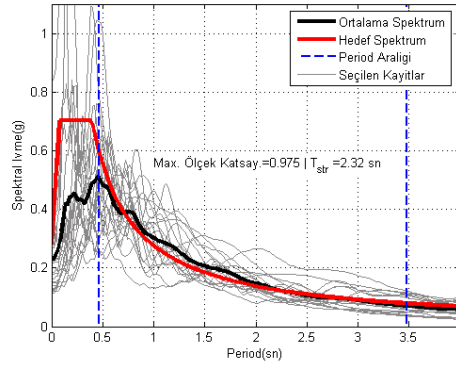
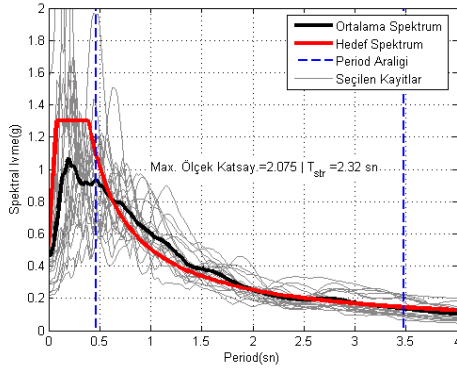
Şekil B.187 : 24_Katlı_2D_SZW Modeli için 1.derece DB ve ZC zemin sınıfı için Van Erciş'de DD1 ve DD 2' ye göre seçilen deprem kayıtlarının ivme spektrumları



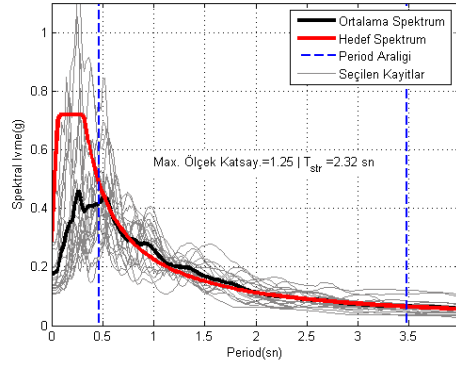
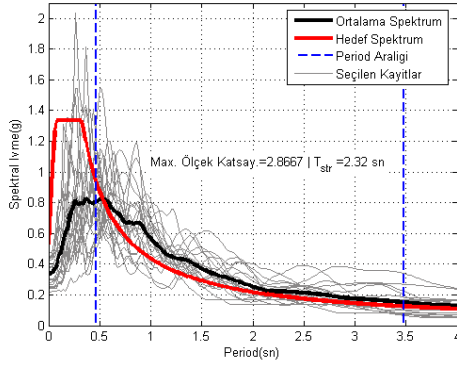
Şekil B.188 : 24_Katlı_2D_CSZ Modeli için 2. derece DB, ve ZC zemin sınıfı için DBYYHY 2007'ye göre DD 1 ve DD 2 için seçilen deprem kayıtlarının ivme spektrumları



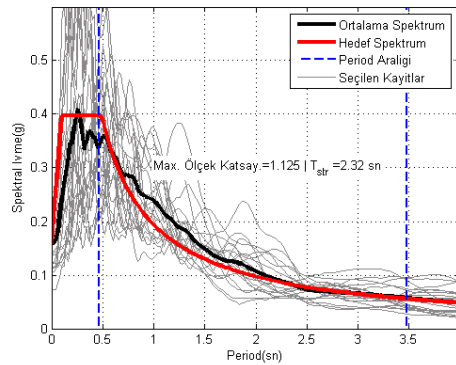
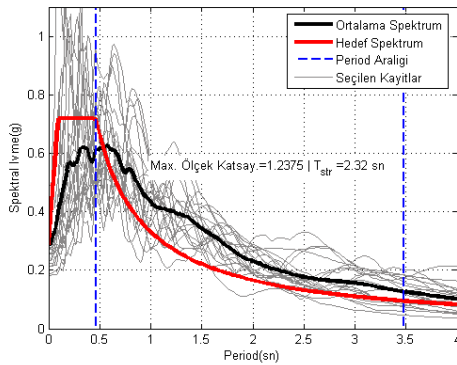
Şekil B.189 : 24_Katlı_2D_SZW Modeli için 2.derece DB ve ZC zemin sınıfı için Afyon Merkez'de DD1 ve DD 2' ye göre seçilen deprem kayıtlarının ivme spektrumları



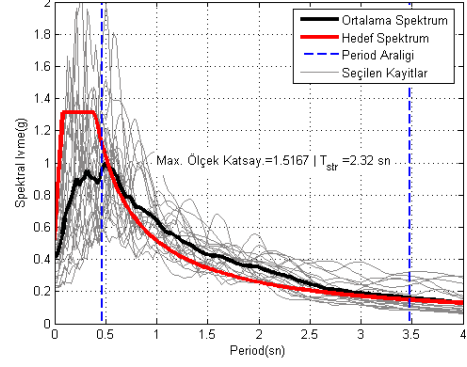
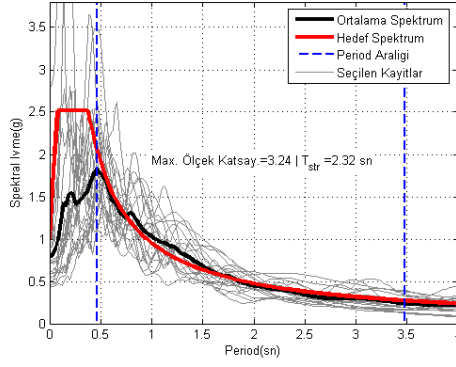
Şekil B.190 : 24_Katlı_2D_SZW Modeli için 2.derece DB ve ZC zemin sınıfı için Ağrı Merkez'de DD1 ve DD 2' ye göre seçilen deprem kayıtlarının ivme spektrumları



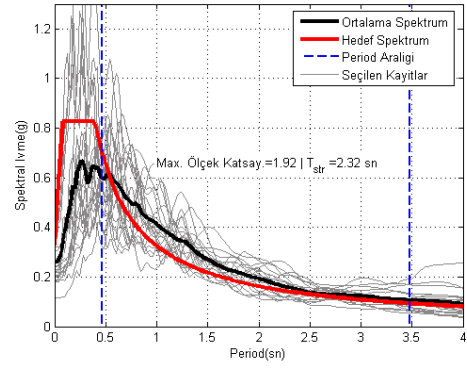
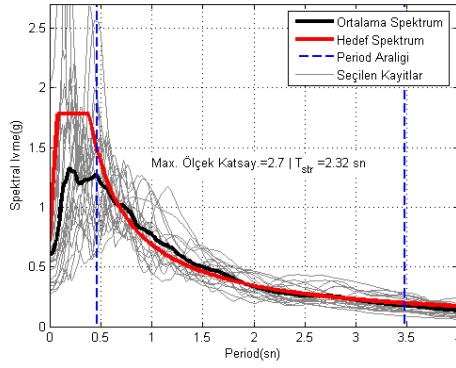
Şekil B.191 : 24_Katlı_2D_SZW Modeli için 2.derece DB ve ZC zemin sınıfı için Antalya Merkez'de DD1 ve DD 2' ye göre seçilen deprem kayıtlarının ivme spektrumları



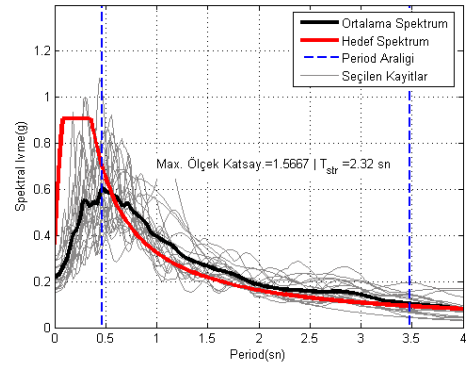
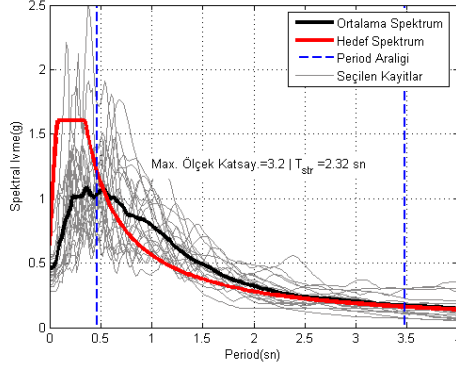
Şekil B.192 : 24_Katlı_2D_SZW Modeli için 2.derece DB ve ZC zemin sınıfı için Diyarbakır Merkez'de DD1 ve DD 2' ye göre seçilen deprem kayıtlarının ivme spektrumları



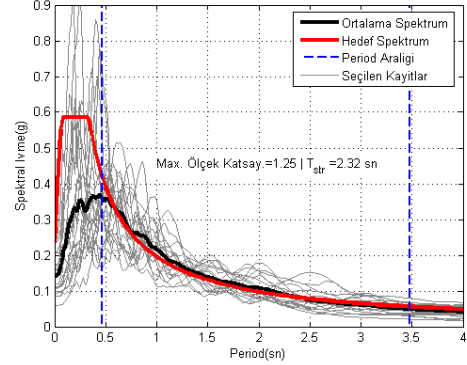
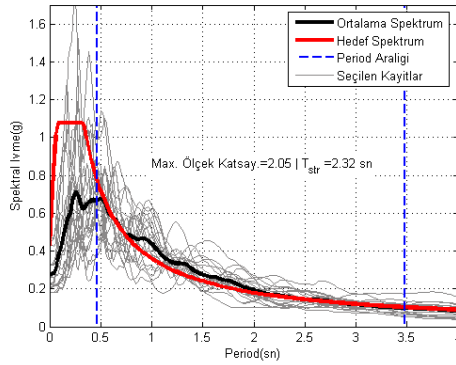
Şekil B.193 : 24_Katlı_2D_SZW Modeli için 2.derece DB ve ZC zemin sınıfı için Erzurum Merkez'de DD1 ve DD 2' ye göre seçilen deprem kayıtlarının ivme spektrumları



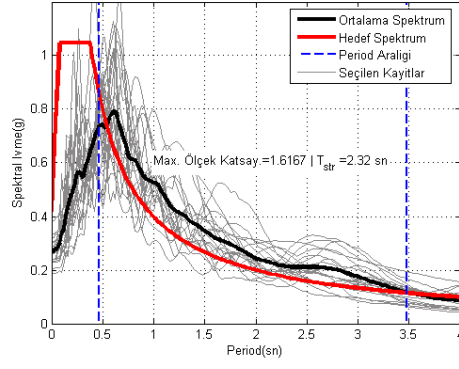
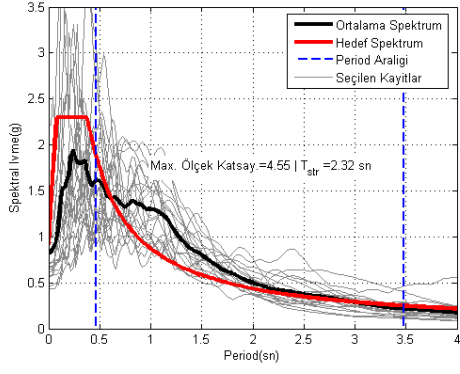
Şekil B.194 : 24_Katlı_2D_SZW Modeli için 2.derece DB ve ZC zemin sınıfı için Eskişehir Merkez'de DD1 ve DD 2' ye göre seçilen deprem kayıtlarının ivme spektrumları



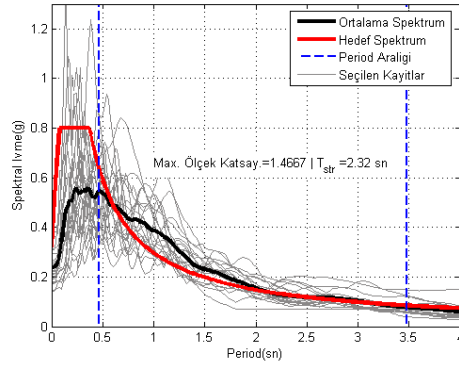
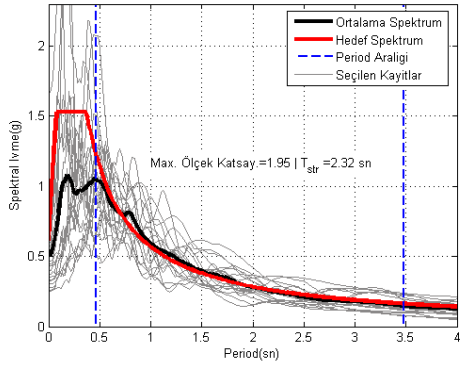
Şekil B.195 : 24_Katlı_2D_SZW Modeli için 2.derece DB ve ZC zemin sınıfı için İstanbul Levent'de DD1 ve DD 2' ye göre seçilen deprem kayıtlarının ivme spektrumları



Şekil B.196 : 24_Katlı_2D_SZW Modeli için 2.derece DB ve ZC zemin sınıfı için Kars Merkez'de DD1 ve DD 2' ye göre seçilen deprem kayıtlarının ivme spektrumları



Şekil B.197 : 24_Katlı_2D_SZW Modeli için 2.derece DB ve ZC zemin sınıfı için Kütahya Merkez'de DD1 ve DD 2' ye göre seçilen deprem kayıtlarının ivme spektrumları



Şekil B.198 : 24_Katlı_2D_SZW Modeli için 2.derece DB ve ZC zemin sınıfı için Van Merkez'de DD1 ve DD 2' ye göre seçilen deprem kayıtlarının ivme spektrumları



ÖZGEÇMİŞ

Ad-Soyadı : Sarper SEVİNÇ
Doğum Tarihi ve Yeri : 10.12.1977 / BEYKOZ
E-posta : sarpersevinc@hotmail.com

ÖĞRENİM DURUMU:

- **Lisans** : 2000, Ege Üniversitesi, Mühendislik Fakültesi, İnşaat Müh.
- **Yüksek Lisans** : 2003, İTÜ, Yapı Anabilim Dalı, Deprem Müh.Programı

MESLEKİ DENEYİM VE ÖDÜLLER:

- 2002-2003 yılları arasında Uzman Yapı Denetim AŞ.'de yardımcı kontrol elemanı olarak çalıştı.
- 2003 yılında İstanbul Teknik Üniversitesi'nde yüksek lisansını tamamladı.
- 2003-2004 yılları arasında Enka'da tasarım ve şantiye mühendisi olarak çalıştı.
- 2004-2007 yılları arasında Oluşum Yapı Ltd Şti'de şantiye şefi olarak çalıştı.
- 2007-2011 yılları arasında Yapı Merkezi'nde Kaba İşler Şefi ve Proje Müdürü olarak görev aldı.
- 2009 yılında askerlik görevini tamamladı.
- 2010 yılından beri Schattdecor'da fabrika müdürlüğü yapmaktadır.
- 2018 yılında İstanbul Teknik Üniversitesi'nde doktorasını tamamladı.

DOKTORA TEZİNDEN TÜRETİLEN YAYINLAR, SUNUMLAR VE PATENTLER:

- **Sevinç S., Bal İ.E.** 2017. Betonarme yapıların doğrusal olmayan analizinde yayılı plastisite modellerinin hassaslık analizi. *Dicle Üniversitesi – Mühendislik Dergisi*, 20.04.2017 Diyarbakır, Türkiye.

DİĞER YAYINLAR, SUNUMLAR VE PATENTLER:

- **Sevinç S., Gülay G.,** 2003. Deprem Yüğü Etkisindeki Betonarme Yapılarda Alternatif Bir Perde Tasarım Momenti Önerisi Ve Çeşitli Yapı Sistemleri Üzerinde Parametrik İnceleme. *İTÜ Yüksek Lisans Tezi*, Ocak 2003 İstanbul, Turkey.